Český hydrometeorologický ústav

Hydrologická bilance množství a jakosti vody České republiky

2025

Český hydrometeorologický ústav

Úsek Hydrologie

Na Šabatce 2050/17, 143 06 Praha 4

Ředitel ústavu: Mgr. Mark Rieder

Ředitel pro hydrologii: RNDr. Jan Daňhelka, Ph.D.

Řešitelé: bilance množství vody: Ing. Radek Vlnas
Mgr. Hana Černá
Mgr. Anna Lamačová, PhD.
Ing. Vladimír Sosna

bilance jakosti vody: Ing. Jindřich Freisleben
Mgr. Miroslava Svátková
RNDr. Pavel Stierand
Mgr. Libor Mikl, Ph.D.
Mgr. Libuše Barešová
Ing. Hedvika Goldbergová
Ing. Kamila Sirotková

https://www.chmi.cz/o-chmu/publikace-a-vzdelavani/zpravy-a-datove-prehledy/hydrologicka-bilance-mnozstvi-a-jakosti-vody

1. ÚVOD 7

2. HYDROLOGICKÁ BILANCE MNOŽSTVÍ VODY 11

2.1 Bilance množství vody v ČR 11

2.2 Metodika hydrologické bilance množství vody 17

2.3 Bilance množství vody v bilančních oblastech 21

2.4 Bilance množství vody v dílčích povodích 37

Bilance množství vody za období 2023 až 2025 89

3. HYDROLOGICKÁ BILANCE JAKOSTI VODY 91

3.1 Bilance jakosti povrchové vody 91

Bilance jakosti povrchové vody za období 2023 až 2025 120

3.2 Bilance jakosti povrchové vody – radiochemie 125

Bilance jakosti povrchové vody – radiochemie za období 2023 až 2025 135

3.3 Bilance jakosti povrchové vody – akumulační monitoring biotických matric 137

Bilance jakosti povrchové vody – akumulační monitoring biotických matric za období 2023 až 2025 143

3.4 Bilance jakosti povrchové vody – plaveniny a sedimenty 145

Bilance jakosti povrchové vody – plaveniny a sedimenty za období 2023 až 2025 . . . 165

3.5 Bilance jakosti povrchové vody – transport plavenin 167

3.6 Bilance jakosti podzemní vody 177

Bilance jakosti podzemní vody za období 2023 až 2025 201

PŘÍLOHA 1: Bilance množství vody v bilančních profilech 205

PŘÍLOHA 2: Bilance množství vody – podkročení malých průtoků 281

PŘÍLOHA 3: Bilance množství vody – překročení kulminačních průtoků 303

PŘÍLOHA 4: Bilance jakosti vody 325

Tab. P.3.1.1 Klasifikace ukazatelů jakosti povrchových vod ve vybraných profilech dle ČSN 75 7221

Tab. P.3.1.2 Nehodnocené ukazatele dle NV 401/2015 Sb.

Tab. P.3.1.3 Hodnocení jakosti povrchových vod podle NEK dle Nařízení vlády č. 401/2015 Sb.

Tab. P.3.1.4 Odnos v závěrových profilech

Tab. P.3.1.5 Odnos v závěrových profilech v letech 2023–2025

1. ÚVOD

Vedení vodní bilance je podle zákona č. 254/2001 Sb. o vodách (vodní zákon) jednou ze základních činností v oblasti zjišťování a hodnocení stavu povrchových a podzemních vod. Vodní bilance podle vodního zákona sestává z hydrologické bilance a vodohospodářské bilance. Hydrologická bilance porovnává přírůstky a úbytky vody a změny vodních zásob v území za daný časový interval. Vodohospodářská bilance porovnává požadavky na odběry povrchové a podzemní vody a vypouštění odpadních vod s využitelnou kapacitou vodních zdrojů z hlediska množství a jakosti vody a jejich ekologického stavu. Obsah vodní bilance a způsob jejího sestavení následně upravila vyhláška Ministerstva zemědělství č. 431/2001 Sb.

Hydrologickou bilanci sestavuje v souladu s uvedenou vyhláškou a na základě pověření Ministerstva životního prostředí Český hydrometeorologický ústav (ČHMÚ). **Hydrologická bilance se skládá z bilance množství vody a bilance jakosti vody**. Systematickou hydrologickou bilanci v detailním členění ČHMÚ zpracovává od roku 2002. Výstupy hydrologické bilance jsou podkladem pro sestavení Vodohospodářské bilance, kterou zajišťují příslušní správci povodí, a Souhrnné vodní bilance, kterou pro hlavní povodí Labe, Odry a Moravy sestavuje Výzkumný ústav vodohospodářský TGM, v.v.i.

V souladu s novelou zákona o vodách (vodní zákon) č. 150/2010 Sb., která s platností od 1. 8. 2010 mění zákon č. 254/2001 Sb., je hydrologická bilance zpracována pro 10 dílčích povodí (**Obr. 2.3.1**):

- dílčí povodí Horního a středního Labe
- dílčí povodí Horní Vltavy
- dílčí povodí Berounky
- dílčí povodí Dolní Vltavy
- dílčí povodí Ohře, Dolního Labe a ostatních přítoků Labe
- dílčí povodí Horní Odry
- dílčí povodí Lužické Nisy a ostatních přítoků Odry
- dílčí povodí Moravy a přítoků Váhu
- dílčí povodí Dyje
- dílčí povodí ostatních přítoků Dunaje

Takto stanovená dílčí povodí však nebylo vždy možné bilančně uzavřít, protože v některých případech nejsou v závěrovém profilu k dispozici příslušná data průtoků anebo se rozvodnice dílčího povodí neztotožňuje s rozvodnicí hydrologického povodí. Pro **bilanci množství vody** tedy bylo území České republiky rozčleněno do 10 bilančních oblastí se snahou o co největší přiblížení dílčím povodím podle vodního zákona. Pouze dílčí povodí Horního a středního Labe bylo ještě rozdělena na dvě bilanční oblasti, rovněž dílčí povodí Ohře, Dolního Labe a ostatních přítoků Labe bylo rozdělena na dvě oblasti. Výpočet bilance množství vody byl tedy proveden pro tyto bilanční oblasti:

1-horní Labe, 2-střední Labe a Jizera, 3-horní Vltava, 4-Berounka, 5-dolní Vltava a Sázava, 6-Ohře a Bílina, 7-dolní Labe, 8-Odra a Olše, 9-Morava, 10-Dyje (**Obr. 2.3.2**).

Výstupy hydrologické bilance množství vody obsahují pro **9 dílčích povodí, 10 bilančních oblastí a 74 bilančních profilů** v měsíčním kroku údaje o:

- teplotě vzduchu (nad rámec vyhlášky č. 431/2001 Sb. coby nedílná součást hydrologické bilance)
- atmosférických srážkách
- celkovém odtoku
- základním odtoku (jen v bilančních oblastech a profilech)
- zásobách vody ve sněhové pokrývce
- změnách zásob podzemní vody (jen v bilančních oblastech a profilech)
- režimu podzemních vod (jen v dílčích povodích)
- přirozených průtocích vody (jen v bilančních oblastech a profilech) ve vodních tocích ve vybraných vodoměrných stanicích

Hodnocení zahrnuje popis stavu a vývoje bilančních veličin a charakteristiky jejich ročního chodu spolu s odchylkami od normálu. V tabulkách s vyhodnocením odchylek bilančních veličin od normálu jsou na červené škále odlišeny hodnoty podnormální (mírně podnormální), silně podnormální a mimořádně podnormální, na modré škále pak hodnoty nadnormální (mírně nadnormální), silně nadnormální a mimořádně nadnormální.

V roce **2025** přibylo hodnocení dílčího povodí **ostatních přítoků Dunaje** z hlediska teploty vzduchu, srážek a zásob vody ve sněhové pokrývce (kap. 2.4). Pro ostatní bilanční veličiny nejsou data k dispozici.

V roce 2024 jsme spojili **rozšíření počtu jednotlivých povodí dílčích povodí** (aby byla lépe pokryta dílčí povodí) **s aktualizací** všech hodnocených povodí a bilančních oblastí **podle nových rozvodnic**:

- přibyla jednotlivá povodí Lužická Nisa, Smědá a Mandava, Stěnava, Bělá a Osoblaha, Vlára
- polygony všech bilančních povodí (74), bilančních oblastí (10), dílčích povodí (9) a jednotlivých povodí dílčích povodí (nyní 30) byly aktualizovány podle nových rozvodnic
- podle jejich polygonů byly aktualizovány časové řady (srážky, teplota vzduchu, relativní vlhkost vzduchu, vodní hodnota sněhu)
- podle časových řad byly aktualizována normály, model Bilan, atp.

V tabulkách bilančních veličin také přibyly v roce 2024 nad rámec vyhlášky č. 431/2001 Sb. údaje o **teplotě vzduchu** coby nedílné součásti hydrologické bilance.

Očištění časových řad měřeného průtoku (**přirozený průtok**) je od roku 2024 prováděno v ČHMÚ.

Zcela přepracováno bylo v roce 2023 **hodnocení malých** (Q_{355d}, Q_{364d}) **a kulminačních průtoků** (Q_5 až Q_{100}), které je nyní založeno na zpracování údajů z centrální režimové databáze. Výskyt minimálních i kulminačních průtoků je hodnocen zvlášť pro bilanční (73 profilů) a nebilanční profily (s povodím nad 100 km^2, 221 profilů pro Q_{md}, 282 profilů pro Q_N), tedy pro ucelené sady stanic. Hodnocení výskytu malých a kulminačních průtoků je v **kap. 2.4**, grafy jsou v **Příloze 2 a 3.**

Při odhadu volných parametrů hydrologického modelu Bilan je kritériem úspěšnosti modelu shoda modelovaného odtoku s pozorováním. Od roku 2023 jsou **parametry fixní**, odvozené na základě 100 realizací modelu pro každé povodí.

Grafy režimu podzemních vod byly v roce 2023 rozšířeny na **7 kvantilových pásem** tak, aby lépe odpovídaly hodnocení odchylek od normálu na škále mimořádně podnormální až mimořádně nadnormální stav.

Výsledky hydrologické **bilance množství vody** v **bilančních oblastech** udává **kap. 2.3**, vyhodnocení bilance v **dílčích povodích** je v **kap. 2.4**. Výsledky bilance pro všech 74 bilančních profilů jsou v **Příloze 1** zprávy.

Pro účely bilance množství vody bylo v roce 2023 hodnoceno **74** vodoměrných stanic, **376** mělkých vrtů, **190** pramenů a **83** hlubokých vrtů.

Hydrologická **bilance jakosti vody** zahrnuje monitoring **povrchových a podzemních vod**.

Monitoring jakosti **povrchových vod** probíhá na různých matricích: voda, pevné matrice – plaveniny a sedimenty, biotické matrice. Odběry a analýzy vzorků **matrice povrchové vody** zajišťují příslušné podniky povodí. Z dat poskytnutých ČHMÚ se pak pro další zpracování vybírá přibližně **900** profilů vodních toků. V souladu s ČSN 75 7221 je prováděna klasifikace kvality povrchových vod do 5 tříd podle hodnot 70 ukazatelů (odběr alespoň 11× ročně). Hodnocení podle NV č. 401/2015 Sb. je prováděno porovnáváním ročních průměrných a maximálních hodnot stanovených ukazatelů s legislativními limity.

Sledování jakosti **plavenin a sedimentů** je realizováno na asi **50** profilech hlavních vodních toků. Vzorky plavenin (odběr až 6× ročně) a sedimentů (odběr 2× ročně) jsou analyzovány na přítomnost těžkých kovů, metaloidů a specifických organických látek s důrazem na prioritní látky dle Směrnice Evropského parlamentu a Rady 2013/39/EU. Stanovení jsou prováděno i pro další potenciálně nebezpečné ukazatele znečištění (celkem přes 130 chemických látek). Hodnocení výsledků monitoringu je prováděno podle NV 401/2015 Sb. na základě analýzy dlouhodobých trendů koncentrací vybraných 20 prioritních látek, ale také podle standardů kvality, publikovaných jako „Environmental Quality Standards (EQS) – Substance Data Sheets“ a zavedených do české legislativy jako normy environmentální kvality (NEK) v NV 23/2011 Sb.

V rámci monitoringu **biotických matric**, zejména larvy chrostíků, rybí plůdek a jelec tloušť, se provádí sledování kontaminace těchto vodních organismů nebezpečnými látkami (toxické kovy a vybrané skupiny organických látek) s významným bioakumulačním potenciálem. Každoročně je monitorováno asi **20** lokalit (odběr 1× ročně) ve dvou sadách střídajících se po třech letech. Většina analyzovaných polutantů je součástí seznamu prioritních látek dle směrnice Evropského parlamentu a Rady 2013/39/EU. Jsou to zejména metabolity pesticidů, produkty spalování a průmyslových procesů, látky užívané pro impregnace nebo jako zpomalovače hoření, změkčovadla plastů, či součásti nátěrů. Látky, pro které je stanovena i norma environmentální kvality (NEK) v NV č. 401/2015 Sb., jsou hodnoceny podrobněji.

Vyčleněnou skupinou monitorovaných ukazatelů jsou **radiochemické** parametry. Jedná se o sledování celkových objemových aktivit alfa nebo beta a aktivit asi 12 vybraných radionuklidů. Monitoring probíhá v povrchové vodě na přibližně **140** profilech (odběr až 12× ročně) a na **10** lokalitách u sedimentů (odběr 1× ročně). Podle stanovených hodnot ukazatelů probíhá pro povrchovou vodu zatřídění sledovaných lokalit do 5 tříd dle ČSN 75 7221. S limity přípustného znečištění uvedenými v NV č. 401/2015 Sb. jsou pak porovnávány maximální i roční průměrné hodnoty.

Monitoring jakosti **podzemních vod** se provádí na monitorovací síti asi **700** objektů (vrty a prameny, odběr 2× ročně). Ve vzorcích je analyzováno více než 300 ukazatelů znečištění. Sledování zahrnuje nejen základní fyzikálně chemický rozbor, ale také toxické kovy a významné zástupce skupin organických látek (zejména pesticidy). Hodnocení je založeno na porovnání naměřených hodnot monitorovaných látek s legislativně stanovenými limity (vyhlášky MŽP a MZe č. 5/2011 Sb. a MZ č. 252/2004 Sb., a také příloha I směrnice Evropského parlamentu a Rady 2006/118/ES).

Vyhodnocení hydrologické **bilance jakosti** povrchové vody je v **kap. 3.1** až **kap. 3.4** a podzemní vody v **kap. 3.5** v členění pro 10 dílčích povodí. Výsledky hodnocení jakosti vody ve všech sledovaných profilech jsou v ČHMÚ k dispozici na vyžádání po písemném souhlasu od dotčených povodí.

Monitorování jakosti **povrchových vod** v roce 2025 probíhalo podle návrhu jednotlivých státních podniků Povodí. Podle jejich rozhodnutí byla do ČHMÚ poslána data z jednotlivých profilů i vybrané ukazatele. ČHMÚ měl za tento rok k dispozici data z 1 953 profilů povrchových vod. K hodnocení bylo využito **839**

profilů tekoucích vod, které byly zahrnuty do seznamu profilů pro hodnocení stavu vodních útvarů – řeka dle Rámcového programu.

Hodnocení jakosti **plavenin a sedimentů** proběhlo na **48** profilech, monitoring biotických matric byl realizován na **28** profilech, monitoring radiochemie proběhl na **136** profilech.

V roce 2025 bylo ČHMÚ realizováno sledování kvality **podzemních vod** podle schváleného programu monitoringu jakosti podzemních vod na **727** objektech, což zahrnuje **672** vybraných pramenů a vrtů v rámci sítě ČHMÚ a **55** vybraných vrtů ve vlastnictví dalších organizacích zajišťujících zásobování pitnou vodou.

2. HYDROLOGICKÁ BILANCE MNOŽSTVÍ VODY

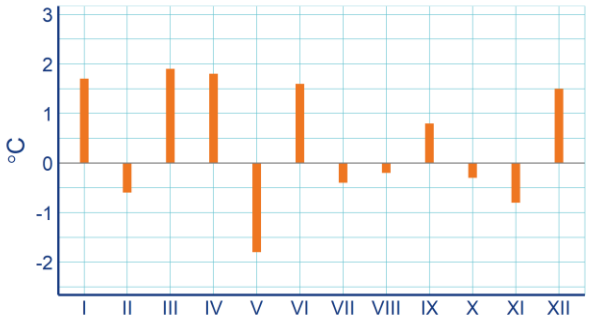
2.1 Bilance množství vody v ČR

Teplota vzduchu

Průměrná roční teplota vzduchu byla 8,8 °C s odchylkou od normálu 0,4 °C. Rok tedy byl teplotně normální. V jednotlivých dílčích povodích byla odchylka od normálu 0,2 °C (Lužická Nisa a ostatní přítoky Odry) až 0,7 °C (Horní Odra, ostatní přítoky Dunaje). Leden byl teplotně nadnormální (+1,7 °C), únor byl normální, březen a duben opět nadnormální (+1,8 až +1,9 °C), květen byl podnormální (–1,8 °C) a červen byl naopak silně nadnormální (+1,6 °C). Zbytek roku byl teplotně normální.

Tab. 2.1.1 Průměrná teplota vzduchu v ČR a její odchylka (°C) od dlouhodobého normálu.

	I	II	III	IV	V	VI	VII	VIII	IX	X	XI	XII	2025
(°C)	0,3	−0,9	5,1	10,3	11,2	18,1	17,9	17,7	13,9	7,9	2,7	1,1	8,8
odchylka (°C)	1,7	−0,6	1,9	1,8	−1,8	1,6	−0,4	−0,2	0,8	−0,3	−0,8	1,5	0,4



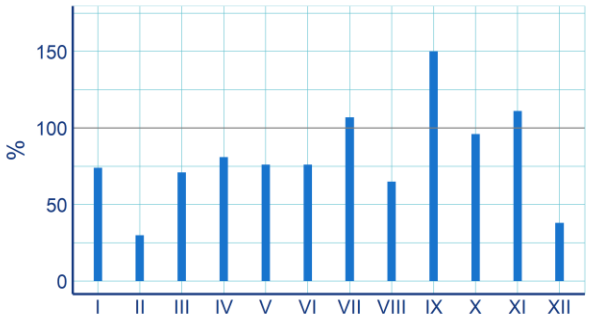
Obr. 2.1.1 Odchylka průměrné teploty vzduchu v ČR (°C) od dlouhodobého normálu.

Srážky

Průměrný roční srážkový úhrn činil 570 mm, což odpovídá 84 % normálu. Rok tedy byl srážkově podnormální. V jednotlivých dílčích povodích spadlo 72 % (ostatní přítoky Dunaje) až 91 % normálu (Lužická Nisa a ostatní přítoky Odry). Leden byl srážkově normální, únor byl silně podnormální (30 %) a poté následovalo srážkově normální období od března do srpna. Září bylo srážkově nadnormální (150 %), říjen a listopad byly normální a prosinec byl srážkově silně podnormální (38 %).

Tab. 2.1.2 Průměrný úhrn srážek v ČR (mm) a jeho poměr k dlouhodobému normálu (%).

	I	II	III	IV	V	VI	VII	VIII	IX	X	XI	XII	2025
(mm)	32	11	33	31	53	62	95	50	89	47	50	18	570
(%)	74	30	71	81	76	76	107	65	150	96	111	38	84



Obr. 2.1.2 Průměrný úhrn srážek v ČR v % dlouhodobého normálu.

Sníh

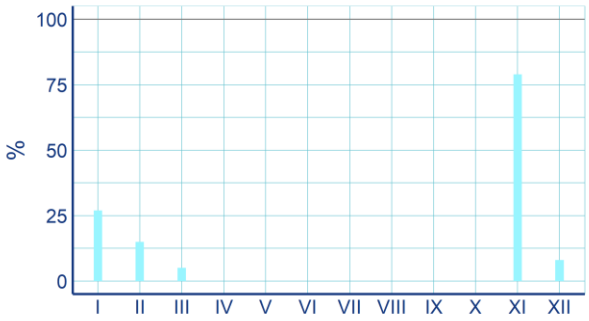
V nižších polohách se sněhová pokrývka vyskytovala převážně v první polovině ledna, ve druhé a třetí dekádě února již jen krátkodobě. Ve středních polohách ležela po většinu ledna, ve druhé polovině února se místy znovu vytvořila a během března odtávala. Ve vyšších polohách ležela od začátku ledna místy až do března; nad 800 m n. m. dosahovala v únoru 20–40 cm. V horských polohách bylo na začátku ledna více než 10 cm, na hřebenech až 70 cm, v polovině ledna místy kolem 100 cm. Maximální výška sněhové pokrývky byla v Krkonoších zaznamenána ve druhé dekádě ledna na Labské boudě (141 cm), nejvyšší vodní hodnota v první dekádě března na stanici Nad Voseckou (608 mm) a ve druhé dekádě února na Ovčárně (315 mm) v Jeseníkách. V březnu sníh na horách postupně odtával, v nejvyšších polohách se udržel až do dubna a přechodně i ve druhé a třetí dekádě května.

Na konci roku se první sněhová pokrývka v nižších polohách objevila ve druhé až třetí dekádě listopadu, většinou krátkodobě, a znovu v poslední dekádě prosince. Ve středních a vyšších polohách se vytvářela od třetí, resp. druhé dekády listopadu a po přechodném úbytku se obnovila v poslední dekádě prosince. V horských polohách výrazněji sněžilo ve druhé polovině listopadu a sníh se místy udržel do první dekády prosince. Na hřebenech Šumavy dosáhla již na konci října výška sněhové pokrývky 35 cm. V nejvyšších polohách Krkonoš se souvislá sněhová pokrývka vytvořila již ve třetí dekádě října, po tání v první dekádě listopadu se obnovila od druhé dekády listopadu. V poslední dekádě prosince se sníh opět rozšířil do všech poloh a na horách až do konce roku přibýval.

Zásoby vody ve sněhu byly v lednu silně podnormální (27 %), od února do dubna mimořádně podnormální (15 % únor, 5 % březen, 0 % duben). V listopadu byla vodní hodnota sněhu normální a v prosinci mimořádně podnormální (8 %). Nejvyšší průměrná vodní hodnota sněhu byla zjištěna v lednu (4,4 mm) na úrovni 27 % měsíčního normálu. Maxima v jednotlivých dílčích povodích se v lednu pohybovala od 13 % (Dolní Vltava) do 47 % normálu (Ohře, Dolní Labe a ostatní přítoky Labe).

Tab. 2.1.3 Průměrná vodní hodnota sněhu v ČR (mm) a její poměr k dlouhodobému normálu (%).

	I	II	III	IV	V	VI	VII	VIII	IX	X	XI	XII
(mm)	4,4	2,9	0,5	0	0	0	0	0	0	0	1,1	0,5
(%)	27	15	5	0	–	–	–	–	–	–	79	8



Obr. 2.1.3 Průměrná vodní hodnota sněhu v ČR v % dlouhodobého normálu.

Průtok

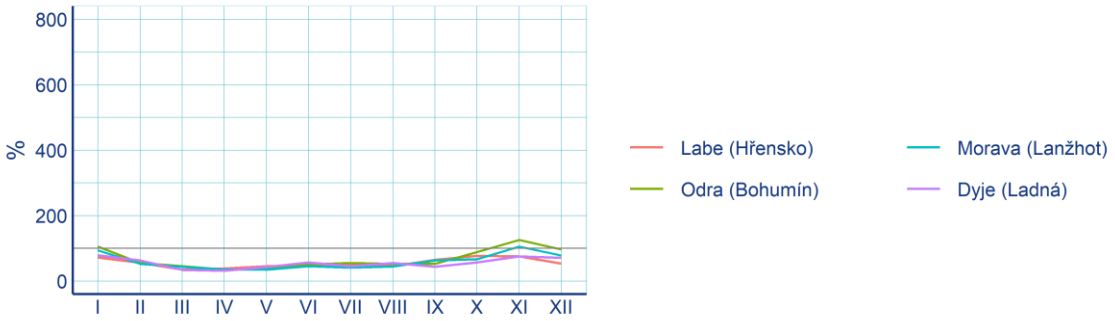
Bilančními profily odteklo 30 až 73 % dlouhodobého průměrného průtoku Q_a. Labem v Hřensku odteklo 53 %, Odrou v Bohumíně 62 %, Moravou v Lanžhotu 56 % a Dyjí v Ladné 52 % Q_a. Rok byl tedy v uzávěrových profilech silně podprůměrný. Leden byl odtokově průměrný, únor byl převážně podprůměrný (53 až 56 %), na Dyji průměrný. Období od března do května bylo převážně silně podprůměrné (32 až 44 %), pouze na Odře v březnu a na Labi v květnu bylo podprůměrné (shodně 46 %). Období od června do srpna bylo převážně podprůměrné (41 až 57 %), pouze na Odře v červenci a na Dyji v srpnu bylo průměrné. Září bylo průměrné až podprůměrné (44 až 65 %), říjen byl převážně průměrný, na Dyji podprůměrný (57 %). Zbytek roku byl průměrný, na Odře v listopadu nadprůměrný (126 %) a na Labi v prosinci podprůměrný (54 %).

Minimální průtoky menší než Q_{355d} se na bilančních profilech vyskytovaly převážně od června do září, nejčastěji v červenci a srpnu. Nejdelší trvání bylo zaznamenáno v červenci na Ohři (25 dní) a Střele (24 dní), v srpnu na Ohři (28 dní) a v září na Ohři (20 dní). Výraznou výjimkou byla Bílina, kde se průtoky pod Q_{355d} vyskytovaly již od května až do konce roku, přičemž i od října do prosince trvaly 18 až 21 dní. Mimo letní období se průtoky pod Q_{355d} vyskytly také v květnu na Ohři a Olši a na některých profilech také na konci roku. Průtoky menší než Q_{364d} byly na bilančních profilech zaznamenány především od července do září, nejdéle v srpnu na Ploučnici (12 a 20 dní), Bílině, Střele a Ohři (12 dní), a dále v září na Ohři a Litavce (11 a 10 dní), červenci na Ohři (8 dní). Vyskytly se také v říjnu na Bílině (3 dny), v dalších případech pouze výjimečně. Na nebilančních profilech (celkem 221 s povodím nad 100 km²) se průtoky menší než Q_{355d} také vyskytovaly převážně od června do září, nejčastěji v červenci a srpnu, místy po celý měsíc. Mimo letní období se průtoky pod Q_{355d} vyskytly jednotlivě již v lednu až dubnu a dále v říjnu až prosinci, přičemž nejdelší trvání v závěru roku bylo zaznamenáno na Střele (26–28 dní). Průtoky menší než Q_{364d} se na nebilančních profilech vyskytovaly především od července do září, nejdéle v srpnu na Úterském potoce (18 dní), Rokytce (16 dní), kamenici (13 dní), Senici a Olšavě (10 a 11 dní) a v září na Teplé (14 dní). Úterský potok v profilu Trpísty ve druhé polovině srpna na 7 dní zcela vyschl.

Na bilančních profilech se povodně nevyskytly, na nebilančních profilech (celkem 282 s povodím nad 100 km²) byl pouze na Kyjovce v červnu a na Vidnavce v červenci zaznamenán průtok větší než Q_2.

Tab. 2.1.4 Průtok závěrovými profily ČR v % dlouhodobého průměru.

	I	II	III	IV	V	VI	VII	VIII	IX	X	XI	XII	2025
Labe (Hřensko)	72	56	35	39	46	49	48	46	65	77	76	54	53
Odra (Bohumín)	106	55	46	35	36	51	55	53	53	89	126	97	62
Morava (Lanžhot)	94	53	44	35	35	46	41	45	63	67	106	78	56
Dyje (Ladná)	79	63	34	32	43	57	46	55	44	57	76	71	52



Obr. 2.1.4 Průtok závěrovými profily ČR v % dlouhodobého průměru.

Podzemní vody

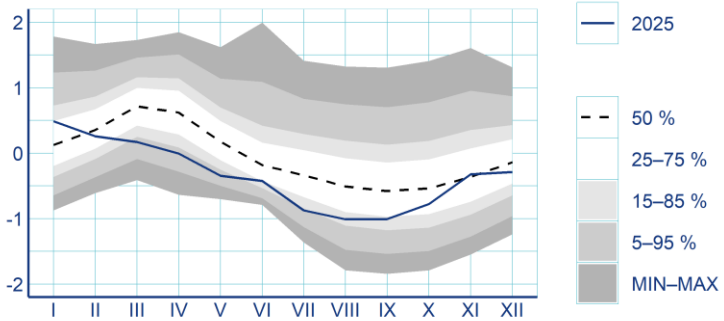
Mělké vrty a prameny

Hladina v mělkém oběhu podzemních vod byla celkově mírně podnormální (82 % KP). Stav se však regionálně lišil, zatímco na Moravě byla hladina normální, v dílčím povodí Horního a středního Labe byla hladina silně podnormální (86 % KP) a v dílčím povodí Ohře, Dolního Labe a ostatních přítoků Labe dokonce mimořádně podnormální (96 % KP). Vydatnost pramenů byla celkově mimořádně podnormální (95 % KP). Silně až mimořádně podnormální stav převládal na většině území s výjimkou dílčího povodí Dolní Vltavy, kde byla vydatnost normální (73 % KP) a dílčího povodí Horní Odry, kde byla vydatnost mírně podnormální (80 % KP). Podíl mělkých vrtů s normálním stavem dosáhl 44 %, pramenů bylo 29 %. Silně nebo mimořádně podnormálních bylo 31 % mělkých vrtů a 51 % pramenů. Naopak silně nebo mimořádně nadnormálních bylo shodně 4 % mělkých vrtů i pramenů.

V lednu nastalo normální roční maximum hladiny (25 % KP) a vydatnosti (39 % KP). Poté hladina klesala a také vydatnost se zmenšovala. Zatímco v únoru byla vydatnost i hladina ještě normální, v březnu se stav zhoršil na silně podnormální (88–94 % KP). Hladina pozvolna klesala až na mírně podnormální roční minimum v srpnu (81 % KP). Vydatnost byla silně až mimořádně podnormální od března až do silně podnormálního ročního minima v září (91 % KP). Od září hladina stoupala až do konce roku převážně v mezích normálu, zatímco zvětšování vydatnosti bylo pouze pozvolné a celkově byla vydatnost mírně až silně podnormální.

Tab. 2.1.5 Pravděpodobnost překročení úrovně hladiny v mělkých vrtech (% KP).

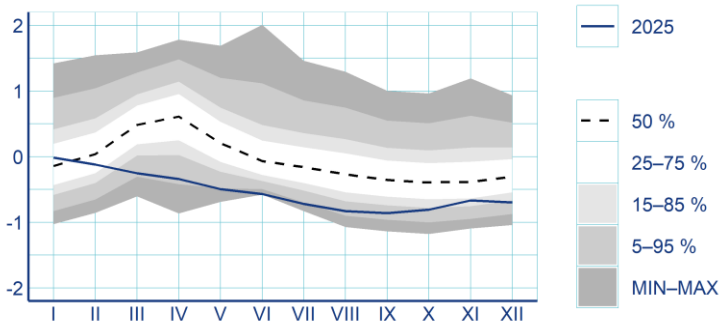
	I	II	III	IV	V	VI	VII	VIII	IX	X	XI	XII	2025
(% KP)	25	59	88	89	90	75	87	81	77	66	47	62	82



Obr. 2.1.5 Režim úrovně hladiny v mělkých vrtech v ČR. Hodnoty byly standardizovány. Uvedeny jsou také kvantily křivky překročení (KP).

Tab. 2.1.6 Pravděpodobnost překročení vydatnosti pramenů (% KP).

	I	II	III	IV	V	VI	VII	VIII	IX	X	XI	XII	2025
(% KP)	39	64	94	94	95	98	96	93	91	87	78	87	95



Obr. 2.1.6 Režim vydatnosti pramenů v ČR. Hodnoty byly standardizovány. Uvedeny jsou také kvantily křivky překročení (KP).

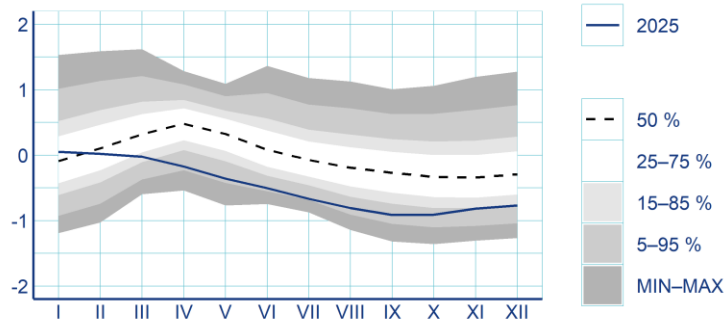
Hluboké vrty

Hladina hlubokých zvodní v ČR byla celkově silně podnormální (86 % KP). Regionálně však byl stav rozdílný. Mimořádně podnormální byla hladina v severočeské křídě a v permokarbonu středních a západních Čech, silně podnormální hladina byla v podkrušnohorských a jihočeských pánvích a v permokarbonu východních Čech. Naopak v moravském terciéru jako celku byla hladina mírně nadnormální. Celkově bylo 34 % vrtů silně nebo mimořádně podnormálních, 33 % bylo normálních a 12 % vrtů bylo silně nebo mimořádně nadnormálních.

Z hlediska celé ČR byla hladina hlubokých zvodní od ledna do února normální, v březnu mírně podnormální, poté od dubna do října byla silně podnormální, v listopadu a prosinci se stav hladiny zlepšil na mírně podnormální. Z normálního ročního maxima v lednu (40 % KP) hladina stále zvolna klesala až na silně podnormální roční minimum v září (92 % KP), poté mírně stoupala až do prosince na silně podnormální stav (85 % KP). V severočeské křídě byla hladina mimořádně podnormální po celý rok (dokonce mimo rozsah minim za referenční období 1991–2020). Podobně v permokarbonu středních a západních Čech byla hladina celoročně mimořádně, příp. silně podnormální. V permokarbonu východních Čech trval silně nebo mimořádně podnormální stav hladiny od dubna do října. Naopak nejvyšší hladina byla v moravském terciéru, kde od ledna do března trval silně nadnormální stav z konce předcházejícího roku, a poté až do konce roku byla hladina normální.

Tab. 2.1.7 Pravděpodobnost překročení úrovně hladiny v hlubokých vrtech (% KP).

	I	II	III	IV	V	VI	VII	VIII	IX	X	XI	XII	2025
(% KP)	40	57	80	94	94	94	95	92	92	89	85	85	86



Obr. 2.1.7 Režim úrovně hladiny v hlubokých vrtech v ČR. Hodnoty byly standardizovány. Uvedeny jsou také kvantily křivky překročení (KP).

2.2 Metodika hydrologické bilance množství vody

Hydrologická bilance zahrnuje porovnání srážek, přítoků a odtoků vody a změn vodních zásob v povodí, území nebo vodním útvaru za daný časový interval. Hydrologická bilance hodnotí změny zásob povrchové a podzemní vody způsobené časovou a prostorovou proměnlivostí přirozených vlivů, zejména klimatických činitelů a vytváří podklad pro hodnocení změn zásob vody, které jsou způsobeny užíváním vody nebo jinými antropogenními zásahy.

Základní veličiny hydrologické bilance

Při výpočtu hydrologické bilance rozlišujeme dva typy bilančních veličin

A) veličiny, které mají rozměr toků

- atmosférické srážky
- územní výpar
- odtok z povodí (průtok v závěrovém profilu)
- základní odtok z povodí

B) veličiny, které mají rozměr zásoby

- zásoba půdní vody v zóně aerace
- zásoba vody ve sněhové pokrývce
- zásoba podzemní vody
- zásoba vody v tocích a nádržích

Obtížnost sestavení hydrologické bilance spočívá v tom, že ne všechny bilanční veličiny lze vyčíslit z měření. Některé bilanční veličiny můžeme odhadovat podle jejich vztahu k jiným, měřeným, veličinám a některé bilanční veličiny lze odhadnout jen modelováním hydrologického procesu.

Navíc je nutné pracovat s dalšími fyzikálními veličinami, které nejsou vstupy ani výstupy bilance, ale jsou potřebné pro výpočet bilančních veličin nebo jsou vnitřními veličinami bilančního výpočtu.

Sestavení hydrologické bilance množství vody:

1) Příprava vstupních dat

Předpokladem pro zpracování hydrologické bilance minulého roku je příprava vstupních dat a zpracování víceletých pozorovaných časových řad bilančních veličin za období od roku 1980.

Jak udává **Tab. 2.2.1**, jde konkrétně o:

- časové řady srážkových úhrnů, průtoků, teplot vzduchu a relativních vlhkostí vzduchu v měsíčním kroku (pro bilanční model) a výšky sněhu a tlaku vodních par v denním kroku (pro stanovení vodní hodnoty sněhu)
- rekonstrukci přirozených průtoků ve vodoměrných stanicích (tj. „odovlivnění“ průměrných měsíčních průtoků od vlivu odběrů povrchových i podzemních vod, vypouštění odpadních nebo důlních vod a manipulací na vodních dílech).

U značně ovlivněných odtokových režimů je však obtížné správně posoudit všechny umělé zásahy a eliminovat jejich vliv, což může nepříznivě ovlivnit následné sestavení hydrologické bilance ve sledovaném profilu.

Tab. 2.2.1 Přehled veličin hydrologické bilance.

Veličina	Jednotky	Způsob stanovení	Zdroj dat
Srážky	mm	Orografickou interpolací z bodových pozorování ve srážkoměrných stanicích	databáze ČHMÚ
Celkový odtok	$m^3 \cdot s^{-1}$ mm	Pozorování vodních stavů a hydrometrická měření v závěrovém profilu povodí	databáze ČHMÚ
Základní odtok	$m^3 \cdot s^{-1}$ mm	Vyčlenění z průběhu celkového odtoku	databáze ČHMÚ
Zásoba vody ve sněhové pokrývce	mm	Výpočtem podle Němce ve stanicích a dále orografickou interpolací	databáze ČHMÚ
Změny zásob podzemní vody	mm	Z Boussinesqovy rovnice podle průběhu základního odtoku	databáze ČHMÚ
Přirozený průtok	mm $m^3 \cdot s^{-1}$	Pozorování vodní stavů, korekce podle údajů o umělých regulacích	ČHMÚ, VÚV TGM podniky Povodí
Přímý odtok 1	mm	Modelovým výpočtem	model Bilan
Přímý odtok 2	mm	Modelovým výpočtem	model Bilan
Zásoba vody v půdě	mm	Modelovým výpočtem	model Bilan
Potenciální evapotranspirace	mm	Modelovým výpočtem	model Bilan
Územní výpar	mm	Modelovým výpočtem	model Bilan
Relativní vlhkost vzduchu	%	Orografickou interpolací z bodových pozorování klimatologických stanic	databáze ČHMÚ
Teplota vzduchu	°C	Orografickou interpolací z bodových pozorování klimatologických stanic	databáze ČHMÚ
Dotace zásob podzemní vody	mm	Modelovým výpočtem	model Bilan
Perkolace	mm	Modelovým výpočtem	model Bilan

2) Transformace vstupních dat

Data z několika databází ČHMÚ byla transformována do jednotného tvaru časových řad měsíčních průměrů a úhrnů.

Hodnoty vybraných veličin byly vyjádřeny ve shodné jednotce, tj. v mm výšky na povodí, se kterou výpočetní model pracuje.

3) Výpočet časových řad prvků hydrologické bilance povodí

- Úhrn srážek – veličina je vyčíslována podle měření ve srážkoměrných stanicích. Pro výpočet srážkových výšek na povodí byla využita metoda Orografické interpolace srážek [Šercl, Lett, ČHMÚ], která využívá předpoklad lineární regresní závislosti úhrnu srážek na nadmořské výšce.
- Celkový odtok z povodí – vyhodnocen na základě pozorování vodních stavů a měrných křivek průtoků v závěrovém vodoměrném profilu.
- Teplota vzduchu – stejný postup jako u výpočtu úhrnu srážek.
- Relativní vlhkost vzduchu – stejný postup jako u výpočtu úhrnu srážek.
- Územní výpar – nelze měřit přímo. Časové řady hodnot územního výparu byly stanoveny výpočtem pomocí modelu Bilan [Kašpárek, VÚV TGM]. Podstatou modelování je popis akumulace vody ve formě zásoby vody v půdě a její využití pro výpar. Při výpočtu se vychází z předpokladu, že když je v daném měsíci srážka větší, než potenciální evapotranspirace, je výpar roven potenciální evapotranspiraci. Pokud je srážka menší než potenciální evapotranspirace, využívá se pro výpar i část vody v půdě. V závislosti na stupni nasycení půdy se velikost výparu oproti potenciální evapotranspiraci zmenšuje.
- Potenciální evapotranspirace – základem metodiky výpočtu jsou grafy udávající velikost potenciální evapotranspirace v závislosti na hodnotě sytostního doplňku. Sytostní doplněk se vypočítá podle průměrných teplot vzduchu a průměrných relativních vlhkostí vzduchu v konkrétním měsíci.
- Základní odtok – získáván separací z celkového odtoku v denním kroku podle Eckhardta [Eckhardt, 2005]. Recesní koeficient je odvozen na základě analýzy výtokových čar. Poměr celkového a základního odtoku BFImax je kalibrován podle shody průběhu celkového a základního odtoku v poklesových částech hydrogramu.
- Zásoba vody ve sněhové pokrývce – časové řady hodnot zásob vody ve sněhové pokrývce jsou stanovovány výpočtem metodou podle Němce [ČHMÚ]. Z modelových simulací je patrné, že model Bilan vzhledem k měsíčnímu kroku výpočtu neumožňuje odhadnout zásoby vody ve sněhové pokrývce s dostatečnou přesností a zásoby soustavně podhodnocuje. Dalším důvodem je snaha co nejvíce využít veličiny měřené v síti stanic ČHMÚ a modelovat pouze veličiny, které není možné měřit přímo nebo je z přímo měřených hodnot odvodit. Vodní hodnota sněhu je sice rovněž měřenou veličinou, ale týdenní četnost měření není pro naše potřeby dostatečná (měsíční průměr je počítán pouze ze 4 hodnot). Do výpočtu metodou podle Němce vstupují denní srážkové úhrny, výška nového sněhu, celková výška sněhu, tlak par. Výpočet je založen na těchto základních předpokladech:
- Přírůstek vodní hodnoty sněhu díky novému sněhu je roven srážkám, pokud tyto nejsou příliš vysoké. V tom případě je přírůstek takový, aby hustota nového sněhu byla 0,2 $g \cdot cm^{-3}$.
- Přírůstek vodní hodnoty sněhu je omezen schopností sněhu pojmout vodu. Tato schopnost je přímo úměrná výšce sněhu a nepřímo úměrná jeho hustotě.
- Sníh je schopen přijímat vzdušnou vlhkost.
- Časové řady vodní hodnoty sněhu v denním kroku ve stanicích monitorovací sítě ČHMÚ byly přepočteny do rastrů průměrných měsíčních vodních hodnot metodou Orografické interpolace srážek [Šercl, Lett, ČHMÚ].

- Změny zásob podzemní vody – zásoby podzemní vody jsou stanovovány z Boussinesqovy rovnice, která uvádí vztah mezi zásobou a základním odtokem. Recesní koeficient je odvozen na základě analýzy výtokových čar.

4) Vlastní bilanční výpočty

Pro analýzu hydrologické bilance se používá model Bilan s výpočetním krokem jeden měsíc. Model hydrologické bilance vyjadřuje základní bilanční vztahy na povrchu povodí, v zóně aerace, do níž je zahrnut i vegetační kryt povodí a v zóně podzemní vody.

Parametry modelu jsou buď volné, fyzikálně dané nebo jsou považovány za konstantní. Pro odhad volných parametrů se používá dvoustupňová optimalizace. Kritériem úspěšnosti modelu je shoda modelovaného odtoku s pozorováním. Od roku 2023 jsou **parametry fixní**, odvozené na základě 100 realizací modelu pro každé povodí.

2.3 Bilance množství vody v bilančních oblastech



bilanční profil
balance profile

povodí bilančního profilu
river basin of the balance profile

0 25 50 100 km

Obr. 2.3.1 Rozdělení České republiky do 10 dílčích povodí.



bilanční profil
balance profile

povodí bilančního profilu
river basin of the balance profile

0 25 50 100 km

Obr. 2.3.2 Rozdělení České republiky do 10 bilančních oblastí.

Pro hydrologickou bilanci množství vody nelze správní členění podle novely zákona o vodách č. 150/2010 Sb. do 10 dílčích povodí přesně použít (**Obr. 2.3.1**), protože dílčí povodí nejsou uzavřena vodoměrnými stanicemi. Proto bylo provedeno členění do 10 bilančních oblastí (**Obr. 2.3.2**). Seznam 74 bilančních profilů množství vody podle příslušnosti ke zvoleným bilančním oblastem udává **Tab. 2.3.1.** Výsledky bilance množství vody pro jednotlivé profily jsou v **Příloze 1** zprávy.

Tab. 2.3.1 Seznam bilančních profilů množství vody rozdělených podle bilančních oblastí.

Bilanční oblast	Číslo oblasti	Bilanční profily
horní Labe	1	016000, 037000, 042000, 061000
střední Labe a Jizera	2	075000, 080000, 091000, 101800, 104400
horní Vltava	3	111000, 115000, 115100, 123000, 129000, 131000, 133000,141000, 150000, 151000, 152000, 153000, ORLK
Berounka	4	174000, 179900, 183000, 186000, 187000, 190000, 197300, 198000
dolní Vltava a Sázava	5	159000, 163300, 165000, 167200, 169000, 200100
Ohře a Bílina	6	207300, 214000, 219000, 226000
dolní Labe	7	202300, 204000, 221000, 239000, 245000
Odra a Olše	8	252000, 266000, 257000, 275000, 293000, 294000, 303000, (320000, 326000)
Morava	9	355000, 367000, 382000, 387000, 390000, 403000, 421500, 426000
Dyje	10	429000, 430000, 437000, 440000, 448000, 457000, 462000, 469000, 474000, 477000, 478000, 480500

Teplotně byl rok 2025 normální (+8,8 °C) s odchylkou od normálu +0,4 °C. Regionálně se odchylky pohybovaly od +0,2 °C v bilanční oblasti (BO) dolní Labe do +0,5 °C v BO horní Labe, Ohře a Bílina, Morava, pouze v BO Odra a Olše byla teplota nadnormální (+0,7 °C). Teplotně silně nadnormální byl červen v BO horní Vltava, Berounka, dolní Vltava a Sázava, Ohře a Bílina (odchylka +1,6 až +2,0 °C), na ostatním území byl nadnormální. Ve všech BO byl teplotně nadnormální duben (+1,6 až +2,0 °C). Silně nadnormální byl také březen v BO Odra a Olše (+2,8 °C), v ostatních BO byl normální nebo nadnormální. V mnoha BO byl nadnormální také leden a prosinec. Naopak teplotně silně podnormální byl květen v BO horní Labe, střední Labe a Jizera, Odra a Olše, Morava (−2,1 až −2,4 °C), v ostatních BO byl převážně podnormální. Výraznější záporná odchylka, nicméně v mezích normálu, byla zaznamenána v únoru (−0,3 až −1,3 °C) a v listopadu (−0,6 až −1,0 °C). V ostatních měsících, tj. od července do října, zcela převládala normální teplota, pouze v září byla v BO Odra a Olše nadnormální (+1,3 °C).

Srážkově byl rok podnormální (570 mm, 84 % normálu). Regionálně byl rok vyrovnaný, spadlo od 80 % srážek v BO Berounka, dolní Vltava a Sázava až po 89 % v BO Morava, pouze v BO Ohře a Bílina byly srážky silně podnormální (78 %). Srážkově mimořádně podnormální byl prosinec v BO Berounka, Ohře a Bílina, Odra a Olše, Morava (24 až 32 %), na ostatním území byl převážně silně podnormální. Mimořádně podnormální byl také únor v BO horní Labe, Morava (15 a 17 %), v ostatních BO byl převážně silně podnormální, na západě a severu Čech byl podnormální. Silně podnormální byl také březen a srpen v BO Ohře a Bílina (36 a 44 %). Naopak nejvíce srážek vzhledem k normálu spadlo v září, které bylo silně nadnormální v BO Berounka, dolní Vltava a Sázava, Dyje (167 až 172 %), na ostatním území bylo nadnormální, pouze v BO Odra a Olše normální. Srážky v listopadu se regionálně lišily, v BO Ohře a Bílina byly podnormální, v ostatních BO v Čechách byly normální, na Moravě naopak nadnormální (132 až 149 %). V ostatních měsících převládaly normální srážkové úhrny, několik podnormálních měsíců se vyskytlo především v BO Berounka, Odra a Olše, Dyje (47 až 63 %).

Zásoby vody ve sněhové pokrývce byly v lednu převážně silně nebo mimořádně podnormální (13 až 37 %), pouze v BO Ohře a Bílina byly podnormální (49 %). V únoru byly zásoby vody ve sněhové pokrývce převážně mimořádně podnormální (5 až 19 %), silně podnormální byly v BO střední Labe a Jizera, Ohře a Bílina (21 a 31 %) a podnormální v BO dolní Labe (43 %). V březnu byly zásoby mimořádně podnormální na celém území (0 až 9 %) a v dubnu se nevyskytovaly vůbec (0 %). Na konci roku byly zásoby vody ve sněhové pokrývce v listopadu podnormální (53 až 68 %) v BO horní Labe, střední Labe a Jizera, horní Vltava, Berounka, na ostatním území byly normální, pouze v BO dolní Labe byly nadnormální (129 %). V prosinci byly zásoby mimořádně podnormální na celém území (1 až 14 %).

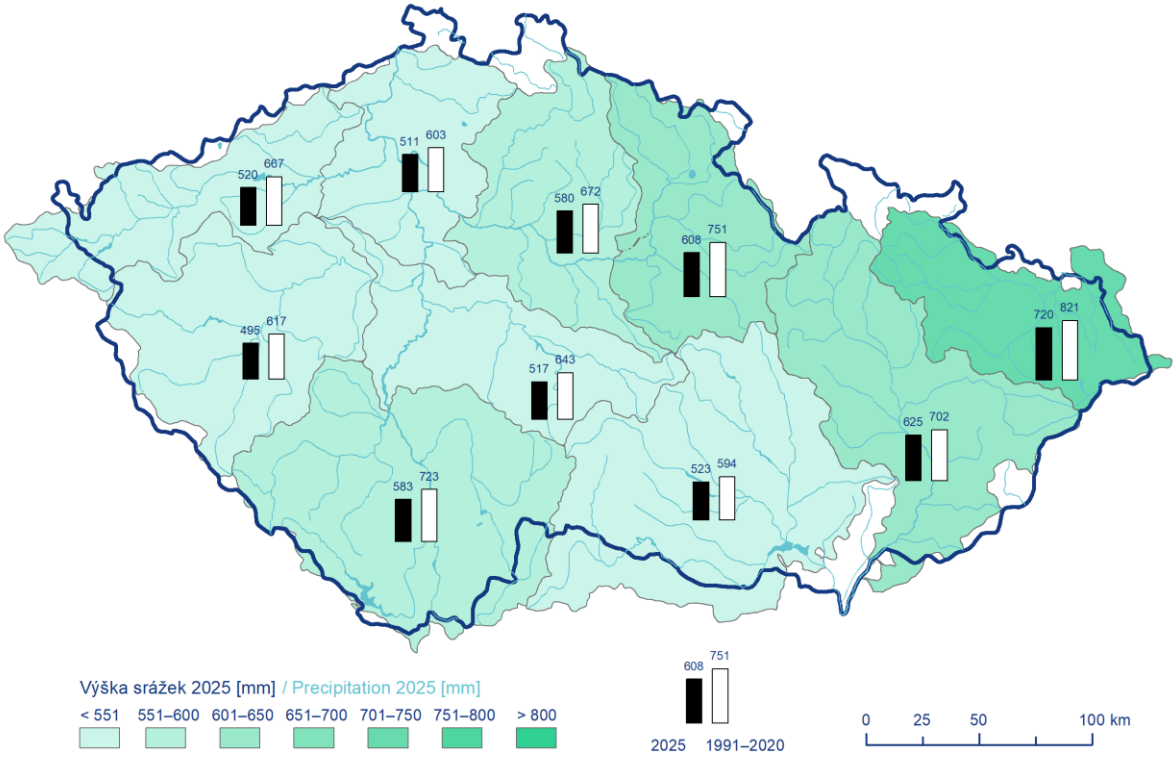
Měřený odtok zde není komentován – v málo ovlivněných povodích odpovídá průběhu přirozeného odtoku, naopak v silně ovlivněné BO dolní Vltava a Sázava je ovlivněn manipulacemi na Vltavské kaskádě (ani rekonstrukce přirozených průtoků však není bez nejistot).

Z hlediska přirozeného průtoku byl rok mimořádně podprůměrný v BO horní Vltava, Berounka, Ohře a Bílina (46 až 47 % Q_a), v ostatních BO byl silně podprůměrný (50 až 63 % Q_a). Roční chod odtoku byl ovlivněn často až mimořádně podnormálními zásobami vody ve sněhu během celé sezóny a výrazně podnormálními srážkami v únoru a prosinci. V lednu byl odtok na celém území průměrný (66 až 114 %), již v únoru byl ale převážně podprůměrný (45 až 59 %), v BO dolní Vltava a Sázava silně podprůměrný (42 %), pouze v BO Ohře a Bílina průměrný (61 %). V březnu odtok dále poklesl a byl silně podprůměrný (31 až 44 %), pouze v BO dolní Labe podprůměrný (56 %). V dubnu byl odtok převážně silně podprůměrný (33 až 44 %), v BO Odra a Olše dokonce mimořádně podprůměrný (29 %), v BO dolní Labe podprůměrný (50 %). V květnu byl odtok podprůměrný nebo silně podprůměrný (34 až 54 %). Také v červnu byl odtok převážně podprůměrný nebo silně podprůměrný (35 až 53 %), pouze v BO horní Vltava byl mimořádně podprůměrný (29 %) a v BO střední Labe a Jizera průměrný (64 %). Podobně v červenci byl odtok převážně podprůměrný nebo silně podprůměrný (30 až 49 %), pouze v BO Odra a Olše průměrný (65 %). Srpen byl nejsušším měsícem roku, odtok byl většinou silně podprůměrný (26 až 45 %), v BO Berounka, Dyje byl dokonce mimořádně podprůměrný (23 a 22 %), pouze v BO střední Labe a Jizera průměrný (57 %). Nadnormální srážky v září se projevily zvýšením odtoku, který byl převážně průměrný nebo podprůměrný (42 až 75 %). Lepší stav odtoku přetrval do října a byl tak převážně průměrný (63 až 110 %), podprůměrný jen v BO horní Vltava, Berounka, Dyje (48 až 58 %). Podobně také v listopadu byl odtok převážně průměrný (67 až 99 %), podprůměrný byl pouze v BO Berounka, Ohře a Bílina (46 až 56 %), naopak v BO Odra a Olše, kde spadlo 149 % srážkového normálu, byl odtok nadprůměrný (136 %). V prosinci ještě v odtoku doznívaly srážkové úhrny z listopadu, takže v BO Odra a Olše, Morava, Dyje, ale také dolní Vltava a Sázava byl odtok průměrný (75 až 95 %), v BO horní Labe, střední Labe a Jizera, dolní Labe podprůměrný (56 až 65 %), ale v BO Berounka, horní Vltava silně podprůměrný (37 až 47 %) a v BO Ohře a Bílina, kde v listopadu spadlo jen 52 % srážek, byl odtok mimořádně podprůměrný (33 %).

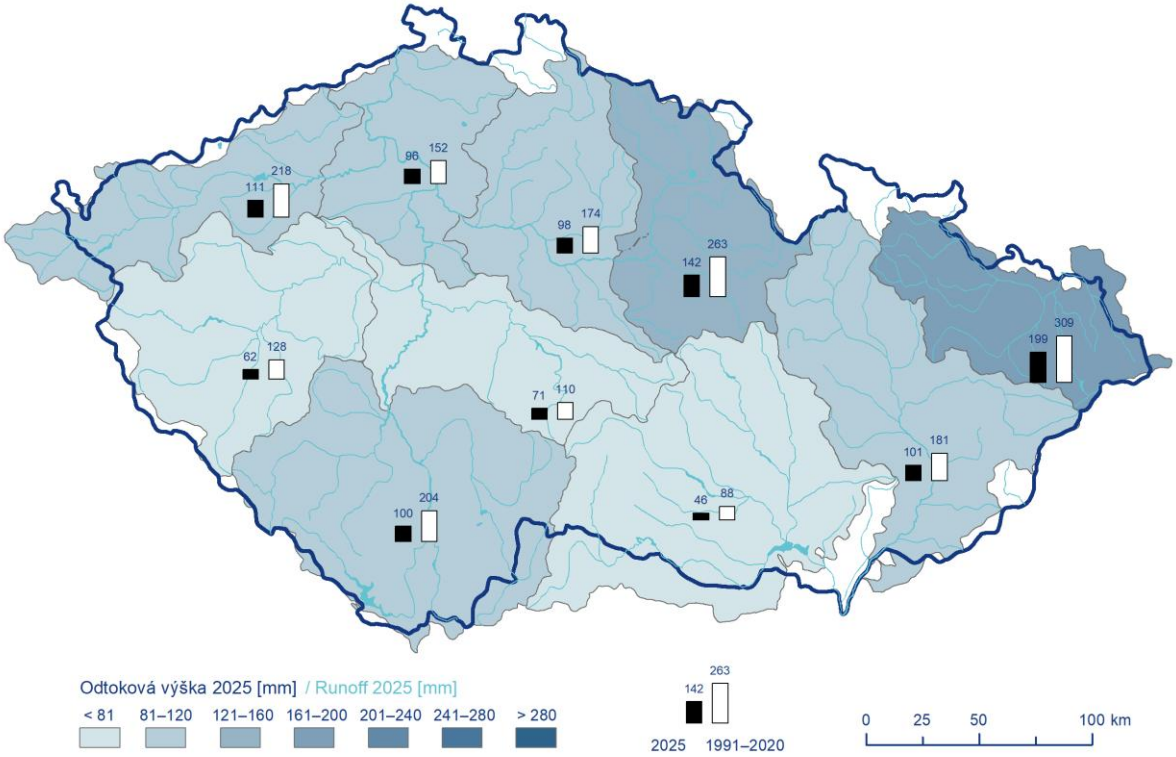
Z hlediska základního odtoku byl rok převážně silně podnormální (54 až 64 %), příp. mírně podnormální (66 až 75 % horní Labe, horní Vltava, Odra a Olše, Dyje). V lednu a únoru byl základní odtok až na výjimky normální (71 až 138 %). Ještě v březnu byl základní odtok převážně normální, mírně podnormální byl v BO střední Labe a Jizera, Berounka, dolní Labe (51 až 65 %) a silně podnormální v BO dolní Vltava a Sázava (37 %), v dubnu již byl převážně mírně podnormální, příp. silně nebo i mimořádně podnormální (40 % střední Labe a Jizera, 20 % dolní Vltava a Sázava). V květnu až srpnu byl základní odtok převážně mírně podnormální (47 až 58 %), v BO dolní Labe, v menší míře také střední Labe a Jizera, dolní Vltava a Sázava, byl i silně podnormální (32 až 42 %), místy ale naopak i normální (zejména horní Vltava, nebo Odra a Olše). V září a říjnu byl základní odtok převážně mírně podnormální (44 až 56 %), normální byl v BO střední Labe a Jizera, dolní Vltava a Sázava, Odra a Olše (57 až 89 %) a v říjnu navíc dolní Labe (65 %). V listopadu byl základní odtok normální (60 až 108 %), pouze v BO horní Vltava, Berounka, Dyje byl mírně podnormální (51 až 57 %). V prosinci převažoval normální základní odtok (66 až 104 %), v BO horní Vltava, Ohře a Bílina, Dyje byl mírně podnormální (55 až 63 %) a v BO Berounka silně podnormální (48 %).

Vyčíslení základního odtoku v BO dolní Vltava a Sázava je ovlivněno manipulacemi na Vltavské kaskádě (základní odtok se počítá z Q_d, pro které nejsou k dispozici data očištěná od vlivu manipulací). Kromě toho je stanovení ovlivněno výpočtem z mezipovodí. Výpočtem z mezipovodí je ovlivněno také vyčíslení základního odtoku v BO dolní Labe.

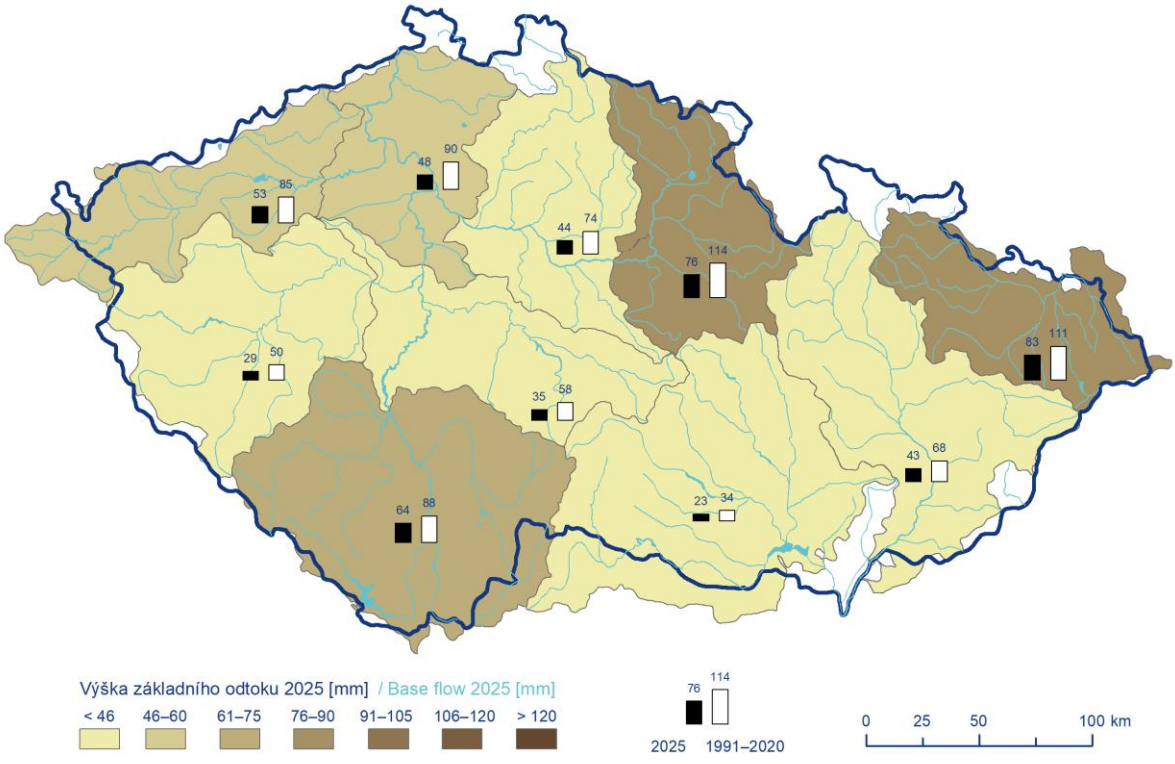
Zásoby podzemní vody se během roku většinou snižovaly, meziročně nejvíce v BO horní Vltava (−36,4 mm), horní Labe (−20,5 mm). Naopak v BO střední Labe a Jizera, dolní Vltava a Sázava, dolní Labe zůstaly zásoby prakticky beze změny. K doplnění zásob podzemní vody docházelo ve větší míře hlavně v listopadu.



Obr. 2.3.3 Výška srážek v roce v bilančních oblastech.



Obr. 2.3.4 Odtoková výška v roce v bilančních oblastech.

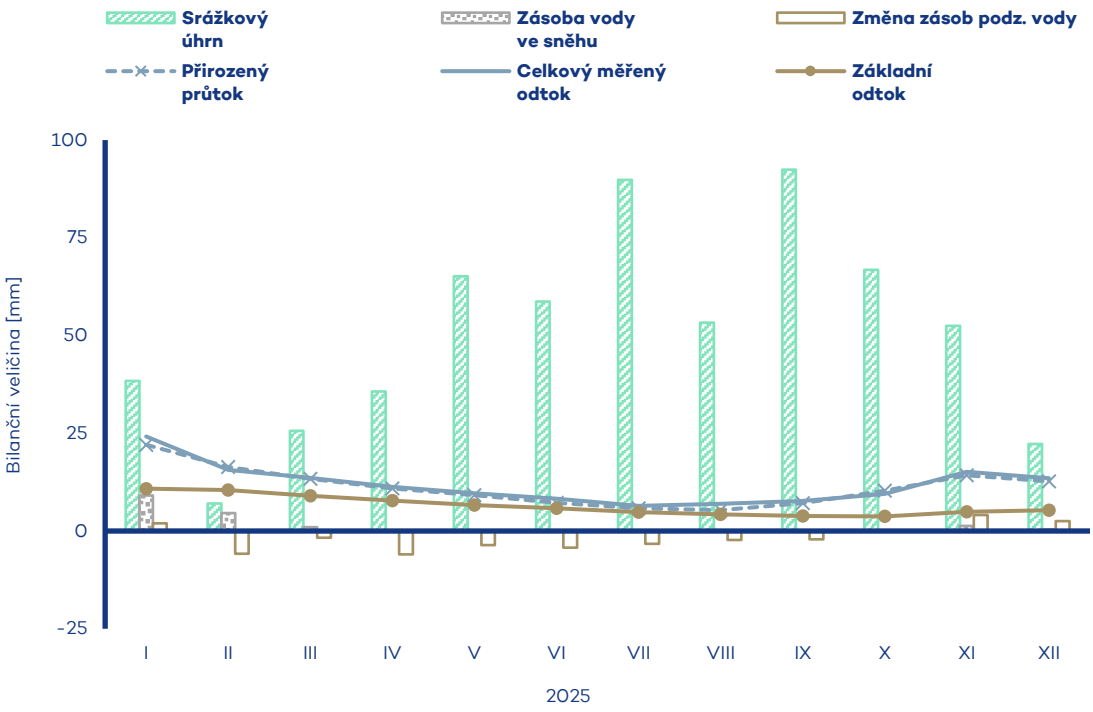


Obr. 2.3.5 Výška základního odtoku v roce v bilančních oblastech.

Oblast 1 – povodí horního Labe

Tok	Bilanční profil	ID stanice	Plocha povodí [km^2]
horní Labe	**Přelouč**	**061000**	6436.43

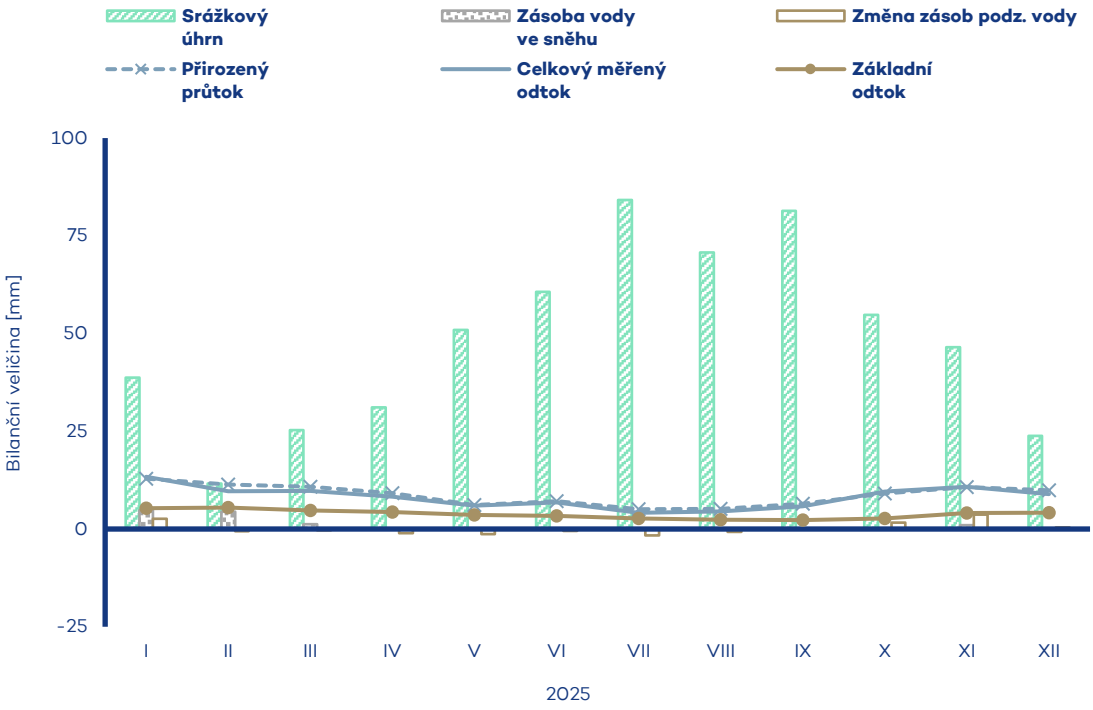
Měsíc	Teplota vzduchu		Srážkový úhrn		Celkový měřený odtok			Základní odtok			Zásoba vody ve sněhu		Změna zásob podz. vody	Přirozený průtok		
	[°C]	[odch.°C]	[mm]	[%norm]	[mm]	[m^3·s^{-1}]	[%norm]	[mm]	[m^3·s^{-1}]	[%norm]	[mm]	[%norm]	[mm]	[mm]	[m^3·s^{-1}]	[%norm]
I	0.1	*1.8*	38.4	*69%*	24.2	58.1	*87%*	10.8	26.0	*123%*	9.1	*37%*	2.0	22.1	58.7	*89%*
II	-1.1	*-0.4*	7.0	*15%*	15.6	41.6	*57%*	10.4	25.1	*100%*	4.6	*15%*	-5.8	16.4	39.4	*54%*
III	5.0	*2.2*	25.6	*47%*	13.6	32.6	*33%*	9.0	21.7	*72%*	1.0	*5%*	-1.7	13.3	32.0	*31%*
IV	10.2	*2.0*	35.7	*91%*	11.3	28.0	*35%*	7.8	18.7	*54%*	0	*0%*	-6.0	10.9	28.9	*35%*
V	10.7	*-2.3*	65.2	*90%*	9.7	23.2	*45%*	6.7	16.0	*53%*	0	*0%*	-3.6	9.1	21.9	*44%*
VI	17.7	*1.4*	58.7	*73%*	8.3	20.5	*53%*	5.8	14.0	*58%*	0	–	-4.3	7.2	19.2	*53%*
VII	17.8	*-0.3*	89.8	*92%*	6.4	15.5	*38%*	4.8	11.6	*54%*	0	–	-3.3	5.8	13.9	*37%*
VIII	17.4	*-0.3*	53.3	*67%*	6.9	16.6	*53%*	4.2	10.2	*52%*	0	–	-2.3	5.3	14.2	*53%*
IX	13.8	*0.8*	92.4	*145%*	7.7	19.2	*53%*	3.9	9.29	*51%*	0	–	-2.1	7.1	17.6	*57%*
X	7.7	*-0.4*	66.8	*125%*	9.5	22.8	*66%*	3.7	8.96	*51%*	0	*0%*	0.0	10.3	24.8	*79%*
XI	2.9	*-0.6*	52.5	*102%*	15.1	37.6	*87%*	4.9	11.7	*66%*	1.3	*68%*	4.1	14.2	37.8	*92%*
XII	1.2	*1.8*	22.3	*39%*	13.5	32.5	*68%*	5.3	12.9	*70%*	0.4	*4%*	2.5	12.7	30.6	*65%*
2025	8.6	*0.5*	607.7	*81%*	141.8	29.0	*54%*	77.4	15.5	*67%*	16.4	*18%*	-20.5	134.5	28.3	*54%*



Oblast 2 – mezipovodí středního Labe a Jizery

Tok	Bilanční profil	ID stanice	Plocha povodí [km^2]
střední Labe a Jizera	**Kostelec nad Labem**	**104400-061000**	6743.37

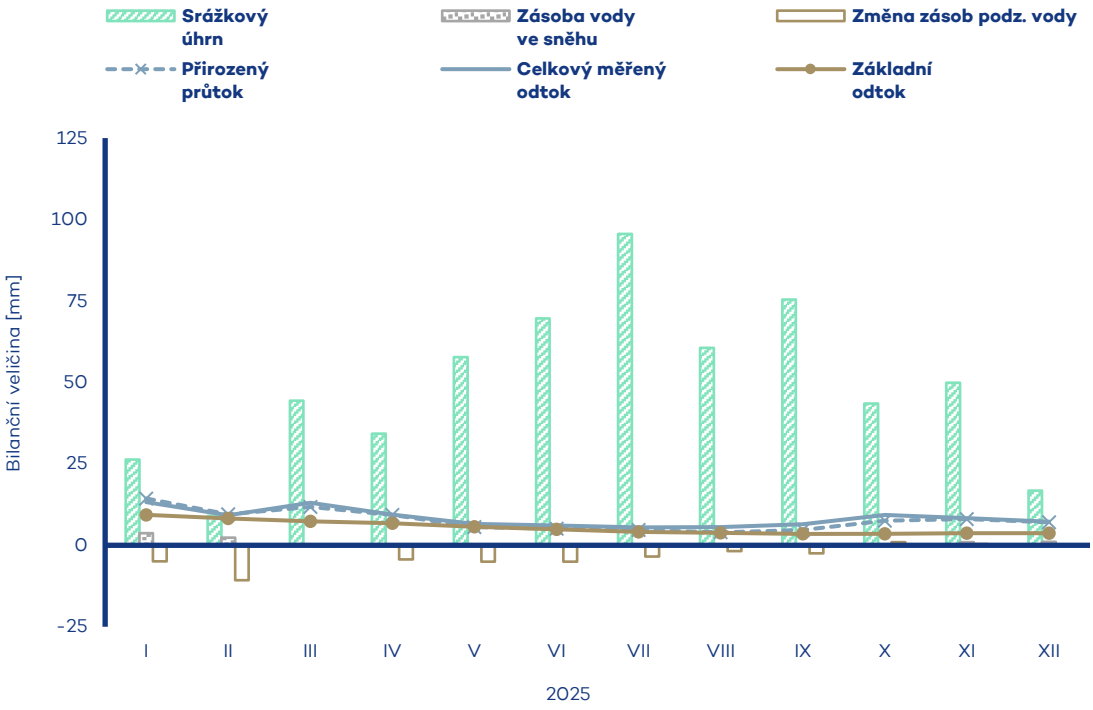
Měsíc	Teplota vzduchu		Srážkový úhrn		Celkový měřený odtok			Základní odtok			Zásoba vody ve sněhu		Změna zásob podz. vody	Přirozený průtok		
	[°C]	[odch.°C]	[mm]	[%norm]	[mm]	[m^3.s^{-1}]	[%norm]	[mm]	[m^3.s^{-1}]	[%norm]	[mm]	[%norm]	[mm]	[mm]	[m^3.s^{-1}]	[%norm]
I	0.8	*1.6*	38.7	*80%*	13.4	33.7	*68%*	5.3	13.5	*85%*	4.8	*28%*	2.6	12.9	35.9	*68%*
II	-0.4	*-0.6*	11.6	*30%*	9.6	26.8	*53%*	5.5	13.8	*71%*	4.4	*21%*	-0.6	11.4	28.7	*53%*
III	5.5	*1.7*	25.3	*54%*	9.7	24.5	*35%*	4.7	11.9	*51%*	1.2	*9%*	-0.3	10.8	27.3	*37%*
IV	11.0	*1.9*	31.1	*92%*	8.2	21.4	*36%*	4.3	10.9	*40%*	0	*0%*	-1.1	9.2	23.2	*37%*
V	11.7	*-2.1*	50.9	*77%*	6.0	15.0	*44%*	3.6	9.12	*42%*	0	*0%*	-1.3	6.2	17.2	*46%*
VI	18.4	*1.3*	60.7	*78%*	6.8	17.6	*64%*	3.4	8.47	*56%*	0	–	-0.5	7.1	19.8	*64%*
VII	18.4	*-0.5*	84.2	*98%*	4.1	10.4	*42%*	2.7	6.72	*53%*	0	–	-1.6	5.1	12.8	*45%*
VIII	18.0	*-0.5*	70.7	*94%*	4.5	11.4	*59%*	2.4	5.94	*56%*	0	–	-0.7	5.2	13.1	*57%*
IX	14.4	*0.7*	81.4	*148%*	5.8	15.1	*65%*	2.3	5.75	*57%*	0	–	-0.2	6.5	16.3	*61%*
X	8.5	*-0.2*	54.8	*114%*	9.6	24.1	*102%*	2.7	6.74	*65%*	0	*0%*	1.6	9.1	25.3	*96%*
XI	3.2	*-0.9*	46.5	*100%*	10.8	28.0	*96%*	4.1	10.2	*91%*	1.0	*67%*	3.7	10.7	29.8	*91%*
XII	1.6	*1.4*	23.8	*47%*	8.9	22.5	*63%*	4.2	10.5	*85%*	0.1	*1%*	0.4	9.9	24.9	*64%*
2025	9.3	*0.3*	579.7	*86%*	97.4	20.9	*56%*	45.1	9.46	*60%*	11.5	*18%*	2.0	104.0	22.8	*56%*



Oblast 3 – povodí horní Vltavy

Tok	Bilanční profil	ID stanice	Plocha povodí [km^2]
horní Vltava	**Orlík-vtok**	**ORLK**	11984.33

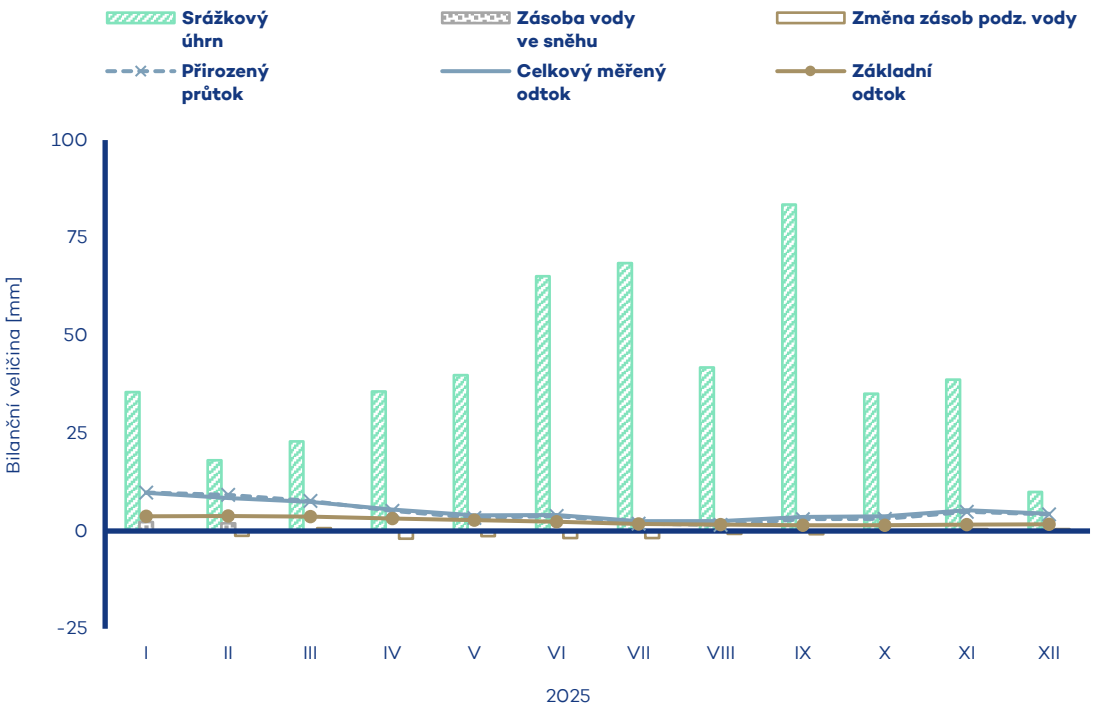
Měsíc	Teplota vzduchu		Srážkový úhrn		Celkový měřený odtok			Základní odtok			Zásoba vody ve sněhu		Změna zásob podz. vody	Přirozený průtok		
	[°C]	[odch.°C]	[mm]	[%norm]	[mm]	[m^3·s^{-1}]	[%norm]	[mm]	[m^3·s^{-1}]	[%norm]	[mm]	[%norm]	[mm]	[mm]	[m^3·s^{-1}]	[%norm]
I	0.0	*1.6*	26.3	*59%*	13.3	59.3	*76%*	9.3	41.8	*138%*	3.7	*20%*	-4.9	14.4	64.3	*82%*
II	-1.0	*-0.3*	9.0	*25%*	9.2	45.5	*55%*	8.2	36.7	*116%*	2.3	*10%*	-10.7	9.5	42.4	*50%*
III	4.2	*1.4*	44.4	*89%*	13.1	58.4	*46%*	7.4	33.0	*92%*	0.1	*1%*	-0.3	11.8	58.5	*43%*
IV	9.6	*1.9*	34.3	*84%*	9.5	43.7	*40%*	6.8	30.4	*73%*	0	*0%*	-4.3	9.3	46.0	*40%*
V	10.8	*-1.6*	57.8	*75%*	6.6	29.4	*39%*	5.7	25.4	*64%*	0	–	-5.0	5.5	27.4	*36%*
VI	17.9	*1.9*	69.6	*74%*	6.1	28.1	*35%*	4.9	22.1	*61%*	0	–	-5.0	5.1	22.8	*29%*
VII	17.1	*-0.5*	95.6	*100%*	5.5	24.6	*40%*	4.2	18.6	*56%*	0	–	-3.5	4.7	21.7	*37%*
VIII	17.0	*-0.1*	60.6	*69%*	5.6	25.2	*34%*	3.8	17.2	*54%*	0	–	-1.8	4.0	19.7	*28%*
IX	13.1	*0.8*	75.4	*130%*	6.4	29.7	*55%*	3.5	15.6	*51%*	0	–	-2.5	4.7	21.0	*42%*
X	7.3	*-0.3*	43.5	*85%*	9.4	41.9	*62%*	3.6	15.9	*51%*	0	*0%*	1.0	7.6	37.4	*58%*
XI	2.0	*-0.9*	49.9	*115%*	8.4	38.6	*62%*	3.7	16.8	*54%*	1.0	*53%*	0.4	8.1	40.0	*67%*
XII	0.3	*1.0*	16.8	*38%*	7.2	32.4	*51%*	3.7	16.4	*55%*	1.1	*14%*	0.2	7.0	31.4	*47%*
2025	8.2	*0.4*	583.2	*81%*	100.1	38.1	*49%*	64.8	24.2	*72%*	8.2	*12%*	-36.4	91.6	36.1	*46%*



Oblast 4 – povodí Berounky

Tok	Bilanční profil	ID stanice	Plocha povodí [km^2]
Berounka	**Beroun**	**198000**	8284.96

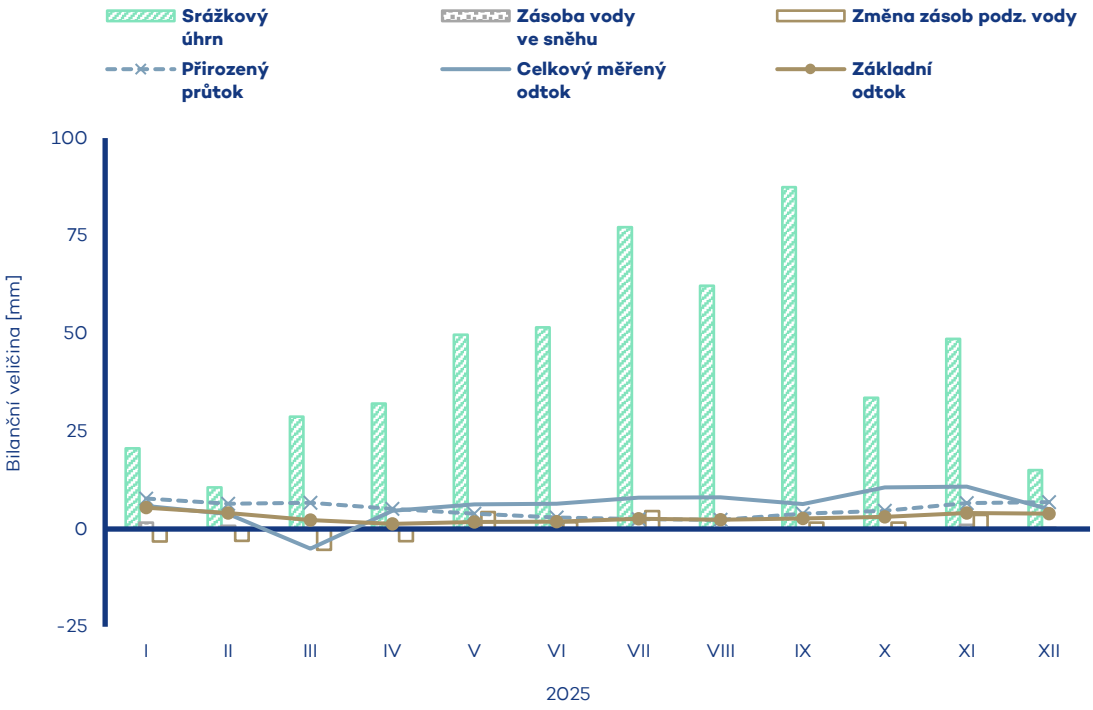
Měsíc	Teplota vzduchu		Srážkový úhrn		Celkový měřený odtok			Základní odtok			Zásoba vody ve sněhu		Změna zásob podz. vody	Přirozený průtok		
	[°C]	[odch.°C]	[mm]	[%norm]	[mm]	[m^3.s^{-1}]	[%norm]	[mm]	[m^3.s^{-1}]	[%norm]	[mm]	[%norm]	[mm]	[mm]	[m^3.s^{-1}]	[%norm]
I	0.3	*1.4*	35.5	*93%*	9.8	30.2	*62%*	3.8	11.7	*86%*	2.3	*25%*	-0.1	9.8	33.7	*69%*
II	-1.0	*-0.8*	18.1	*58%*	8.4	28.9	*61%*	3.8	11.9	*77%*	2.0	*19%*	-1.2	9.2	28.6	*59%*
III	4.7	*1.3*	22.9	*57%*	7.5	23.1	*39%*	3.6	11.3	*65%*	0	*0%*	0.7	7.7	23.8	*39%*
IV	10.1	*1.8*	35.7	*99%*	5.5	17.5	*44%*	3.2	9.97	*54%*	0	*0%*	-2.0	5.2	17.8	*44%*
V	11.6	*-1.3*	39.9	*63%*	4.0	12.4	*45%*	2.8	8.57	*56%*	0	–	-1.3	3.4	11.5	*42%*
VI	18.2	*1.8*	65.2	*83%*	4.1	13.1	*42%*	2.4	7.36	*54%*	0	–	-1.8	3.9	11.9	*39%*
VII	17.7	*-0.5*	68.5	*86%*	2.5	7.79	*40%*	1.8	5.64	*51%*	0	–	-1.8	1.9	5.79	*30%*
VIII	17.3	*-0.3*	41.8	*56%*	2.5	7.81	*33%*	1.6	5.09	*48%*	0	–	-0.7	1.6	5.33	*23%*
IX	13.5	*0.6*	83.5	*169%*	3.6	11.4	*61%*	1.5	4.59	*45%*	0	–	-0.8	3.1	9.45	*54%*
X	7.9	*0.0*	35.1	*77%*	3.7	11.5	*50%*	1.5	4.58	*48%*	0	–	0.2	3.1	10.7	*48%*
XI	2.3	*-0.9*	38.7	*96%*	5.3	17.0	*54%*	1.7	5.16	*51%*	0.5	*63%*	0.5	4.9	16.8	*56%*
XII	0.8	*0.9*	10.0	*24%*	4.4	13.6	*38%*	1.8	5.43	*48%*	0.2	*5%*	0.5	4.3	13.3	*37%*
2025	8.6	*0.3*	494.9	*80%*	61.3	16.2	*48%*	29.5	7.60	*58%*	5.0	*17%*	-7.8	58.0	15.7	*47%*



Oblast 5 – mezipovodí dolní Vltavy a Sázavy

Tok	Bilanční profil	ID stanice	Plocha povodí [km^2]
dolní Vltava a Sázava	**Praha-Chuchle**	**200100-198000-ORLK**	6459.44

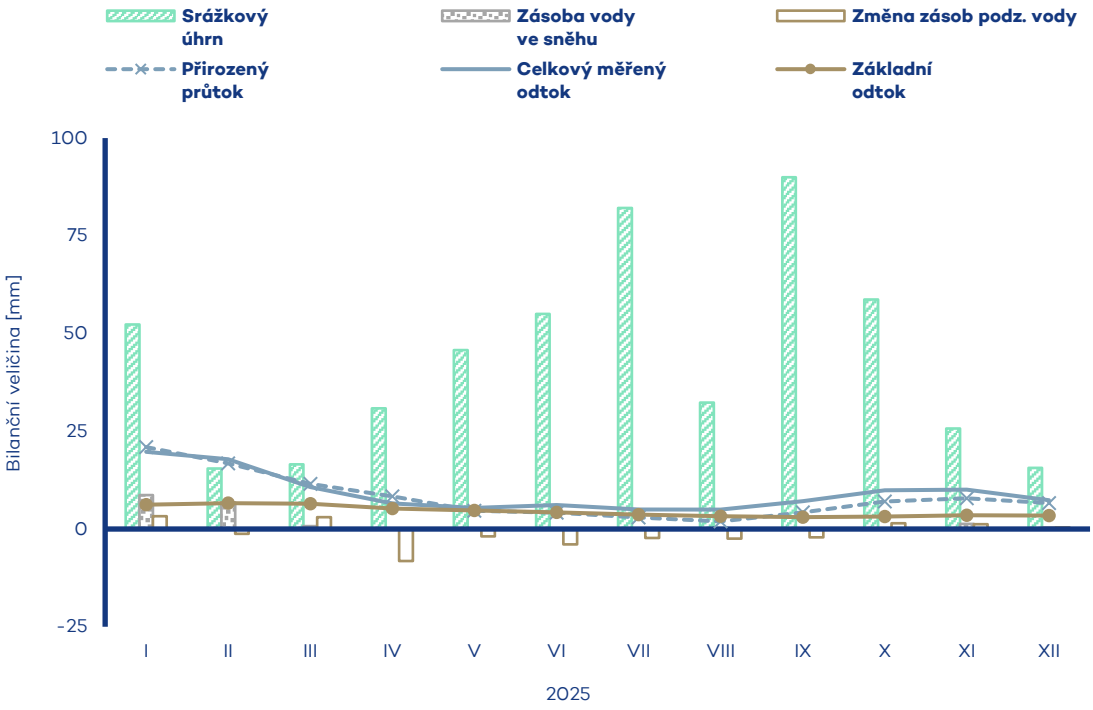
Měsíc	Teplota vzduchu		Srážkový úhrn		Celkový měřený odtok			Základní odtok			Zásoba vody ve sněhu		Změna zásob podz. vody	Přirozený průtok		
	[°C]	[odch.°C]	[mm]	[%norm]	[mm]	[m^3·s^{-1}]	[%norm]	[mm]	[m^3·s^{-1}]	[%norm]	[mm]	[%norm]	[mm]	[mm]	[m^3·s^{-1}]	[%norm]
I	0.4	*1.5*	20.6	*51%*	5.9	14.3	*46%*	5.5	13.2	*127%*	1.6	*13%*	-3.2	7.8	18.8	*66%*
II	-0.8	*-0.5*	10.6	*33%*	3.9	10.3	*28%*	4.1	9.87	*76%*	0.8	*6%*	-3.0	6.5	15.6	*42%*
III	5.1	*1.7*	28.7	*65%*	-5.0	-12.1	*-47%*	2.3	5.57	*37%*	0	*0%*	-5.3	6.7	16.2	*33%*
IV	10.3	*1.8*	32.1	*93%*	4.6	11.6	*42%*	1.3	3.17	*20%*	0	*0%*	-3.1	5.2	13.8	*38%*
V	11.2	*-1.9*	49.7	*72%*	6.3	15.2	*94%*	1.8	4.41	*32%*	0	–	4.3	4.0	10.6	*54%*
VI	18.1	*1.6*	51.6	*64%*	6.5	16.1	*77%*	1.9	4.51	*36%*	0	–	1.7	2.9	7.84	*35%*
VII	18.0	*-0.3*	77.2	*88%*	8.0	19.3	*102%*	2.6	6.24	*53%*	0	–	4.6	2.5	6.13	*33%*
VIII	17.8	*-0.2*	62.2	*79%*	8.1	19.5	*75%*	2.4	5.80	*47%*	0	–	0.1	2.3	5.64	*31%*
IX	13.8	*0.6*	87.4	*167%*	6.3	15.8	*97%*	2.7	6.54	*64%*	0	–	1.6	4.0	9.55	*68%*
X	8.0	*-0.2*	33.6	*76%*	10.7	25.8	*194%*	3.1	7.46	*89%*	0	*0%*	1.6	4.7	12.5	*72%*
XI	2.5	*-1.0*	48.6	*122%*	10.8	27.0	*118%*	4.1	9.88	*108%*	1.1	*100%*	3.6	6.6	17.7	*98%*
XII	1.0	*1.2*	15.1	*38%*	5.1	12.2	*80%*	3.9	9.42	*104%*	0.3	*7%*	-0.2	6.9	16.5	*79%*
2025	8.8	*0.4*	517.4	*80%*	71.2	14.6	*65%*	35.7	7.17	*61%*	3.8	*10%*	2.7	60.1	12.6	*50%*



Oblast 6 – povodí Ohře a Bíliny

Tok	Bilanční profil	ID stanice	Plocha povodí [km^2]
Ohře a Bílina	**Louny a Trmice**	**219000+226000**	5762.40

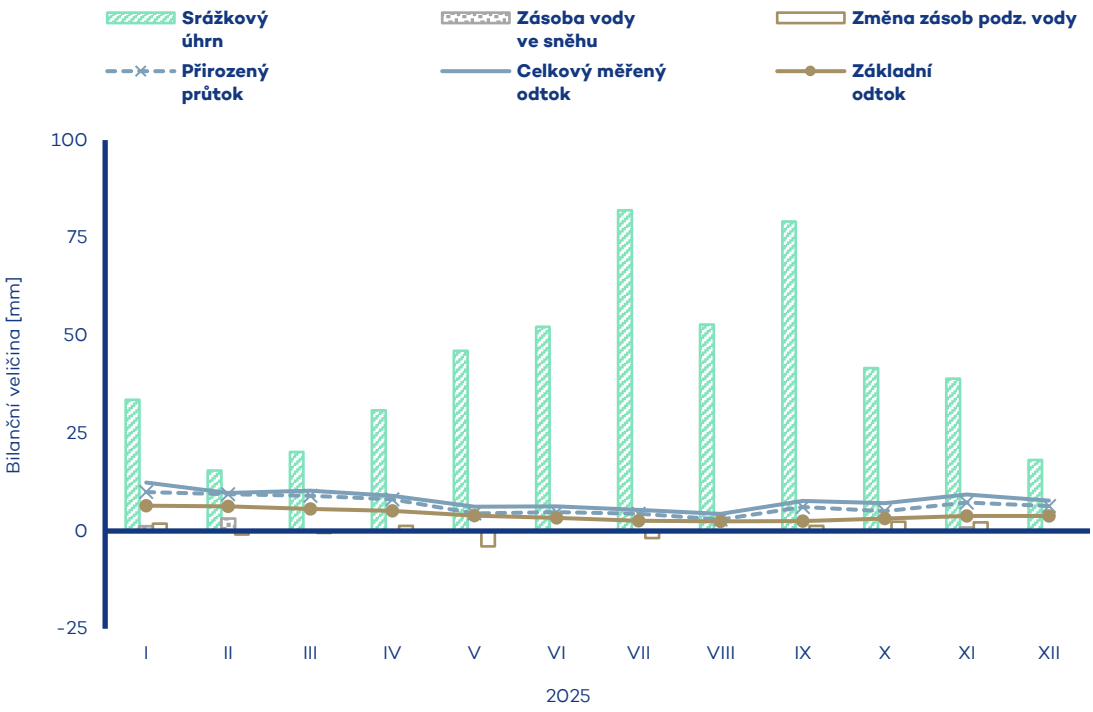
Měsíc	Teplota vzduchu		Srážkový úhrn		Celkový měřený odtok			Základní odtok			Zásoba vody ve sněhu		Změna zásob podz. vody	Přirozený průtok		
	[°C]	[odch.°C]	[mm]	[%norm]	[mm]	[m^3.s^{-1}]	[%norm]	[mm]	[m^3.s^{-1}]	[%norm]	[mm]	[%norm]	[mm]	[mm]	[m^3.s^{-1}]	[%norm]
I	0.0	*1.4*	52.3	*107%*	19.7	42.5	*71%*	6.2	13.3	*87%*	8.7	*49%*	3.3	21.0	49.9	*83%*
II	-1.8	*-1.2*	15.5	*41%*	17.8	42.5	*71%*	6.6	14.2	*81%*	6.8	*31%*	-1.2	16.8	36.1	*61%*
III	4.5	*1.6*	16.5	*36%*	10.7	23.1	*32%*	6.5	14.0	*71%*	0.7	*6%*	3.0	11.6	24.9	*32%*
IV	9.7	*1.9*	30.9	*86%*	6.5	14.5	*27%*	5.3	11.3	*54%*	0	*0%*	-8.2	8.4	18.0	*34%*
V	11.4	*-0.9*	45.8	*74%*	5.4	11.5	*38%*	4.8	10.2	*54%*	0	–	-1.9	4.7	11.2	*40%*
VI	17.7	*2.0*	55.0	*75%*	6.1	13.6	*47%*	4.2	9.14	*54%*	0	–	-3.9	4.1	9.86	*38%*
VII	17.1	*-0.5*	82.1	*103%*	5.0	10.8	*51%*	3.7	7.99	*56%*	0	–	-2.3	2.9	6.31	*34%*
VIII	16.9	*-0.1*	32.3	*44%*	5.0	10.7	*47%*	3.3	7.07	*53%*	0	–	-2.5	1.9	4.61	*26%*
IX	13.2	*0.9*	90.0	*155%*	7.1	15.8	*69%*	3.0	6.52	*52%*	0	–	-2.1	4.2	9.11	*47%*
X	7.6	*0.1*	58.7	*118%*	9.9	21.3	*75%*	3.2	6.84	*56%*	0	*0%*	1.5	7.0	16.7	*70%*
XI	2.2	*-0.7*	25.7	*52%*	10.1	22.3	*60%*	3.5	7.48	*60%*	1.3	*76%*	1.2	7.8	16.9	*46%*
XII	0.9	*1.3*	15.6	*29%*	7.4	15.8	*37%*	3.4	7.38	*56%*	0.4	*5%*	0.4	6.6	14.3	*33%*
2025	8.3	*0.5*	520.4	*78%*	110.7	20.4	*51%*	53.7	9.62	*62%*	17.9	*28%*	-12.7	97.1	18.2	*47%*



Oblast 7 – mezipovodí dolního Labe

Tok	Bilanční profil	ID stanice	Plocha povodí [km^2]
dolní Labe	**Hřensko**	**245000-226000-219000-200100-104400**	5590.84

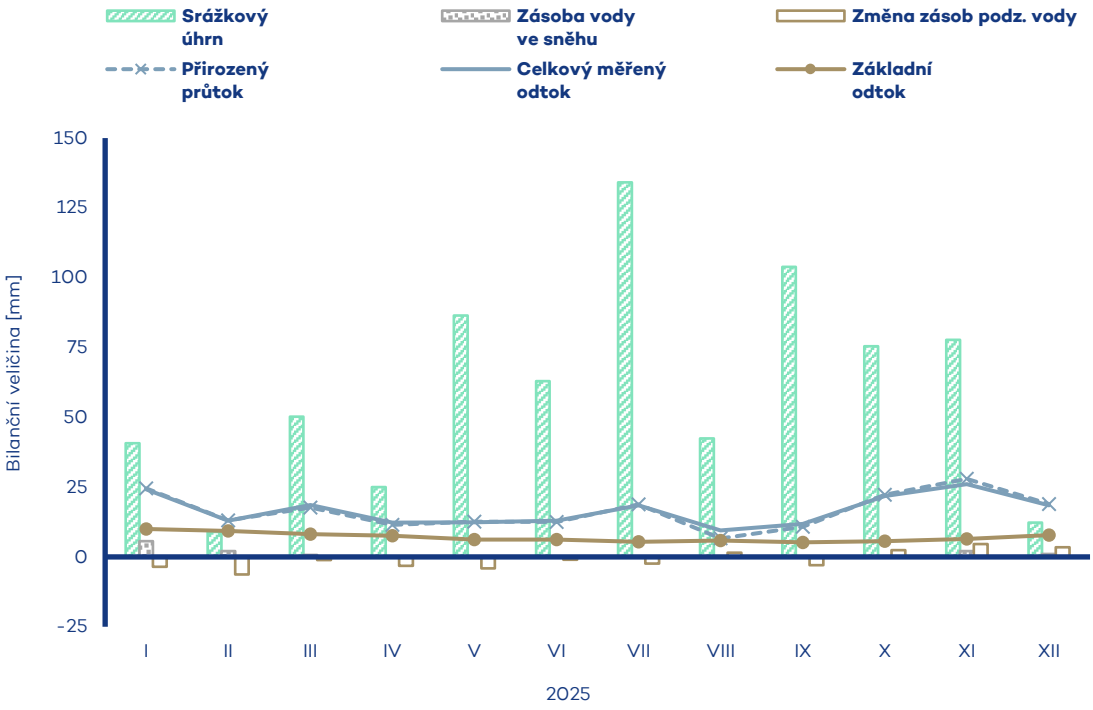
Měsíc	Teplota vzduchu		Srážkový úhrn		Celkový měřený odtok			Základní odtok			Zásoba vody ve sněhu		Změna zásob podz. vody	Přirozený průtok		
	[°C]	[odch.°C]	[mm]	[%norm]	[mm]	[m^3·s^{-1}]	[%norm]	[mm]	[m^3·s^{-1}]	[%norm]	[mm]	[%norm]	[mm]	[mm]	[m^3·s^{-1}]	[%norm]
I	0.9	*1.4*	33.6	*89%*	12.4	25.9	*79%*	6.5	13.5	*93%*	1.2	*15%*	1.9	10.0	23.0	*77%*
II	-0.7	*-1.3*	15.5	*50%*	9.7	22.5	*61%*	6.3	13.1	*74%*	3.2	*43%*	-0.9	9.4	19.7	*59%*
III	5.3	*1.2*	20.2	*52%*	10.3	21.6	*59%*	5.7	11.9	*61%*	0	*0%*	-0.5	9.0	18.8	*56%*
IV	11.0	*1.7*	30.9	*101%*	9.0	19.5	*53%*	5.1	10.8	*48%*	0	*0%*	1.3	8.1	16.9	*50%*
V	12.1	*-1.7*	46.1	*76%*	6.2	13.0	*51%*	3.9	8.13	*38%*	0	–	-3.9	4.5	10.5	*46%*
VI	18.7	*1.5*	52.2	*71%*	6.3	13.7	*56%*	3.3	6.93	*33%*	0	–	0.0	4.8	11.2	*52%*
VII	18.5	*-0.5*	82.0	*104%*	5.4	11.3	*53%*	2.6	5.50	*34%*	0	–	-1.8	4.4	9.18	*49%*
VIII	18.0	*-0.5*	52.8	*70%*	4.4	9.16	*46%*	2.5	5.17	*37%*	0	–	-0.2	3.0	6.82	*40%*
IX	14.4	*0.7*	79.2	*157%*	7.7	16.7	*83%*	2.6	5.35	*44%*	0	–	1.3	6.1	12.7	*75%*
X	8.9	*0.1*	41.7	*95%*	7.1	14.9	*74%*	3.2	6.60	*65%*	0	–	2.4	5.1	11.7	*71%*
XI	3.2	*-0.9*	39.0	*96%*	9.3	20.2	*86%*	3.8	8.03	*78%*	0.9	*129%*	2.2	7.3	16.8	*83%*
XII	1.6	*1.1*	18.2	*44%*	7.8	16.3	*61%*	3.8	7.96	*66%*	0.1	*3%*	-0.1	6.4	13.4	*56%*
2025	9.3	*0.2*	511.4	*85%*	95.9	17.0	*63%*	49.3	8.57	*54%*	5.4	*24%*	1.7	78.1	14.2	*59%*



Oblast 8 – povodí Odry a Olše

Tok	Bilanční profil	ID stanice	Plocha povodí [km^2]
Odra a Olše	**Bohumín a Věřňovice**	**294000+303000**	5738.80

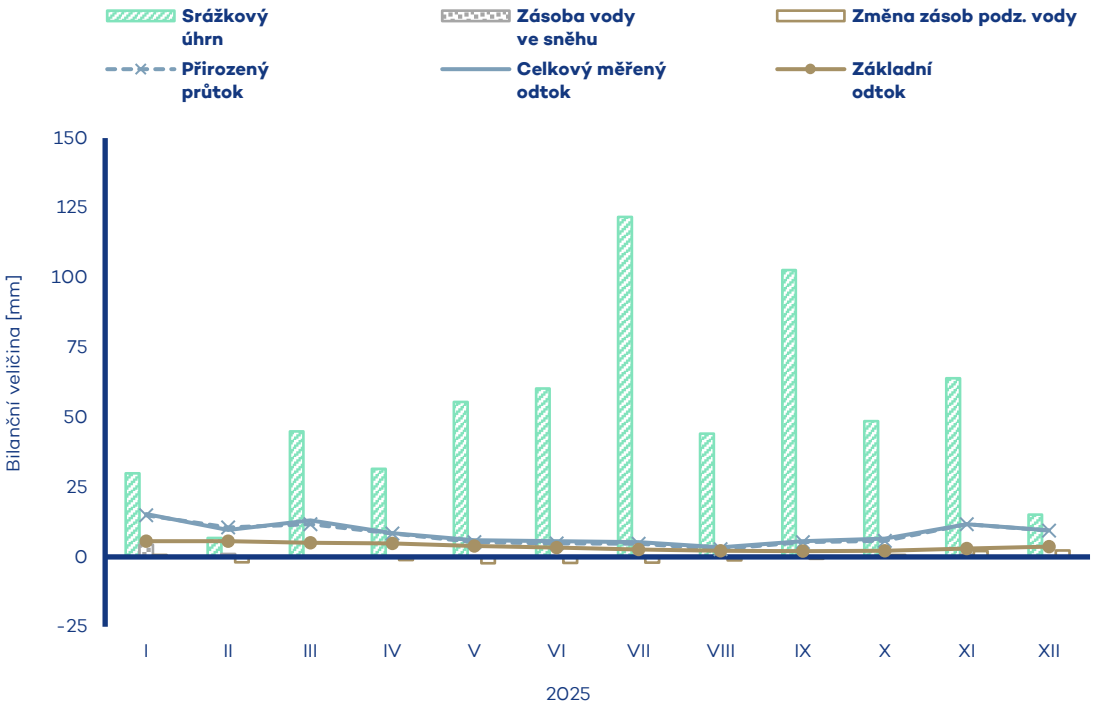
Měsíc	Teplota vzduchu		Srážkový úhrn		Celkový měřený odtok			Základní odtok			Zásoba vody ve sněhu		Změna zásob podz. vody	Přirozený průtok		
	[°C]	[odch.°C]	[mm]	[%norm]	[mm]	[m^3.s^{-1}]	[%norm]	[mm]	[m^3.s^{-1}]	[%norm]	[mm]	[%norm]	[mm]	[mm]	[m^3.s^{-1}]	[%norm]
I	1.1	*2.9*	40.7	*91%*	24.2	51.9	*106%*	10.0	21.4	*127%*	5.6	*26%*	-3.5	24.6	58.2	*114%*
II	-1.0	*-0.4*	9.0	*21%*	13.0	30.8	*52%*	9.3	19.9	*109%*	2.1	*8%*	-6.3	13.1	28.1	*45%*
III	5.5	*2.8*	50.2	*97%*	18.6	39.8	*45%*	8.1	17.4	*80%*	0.7	*4%*	-1.1	17.7	41.9	*44%*
IV	10.1	*1.9*	25.0	*47%*	12.3	27.1	*34%*	7.6	16.2	*62%*	0	*0%*	-3.2	11.5	24.7	*29%*
V	10.4	*-2.4*	86.5	*94%*	12.4	26.5	*39%*	6.2	13.4	*53%*	0	–	-4.1	12.7	27.2	*41%*
VI	17.8	*1.5*	63.0	*63%*	13.0	28.8	*52%*	6.2	13.3	*58%*	0	–	-1.0	12.5	26.7	*48%*
VII	17.9	*-0.2*	134.1	*121%*	18.5	39.7	*64%*	5.4	11.6	*55%*	0	–	-2.4	18.8	40.3	*65%*
VIII	17.7	*0.0*	42.4	*51%*	9.5	20.3	*56%*	5.9	12.5	*68%*	0	–	1.5	6.6	15.7	*45%*
IX	14.2	*1.3*	103.9	*124%*	11.8	26.1	*54%*	5.2	11.2	*61%*	0	–	-3.0	10.8	23.8	*50%*
X	7.7	*-0.6*	75.4	*123%*	21.8	46.6	*104%*	5.7	12.2	*65%*	0	*0%*	2.4	22.3	47.7	*110%*
XI	3.1	*-0.7*	77.7	*149%*	26.1	57.7	*136%*	6.5	15.3	*85%*	2.1	*105%*	4.6	28.0	59.9	*136%*
XII	1.4	*2.1*	12.3	*26%*	18.4	39.5	*98%*	7.8	16.8	*99%*	1.1	*12%*	3.5	18.9	40.6	*95%*
2025	8.8	*0.7*	720.2	*88%*	199.5	36.2	*65%*	83.9	15.1	*75%*	11.6	*14%*	-12.6	197.3	36.2	*63%*



Oblast 9 – povodí Moravy

Tok	Bilanční profil	ID stanice	Plocha povodí [km^2]
Morava	**Lanžhot**	**426000**	9726.22

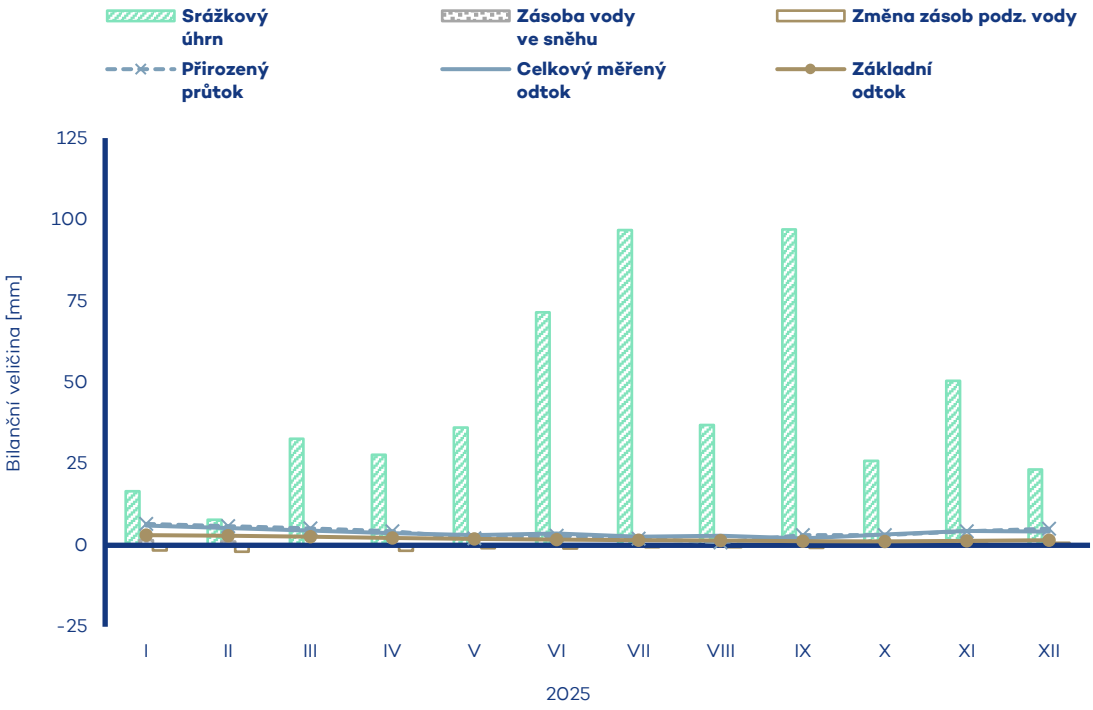
Měsíc	Teplota vzduchu		Srážkový úhrn		Celkový měřený odtok			Základní odtok			Zásoba vody ve sněhu		Změna zásob podz. vody	Přirozený průtok		
	[°C]	[odch.°C]	[mm]	[%norm]	[mm]	[m3·s-1]	[m^3·s^{-1}]	[mm]	[m3·s-1]	[m^3·s^{-1}]	[mm]	[%norm]	[mm]	[mm]	[m^3·s^{-1}]	[%norm]
I	0.5	*2.3*	29.9	*69%*	15.4	55.8	*94%*	5.6	20.5	*114%*	4.4	*24%*	0.7	14.9	54.1	*90%*
II	-0.8	*-0.5*	6.8	*17%*	9.7	38.8	*53%*	5.6	20.3	*95%*	1.1	*5%*	-1.9	10.5	38.2	*52%*
III	5.7	*2.5*	44.9	*98%*	13.1	47.6	*44%*	5.1	18.4	*66%*	0.3	*3%*	0.1	11.7	46.9	*43%*
IV	10.5	*1.6*	31.5	*74%*	8.5	31.8	*35%*	4.9	17.6	*52%*	0	*0%*	-1.1	8.3	30.3	*33%*
V	11.0	*-2.4*	55.5	*76%*	6.0	21.7	*35%*	4.0	14.4	*48%*	0	–	-2.3	5.3	21.3	*34%*
VI	18.2	*1.2*	60.3	*74%*	5.6	21.1	*46%*	3.4	12.3	*51%*	0	–	-2.2	4.9	19.6	*42%*
VII	18.4	*-0.4*	121.7	*134%*	5.3	19.2	*41%*	2.6	9.46	*50%*	0	–	-2.0	4.7	17.7	*37%*
VIII	18.1	*-0.3*	44.1	*61%*	3.4	12.5	*45%*	2.2	8.08	*51%*	0	–	-1.2	2.8	11.3	*39%*
IX	14.5	*1.0*	102.7	*153%*	5.6	21.1	*63%*	2.1	7.50	*51%*	0	–	-0.7	5.3	19.7	*57%*
X	8.0	*-0.5*	48.6	*94%*	6.6	24.0	*67%*	2.2	8.11	*55%*	0	*0%*	0.7	5.8	23.3	*63%*
XI	3.2	*-0.8*	64.0	*135%*	11.8	44.1	*106%*	3.0	10.9	*71%*	0.8	*73%*	2.1	11.7	42.3	*99%*
XII	1.5	*2.0*	15.1	*32%*	9.5	34.5	*78%*	3.6	13.2	*83%*	0.2	*3%*	2.3	9.5	34.3	*75%*
2025	9.1	*0.5*	625.1	*89%*	100.4	31.0	*56%*	44.3	13.4	*64%*	6.8	*11%*	-5.5	95.3	29.9	*53%*



Oblast 10 – povodí Dyje

Tok	Bilanční profil	ID stanice	Plocha povodí [km^2]
Dyje	**Ladná**	**480500**	12285.42

Měsíc	Teplota vzduchu		Srážkový úhrn		Celkový měřený odtok			Základní odtok			Zásoba vody ve sněhu		Změna zásob podz. vody	Přirozený průtok		
	[°C]	[odch.°C]	[mm]	[%norm]	[mm]	[m^3·s^{-1}]	[%norm]	[mm]	[m^3·s^{-1}]	[%norm]	[mm]	[%norm]	[mm]	[mm]	[m^3·s^{-1}]	[%norm]
I	-0.2	*1.3*	16.6	*49%*	6.1	27.8	*79%*	3.1	14.3	*128%*	1.6	*13%*	-1.6	6.6	30.1	*78%*
II	-0.8	*-0.6*	7.8	*29%*	5.3	26.9	*63%*	2.9	13.4	*106%*	1.2	*9%*	-2.0	5.9	26.9	*56%*
III	5.8	*2.2*	32.7	*84%*	4.5	20.7	*34%*	2.6	11.9	*79%*	0	*0%*	-0.1	5.2	26.3	*35%*
IV	10.8	*1.7*	27.8	*81%*	3.7	17.4	*32%*	2.3	10.4	*56%*	0	*0%*	-1.7	4.3	19.7	*36%*
V	11.8	*-1.8*	36.1	*56%*	3.1	14.2	*43%*	2.0	9.03	*53%*	0	–	-0.9	2.2	10.9	*34%*
VI	18.7	*1.5*	71.5	*96%*	3.6	17.0	*57%*	1.8	8.23	*55%*	0	–	-1.0	2.9	13.4	*47%*
VII	18.7	*-0.4*	96.8	*121%*	2.7	12.3	*46%*	1.6	7.32	*55%*	0	–	-0.6	2.1	9.90	*40%*
VIII	18.6	*-0.1*	36.9	*53%*	2.9	13.4	*55%*	1.4	6.61	*54%*	0	–	-0.6	0.9	4.63	*22%*
IX	14.5	*0.9*	97.0	*172%*	2.1	10.0	*44%*	1.3	5.90	*52%*	0	–	-0.8	3.1	14.9	*71%*
X	8.1	*-0.4*	25.9	*63%*	3.4	15.4	*57%*	1.2	5.54	*50%*	0	–	-0.2	3.1	14.3	*57%*
XI	2.8	*-0.9*	50.5	*132%*	4.4	21.0	*76%*	1.4	6.29	*57%*	0.9	*100%*	0.5	4.3	21.7	*82%*
XII	1.0	*1.6*	23.3	*66%*	4.3	19.5	*71%*	1.5	6.92	*63%*	0.2	*4%*	0.8	5.1	23.4	*78%*
2025	9.2	*0.4*	522.9	*88%*	46.0	18.0	*52%*	23.1	8.82	*66%*	3.9	*10%*	-8.2	45.6	18.0	*51%*



2.4 Bilance množství vody v dílčích povodích

Charakteristiky srážek, teploty vzduchu a vodní hodnoty sněhu jsou vyčísleny pro celá dílčí povodí a za účelem popisu regionálních odchylek také pro jednotlivá povodí dílčích povodí. Vymezení těchto povodí je znázorněno na **Obr. 2.4.0.**



Obr. 2.4.0 Rozvodnice jednotlivých povodí dílčích povodí pro vyčíslení charakteristik srážek, teploty vzduchu, vodní hodnoty sněhu a podzemních vod.

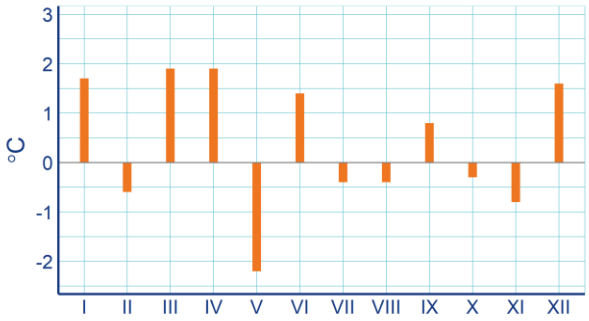
Dílčí povodí Horní a střední Labe

Teplota vzduchu

Průměrná roční teplota vzduchu byla +9,0 °C, odchylka od normálu tak činila +0,4 °C (v jednotlivých povodích +0,2 až +0,6 °C). Rok tedy byl teplotně normální. Nejvyšší průměrná měsíční teplota vzduchu byla zaznamenána v červnu na stanici Pardubice (+20,0 °C) a nejnižší průměrná měsíční teplota vzduchu byla naměřena v lednu na stanici Sněžka (−6,2 °C). Nejvyšší maximální denní teplota vzduchu (+36,3 °C) byla zaznamenána 15. 8. na stanici Borohrádek. Naopak nejnižší minimální denní teplota vzduchu (−30,8 °C) byla naměřena 18. 2. na stanici Kořenov, Jizerka.

Tab. 2.4.1 Průměrná teplota vzduchu (°C) v dílčím povodí a její odchylka od dlouhodobého normálu.

	I	II	III	IV	V	VI	VII	VIII	IX	X	XI	XII	2025
(°C)	0,5	−0,7	5,3	10,7	11,3	18,2	18,2	17,8	14,2	8,2	3,1	1,4	9,0
odchylka (°C)	1,7	−0,6	1,9	1,9	−2,2	1,4	−0,4	−0,4	0,8	−0,3	−0,8	1,6	0,4



Obr. 2.4.1 Odchylka průměrné teploty vzduchu (°C) v dílčím povodí od dlouhodobého normálu.

Leden byl teplotně nadnormální (odchylka +1,6 až +1,9 °C), únor byl normální a březen a duben byly opět nadnormální (+1,6 až +2,4 °C). Následoval podnormální až silně podnormální květen (–2,0 až –2,7 °C). Červen byl převážně teplotně nadnormální (+1,1 až +1,6 °C). Období od července do listopadu bylo teplotně normální a závěr roku byl převážně teplotně nadnormální (+1,2 až +2,0 °C).

Tab. 2.4.2 Průměrná teplota vzduchu (°C) v povodích dílčího povodí.

	I	II	III	IV	V	VI	VII	VIII	IX	X	XI	XII	2025
horní Labe	−0,3	−1,5	4,5	9,9	10,1	17,1	17,2	16,8	13,2	7,2	2,6	0,9	8,1
Orlice	−0,2	−1,4	4,7	9,9	10,3	17,4	17,6	17,0	13,4	7,5	2,8	0,9	8,3
střední Labe pod Doubravu	0,8	−0,3	5,9	10,9	11,7	18,7	18,6	18,4	14,6	8,5	3,2	1,6	9,4
Jizera	0,0	−1,3	4,4	10,0	10,6	17,3	17,2	16,7	13,4	7,6	2,8	1,2	8,3
střední Labe po Vltavu	1,2	0,1	6,0	11,6	12,4	19,1	19,1	18,7	14,9	9,1	3,5	1,9	9,8

Tab. 2.4.3 Odchylka průměrné teploty vzduchu (°C) v povodích dílčího povodí od dlouhodobého normálu.

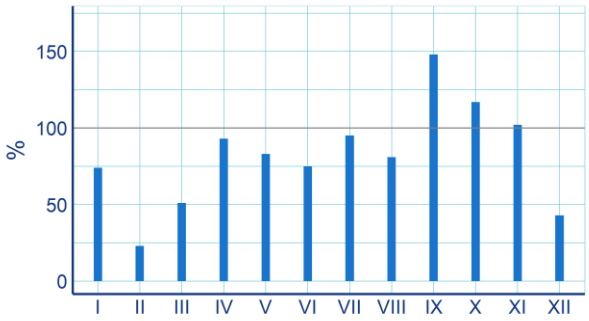
	I	II	III	IV	V	VI	VII	VIII	IX	X	XI	XII	2025
horní Labe	1,9	−0,3	2,4	2,4	−2,3	1,4	−0,3	−0,2	0,9	−0,4	−0,3	2,0	0,6
Orlice	1,7	−0,7	2,0	1,6	−2,7	1,1	−0,5	−0,7	0,5	−0,6	−0,7	1,7	0,2
střední Labe pod Doubravu	1,8	−0,4	2,2	1,9	−2,0	1,6	−0,2	−0,1	0,9	−0,3	−0,9	1,6	0,5
Jizera	1,6	−0,7	1,6	2,0	−2,2	1,3	−0,7	−0,7	0,7	−0,4	−0,6	1,7	0,3
střední Labe po Vltavu	1,6	−0,7	1,6	1,8	−2,0	1,4	−0,4	−0,4	0,7	−0,1	−1,0	1,2	0,3

Srážky

Průměrný roční úhrn srážek činil 586 mm, což představuje 84 % normálu (v jednotlivých povodích 76 až 89 %). Rok jako celek tedy byl srážkově podnormální. Nejvyšší roční srážkový úhrn byl zaznamenán na stanici Rokytnice nad Jizerou, Dvoračky (1 429 mm), nejnižší na stanici Mokošín (419 mm). Nejvyšší měsíční úhrn srážek byl zaznamenán v říjnu na stanici Labská bouda (311 mm). Nejsušším měsícem byl únor na stanici Svratouch (2,2 mm). Nejvyšší denní úhrn srážek (86 mm) spadl 10. 9. na stanici Strážné.

Tab. 2.4.4 Průměrný úhrn srážek (mm) v dílčím povodí a jeho poměr k dlouhodobému normálu (%).

	I	II	III	IV	V	VI	VII	VIII	IX	X	XI	XII	2025
(mm)	38	10	25	33	56	59	86	62	86	58	49	23	586
(%)	74	23	51	93	83	75	95	81	148	117	102	43	84



Obr. 2.4.2 Průměrný úhrn srážek v dílčím povodí v % dlouhodobého normálu.

Leden byl srážkově normální až podnormální (56 až 90 %), únor byl srážkově podnormální až silně podnormální, v povodí Orlice a středního Labe pod Doubravu byl mimořádně podnormální (11 až 15 %), březen byl převážně podnormální (41 až 60 %). Následovalo převážně normální období od dubna do srpna pouze s několika výjimkami podnormálních srážek – v květnu na středním Labi po Vltavu (61 %), v červnu na středním Labi pod Doubravu (66 %) a v srpnu na Orlici (64 %). Září bylo srážkově nadnormální (134 až 157 %), říjen a listopad byly normální až nadnormální (71 až 152 %). Prosinec byl srážkově podnormální až silně podnormální, v povodí Orlice a středního Labe pod Doubravu mimořádně podnormální (33 až 52 %).

Tab. 2.4.5 Průměrný úhrn srážek (mm) v povodích dílčího povodí.

	I	II	III	IV	V	VI	VII	VIII	IX	X	XI	XII	2025
horní Labe	54	10	30	37	67	62	99	60	101	89	47	33	691
Orlice	38	6	23	39	75	62	94	50	98	66	57	21	626
střední Labe pod Doubravu	24	5	24	34	53	52	80	50	79	45	54	14	514
Jizera	63	15	29	30	71	63	97	91	93	88	45	37	722
střední Labe po Vltavu	28	11	23	31	38	59	75	64	77	38	45	18	506

Tab. 2.4.6 Průměrný úhrn srážek v povodích dílčího povodí v % dlouhodobého normálu.

	I	II	III	IV	V	VI	VII	VIII	IX	X	XI	XII	2025
horní Labe	83	20	50	93	96	79	103	73	157	152	82	49	87
Orlice	61	11	41	94	100	74	90	64	144	117	102	33	79
střední Labe pod Doubravu	56	15	50	92	74	66	85	65	134	99	130	33	76
Jizera	90	28	49	77	107	74	103	110	143	145	71	52	89
střední Labe po Vltavu	76	37	60	103	61	81	96	92	157	91	119	45	86

Sníh

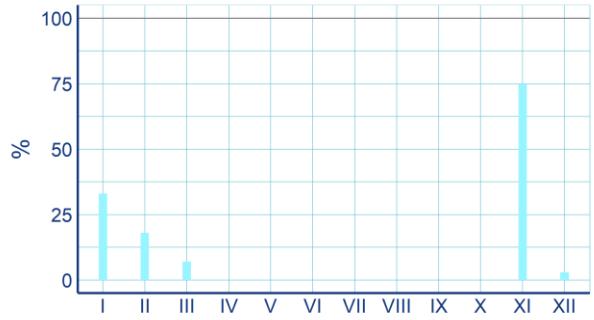
V nižších a středních polohách se souvislá sněhová pokrývka vytvořila již v první dekádě ledna a po dalším sněžení ve druhé dekádě se místy udržela až do třetí dekády ledna. Další krátkodobá pokrývka vznikla ve druhé dekádě února, ve středních polohách se místy udržela až do první dekády března. Maximální výška byla naměřena ve druhé dekádě ledna v nižších polohách na stanici Běstvina-Pařížov (16 cm), ve vyšších na stanici Dolní Dvůr–Rudolfov (47 cm). Ve vyšších a horských polohách ležela souvislá sněhová pokrývka od začátku ledna místy až do první dekády března, přičemž další pokrývka se přibližně na dva týdny vytvořila ve druhé dekádě února. Maximální výška sněhu byla naměřena ve druhé dekádě ledna na stanici Strážné (50 cm). Nejvyšší vodní hodnota sněhu byla ve druhé dekádě ledna zaznamenána na stanicích Strážné (162 mm) a Zdobnice (70 mm). V Krkonoších bylo maximum výšky sněhové pokrývky naměřeno ve třetí dekádě února na stanici Labská bouda (141 cm), v Orlických horách ve druhé dekádě ledna na stanici Velká Deštná (74 cm) a v Jizerských horách ve druhé dekádě ledna na profilu Rokytnice nad Jizerou, nad Voseckou (136 cm). Nejvyšší vodní hodnoty na profilech byly zaznamenány v první dekádě března

v profilu Rokytnice nad Jizerou, nad Voseckou (608 mm), ve druhé dekádě března na Růženčině zahrádce (596 mm) a ve druhé dekádě ledna v Luisině údolí (124,2 mm). V nejvyšších polohách bylo maximum vodní hodnoty naměřeno ve třetí dekádě ledna na stanici Pomezní Boudy (173 mm). V březnu sníh postupně ubýval, v dubnu odtával i v horských polohách a v první polovině května se udržel pouze v nejvyšších polohách.

Na konci roku se v nižších a středních polohách první sněhová pokrývka vytvořila přibližně na týden ve třetí dekádě listopadu, další pak v poslední dekádě prosince, kdy přetrvala do konce roku. Maximální výška sněhu dosáhla ve třetí dekádě listopadu na stanicích Licoměřice (14 cm) v nižších polohách a Krucemburk (20 cm) ve středních polohách. Ve vyšších polohách se sněhová pokrývka začala vytvářet ve druhé dekádě listopadu a po přechodném úbytku se obnovila v poslední dekádě prosince. V Jizerských horách bylo maximum naměřeno ve třetí dekádě listopadu na stanici Josefův Důl, Rozmezí (28 cm). V nejvyšších polohách Krkonoš se sněhová pokrývka vytvořila již ve třetí dekádě října, po tání se obnovila ve druhé dekádě listopadu a další vznikla v poslední dekádě prosince. Maximální výška sněhové pokrývky byla v nejvyšších polohách Krkonoš naměřena v poslední dekádě prosince na stanici Labská bouda (42 cm), v Orlických horách ve třetí dekádě listopadu na stanici Velká Deštná (19 cm).

Tab. 2.4.7 Průměrná vodní hodnota sněhu (mm) v dílčím povodí a její poměr k dlouhodobému normálu (%).

	I	II	III	IV	V	VI	VII	VIII	IX	X	XI	XII
(mm)	6,5	4,4	1	0	0	0	0	0	0	0	1,2	0,2
(%)	33	18	7	0	–	–	–	–	–	–	75	3



Obr. 2.4.3 Průměrná vodní hodnota sněhu v dílčím povodí v % dlouhodobého normálu.

Z hlediska vodní hodnoty sněhu byl leden podnormální až mimořádně podnormální (11 až 48 %), únor byl převážně mimořádně podnormální (4 až 24 %), březen a duben byly mimořádně podnormální (0 až 10 %), přičemž v dubnu vykazovala nulové hodnoty všechna povodí. V listopadu se hodnoty v jednotlivých povodích lišily, povodí Jizery a horního Labe bylo silně podnormální (24 až 32 %), povodí Orlice bylo podnormální (64 %) a povodí středního Labe po Vltavu a středního Labe pod Doubravu bylo naopak silně nadnormální (200 až 212 %). Prosinec pak byl ve všech povodích mimořádně podnormální (0 až 9 %).

Tab. 2.4.8 Průměrná vodní hodnota sněhu (mm) v povodích dílčího povodí.

	I	II	III	IV	V	VI	VII	VIII	IX	X	XI	XII
horní Labe	12,8	9,2	1,7	0	0	0	0	0	0	0	0,9	0,3
Orlice	13,0	4,7	1,3	0	0	0	0	0	0	0	1,4	0,6
střední Labe pod Doubravu	2,0	0,4	0,0	0	0	0	0	0	0	0	1,7	0,3
Jizera	12,6	11,9	3,6	0	0	0	0	0	0	0	0,8	0,2
střední Labe po Vltavu	0,8	1,0	0,0	0	0	0	0	0	0	0	1,0	0,0

Tab. 2.4.9 Průměrná vodní hodnota sněhu v povodích dílčího povodí v % dlouhodobého normálu.

	I	II	III	IV	V	VI	VII	VIII	IX	X	XI	XII
horní Labe	35	19	5	0	–	–	–	–	–	–	32	2
Orlice	48	14	6	0	–	–	–	–	–	–	64	6
střední Labe pod Doubravu	19	4	0	0	–	–	–	–	–	–	212	9
Jizera	34	24	10	0	–	–	–	–	–	–	24	1
střední Labe po Vltavu	11	15	0	–	–	–	–	–	–	–	200	0

Průtok

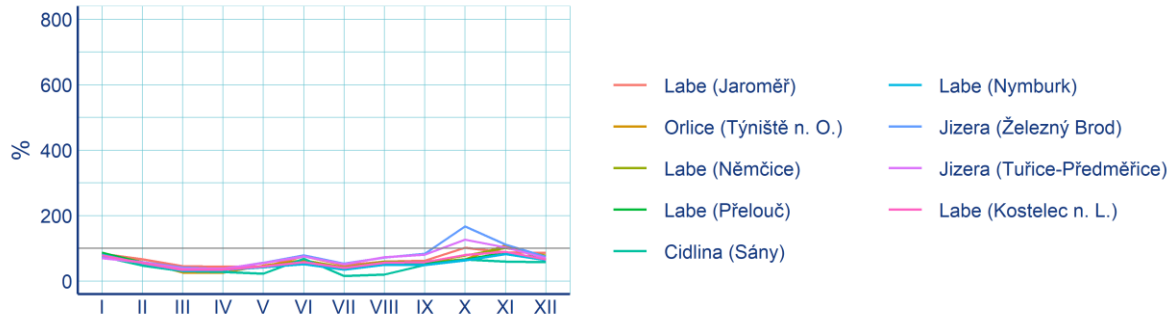
Z hlediska odtoku byl rok převážně silně podprůměrný (52 až 64 % Q_a), na Jizeře v Železném Brodě byl podprůměrný (67 % Q_a) a na Cidlině mimořádně podprůměrný (47 % Q_a). Leden byl z hlediska odtoku průměrný, únor byl průměrný pouze na Labi v Jaroměři, na ostatních profilech byl podprůměrný (47 až 59 %). Březen byl převážně silně podprůměrný (31 až 41 %), na Labi v Jaroměři byl podprůměrný (47 %), na Orlici byl mimořádně podprůměrný (26 %). Duben byl převážně silně podprůměrný (34 až 44 %), na Orlici a Cidlině mimořádně podprůměrný (25 až 28 %), a v květnu byl odtok podprůměrný až silně podprůměrný (42 až 56 %), ale na Cidlině opět mimořádně podprůměrný (23 %). Červen byl převážně průměrný, na profilech středního Labe podprůměrný (52 až 58 %). Červenec byl odtokově podprůměrný (42 až 54 %) až silně podprůměrný (35 až 39 %), ale na Cidlině byl odtok v červenci i v srpnu mimořádně podprůměrný (16 až 19 %). Ostatní profily byly v srpnu průměrné až podprůměrné (50 až 73 %). Září bylo opět průměrné až podprůměrné (49 až 84 %) a období od října do listopadu bylo průměrné, s výjimkou nadprůměrného odtoku (127 až 167 %) Jizery v říjnu. Prosinec byl průměrný až podprůměrný (58 až 86 %).

Na bilančních profilech byly minimální průtoky menší než Q_{355d} zaznamenány od července do září. V červenci se vyskytovaly na Labi a Jizeře (2–6 dní), v srpnu na Labi, Orlici a Jizeře (1–14 dní) a v září na Labi a Orlici (1–5 dní). Minimální průtok pod Q_{364d} nebyl na bilančních profilech zaznamenán. Na nebilančních profilech (celkem 43 s povodím nad 100 km²) se průtoky menší než Q_{355d} vyskytovaly převážně od června do září. V červnu na Metuji, Chrudimce, Novohradce a Doubravě (1–12 dní). V červenci na 12 profilech (1–16 dní), v srpnu dokonce na 22 profilech (1–22 dní) a v září na 14 profilech (1–6 dní). Dále byly zaznamenány v květnu na Metuji (4 dny) a v říjnu na Divoké Orlici a Metuji (4 a 14 dní). Průtok pod Q_{364d} byl zaznamenán na Novohradce v červnu (3 dny) a v červenci (7 dní) a na Úpě v srpnu (3 dny).

Na bilančních i nebilančních profilech (s povodím nad 100 km²) se povodně nevyskytly.

Tab. 2.4.10 Průtok bilančními profily v % dlouhodobého průměru.

	I	II	III	IV	V	VI	VII	VIII	IX	X	XI	XII	2025
Labe (Jaroměř)	84	67	46	44	44	76	48	60	62	102	88	86	63
Orlice (Týniště n. O.)	86	59	26	25	47	64	39	51	57	67	110	64	55
Labe (Němčice)	86	58	33	34	44	63	42	60	58	78	101	78	57
Labe (Přelouč)	87	57	33	35	45	53	38	53	53	66	87	68	54
Cidlina (Sány)	75	47	31	28	23	69	16	20	49	66	60	58	47
Labe (Nymburk)	82	54	32	34	42	52	35	50	49	63	83	64	52
Jizera (Železný Brod)	73	58	41	37	56	79	54	72	84	167	112	75	67
Jizera (Tuřice-Předměřice)	70	57	39	38	55	76	52	73	81	127	103	70	64
Labe (Kostelec n. L.)	79	55	34	35	45	58	40	56	58	80	90	66	55



Obr. 2.4.4 Průtok bilančními profily v % dlouhodobého průměru.

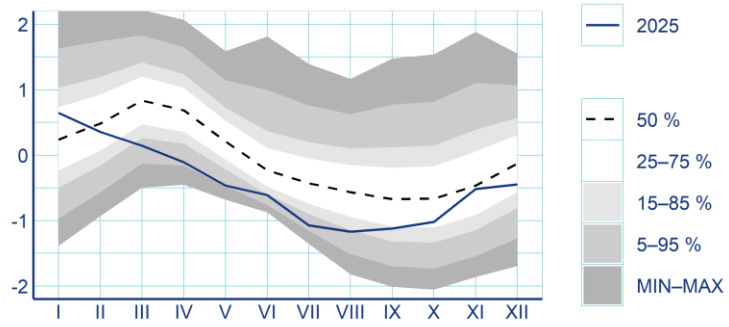
Podzemní vody

Mělké vrty

Roční hladina podzemní vody v mělkém oběhu byla celkově silně podnormální (86 % KP). Normální roční maximum nastalo v lednu (29 % KP). Poté hladina klesala a od března do srpna byla silně podnormální (86–95 % KP). Nejhorší stav byl v povodí Orlice a Jizery, kde byla hladina od března do května mimořádně podnormální (97–99 % KP). V srpnu nastalo silně podnormální roční minimum (86 % KP). Od září do konce roku hladina stoupala převážně v mezích normálu.

Tab. 2.4.11 Pravděpodobnost překročení úrovně hladiny v mělkých vrtech v dílčím povodí (% KP).

	I	II	III	IV	V	VI	VII	VIII	IX	X	XI	XII	2025
(% KP)	29	58	89	94	95	86	93	86	76	71	53	69	86



Obr. 2.4.5 Režim úrovně hladiny v mělkých vrtech v dílčím povodí. Hodnoty byly standardizovány. Uvedeny jsou také kvantily křivky překročení (KP).

Tab. 2.4.12 Pravděpodobnost překročení úrovně hladiny v mělkých vrtech v povodích dílčího povodí (% KP).

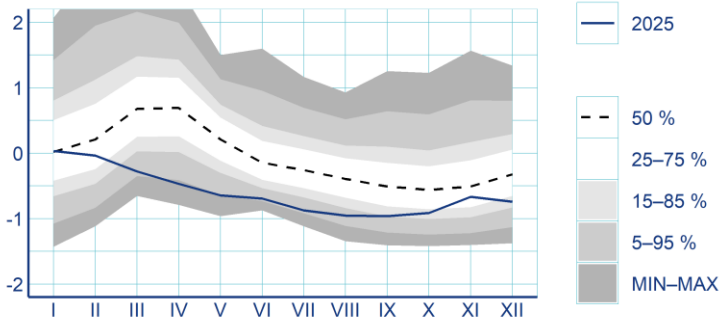
	I	II	III	IV	V	VI	VII	VIII	IX	X	XI	XII	2025
horní Labe	31	61	92	97	97	80	85	78	70	58	28	48	81
Orlice	40	71	97	98	99	93	93	83	73	67	37	71	92
střední Labe pod Doubravu	20	50	83	89	91	85	91	86	86	83	74	80	86
Jizera	72	85	98	98	98	94	96	90	67	55	46	73	93
střední Labe po Vltavu	22	40	67	82	88	69	88	81	64	61	54	58	70

Prameny

Roční vydatnost pramenů byla celkově silně podnormální (93 % KP). V lednu nastalo normální roční maximum (49 % KP), poté se vydatnost zmenšovala a od března do srpna byla celkově převážně silně, příp. až mimořádně podnormální (90–96 % KP). Roční mírně podnormální minimum nastalo v září (85 % KP). Od října do listopadu se vydatnost zvětšila až na celkově normální (63 % KP), v prosinci se zmenšila na mírně podnormální (80 % KP). V posledním čtvrtletí byl stav většiny povodí normální s výjimkou silně podnormální vydatnosti v povodí středního Labe pod Doubravu (88–92 % KP) a mírně podnormální v povodí středního Labe po Vltavu (75–84 % KP).

Tab. 2.4.13 Pravděpodobnost překročení vydatnosti pramenů v dílčím povodí (% KP).

	I	II	III	IV	V	VI	VII	VIII	IX	X	XI	XII	2025
(% KP)	49	64	94	96	95	94	94	90	85	79	63	80	93



Obr. 2.4.6 Režim vydatnosti pramenů v dílčím povodí. Hodnoty byly standardizovány. Uvedeny jsou také kvantily křivky překročení (KP).

Tab. 2.4.14 Pravděpodobnost překročení vydatnosti pramenů v povodích dílčího povodí (% KP).

	I	II	III	IV	V	VI	VII	VIII	IX	X	XI	XII	2025
horní Labe	38	49	87	94	91	89	90	85	78	66	39	62	88
Orlice	31	55	93	97	99	96	96	86	76	60	41	69	93
střední Labe pod Doubravu	37	61	89	93	94	94	92	92	91	90	88	92	92
Jizera	87	84	96	98	99	93	94	88	73	61	45	74	97
střední Labe po Vltavu	62	75	87	91	91	82	89	87	80	77	75	84	87

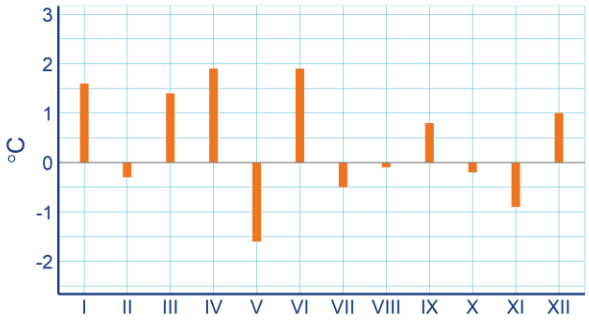
Dílčí povodí Horní Vltava

Teplota vzduchu

Průměrná roční teplota vzduchu byla +8,2 °C, což představuje odchylku od dlouhodobého normálu +0,4 °C (v jednotlivých povodích +0,3 až +0,5 °C). Rok tedy byl teplotně normální. Nejvyšší průměrná měsíční teplota vzduchu byla zaznamenána v červnu v Českých Budějovicích (+20,1 °C). Naopak nejnižší průměrná měsíční teplota byla zaznamenána v únoru na stanici Březník (–4,8 °C). Nejvyšší maximální denní teplota vzduchu (+35,3 °C) byla naměřena 15. 8. ve Strakonicích. Nejnižší minimální teplota vzduchu (–25,5 °C) byla naměřena 23. 11. na stanici Rokytská slať.

Tab. 2.4.15 Průměrná teplota vzduchu (°C) v dílčím povodí a její odchylka od dlouhodobého normálu.

	I	II	III	IV	V	VI	VII	VIII	IX	X	XI	XII	2025
(°C)	0,0	−0,9	4,2	9,6	10,9	17,9	17,2	17,1	13,2	7,4	2,0	0,4	8,2
odchylka (°C)	1,6	−0,3	1,4	1,9	−1,6	1,9	−0,5	−0,1	0,8	−0,2	−0,9	1,0	0,4



Obr. 2.4.7 Odchylka průměrné teploty vzduchu (°C) v dílčím povodí od dlouhodobého normálu.

Leden byl teplotně normální až nadnormální (odchylka +1,4 až +1,7 °C), únor byl normální a březen opět normální až nadnormální (+1,2 až +1,6 °C). Duben byl teplotně nadnormální (+1,9 °C), květen byl naopak podnormální (–1,3 až –1,8 °C) a červen byl silně nadnormální (+1,8 až +2,1 °C). Období od července až do konce roku bylo normální s výjimkou podnormální teploty v listopadu v povodí Lužnice (–1,1 °C).

Tab. 2.4.16 Průměrná teplota vzduchu (°C) v povodích dílčího povodí.

	I	II	III	IV	V	VI	VII	VIII	IX	X	XI	XII	2025
Lužnice	–0,1	–0,8	4,7	10,1	11,1	18,2	17,6	17,5	13,6	7,6	2,1	0,5	8,5
Otava	0,1	–1,0	4,1	9,5	10,9	17,7	17,0	16,9	12,9	7,4	1,8	0,4	8,1
horní Vltava	–0,1	–1,3	3,6	9,2	10,4	17,7	16,8	16,6	12,8	7,0	1,9	0,1	7,9

Tab. 2.4.17 Odchylka průměrné teploty vzduchu (°C) v povodích dílčího povodí od dlouhodobého normálu.

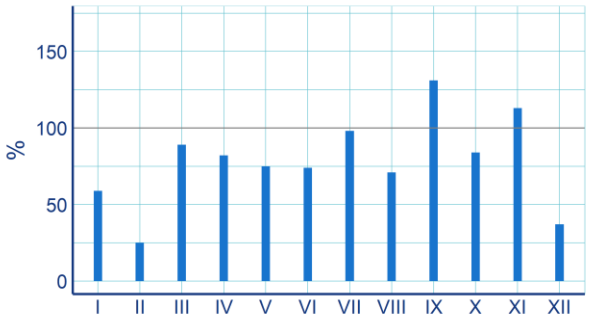
	I	II	III	IV	V	VI	VII	VIII	IX	X	XI	XII	2025
Lužnice	1,4	–0,3	1,6	1,9	–1,8	1,8	–0,5	–0,2	0,8	–0,4	–1,1	1,0	0,3
Otava	1,6	–0,3	1,3	1,9	–1,3	1,9	–0,4	–0,1	0,8	–0,1	–0,9	1,0	0,5
horní Vltava	1,7	–0,3	1,2	1,9	–1,6	2,1	–0,5	–0,1	0,9	–0,3	–0,8	0,9	0,4

Srážky

Průměrný roční úhrn srážek byl 574 mm, což představuje 80 % normálu (80 až 82 % v jednotlivých povodích). Rok byl tedy srážkově podnormální. Nejvyšší roční úhrn srážek (993 mm) byl naměřen na stanici v Prášilech, naopak nejnižší úhrn (430 mm) zaznamenala stanice Bechyně. Nejvyšší měsíční úhrn srážek (243 mm) byl naměřen v červenci v Pasečné, naopak nejnižší měsíční úhrn (2,8 mm) byl naměřen v únoru na stanici v Římově. Nejvyšší denní úhrn srážek (87 mm) byl zaznamenán 15. 6. ve Vlkonicích.

Tab. 2.4.18 Průměrný úhrn srážek (mm) v dílčím povodí a jeho poměr k dlouhodobému normálu (%).

	I	II	III	IV	V	VI	VII	VIII	IX	X	XI	XII	2025
(mm)	26	9	44	33	57	69	93	62	74	42	49	16	574
(%)	59	25	89	82	75	74	98	71	131	84	113	37	80



Obr. 2.4.8 Průměrný úhrn srážek v dílčím povodí v % dlouhodobého normálu.

Leden byl srážkově silně podnormální v povodí Lužnice (43 %), únor byl silně podnormální v celém dílčím povodí (22 až 27 %). Od března do července trvalo srážkově normální období s výjimkou nadnormálních srážek (67 %) v povodí horní Vltavy v červnu. Srpen byl normální až podnormální (60 až 85 %) a září bylo naopak normální až nadnormální (116 až 147 %). Říjen byl srážkově normální, listopad byl normální až nadnormální (102 až 127 %) a prosinec byl podnormální až mimořádně podnormální (30 až 50 %).

Tab. 2.4.19 Průměrný úhrn srážek (mm) v povodích dílčího povodí.

	I	II	III	IV	V	VI	VII	VIII	IX	X	XI	XII	2025
Lužnice	18	9	35	34	58	71	83	51	85	37	53	20	555
Otava	32	10	47	32	53	72	89	74	70	46	46	14	584
horní Vltava	30	8	52	37	61	66	115	58	70	49	50	16	612

Tab. 2.4.20 Průměrný úhrn srážek v povodích dílčího povodí v % dlouhodobého normálu.

	I	II	III	IV	V	VI	VII	VIII	IX	X	XI	XII	2025
Lužnice	43	27	75	87	77	79	90	60	147	78	127	50	80
Otava	68	27	89	76	71	76	95	85	127	85	102	30	80
horní Vltava	67	22	103	88	76	67	113	63	116	94	116	35	82

Sníh

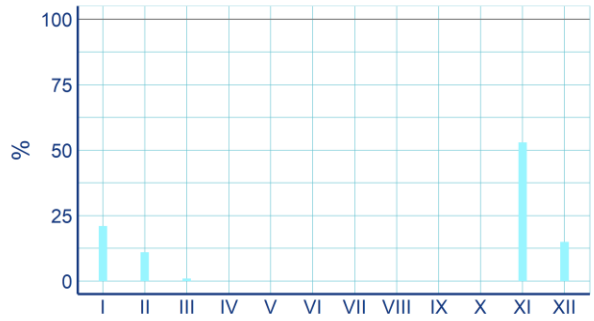
V nižších polohách se na začátku roku sněhová pokrývka vyskytovala pouze přechodně především v první a druhé dekádě ledna s výškou 1 až 2 cm. V únoru se sníh objevoval zejména ve druhé dekádě, opět 1 až 2 cm, v březnu již vůbec. Ve středních polohách se v lednu sněhová pokrývka (3 až 7 cm) místy udržela déle, v březnu byla zaznamenána pouze ojediněle, nejvýše 1 cm, a v dubnu vůbec. Ve vyšších polohách se sněhová pokrývka vytvářela již v první dekádě ledna, po tání se znovu vytvořila ve druhé dekádě a místy přetrvala do konce ledna. V únoru se udržela především od druhé do třetí dekády, nad 800 m n. m. po většinu měsíce. V březnu sníh postupně odtával, v první dekádě dubna ve vyšších polohách odtál úplně, na hraničním hřebeni Šumavy se však sněhová pokrývka udržela až do třetí dekády dubna. V horských polohách dosáhla maxima výška sněhové pokrývky na stanici Blatný vrch (117 cm), na ručně měřených stanicích byla nejvyšší výška zaznamenána v první dekádě ledna na stanici Pasečná (29 cm). Nejvyšší vodní hodnota sněhu byla na stanicích s ručním měřením naměřena ve třetí dekádě ledna na stanici Borová Lada (84 mm), zatímco automatické měření na sněhoměrném polštáři na Rokytce zaznamenalo ve druhé dekádě února 313,2 mm.

První souvislá sněhová pokrývka se v nižších a středních polohách vytvořila ve třetí dekádě listopadu, většinou však v prosinci odtála; nová pokrývka se vytvořila převážně až ve třetí dekádě prosince. Ve vyšších a horských polohách se sníh objevoval již ve třetí dekádě října, výraznější a trvalejší pokrývka se vytvořila ve třetí dekádě listopadu. Nad 800 m n. m. dosahovala nejčastěji 15–20 cm. V prosinci sníh většinou odtál v první dekádě, nová pokrývka se vytvořila ve třetí dekádě a udržela se do konce roku,

nejčastěji s výškou 10–20 cm. Na hřebeni Šumavy se sněhová pokrývka vytvořila již ve třetí dekádě října a na stanicích Plechý a Blatný vrch dosáhla 35 cm. Ve třetí dekádě listopadu bylo na Blatném vrchu 30 cm. Nejvyšší výška z ručního měření (21 cm) byla zaznamenána na stanicích Filipova Huť a Churáňov. V Novohradských horách dosáhla maxima na stanici Pohorská Ves (10 cm) a na Českomoravské vrchovině na stanici Kamenice nad Lipou (17 cm).

Tab. 2.4.21 Průměrná vodní hodnota sněhu (mm) v dílčím povodí a její poměr k dlouhodobému normálu (%).

	I	II	III	IV	V	VI	VII	VIII	IX	X	XI	XII
(mm)	3,7	2,3	0,1	0	0	0	0	0	0	0	1	1,1
(%)	21	11	1	0	–	–	–	–	–	–	53	15



Obr. 2.4.9 Průměrná vodní hodnota sněhu v dílčím povodí v % dlouhodobého normálu.

Zásoby vody ve sněhové pokrývce byly v lednu silně až mimořádně podnormální (5 až 30 %) a od února do dubna pouze mimořádně podnormální (0 až 15 %), přičemž v dubnu vykazovala nulové hodnoty všechna povodí. V listopadu se zásoby lišily v jednotlivých povodích od normálních v povodí Lužnice, přes podnormální (46 %) v povodí Otavy, po silně podnormální (26 %) v povodí horní Vltavy. Prosinec byl ve všech povodích mimořádně podnormální (8 až 17 %).

Tab. 2.4.22 Průměrná vodní hodnota sněhu (mm) v povodích dílčího povodí.

	I	II	III	IV	V	VI	VII	VIII	IX	X	XI	XII
Lužnice	0,8	0,3	0,0	0	0	0	0	0	0	0	1,3	0,4
Otava	6,0	3,8	0,1	0	0	0	0	0	0	0	1,1	1,6
horní Vltava	4,7	3,1	0,1	0	0	0	0	0	0	0	0,6	1,3

Tab. 2.4.23 Průměrná vodní hodnota sněhu v povodích dílčího povodí v % dlouhodobého normálu.

	I	II	III	IV	V	VI	VII	VIII	IX	X	XI	XII
Lužnice	5	2	0	0	–	–	–	–	–	–	100	8
Otava	30	15	1	0	–	–	–	–	–	–	46	17
horní Vltava	22	12	1	0	–	–	–	–	–	–	26	14

Průtok

Z hlediska odtoku byl rok silně až mimořádně podprůměrný (33 až 60 % Q_a). V lednu byl odtok převážně průměrný, místy podprůměrný (50 až 58 %) a na Lomnici silně podprůměrný (39 %). Únor byl průměrný až podprůměrný, na Lužnici, Nežárce, Lomnici a Skalici silně podprůměrný (31 až 41 %). Březen byl převážně podprůměrný až mimořádně podprůměrný (23 až 63 %). Od dubna do srpna trvalo odtokově podprůměrné až mimořádně podprůměrné období, mimořádně podprůměrný odtok (14 až 26 %) měla Lužnice a Nežárka a také Lomnice (7 až 29 %). Ostatní toky byly podprůměrné až silně podprůměrné (30

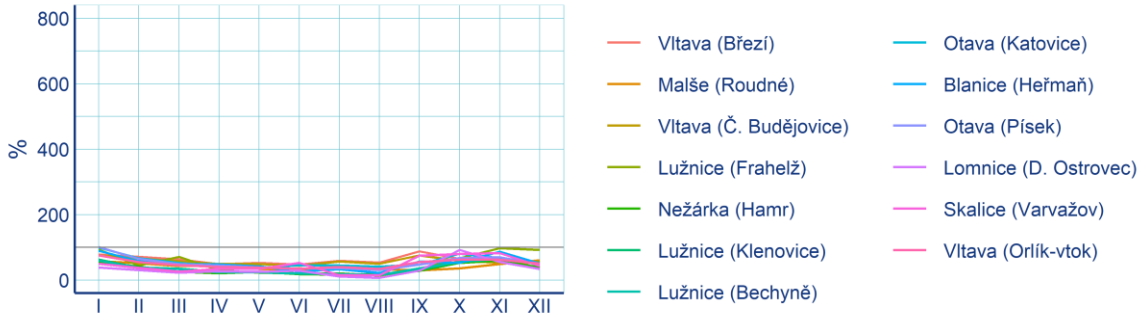
až 54 %), pouze odtok Vltavy v Březí a Českých Budějovicích v červenci byl průměrný. Září bylo průměrné až silně podprůměrné (28 až 88 %), říjen a listopad byly průměrné až podprůměrné (49 až 98 %), s výjimkou silně podprůměrné (36 %) Malše v říjnu. Prosinec byl kromě Lužnice v profilu Frahelž podprůměrný až silně podprůměrný (35 až 61 %).

Na bilančních profilech se minimální průtoky menší než Q_{355d} vyskytovaly v druhé polovině roku ve všech měsících. V červnu byly zaznamenány na Vltavě, Nežárce, Lužnici, Blanici a Otavě (2–6 dní). V červenci na Vltavě, Malši, Nežárce, Lužnici, Otavě, Blanici a Skalici (2–10 dní). V srpnu na Vltavě, Malši, Nežárce, Lužnici, Otavě, Blanici, Lomnici a Skalici (1–18 dní). V září na Vltavě, Malši, Lužnici, Nežárce a Otavě (3–18 dní). V říjnu na Vltavě a Malši (2–13 dní). V listopadu na profilech na Vltavě (3–6 dní) a v prosinci na Vltavě a Otavě (1–3 dny). Průtok pod Q_{364d} byl zaznamenán v červenci na Lužnici (2 dny), v srpnu na Skalici (7 dní) a v září na Malši (2 dny). Na nebilančních profilech (celkem 26 s povodím nad 100 km²) byly průtoky menší než Q_{355d} zaznamenány na Vltavě v březnu (1 den), v dubnu (12 dní), dále v květnu na Vltavě, Nežárce a Smutné (2–5 dní), v červnu na 7 profilech (1–15 dní), v červenci na 14 profilech (1–20 dní), v srpnu na 14 profilech (2–22 dní), v září na 10 profilech (1–20 dní), v říjnu na Vltavě, Otavě, Blanici a Lužnici (2–11 dní), v listopadu na Vltavě (6 dní) a v prosinci na Vltavě a Nežárce (1–4 dny). Průtok pod Q_{364d} byl zaznamenán v červenci na Vltavě (3 dny), v srpnu na Stropnici, Bezdrevském potoce, Nežárce a Smutné (1–9 dní), v září na Stropnici, Bezdrevském potoce, Nežárce a Otavě (1–9 dní).

Na bilančních i nebilančních profilech (s povodím nad 100 km²) se povodně nevyskytly.

Tab. 2.4.24 Průtok bilančními profily v % dlouhodobého průměru.

	I	II	III	IV	V	VI	VII	VIII	IX	X	XI	XII	2025
Vltava (Březí)	78	71	63	48	53	47	59	54	88	65	54	52	60
Malše (Roudné)	58	52	43	46	34	31	43	33	30	36	49	61	42
Vltava (Č. Budějovice)	76	66	58	49	49	44	57	50	76	59	54	55	57
Lužnice (Frahelž)	93	45	71	30	23	20	21	14	35	67	98	92	51
Nežárka (Hamr)	56	41	25	21	25	18	17	19	28	53	60	39	33
Lužnice (Klenovice)	63	39	35	25	26	20	19	16	32	55	65	54	37
Lužnice (Bechyně)	60	38	34	24	24	20	18	16	36	56	65	51	37
Otava (Katovice)	99	67	53	42	38	46	45	41	47	81	68	48	55
Blanice (Heřmaň)	90	58	48	48	42	26	33	22	57	53	87	51	49
Otava (Písek)	101	65	49	45	39	35	37	31	47	68	70	48	52
Lomnice (D. Ostrovec)	39	31	23	27	25	29	11	7	29	92	55	34	36
Skalice (Varvažov)	50	38	26	34	34	53	15	15	75	80	83	43	43
Vltava (Orlík-vtok)	76	55	46	40	39	35	40	34	55	62	62	51	49



Obr. 2.4.10 Průtok bilančními profily v % dlouhodobého průměru.

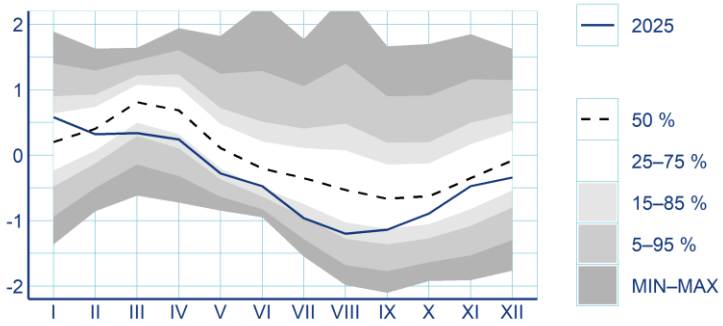
Podzemní vody

Mělké vrty

Roční hladina podzemní vody v mělkém oběhu byla celkově mírně podnormální (77 % KP). V lednu nastalo normální roční maximum (28 % KP). Poté hladina klesala v povodí Otavy a horní Vltavy převážně v mezích normálu, zatímco v povodí Lužnice byla hladina od března převážně silně podnormální (86–96 % KP). Roční mírně podnormální minimum nastalo v srpnu (82 % KP). Od září hladina stoupala v povodí Otavy a horní Vltavy v mezích normálu, ale v povodí Lužnice byl stav do října stále silně podnormální (86–91 % KP) a do konce roku mírně podnormální (77–80 % KP).

Tab. 2.4.25 Pravděpodobnost překročení úrovně hladiny v mělkých vrtech v dílčím povodí (% KP).

	I	II	III	IV	V	VI	VII	VIII	IX	X	XI	XII	2025
(% KP)	28	57	83	79	80	73	86	82	76	66	57	65	77



Obr. 2.4.11 Režim úrovně hladiny v mělkých vrtech v dílčím povodí. Hodnoty byly standardizovány. Uvedeny jsou také kvantily křivky překročení (KP).

Tab. 2.4.26 Pravděpodobnost překročení úrovně hladiny v mělkých vrtech v povodích dílčího povodí (% KP).

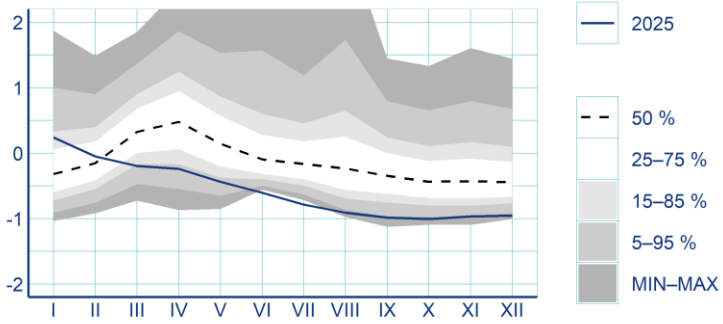
	I	II	III	IV	V	VI	VII	VIII	IX	X	XI	XII	2025
Lužnice	35	68	88	91	92	96	92	89	91	86	81	77	92
Otava	27	55	76	68	73	53	82	80	54	46	44	57	63
horní Vltava	24	43	76	63	58	65	68	62	70	58	41	55	59

Prameny

Roční vydatnost pramenů byla celkově mimořádně podnormální (99 % KP). Mírně nadnormální roční maximum nastalo v lednu (18 % KP), poté se vydatnost zmenšovala, v únoru byla normální a od března do května silně podnormální (86–88 % KP). Od června převládala mimořádně podnormální vydatnost (94–100 % KP) až do konce roku, také roční minimum v říjnu bylo mimořádně podnormální (96 % KP). V posledním čtvrtletí se vydatnost v povodí Otavy a horní Vltavy převážně mírně zmenšovala a zůstávala silně až mimořádně podnormální (86–100 % KP), naopak v povodí Lužnice se vydatnost zvětšovala z mírně podnormální až na normální stav v prosinci (67 % KP).

Tab. 2.4.27 Pravděpodobnost překročení vydatnosti pramenů v dílčím povodí (% KP).

	I	II	III	IV	V	VI	VII	VIII	IX	X	XI	XII	2025
(% KP)	18	41	86	88	88	100	100	96	96	96	95	97	99



Obr. 2.4.12 Režim vydatnosti pramenů v dílčím povodí. Hodnoty byly standardizovány. Uvedeny jsou také kvantily křivky překročení (KP).

Tab. 2.4.28 Pravděpodobnost překročení vydatnosti pramenů v povodích dílčího povodí (% KP).

	I	II	III	IV	V	VI	VII	VIII	IX	X	XI	XII	2025
Lužnice	27	64	90	91	85	84	88	85	83	78	75	67	89
Otava	15	31	81	86	91	100	100	99	99	99	99	100	100
horní Vltava	15	26	63	75	72	78	81	81	89	90	87	86	80

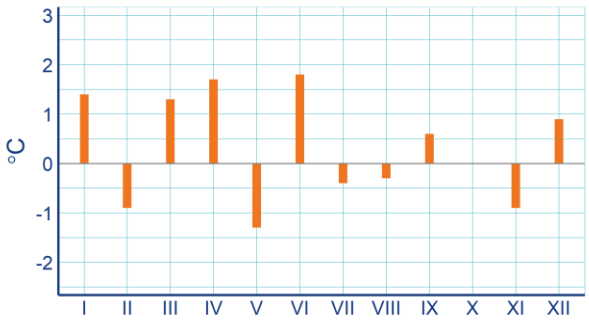
Dílčí povodí Berounka

Teplota vzduchu

Průměrná roční teplota vzduchu byla +8,6 °C, což představuje odchylku od normálu +0,3 °C. Rok tedy byl teplotně normální. Nejvyšší průměrná měsíční teplota (+19,9 °C) byla naměřena v červenci na stanici Dobřichovice, a naopak nejnižší průměrná měsíční teplota (−2,5 °C) byla naměřena v únoru na stanici Krásné Údolí. Nejvyšší maximální denní teplota vzduchu (+37,0 °C) byla naměřena 2. 7. na stanici Dobřichovice. Nejnižší minimální denní teplota (−15,3 °C) byla naměřena 19. 2. na stanici Tachov.

Tab. 2.4.29 Průměrná teplota vzduchu (°C) v dílčím povodí a její odchylka od dlouhodobého normálu.

	I	II	III	IV	V	VI	VII	VIII	IX	X	XI	XII	2025
(°C)	0,4	−1,0	4,7	10,1	11,6	18,2	17,7	17,4	13,5	8	2,3	0,8	8,6
odchylka (°C)	1,4	−0,9	1,3	1,7	−1,3	1,8	−0,4	−0,3	0,6	0	−0,9	0,9	0,3



Obr. 2.4.13 Odchylka průměrné teploty vzduchu (°C) v dílčím povodí od dlouhodobého normálu.

Leden až březen byly teplotně normální. Duben byl teplotně nadnormální (odchylka +1,7 až +1,8 °C), květen byl naopak podnormální (−1,2 až −1,4 °C) a červen byl silně nadnormální (+1,6 až +1,9 °C). Celé období od srpna do prosince bylo teplotně normální.

Tab. 2.4.30 Průměrná teplota vzduchu (°C) v povodích dílčího povodí.

	I	II	III	IV	V	VI	VII	VIII	IX	X	XI	XII	2025
horní Berounka	0,3	−0,9	4,6	10,0	11,6	18,1	17,5	17,2	13,4	7,9	2,2	0,8	8,5
dolní Berounka	0,4	−1,2	4,8	10,2	11,7	18,2	17,9	17,6	13,7	8,1	2,4	0,8	8,7

Tab. 2.4.31 Odchylka průměrné teploty vzduchu (°C) v povodích dílčího povodí od dlouhodobého normálu.

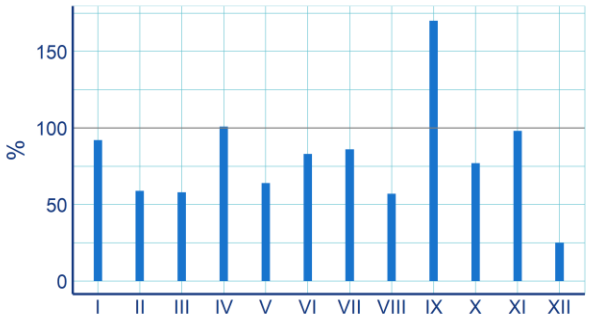
	I	II	III	IV	V	VI	VII	VIII	IX	X	XI	XII	2025
horní Berounka	1,4	−0,6	1,2	1,8	−1,2	1,9	−0,5	−0,3	0,7	0	−0,9	0,9	0,4
dolní Berounka	1,4	−1,1	1,3	1,7	−1,4	1,6	−0,4	−0,3	0,6	0	−1,0	0,8	0,3

Srážky

Průměrný roční úhrn srážek byl 493 mm, což činí 81 % normálu. Rok tedy byl srážkově podnormální. Nejvyšší roční srážkový úhrn (982 mm) byl zaznamenán na stanici Špičák. Naopak nejnižší roční srážkový úhrn (397 mm) byl naměřen na stanici Žlutice. Nejvyšší měsíční srážkový úhrn (162 mm) byl zaznamenán v říjnu na stanici Špičák. Nejnižší měsíční srážkový úhrn (4 mm) byl naměřen v prosinci na stanici Dnešice. Nejvyšší denní úhrn srážek (50 mm) byl zaznamenán 1. 7. na stanici Rpety.

Tab. 2.4.32 Průměrný úhrn srážek (mm) v dílčím povodí a jeho poměr k dlouhodobému normálu (%).

	I	II	III	IV	V	VI	VII	VIII	IX	X	XI	XII	2025
(mm)	34	18	23	36	40	64	68	42	84	34	39	10	493
(%)	92	59	58	101	64	83	86	57	170	77	98	25	81



Obr. 2.4.14 Průměrný úhrn srážek v dílčím povodí v % dlouhodobého normálu.

Leden byl srážkově normální, únor byl normální až podnormální (55 až 64 %) a březen byl podnormální (57 až 58 %). Od dubna do července následovalo srážkově normální období s výjimkou podnormálního (55 %) května na horní Berounce. Srpen byl srážkově podnormální (56 až 59 %) a září bylo naopak nadnormální až silně nadnormální (150 až 198 %). Říjen a listopad byly srážkově normální, prosinec byl naopak mimořádně podnormální (22 až 28 %).

Tab. 2.4.33 Průměrný úhrn srážek (mm) v povodích dílčího povodí.

	I	II	III	IV	V	VI	VII	VIII	IX	X	XI	XII	2025
horní Berounka	41	19	24	32	35	70	69	43	77	40	39	10	499
dolní Berounka	27	17	21	41	46	58	67	42	91	28	40	10	487

Tab. 2.4.34 Průměrný úhrn srážek v povodích dílčího povodí v % dlouhodobého normálu.

	I	II	III	IV	V	VI	VII	VIII	IX	X	XI	XII	2025
horní Berounka	97	55	57	82	55	87	85	56	150	83	90	22	77
dolní Berounka	86	64	58	126	74	77	87	59	198	68	110	28	86

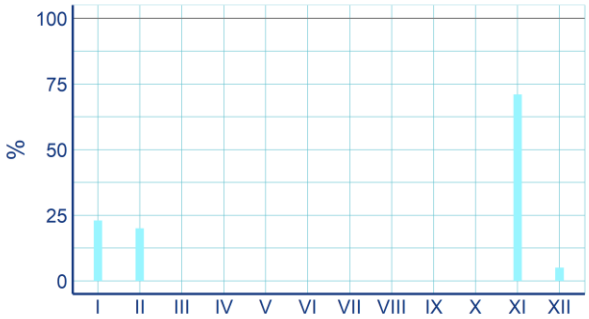
Sníh

V nižších polohách se souvislá sněhová pokrývka vyskytovala v první dekádě ledna a ve druhé a třetí dekádě února. Maximální výška sněhu byla naměřena v první dekádě ledna na stanicích Plzeň–Mikulka a Liblín (shodně 6 cm), nejvyšší vodní hodnota ve druhé dekádě února na stanici Slabce–Modřejovice (12,0 mm). Ve středních polohách se souvislá sněhová pokrývka vyskytovala také v první a druhé dekádě ledna a ve druhé a třetí dekádě února; maximum výšky sněhu bylo zaznamenáno ve druhé dekádě února na stanici Žlutice (11 cm) a nejvyšší vodní hodnota také ve druhé dekádě února na stanici Oráčov (15,0 mm). V horských polohách Šumavy kolem 1 000 m n. m. ležela souvislá pokrývka po většinu ledna a znovu ve druhé a třetí dekádě února, na Špičáku až do první dekády března. Maximální výška sněhu byla naměřena v první dekádě ledna na stanici Špičák (48 cm) a nejvyšší vodní hodnota ve druhé dekádě ledna rovněž na Špičáku (128,0 mm).

Na konci roku se v nižších a středních polohách souvislá sněhová pokrývka vyskytovala krátce ve třetí dekádě listopadu a znovu v poslední dekádě prosince. V horských polohách Šumavy se vytvářela ve druhé a třetí dekádě listopadu, na Špičáku se udržela až do první dekády prosince. V poslední dekádě prosince se sněhová pokrývka na Šumavě znovu vytvořila a na Špičáku přetrvala do konce roku.

Tab. 2.4.35 Průměrná vodní hodnota sněhu (mm) v dílčím povodí a její poměr k dlouhodobému normálu (%).

	I	II	III	IV	V	VI	VII	VIII	IX	X	XI	XII
(mm)	2,1	2	0	0	0	0	0	0	0	0	0,5	0,2
(%)	23	20	0	0	–	–	–	–	–	–	71	5



Obr. 2.4.15 Průměrná vodní hodnota sněhu v dílčím povodí v % dlouhodobého normálu.

Zásoby vody ve sněhu byly v lednu a únoru silně až mimořádně podnormální (14 až 30 %), v březnu a dubnu pak byla vodní hodnota sněhu nulová, tedy mimořádně podnormální (0 %). V listopadu byly zásoby vody ve sněhu podnormální (50 až 67 %) a v prosinci opět mimořádně podnormální (3 až 4 %).

Tab. 2.4.36 Průměrná vodní hodnota sněhu (mm) v povodích dílčího povodí.

	I	II	III	IV	V	VI	VII	VIII	IX	X	XI	XII
horní Berounka	3,1	1,7	0	0	0	0	0	0	0	0	0,6	0,2
dolní Berounka	1,1	2,3	0	0	0	0	0	0	0	0	0,3	0,1

Tab. 2.4.37 Průměrná vodní hodnota sněhu v povodích dílčího povodí v % dlouhodobého normálu.

	I	II	III	IV	V	VI	VII	VIII	IX	X	XI	XII
horní Berounka	30	14	0	0	–	–	–	–	–	–	67	4
dolní Berounka	14	30	0	0	–	–	–	–	–	–	50	3

Průtok

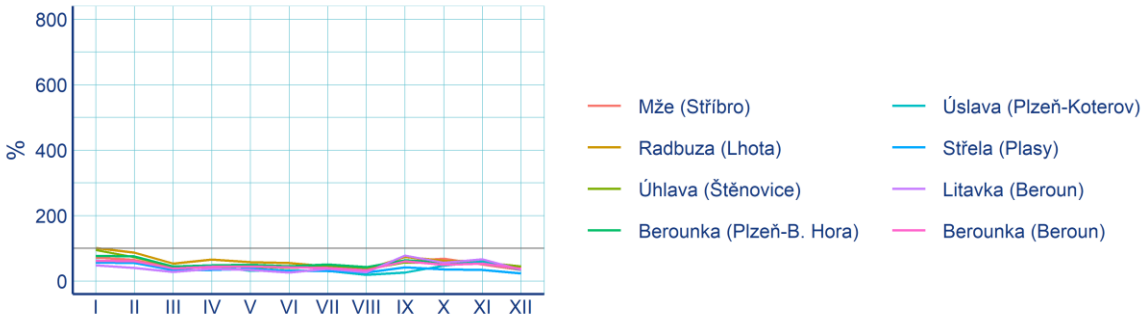
Z hlediska odtoku byl rok silně až mimořádně podprůměrný (39 až 55 % Q_a), s výjimkou podprůměrné Radbuzy (65 % Q_a). Leden byl převážně průměrný, pouze na Střele a Litavce podprůměrný (48 až 57 %). Únor byl opět převážně průměrný, na Střele a Úslavě podprůměrný (55 %) a na Litavce silně podprůměrný (40 %). Březen byl podprůměrný až silně podprůměrný (33 až 54 %), na Litavce mimořádně podprůměrný (28 %). Duben byl podprůměrný až silně podprůměrný (34 až 48 %), na Radbuze byl průměrný. Květen až srpen byly z hlediska odtoku podprůměrné až silně podprůměrné (26 až 58 %) měsíce, výjimkou byla mimořádně podprůměrná Litavka (26 %) v červnu a Úslava (19 %) v srpnu. Září pak bylo převážně průměrné, Střela byla podprůměrná (42 %) a Úslava silně podprůměrná (26 %). Říjen byl převážně podprůměrný (47 až 56 %), Mže a Radbuza byly průměrné a Střela naopak silně podprůměrná (36 %). Listopad byl průměrný až podprůměrný (51 až 67 %), ale Střela byla opět silně podprůměrná (34 %). Prosinec byl odtokově převážně silně podprůměrný (35 až 45 %), na Mži, Úslavě a Střele mimořádně podprůměrný (24 až 34 %).

Na bilančních profilech se minimální průtoky menší než Q_{355d} vyskytovaly převážně od června do září. V červnu se vyskytovaly na Mži, Radbuze, Berounce, Úslavě, Střele a Litavce (1–7 dní), v červenci na stejných profilech, ale již ve výrazně vyšším počtu (3–24 dní), v srpnu to bylo 1–23 dní. V září se průtoky menší než Q_{355d} vyskytovaly na Mži, Úslavě, Střele, Litavce a Berounce (1–14 dní) a v říjnu již pouze na Litavce (1 den). Průtoky pod Q_{364d} byly zaznamenány v červnu na Litavce (2 dny), v červenci na Berounce a Litavce (1 a 6 dní), v srpnu na Litavce a Střele (10 a 12 dní), v září na Střele (1 den). Na nebilančních profilech (celkem 23 s povodím nad 100 km²) se průtoky menší než Q_{355d} vyskytovaly v červnu na 10 profilech (2–13 dní), v červenci na 16 profilech (4–29 dní), v srpnu na 15 profilech (1–30 dní), v září na 10 profilech (1–19 dní), v říjnu už jen na Hamerském potoce (2 dny) a Střele (12–25 dní), v listopadu na Střele (13–28 dní) a v prosinci na Hamerském potoce (4 dny) a Střele (26–28 dní). Průtok pod Q_{364d} byl zaznamenán v červenci na Úhlavce, Úterském potoce a Berounce (2–4 dny), v srpnu na Úterském potoce (18 dní) a dále na Hamerském potoce v říjnu a prosinci (shodně 3 dny). Úterský potok v profilu Trpísty ve druhé polovině srpna na 7 dní zcela vyschl.

Na bilančních i nebilančních profilech (s povodím nad 100 km²) se povodně nevyskytly.

Tab. 2.4.38 Průtok bilančními profily v % dlouhodobého průměru.

	I	II	III	IV	V	VI	VII	VIII	IX	X	XI	XII	2025
Mže (Stříbro)	72	65	40	44	45	44	41	33	61	69	51	34	51
Radbuza (Lhota)	101	87	54	66	58	55	45	37	74	62	61	40	65
Úhlava (Štěnovice)	95	73	45	45	44	40	44	36	57	56	57	45	54
Berounka (Plzeň-B. Hora)	77	76	45	48	50	46	51	43	64	56	54	37	55
Úslava (Plzeň-Koterov)	63	55	38	46	32	32	32	19	26	47	60	34	42
Střela (Plasy)	57	55	33	34	38	32	31	26	42	36	34	24	39
Litavka (Beroun)	48	40	28	38	34	26	38	27	78	56	67	35	40
Berounka (Beroun)	62	61	39	44	45	42	40	33	61	50	54	38	48



Obr. 2.4.16 Průtok bilančními profily v % dlouhodobého průměru.

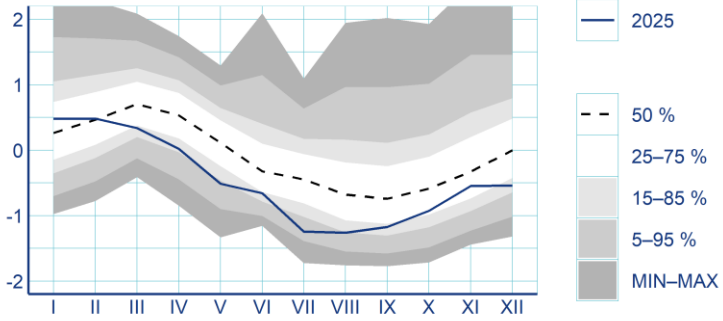
Podzemní vody

Mělké vrty

Roční hladina podzemní vody v mělkém oběhu byla celkově mírně podnormální (81 % KP). Začátek roku byl normální a v únoru nastalo normální roční maximum (49 % KP). Poté hladina klesala a od března do srpna byla celkově mírně až silně podnormální (76–92 % KP), ale zatímco v povodí horní Berounky byla hladina silně podnormální v květnu, červenci a srpnu (86–93 % KP), v povodí dolní Berounky pouze v červenci (87 % KP). Roční silně podnormální minimum nastalo v srpnu (85 % KP). Do listopadu hladina stoupala převážně v mezích normálu, v prosinci se stav opět zhoršil na mírně podnormální (80 % KP).

Tab. 2.4.39 Pravděpodobnost překročení úrovně hladiny v mělkých vrtech v dílčím povodí (% KP).

	I	II	III	IV	V	VI	VII	VIII	IX	X	XI	XII	2025
(% KP)	37	49	78	83	87	76	92	85	78	72	64	81	81



Obr. 2.4.17 Režim úrovně hladiny v mělkých vrtech v dílčím povodí. Hodnoty byly standardizovány. Uvedeny jsou také kvantily křivky překročení (KP).

Tab. 2.4.40 Pravděpodobnost překročení úrovně hladiny v mělkých vrtech v povodích dílčího povodí (% KP).

	I	II	III	IV	V	VI	VII	VIII	IX	X	XI	XII	2025
horní Berounka	34	44	74	82	88	84	93	86	82	77	68	84	84
dolní Berounka	49	63	84	82	80	54	87	77	64	55	50	65	70

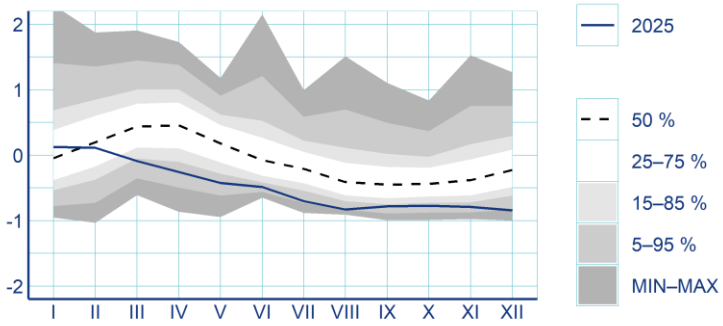
Prameny

Roční vydatnost pramenů byla celkově silně podnormální (94 % KP). Normální roční maximum nastalo v lednu (38 % KP), v březnu se vydatnost zmenšila na celkově silně podnormální, ale zatímco v povodí horní Berounky byla vydatnost normální (74 % KP), v povodí dolní Berounky se zmenšila až na mimořádně

podnormální (95 % KP). Poté se vydatnost mírně zmenšovala a celkově silně podnormální stav převládal až do mimořádně podnormálního ročního minima v prosinci (95 % KP).

Tab. 2.4.41 Pravděpodobnost překročení vydatnosti pramenů v dílčím povodí (% KP).

	I	II	III	IV	V	VI	VII	VIII	IX	X	XI	XII	2025
(% KP)	38	56	87	90	91	91	94	95	88	89	91	95	94



Obr. 2.4.18 Režim vydatnosti pramenů v dílčím povodí. Hodnoty byly standardizovány. Uvedeny jsou také kvantily křivky překročení (KP).

Tab. 2.4.42 Pravděpodobnost překročení vydatnosti pramenů v povodích dílčího povodí (% KP).

	I	II	III	IV	V	VI	VII	VIII	IX	X	XI	XII	2025
horní Berounka	29	42	74	82	86	79	88	88	85	84	87	92	85
dolní Berounka	67	77	95	93	90	87	91	88	77	78	82	92	93

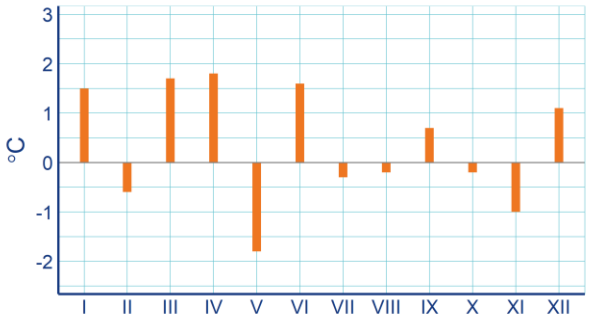
Dílčí povodí Dolní Vltava

Teplota vzduchu

Průměrná roční teplota vzduchu byla +9,0 °C, což představuje odchylku od normálu +0,4 °C. Rok tedy byl teplotně normální. Nejvyšší průměrná měsíční teplota vzduchu (+21,7 °C) byla naměřena shodně v červnu i v červenci v Praze–Klementinu. Naopak nejnižší průměrná měsíční teplota vzduchu (–1,4 °C) byla naměřena v únoru na stanici Chotčiny, Polánka. Nejvyšší maximální denní teplota vzduchu (+37,4 °C) byla naměřena 2. 7. na stanici Husinec, Řež. Nejnižší minimální denní teplota vzduchu (–15,2 °C) byla naměřena shodně 19. 2. na stanicích Kralupy a Havlíčkův Brod.

Tab. 2.4.43 Průměrná teplota vzduchu (°C) v dílčím povodí a její odchylka od dlouhodobého normálu.

	I	II	III	IV	V	VI	VII	VIII	IX	X	XI	XII	2025
(°C)	0,5	−0,7	5,2	10,5	11,5	18,3	18,2	18,0	14,0	8,2	2,6	1,1	9,0
odchylka (°C)	1,5	−0,6	1,7	1,8	−1,8	1,6	−0,3	−0,2	0,7	−0,2	−1,0	1,1	0,4



Obr. 2.4.19 Odchylka průměrné teploty vzduchu (°C) v dílčím povodí od dlouhodobého normálu.

Leden byl teplotně normální až nadnormální (odchylka +1,5 až +1,6 °C), únor byl normální a březen opět normální až nadnormální (+1,3 až +2,0 °C). Duben byl teplotně nadnormální (+1,7 až +1,9 °C), květen byl naopak podnormální (–1,7 až –1,9 °C), červen byl silně nadnormální (+1,6 až +1,7 °C). Až do konce roku byly teploty normální s výjimkou podnormálního listopadu (–1,1 °C) na dolní Vltavě.

Tab. 2.4.44 Průměrná teplota vzduchu (°C) v povodích dílčího povodí.

	I	II	III	IV	V	VI	VII	VIII	IX	X	XI	XII	2025
Sázava	0,1	−0,8	5,1	10,2	11,0	18,0	17,8	17,7	13,7	7,8	2,4	0,9	8,7
dolní Vltava	1,0	−0,4	5,5	11,0	12,1	18,8	18,8	18,4	14,4	8,8	2,9	1,4	9,4

Tab. 2.4.45 Odchylka průměrné teploty vzduchu (°C) v povodích dílčího povodí od dlouhodobého normálu.

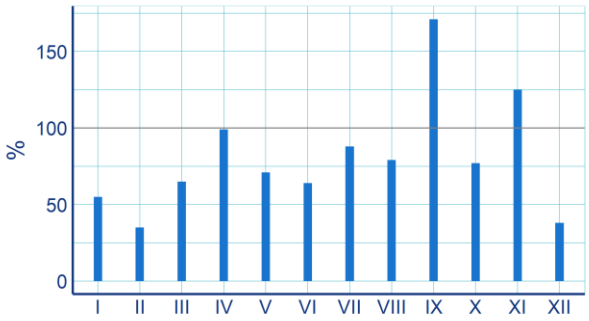
	I	II	III	IV	V	VI	VII	VIII	IX	X	XI	XII	2025
Sázava	1,6	−0,4	2,0	1,9	−1,9	1,7	−0,3	−0,1	0,7	−0,3	−0,9	1,4	0,4
dolní Vltava	1,5	−1,0	1,3	1,7	−1,7	1,6	−0,3	−0,2	0,6	0,0	−1,1	0,8	0,3

Srážky

Průměrný roční úhrn srážek byl 513 mm, což představuje 82 % normálu (77 a 90 % v jednotlivých povodích). Rok tedy byl srážkově podnormální. Nejvyšší roční úhrn srážek (652 mm) byl naměřen na stanici Polná, naopak nejnižší roční úhrn srážek (402 mm) na stanici Praha, Stodůlky. Nejvyšší měsíční úhrn srážek (170 mm) byl naměřen v červenci na stanici Polná. Nejnižší měsíční úhrn srážek (4,5 mm) byl naměřen v únoru na stanici Pelhřimov. Nejvyšší denní úhrn srážek (76 mm) byl zaznamenán 4. 7. na stanici Polná.

Tab. 2.4.46 Průměrný úhrn srážek (mm) v dílčím povodí a jeho poměr k dlouhodobému normálu (%).

	I	II	III	IV	V	VI	VII	VIII	IX	X	XI	XII	2025
(mm)	21	11	28	33	48	51	76	62	88	33	48	15	513
(%)	55	35	65	99	71	64	88	79	171	77	125	38	82



Obr. 2.4.20 Průměrný úhrn srážek v dílčím povodí v % dlouhodobého normálu.

Leden byl srážkově normální až podnormální (48 až 72 %), únor byl podnormální až silně podnormální (25 až 58 %) a březen byl opět normální až podnormální (59 až 77 %). Období od dubna do srpna bylo srážkově převážně normální s výjimkou podnormálního (69 %) května v povodí dolní Vltavy a podnormálního (61 %) června v povodí Sázavy. Září bylo nadnormální až silně nadnormální (156 až 201 %), říjen byl srážkově normální, listopad normální až nadnormální (118 až 138 %) a prosinec byl naopak silně podnormální (37 až 38 %).

Tab. 2.4.47 Průměrný úhrn srážek (mm) v povodích dílčího povodí.

	I	II	III	IV	V	VI	VII	VIII	IX	X	XI	XII	2025
Sázava	21	9	28	32	50	49	84	58	87	37	50	17	521
dolní Vltava	21	14	28	35	44	54	63	68	90	28	46	12	502

Tab. 2.4.48 Průměrný úhrn srážek v povodích dílčího povodí v % dlouhodobého normálu.

	I	II	III	IV	V	VI	VII	VIII	IX	X	XI	XII	2025
Sázava	48	25	59	89	72	61	92	70	156	79	118	38	77
dolní Vltava	72	58	77	116	69	70	81	94	201	73	138	37	90

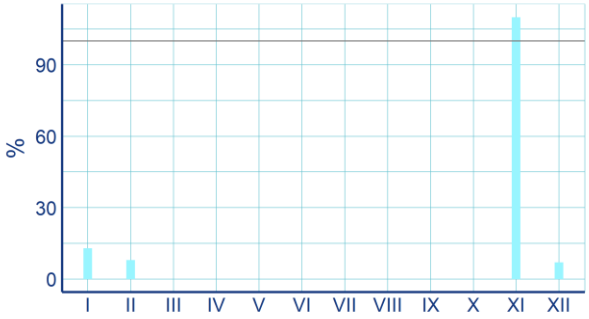
Sníh

V nižších polohách do 500 m n. m. ležela souvislá sněhová pokrývka v první a druhé dekádě ledna a znovu ve druhé a třetí dekádě února. Ve středních polohách se udržela po většinu ledna a ve druhé polovině února, ve vyšších polohách od začátku ledna s maximem v průběhu ledna a následným postupným odtáváním. V březnu se sníh udržel již pouze ve vyšších polohách. Maximální výška sněhu byla naměřena ve druhé dekádě února na stanici Střezimíř (15 cm) v povodí dolní Vltavy a na stanici Štoky (12 cm) v povodí Sázavy. Nejvyšší vodní hodnota sněhu byla zaznamenána ve druhé dekádě února na stanicích Pacov a Šimanov (shodně 10,7 mm).

Na konci roku ležela souvislá sněhová pokrývka v nižších polohách ve třetí dekádě listopadu a znovu v poslední dekádě prosince. Ve středních a vyšších polohách se udržela od třetí dekády listopadu do první, místy až druhé dekády prosince a znovu od poslední dekády prosince do konce roku. Na konci prosince bylo v povodí dolní Vltavy nejvýše 3 cm sněhu, v povodí Sázavy 8 cm. Maximální výška sněhové pokrývky byla naměřena ve třetí dekádě listopadu na stanici Šimanov (17 cm).

Tab. 2.4.49 Průměrná vodní hodnota sněhu (mm) v dílčím povodí a její poměr k dlouhodobému normálu (%).

	I	II	III	IV	V	VI	VII	VIII	IX	X	XI	XII
(mm)	1,5	1	0	0	0	0	0	0	0	0	1,1	0,3
(%)	13	8	0	0	–	–	–	–	–	–	110	7



Obr. 2.4.21 Průměrná vodní hodnota sněhu v dílčím povodí v % dlouhodobého normálu.

Zásoby vody ve sněhu byly v lednu mimořádně podnormální (4 až 15 %), v únoru silně až mimořádně podnormální (5 až 23 %) a v březnu a dubnu byly nulové, tedy také mimořádně podnormální (0 %). V listopadu byly zásoby normální, ale v prosinci opět mimořádně podnormální (0 až 8 %).

Tab. 2.4.50 Průměrná vodní hodnota sněhu (mm) v povodích dílčího povodí.

	I	II	III	IV	V	VI	VII	VIII	IX	X	XI	XII
Sázava	2,2	0,8	0	0	0	0	0	0	0	0	1,5	0,4
dolní Vltava	0,3	1,4	0	0	0	0	0	0	0	0	0,5	0,0

Tab. 2.4.51 Průměrná vodní hodnota sněhu v povodích dílčího povodí v % dlouhodobého normálu.

	I	II	III	IV	V	VI	VII	VIII	IX	X	XI	XII
Sázava	15	5	0	0	–	–	–	–	–	–	115	8
dolní Vltava	4	23	0	–	–	–	–	–	–	–	100	0

Průtok

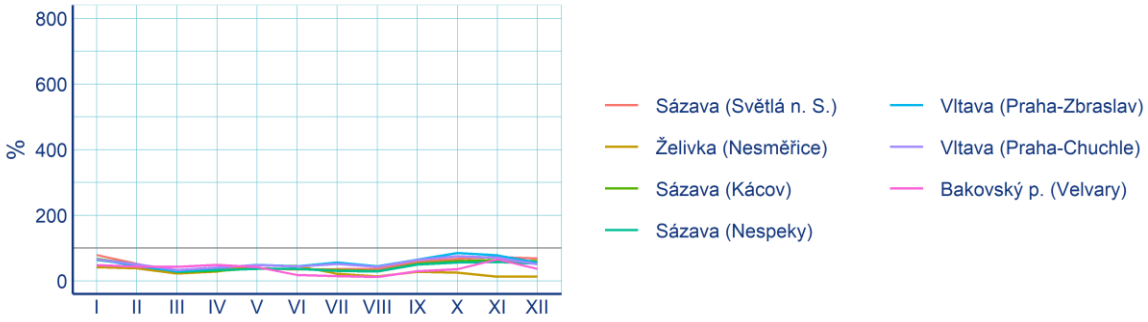
Z hlediska odtoku byl rok převážně mimořádně podprůměrný (30 až 48 % Q_a), pouze na Vltavě byl silně podprůměrný (51 až 52 % Q_a). Leden byl odtokově průměrný, únor byl podprůměrný (45 až 53 %), březen byl silně až mimořádně podprůměrný (27 až 33 %), duben byl silně podprůměrný (31 až 41 %) a období od května do srpna bylo podprůměrné až silně podprůměrné (29 až 52 %), pouze odtok Vltavy na Zbraslavi v červenci byl průměrný. Období od září do listopadu bylo z hlediska odtoku průměrné (58 až 85 %), pouze odtok Sázavy byl na dolním toku průměrný až podprůměrný (50–64 %), prosinec byl převážně podprůměrný (51 až 61 %), s výjimkou průměrné Sázavy ve Světlé n. S. Odlišný chod odtoku měl Bakovský p., kde od ledna do května trval podprůměrný až silně podprůměrný odtok (42–49 %), období od června do srpna bylo mimořádně podnormální (12–18 %), konec roku byl silně podnormální (30–37 %), pouze v listopadu byl odtok normální. Odtok Želivky je silně ovlivněn manipulacemi na VD Švihov, většinu roku byl silně až mimořádně podprůměrný, kromě května a června, kdy byl podprůměrný.

Na bilančních profilech byly minimální průtoky menší než Q_{355d} zaznamenány od června do září. Vždy se jednalo o profily na Sázavě (Světlá n. S., Kácov a Nespeky) a od června do srpna také Bakovský potok. V červnu se minimální průtoky menší než Q_{355d} vyskytovaly 4–6 dní, v červenci 8–16 dní, v srpnu 17–18 dní a v září 3–8 dní. Průtok menší než Q_{364d} nebyl na bilančních profilech zaznamenán. Na nebilančních profilech (celkem 28 s povodím nad 100 km²) se průtoky menší než Q_{355d} vyskytovaly v březnu na Rokytce a Botiči (1 a 2 dny), v dubnu na Rokytce (1 den), v červnu na 18 profilech (1–12 dní), v červenci na 23 profilech (1–26 dní), v srpnu na 21 profilech (1–22 dní), v září na 16 profilech (1–11 dní), v říjnu už jen na Bělé, Trnavě, Blanici a Rokytce (1–3 dny) a v listopadu na Želivce (1 den). Minimální průtok pod Q_{364d} byl zaznamenán na Rokytce v březnu (2 dny), v červnu (4 dny), v červenci (6–8 dní), v srpnu (8–16 dní), dále v červenci na Trnavě (7 dní) a v srpnu na Blanici a Kocábě (3 a 6 dní).

Na bilančních i nebilančních profilech (s povodím nad 100 km²) se povodně nevyskytly.

Tab. 2.4.52 Průtok bilančními profily v % dlouhodobého průměru.

	I	II	III	IV	V	VI	VII	VIII	IX	X	XI	XII	2025
Sázava (Světlá n. S.)	79	53	28	36	39	35	36	37	58	68	73	69	48
Želivka (Nesměřice)	42	39	23	29	48	46	22	14	28	25	13	13	30
Sázava (Kácov)	68	51	27	31	39	36	33	31	53	61	64	61	44
Sázava (Nespeky)	64	49	28	33	37	37	31	29	50	56	58	53	42
Vltava (Praha-Zbraslav)	67	45	30	40	49	45	56	45	65	85	78	56	52
Vltava (Praha-Chuchle)	66	51	33	41	48	44	52	43	64	76	71	51	51
Bakovský p. (Velvary)	48	44	43	49	42	18	15	12	30	36	66	37	37



Obr. 2.4.22 Průtok bilančními profily v % dlouhodobého průměru.

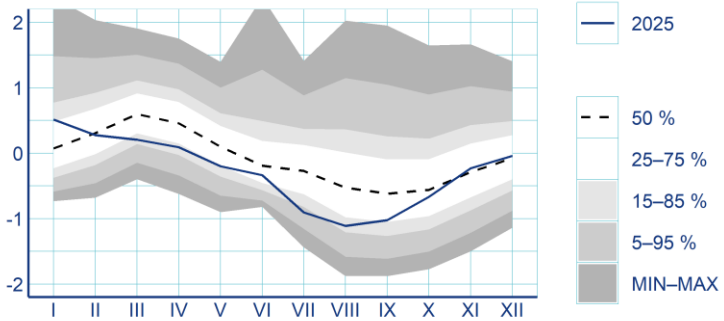
Podzemní vody

Mělké vrty

Roční hladina podzemní vody v mělkém oběhu byla celkově mírně podnormální (78 % KP). Mírně nadnormální roční maximum nastalo v lednu (24 % KP). Poté hladina klesala, v povodí dolní Vltavy převážně v mezích normálu, zatímco v povodí Sázavy byl stav silně podnormální od března do července (88–92 % KP). V srpnu nastalo celkové mírně podnormální roční minimum (81 % KP). V povodí dolní Vltavy hladina následně výrazně stoupala a v posledním čtvrtletí byla mírně až silně nadnormální (15–23 % KP), zatímco v povodí Sázavy, kde roční silně podnormální minimum nastalo až v září (87 % KP), zůstala hladina do konce roku normální až mírně podnormální (68–78 % KP).

Tab. 2.4.53 Pravděpodobnost překročení úrovně hladiny v mělkých vrtech v dílčím povodí (% KP).

	I	II	III	IV	V	VI	VII	VIII	IX	X	XI	XII	2025
(% KP)	24	53	81	79	75	63	88	81	74	57	46	47	79



Obr. 2.4.23 Režim úrovně hladiny v mělkých vrtech v dílčím povodí. Hodnoty byly standardizovány. Uvedeny jsou také kvantily křivky překročení (KP).

Tab. 2.4.54 Pravděpodobnost překročení úrovně hladiny v mělkých vrtech v povodích dílčího povodí (% KP).

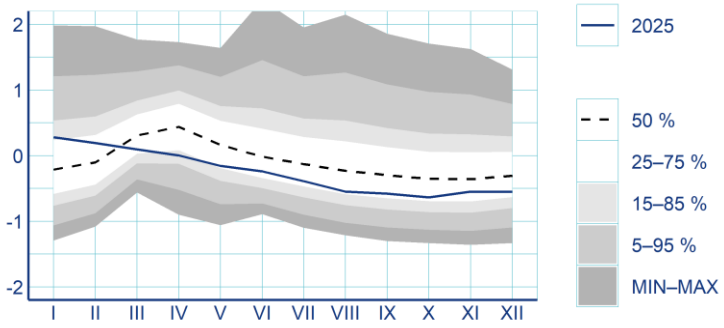
	I	II	III	IV	V	VI	VII	VIII	IX	X	XI	XII	2025
Sázava	35	73	92	92	92	88	92	84	87	78	68	77	90
dolní Vltava	16	23	41	41	43	36	78	82	37	23	18	15	36

Prameny

Roční vydatnost pramenů byla celkově normální (73 % KP). V lednu nastalo mírně nadnormální roční maximum (23 % KP), poté se vydatnost převážně mírně zmenšovala v mezích normálu. Normální roční minimum nastalo v říjnu (71 % KP). V povodí dolní Vltavy byla vydatnost od března do konce roku normální, zatímco v povodí Sázavy převládal mírně podnormální stav.

Tab. 2.4.55 Pravděpodobnost překročení vydatnosti pramenů v dílčím povodí (% KP).

	I	II	III	IV	V	VI	VII	VIII	IX	X	XI	XII	2025
(% KP)	23	31	69	79	73	67	69	73	70	71	64	69	73



Obr. 2.4.24 Režim vydatnosti pramenů v dílčím povodí. Hodnoty byly standardizovány. Uvedeny jsou také kvantily křivky překročení (KP).

Tab. 2.4.56 Pravděpodobnost překročení vydatnosti pramenů v povodích dílčího povodí (% KP).

	I	II	III	IV	V	VI	VII	VIII	IX	X	XI	XII	2025
Sázava	23	38	81	85	78	78	78	78	78	77	74	80	83
dolní Vltava	25	24	36	51	54	46	45	57	52	53	40	43	44

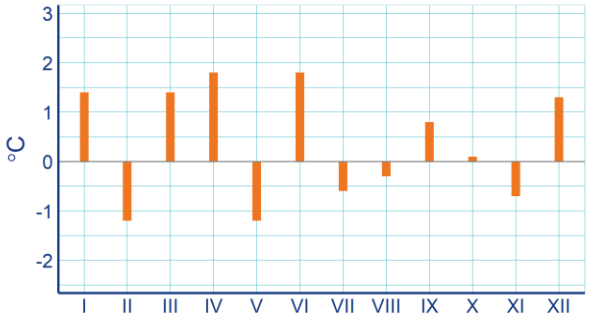
Dílčí povodí Ohře, Dolní Labe a ostatní přítoky Labe

Teplota vzduchu

Průměrná roční teplota vzduchu byla +8,5 °C, což představuje odchylku od normálu +0,4 °C. Rok tedy byl teplotně normální. Nejvyšší průměrná měsíční teplota vzduchu (+20 °C) byla naměřena shodně v červnu na stanicích Kopisty a Teplice a dále v červenci na stanici Brandýs nad Labem. Nejnižší průměrná měsíční teplota vzduchu (−3,9 °C) byla naměřena v únoru na stanici Klínovec. Nejvyšší maximální denní teplota vzduchu (+37,3 °C) byla zaznamenána 2. 7. na stanici Doksany. Nejnižší minimální denní teplota vzduchu (−25,7 °C) byla naměřena 18. 2. na stanici Jelení v Krušných horách.

Tab. 2.4.57 Průměrná teplota vzduchu (°C) v dílčím povodí a její odchylka od dlouhodobého normálu.

	I	II	III	IV	V	VI	VII	VIII	IX	X	XI	XII	2025
(°C)	0,2	−1,5	4,6	10,1	11,5	17,9	17,4	17,1	13,5	8,0	2,5	1,1	8,5
odchylka (°C)	1,4	−1,2	1,4	1,8	−1,2	1,8	−0,6	−0,3	0,8	0,1	−0,7	1,3	0,4



Obr. 2.4.25 Odchylka průměrné teploty vzduchu (°C) v dílčím povodí od dlouhodobého normálu.

Leden až březen byly teplotně v mezích normálu s výjimkou nadnormálního března (+1,8 °C) na horní Ohři. Duben byl nadnormální (+1,7 až +1,9 °C), květen byl normální až podnormální (−0,9 až −1,8 °C) a červen byl naopak nadnormální až silně nadnormální (+1,4 až +2,2 °C). Zbytek roku byl teplotně normální.

Tab. 2.4.58 Průměrná teplota vzduchu (°C) v povodích dílčího povodí.

	I	II	III	IV	V	VI	VII	VIII	IX	X	XI	XII	2025
horní Ohře	−0,2	−1,9	4,1	9,1	10,8	17,3	16,4	16,3	12,6	7,1	2,0	0,6	7,8
dolní Ohře a Bílina	0,5	−1,4	5,1	10,8	12,4	18,6	18,4	18,1	14,3	8,6	2,7	1,4	9,1
dolní Labe a Ploučnice	0,6	−1,0	4,8	10,5	11,6	18,1	17,8	17,3	13,9	8,4	3,1	1,5	8,9

Tab. 2.4.59 Odchylka průměrné teploty vzduchu (°C) v povodích dílčího povodí od dlouhodobého normálu.

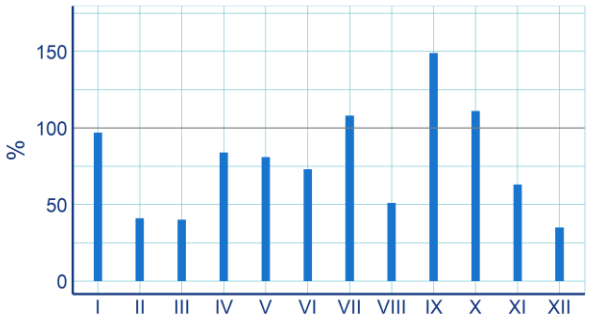
	I	II	III	IV	V	VI	VII	VIII	IX	X	XI	XII	2025
horní Ohře	1,5	−0,8	1,8	1,9	−0,9	2,2	−0,5	−0,1	0,8	0,0	−0,5	1,4	0,6
dolní Ohře a Bílina	1,2	−1,7	1,3	1,8	−1,0	1,8	−0,4	−0,1	0,9	0,2	−1,0	1,2	0,4
dolní Labe a Ploučnice	1,4	−1,2	1,1	1,7	−1,8	1,4	−0,8	−0,7	0,6	0,0	−0,8	1,3	0,2

Srážky

Průměrný roční úhrn srážek byl 532 mm, což představuje 79 % normálu (76 až 83 % v jednotlivých povodích). Rok tedy byl srážkově silně podnormální. Nejvyšší roční srážkový úhrn (856 mm) byl zaznamenán na stanici Přebuz, naopak nejnižší roční srážkový úhrn (391 mm) byl změřen na stanici Doksany. Nejvyšší měsíční úhrn srážek (167 mm) byl naměřen v říjnu na stanici Přebuz a nejnižší měsíční úhrn srážek (6 mm) byl naměřen v prosinci na stanici Velká Černoc. Nejvyšší denní úhrn srážek (73 mm) byl zaznamenán 15. 6. na stanici Tušimice.

Tab. 2.4.60 Průměrný úhrn srážek (mm) v dílčím povodí a jeho poměr k dlouhodobému normálu (%).

	I	II	III	IV	V	VI	VII	VIII	IX	X	XI	XII	2025
(mm)	47	16	19	29	50	55	88	39	84	55	31	18	532
(%)	97	41	40	84	81	73	108	51	149	111	63	35	79



Obr. 2.4.26 Průměrný úhrn srážek v dílčím povodí v % dlouhodobého normálu.

Leden byl srážkově normální, únor byl podnormální (37 až 53 %) a březen byl podnormální až silně podnormální (31 až 46 %). Období od dubna do července bylo srážkově normální s výjimkou podnormálního (67 %) května v povodí dolní Ohře a Bíliny. Srpen byl normální (66 %) v povodí dolního Labe a Ploučnice až silně podnormální v povodí dolní Ohře a Bíliny (41 %). Září bylo naopak srážkově nadnormální až silně nadnormální (136 až 176 %). Říjen byl normální až nadnormální (95 až 128 %), listopad byl normální, ale na horní Ohři silně podnormální (45 %), a prosinec byl srážkově silně až mimořádně podnormální (28 až 46 %).

Tab. 2.4.61 Průměrný úhrn srážek (mm) v povodích dílčího povodí.

	I	II	III	IV	V	VI	VII	VIII	IX	X	XI	XII	2025
horní Ohře	61	16	16	32	49	52	90	36	91	71	25	17	557
dolní Ohře a Bílina	37	15	16	29	40	58	69	29	85	38	29	13	458
dolní Labe a Ploučnice	41	16	20	26	56	55	98	53	74	51	36	23	551

Tab. 2.4.62 Průměrný úhrn srážek v povodích dílčího povodí v % dlouhodobého normálu.

	I	II	III	IV	V	VI	VII	VIII	IX	X	XI	XII	2025
horní Ohře	106	37	31	82	77	70	108	47	142	128	45	28	76
dolní Ohře a Bílina	107	53	46	96	67	83	95	41	176	95	76	34	81
dolní Labe a Ploučnice	86	44	45	80	92	74	118	66	136	103	78	46	83

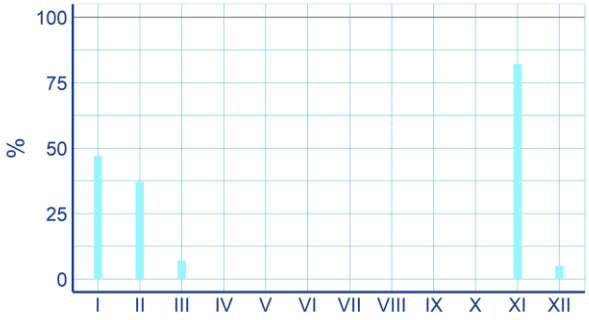
Sníh

V nižších polohách ležela souvislá sněhová pokrývka v první dekádě ledna a ve druhé a třetí dekádě února. Maximální výška sněhu byla naměřena ve druhé dekádě února na stanici Stráž nad Ohří (6 cm). Ve středních polohách (400–600 m n. m.) se souvislá pokrývka udržela po většinu ledna, místy do třetí dekády února; maximum bylo naměřeno v první dekádě ledna na stanici Šindelová (15 cm) a nejvyšší vodní hodnota ve druhé dekádě ledna v Nejdku (50 mm). V Krušných horách kolem 1 000 m n. m. ležela souvislá sněhová pokrývka od začátku roku do druhé dekády března, na Klínovci až do první dekády dubna. Maximální výška sněhu byla naměřena ve druhé dekádě února na Klínovci (56 cm), stejně jako nejvyšší vodní hodnota ve druhé dekádě ledna (170 mm).

Na konci roku ležela souvislá sněhová pokrývka v nižších polohách ve třetí dekádě listopadu. Nejvyšší vodní hodnota byla zaznamenána ve třetí dekádě listopadu ve Stráži nad Ohří (3,8 mm). Ve středních polohách se souvislá sněhová pokrývka vyskytovala ve druhé a třetí dekádě listopadu, v první a poslední dekádě prosince; největší denní úhrn nového sněhu byl naměřen v Nejdku (17 cm). V Krušných horách kolem 1 000 m n. m. ležela pokrývka od druhé dekády listopadu do první dekády prosince a znovu od třetí dekády prosince do konce roku. Největší denní úhrn nového sněhu dosáhl na Klínovci (20 cm).

Tab. 2.4.63 Průměrná vodní hodnota sněhu (mm) v dílčím povodí a její poměr k dlouhodobému normálu (%).

	I	II	III	IV	V	VI	VII	VIII	IX	X	XI	XII
(mm)	7,5	6,9	0,7	0	0	0	0	0	0	0	1,4	0,4
(%)	47	37	7	0	–	–	–	–	–	–	82	5



Obr. 2.4.27 Průměrná vodní hodnota sněhu v dílčím povodí v % dlouhodobého normálu.

Zásoby vody ve sněhové pokrývce byly v lednu podnormální (45 až 48 %), v povodí dolního Labe a Ploučnice mimořádně podnormální (18 %), v únoru byly podnormální až silně podnormální (28 až 52 %), v březnu byly mimořádně podnormální (2 až 6 %) a v dubnu byly nulové, tedy také mimořádně podnormální (0 %). V listopadu byly zásoby podnormální (65 %) v povodí horní Ohře, normální v povodí dolního Labe a Ploučnice a nadnormální (125 %) v povodí dolní Ohře a Bíliny. Prosinec byl ale opět mimořádně podnormální (4 až 5 %).

Tab. 2.4.64 Průměrná vodní hodnota sněhu (mm) v povodích dílčího povodí.

	I	II	III	IV	V	VI	VII	VIII	IX	X	XI	XII
horní Ohře	11,0	8,2	1,0	0	0	0	0	0	0	0	1,5	0,5
dolní Ohře a Bílina	4,0	4,5	0,1	0	0	0	0	0	0	0	1,0	0,2
dolní Labe a Ploučnice	1,9	3,7	0,1	0	0	0	0	0	0	0	1,1	0,2

Tab. 2.4.65 Průměrná vodní hodnota sněhu v povodích dílčího povodí v % dlouhodobého normálu.

	I	II	III	IV	V	VI	VII	VIII	IX	X	XI	XII
horní Ohře	48	28	6	0	–	–	–	–	–	–	65	4
dolní Ohře a Bílina	45	52	3	0	–	–	–	–	–	–	125	5
dolní Labe a Ploučnice	18	36	2	0	–	–	–	–	–	–	110	4

Průtok

Z hlediska odtoku byl rok silně podprůměrný (51 až 61 % Q_a), na Bílině byl dokonce mimořádně podprůměrný (39 % Q_a). Leden byl průměrný, na Bílině podprůměrný (48 %) a únor byl průměrný až podprůměrný (48 až 75 %). Březen byl silně podprůměrný (30 až 43 %), duben byl převážně silně podprůměrný (30 až 39 %), na Ploučnici průměrný a na Ohři v Lounech naopak mimořádně podprůměrný (25 %). Květen a červen byly odtokově podprůměrné až silně podprůměrné měsíce (36 až 49 %), Ploučnice byla opět průměrná. Červenec byl podprůměrný (43 až 53 %), Ploučnice stále průměrná. Srpen byl podprůměrný (40 až 51 %), na Bílině silně podprůměrný (32 %). Září bylo průměrné až podprůměrné (41 až 75 %), říjen byl průměrný, ale na Bílině mimořádně podprůměrný (38 %). Listopad byl převážně průměrný, na Ohři v Karlových Varech podprůměrný (54 %), na Bílině silně podprůměrný (34 %).

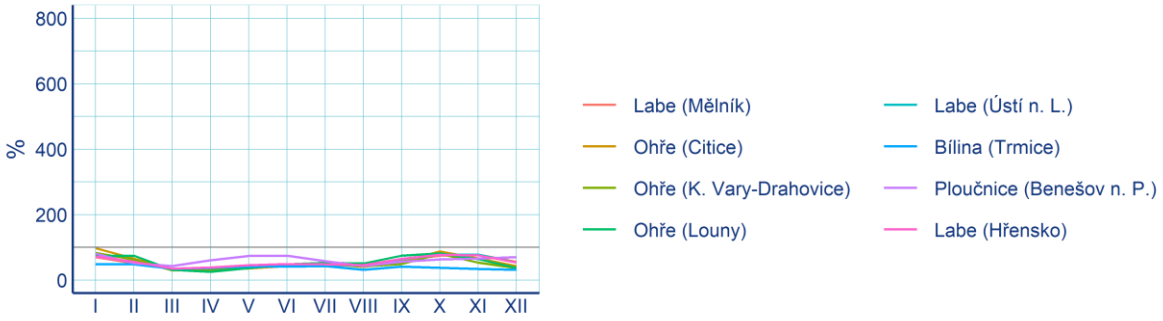
V prosinci byl odtok rozkolísaný, na Ploučnici byl průměrný, na Labi podprůměrný (54 až 56 %) a na Ohři silně podprůměrný (37 až 43 %), na Bílině dokonce mimořádně podprůměrný (32 %).

Na bilančních profilech se minimální průtoky menší než Q_{355d} vyskytovaly převážně od května do září, na Bílině od května až do konce roku (celkem 118 dní). Na ostatních bilančních profilech se minimální průtoky menší než Q_{355d} vyskytovaly v květnu na Ohři (6–23 dní), v červnu na Labi a Ohři (1–10 dní), v červenci na Labi, Ohři a Ploučnici (8–25 dní), v srpnu na Labi, Ohři a Ploučnici (9–28 dní) a v září na Labi, Ohři a Ploučnici (1–20 dní). Průtok menší než Q_{364d} se na bilančních profilech vyskytoval převážně od července do září. V červenci na Ohři a Labi (4–8 dní), v srpnu na Ohři, Labi, Bílině a Ploučnici (3–20 dní) a v září na Ohři a Bílině (1–11 dní). Navíc byl průtok menší než Q_{364d} zaznamenán v červnu na Ohři (3–6 dní) a v říjnu na Bílině (3 dny). Na nebilančních profilech (celkem 22 s povodím nad 100 km²) se průtoky menší než Q_{355d} vyskytovaly v dubnu na Ohři (5–6 dní), v květnu na Ohři, Teplé, Bílině a Ploučnici (3–28 dní), v červnu na Ohři, Odravě, Svatavě, Rolavě, Teplé, Bílině, Ploučnici a Labi (1–16 dní), v červenci na 14 profilech (1–31 dní), v srpnu na 17 profilech (1–28 dní), v září na 17 profilech (2–16 dní), v říjnu už jen na Svatavě, Teplé a Kamenici (1–7 dní) a dále na Teplé, Bílině a Kamenici v listopadu (2–14 dní) a v prosinci (3–6 dní). Průtoky pod Q_{364d} byly zaznamenány v červenci na Teplé a Labi (3 a 4 dny), v srpnu na Teplé, Libockém potoce, Ploučnici, Labi a Kamenici (1–13 dní), v září na Ohři, Svatavě, Teplé a Kamenici (2–14 dní) a v říjnu na Kamenici (4 dny).

Na bilančních i nebilančních profilech (s povodím nad 100 km²) se povodně nevyskytly.

Tab. 2.4.66 Průtok bilančními profily v % dlouhodobého průměru.

	I	II	III	IV	V	VI	VII	VIII	IX	X	XI	XII	2025
Labe (Mělník)	70	52	33	38	46	47	45	46	61	75	78	56	52
Ohře (Citice)	98	66	33	30	36	43	51	40	57	88	67	43	57
Ohře (K. Vary-Drahovice)	84	62	30	31	40	45	48	42	49	80	54	37	51
Ohře (Louny)	74	75	32	25	37	48	53	51	75	82	64	38	53
Labe (Ústí n. L.)	72	56	34	38	45	48	47	45	64	77	78	54	53
Bílina (Trmice)	48	48	35	37	42	41	43	32	41	38	34	32	39
Ploučnice (Benešov n. P.)	81	52	43	61	74	75	58	43	56	63	66	70	61
Labe (Hřensko)	72	56	35	39	46	49	48	46	65	77	76	54	53



Obr. 2.4.28 Průtok bilančními profily v % dlouhodobého průměru.

Podzemní vody

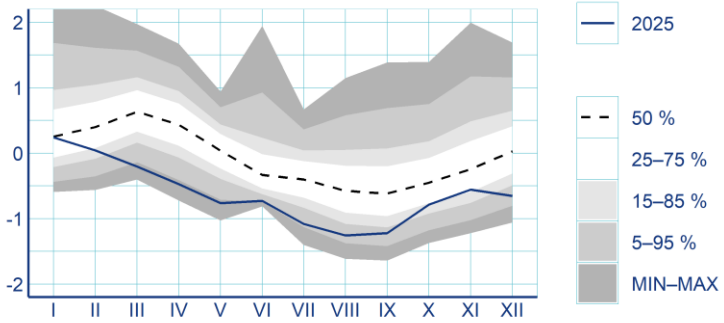
Mělké vrty

Roční hladina podzemní vody v mělkém oběhu byla celkově mimořádně podnormální (96 % KP). Normální roční maximum nastalo v lednu (51 % KP), poté hladina klesala a od března do května byla celkově mimořádně podnormální (96 % KP). Nejhorší stav byl v povodí dolního Labe a Ploučnice (97–99 % KP), naopak v povodí dolní Ohře a Bíliny byla hladina normální až mírně podnormální (66–82 % KP). Celkově

silně podnormální stav přetrval po celé léto a v srpnu nastalo roční minimum (92 % KP). Od září hladina stoupala až na celkově normální stav v listopadu (73 % KP), v prosinci klesla na silně podnormální (91 % KP).

Tab. 2.4.67 Pravděpodobnost překročení úrovně hladiny v mělkých vrtech v dílčím povodí (% KP).

	I	II	III	IV	V	VI	VII	VIII	IX	X	XI	XII	2025
(% KP)	51	77	96	96	96	94	94	92	89	76	73	91	96



Obr. 2.4.29 Režim úrovně hladiny v mělkých vrtech v dílčím povodí. Hodnoty byly standardizovány. Uvedeny jsou také kvantily křivky překročení (KP).

Tab. 2.4.68 Pravděpodobnost překročení úrovně hladiny v mělkých vrtech v povodích dílčího povodí (% KP).

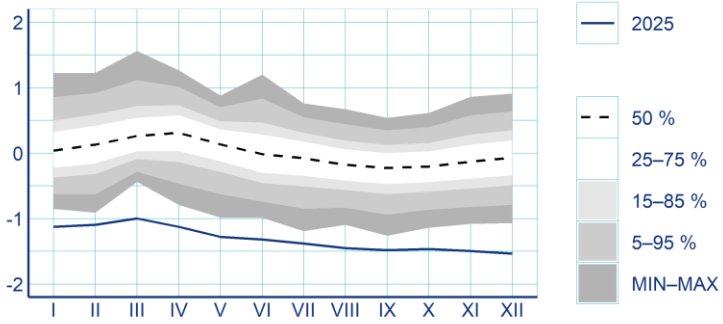
	I	II	III	IV	V	VI	VII	VIII	IX	X	XI	XII	2025
horní Ohře	42	69	91	95	94	71	93	88	91	68	66	91	93
dolní Ohře a Bílina	43	39	66	76	82	70	76	72	61	55	53	58	83
dolní Labe a Ploučnice	68	93	99	98	97	97	93	94	87	84	82	94	96

Prameny

Roční vydatnost pramenů byla celkově mimořádně podnormální (99 % KP). Mimořádně podnormální stav trval celý rok včetně ročního maxima v březnu a minima v prosinci (99–100 % KP), zároveň byla vydatnost nižší než minima v referenčním období 1991–2020. Pouze v povodí horní Ohře se stav lišil, na začátku roku byl normální a od normálního ročního maxima v únoru (53 % KP) se vydatnost zmenšovala, do června byla mírně podnormální (78–83 % KP), od července do listopadu silně podnormální (85–91 % KP), až dosáhla mimořádně podnormálního ročního minima v prosinci (96 % KP).

Tab. 2.4.69 Pravděpodobnost překročení vydatnosti pramenů v dílčím povodí (% KP).

	I	II	III	IV	V	VI	VII	VIII	IX	X	XI	XII	2025
(% KP)	100	99	100	100	99	100	99	100	99	100	100	100	99



Obr. 2.4.30 Režim vydatnosti pramenů v dílčím povodí. Hodnoty byly standardizovány. Uvedeny jsou také kvantily křivky překročení (KP).

Tab. 2.4.70 Pravděpodobnost překročení vydatnosti pramenů v povodích dílčího povodí (% KP).

	I	II	III	IV	V	VI	VII	VIII	IX	X	XI	XII	2025
horní Ohře	48	53	78	83	82	81	85	86	90	90	91	96	88
dolní Ohře a Bílina	86	94	97	98	99	98	99	98	97	97	96	97	100
dolní Labe a Ploučnice	100	99	100	99	99	98	98	99	99	99	99	99	99

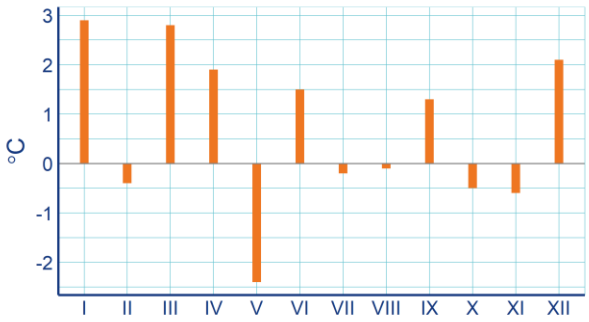
Dílčí povodí Horní Odra

Teplota vzduchu

Průměrná roční teplota vzduchu byla +8,7 °C, což představuje odchylku od normálu +0,7 °C. Rok tedy byl teplotně nadnormální. Nejvyšší průměrná měsíční teplota vzduchu (+19,9 °C) byla naměřena v červnu na stanici Karviná. Naopak nejnižší průměrná měsíční teplota vzduchu (–6,4 °C) byla zaznamenána v únoru na stanici Praděd. Nejvyšší maximální denní teplota vzduchu (+35,2 °C) byla zaznamenána 3. 7. na stanici Karviná. Nejnižší minimální denní teplota vzduchu (–18,1 °C) byla naměřena 19. 2. v Rýmařově.

Tab. 2.4.71 Průměrná teplota vzduchu (°C) v dílčím povodí a její odchylka od dlouhodobého normálu.

	I	II	III	IV	V	VI	VII	VIII	IX	X	XI	XII	2025
(°C)	1,1	–1,0	5,4	10,0	10,3	17,7	17,8	17,5	14,1	7,6	3,1	1,4	8,7
odchylka (°C)	2,9	–0,4	2,8	1,9	–2,4	1,5	–0,2	–0,1	1,3	–0,5	–0,6	2,1	0,7



Obr. 2.4.31 Odchylka průměrné teploty vzduchu (°C) v dílčím povodí od dlouhodobého normálu.

Leden byl teplotně nadnormální až silně nadnormální (odchylka +2,7 až +3,3 °C). Únor byl normální, březen silně nadnormální (+2,6 až +2,9 °C). Duben byl nadnormální až silně nadnormální (+1,8 až +2,1 °C), květen byl naopak teplotně silně podnormální (–2,3 až –2,5 °C). Červen byl nadnormální až silně

nadnormální (+1,4 až +1,6 °C), červenec a srpen byly normální. Září bylo teplotně nadnormální (+1,2 až +1,4 °C), říjen a listopad byly normální a prosinec byl opět nadnormální (+1,9 až +2,2 °C).

Tab. 2.4.72 Průměrná teplota vzduchu (°C) v povodích dílčího povodí.

	I	II	III	IV	V	VI	VII	VIII	IX	X	XI	XII	2025
Opava	0,7	−1,3	4,9	9,6	9,9	17,3	17,5	17,0	13,7	7,3	2,8	1,2	8,4
Olše	1,5	−1,0	5,7	10,2	10,5	18,0	18,0	18,0	14,4	7,7	3,3	1,6	9,0
Odra	1,2	−0,7	6,0	10,5	10,8	18,3	18,4	18,3	14,6	8,1	3,3	1,5	9,2
Bělá a Osoblaha	2,1	−0,6	5,4	10,1	10,3	17,6	18,0	17,3	14,1	8,0	3,5	1,7	9,0

Tab. 2.4.73 Odchylka průměrné teploty vzduchu (°C) v povodích dílčího povodí od dlouhodobého normálu.

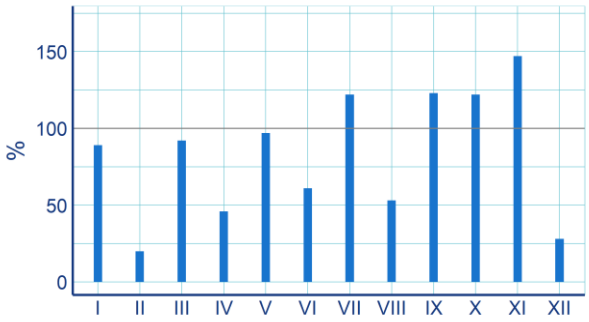
	I	II	III	IV	V	VI	VII	VIII	IX	X	XI	XII	2025
Opava	2,7	−0,3	2,6	1,9	−2,4	1,5	−0,2	−0,2	1,2	−0,5	−0,5	2,2	0,7
Olše	3,1	−0,5	2,9	2,0	−2,3	1,6	−0,2	0,2	1,4	−0,7	−0,7	2,1	0,7
Odra	2,8	−0,4	2,8	1,8	−2,5	1,4	−0,3	−0,1	1,2	−0,5	−0,8	1,9	0,6
Bělá a Osoblaha	3,3	−0,3	2,6	2,1	−2,3	1,5	0,0	−0,3	1,2	−0,3	−0,3	1,9	0,7

Srážky

Průměrný roční úhrn srážek byl 716 mm, což představuje 87 % normálu. Rok tedy byl srážkově podnormální. Nejvyšší roční úhrn srážek (1 355 mm) byl zaznamenán na stanici Lysá hora. Nejnižší roční úhrn srážek (460 mm) byl naměřen na stanici Město Albrechtice, Žáry. Nejvyšší měsíční úhrn srážek (304 mm) byl zaznamenán v červenci na stanici Lysá hora. Nejnižší měsíční úhrn srážek (1,4 mm) byl zaznamenán v únoru na stanici Slezská Harta. Nejvyšší denní úhrn srážek (130 mm) byl zaznamenán 27. 7. na stanici Lysá hora.

Tab. 2.4.74 Průměrný úhrn srážek (mm) v dílčím povodí a jeho poměr k dlouhodobému normálu (%).

	I	II	III	IV	V	VI	VII	VIII	IX	X	XI	XII	2025
(mm)	40	8	49	24	88	61	136	44	103	74	76	13	716
(%)	89	20	92	46	97	61	122	53	123	122	147	28	87



Obr. 2.4.32 Průměrný úhrn srážek v dílčím povodí v % dlouhodobého normálu.

Leden byl srážkově normální, únor byl silně až mimořádně podnormální (12 až 29 %) a březen byl opět normální. Duben byl srážkově podnormální až silně podnormální (38 až 53 %), květen byl normální a červen byl normální až podnormální, v povodí Bělé a Osoblahy byl silně podnormální (43 %). Červenec byl srážkově normální až nadnormální (106 až 140 %) a srpen byl podnormální, v povodí Opavy silně podnormální (43 %). Září a říjen byly srážkově normální až nadnormální (101 až 158 %), listopad byl

nadnormální (141 až 160 %) a prosinec byl naopak mimořádně podnormální (18 až 33 %), v povodí Opavy silně podnormální.

Tab. 2.4.75 Průměrný úhrn srážek (mm) v povodích dílčího povodí.

	I	II	III	IV	V	VI	VII	VIII	IX	X	XI	XII	2025
Opava	33	5	45	19	71	53	105	33	102	57	66	16	606
Olše	54	16	54	34	104	71	183	54	103	112	92	11	887
Odra	34	7	52	22	85	65	116	40	107	57	76	9	670
Bělá a Osoblaha	32	6	36	21	97	45	160	49	94	66	68	14	688

Tab. 2.4.76 Průměrný úhrn srážek v povodích dílčího povodí v % dlouhodobého normálu.

	I	II	III	IV	V	VI	VII	VIII	IX	X	XI	XII	2025
Opava	83	12	92	39	88	57	106	43	139	102	141	40	82
Olše	98	29	88	53	95	63	140	56	105	158	150	18	91
Odra	90	18	115	46	99	71	113	52	136	101	160	22	89
Bělá a Osoblaha	72	14	67	38	111	43	137	61	112	114	142	33	84

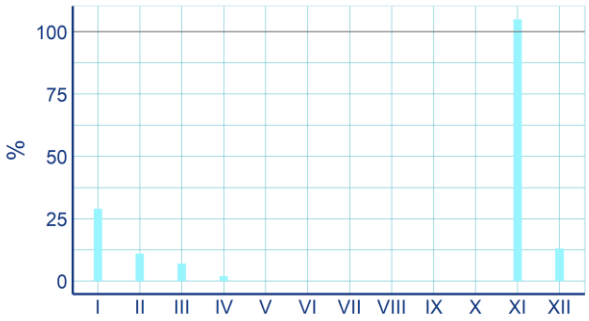
Sníh

V nižších a středních polohách se souvislá sněhová pokrývka udržela pouze přechodně v první polovině ledna. Na horách od 800 m n. m. leželo na začátku ledna více než 10 cm sněhu, na hřebenech až 70 cm. V první dekádě ledna připadlo až 20 cm nového sněhu, od druhé dekády sněžilo výrazněji a v polovině ledna dosahovala výška sněhu až kolem 100 cm. Zásoby vody ve sněhu byly v té době byly na maximu, což představovalo přibližně 70 % dlouhodobého normálu. Maximální výška nového sněhu byla naměřena ve druhé dekádě ledna na Lysé hoře (40 cm) a maximální výška pokrývky ve stejné dekádě na Malém Dědu (109 cm). Po tání ve druhé polovině ledna se ochladilo a na horách napadlo až 15 cm nového sněhu, následoval však srážkově velmi chudý únor. V Beskydech poklesla na Lysé hoře během druhé poloviny ledna výška sněhové pokrývky o více než 50 cm. V polovině února byly zásoby vody ve sněhu asi na 40 % normálu, nejvyšší vodní hodnota byla naměřena ve druhé dekádě února na Ovčárně (315 mm). V březnu sníh na horách již převážně odtával, přechodně ještě sněžilo i v první dekádě dubna a v polovině května.

Na konci roku se na horách sněhová pokrývka poprvé přechodně objevila koncem října. Výraznější sněžení přišlo ve druhé polovině listopadu a sníh se na horách vydržel až do první dekády prosince. Na konci prosince opět sněžilo ve všech polohách.

Tab. 2.4.77 Průměrná vodní hodnota sněhu (mm) v dílčím povodí a její poměr k dlouhodobému normálu (%).

	I	II	III	IV	V	VI	VII	VIII	IX	X	XI	XII
(mm)	6,5	3	1,4	0,1	0	0	0	0	0	0	2,2	1,2
(%)	29	11	7	2	–	–	–	–	–	–	105	13



Obr. 2.4.33 Průměrná vodní hodnota sněhu v dílčím povodí v % dlouhodobého normálu.

Zásoby vody ve sněhové pokrývce byly v lednu silně až mimořádně podnormální (17 až 36 %), v únoru byly silně podnormální (23 %) v povodí Bělé a Osoblahy, v ostatních povodích byly mimořádně podnormální (2 až 14 %). V březnu byly opět silně podnormální (20 %) v povodí Bělé a Osoblahy a mimořádně podnormální (1 až 8 %) v ostatních povodích. Duben byl ve všech povodích mimořádně podnormální (0 až 12 %). V listopadu byly zásoby podnormální (55 %) v povodí Olše, normální v povodí Bělé a Osoblahy, nadnormální (132 %) v povodí Opavy a silně nadnormální (183 %) v povodí Odry. Prosinec byl ve všech povodích opět mimořádně podnormální (8 až 15 %).

Tab. 2.4.78 Průměrná vodní hodnota sněhu (mm) v povodích dílčího povodí.

	I	II	III	IV	V	VI	VII	VIII	IX	X	XI	XII
Opava	5,9	1,3	0,1	0,0	0,0	0	0	0	0	0	2,5	1,4
Olše	8,1	4,6	1,9	0,0	0,1	0	0	0	0	0	1,6	1,0
Odra	2,5	0,3	0,1	0,0	0,0	0	0	0	0	0	2,2	0,8
Bělá a Osoblaha	7,8	5,9	4,0	0,5	0,1	0	0	0	0	0	1,5	0,9

Tab. 2.4.79 Průměrná vodní hodnota sněhu v povodích dílčího povodí v % dlouhodobého normálu.

	I	II	III	IV	V	VI	VII	VIII	IX	X	XI	XII
Opava	27	5	1	0	–	–	–	–	–	–	132	15
Olše	30	14	8	0	–	–	–	–	–	–	55	8
Odra	17	2	1	0	–	–	–	–	–	–	183	15
Bělá a Osoblaha	36	23	20	12	–	–	–	–	–	–	71	10

Průtok

Z hlediska odtoku byl rok podprůměrný až silně podprůměrný (50 až 72 % Q_a), na Opavě v Opavě dokonce mimořádně podprůměrný (45 % Q_a). Leden byl průměrný, na Odře v Bartošovicích nadprůměrný (138 %). Únor byl podprůměrný až silně podprůměrný (37 až 55 %), pouze na Opavě průměrný. Březen byl podprůměrný až silně podprůměrný (36 až 48 %), duben a květen byly převážně silně až mimořádně podprůměrné (26 až 42 %) a červen byl podprůměrný až mimořádně podprůměrný (28 až 57 %), pouze Odra v Bartošovicích měla odtok průměrný. V červenci a srpnu byl odtok v horních stanicích silně až mimořádně podprůměrný (17 až 37 %), v dolních průměrný až podprůměrný (41 až 93 %). Září bylo odtokově průměrné až silně podprůměrné (34 až 55 %). V říjnu měla odtok silně podprůměrný Odra v Bartošovicích (30 %), v ostatních stanicích byl odtok podprůměrný až průměrný, na Ostravici a Olši nadprůměrný (145 až 149 %). V listopadu byl odtok průměrný až nadprůměrný (66 až 162 %) a v prosinci byl průměrný.

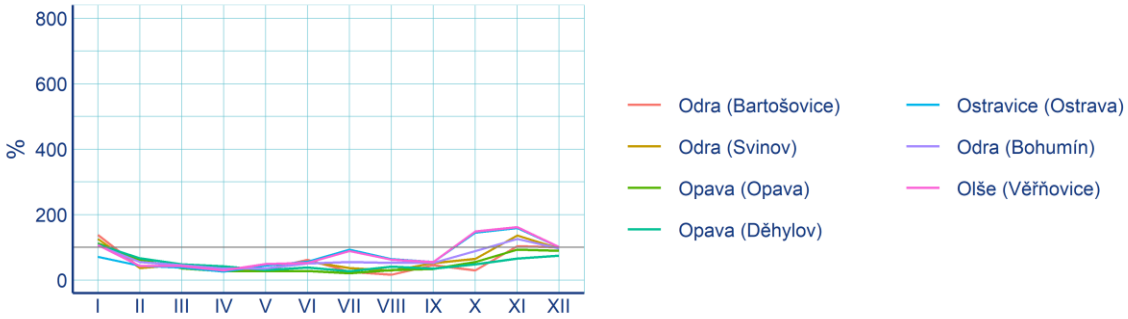
Na bilančních profilech byly minimální průtoky menší než Q_{355d} zaznamenány převážně od července do září, v červenci na Odře, Opavě a Olši (1–7 dní), v srpnu na Odře, Opavě a Ostravici (3–17 dní) a v září na Odře a Opavě (1–9 dní). Navíc se průtok menší než Q_{355d} vyskytl v květnu na Olši (6 dní) a v červnu na Opavě

a Olši (4 a 5 dní). Průtok menší než Q_{364d} se na bilančních profilech vyskytl pouze v srpnu, a to na Odře (2–5 dní) a na Opavě (1 den). Na nebilančních profilech (celkem 20 s povodím nad 100 km²) se průtoky menší než Q_{355d} vyskytovaly v březnu na Lučině a Lubině (1 a 2 dny), v červnu na Opavici, Moravici, Lučině a Osoblaze (1–11 dní), v červenci na Odře, Opavě, Opavici, Moravici, Lučině, Olši, Osoblaze a Bělé (1–7 dní), v srpnu na Odře, Lubině, Opavě, Opavici, Moravici, Morávce a Lučině (2–25 dní) a v září na Odře, Opavě, Opavici, Moravici a Lučině (4–10 dní). Průtok pod Q_{364d} se vyskytl pouze v červenci na Opavici a Osoblaze (2 a 6 dní) a v září na Opavici (1 den).

Na bilančních profilech se povodně nevyskytly. Na nebilančních profilech (s povodím nad 100 km²) byl pouze na Vidnavce v červenci zaznamenán průtok větší než Q_2.

Tab. 2.4.80 Průtok bilančními profily v % dlouhodobého průměru.

	I	II	III	IV	V	VI	VII	VIII	IX	X	XI	XII	2025
Odra (Bartošovice)	138	39	45	30	33	62	25	17	46	30	104	100	56
Odra (Svinov)	126	37	47	30	32	57	37	29	52	65	136	97	59
Opava (Opava)	113	62	36	27	27	28	21	31	34	55	93	90	45
Opava (Děhylov)	109	67	48	42	31	39	27	41	35	48	66	75	50
Ostravice (Ostrava)	71	44	39	26	45	56	93	64	55	145	159	101	68
Odra (Bohumín)	106	55	46	35	36	51	55	53	53	89	126	97	62
Olše (Věřňovice)	107	43	43	30	49	53	89	62	55	149	162	101	72



Obr. 2.4.34 Průtok bilančními profily v % dlouhodobého průměru.

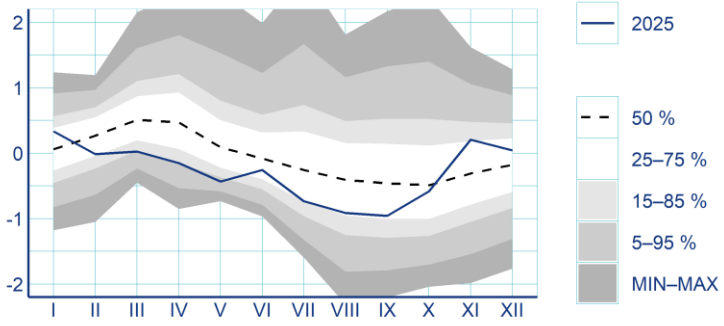
Podzemní vody

Mělké vrty

Roční hladina podzemní vody v mělkém oběhu byla celkově normální (74 % KP). Z normálního ročního maxima v lednu (28 % KP) hladina klesala až na silně podnormální v březnu (86 % KP). Pokles pokračoval do května (89 % KP), nejvýrazněji v povodí Olše (únor až květen, 89–92 % KP). V červnu došlo k vzestupu na normální stav a pak následoval pokles převážně v mezích normálu na celkově normální roční minimum v září (73 % KP). Do listopadu hladina stoupala, v povodí Olše a Odry až na silně nadnormální (11–15 % KP). V prosinci hladina mírně poklesla na celkově normální (35 % KP).

Tab. 2.4.81 Pravděpodobnost překročení úrovně hladiny v mělkých vrtech v dílčím povodí (% KP).

	I	II	III	IV	V	VI	VII	VIII	IX	X	XI	XII	2025
(% KP)	28	73	86	85	89	64	75	74	73	55	24	35	75



Obr. 2.4.35 Režim úrovně hladiny v mělkých vrtech v dílčím povodí. Hodnoty byly standardizovány. Uvedeny jsou také kvantily křivky překročení (KP).

Tab. 2.4.82 Pravděpodobnost překročení úrovně hladiny v mělkých vrtech v povodích dílčího povodí (% KP).

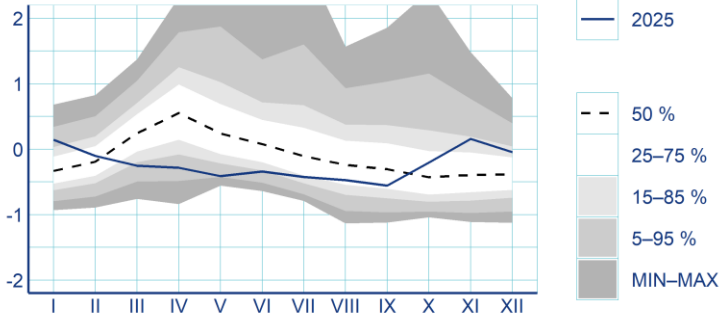
	I	II	III	IV	V	VI	VII	VIII	IX	X	XI	XII	2025
Opava	23	61	80	86	91	62	80	82	83	75	56	56	79
Olše	67	89	93	89	89	68	69	68	64	37	11	36	78
Odra	19	58	65	65	77	52	72	73	66	44	15	22	55
Bělá a Osoblaha	19	64	89	91	84	77	78	53	75	68	36	37	83

Prameny

Roční vydatnost pramenů byla celkově mírně podnormální (80 % KP). Leden byl silně nadnormální (10 % KP) a v povodí Opavy a Bělé a Osoblahy nastalo roční maximum (10 %, resp. 7 % KP). Poté se vydatnost zmenšovala a od března do června byla celkově silně podnormální (86–95 % KP). Během léta trval mimořádně podnormální stav v povodí Opavy, v ostatních povodích byla vydatnost převážně normální. Celkově normální roční minimum nastalo v září (71 % KP). Poté se vydatnost zvětšovala, v listopadu nastalo mimořádně nadnormální roční maximum v povodí Olše (2 % KP), mírně nadnormální bylo v povodí Odry (23 % KP). Mimořádně nadnormální až normální stav přetrval do konce roku.

Tab. 2.4.83 Pravděpodobnost překročení vydatnosti pramenů v dílčím povodí (% KP).

	I	II	III	IV	V	VI	VII	VIII	IX	X	XI	XII	2025
(% KP)	10	40	88	91	95	86	77	70	71	34	16	20	80



Obr. 2.4.36 Režim vydatnosti pramenů v dílčím povodí. Hodnoty byly standardizovány. Uvedeny jsou také kvantily křivky překročení (KP).

Tab. 2.4.84 Pravděpodobnost překročení vydatnosti pramenů v povodích dílčího povodí (% KP).

	I	II	III	IV	V	VI	VII	VIII	IX	X	XI	XII	2025
Opava	10	20	87	96	98	98	100	99	96	98	73	43	100
Olše	22	63	82	80	80	74	51	40	24	5	2	2	27
Odra	28	67	84	79	89	67	68	68	65	35	23	24	74
Bělá a Osoblaha	7	21	78	92	88	88	72	60	85	59	29	43	77

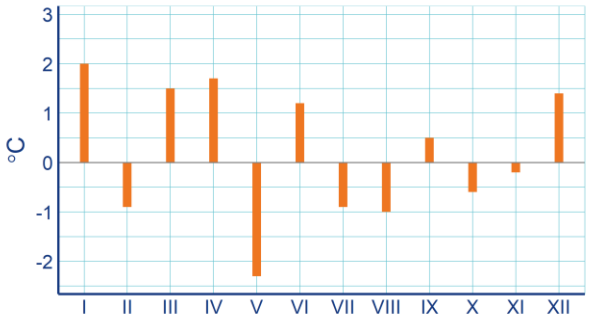
Dílčí povodí Lužická Nisa a ostatní přítoky Odry

Teplota vzduchu

Průměrná roční teplota vzduchu byla +8,0 °C, což představuje odchylku od normálu +0,2 °C. Rok tedy byl teplotně normální.

Tab. 2.4.85 Průměrná teplota vzduchu (°C) v dílčím povodí a její odchylka od dlouhodobého normálu.

	I	II	III	IV	V	VI	VII	VIII	IX	X	XI	XII	2025
(°C)	0,6	−1,4	4,0	9,3	9,9	16,7	16,5	15,9	12,9	7,4	3,3	1,2	8,0
odchylka (°C)	2,0	−0,9	1,5	1,7	−2,3	1,2	−0,9	−1,0	0,5	−0,6	−0,2	1,4	0,2



Obr. 2.4.37 Odchylka průměrné teploty vzduchu (°C) v dílčím povodí od dlouhodobého normálu.

Leden byl teplotně nadnormální (odchylka +2,0 °C), únor a březen byly normální, duben byl opět nadnormální (+1,7 až +2,0 °C), květen naopak silně podnormální (−2,2 až −2,6 °C). Červen byl teplotně normální až nadnormální (+1,0 až +1,3 °C), období od července až do konce roku bylo normální s výjimkou nadnormální teploty (+2,0 °C) v povodí Stěnavy v prosinci.

Tab. 2.4.86 Průměrná teplota vzduchu (°C) v povodích dílčího povodí.

	I	II	III	IV	V	VI	VII	VIII	IX	X	XI	XII	2025
Stěnava	−0,2	−2,1	3,3	9,0	9,2	16,4	16,7	15,7	12,5	6,9	2,5	0,9	7,6
Smědá, Luž. Nisa a Mandava	0,9	−1,1	4,4	9,6	10,3	17,0	16,6	16,1	13,2	7,8	3,6	1,3	8,3

Tab. 2.4.87 Odchylka průměrné teploty vzduchu (°C) v povodích dílčího povodí od dlouhodobého normálu.

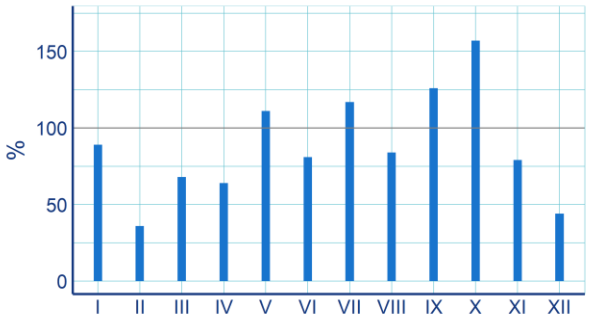
	I	II	III	IV	V	VI	VII	VIII	IX	X	XI	XII	2025
Stěnava	2	−0,9	1,5	2,0	−2,6	1,0	−0,3	−0,7	0,8	−0,4	−0,5	2,0	0,3
Smědá, Luž. Nisa a Mandava	2	−0,9	1,5	1,7	−2,2	1,3	−1,0	−1,0	0,5	−0,5	−0,1	1,3	0,2

Srážky

Průměrný roční úhrn srážek byl 804 mm, což představuje 91 % normálu. Rok tedy byl srážkově normální.

Tab. 2.4.88 Průměrný úhrn srážek (mm) v dílčím povodí a jeho poměr k dlouhodobému normálu (%).

	I	II	III	IV	V	VI	VII	VIII	IX	X	XI	XII	2025
(mm)	60	20	44	29	88	76	133	86	91	100	48	29	804
(%)	89	36	68	64	111	81	117	84	126	157	79	44	91



Obr. 2.4.38 Průměrný úhrn srážek v dílčím povodí v % dlouhodobého normálu.

Leden byl srážkově normální, únor ale byl podnormální, v povodí Stěnavy mimořádně podnormální (15 %). Březen a duben byly normální až podnormální (56 až 93 %). Období od května do srpna bylo srážkově normální, září bylo normální až nadnormální (120 až 149 %) a říjen byl nadnormální (141 až 150 %). Listopad byl normální a prosinec byl silně podnormální (39 až 42 %).

Tab. 2.4.89 Průměrný úhrn srážek (mm) v povodích dílčího povodí.

	I	II	III	IV	V	VI	VII	VIII	IX	X	XI	XII	2025
Stěnava	37	6	31	38	77	58	91	54	93	75	44	20	625
Smědá, Luž. Nisa a Mandava	62	23	46	26	85	79	141	91	88	98	48	29	816

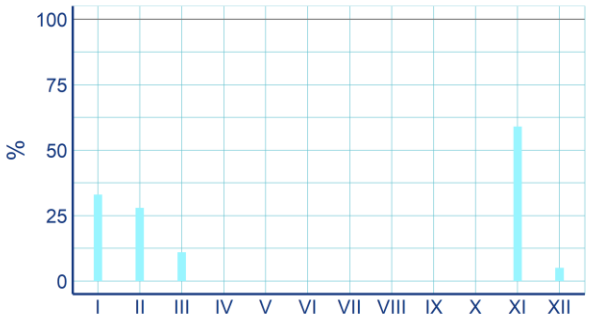
Tab. 2.4.90 Průměrný úhrn srážek v povodích dílčího povodí v % dlouhodobého normálu.

	I	II	III	IV	V	VI	VII	VIII	IX	X	XI	XII	2025
Stěnava	69	15	56	93	104	71	89	68	149	141	94	39	84
Smědá, Luž. Nisa a Mandava	90	40	70	56	107	82	123	86	120	150	76	42	90

Sníh

Tab. 2.4.91 Průměrná vodní hodnota sněhu (mm) v dílčím povodí a její poměr k dlouhodobému normálu (%).

	I	II	III	IV	V	VI	VII	VIII	IX	X	XI	XII
(mm)	8,8	9,6	2,7	0	0	0	0	0	0	0	1,6	0,6
(%)	33	28	11	0	–	–	–	–	–	–	59	5



Obr. 2.4.39 Průměrná vodní hodnota sněhu v dílčím povodí v % dlouhodobého normálu.

Zásoby vody ve sněhu byly v lednu a únoru silně podnormální (22 až 33 %), v březnu (6 až 11 %) a dubnu (0 %) byly mimořádně podnormální. V listopadu byly zásoby podnormální (44 až 69 %) a v prosinci opět mimořádně podnormální (5 až 7 %).

Tab. 2.4.92 Průměrná vodní hodnota sněhu (mm) v povodích dílčího povodí.

	I	II	III	IV	V	VI	VII	VIII	IX	X	XI	XII
Stěnava	5,3	4,6	0,9	0	0	0	0	0	0	0	0,8	0,6
Smědá, Luž. Nisa a Mandava	8,4	9,7	2,6	0	0	0	0	0	0	0	1,8	0,6

Tab. 2.4.93 Průměrná vodní hodnota sněhu v povodích dílčího povodí v % dlouhodobého normálu.

	I	II	III	IV	V	VI	VII	VIII	IX	X	XI	XII
Stěnava	26	22	6	0	–	–	–	–	–	–	44	7
Smědá, Luž. Nisa a Mandava	33	30	11	0	–	–	–	–	–	–	69	5

Průtok

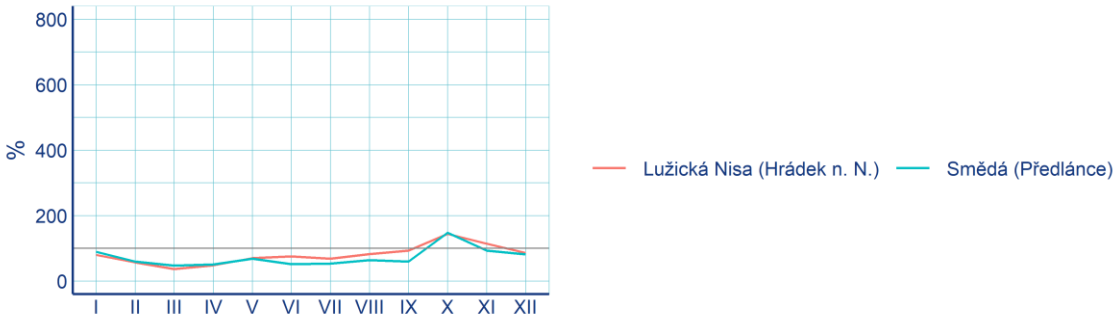
Rok byl z hlediska odtoku podprůměrný (68 až 73 % Q_a). Leden byl odtokově průměrný, únor byl průměrný až podprůměrný (57 až 60 %), březen podprůměrný až silně podprůměrný (37 až 47 %) a duben byl podprůměrný (48 až 51 %). Květen byl průměrný, červen a červenec byly průměrné až podprůměrné (52 až 76 %) a srpen a září byly opět průměrné. Říjen byl odtokově nadprůměrný (144 až 148 %), ale listopad a prosinec byly opět průměrné.

Na bilančních profilech byly minimální průtoky menší než Q_{355d} zaznamenány pouze v červenci na Lužické Nise (2 dny). Průtok menší než Q_{364d} nebyl na bilančních profilech zaznamenán. Na nebilančních profilech (celkem 4 s povodím nad 100 km²) se průtoky menší než Q_{355d} vyskytly pouze v červenci na Smědé (1 den) a v srpnu na Stěnavě (8 dní). Průtok pod Q_{364d} nebyl na nebilančních profilech zaznamenán.

Na bilančních i nebilančních profilech (s povodím nad 100 km²) se povodně nevyskytly.

Tab. 2.4.94 Průtok bilančními profily v % dlouhodobého průměru.

	I	II	III	IV	V	VI	VII	VIII	IX	X	XI	XII	2025
Lužická Nisa (Hrádek n. N.)	80	57	37	48	70	76	69	83	93	144	114	86	73
Smědá (Předlánce)	90	60	47	51	69	52	54	64	60	148	93	82	68



Obr. 2.4.40 Průtok bilančními profily v % dlouhodobého průměru.

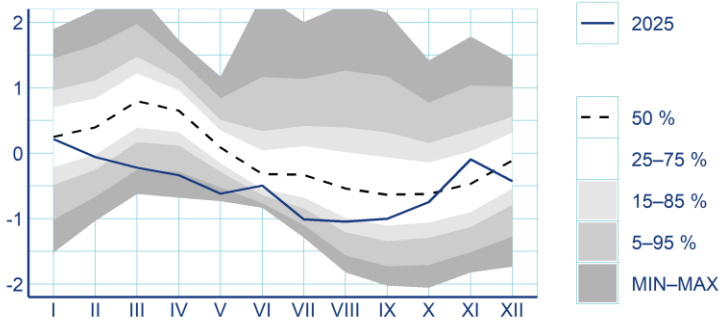
Podzemní vody

Mělké vrty

Roční hladina podzemní vody v mělkém oběhu byla celkově silně podnormální (85 % KP). Normální roční maximum nastalo v lednu (52 % KP), v povodí Stěnavy bylo dokonce mírně nadnormální (25 % KP). Poté hladina rychle klesala a od dubna do května byla mimořádně podnormální (96–97 % KP). V červnu nastal vzestup na celkově normální stav (69 % KP), v červenci ale opět hladina klesla na silně podnormální (92 % KP) a v srpnu nastalo mírně podnormální roční minimum (78 % KP). Od září do konce roku hladina převážně stoupala v mezích normálu (30–70 % KP).

Tab. 2.4.95 Pravděpodobnost překročení úrovně hladiny v mělkých vrtech v dílčím povodí (% KP).

	I	II	III	IV	V	VI	VII	VIII	IX	X	XI	XII	2025
(% KP)	52	77	95	96	97	69	92	78	70	58	30	69	85



Obr. 2.4.41 Režim úrovně hladiny v mělkých vrtech v dílčím povodí. Hodnoty byly standardizovány. Uvedeny jsou také kvantily křivky překročení (KP).

Tab. 2.4.96 Pravděpodobnost překročení úrovně hladiny v mělkých vrtech v povodích dílčího povodí (% KP).

	I	II	III	IV	V	VI	VII	VIII	IX	X	XI	XII	2025
Stěnava	25	66	87	94	96	84	93	90	88	81	36	65	85
Smědá, Lužická Nisa a Mandava	62	79	96	96	95	57	83	63	52	41	29	69	83

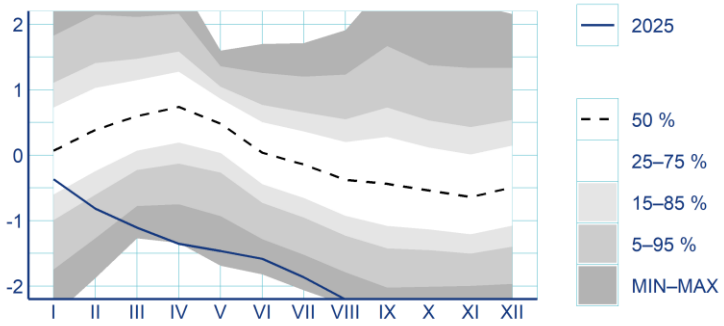
Prameny

Roční vydatnost pramenů byla celkově mimořádně podnormální (98 % KP). Normální roční maximum nastalo v lednu (67 % KP). Už v únoru se ale vydatnost zmenšila na silně podnormální (89 % KP) a od

března do konce roku byla mimořádně podnormální (97–99 % KP). Roční minimum nastalo v říjnu (99 % KP).

Tab. 2.4.97 Pravděpodobnost překročení vydatnosti pramenů v dílčím povodí (% KP).

	I	II	III	IV	V	VI	VII	VIII	IX	X	XI	XII	2025
(% KP)	67	89	98	98	98	97	98	98	98	99	98	98	98



Obr. 2.4.42 Režim vydatnosti pramenů v dílčím povodí. Hodnoty byly standardizovány. Uvedeny jsou také kvantily křivky překročení (KP).

Tab. 2.4.98 Pravděpodobnost překročení vydatnosti pramenů v povodích dílčího povodí (% KP).

	I	II	III	IV	V	VI	VII	VIII	IX	X	XI	XII	2025
Stěnava	67	89	98	98	98	97	98	98	98	99	98	98	98

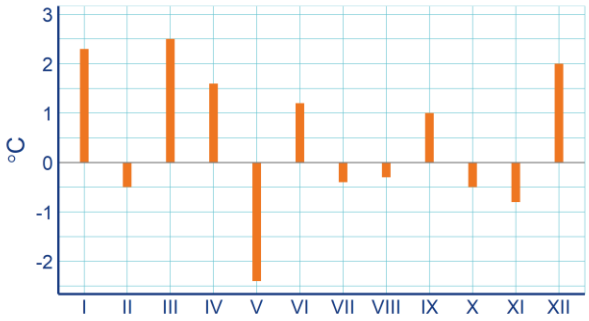
Dílčí povodí Morava a přítoky Váhu

Teplota vzduchu

Průměrná roční teplota vzduchu byla +9,0 °C, což představuje odchylku od normálu +0,5 °C (v jednotlivých povodích +0,3 až +0,5 °C). Rok tedy byl teplotně normální. Nejvyšší průměrná měsíční teplota vzduchu (+20,4 °C) byla naměřena v srpnu na stanici Šternberk. Nejnižší průměrná měsíční teplota vzduchu (−6,1 °C) byla naměřena v únoru na stanici Kralický Sněžník. Nejvyšší maximální denní teplota vzduchu (+36,6 °C) byla naměřena 3. 7. na stanici Strážnice. Nejnižší minimální denní teplota vzduchu (−17,2 °C) byla naměřena 19. 2. na stanici Štíty.

Tab. 2.4.99 Průměrná teplota vzduchu (°C) v dílčím povodí a její odchylka od dlouhodobého normálu.

	I	II	III	IV	V	VI	VII	VIII	IX	X	XI	XII	2025
(°C)	0,5	−0,9	5,7	10,4	11,0	18,2	18,3	18,0	14,4	8,0	3,2	1,5	9,0
odchylka (°C)	2,3	−0,5	2,5	1,6	−2,4	1,2	−0,4	−0,3	1,0	−0,5	−0,8	2,0	0,5



Obr. 2.4.43 Odchylka průměrné teploty vzduchu (°C) v dílčím povodí od dlouhodobého normálu.

Leden byl teplotně nadnormální (odchylka +1,9 až +2,7 °C), únor byl normální a březen a duben byly opět nadnormální (+1,3 až +2,5 °C) s výjimkou silně nadnormálního (+2,6 až +2,7 °C) povodí Bečvy a střední Moravy v březnu. Květen byl naopak teplotně silně podnormální (–2,3 až –2,7 °C) a červen byl opět nadnormální (+1,1 až +1,3 °C). Období od července do listopadu bylo normální s výjimkou nadnormálního září v povodí Bečvy, střední Moravy a Vláry, prosinec byl nadnormální (+1,9 až +2,3 °C).

Tab. 2.4.100 Průměrná teplota vzduchu (°C) v povodích dílčího povodí.

	I	II	III	IV	V	VI	VII	VIII	IX	X	XI	XII	2025
horní Morava	−0,3	−1,5	5,0	10,0	10,4	17,5	17,8	17,4	13,8	7,5	2,7	1,0	8,4
Bečva	0,7	−1,2	5,4	9,8	10,2	17,7	17,7	17,5	14,1	7,5	3,0	1,4	8,7
střední Morava	1,0	−0,3	6,4	11,1	11,7	18,9	19,0	18,9	15,1	8,5	3,5	1,7	9,6
dolní Morava	1,3	−0,1	6,4	11,2	11,9	19,1	19,2	18,6	15,3	8,8	3,9	2,2	9,8
Vlára	0,6	−1,0	5,3	9,8	10,4	18,0	17,8	17,4	14,2	7,6	3,2	1,7	8,8

Tab. 2.4.101 Odchylka průměrné teploty vzduchu (°C) v povodích dílčího povodí od dlouhodobého normálu.

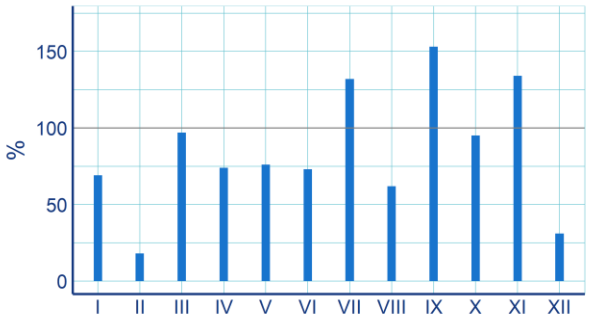
	I	II	III	IV	V	VI	VII	VIII	IX	X	XI	XII	2025
horní Morava	1,9	−0,6	2,3	1,8	−2,5	1,2	−0,3	−0,4	0,9	−0,4	−0,6	2,1	0,4
Bečva	2,7	−0,4	2,7	1,6	−2,6	1,2	−0,5	−0,2	1,3	−0,8	−0,9	2,1	0,5
střední Morava	2,4	−0,4	2,6	1,6	−2,3	1,3	−0,4	−0,2	1,1	−0,5	−0,9	1,9	0,5
dolní Morava	2,3	−0,7	2,2	1,3	−2,5	1,1	−0,5	−0,7	1,0	−0,6	−1,0	2,0	0,3
Vlára	2,6	−0,4	2,5	1,5	−2,7	1,2	−0,6	−0,2	1,4	−0,8	−1,0	2,3	0,5

Srážky

Průměrný roční úhrn srážek byl 629 mm, což představuje 89 % normálu (83 až 95 % v jednotlivých povodích). Rok tedy byl srážkově podnormální. Nejvyšší roční úhrn srážek (985 mm) byl zaznamenán na stanici Kudlačena. Naopak nejnižší roční úhrn srážek (466 mm) byl naměřen na stanici Kralice na Hané. Nejvyšší měsíční úhrn srážek (198 mm) byl zaznamenán v červenci na stanici Velké Kralovice. Nejnižší měsíční úhrn srážek (3 mm) byl naměřen v únoru na stanici Luká. Nejvyšší denní úhrn srážek (77 mm) byl zaznamenán 24. 4. na stanici Plumlov.

Tab. 2.4.102 Průměrný úhrn srážek (mm) v dílčím povodí a jeho poměr k dlouhodobému normálu (%).

	I	II	III	IV	V	VI	VII	VIII	IX	X	XI	XII	2025
(mm)	30	7	45	32	56	59	121	45	103	50	64	15	629
(%)	69	18	97	74	76	73	132	62	153	95	134	31	89



Obr. 2.4.44 Průměrný úhrn srážek v dílčím povodí v % dlouhodobého normálu.

Leden byl srážkově normální až podnormální (50 až 76 %) a únor byl silně až mimořádně podnormální (15 až 24 %). Březen byl normální, pouze na dolní Moravě nadnormální (135 %), období od dubna do června bylo normální až podnormální (55 až 98 %), v povodí Vlára byl červen silně podnormální (45 %). Červenec byl srážkově převážně nadnormální až silně nadnormální (114 až 182 %) a srpen byl opět normální až podnormální (49 až 88 %). Září bylo převážně nadnormální až silně nadnormální (125 až 168 %), říjen byl srážkově normální, listopad byl normální až nadnormální (121 až 155 %) a prosinec byl silně až mimořádně podnormální (19 až 40 %).

Tab. 2.4.103 Průměrný úhrn srážek (mm) v povodích dílčího povodí.

	I	II	III	IV	V	VI	VII	VIII	IX	X	XI	XII	2025
horní Morava	38	6	39	24	60	51	106	36	102	53	59	20	594
Bečva	40	10	54	34	80	71	146	53	104	82	74	11	758
střední Morava	21	6	45	39	45	67	119	45	106	34	65	12	605
dolní Morava	17	7	54	28	39	49	147	55	87	30	65	15	594
Vlára	35	13	52	38	63	36	130	58	90	73	74	12	675

Tab. 2.4.104 Průměrný úhrn srážek v povodích dílčího povodí v % dlouhodobého normálu.

	I	II	III	IV	V	VI	VII	VIII	IX	X	XI	XII	2025
horní Morava	76	15	79	58	84	64	114	49	155	104	121	40	83
Bečva	72	18	94	60	90	76	134	63	127	125	126	19	88
střední Morava	62	19	112	98	66	85	141	67	168	72	151	31	95
dolní Morava	50	21	135	69	55	62	182	88	141	65	155	36	93
Vlára	61	24	95	73	83	45	137	77	125	117	124	20	84

Sníh

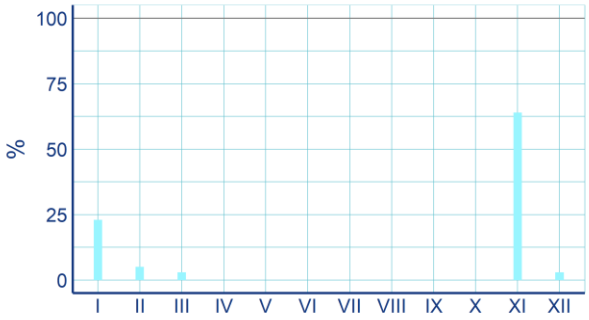
V nižších polohách ležela souvislá sněhová pokrývka převážně jen ve druhé dekádě ledna. Ve stejné dekádě sněžilo ve všech polohách a během dvou dnů napadlo až 30 cm nového sněhu. Na konci ledna zůstával sníh již jen ve vyšších a horských polohách, kde se pokrývka udržela většinou až do poloviny března. Maximum výšky sněhu bylo naměřeno ve druhé dekádě února na Králickém Sněžníku (89 cm), nejvyšší vodní hodnota ve druhé dekádě ledna na stanici Dlouhé Stráně, Kouty nad Desnou (161 mm), kdy byly zároveň zásoby vody ve sněhu v povodí maximální. Únor a březen byly na nový sníh chudé, v březnu se mimo horské polohy sníh již nevyskytoval. Na Králickém Sněžníku sněhová pokrývka přetrvávala ještě na začátku dubna a v nejvyšších polohách se přechodně vyskytovala i ve druhé a třetí dekádě května.

První sníh se na horách objevil již na začátku října, na hřebenech Jeseníků napadlo asi 5 cm. Ve třetí dekádě října na horách přechodně napadlo až 20 cm. Ve druhé a třetí dekádě listopadu se sníh vyskytoval

i v nižších polohách, na horách vydržel až do první dekády prosince. V poslední dekádě prosince sníh opět přibýval ve středních i vyšších polohách.

Tab. 2.4.105 Průměrná vodní hodnota sněhu (mm) v dílčím povodí a její poměr k dlouhodobému normálu (%).

	I	II	III	IV	V	VI	VII	VIII	IX	X	XI	XII
(mm)	4,4	1,1	0,3	0	0	0	0	0	0	0	0,7	0,2
(%)	23	5	3	0	–	–	–	–	–	–	64	3



Obr. 2.4.45 Průměrná vodní hodnota sněhu v dílčím povodí v % dlouhodobého normálu.

Zásoba vody ve sněhové pokrývce byla v lednu silně až mimořádně podnormální (4 až 35 %) a od února do dubna mimořádně podnormální (0 až 8 %). V listopadu byly zásoby mimořádně podnormální (15 %) v povodí Vláry, podnormální (53 %) v povodí Bečvy, v ostatních povodích byly normální, v prosinci byly zásoby ve všech povodích mimořádně podnormální (0 až 5 %).

Tab. 2.4.106 Průměrná vodní hodnota sněhu (mm) v povodích dílčího povodí.

	I	II	III	IV	V	VI	VII	VIII	IX	X	XI	XII
horní Morava	8,4	2,2	0,7	0,1	0	0	0	0	0	0	1,2	0,4
Bečva	6,1	0,8	0,2	0,0	0	0	0	0	0	0	1,0	0,4
střední Morava	0,8	0,3	0,0	0,0	0	0	0	0	0	0	0,4	0,1
dolní Morava	0,4	0,1	0,0	0,0	0	0	0	0	0	0	0,3	0,0
Vlára	3,2	0,1	0,0	0,0	0	0	0	0	0	0	0,2	0,1

Tab. 2.4.107 Průměrná vodní hodnota sněhu v povodích dílčího povodí v % dlouhodobého normálu.

	I	II	III	IV	V	VI	VII	VIII	IX	X	XI	XII
horní Morava	35	8	4	4	–	–	–	–	–	–	75	5
Bečva	22	2	1	0	–	–	–	–	–	–	53	4
střední Morava	7	3	0	0	–	–	–	–	–	–	80	3
dolní Morava	4	1	0	0	–	–	–	–	–	–	75	0
Vlára	13	0	0	0	–	–	–	–	–	–	15	1

Průtok

Z hlediska odtoku byl rok podprůměrný až silně podprůměrný (50 až 72 % Q_a). Leden byl odtokově průměrný, únor byl na Moravě po Olomouc průměrný, od Kroměříže podprůměrný (53 až 54 %), na Bečvě a Rožnovské Bečvě silně podprůměrný (31 až 37 %) a na Vsetínské Bečvě mimořádně podprůměrný (24 %). Březen byl silně podprůměrný (40 až 44 %), pouze na Moravě v Moravičanech podprůměrný (54 %). Duben byl na profilech Moravy silně podprůměrný (35 až 40 %), v Moravičanech podprůměrný (45 %) a na

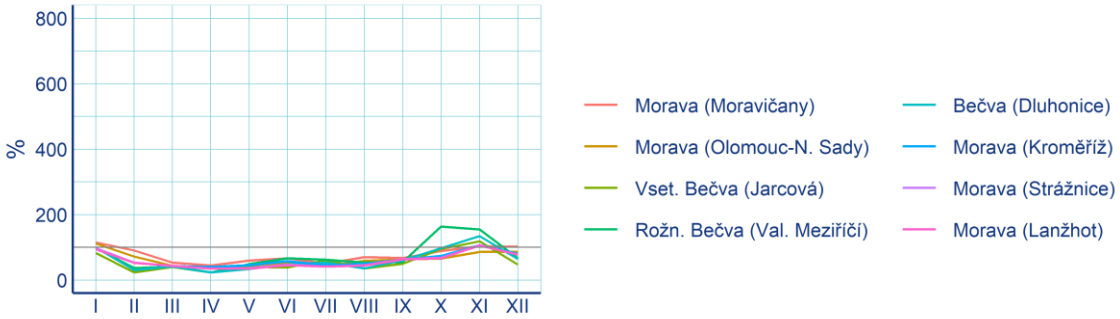
profilech Bečvy mimořádně podprůměrný (24 %). Květen byl odtokově podprůměrný až silně podprůměrný (34 až 49 %), na Moravě v Moravičanech průměrný. Červen a červenec byly průměrné až podprůměrné (41 až 67 %), s výjimkou silně podprůměrné (39 %) Vsetínské Bečvy v červnu. Srpen byl podprůměrný až silně podprůměrný (36 až 54 %), na horní Moravě průměrný. V září a říjnu byl odtok průměrný, pouze Vsetínská Bečva v září byla podprůměrná (50 %) a Rožnovské Bečva v říjnu naopak nadprůměrná (164 %). Listopad byl převážně průměrný, na Rožnovské Bečvě a Bečvě byl nadprůměrný (135 až 155 %). Prosinec byl převážně průměrný, na Bečvě podprůměrný (64 %) a na Vsetínské Bečvě silně podprůměrný (47 %).

Na bilančních profilech se minimální průtoky menší než Q_{355d} vyskytovaly převážně v srpnu na Moravě, Vsetínské Bečvě a Bečvě (1–13 dní), na Moravě také v červenci (3 dny) a v září (2 dny). Průtok menší než Q_{364d} nebyl na bilančních profilech zaznamenán. Na nebilančních profilech (celkem 25 s povodím nad 100 km²) se minimální průtoky menší Q_{355d} vyskytovaly v červnu na Třebůvce, Oskavě, Senici a Olšavě (1–5 dní), v červenci na Krupé, Jevíčce, Třebůvce, Oskavě, Senici, Moštěnce, Moravě a Olšavě (1–6 dní), v srpnu na 10 profilech (1–17 dní), v září na Krupé, Třebůvce, Oskavě, Senici, Dřevnici a Olšavě (1–12 dní) a dále pouze na Dřevnici v říjnu (8 dní) a v listopadu (7 dní). Průtok menší než Q_{364d} se vyskytl pouze v srpnu na Senici (10 dní) a Olšavě (11 dní).

Na bilančních i nebilančních profilech (s povodím nad 100 km²) se povodně nevyskytly.

Tab. 2.4.108 Průtok bilančními profily v % dlouhodobého průměru.

	I	II	III	IV	V	VI	VII	VIII	IX	X	XI	XII	2025
Morava (Moravičany)	115	91	54	45	60	67	50	70	68	89	104	102	72
Morava (Olomouc-N. Sady)	112	72	44	37	45	54	43	59	63	66	86	87	61
Vset. Bečva (Jarcová)	83	24	40	24	40	39	61	36	50	95	119	47	50
Rožn. Bečva (Val. Meziříčí)	98	37	41	24	49	67	62	54	55	164	155	67	65
Bečva (Dluhonice)	99	31	42	24	34	48	54	36	61	98	135	64	55
Morava (Kroměříž)	98	54	43	40	46	58	46	50	63	74	107	81	60
Morava (Strážnice)	98	54	43	35	37	47	41	46	64	69	107	77	56
Morava (Lanžhot)	94	53	44	35	35	46	41	45	63	67	106	78	56



Obr. 2.4.46 Průtok bilančními profily v % dlouhodobého průměru.

Podzemní vody

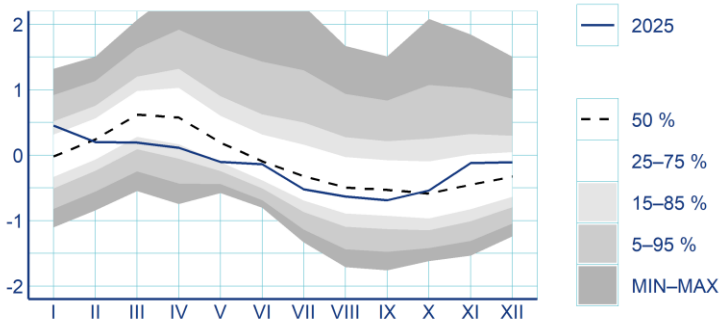
Mělké vrty

Roční hladina podzemní vody v mělkém oběhu byla celkově normální (64 % KP). Mírně nadnormální roční maximum nastalo v lednu (18 % KP), v povodí horní Moravy bylo silně nadnormální (14 % KP). Poté hladina klesala a od března do května byla celkově mírně podnormální (75–80 % KP), v povodí střední Moravy byla normální (62–71 % KP). Od června do konce roku se hladina celkově pohybovala v mezích

normálu (31–64 % KP). Normální roční minimum nastalo v září (60 % KP). V povodí dolní Moravy hladina v listopadu a prosinci stoupla až na mírně nadnormální (19–22 % KP).

Tab. 2.4.109 Pravděpodobnost překročení úrovně hladiny v mělkých vrtech v dílčím povodí (% KP).

	I	II	III	IV	V	VI	VII	VIII	IX	X	XI	XII	2025
(% KP)	18	54	80	78	75	53	64	59	60	47	31	34	65



Obr. 2.4.47 Režim úrovně hladiny v mělkých vrtech v dílčím povodí. Hodnoty byly standardizovány. Uvedeny jsou také kvantily křivky překročení (KP).

Tab. 2.4.110 Pravděpodobnost překročení úrovně hladiny v mělkých vrtech v povodích dílčího povodí (% KP).

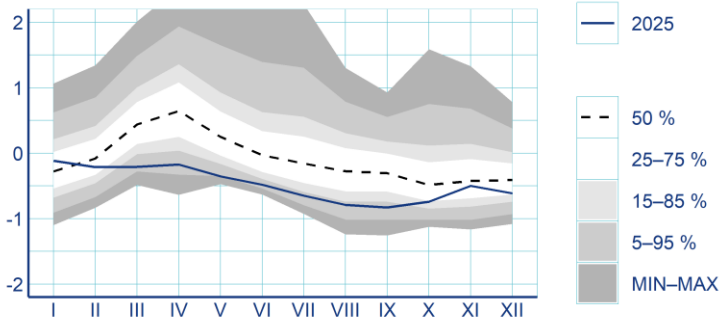
	I	II	III	IV	V	VI	VII	VIII	IX	X	XI	XII	2025
horní Morava	14	40	79	82	84	66	72	73	73	66	41	47	69
Bečva	30	71	86	82	80	50	55	55	51	36	25	40	71
střední Morava	17	51	71	69	62	50	59	55	54	42	31	32	57
dolní Morava	31	63	78	77	74	47	60	32	44	37	22	19	54

Prameny

Roční vydatnost pramenů byla celkově silně podnormální (92 % KP). Normální až mírně nadnormální roční maximum nastalo ve většině povodí v lednu (25–48 % KP), s výjimkou povodí dolní Moravy a Vláry, kde se vydatnost do dubna zvětšovala na normální (46 % KP), resp. mírně podnormální (84 % KP) roční maximum. Od března do ročního minima v září trvala celkově převážně silně podnormální (87–95 % KP) vydatnost. V posledním čtvrtletí se v povodí horní Moravy a Bečvy vydatnost zvětšila na normální, ale v ostatních povodích stagnovala nebo se mírně zmenšovala a byla silně až mimořádně podnormální (85–100 % KP).

Tab. 2.4.111 Pravděpodobnost překročení vydatnosti pramenů v dílčím povodí (% KP).

	I	II	III	IV	V	VI	VII	VIII	IX	X	XI	XII	2025
(% KP)	35	64	93	92	95	92	88	87	89	76	57	74	92



Obr. 2.4.48 Režim vydatnosti pramenů v dílčím povodí. Hodnoty byly standardizovány. Uvedeny jsou také kvantily křivky překročení (KP).

Tab. 2.4.112 Pravděpodobnost překročení vydatnosti pramenů v povodích dílčího povodí (% KP).

	I	II	III	IV	V	VI	VII	VIII	IX	X	XI	XII	2025
horní Morava	25	41	84	95	97	98	91	86	86	68	37	64	91
Bečva	37	73	91	88	93	78	73	77	74	38	33	40	88
střední Morava	48	65	86	87	85	87	86	85	90	91	87	88	91
dolní Morava	35	70	76	46	51	69	87	94	95	99	100	100	84
Vlára	73	84	79	85	87	86	91	96	94	93	85	89	92

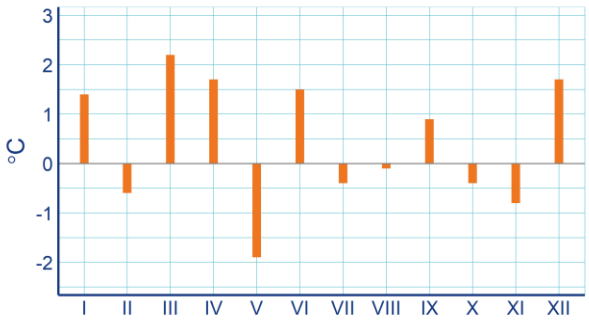
Dílčí povodí Dyje

Teplota vzduchu

Průměrná roční teplota vzduchu byla +9,2 °C, což představuje odchylku od normálu +0,4 °C (v jednotlivých povodích +0,3 až +0,5 °C). Rok tedy byl teplotně normální. Nejvyšší průměrná měsíční teplota vzduchu (+20,8 °C) byla naměřena v srpnu na stanici Brno–Tuřany. Naopak nejnižší průměrná měsíční teplota vzduchu (–2,3 °C) byla naměřena v lednu na stanici Nedvězí. Nejvyšší maximální denní teplota vzduchu (+36,3 °C) byla zaznamenána 3. 8. na stanici Lednice. Nejnižší minimální denní teplota vzduchu (–16,6 °C) byla naměřena 19. 2. na stanici Vatín.

Tab. 2.4.113 Průměrná teplota vzduchu (°C) v dílčím povodí a její odchylka od dlouhodobého normálu.

	I	II	III	IV	V	VI	VII	VIII	IX	X	XI	XII	2025
(°C)	–0,1	–0,7	5,9	10,9	11,9	18,8	18,7	18,7	14,6	8,1	2,9	1,1	9,2
odchylka (°C)	1,4	–0,6	2,2	1,7	–1,9	1,5	–0,4	–0,1	0,9	–0,4	–0,8	1,7	0,4



Obr. 2.4.49 Odchylka průměrné teploty vzduchu (°C) v dílčím povodí od dlouhodobého normálu.

Leden byl teplotně normální až nadnormální (+1,2 až +1,8 °C), únor byl normální a březen a duben byly teplotně nadnormální (+1,4 až +2,5 °C). Teplota v květnu byla naopak podnormální až silně podnormální (–1,7 až–2,2 °C). Červen byl normální až nadnormální (+1,0 až +1,5°C), na horní Dyji silně nadnormální. Období od července do listopadu bylo teplotně normální a prosinec byl převážně nadnormální (+1,4 až +1,9 °C).

Tab. 2.4.114 Průměrná teplota vzduchu (°C) v povodích dílčího povodí.

	I	II	III	IV	V	VI	VII	VIII	IX	X	XI	XII	2025
horní Dyje	0,0	−0,4	5,9	11,1	12,2	19,1	18,9	18,9	14,8	8,3	2,9	1,0	9,4
Jihlava	−0,5	−1,1	5,3	10,3	11,4	18,3	18,2	18,2	14,1	7,7	2,4	0,7	8,8
Svratka	−0,2	−1,0	5,8	10,7	11,6	18,6	18,6	18,5	14,4	7,9	2,9	1,1	9,1
dolní Dyje	1,1	0,1	6,8	12,0	12,9	19,7	19,9	19,6	15,8	9,2	4,0	2,1	10,3

Tab. 2.4.115 Odchylka průměrné teploty vzduchu (°C) v povodích dílčího povodí od dlouhodobého normálu.

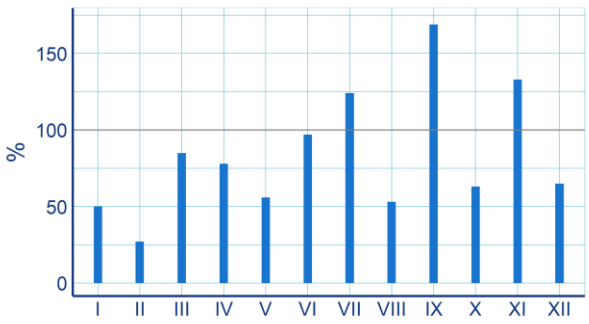
	I	II	III	IV	V	VI	VII	VIII	IX	X	XI	XII	2025
horní Dyje	1,2	−0,5	2,0	1,7	−1,7	1,6	−0,5	−0,1	0,9	−0,4	−0,9	1,4	0,4
Jihlava	1,2	−0,6	2,1	1,7	−1,9	1,5	−0,4	−0,1	0,8	−0,4	−1,0	1,6	0,4
Svratka	1,6	−0,6	2,5	1,8	−1,9	1,5	−0,3	0,0	1,0	−0,4	−0,7	1,9	0,5
dolní Dyje	1,8	−0,8	2,0	1,4	−2,2	1,0	−0,5	−0,4	0,8	−0,4	−0,9	1,7	0,3

Srážky

Průměrný roční úhrn srážek byl 519 mm, což představuje 88 % normálu (86 až 93 % v jednotlivých povodích). Rok tedy byl srážkově podnormální. Nejvyšší roční úhrn srážek (696 mm) byl naměřen na stanici Staré Hutě. Naopak nejnižší roční úhrn srážek (414 mm) byl naměřen na stanici Božice. Nejvyšší měsíční úhrn srážek (156 mm) byl zaznamenán v červenci na stanici Dubňany. Nejnižší měsíční úhrn srážek (2 mm) byl naměřen v únoru na stanici Polička. Nejvyšší denní úhrn srážek (77 mm) byl naměřen 10. 9. na stanici Český Rudolec.

Tab. 2.4.116 Průměrný úhrn srážek (mm) v dílčím povodí a jeho poměr k dlouhodobému normálu (%).

	I	II	III	IV	V	VI	VII	VIII	IX	X	XI	XII	2025
(mm)	17	8	33	26	35	71	98	36	95	26	51	23	519
(%)	50	27	85	78	56	97	124	53	169	63	133	65	88



Obr. 2.4.50 Průměrný úhrn srážek v dílčím povodí v % dlouhodobého normálu.

Leden a únor byly srážkově podnormální až silně podnormální (21 až 58 %). Březen a duben byly normální kromě nadnormálního (149 %) povodí dolní Dyje v březnu. Květen byl srážkově podnormální (54 až 65 %), červen a červenec byly normální, opět s výjimkou nadnormálního (151 %) povodí dolní Dyje v červenci.

Srpen byl srážkově převážně podnormální (50 až 66 %), září ale bylo nadnormální až silně nadnormální (136 až 179 %). Říjen byl normální až podnormální (58 až 67 %), listopad byl srážkově nadnormální (126 až 155 %) a prosinec byl opět normální až podnormální (54 až 72 %).

Tab. 2.4.117 Průměrný úhrn srážek (mm) v povodích dílčího povodí.

	I	II	III	IV	V	VI	VII	VIII	IX	X	XI	XII	2025
horní Dyje	13	8	38	32	38	69	95	38	101	23	49	23	528
Jihlava	16	9	24	26	35	75	96	36	100	27	48	26	518
Svratka	21	7	31	25	35	71	99	36	94	28	53	22	522
dolní Dyje	14	6	52	22	38	59	110	41	75	24	56	18	515

Tab. 2.4.118 Průměrný úhrn srážek v povodích dílčího povodí v % dlouhodobého normálu.

	I	II	III	IV	V	VI	VII	VIII	IX	X	XI	XII	2025
horní Dyje	41	35	100	93	59	91	122	53	179	58	133	69	90
Jihlava	47	32	61	78	54	104	121	50	179	67	126	72	87
Svratka	58	21	77	73	54	97	119	51	165	67	132	60	86
dolní Dyje	49	21	149	67	65	83	151	66	136	60	155	54	93

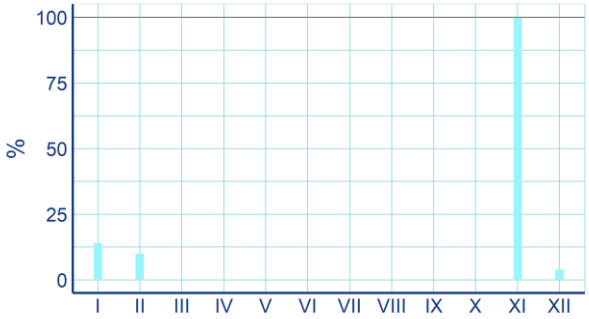
Sníh

Na začátku roku se sněhová pokrývka v nižších polohách vyskytovala jen krátkodobě, ve středních déle a ve vyšších polohách až do března. Maximální výška sněhu byla zaznamenána ve druhé dekádě ledna v Kadově (25 cm), stejně jako nejvyšší vodní hodnota sněhu (39,5 mm). Sněhová pokrývka postupně odtávala, na většině stanic nejpozději v průběhu března.

Na konci roku se první sněhová pokrývka objevila ve třetí dekádě listopadu ve všech výškových polohách. Nejvyšší výška sněhu byla naměřena ve třetí dekádě listopadu na stanici Nový Rychnov (17 cm).

Tab. 2.4.119 Průměrná vodní hodnota sněhu (mm) v dílčím povodí a její poměr k dlouhodobému normálu (%).

	I	II	III	IV	V	VI	VII	VIII	IX	X	XI	XII
(mm)	1,7	1,2	0	0	0	0	0	0	0	0	0,9	0,2
(%)	14	10	0	0	–	–	–	–	–	–	100	4



Obr. 2.4.51 Průměrná vodní hodnota sněhu v dílčím povodí v % dlouhodobého normálu.

Zásoby vody ve sněhu byly v lednu převážně mimořádně podnormální (3 až 21 %), od února do dubna byly ve všech povodích mimořádně podnormální (3 až 12 % v únoru, 0 % v březnu a dubnu). V listopadu byly zásoby vody ve sněhu normální, v povodí Jihlavy nadnormální (127 %), v prosinci ale opět mimořádně podnormální (0 až 6 %).

Tab. 2.4.120 Průměrná vodní hodnota sněhu (mm) v povodích dílčího povodí.

	I	II	III	IV	V	VI	VII	VIII	IX	X	XI	XII
horní Dyje	0,5	1,0	0	0	0	0	0	0	0	0	0,7	0,2
Jihlava	1,6	1,6	0	0	0	0	0	0	0	0	1,4	0,3
Svratka	3,0	1,4	0	0	0	0	0	0	0	0	1,0	0,3
dolní Dyje	0,2	0,2	0	0	0	0	0	0	0	0	0,2	0,0

Tab. 2.4.121 Průměrná vodní hodnota sněhu v povodích dílčího povodí v % dlouhodobého normálu.

	I	II	III	IV	V	VI	VII	VIII	IX	X	XI	XII
horní Dyje	5	9	0	0	–	–	–	–	–	–	88	6
Jihlava	12	12	0	0	–	–	–	–	–	–	127	6
Svratka	21	9	0	0	–	–	–	–	–	–	91	5
dolní Dyje	3	3	0	0	–	–	–	–	–	–	100	0

Průtok

Z hlediska odtoku byl rok silně až mimořádně podprůměrný (37 až 62 % Q_a), pouze na Svitavě byl podprůměrný (66 % Q_a). Leden byl převážně průměrný, pouze na Dyji v Podhradí n. D. a na Jevišovce podprůměrný (54 až 55 %). Únor byl průměrný až silně podprůměrný (41 až 74 %), na horním toku Dyje silně podprůměrný (41 až 43 %). Březen byl převážně silně podprůměrný (30 až 42 %), na Svitavě podprůměrný (49 %) a na Dyji mimořádně podprůměrný (28 až 29 %). Duben byl opět převážně silně podprůměrný (31 až 43 %), na Svitavě podprůměrný (59 %) a na Dyji mimořádně podprůměrný (29 %). Květen byl odtokově podprůměrný až silně podprůměrný (31 až 50 %), na Rokytné mimořádně podprůměrný (28 %). Červen byl převážně podprůměrný (46 až 59 %), na Moravské Dyji a Oslavě průměrný, na Rokytné silně podprůměrný (33 %) a na Jevišovce mimořádně podprůměrný (16 %). Červenec byl převážně podprůměrný (42 až 52 %), na Jihlavě byl průměrný, na Svratce a Rokytné silně podprůměrný (25 až 36 %) a na Jevišovce mimořádně podprůměrný (19 %). Srpen byl podprůměrný až silně podprůměrný (25 až 52 %), na Dyji v Ladné byl průměrný a na Rokytné a Jevišovce naopak mimořádně podprůměrný (14 až 21 %). Období od září do listopadu bylo převážně průměrné až podprůměrné (44 až 97 %), ale na Jevišovce bylo silně podprůměrné (30 až 39 %), stejně jako na Oslavě v říjnu (38 %). Prosinec byl z hlediska odtoku průměrný, pouze na Svratce ve Vev. Bítýšce podprůměrný (61 %).

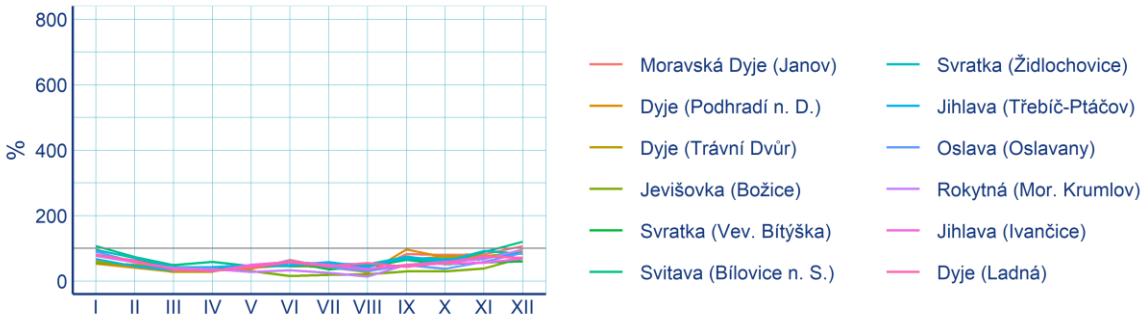
Minimální průtoky menší než Q_{355d} se na bilančních profilech vyskytovaly od června do září. Na Dyji, Svratce, Svitavě a Oslavě v červnu (1–7 dní), v červenci (1–13 dní). Na Moravské Dyji, Dyji, Svratce, Svitavě, Oslavě a Rokytné v srpnu (10–21 dní), v září (2–10 dní). Průtok menší než Q_{364d} se vyskytl v červenci na Oslavě a Svratce (1 a 2 dny), v srpnu na Moravské Dyji, Oslavě a Jihlavě (3–8 dní) a v září na Oslavě a Moravské Dyji (2 a 5 dní). Na nebilančních profilech (celkem 30 s povodím nad 100 km²) se průtoky menší než Q_{355d} vyskytovaly v lednu na Křetínce (8 dní), v březnu na Dyji (2 dny), v červnu na Svratce, Bobrůvce, Křetínce a Jihlavě (1–9 dní), v červenci na 10 profilech (1–15 dní), v srpnu na 17 profilech (2–23 dní), v září na 13 profilech (1–10 dní) a dále na Svitavě v říjnu (16 dní) a v listopadu (1–2 dny) a na Svratce v listopadu (8 dní) a v prosinci (10 dní). Průtok menší než Q_{364d} byl zaznamenán v srpnu na Bobrůvce, Svitavě a Jihlavě (2–4 dny) a v září na Jihlavě (5 dní).

Na bilančních profilech se povodně nevyskytly. Na nebilančních profilech (s povodím nad 100 km²) byl pouze na Kyjovce v červnu zaznamenán průtok větší než Q_2.

Tab. 2.4.122 Průtok bilančními profily v % dlouhodobého průměru.

	I	II	III	IV	V	VI	VII	VIII	IX	X	XI	XII	2025
Moravská Dyje (Janov)	65	43	30	34	37	65	42	28	83	80	82	107	52
Dyje (Podhradí n. D.)	54	41	29	38	40	49	50	25	97	73	73	89	49

	I	II	III	IV	V	VI	VII	VIII	IX	X	XI	XII	2025
Dyje (Trávní Dvůr)	60	45	28	29	50	46	44	44	65	76	76	89	50
Jevišovka (Božice)	55	50	39	35	31	16	19	21	30	30	39	71	37
Svratka (Vev. Bítýška)	96	70	33	33	48	58	36	45	65	52	57	61	52
Svitava (Bílovice n. S.)	107	74	49	59	46	46	52	51	66	58	89	121	66
Svratka (Židlochovice)	95	71	42	43	44	59	52	52	75	61	92	84	62
Jihlava (Třebíč-Ptáčov)	68	46	33	43	48	49	58	43	72	67	70	85	53
Oslava (Oslavany)	90	59	36	31	46	61	43	31	49	38	59	86	51
Rokytná (Mor. Krumlov)	77	58	40	37	28	33	25	14	50	59	67	97	49
Jihlava (Ivančice)	82	58	36	31	50	59	50	37	50	54	56	69	50
Dyje (Ladná)	79	63	34	32	43	57	46	55	44	57	76	71	52



Obr. 2.4.52 Průtok bilančními profily v % dlouhodobého průměru.

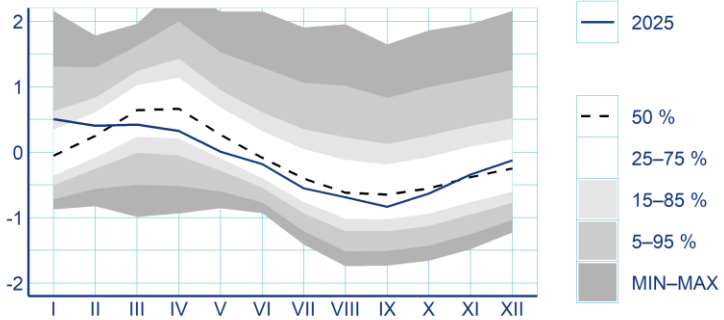
Podzemní vody

Mělké vrty

Roční hladina podzemní vody v mělkém oběhu byla celkově normální (61 % KP). Mírně nadnormální roční maximum nastalo v lednu (19 % KP), v povodí Svratky bylo silně nadnormální (9 % KP) a silně nadnormální stav zde přetrval až do února. Poté hladina klesala v mezích normálu až do ročního minima v září (63 % KP), pouze v povodí Jihlavy byla hladina od března do května mírně podnormální (76–80 % KP). Od října do konce roku hladina stoupala v mezích normálu.

Tab. 2.4.123 Pravděpodobnost překročení úrovně hladiny v mělkých vrtech v dílčím povodí (% KP).

	I	II	III	IV	V	VI	VII	VIII	IX	X	XI	XII	2025
(% KP)	19	38	65	69	68	58	61	55	63	55	48	42	61



Obr. 2.4.53 Režim úrovně hladiny v mělkých vrtech v dílčím povodí. Hodnoty byly standardizovány. Uvedeny jsou také kvantily křivky překročení (KP).

Tab. 2.4.124 Pravděpodobnost překročení úrovně hladiny v mělkých vrtech v povodích dílčího povodí (% KP).

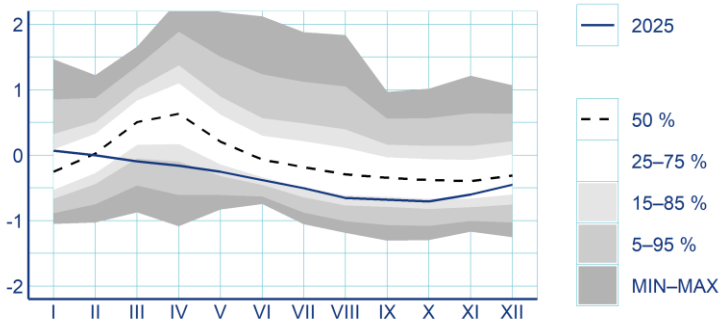
	I	II	III	IV	V	VI	VII	VIII	IX	X	XI	XII	2025
horní Dyje	31	56	72	70	67	55	61	54	62	54	51	46	65
Jihlava	27	54	77	80	80	75	68	65	74	65	56	50	75
Svratka	9	14	40	55	54	44	51	47	50	41	34	30	41
dolní Dyje	25	48	67	69	72	61	68	55	68	66	57	52	67

Prameny

Roční vydatnost pramenů byla celkově silně podnormální (86 % KP). Normální roční maximum nastalo v lednu (26 % KP), poté se vydatnost pozvolna zmenšovala, v březnu a dubnu byla již celkově silně podnormální (87 % KP). Od května do říjnového ročního minima (78 % KP) se mírně zmenšovala a byla celkově mírně podnormální (76–81 % KP). Regionálně se situace lišila, v povodí horní Dyje byla vydatnost od března do září silně až mimořádně podnormální (87–97 % KP), zatímco v povodí Jihlavy byla vydatnost normální. Od listopadu do konce roku se vydatnost mírně zvětšovala v mezích normálu.

Tab. 2.4.125 Pravděpodobnost překročení vydatnosti pramenů v dílčím povodí (% KP).

	I	II	III	IV	V	VI	VII	VIII	IX	X	XI	XII	2025
(% KP)	26	52	87	87	81	79	76	78	78	78	69	63	86



Obr. 2.4.54 Režim vydatnosti pramenů v dílčím povodí. Hodnoty byly standardizovány. Uvedeny jsou také kvantily křivky překročení (KP).

Tab. 2.4.126 Pravděpodobnost překročení vydatnosti pramenů v povodích dílčího povodí (% KP).

	I	II	III	IV	V	VI	VII	VIII	IX	X	XI	XII	2025
horní Dyje	55	75	93	95	96	97	91	88	87	80	62	47	91
Jihlava	18	30	65	70	56	53	63	72	72	75	73	74	79
Svratka	19	41	82	85	82	78	69	75	73	72	69	67	84
dolní Dyje	42	63	80	79	78	69	74	67	75	70	61	42	74

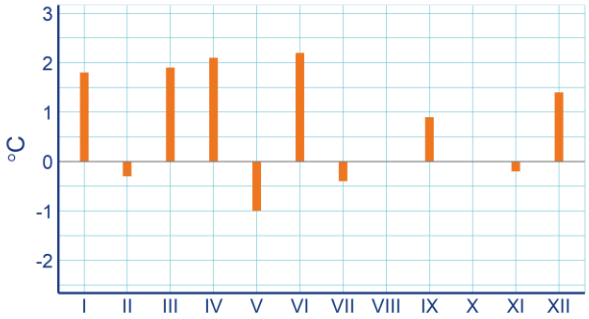
Dílčí povodí ostatní přítoky Dunaje

Průměrná roční teplota vzduchu byla +7,9 °C, což představuje odchylku od normálu +0,7 °C. Rok tedy byl teplotně nadnormální.

Teplota vzduchu

Tab. 2.4.127 Průměrná teplota vzduchu (°C) v dílčím povodí a její odchylka od dlouhodobého normálu.

	I	II	III	IV	V	VI	VII	VIII	IX	X	XI	XII	2025
(°C)	−0,1	−1,4	4,2	9,3	10,7	17,3	16,4	16,5	12,6	7	2,1	0,4	7,9
odchylka (°C)	1,8	−0,3	1,9	2,1	−1,0	2,2	−0,4	0,0	0,9	0	−0,2	1,4	0,7



Obr. 2.4.55 Odchylka průměrné teploty vzduchu (°C) v dílčím povodí od dlouhodobého normálu.

Leden byl teplotně nadnormální (+1,6 až +2,1 °C), únor byl normální a březen byl normální až nadnormální (+1,4 až +1,9 °C). Duben byl teplotně nadnormální až silně nadnormální (+1,9 až +2,2 °C) a květen byl naopak normální až podnormální (–1,0 až –1,4 °C). Červen byl teplotně silně nadnormální (+2,1 až +2,3 °C), červenec a srpen byly normální. Září bylo normální až nadnormální (+0,6 až +1,3 °C) a konec roku byl teplotně normální.

Tab. 2.4.128 Průměrná teplota vzduchu (°C) v povodích dílčího povodí.

	I	II	III	IV	V	VI	VII	VIII	IX	X	XI	XII	2025
sp10_1	−0,2	−1,6	4,5	9,4	10,9	17,4	16,6	16,7	12,7	7,2	2,1	0,3	8,0
sp10_2	−0,8	−2,0	2,7	8,2	9,5	16,9	15,9	15,6	12,0	6,3	1,3	−0,9	7,1

Tab. 2.4.129 Odchylka průměrné teploty vzduchu (°C) v povodích dílčího povodí od dlouhodobého normálu.

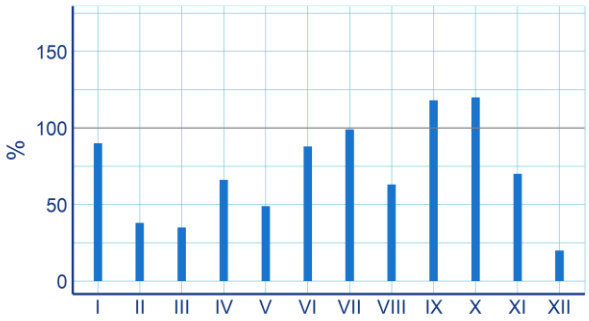
	I	II	III	IV	V	VI	VII	VIII	IX	X	XI	XII	2025
sp10_1	1,6	−0,7	1,9	1,9	−1,0	2,1	−0,5	−0,1	0,6	0	−0,3	1,2	0,6
sp10_2	2,1	0,1	1,4	2,2	−1,4	2,3	−0,3	0,2	1,3	0	−0,4	0,9	0,7

Srážky

Průměrný roční úhrn srážek byl 637 mm, což představuje 72 % normálu. Rok tedy byl srážkově mimořádně podnormální.

Tab. 2.4.130 Průměrný úhrn srážek (mm) v dílčím povodí a jeho poměr k dlouhodobému normálu (%).

	I	II	III	IV	V	VI	VII	VIII	IX	X	XI	XII	2025
(mm)	66	22	24	31	38	82	96	54	82	82	44	16	637
(%)	90	38	35	66	49	88	99	63	118	120	70	20	72



Obr. 2.4.56 Průměrný úhrn srážek v dílčím povodí v % dlouhodobého normálu.

Leden byl srážkově normální, únor byl podnormální až silně podnormální (20 až 48 %), březen byl normální až silně podnormální (25 až 70 %) a duben byl normální. Květen byl normální až silně podnormální (42 až 82 %), červen byl normální až podnormální (63 až 95 %), červenec byl normální až silně nadnormální (89 až 171 %) a srpen byl normální až podnormální (61 až 71 %). Září a říjen byly srážkově normální až nadnormální (98 až 138 %), listopad byl normální až podnormální (59 až 104 %) a prosinec byl mimořádně podnormální (20 až 27 %).

Tab. 2.4.131 Průměrný úhrn srážek (mm) v povodích dílčího povodí.

	I	II	III	IV	V	VI	VII	VIII	IX	X	XI	XII	2025
sp10_1	64	26	15	29	29	79	79	54	90	70	37	15	586
sp10_2	51	12	52	36	71	67	188	59	67	90	58	20	771

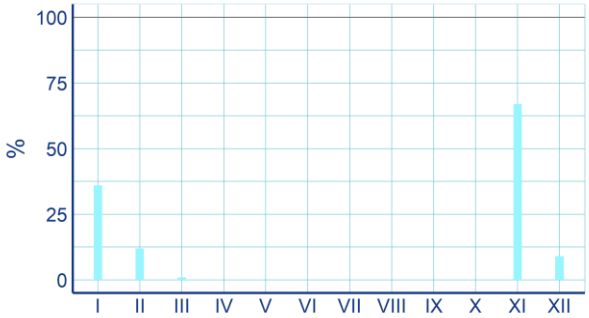
Tab. 2.4.132 Průměrný úhrn srážek v povodích dílčího povodí v % dlouhodobého normálu.

	I	II	III	IV	V	VI	VII	VIII	IX	X	XI	XII	2025
sp10_1	94	48	25	67	42	95	89	71	134	108	59	20	72
sp10_2	77	20	70	71	82	63	171	61	98	138	104	27	85

Sníh

Tab. 2.4.133 Průměrná vodní hodnota sněhu (mm) v dílčím povodí a její poměr k dlouhodobému normálu (%).

	I	II	III	IV	V	VI	VII	VIII	IX	X	XI	XII
(mm)	11	5,2	0,3	0	0	0	0	0	0	0	2,2	1,3
(%)	36	12,0	1,0	0	–	–	–	–	–	–	67,0	9,0



Obr. 2.4.57 Průměrná vodní hodnota sněhu v dílčím povodí v % dlouhodobého normálu.

Zásoby vody ve sněhové pokrývce byly v lednu silně až mimořádně podnormální (19 až 30 %) a od února do dubna byly mimořádně podnormální (8 až 9 % v únoru, 0 % v březnu a dubnu). V listopadu byly zásoby normální (81 %) a mimořádně podnormální (12 %), v prosinci byly mimořádně podnormální (4 až 5 %).

Tab. 2.4.134 Průměrná vodní hodnota sněhu (mm) v povodích dílčího povodí.

	I	II	III	IV	V	VI	VII	VIII	IX	X	XI	XII
sp10_1	6,1	2,1	0,0	0	0	0	0	0	0	0	1,7	0,4
sp10_2	7,9	5,2	0,1	0	0	0	0	0	0	0	0,6	0,9

Tab. 2.4.135 Průměrná vodní hodnota sněhu v povodích dílčího povodí v % dlouhodobého normálu.

	I	II	III	IV	V	VI	VII	VIII	IX	X	XI	XII
sp10_1	30	8	0	0	–	–	–	–	–	–	81	4
sp10_2	19	9	0	0	–	–	–	–	–	–	12	5

Bilance množství vody za období 2023–2025

Teplota vzduchu

Uplynulé tříletí bylo teplotně nadnormální. Rok 2023 byl teplotně silně nadnormální (odchylka +1,3 °C), rok 2024 byl mimořádně nadnormální (+1,9 °C), rok 2025 byl normální (+0,4 °C). Žádný měsíc v těchto letech nebyl teplotně mimořádně podnormální. Silně podnormální byl pouze duben 2023 (−2,1 °C) a podnormální byl pouze květen 2025 (−1,8 °C). Naopak teplotně nadnormálních měsíců bylo zaznamenáno 11, silně nadnormální byly 4 a mimořádně nadnormální 3 (únor a březen 2024, září 2023).

Srážky

Rok 2023 byl srážkově normální (107 % normálu), rok 2024 byl nadnormální (114 %) a rok 2025 byl podnormální (84 %). V uplynulém tříletí nebyl žádný měsíc vyhodnocen jako srážkově mimořádně podnormální. Mimořádně nadnormální byly celkem 2 měsíce – prosinec 2023 (202 %) a září 2024 (301 %), kdy byl také zaznamenán absolutní rekord denního srážkového úhrnu v ČR (386 mm, Švýcárna). Silně nadnormální byly 3 měsíce, všechny v roce 2023 (duben, srpen, listopad), srážkově nadnormální měsíce byly další 4. Naopak silně podnormální byly 3 měsíce (září 2023, únor a prosinec 2025) a podnormální byly rovněž 3 měsíce (květen a červen 2023, březen 2024). Zbylých 21 měsíců bylo srážkově normálních, tedy uplynulé tříletí bylo srážkově převážně normální.

Sníh

V nižších a středních polohách byla sněhová pokrývka v uplynulém tříletí spíše přechodná a krátkodobá, nejvýrazněji se držela v lednu a únoru. V roce 2024 byla kvůli mimořádně teplé zimě v únoru a březnu minimální. Ve vyšších polohách ležel sníh zpravidla od ledna do března, v horských oblastech od začátku roku do dubna, místy až do května. Na konci roku napadl první sníh většinou na přelomu druhé a třetí dekády listopadu a ve vyšších polohách se držel prakticky do konce roku, zatímco v nižších polohách po oblevách obvykle roztál. Absolutně nejvyšší sněhová pokrývka za poslední tři zimy byla naměřena v prosinci 2023 na Blatném vrchu (175 cm), nejvyšší vodní hodnota sněhu pak v únoru 2024 na Růženčině zahrádce (839 mm).

Zásoby vody ve sněhové pokrývce byly v prvních měsících roku ve všech třech letech podnormální až mimořádně podnormální, nejvýrazněji v roce 2024, kdy dosahovaly od ledna do dubna pouze 1 až 18 % normálu. V roce 2023 byly zásoby silně až mimořádně podnormální (12 až 38 %) a v roce 2025 se pohybovaly mezi 0 a 27 %. Nejvyšší lednová průměrná vodní hodnota sněhu byla zaznamenána v roce 2025 (4,4 mm, 27 % normálu), naopak nejnižší v roce 2024 (3 mm, 18 % normálu). Na konci roku se vývoj mezi jednotlivými roky výrazně lišil – v roce 2023 zásoby vody ve sněhu v prosinci prudce vzrostly na nadnormální hodnotu (161 %, 10,6 mm), nejvyšší za celé tříletí. V roce 2024 zůstaly silně podnormální (21 %) a v roce 2025 byly mimořádně podnormální (8 %).

Průtok

Z hlediska odtoku nebylo uplynulé tříletí jednotné. Rok 2023 byl na bilančních profilech odtokově průměrný (42 až 154 % Q_a; Labe 97 %, Odra 88 %, Morava 93 %, Dyje 87 %). Rok 2024 byl odtokově převážně nadprůměrný a nejvodnější ze sledovaných tří let (53 až 192 % Q_a; Labe 119 %, Odra 121 %, Morava 122 %, Dyje 126 %). Naproti tomu rok 2025 byl silně podprůměrný a nejsušší ze sledovaného období (30 až 73 % Q_a; Labe 53 %, Odra 62 %, Morava 56 %, Dyje 52 %).

Z hlediska minimálních průtoků se v roce 2023 vyskytovaly průtoky pod Q_{355d} nejčastěji v červenci, a to až po dobu 26 dní; na Blšance a Úterském potoce došlo i k úplnému vyschnutí toku. V roce 2024 se minimální průtoky vyskytovaly rovněž nejčastěji v červenci, nejdéle po dobu 21 dní (Úslava, Střela, Jizera). Rok 2025 byl z hlediska sucha nejvýraznější, minimální průtoky se objevovaly nejčastěji od června do září a např. na Bílině přetrvávaly až do konce roku.

Nejvýznamnější odtokové situace byly zaznamenány v roce 2024, kdy v září po intenzivních srážkách došlo k mimořádné povodni zejména v dílčím povodí Horní Odry s kulminacemi nad Q_{100} na Odře v Bohumíně. V roce 2023 proběhla jediná významnější povodňová epizoda koncem prosince v důsledku tání sněhu v kombinaci s dešťovými srážkami, s kulminacemi do úrovně Q_{10} až Q_{20}. V roce 2025 se na bilančních profilech nevyskytla žádná povodňová situace.

Podzemní vody

Hladina podzemní vody v mělkém oběhu byla v roce 2023 celkově normální (56 % KP), zatímco v roce 2024 silně nadnormální (14 % KP) – nejlepší stav za posledních deset let, a v roce 2025 mírně podnormální (82 % KP). Vydatnost pramenů měla podobnou tendenci, ale horší stav: v roce 2023 byla celkově normální (64 % KP), mírně nadnormální byla v roce 2024 (21 % KP), naopak mimořádně podnormální v roce 2025 (95 % KP). Regionálně byl po celé tříletí opakovaně nejhorší stav v dílčím povodí Ohře, Dolního Labe a ostatních přítoků Labe, kde hladina i vydatnost dosahovaly silně až mimořádně podnormálních hodnot ve všech třech letech. Roční maximum hladiny i vydatnosti připadalo nejčastěji na první čtvrtletí (únor 2024, duben 2023, leden 2025), roční minimum se naopak ve všech třech letech objevovalo v létě až na podzim (červenec–říjen 2023, srpen 2024, srpen–září 2025). Nejlepší vůbec zaznamenaný stav (52 % silně či mimořádně nadnormálních mělkých vrtů) byl dosažen v prosinci 2023 – nejlepší od roku 2010.

Hladina hlubokých zvodní byla v roce 2023 celkově silně podnormální (86 % KP), v roce 2024 normální (35 %) a v roce 2025 opět silně podnormální (88 % KP). Trvale nejhorší oblastí zůstávala severočeská křída, kde byla hladina mimořádně podnormální prakticky po celé sledované období (v roce 2025 dokonce mimo rozsah minim za referenční období 1991–2020), a permokarbon středních a západních Čech, kde byl stav mimořádně až silně podnormální ve všech třech letech. Naopak nejlepší stav opakovaně vykazoval moravský terciér, normální až silně nadnormální po celé tříletí, v roce 2024 dokonce mimořádně nadnormální v souvislosti se zářijovými srážkami, podobně jako cenoman východočeské křídy. Roční maximum hladiny připadalo většinou na první čtvrtletí (květen 2023, březen 2024, leden 2025), minimum na léto až podzim (říjen 2023, srpen 2024, září 2025); nejvýraznější meziroční zlepšení proběhlo mezi lety 2023 a 2024, kdy podíl silně či mimořádně podnormálních objektů klesl z 39 % na 20 %, v roce 2025 pak opět vzrostl na 34 %.

3. HYDROLOGICKÁ BILANCE JAKOSTI VODY

3.1 Bilance jakosti povrchové vody

Monitoring povrchových vod v roce 2025 probíhal podle návrhu jednotlivých podniků Povodí s. p. Podle jejich rozhodnutí byla do ČHMÚ poslána data z jednotlivých profilů i vybrané ukazatele. ČHMÚ měl za tento rok k dispozici pro všechny sledované matrice data z 1 953 profilů povrchových vod. K hodnocení bylo vybráno 839 profilů umístěných na tocích. Jednalo se o profily, které byly použity pro hodnocení stavu vodních útvarů dle Rámcového programu monitoringu.

Kvalita povrchových vod je pro obecnou informaci vyjadřována v třídách jakosti vody. Tyto třídy jsou definovány v ČSN 75 7221 „Klasifikace kvality povrchových vod“ s poslední aktualizací v listopadu 2017. V normě jsou uvedeny limitní hodnoty jednotlivých tříd pro 70 ukazatelů měřených alespoň 11× v hodnoceném období. Ukazatele jsou rozděleny do šesti skupin v textu označených A až F. Ukazatele skupiny F – Radiologické ukazatele jsou hodnoceny zvlášť v podkapitole „Radioaktivita“.

Zatřídění bylo provedeno stejně jako v předchozích letech podle C_{90}. Zvlášť byly klasifikovány jednotlivé ukazatele příslušné skupiny a výsledná třída skupiny byla určena dle nejnepříznivějšího zatřídění ukazatele kvality vod ve skupině.

Třídy jakosti podle normy ČSN 75 7221:

- třída I. – neznečištěná voda,
- třída II. – mírně znečištěná voda,
- třída III. – znečištěná voda,
- třída IV. – silně znečištěná voda,
- třída V. – velmi silně znečištěná voda.

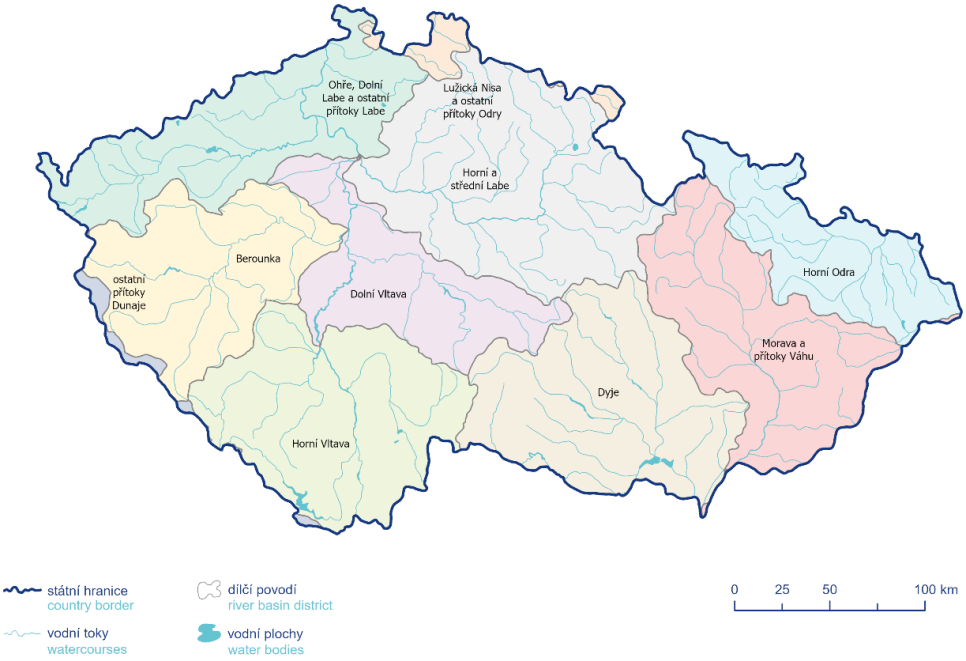
Druhým typem hodnocení kvality povrchových vod je hodnocení dle nařízení vlády č. 401/2015 Sb., o ukazatelích a hodnotách přípustného znečištění povrchových vod a odpadních vod, náležitostech povolení k vypouštění odpadních vod do vod povrchových a do kanalizací a o citlivých oblastech, v platném znění (dále jen NV). Obecné imisní požadavky na kvalitu povrchové vody v České republice jsou uvedeny v příloze č. 3, písmeno A tohoto nařízení a jednotlivé ukazatele jsou rozděleny v tabulkách 1a až 1c.

Hodnocení probíhalo bez ohledu na počet měřených hodnot, pouze na základě roční průměrné hodnoty (AVG, NEK-RP) nebo maximální hodnoty (MAX, NEK-NPK). Mikrobiologické ukazatele byly v předešlých letech hodnoceny podle percentilu P90 (P_{90}), v aktuálním znění tohoto nařízení však došlo k úpravě a nyní jsou porovnávány podle maximální hodnoty (MAX). Pouze byla-li mez stanovitelnosti (MS) vyšší než limitní hodnota, vyhodnocení nebylo provedeno.

Součástí hydrologické bilance jakosti povrchových vod je i odtok vybraných látek na pěti závěrových profilech. Výsledky jsou v **Tab. P3.1.4.**

Bilance jakosti vody v dílčích povodích

Rok 2025 byl hodnocen na 815 pro ČSN a na 839 profilech povrchových vod pro NV 401/2015 Sb. ve všech dílčích povodích. Rozložení jednotlivých dílčích povodí je na **Obr. 3.1.1.**

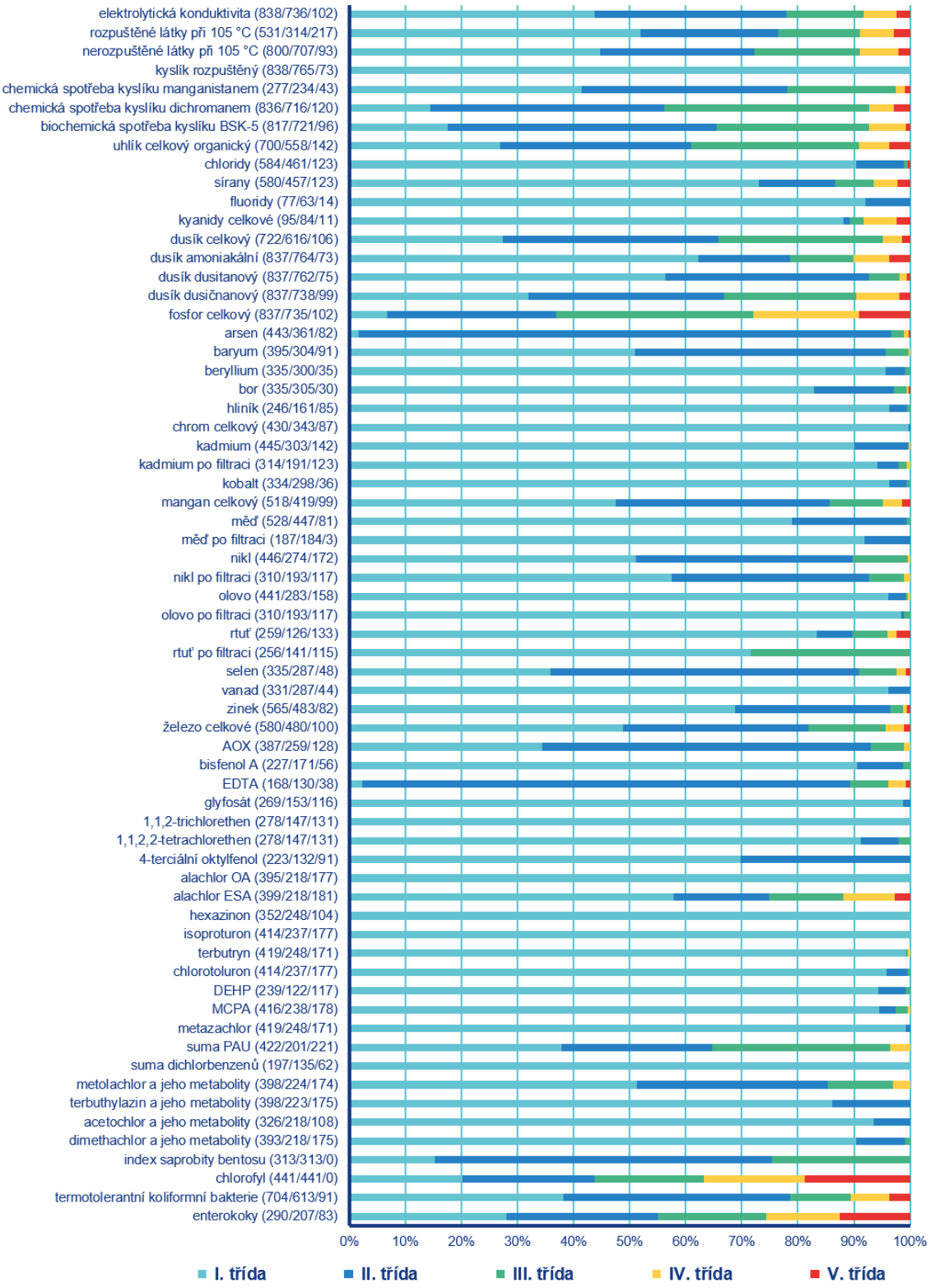


Obr. 3.1.1 Mapa dílčích povodí.

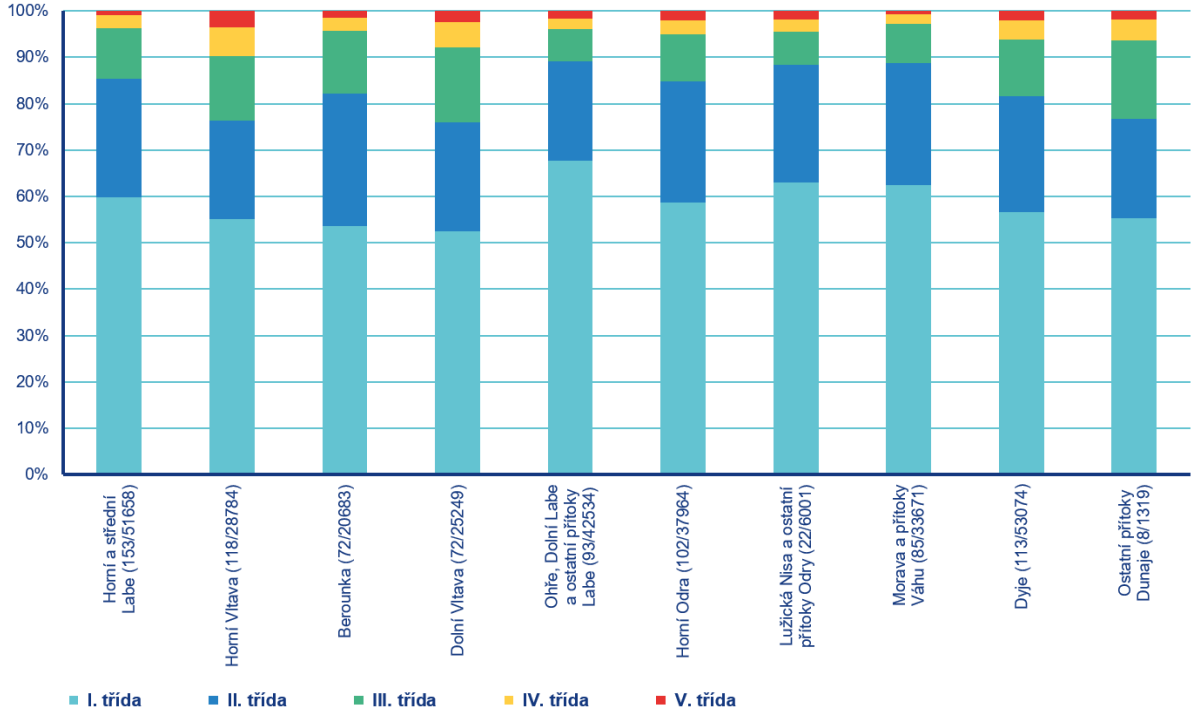
Hodnocení podle ČSN 75 7221

V roce 2025 byl na vybraných profilech pro hodnocení kvality vody v tocích proveden dostatečný počet měření pro hodnocení (11 a více) alespoň u jednoho ukazatele na 815 profilech. Více než jeden ukazatel byl hodnocen na 770 profilech.

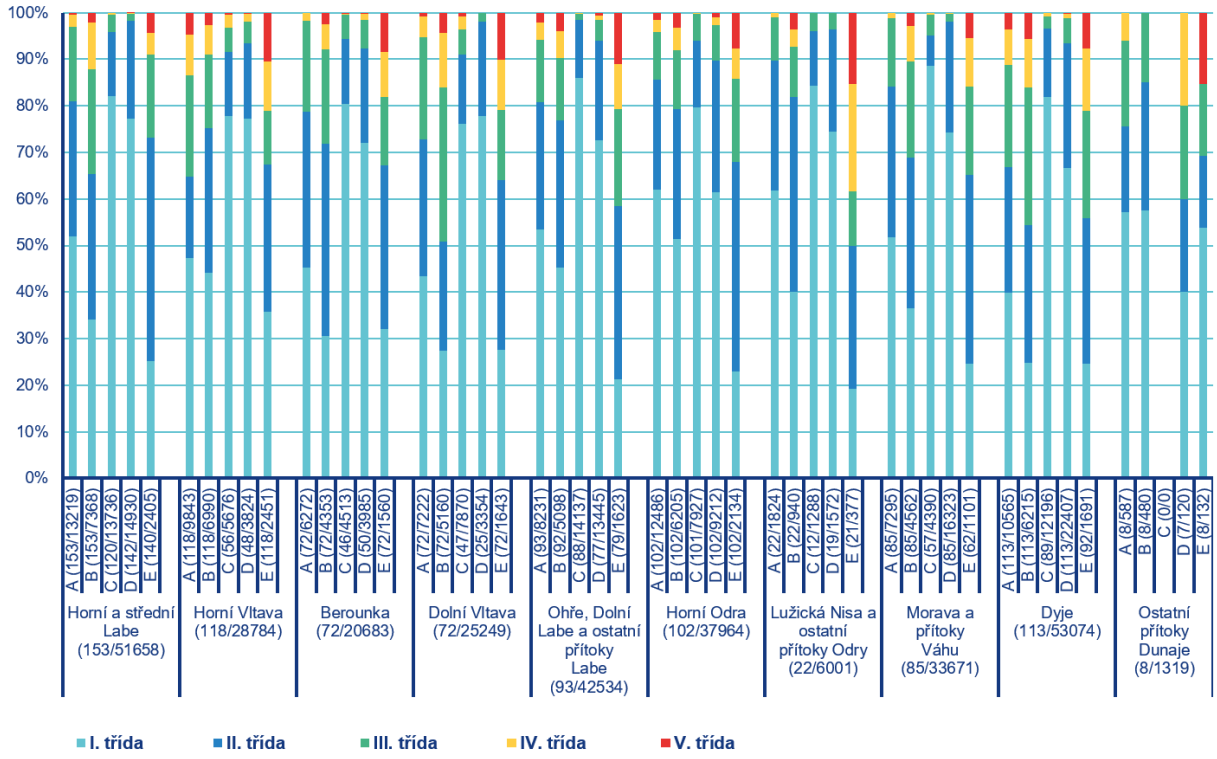
Nejvýznamnější profily a jejich celkové hodnocení je v příloze v **Tab. P3.1.1**, hodnocení jednotlivých ukazatelů je v grafu na obrázku **Obr. 3.1.2** (na ose Y je látka (počet sledovaných profilů/počet hodnocených profilů/počet nehodnocených profilů)). V grafu na **Obr. 3.1.3** je celkové zatřídění všech látek v jednotlivých dílčích povodích (na ose X je kromě dílčích povodí také uvedeno na kolika profilech bylo v daném povodí hodnocení provedeno a z kolika vzorků). Na **Obr. 3.1.4** jsou vyhodnocena jednotlivá dílčí povodí po skupinách látek, u každé skupiny látek je uveden počet hodnot, ze kterých bylo provedeno zatřídění a u jednotlivých dílčích povodí počet hodnocených profilů.



Obr. 3.1.2 Klasifikace ukazatelů kvality povrchových vod dle ČSN 75 7221 (na ose Y: v závorce počet sledovaných profilů / počet hodnocených profilů / počet nehodnocených profilů).



Obr. 3.1.3 Klasifikace ukazatelů jakosti povrchových vod v dílčích povodích dle ČSN 75 7221.



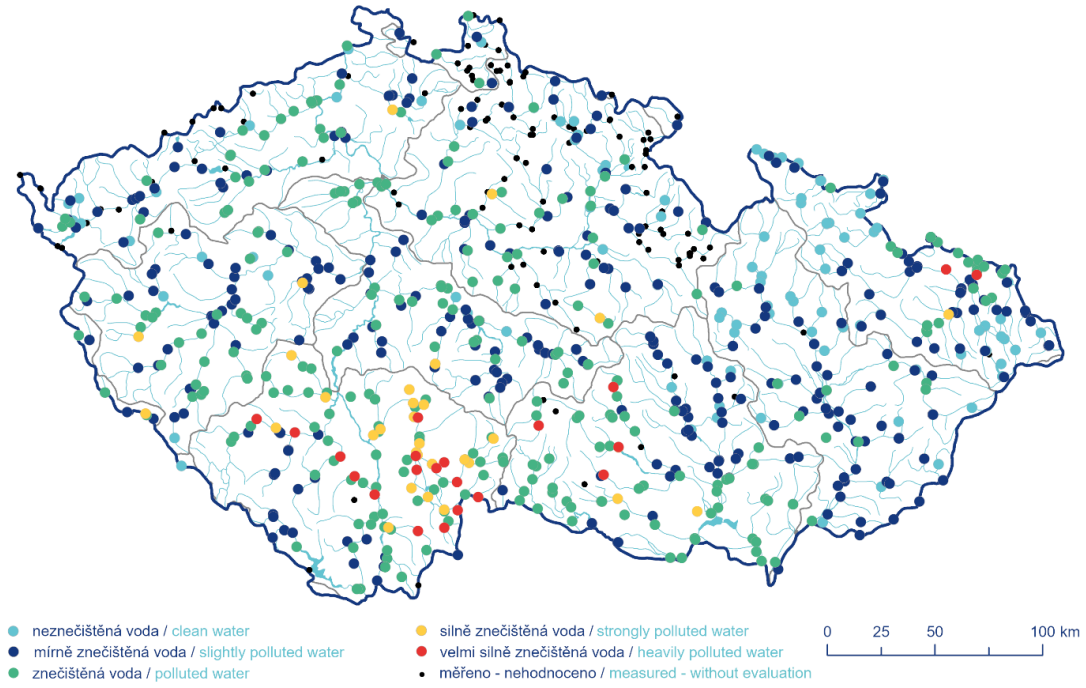
Obr. 3.1.4 Klasifikace ukazatelů jakosti povrchových vod v dílčích povodích po skupinách dle ČSN 75 7221, (na ose X v závorce: u skupiny – max. počet hodnocených profilů ve skupině / počet hodnot pro hodnocení, u názvů dílčích povodí – max. počet hodnocených profilů v dílčím povodí / počet všech hodnot pro hodnocení).

Látky skupiny A a B byly sledovány na největším počtu profilů. Na 765 profilech byl hodnocen pouze rozpuštěný kyslík ($O_{2\ rozp.}$), na nejmenším počtu profilů byly hodnoceny celkové kyanidy (84) a fluoridy (63).

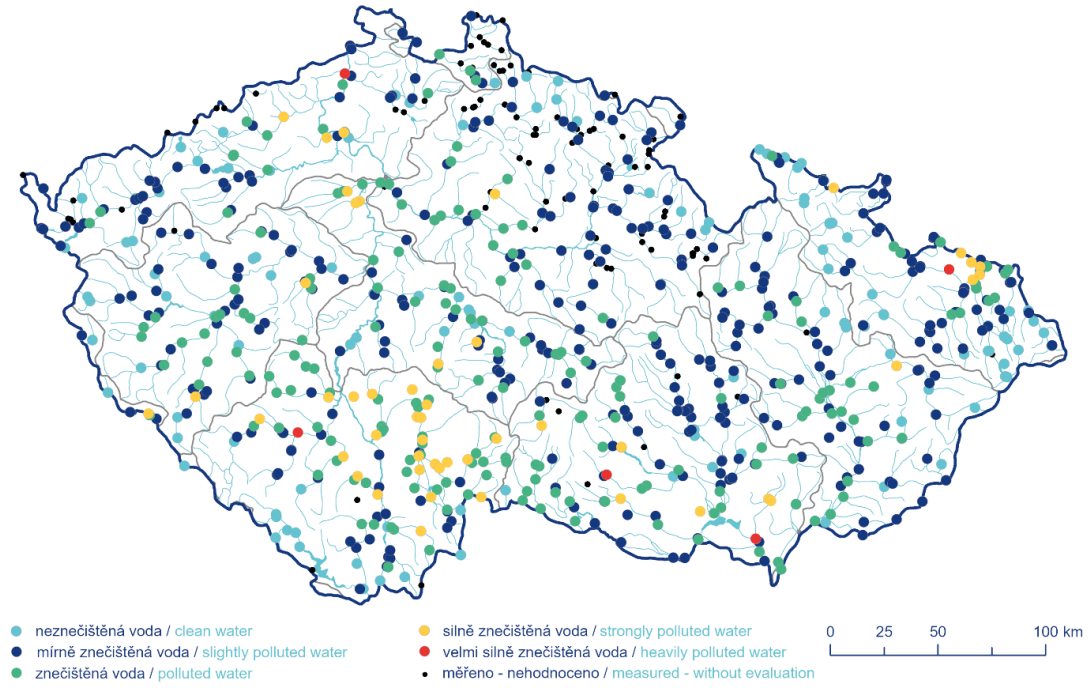
Nejlépe hodnocenými ukazateli **skupiny A** byl rozpuštěný kyslík, který byl ze 100 % zařazen v I. třídě, fluoridy a chloridy (92 a 90 % profilů zařazeno do I. třídy), naopak nejvíce profilů ve IV. a V. třídě (přibližně 9 %) bylo u nerozpuštěných látek při 105 °C (NL_{105}), rozpuštěných látek při 105 °C (RL_{105}) a celkového organického uhlíku (TOC).

K tokům s nejvyšším zatížením látkami této skupiny patřily menší toky v hustěji osídlených nebo průmyslových a zemědělských oblastech (např. Vrbická Stružka, Trkmanka, Řepický potok, Radomilický potok, Červený potok). V dílčím povodí Horní Vltavy k celkovému nepříznivému hodnocení přispěly rovněž odtoky z rybníků, které měly často hodnoty biochemické spotřeby kyslíku pětidenní (BSK_5), chemické spotřeby kyslíku dichromanem ($CHSK_{Cr}$) a TOC ve IV. a V. třídě (např. Holenský nebo Dehtářský potok).

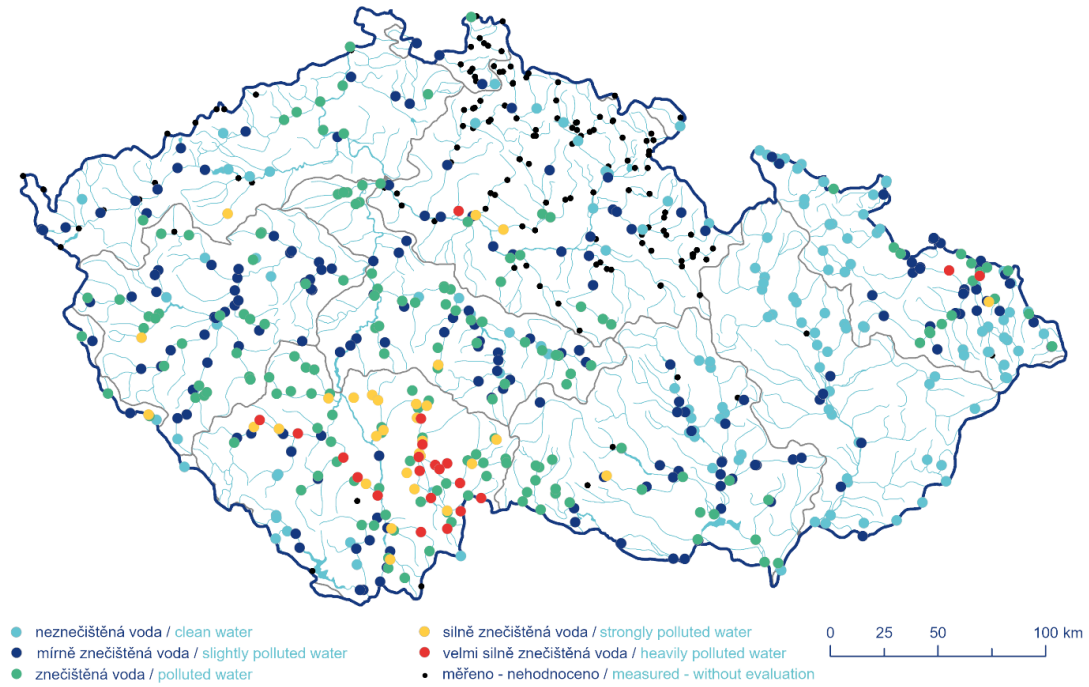
Profilů, které měly hodnoceny ukazatele pouze I. třídou bylo v této skupině 41, to je zhruba 5 %. Především se jednalo o menší toky v horských, podhorských a málo osídlených oblastech. Velice nízké znečištění vykazovala např. řeka Morávka v dílčím povodí Horní Odry. Zatřídění pro některé ukazatele skupiny A v rámci ČR je na **Obr. 3.1.5** až **3.1.7.**



Obr. 3.1.5 Třídy jakosti povrchových vod pro $CHSK_{Cr}$ dle ČSN 75 7221.



Obr. 3.1.6 Třídy jakosti povrchových vod pro BSK_5 dle ČSN 75 7221.

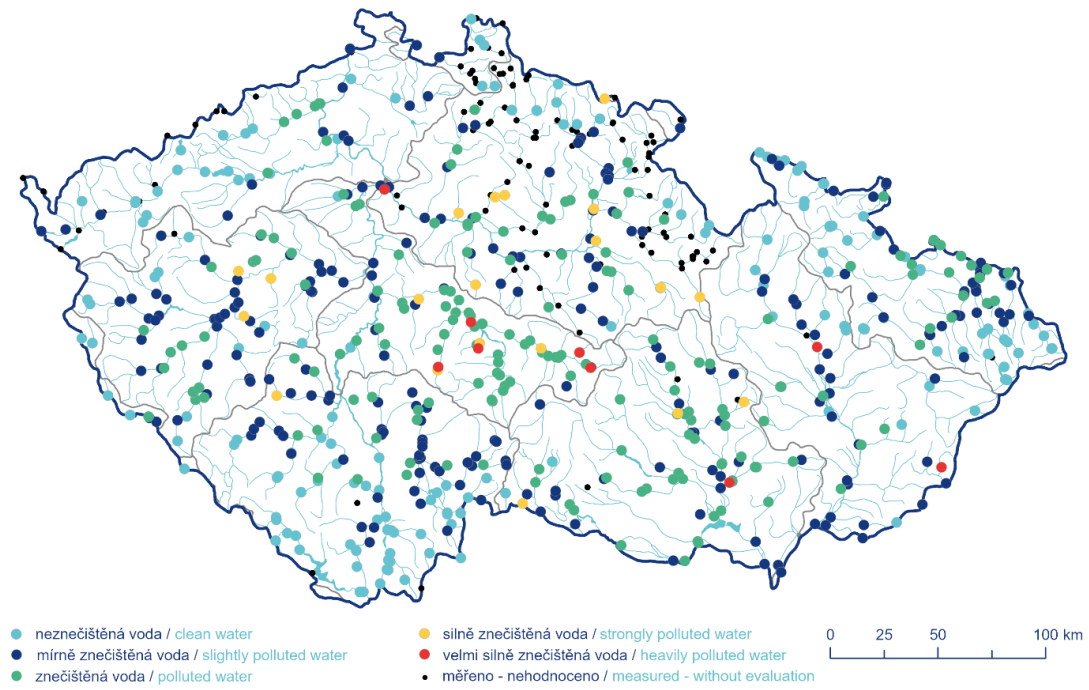


Obr. 3.1.7 Třídy jakosti povrchových vod pro TOC dle ČSN 75 7221.

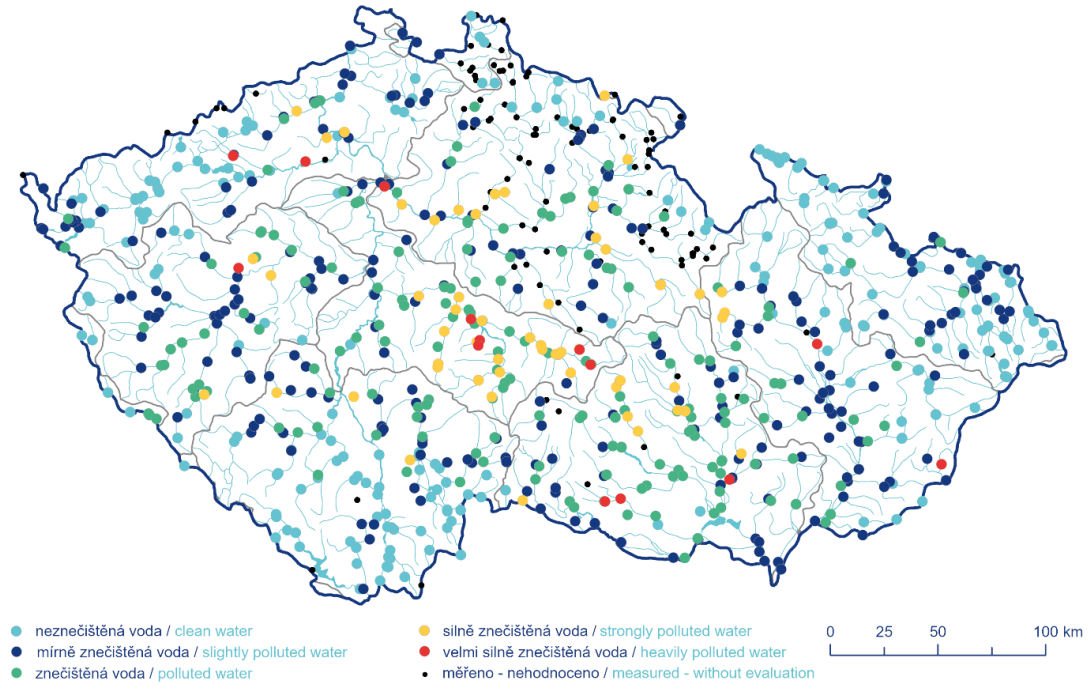
Skupina B zahrnuje živiny, to znamená jednotlivé formy dusíku, celkový dusík a celkový fosfor. Látky této skupiny byly hodnoceny na 616 (celkový dusík) až 764 (amoniakální dusík) profilech. V I. a II. třídě bylo klasifikováno zhruba 93 % profilů pro dusitanový dusík, následoval amoniakální dusík s 79 %. Celkový a dusičnanový dusík měly v těchto třídách hodnoceno okolo 66 % profilů a celkový fosfor byl rozdělen mezi I. a II. třídu zhruba 37 %, III. třídu 35 % a IV. a V. třídu 28 %.

Nejznečištěnějšími profily skupinou těchto látek v jednotlivých dílčích povodích byly Bukovský potok v dílčím povodí Horní Vltavy, Moutnický potok v dílčím povodí Dyje, Černávka v dílčím povodí Horního a středního Labe, Brumovka v dílčím povodí Moravy a přítoků Váhu, Slupský potok v dílčím povodí Dolní Vltavy a Modla v dílčím povodí Ohře, Dolního Labe a ostatních přítoků Labe, v dílčím povodí Horní Odry Lutyňka a v dílčím povodí Berounky Voldušský potok.

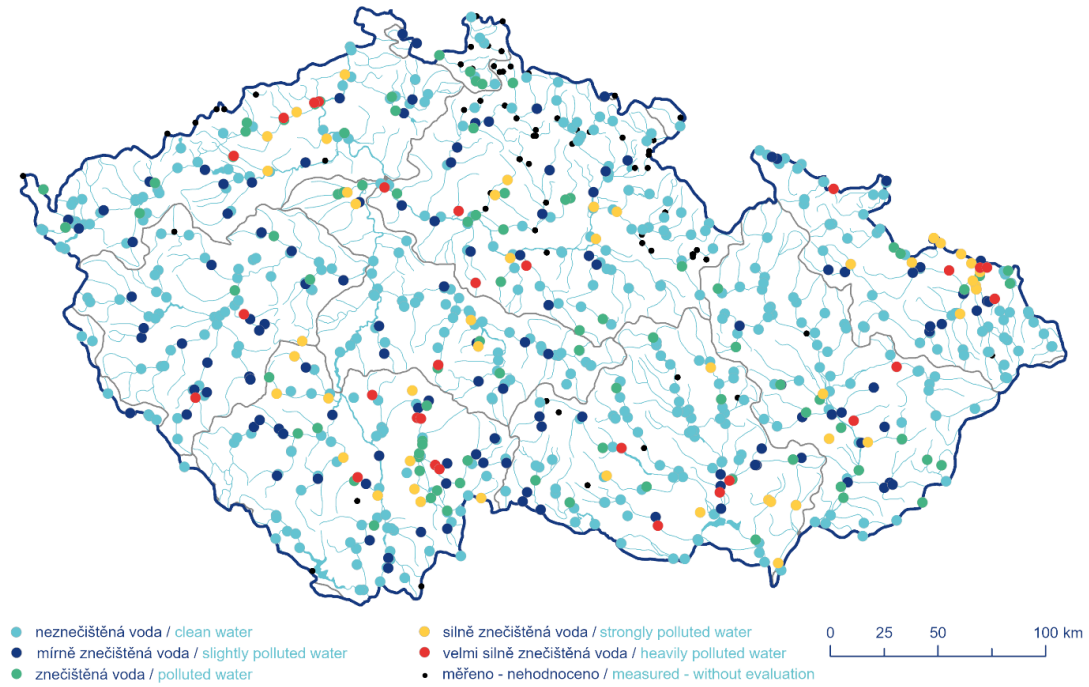
V I. třídě bylo klasifikováno 56 profilů napříč všemi povodími (nejčastěji v dílčím povodí Horní Odry a Horního a středního Labe – 18 a 21 profilů). Z větších toků byly hodnoceny jen I. a II. třídou některé profily např. na řekách Moravě, Ohři, Ploučnici, Malši, Otavě, Jizeře a horních tocích Odry, Ostravici, Labi, Lužnici, Chrudimce. Zatřídění vybraných ukazatelů této skupiny na jednotlivých profilech je znázorněno na **Obr. 3.1.8** až **3.1.11.**



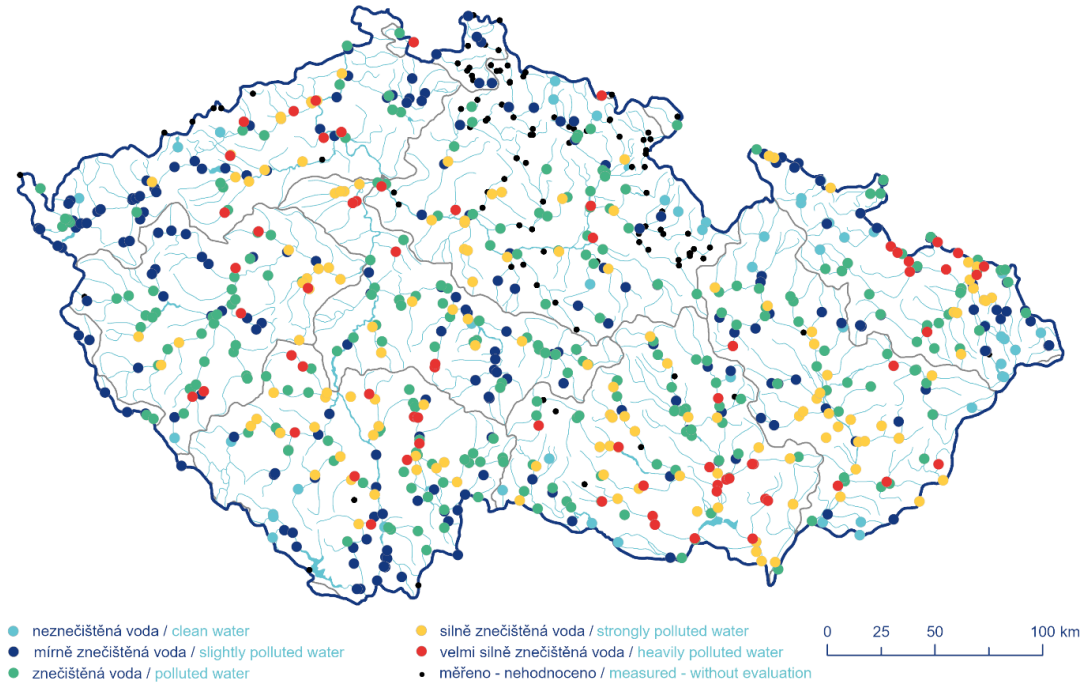
Obr. 3.1.8 Třídy jakosti povrchových vod pro celkový dusík dle ČSN 75 7221.



Obr. 3.1.9 Třídy jakosti povrchových vod pro dusičnanový dusík dle ČSN 75 7221.



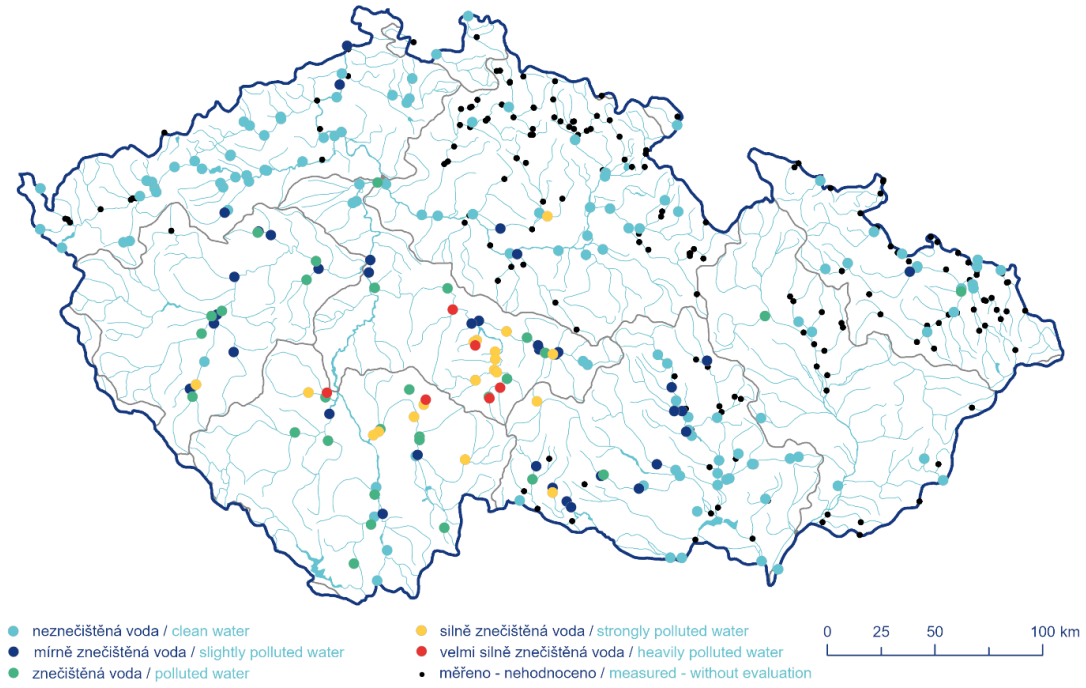
Obr. 3.1.10 Třídy jakosti povrchových vod pro amoniakální dusík dle ČSN 75 7221.



Obr. 3.1.11 Třídy jakosti povrchových vod pro celkový fosfor dle ČSN 75 7221.

Organické látky zahrnuté do **skupiny C** byly hodnoceny na 122 profilech (di(2-ethylhexyl)ftalát DEHP) až 259 profilech (adsorbovatelné organicky vázané halogeny AOX). Ukazatele byly nejčastěji klasifikovány I. a II. třídou. Některé pesticidy měly koncentrace i na úrovni IV. a V. třídy. Nejvíce, 12 %, tj. 26 profilů bylo, ve IV. a V. třídě pro alachlor ESA (viz **Obr. 3.1.12**). Ve IV. a V. třídě byly ze skupiny C zastoupeny do 4 % hodnocených profilů i suma polycyklických aromatických uhlovodíků (PAU), metolachlor a jeho metabolity, kyselina ethylendiamintetraoctová (EDTA) a AOX. Terbutryn a MCPA měly v těchto třídách do 1 % profilů (viz **Tab. P3.1.1**).

Mezi nejzatíženější profily s širším rozsahem měřených látek patřily Dírenský, Maršovský a Chotovinský potok v dílčím povodí Horní Vltavy, Blanice a Zákolanský potok v dílčím povodí Dolní Vltavy. Alachlorem ESA je bohužel zatížena i Želivka (profily Vlásenice, Poříčí) a některé její přítoky (Martinický potok, Čechtický potok, Trnava, Sedlický potok, Blažejovický potok). Naopak mezi nejlépe hodnocené profily, pouze v I. třídě, kde byl měřen široký rozsah ukazatelů z této skupiny, patřila Vlára ve Vlachovicích v dílčím povodí Moravy a přítoků Váhu (18 hodnocených ukazatelů), Rakovec, Svratka v Dalečíně, Hvězdlička a Šebrovka v dílčím povodí Dyje s 15, resp. 14 hodnocenými ukazateli. Podolský potok a Opava ve Vávrovicích – dílčí povodí Horní Odry, Knovízský potok v dílčím povodí Dolní Vltavy a Příchovický potok v dílčím povodí Berounky měly taktéž všech 12 hodnocených ukazatelů zařazeny v I. třídě.



Obr. 3.1.12 Třídy jakosti povrchových vod pro alachlor ESA **dle ČSN 75 7221.**

Skupina D zahrnuje kovy a metaloidy. Široký rozsah měřených ukazatelů byl na většině profilů dílčího povodí Moravy a přítoků Váhu a dílčího povodí Dyje. Na nejmenším počtu profilů z této skupiny (126), pomineme-li uran hodnocený v podkapitole Radiochemie, byla hodnocena rtuť. Na největším počtu profilů (483) byl hodnocen zinek. V I. a II. třídě bylo 100 % hodnot zařazeno pouze u celkového chromu, mědi po filtraci a vanadu, ostatní ukazatele měly v těchto třídách 82 až 99 % hodnot, kromě rtuti po filtraci, která měla skoro třetinu hodnot ve III. třídě v důsledku vyšších mezí stanovitelnosti v dílčích povodích Dyje a Moravy a přítoků Váhu. Třídy IV a V dosáhl celkový mangan na 5 % a rtuť s celkovým železem na 4 % profilů, u dalších ukazatelů to byly ve IV. a V. třídě jen ojedinělé profily.

Mezi profily výrazněji zatížené kovy a metaloidy patřila zejména Litavka v Libomyšli v dílčím povodí Berounky, znečištěná dlouhodobě zinkem, kadmiem a olovem. Vyšší zatížení rtutí měly profily Reslava v severozápadních Čechách, Lučina ve Slezské Ostravě a Jičínka v Kuníně. Celkový mangan byl ve vyšších koncentracích na úrovni IV. a V. třídy detekován hlavně v oblasti jižní Moravy v dílčím povodí Dyje – Želetavka, Znětínecký potok, Rokytná, Hruškovice, Kyjovka, Trkmanka, Skalička, Štěpánovický potok, Bohdalovský potok. Celkové železo mělo hodnocení ve IV. a V. třídě na 21 profilech napříč povodími. Vyšší třídy u selenu byly nalezeny především v dílčím povodí Dyje (Litava, Trkmanka, Spálený potok) a v dílčím povodí Ohře, Dolního Labe a ostatních přítoků Labe (Hačka, Modla, Bílina nad Hostomicemi).

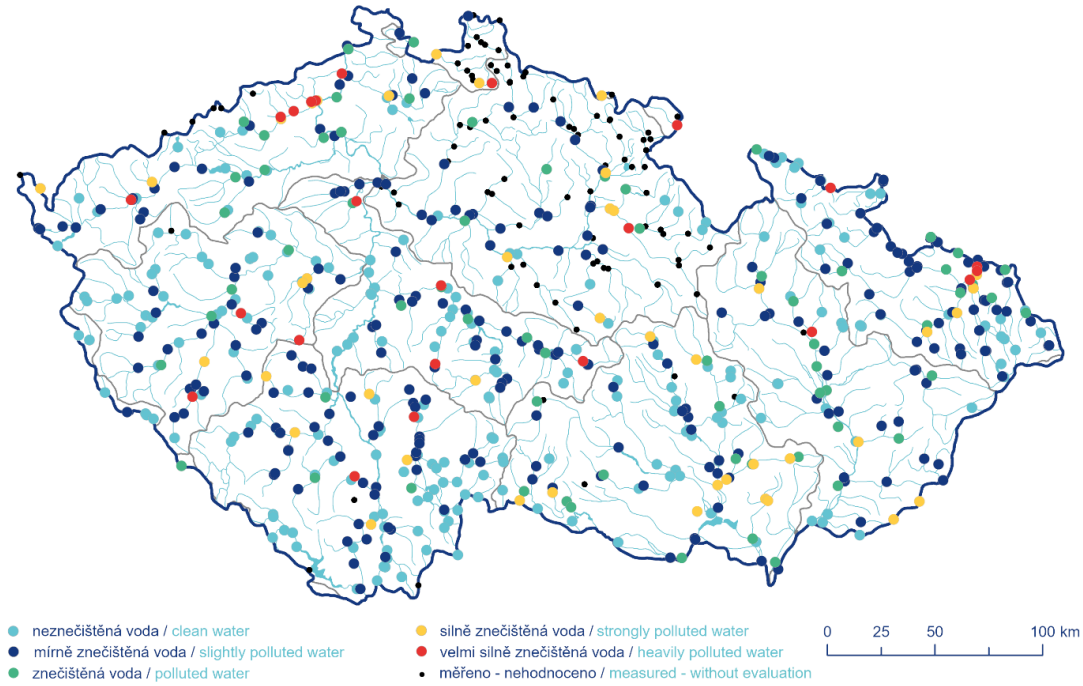
Velmi čisté profily, kde bylo hodnoceno alespoň 5 a více kovů a metaloidů byly v dílčím povodí Horní Odry, např. Ostravice, Stonávka, Morávka, Čeladenka atd. jeden profil také v dílčím povodí Ohře, Dolního Labe a ostatních přítoků Labe (Bílina na přítoku do VN Jirkov) a Horní Vltavy (Blanice–Strunkovice nad Blanicí).

Skupinu E tvoří 4 ukazatele. Jedním z nich je saprobní index, který byl k dispozici na 313 profilech, z nichž většina (75 %) byla zařazena v I. a II. třídě, ve III. třídě bylo 77 profilů (25 %). Termotolerantní koliformní bakterie (Fcoli) byly hodnoceny na 613, enterokoky na 207 a chlorofyl na 441 profilech. U termotolerantních koliformních bakterií bylo 79 % profilů klasifikováno I. a II. třídou, ve III. třídě bylo

66 profilů (10 %), ve IV. a V. třídě bylo 11 % profilů (viz **Obr 3.1.13**). U enterokoků dosáhlo I. a II. třídy 114 profilů (55 %), III. třídy 40 profilů (19 %), ve třídě IV. se nacházelo 27 a v V. třídě 26 profilů (celkem 26 %). Chlorofyl měl v I. a II. třídě 44 % profilů, ve III. třídě 20 % a ve IV. a V. třídě 36 % profilů.

Ve většině dílčích povodí byly profily do V. třídy zařazeny díky vysokým hodnotám chlorofylu, zejména v povodí Dyje, Berounky, Horní a Dolní Vltavy (odtoky z rybníků). Výjimkou byly dílčí povodí Ohře, Dolního Labe a ostatních přítoků Labe a Horní Odry, kde V. třídy v celkovém hodnocení v této skupině ukazatelů bylo dosaženo především vysokými koncentracemi enterokoků a termotolerantních koliformních bakterií – Zlatý potok, Klíšský potok, Jílovský potok, Ždírnický potok, Bouřlivec, Teplický potok.

K nejméně znečištěným tokům, kde byly sledovány alespoň dva ukazatele z této skupiny, se řadily některé toky zejména v dílčím povodí Horní Vltavy, kde se jednalo především o horní toky řek (Vltava, Malše, Otava) nebo menší toky v horských oblastech (Řasnice u Lenory, Pohořský potok v Radčicích) a další menší toky (viz **Tab. P3.1.1**).



Obr. 3.1.13 Třídy jakosti povrchových vod pro Fcoli dle ČSN 75 7221.

Hodnocení podle NV 401/2015 Sb., v platném znění

Hodnocení podle tohoto nařízení bylo provedeno na 839 profilech. Z přílohy č. 3 NV, bylo hodnoceno 150 látek, další byly zahrnuty do podkapitoly Radiochemie. Některé látky nemohly být vyhodnoceny na jednom nebo více dílčích povodích z důvodu vyšších mezí stanovitelnosti, než byl předepsaný limit (NEK RP – norma environmentální kvality – roční průměr nebo NEK NPK – norma environmentální kvality – nejvyšší přípustná koncentrace). Přehled nehodnocených ukazatelů je v **Tab. P3.1.2.**

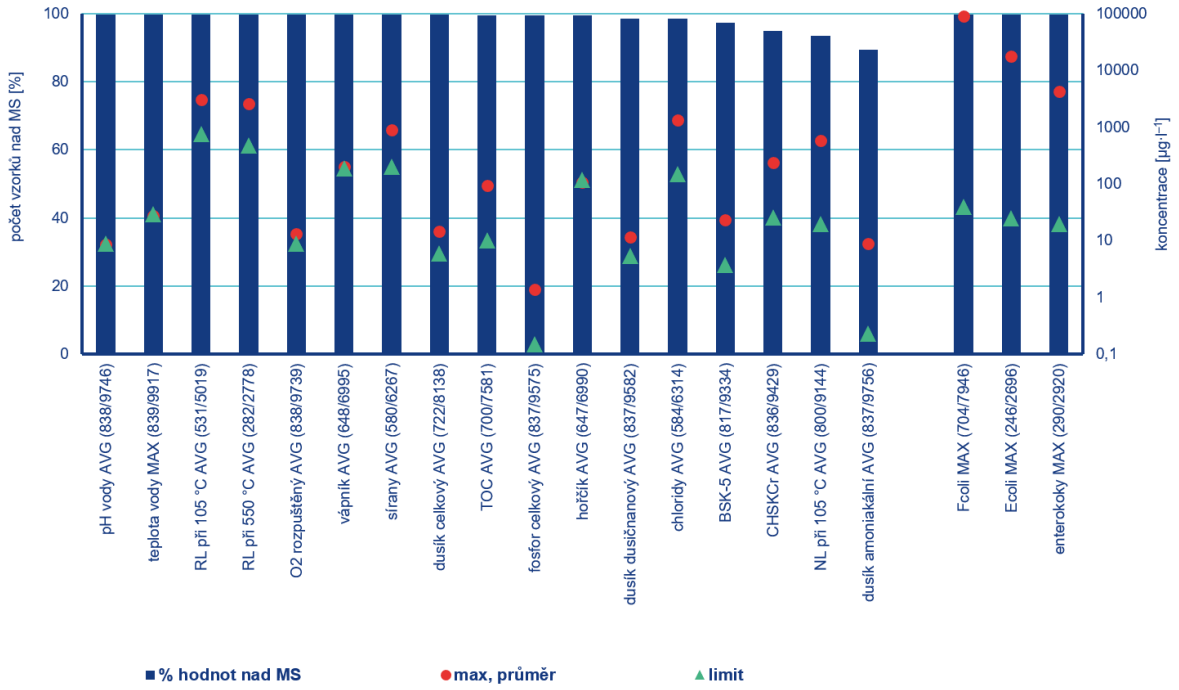
Pouze na 7 profilech v dílčím povodí Ohře, Dolního Labe a ostatních přítoků Labe byly monitorovány chlorované propylethery a na 9 profilech v dílčím povodí Dyje a v dílčím povodí Moravy a přítoků Váhu byl hodnocen cín a jeho sloučeniny. Všechny hodnoty u těchto látek vyhovovaly limitu.

Pouze tři ukazatele byly sledovány na téměř všech profilech, všechny spadají do základního fyzikálně-chemického rozboru – pH, teplota vody a rozpuštěný kyslík. Ukazatel teplota vody, stejně jako pH, na žádném profilu limitní hodnotu nepřekročil. Rozpuštěný kyslík nedosáhl požadovaného ročního průměru minimálně 9 mg·l^{-1} na 43 profilech, tj. 5 % profilů.

Z ukazatelů vyjmenovaných v NV, monitorovaných a hodnocených na profilech, nebyla na žádném z nich překročena limitní hodnota u 98, tj. 65 % látek. Celkový přehled hodnocených ukazatelů nad MS na hlavních hodnocených profilech je v **Tab. P3.1.3.**

Ze skupiny 17 **všeobecných ukazatelů** více než třetina profilů (38 %) překročila limit pro celkový fosfor a 19 % pro amoniakální dusík, 17 % profilů nevyhovělo limitům pro NL při 105 °C a CHSK$_{Cr}$, mezi 7 až 14 % profilů bylo nad limity ročních průměrů pro BSK$_5$, TOC, celkový a dusičnanový dusík.

Naopak v této skupině byly nejlépe hodnoceny ukazatele pH vody, teplota vody a hořčík. Limity splnilo 100 % sledovaných profilů. Více než 99 % profilů bylo vyhovujících také u chloridů a vápníku. Celkové zhodnocení jednotlivých ukazatelů, procenta hodnot nad MS, maximální koncentrace a limitní hodnoty jsou znázorněny v grafu na **Obr. 3.1.14.** Na ose X jsou uvedeny jednotlivé ukazatele s typem výpočtu pro porovnání s limitem (AVG, MAX), počet profilů, na kterých byl ukazatel sledován/počet vzorků za rok.

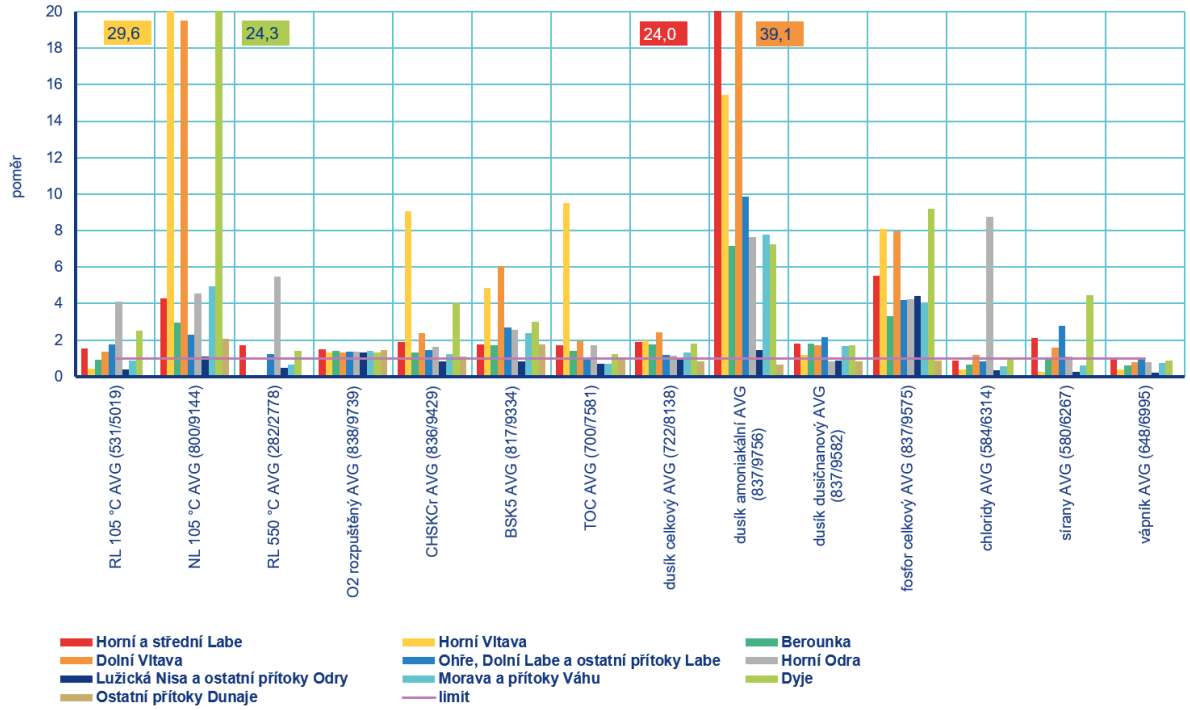


Obr. 3.1.14 Procenta překročení MS, maxima a NEK v povrchových vodách pro všeobecné a mikrobiologické ukazatele dle NV č. 401/2015 Sb.

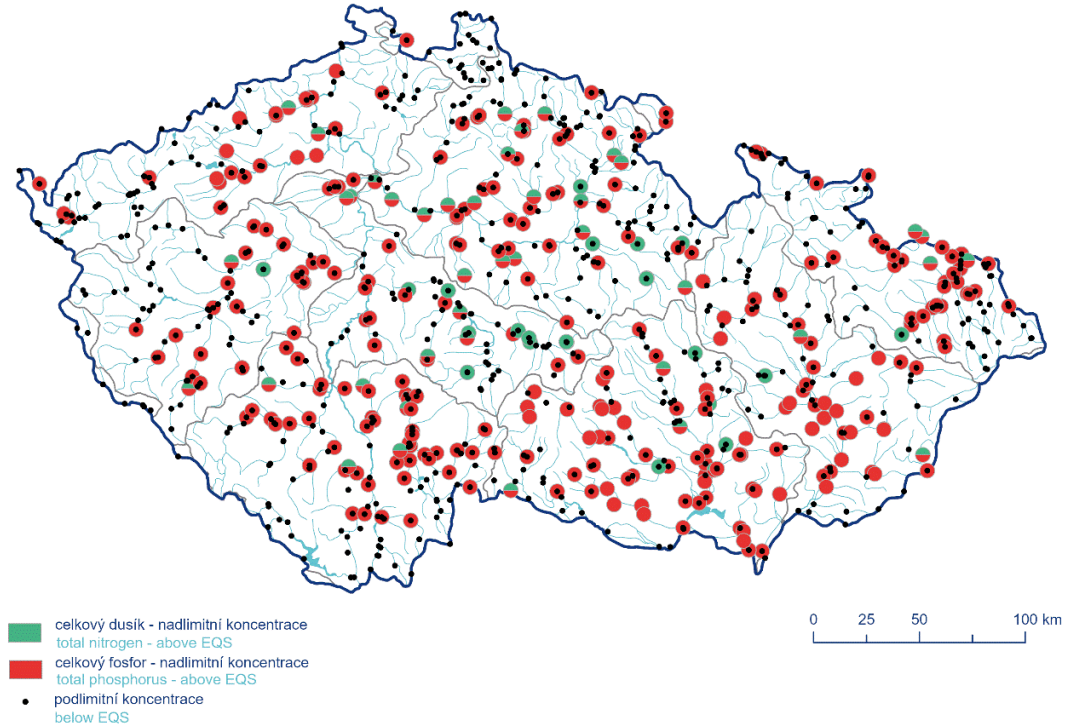
Z jednotlivých dílčích povodí byly nejvíce zatíženy profily v dílčím povodí Horní Vltavy. Byly překračovány limity zejména pro jednotlivé formy dusíku, celkový fosfor, spotřeby kyslíku, TOC a NL při 105 °C. K nejznečištěnějším profilům se řadily Vrbická Stružka (dílčí povodí Horní Odry), Velenický potok, Ředický potok a Výrovka (dílčí povodí Horního a středního Labe), Zlonický a Červený potok (dílčí povodí Dolní Vltavy), Radomilický, Holenský, Maršovský, Borecký a Hradišťský potok z dílčího povodí Horní Vltavy.

Větší toky, které byly vyhodnoceny jako čisté (žádný ze sledovaných ukazatelů nepřekročil limitní hodnotu při počtu nejméně 15 sledovaných ukazatelů z této skupiny), se nacházely zejména v dílčích povodích Horního a středního Labe a Horní Odry (Labe, Tichá i Divoká Orlice, Jizera, Chrudimka, Úpa, Moravice, Morávka, Ostravice, Opava). Z ostatních větších toků v dalších povodích to byly některé profily na Ohři, Vltavě, Berounce, Otavě, Moravě, Ploučnici, Lužické Nise, Smědé a Dyji. Jednotlivých profilů, na kterých bylo měřeno všech 17 ukazatelů, a všechny splnily limity, bylo 149.

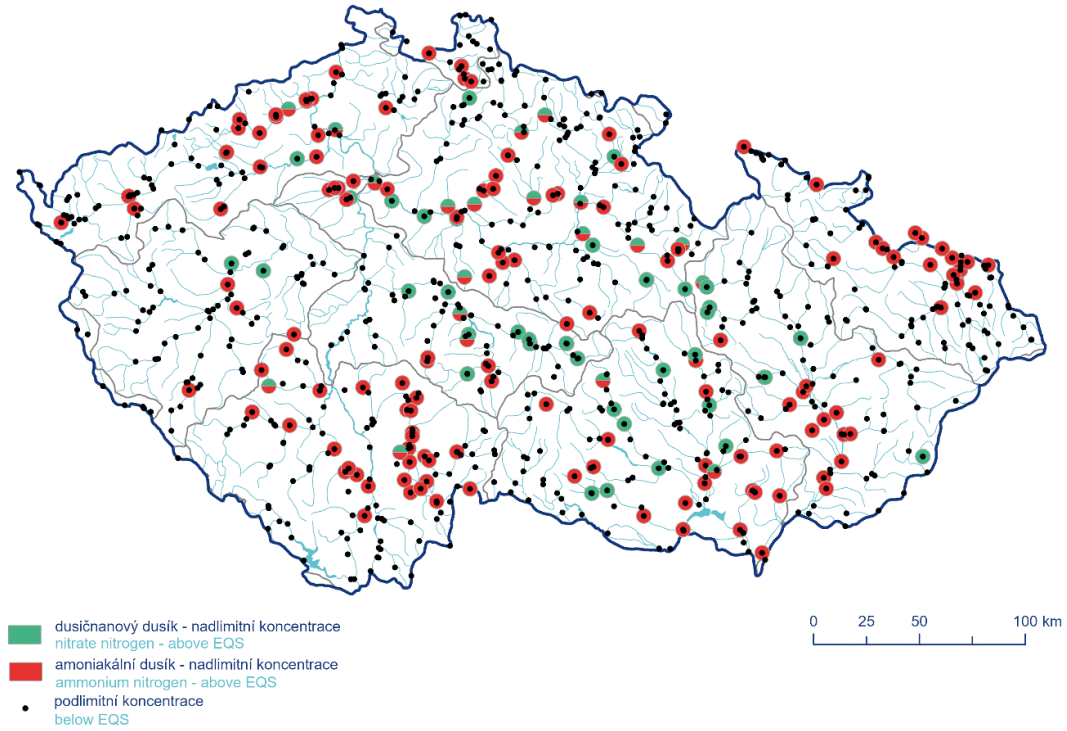
Podrobněji viz **Tab. P3.1.3**. Poměr maximální naměřené hodnoty pro jednotlivé ukazatele, které alespoň na jednom dílčím povodí překročily limit, je na **Obr. 3.1.15** (v grafu nejsou zobrazeny hodnoty pro pH vody, teplotu vody a hořčík). Porovnání některých hodnot s limitem na jednotlivých profilech je na **Obr. 3.1.16** až **3.1.18**.



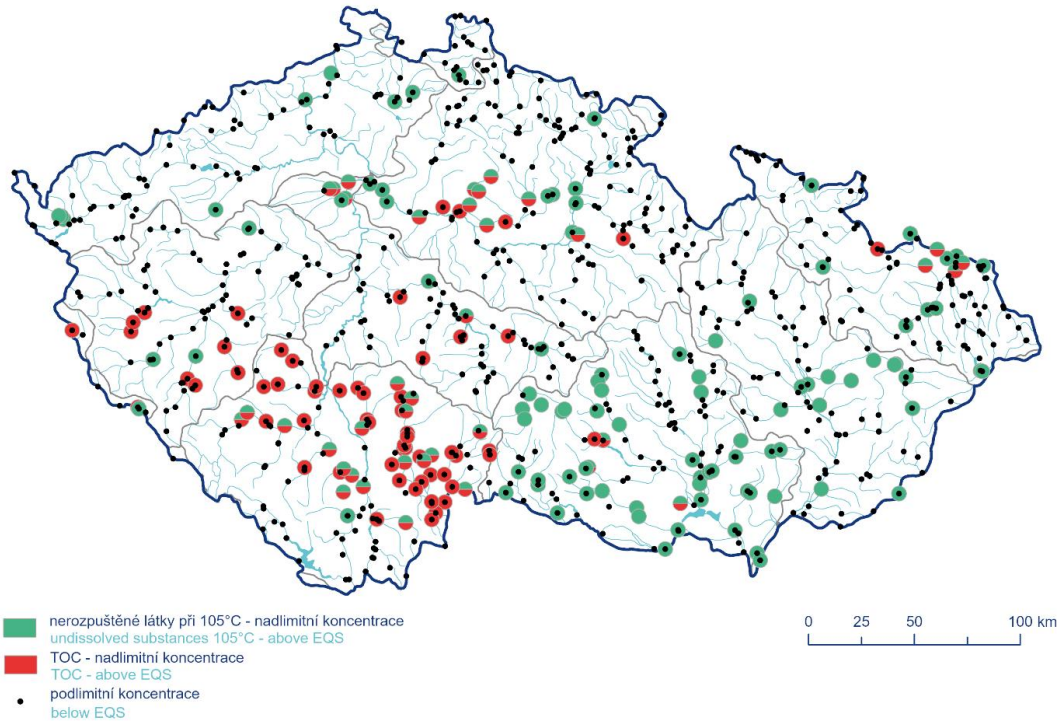
Obr. 3.1.15 Maximální poměr překročení NEK v povrchových vodách u všeobecných ukazatelů pro jednotlivá dílčí povodí dle NV č. 401/2015 Sb.



Obr. 3.1.16 Koncentrace celkového dusíku a celkového fosforu v povrchových vodách v porovnání s NEK dle NV 401/2015 Sb.



Obr. 3.1.17 Koncentrace dusičnanového dusíku a amoniakálního v povrchových vodách v porovnání s NEK dle NV 401/2015 Sb.

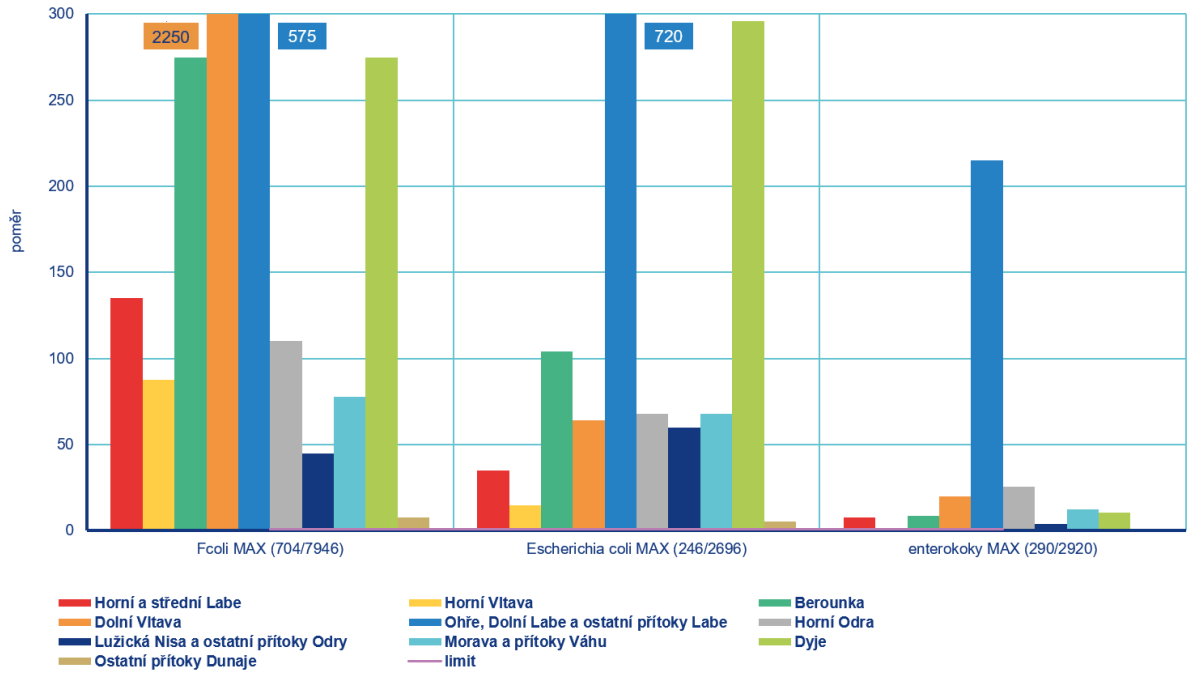


Obr. 3.1.18 Koncentrace NL_{105} a TOC v povrchových vodách v porovnání s NEK dle NV 401/2015 Sb.

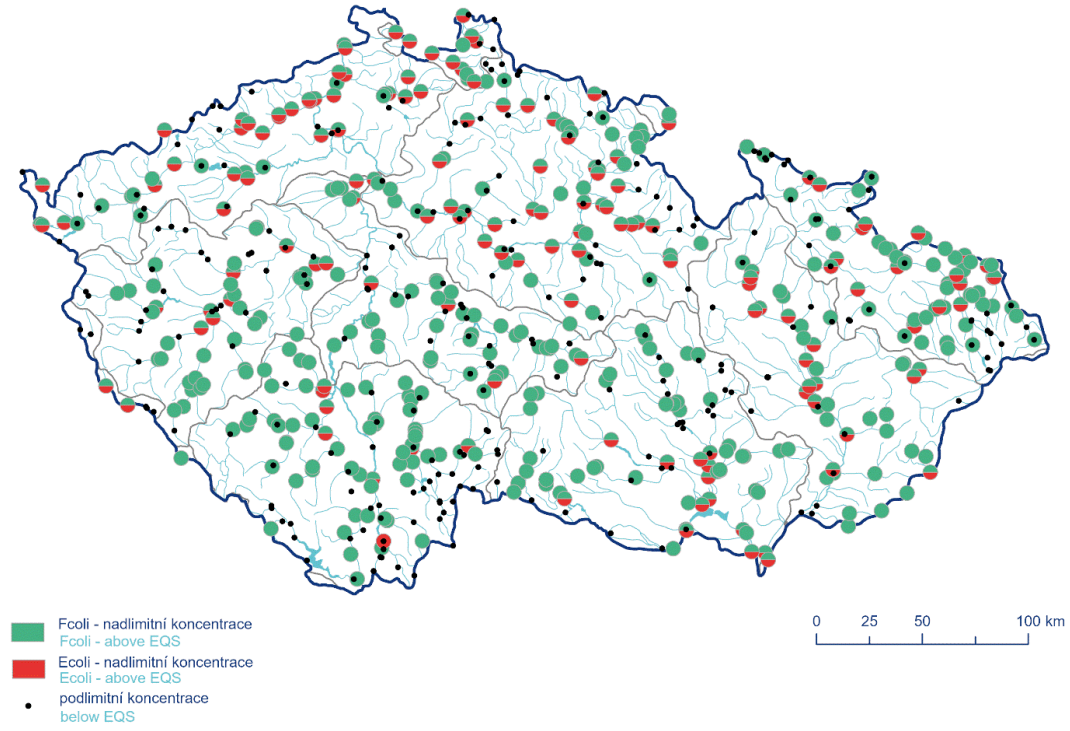
Mikrobiologické ukazatele byly monitorovány na 246 až 704 profilech. *Escherichia coli* (Ecoli) a termotolerantní koliformní bakterie (Fcoli) nesplnily předepsané maximální limity na 70 % a 64 % profilů, enterokoky na 43 % profilů. Na 37 profilech byly hodnoty u všech tří mikrobiologických ukazatelů v limitu, nejvíce takovýchto profilů se nacházelo v dílčím povodí Ohře, Dolního Labe a ostatních přítoků Labe (celkem 12 profilů), patřily mezi ně např. Ohře, Ploučnice, Černá. Z ostatních toků byla výborně hodnocena Dyje před Novými Mlýny. Mezi ostatní toky, kde byly splněny limity pro ukazatele této skupiny, a byly monitorovány alespoň dva, patřily např. Malše, Jizera, Chrudimka, Jihlava, Morava, Ploučnice, Berounka, Lužnice, Vltava, Sázava.

Nejvíce znečištěných profilů, kde byly monitorovány zmíněné tři ukazatele, bylo 79. Jednalo se většinou o toky v dílčím povodí Horní Odry – Zlatý potok, Černý potok, Jičínka v Kuníně, Lučina ve Slezské Ostravě, Bělá v Mikulovicích, Ostravice v Ostravě, Odra v Antošovicích a v dílčím povodí Horního a středního Labe – Jizera v Příšovicích, Bělá v Častolovicích, Tichá Orlice v Ústí nad Orlicí. V dílčím povodí Ohře, Dolního Labe a ostatních přítoků Labe se k nejznečištěnějším profilům řadily Teplický potok v Kozlíkách, Klíšský potok v Ústí nad Labem, Bouřlivec v Hostomicích, Žďírnický potok v Trmicích a Jílovský potok v Děčíně.

Nejvyšší překročení limitu bylo u termotolerantních koliformních bakterií na Slupském potoce v Šebířově 2 250× (dílčí povodí Dolní Vltavy). Na profilu Jílovský potok–Děčín (dílčí povodí Ohře, Dolního Labe a ostatních přítoků Labe) došlo k nejvyššímu překročení limitu u Ecoli, a to 720×. Enterokoky měly nejvyšší nález rovněž na Jílovském potoce v Děčíně, kde byla limitní hodnota překročena 215×. Podrobněji viz **Tab. P3.1.3, Obr. 3.1.14, Obr. 3.1.19** a **Obr. 3.1.20.**



Obr. 3.1.19 Maximální poměr překročení NEK v povrchových vodách u mikrobiologických ukazatelů pro jednotlivá dílčí povodí dle NV č. 401/2015 Sb.



Obr. 3.1.20 Výskyt Fcoli a Ecoli v povrchových vodách v porovnání s NEK dle NV č. 401/2015 Sb.

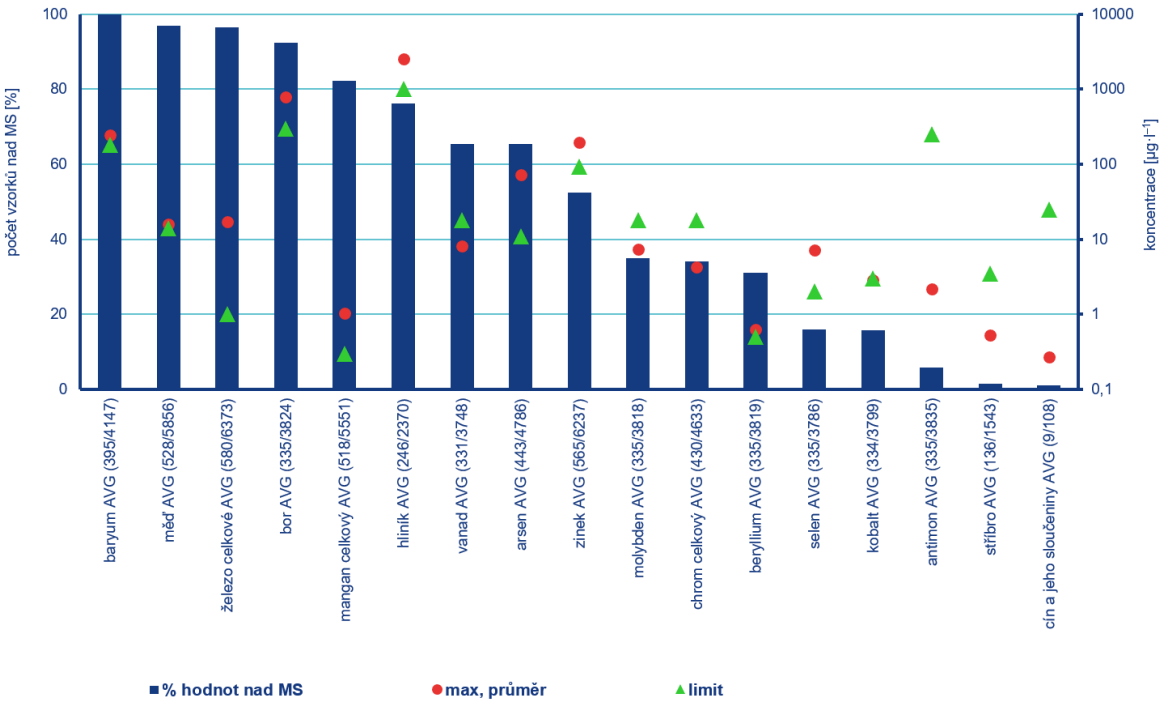
Ze skupiny **jednotlivých prvků** bylo sledováno až 17 ukazatelů na 580 profilech. Další prvky – kadmium, nikl, olovo a rtuť v rozpuštěné formě byly zařazeny do skupiny prioritních látek (radioaktivní prvky z této skupiny jsou hodnoceny v podkapitole „Radioaktivita“). Nejširší rozsah měření u většiny hodnocených profilů byl v dílčím povodí Moravy a přítoků Váhu a v dílčím povodí Dyje.

Na nejmenším počtu profilů byl monitorován cín a jeho sloučeniny, pouze na 9 profilech (v dílčím povodí Moravy a přítoků Váhu a v dílčím povodí Dyje), zatímco koncentrace celkového železa byly měřeny na 580 profilech.

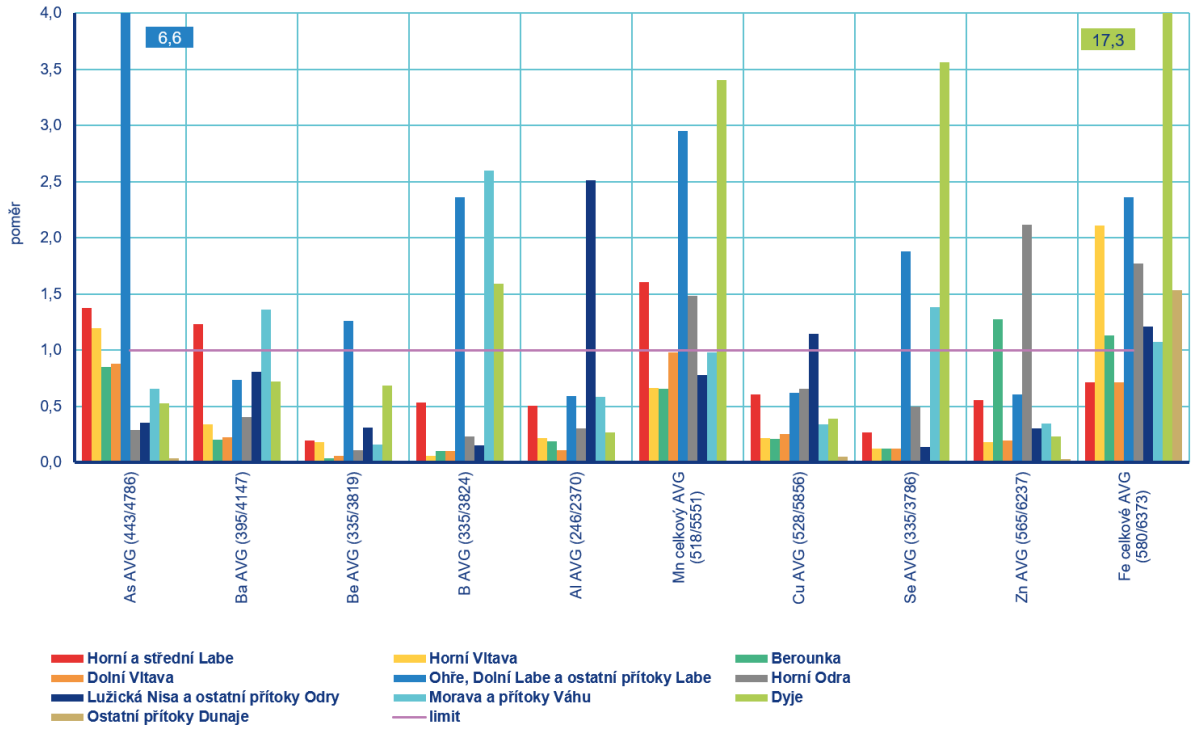
Většina ze 17 ukazatelů v 98 až 100 % vyhověla limitním hodnotám. NEK-RP byl překročen u celkového železa na 8 % a celkového manganu na 5 % profilů. Profilů, kde byla překročena alespoň na jednom ukazateli limitní hodnota, bylo 73 (13 %).

Nejzatíženějšími profily jednotlivými sledovanými prvky byl Moutnický potok v Moutnicích (dílčí povodí Dyje), hodnoty nad limit byly u boru, selenu a celkového manganu. Limitní hodnota pro selen byla překročena na tomto profilu 3,6×. Dále Stoka v Lokti (dílčí povodí Ohře, Dolního Labe a ostatních přítoků Labe) mírně překračovala NEK-RP pro arsen, beryllium a celkové železo, limitní hodnota pro celkové železo byla na zmíněném profilu překročena 2×. Na profilu Srpina–Obrnice byly překročeny limity pro bor, celkový mangan a železo. Na Znětíneckém potoce (dílčí povodí Dyje) byl překročen limit pro celkový mangan 3× a celkové železo 17×.

Podrobněji viz **Tab. P3.1.3, Obr. 3.1.21** a **Obr. 3.1.22**. V grafu na **Obr. 3.1.22** nejsou zobrazeny ukazatele, které na žádném dílčím povodí nepřekročily limit (antimon, cín, celkový chrom, kobalt, molybden, stříbro, vanad).



Obr. 3.1.21 Procenta překročení MS, maxima a NEK v povrchových vodách pro jednotlivé prvky dle NV č. 401/2015 Sb.



Obr. 3.1.22 Maximální poměr překročení NEK v povrchových vodách u prvků pro jednotlivá dílčí povodí dle NV č. 401/2015 Sb.

Pro větší přehlednost byly zbylé látky rozděleny do několika skupin – pesticidy, prioritní látky a ostatní znečišťující látky. Sumy látek posuzovaných jako jeden ukazatel, kde jsou všechny jednotlivé hodnoty v sumě pod MS, nabývají hodnoty 0. V následujících grafech jsou proto sloupce pro sumu znázorněny světle modrou barvou.

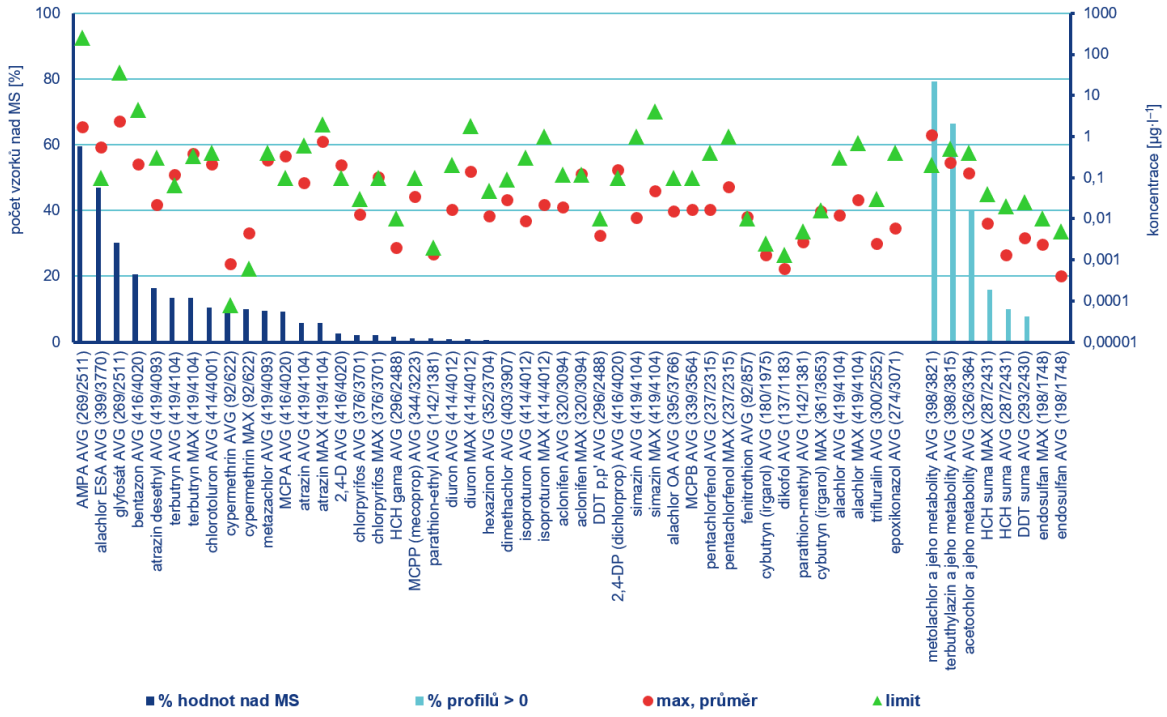
Z **pesticidních látek** nebyly některé hodnoceny vůbec a některé pouze na určitých dílčích povodích (viz **Tab. P3.1.2**). Většina pesticidů z této skupiny limitním hodnotám vyhověla v 99 až 100 % profilů. Nejčastěji byl limit překročen u cypermethrinu (NEK-RP překročen na 15 % profilů), který byl hodnocen pouze v dílčím povodí Horního a středního Labe a částečně v dílčích povodích Lužické Nisy a ostatních přítoků Odry a Ohře, Dolního Labe a ostatních přítoků Labe na 92 profilech. Velmi nízký NEK-RP překročil cypermethrin 10× na profilu Brslenka (Čáslavka)–Rohozec.

Druhou látkou, která přesahovala limitní hodnotu, byl alachlor ESA, sledovaný na 399 profilech. Jeho hodnoty nesplnily limit na 14 % profilů napříč jednotlivými povodími. K nejvyššímu (více než pětinásobnému) překročení limitu došlo na Chotovinském potoce ve Stříbrné Huti (přítok Lužnice) v dílčím povodí Horní Vltavy. Okolo 3 až 4násobku nad NEK-RP byly zaznamenány koncentrace na Čechtickém potoce pod Chrastovicemi, Bělé pod Pelhřimovem i na Želivce v dílčím povodí Dolní Vltavy a Skalici v obci Varvažov v dílčím povodí Horní Vltavy. Výrazně byl limit překročen také na Opustě, Píšťském potoce a Pštině (dílčí povodí Horní Odry).

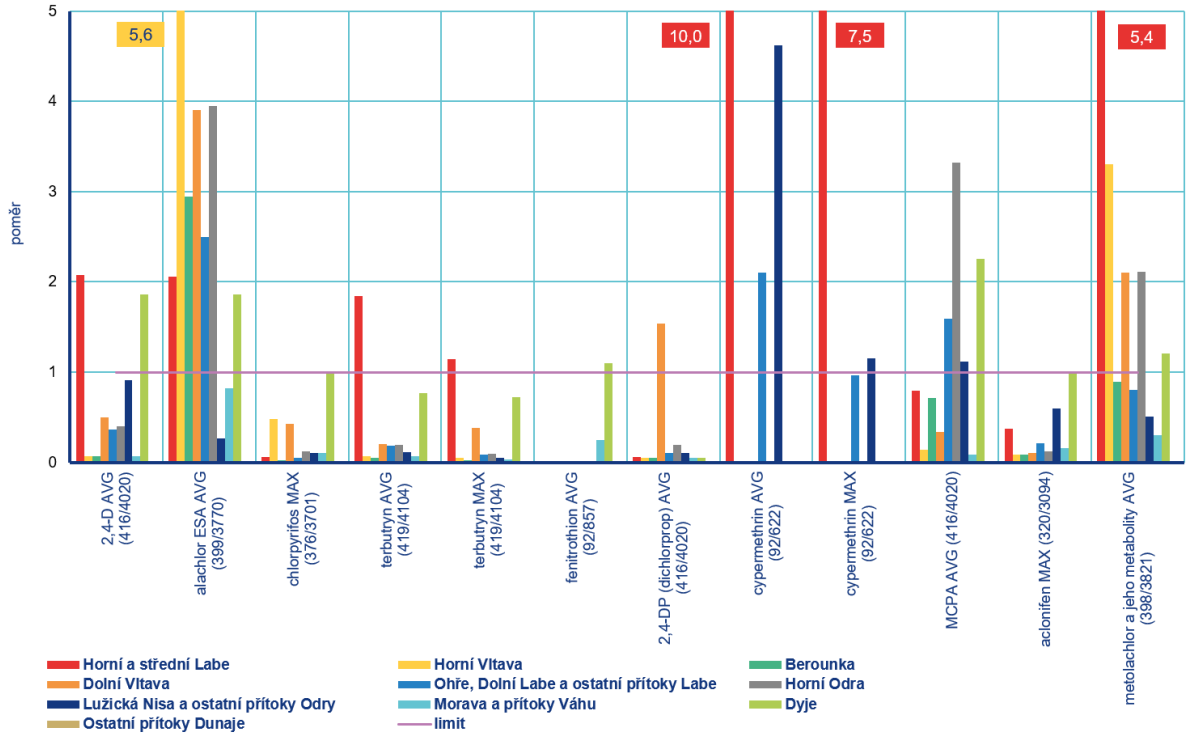
Metolachlor a jeho metabolity vyjádřené jako metolachlor byly nad limitní hodnotou 0,2 $\mu g \cdot l^{-1}$ na 19 profilech, tj. 5 %, nejvýrazněji na profilech Kněžmostka–Bakov nad Jizerou a Králický potok–Nový Bydžov v dílčím povodí Horního a středního Labe, kde byla 5,4× a 4× překročena limitní hodnota. Koncentrace 2 až 3× přes limit byly naměřeny na Pštině (dílčí povodí Horní Odry), Nížkovském potoce v Bukové (dílčí povodí Dolní Vltavy) a Dehtářském potoce v Bavorovicích (dílčí povodí Horní Vltavy).

Z ostatních pesticidů překročil limit na osmi profilech i ukazatel MCPA (kyselina 2-methyl-4-chlorfenoxyoctová), na dvou profilech terbutryn (NEK-RP) a 2,4-D (kyselina 2,4-dichlorfenoxyoctová), po jednom profilu pak pesticidy chlorpyrifos (NEK-NPK), terbutryn (NEK-NPK), fenitrothion, 2,4-DP a aclonifen (NEK-NPK).

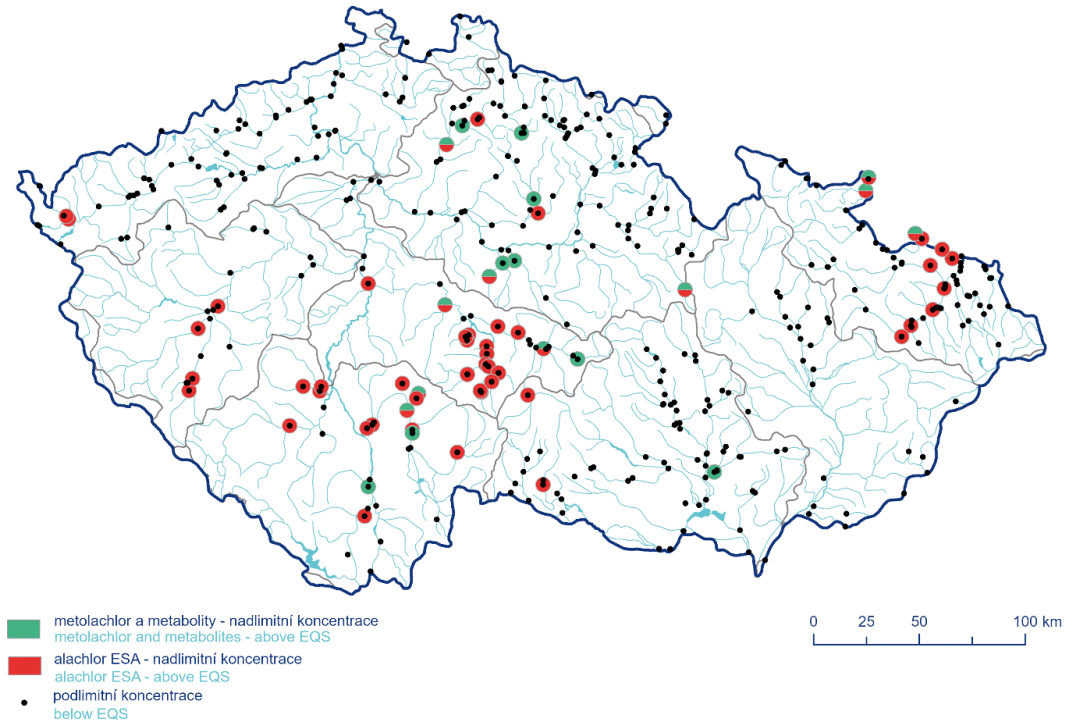
Podrobněji viz **Obr. 3.1.23**, **3.1.24** a **3.1.25**. Na **Obr. 3.1.24** jsou uvedeny pouze pesticidy, které alespoň na jednom dílčím povodí překročily limitní hodnotu, nejsou zde tedy zahrnuty parathion-methyl, parathion-ethyl, endosulfan, dichlorvos, malathion, glyfosát, AMPA, HCH gama, alachlor, alachlor OA, atrazin, atrazin desethyl, hexazinon, chlorpyrifos (NEK-RP), isoproturon, simazin, trifluralin, diuron, chlorotoluron, fenthion, chlorfenvinfos, bentazon, bifenox, dikofol, dimethachlor, MCPB, MCPP, metazachlor, aclonifen (NEK-RP), epoxikonazol, chinoxyfen, cybutryn, p,p´-DDT, acetochlor a jeho metabolity, endosulfan, suma DDT, suma HCH, cyklodienové pesticidy, terbuthylazin a jeho metabolity, heptachlor a heptachlorepoxid.



Obr. 3.1.23 Procenta překročení MS, maxima a NEK v povrchových vodách pro pesticidy dle NV č. 401/2015 Sb.



Obr. 3.1.24 Maximální poměr překročení NEK v povrchových vodách u pesticidů pro jednotlivá dílčí povodí dle NV č. 401/2015 Sb.



Obr. 3.1.25 Koncentrace metolachloru a jeho metabolitů a alachloru ESA v povrchových vodách v porovnání s NEK dle NV č. 401/2015 Sb.

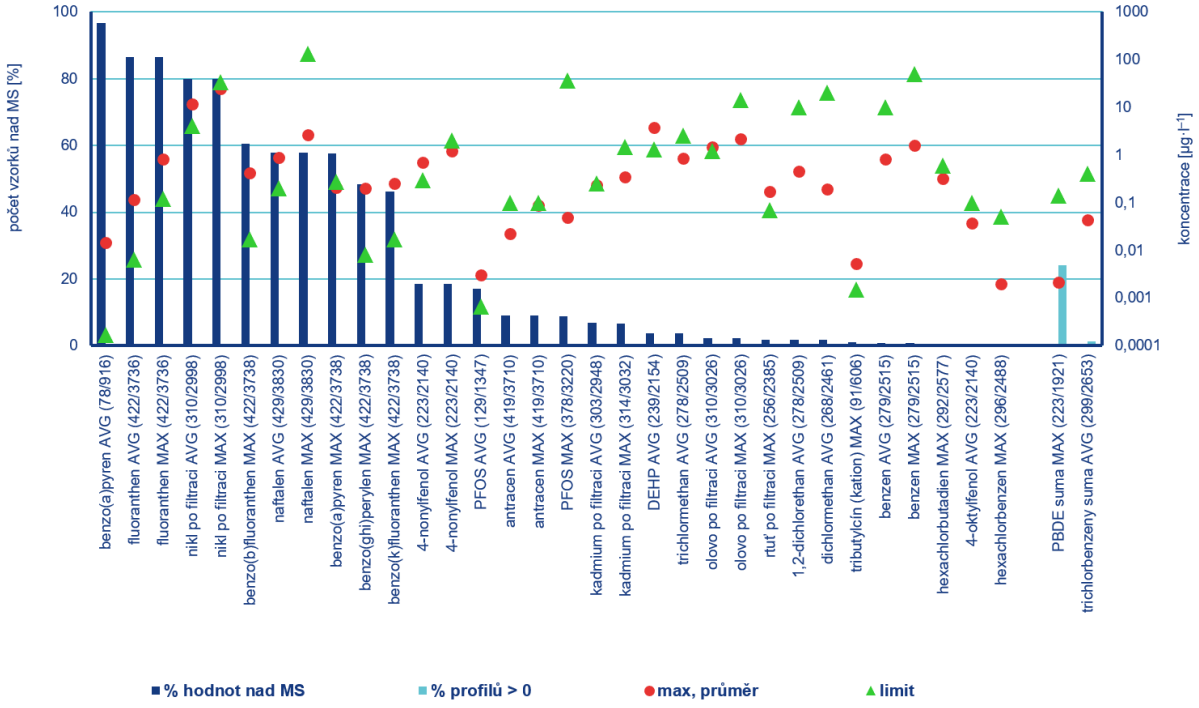
Také ze skupiny **prioritních látek** nebyly všechny ukazatele hodnoceny, jak ukazuje **Tab. P3.1.2.** Na největším počtu profilů byl monitorován naftalen (429), na nejmenším počtu pak tributylcín kation (91).

Průměrné roční koncentrace u velmi sledovaného benzo(a)pyrenu mohly být hodnoceny pouze na profilech v dílčích povodích Vltavy a Berounky (78 profilů). Ale i na těchto profilech koncentrace vysoce překračovaly povolený, velice nízký limit pro roční průměr $1{,}7 \cdot 10^{-4}$ µg·l^{-1}. Nejvyšší koncentrace benzo(a)pyrenu byly naměřeny na Milevském potoce v Sepekově (dílčí povodí Horní Vltavy). Limit NEK-RP byl zde překročen více než 85×. Druhým tokem v pořadí s nejvyšším překročením roční průměrné koncentrace (66×) byl Zákolanský potok v Kralupech nad Vltavou (dílčí povodí Dolní Vltavy). Pouze na profilech Ratibořský potok–Ratiboř (přítok Střely), Lužní potok–Mýto (přítok Mže) a Svinařský potok–Zadní Třebáň (přítok Berounky) v dílčím povodí Berounky nebyla překročena limitní hodnota pro benzo(a)pyren.

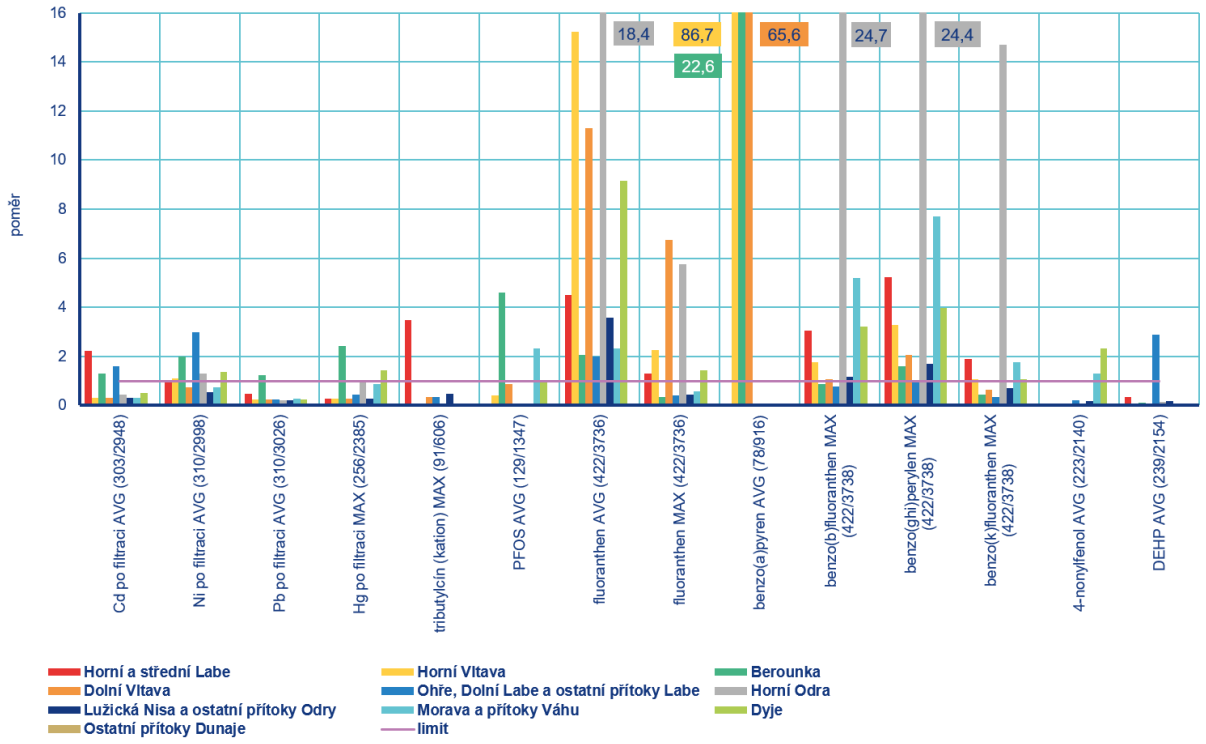
Mezi další ukazatele, které významně překročily limitní hodnotu, patřil fluoranthen (NEK-RP byl překročen na 51 % profilů) a benzo(ghi)perylen (nevyhověl limitu na 18 % profilů). Pro fluoranthen byla nejvíce (18×) překročena limitní hodnota NEK-RP 0,0063 µg·l^{-1} na Hoštickém potoce v dílčím povodí Horní Odry, zatímco nejvyšší naměřená koncentrace pro benzo(ghi)perylen byla na Zlatém potoce také v dílčím povodí Horní Odry. Limitní hodnota NEK-NPK 0,0082 µg·l^{-1} zde byla překročena 24×.

U rozpuštěných kovů bylo nejvíce profilů nad limit u niklu po filtraci NEK-RP (4 %). Pramenský potok (dílčí povodí Ohře, Dolního Labe a ostatních přítoků Labe) měl nejvyšší překročení NEK-NPK pro rozpuštěný nikl 3×. Kadmium po filtraci limitní hodnotu NEK-RP nesplnilo na 2 % profilů, stejně tak i rtuť po filtraci (NEK-NPK). Pro rozpuštěné kadmium byl nejvýrazněji překročen limit (NEK-RP) 2,2× na toku Žernovník v dílčím povodí Horního a středního Labe a pro rozpuštěnou rtuť bylo nejvýraznější překročení NEK-NPK 2,4× na Kolešovickém potoce v dílčím povodí Berounky.

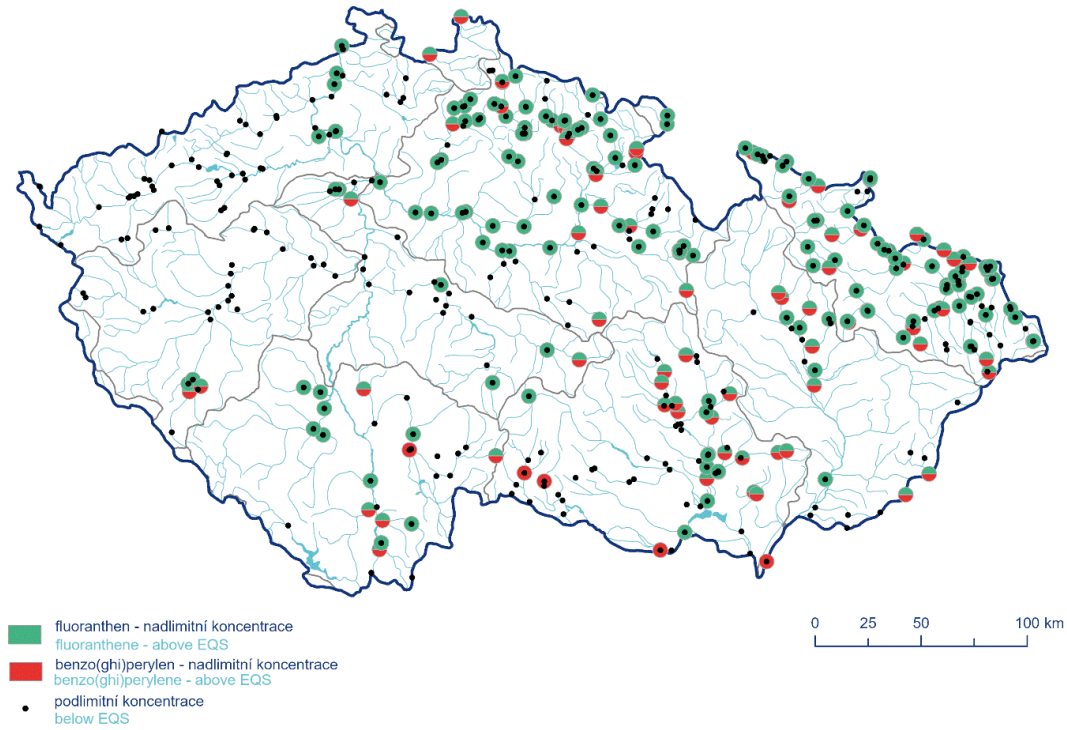
Podrobněji viz **Tab. P3.1.3, Obr. 3.1.26, Obr. 3.1.27 a Obr. 3.1.28.** Na **Obr. 3.1.27** jsou opět uvedeny pouze látky překračující limit. Nezahrnují proto ukazatele: kadmium po filtraci (NEK-NPK), nikl po filtraci (NEK-NPK), olovo po filtraci (NEK-NPK), perfluoroktansulfonová kyselina a její deriváty (PFOS) (NEK-NPK), chloralkany C_{10}–C_{13}, dichlormethan, trichlormethan, 1,2-dichlorethan, hexachlorbutadien, benzen, naftalen (NEK-NPK), anthracen, benzo(a)pyren (NEK-NPK), 4-nonylfenol (NEK-NPK), 4-oktylfenol, pentachlorbenzen, hexachlorbenzen (HCB), PBDE suma, trichlorbenzeny suma.



Obr. 3.1.26 Procenta překročení MS, maxima a NEK v povrchových vodách pro prioritní látky dle NV č. 401/2015 Sb.



Obr. 3.1.27 Maximální poměr překročení NEK v povrchových vodách u prioritních látek pro jednotlivá dílčí povodí dle NV č. 401/2015 Sb.

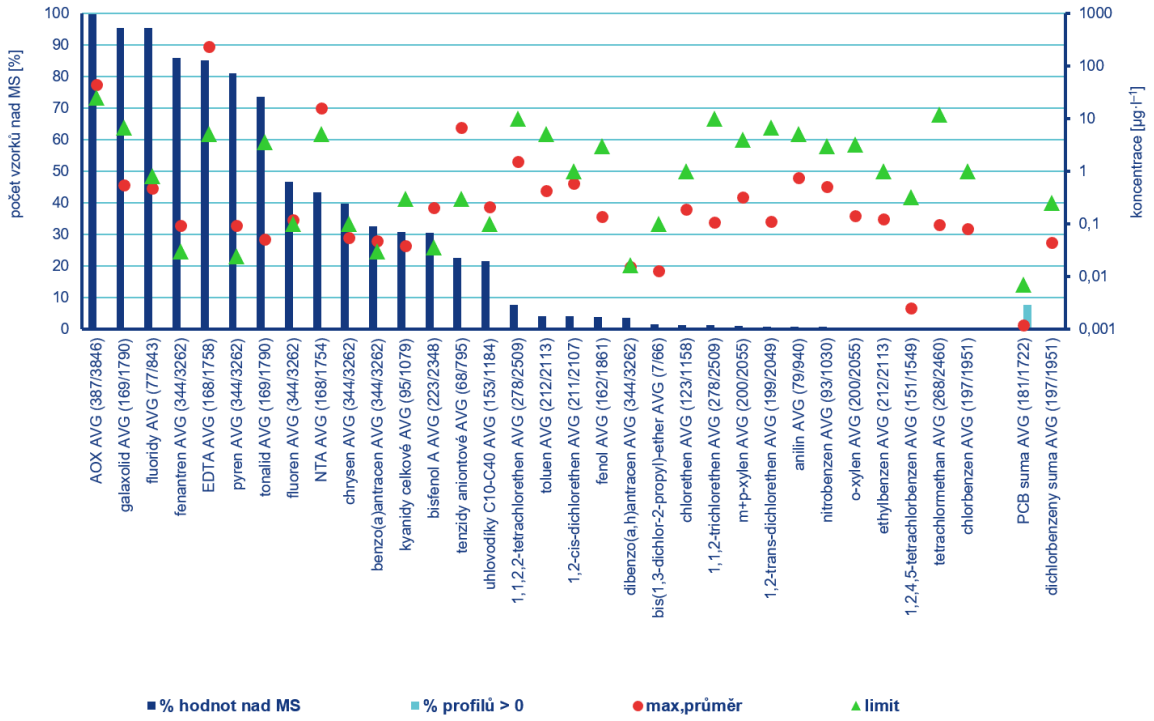


Obr. 3.1.28 Koncentrace fluoranthenu a benzo(ghi)perylenu v povrchových vodách v porovnání s NEK dle NV č. 401/2015 Sb.

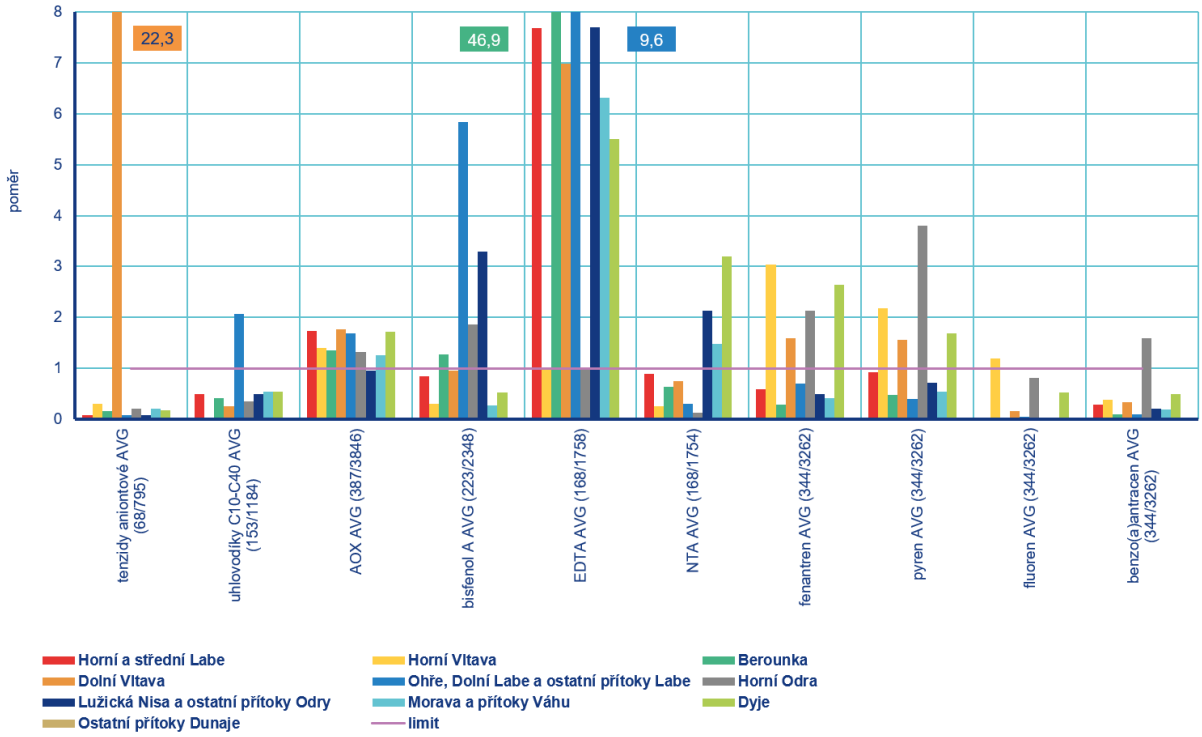
Z **ostatních organických látek** byl nad limitní hodnotou naměřen roční průměr pro EDTA, téměř 38 % profilů napříč všemi dílčími povodími, nejčastěji však v dílčím povodí Horního a středního Labe a v dílčím povodí Ohře, Dolního Labe a ostatních přítoků Labe. Přesto byla nejvyšší koncentrace naměřena na Drnovém potoce pod Klatovy (dílčí povodí Berounky), průměrný roční limit byl zde překročen přibližně 47×. Koncentrace této látky jsou zde vysoké celoročně. AOX měly nad limitní hodnotou 14 % profilů, ale pouze do dvojnásobku limitu. Nejvíce byl NEK-RP pro AOX překročen na profilu Zákolanský potok–Kralupy nad Vltavou v dílčím povodí Dolní Vltavy, pouze však 1,8×.

Bisfenol A nevyhověl limitu téměř na 7 % profilů, nejčastěji byl ve vyšších koncentracích detekován v dílčím povodí Ohře, Dolního Labe a ostatních přítoků Labe, nejvyšší překročení ročního průměru bylo zaznamenáno na Bílině v Ústí nad Labem, limit byl zde překročen 5,8×. Pyren přesáhl limitní hodnotu na 3 % profilů (nejvíce na Hoštickém potoce – dílčí povodí Horní Odry, 3,8×). U kyseliny nitrilotrioctové (NTA) byl nejvýrazněji překročen limit na Svratce v Borači – dílčí povodí Dyje (3,2×) a u fenanthrenu na profilu Dírenský potok–Soběslav (3×). Na jednotkách profilů byly v nadlimitních koncentracích i ukazatele pro tenzidy aniontové, uhlovodíky C_{10}–C_{40}, fluoren, benzo(a)antracen.

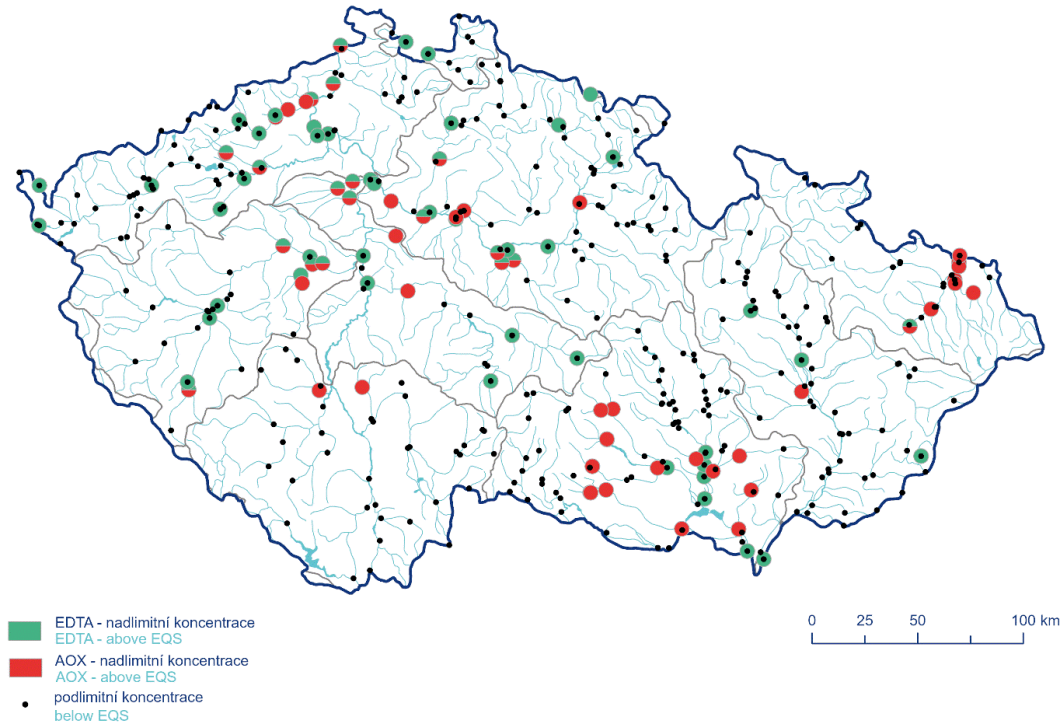
Podrobněji viz **Tab. P3.1.3**, **Obr. 3.1.29**, **Obr. 3.1.30** a **Obr. 3.1.31**. V grafu na **Obr. 3.1.30** jsou opět uvedeny jen látky, které alespoň na jednom dílčím povodí limitní hodnotu překročily, nejsou zde proto ukazatele: fluoridy, kyanidy celkové, kyanidy volné, bis(1,3-dichlor-2-propyl)-ether, bis(2,3-dichlor-1-propyl)-ether, 1,3-dichlor-2-propyl-2,3-dichlor-1-propyl ether, kyselina 1,3-diaminopropantetraoctová (PDTA), tetrachlormethan, chlorethen, 1,2-cis-dichlorethen, 1,2-trans-dichlorethen, 1,1,2-trichlorethen, 1,1,2,2-tetrachlorethen, chrysen, dibenzo(a,h)antracen, toluen, m+p-xylen, o-xylen, ethylbenzen, fenol, anilin, nitrobenzen, galaxolid, tonalid, isopropylbenzen, chlorbenzen, 1,2,4,5-tetrachlorbenzen, suma polychlorovaných bifenylů (PCB), suma dichlorbenzenů (DCB).



Obr. 3.1.29 Procenta překročení MS, maxima a NEK v povrchových vodách pro ostatní látky dle NV č. 401/2015 Sb.



Obr. 3.1.30 Maximální poměr překročení NEK v povrchových vodách u ostatních látek pro jednotlivá dílčí povodí dle NV č. 401/2015 Sb.



Obr. 3.1.31 Koncentrace AOX a EDTA v povrchových vodách v porovnání s NEK dle NV č. 401/2015 Sb.

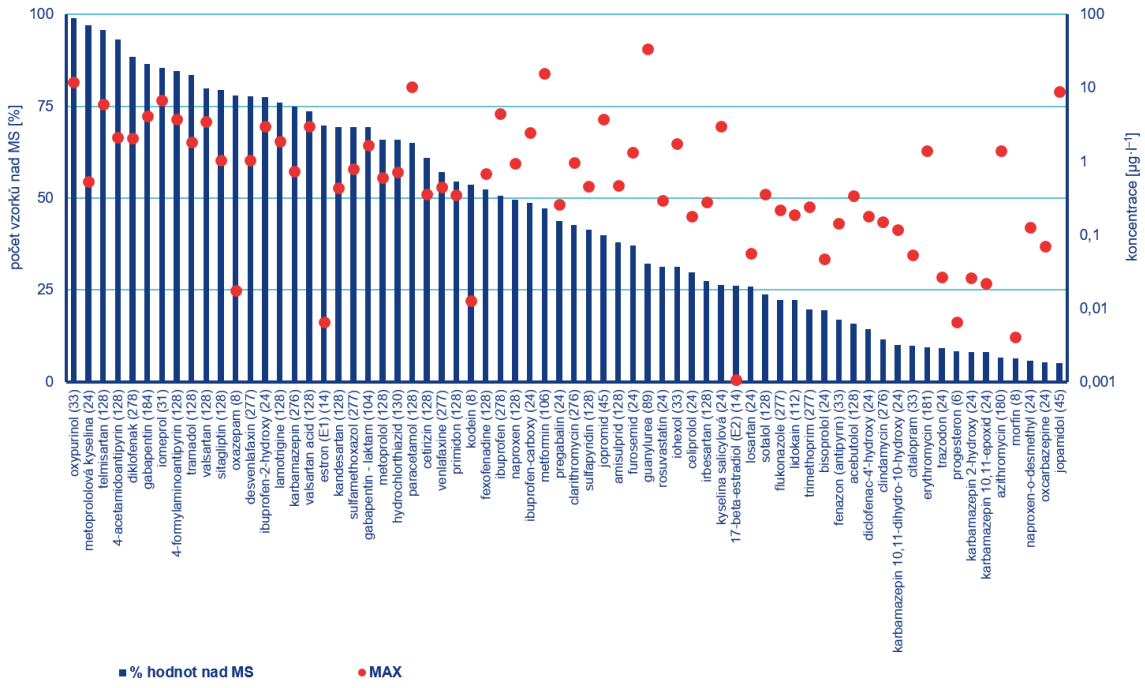
Na 291 profilech reprezentativních pro vodní útvary byla monitorována **farmaka**. Celkem bylo sledováno 132 látek včetně metabolitů. Protože v legislativě nejsou pro farmaka stanoveny limitní hodnoty, bylo do grafu zaneseno pouze procentní zastoupení nad MS a maximální naměřené koncentrace (viz **Obr. 3.1.32**). Z 99 % byl nad MS zjištěn oxypurinol, aplikovaný při léčbě dny. Druhou nejčastěji detekovanou látkou nad MS byla s 97 % pozitivních nálezů metoprololová kyselina, metabolit atenololu a metoprololu – léky používané při léčbě vysokého krevního tlaku. Jako třetí nejvíce se vyskytující látka byl vyhodnocen s 96 % hodnot nad MS telmisartan, který je taktéž používán k léčbě hypertenze. Další látky, které překročily MS nad 5 % jsou uvedeny na **Obr. 3.1.32**, včetně naměřených nejvyšších koncentrací. U každé látky je na ose X uveden počet profilů, na kterých byla látka sledována. 37 z celkového počtu sledovaných látek měřených na 4 až 33 profilech nebylo nikde detekováno nad MS. Výjimkou byly sulfamerazin a warfarin, které byly monitorovány pod MS na 53 a 128 profilech. Mezi léčiva, která nebyla detekována na žádném profilu, patří kromě sulfamerazinu a warfarinu také např. kyselina klofibrová, norfloxacin, diazepam, enoxacin, lovastatin, torasemid, propranolol.

Nejvíce látek (nejčastěji 99 až 124 na profilu Vltava–Zelčín) bylo monitorováno v dílčích povodích Vltavy a Berounky, převážně 21 až 71 v dílčích povodích Horního a středního Labe a Lužické Nisy, 20 až 39 v dílčím povodí Ohře, Dolního Labe a ostatních přítoků Labe s výjimkou závěrových profilů na Labi, Děčín a Schmilka, kde bylo sledováno 71 farmak. V dílčím povodí Moravy a přítoků Váhu a v dílčím povodí Dyje bylo monitorováno 17 léčiv na 91 profilech, pouze na profilu Morava–Lanžhot bylo monitorováno 19 léčiv a jejich metabolitů. V dílčím povodí Horní Odry byl stejně jako v minulém roce monitorován pouze závěrový profil Odra–Bohumín, na kterém bylo měřeno 10 farmak, **Obr. 3.1.33**.

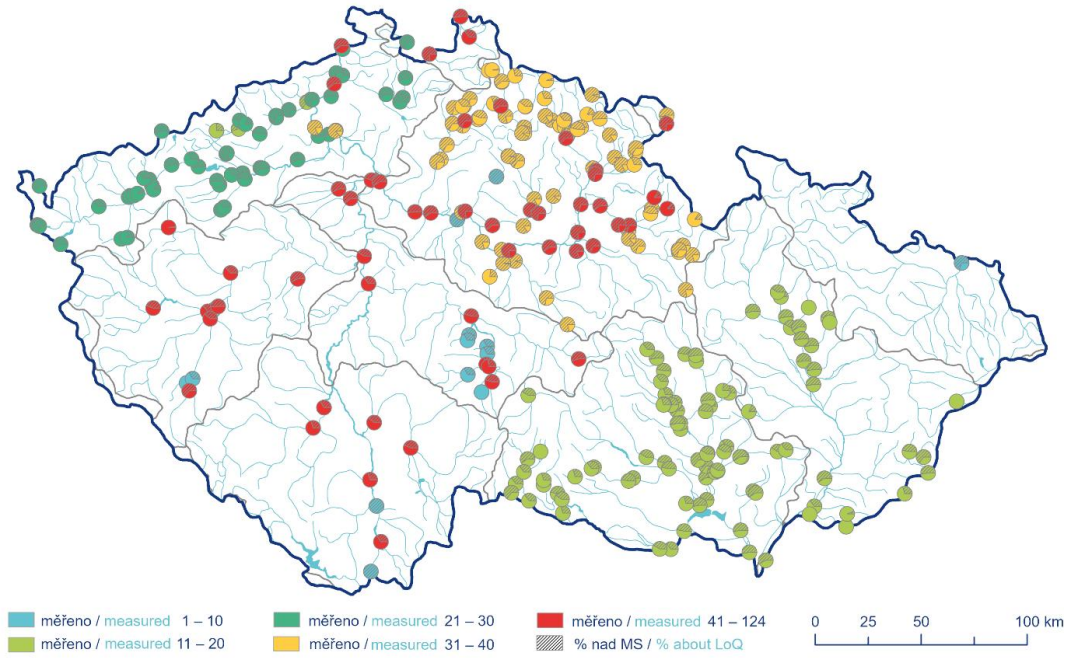
K nejzatíženějším profilům, na kterých byl sledován nejširší rozsah ukazatelů, patřil Drnový potok pod Klatovy (dílčí povodí Berounky), kde bylo nad MS nalezeno 74 látek, tj. 64 % ze sledovaných, dále Zákolanský potok v Kralupech nad Vltavou (dílčí povodí Dolní Vltavy), nad MS bylo vyhodnoceno 71 látek (61 % ze sledovaných). Z dalších profilů s rozsahem měření alespoň 50 látek, na kterých počet nalezených

léčiv dosahoval více než 50 % z monitorovaných, se jednalo o Hrádek nad Nisou na Lužické Nise (nalezeno 52 léčiv ze 68 sledovaných, 76 %), Cidlinu v Sánech (61 %), Orlici v Nepasicích (60 %), Červený potok pod Velvary (58 %) – dílčí povodí Dolní Vltavy, Červený potok v Bavoryni (58 %) – dílčí povodí Berounky, Sázavu v Nových Dvorech (55 %), Jizeru v Předměřicích (52 %), Berounku v Bukovci (51 %) a některé profily na Labi spadající do sítě MKOL, které měly nalezená léčiva mezi 59 a 61 % ze sledovaných. Pouze na 5 profilech bylo detekováno nad MS 100 % látek. Jednalo se o profily Mrlina–Kopidlno, Šembera–Zvěřínek (na obou monitorovány tři látky) – dílčí povodí Horního a středního Labe, dále se jednalo o profily s pouze jedním sledovaným ukazatelem, Úslava–Doubravka – dílčí povodí Berounky, Malše v Roudné a Dolním Dvořišti – dílčí povodí Horní Vltavy. Další místa s vysokým procentním zastoupením monitorovaných látek byly menší toky a potoky, např. Rtyňka, Šonovský potok, Olešnice, Sovinka, Mlýnská Cidlina, Popelka, Čermná, Králický potok, všechny zmíněné profily se nachází v dílčím povodí Horního a středního Labe.

K čistým profilům patřila Radějovka nad Petrovem, Sitka (Huzovka) nad Šternberkem, Lichnička–ústí, Teplica (Vrbovčanka)–Vrbovce a toky přitékající do nádrží Stanovnice a Řečice – dílčí povodí Moravy a přítoků Váhu a dílčí povodí Dyje, kde z 17 sledovaných látek nebyla žádná nad MS. Dále některé toky z dílčího povodí Horního a středního Labe a z dílčího povodí Moravy a přítoků Váhu – Malá Haná, Velička, Pramenský potok, Vitický potok, Lomnice a v dílčím povodí Horního a středního Labe Jedlová v Josefově Dole a Labe ve Špindlerově Mlýně. Z monitorovaných 17 až 39 farmak byly nalezeny maximálně tři látky. Čistým tokem, byl také Ratibořský potok (přítok Střely) v dílčím povodí Berounky, kde z 99 sledovaných léčiv byly pouze dvě nad MS. Podrobněji viz **Obr. 3.1.33**.



Obr. 3.1.32 Procenta překročení MS nad 5 % a maximální koncentrace pro farmaka v roce 2025 (na ose X v závorce: počet sledovaných profilů).



Obr. 3.1.33 Počet farmak měřených a nalezených na vybraných profilech povrchových vod.

Vzhledem k tomu, že rozsah sledovaných **pesticidů** a jejich metabolitů je mnohem širší, než je obsaženo v NV č. 401/2015 Sb. a ČSN 75 7221, byl zařazen ještě stručný přehled monitorovaných pesticidů.

Na 448 profilech reprezentativních pro vodní útvary byly sledovány pesticidy v rozsahu od 1 (profily Vltava–Pěkná a Červený potok–Bavoryně) do 291 látek (některé profily v dílčím povodí Dolní Vltavy a Berounky).

Z 307 celkově sledovaných pesticidů nepřekročilo 153, tj. 50 %, na žádném profilu MS. Z pesticidů, které byly měřeny na 200 a více profilech, se jednalo o alfa-endosulfan, methoxychlor, triallát, dieldrin, endrin, heptachlor, ametryn, fenthion, chlorfenvinfos, bifenox, desmetryn, chinoxyfen, o,p'-DDT, o,p'-DDE, isodrin, aldrin.

Nejčastěji byly nad MS nalezeny hodnoty kyseliny trifluoroctové (96 % hodnot), tento ukazatel byl však sledován pouze na 26 profilech v povodí Labe a Vltavy. Kyselina trifluoroctová (TFA) je vysoce perzistentní látka, která vzniká degradací mnoha fluorovaných sloučenin včetně pesticidů. Stejně jako v předchozích letech byly často detekovány nad MS hodnoty metabolitu metazachloru (herbicid využívaný především na ošetření řepky), metazachlor ESA (75 % hodnot) a metazachlor OA (60 % hodnot), oba zmíněné metabolity byly sledovány na více než 390 profilech. Dalšími látkami se stanovenou přítomností nad 50 % byly metolachlor ESA (67 %), dimethachlor CGA369873 (61 %), AMPA (59 %), 1,2,4-triazol (61 %) a chlorothalonil R471811 (58 %), poslední dvě zmíněné látky byly však monitorovány pouze na malém počtu profilů (30 a 22).

I další pesticidy, jejichž výskyt hodnot nad MS přesáhl 30 % a byly monitorovány na více než 300 profilech, byly převážně metabolity – alachlor ESA, terbuthylazin 2-hydroxy, chloridazon methyl-desphenyl, atrazin 2-hydroxy a chloridazon desphenyl. Další pesticidy, které byly detekovány nad MS minimálně v 5 % vzorků a jejich maximální koncentrace jsou uvedeny na **Obr. 3.1.34.**

Z profilů, kde bylo sledováno 200 a více pesticidů (dílčí povodí Dolní Vltavy a dílčí povodí Berounky), bylo nejvíce pesticidů nad MS nalezeno v povodí Želivky. Monitorováno bylo široké spektrum látek (241 až 291), které měly nejčastěji detekováno okolo 15 % hodnot nad MS. Nejvíce byly zatíženy profily na Čechtickém potoce pod Chrastovicemi a Sedlickém potoce ve Strojeticích, dalšími byly Martinický potok v Senožatech, Kejtovský potok v Samšíně a Bělá pod Pelhřimovem.

V dílčím povodí Horní Vltavy bylo sledováno převážně 111 až 161 pesticidů. Nejvíce zatíženými toky pesticidy v tomto dílčím povodí byly Maršovský potok (přítok Lužnice) v Ústrašicích, Židova strouha (přítok Lužnice) pod Nuzicemi a Skalice ve Varvažově, okolo 35 % sledovaných látek ze 114 bylo nad MS. Nejméně znečištěná byla Malše v Dolním Dvořišti, nad MS byly pouze tři pesticidy ze 160 sledovaných.

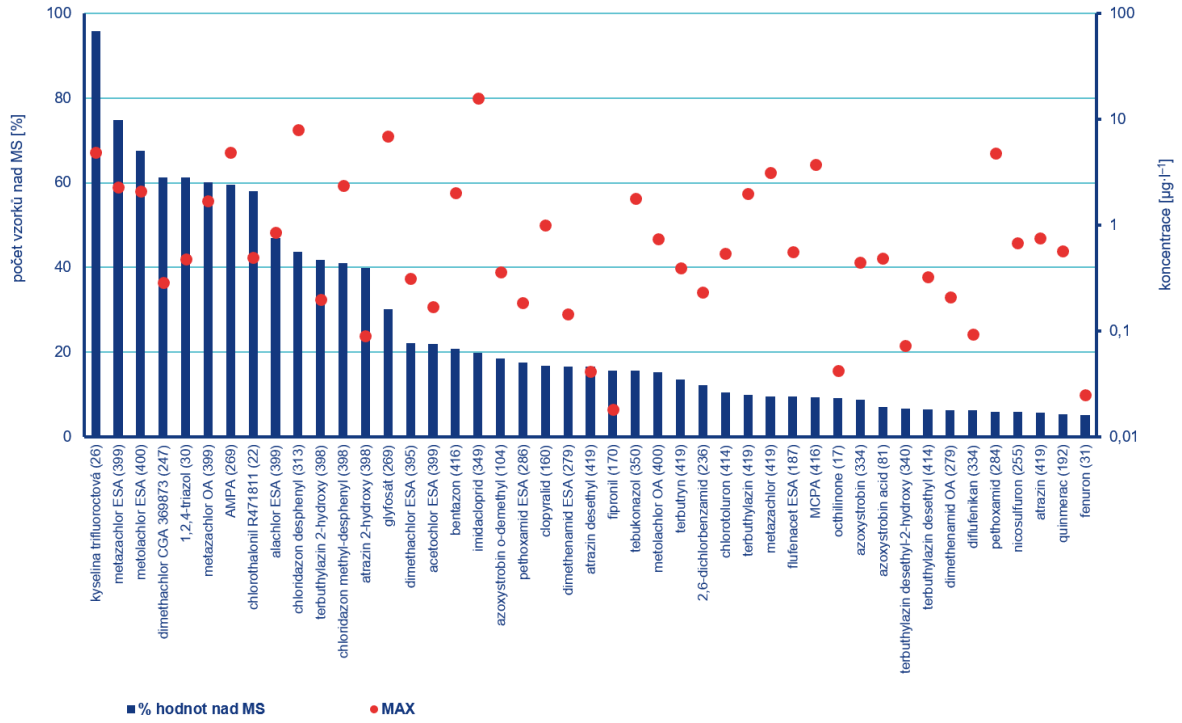
V dílčím povodí Horního a středního Labe bylo sledováno na 112 profilech maximálně 168 pesticidů. Nejvyšší počet látek nad MS na profilech s monitorováním více než 99 pesticidních ukazatelů byl na profilech Králický potok–Nový Bydžov (51 %), Cidlina–Luková (50 %), Bystřice–Kosičky (49 %) a Brslenka (Čáslavka)–Rohozec (43 %). V absolutních číslech bylo nejvyšší zatížení na Cidlině v Lukové, kde ze 109 sledovaných látek bylo zjištěno nad MS 54.

V dílčím povodí Ohře, Dolního Labe a ostatních přítoků Labe bylo sledováno 45 až 168 pesticidů a jejich metabolitů. Nejvíce pozitivně stanovených pesticidů měl profil Labe–Děčín, kde bylo zjištěno nad MS 40 látek ze 168 monitorovaných, na profilu Labe–Schmilka (pravý břeh) bylo nalezeno nad MS 35 látek ze 166 sledovaných.

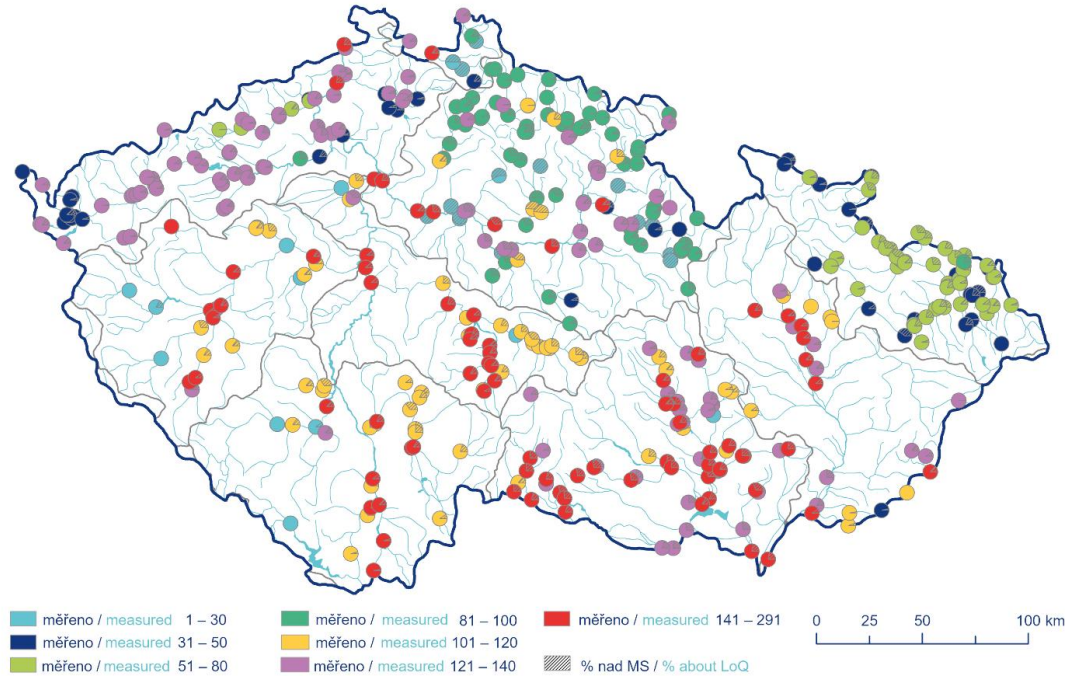
V dílčím povodí Dyje a v dílčím povodí Moravy a přítoků Váhu, bylo monitorováno na většině profilů 112 až 148 pesticidů, méně než 31 látek bylo sledováno pouze na dvou profilech. Nejvíce pesticidů nad MS (33) v dílčím povodí Moravy a přítoků Váhu bylo nalezeno na profilech Morava–Lanžhot a Dlouhá řeka–Nedakonice, v dílčím povodí Dyje byly nejzatíženějšími toky Litava (45) a Spálený potok (44).

V dílčím povodí Horní Odry bylo sledováno maximálně 78 pesticidů, výjimkou byl profil Odra v Bohumíně, kde jich bylo monitorováno 91. V procentuálním zastoupení hodnot nad MS byl nejvíce zatížen profil Luha v Jeseníku nad Odrou, kde bylo nalezeno 17 ukazatelů ze 43 sledovaných. V absolutních číslech to však bylo ústí Velké a Hvozdnice, nad MS bylo 24 pesticidních látek z 64, resp. 61.

Nejčistších profilů, kde nebyl nalezen žádný pesticid nad MS, bylo 25, ale pouze na 10 z nich bylo sledováno více než 90 pesticidů. Z tohoto pohledu byly nejlépe hodnoceny toky – Drietomice, Sitka nad Šternberkem (dílčí povodí Moravy a přítoků Váhu), Zdobnice v Pěčíně (dílčí povodí Horního a středního Labe) a Ratibořský potok v Ratiboři (dílčí povodí Berounky). Na výše zmíněných profilech bylo monitorováno 112 až 149 pesticidů, z nichž ani jeden nebyl nad MS. Z ostatních profilů, na kterých bylo měřeno více než 100 pesticidů, byly velmi čisté profily Jizera–Horní Sytová (dílčí povodí Horního a středního Labe), Stanovnice–Karolinka, Lichnička–ústí (dílčí povodí Moravy a přítoků Váhu), Svatava–Sokolov, Jáchymovský potok–Ostrov a Teplá v Karlových Varech (dílčí povodí Ohře, Dolního Labe a ostatních přítoků Labe). Na výše zmíněných profilech bylo monitorováno 101 až 140 látek, nad MS byly maximálně dvě z nich. Podrobněji viz **Obr. 3.1.35.**



Obr. 3.1.34 Procenta překročení MS nad 5 % a maximální koncentrace pro pesticidy v roce 2025 (na ose X v závorce: počet sledovaných profilů).



Obr. 3.1.35 Počet pesticidů měřených a nalezených na vybraných profilech povrchových vod.

Bilance jakosti povrchové vody za období 2023 až 2025

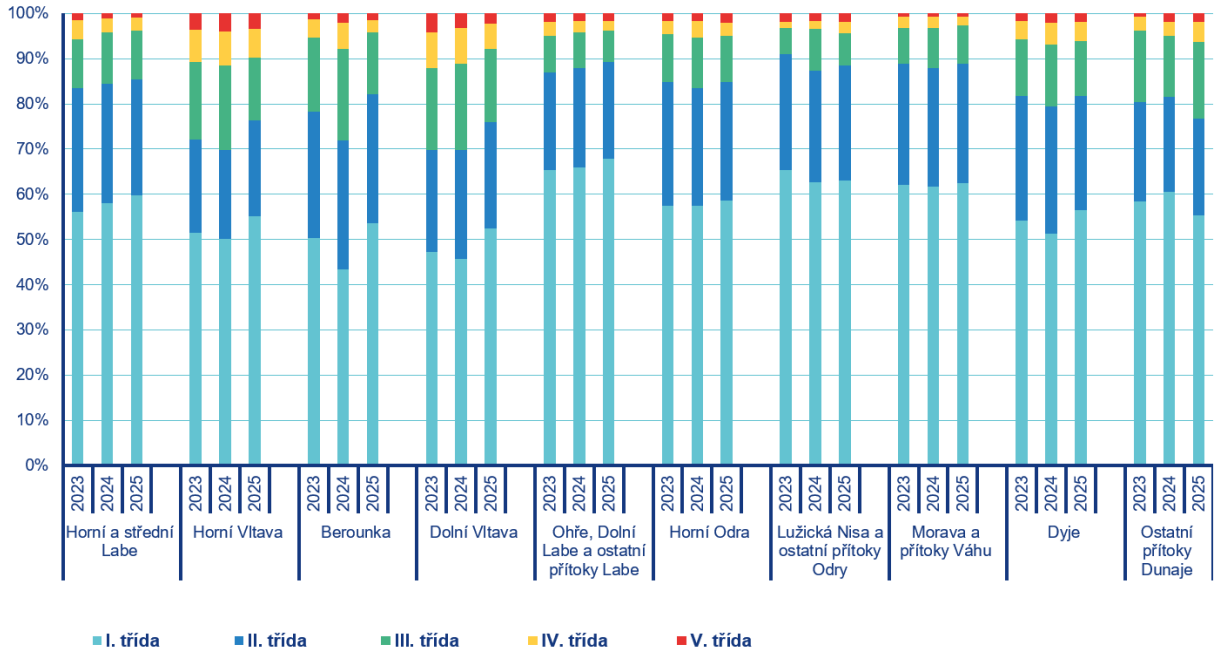
Povrchové vody

Hodnocení povrchových vod uplynulého tříletí 2023 až 2025 bylo provedeno podle ČSN 75 7221 (dále jen ČSN) a NV č. 401/2015 Sb. (dále jen NV).

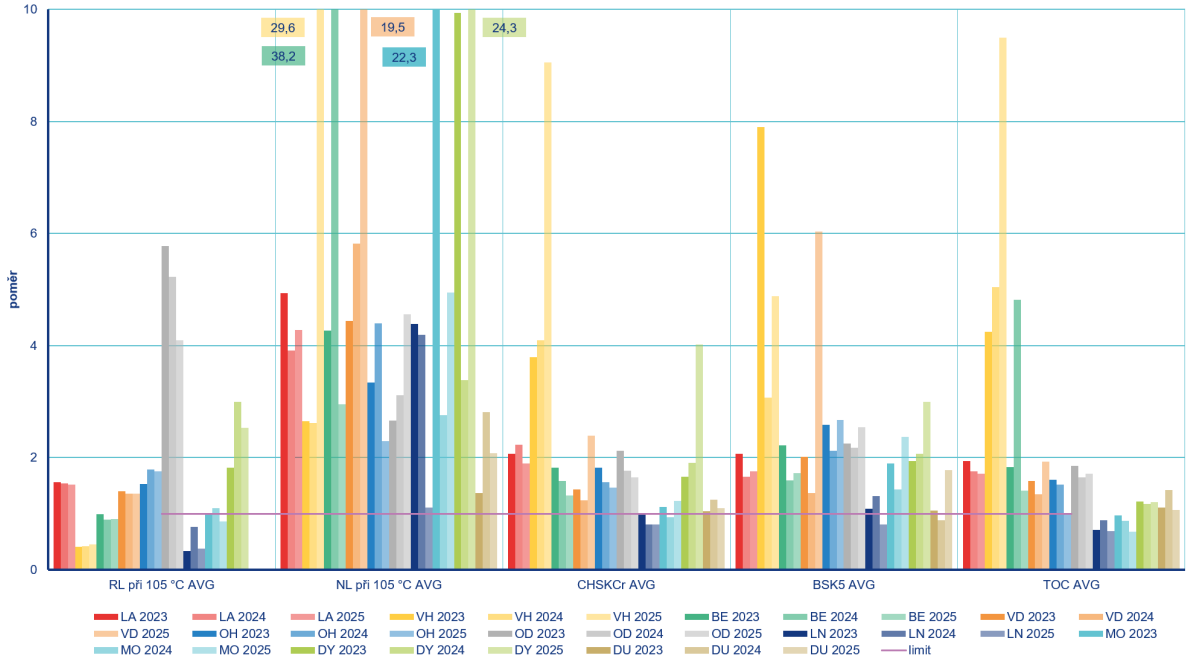
Vzhledem k množství hodnocených ukazatelů zahrnutých v ČSN a NV a počtu hodnocených profilů, byly výsledky zpracovány pouze graficky. Odnosy vybraných látek v závěrových profilech povrchových vod v letech 2023–2025 jsou zpracovány v **Tab. P3.1.5.**

Na **Obr. 3.1.36** je znázorněno celkové zatřídění všech ukazatelů podle ČSN 75 7221 v jednotlivých dílčích povodích v jednotlivých letech. Hodnocení podle NV je zpracováno na **Obr. 3.1.37** až **3.1.42.** V grafech je pro vybraný ukazatel zobrazen vývoj poměrů překročení limitů v jednotlivých dílčích povodích v jednotlivých letech. Vybrány byly ty ukazatele, u nichž byly limity překračovány nejčastěji.

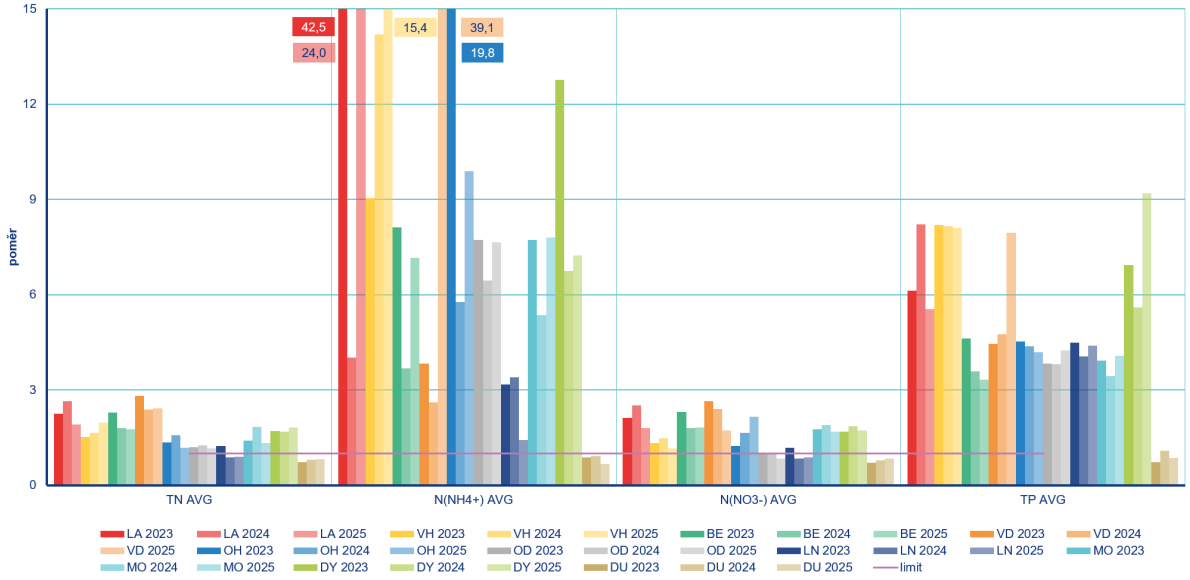
Zkratky dílčích povodí v následujících grafech: LA – Horní a střední Labe, VH – Horní Vltava, BE – Berounka, VD – Dolní Vltava, OH – Ohře, Dolní Labe a ostatní přítoky Labe, OD – Horní Odra, LN – Lužická Nisa a ostatní přítoky Odry, MO – Morava a přítoky Váhu, DY – Dyje, DU – Ostatní přítoky Dunaje.



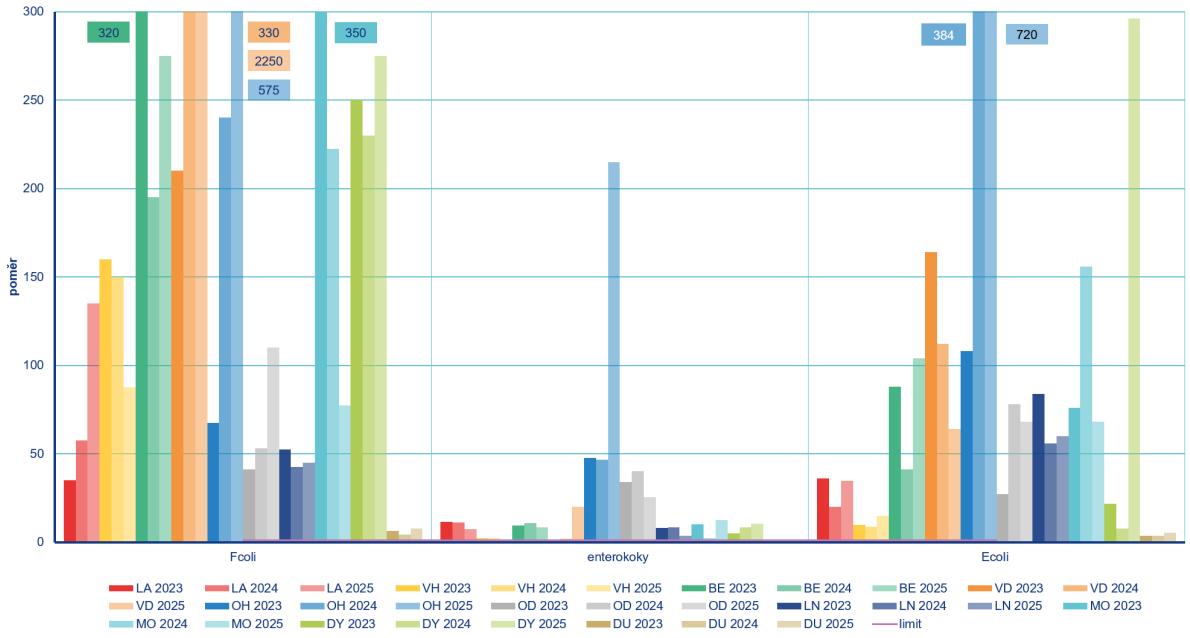
Obr. 3.1.36 Klasifikace ukazatelů jakosti povrchových vod v dílčích povodích dle ČSN 75 7221 v roce 2023–2025.



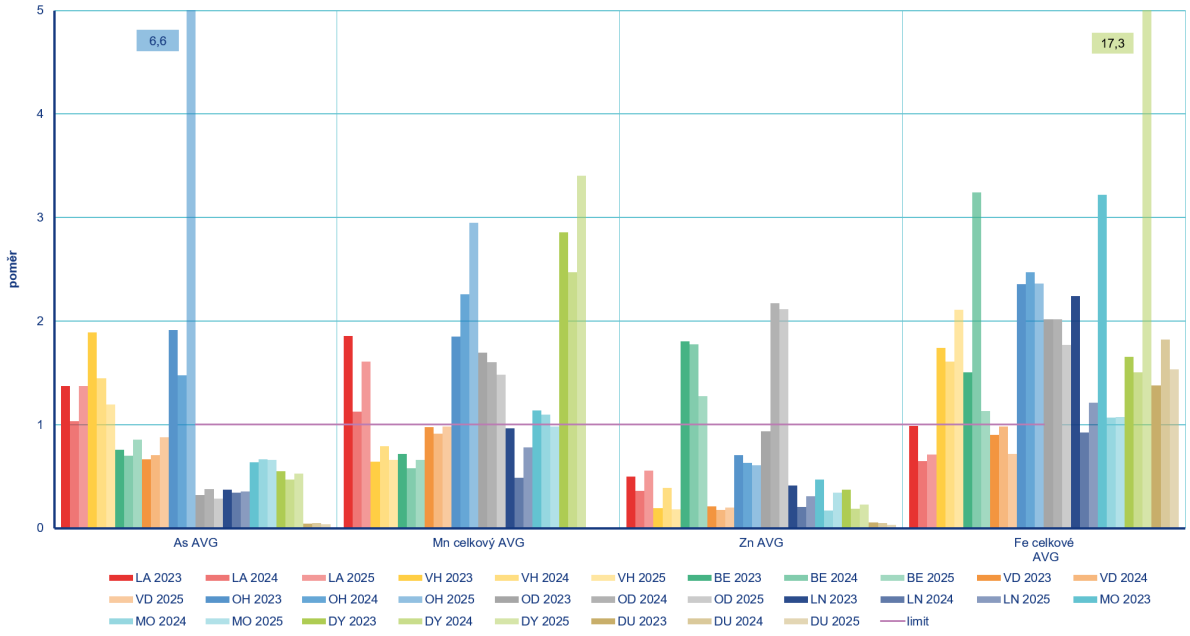
Obr. 3.1.37 Maximální poměr překročení NEK v povrchových vodách u vybraných látek pro jednotlivá dílčí povodí dle Nařízení vlády č. 401/2015 Sb. v roce 2023–2025.



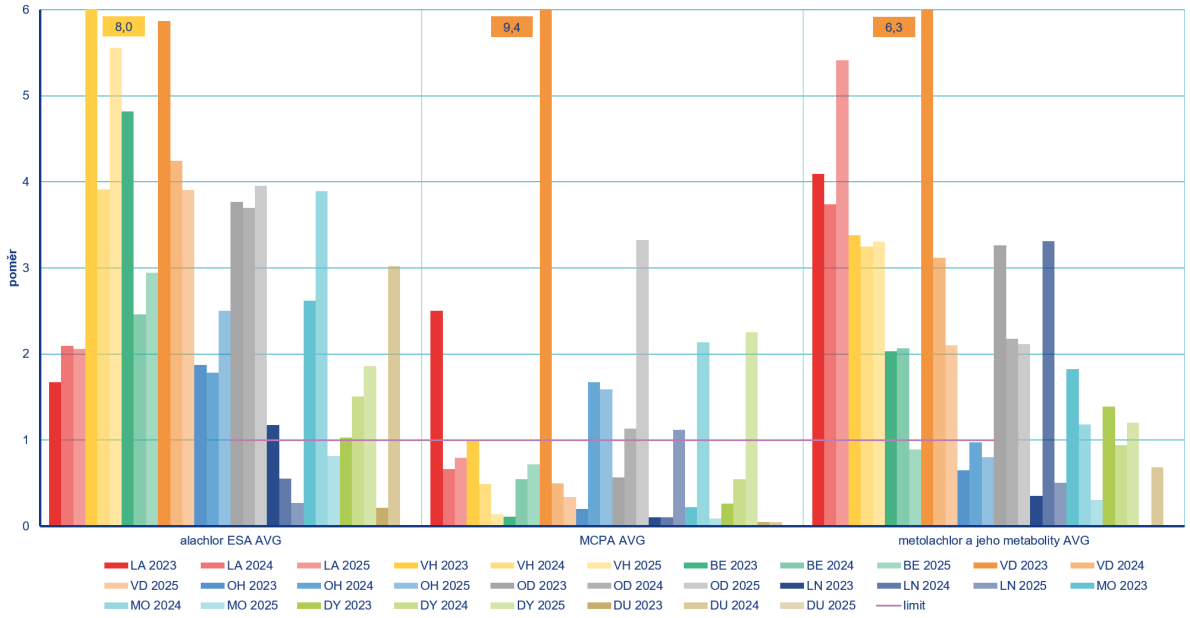
Obr. 3.1.38 Maximální poměr překročení NEK v povrchových vodách u vybraných látek pro jednotlivá dílčí povodí dle Nařízení vlády č. 401/2015 Sb. v roce 2023–2025.



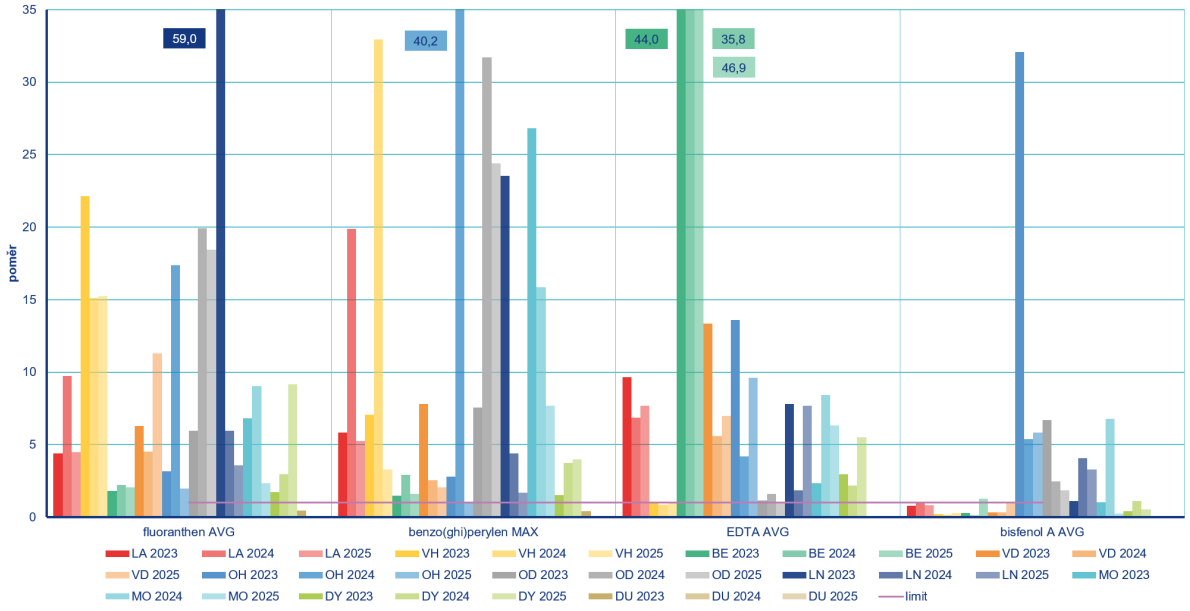
Obr. 3.1.39 Maximální poměr překročení NEK v povrchových vodách u vybraných látek pro jednotlivá dílčí povodí dle Nařízení vlády č. 401/2015 Sb. v roce 2023–2025.



Obr. 3.1.40 Maximální poměr překročení NEK v povrchových vodách u vybraných látek pro jednotlivá dílčí povodí dle Nařízení vlády č. 401/2015 Sb. v roce 2023–2025.



Obr. 3.1.41 Maximální poměr překročení NEK v povrchových vodách u vybraných látek pro jednotlivá dílčí povodí dle Nařízení vlády č. 401/2015 Sb. v roce 2023–2025.



Obr. 3.1.42 Maximální poměr překročení NEK v povrchových vodách u vybraných látek pro jednotlivá dílčí povodí dle Nařízení vlády č. 401/2015 Sb. v roce 2023–2025.

3.2 Bilance jakosti povrchové vody – radiochemie

Radiochemické parametry ve vodě byly stanoveny na 136 profilech s četností 12×, popř. 6×, 4× za rok nebo 1× za pololetí. Ve sledovaných profilech byla stanovena celková objemová aktivita beta v rozpuštěných (RL) i nerozpuštěných látkách (NL). Pro ukazatel celkové objemové aktivity beta byla provedena korekce na obsah ^{40}K. U vybraných profilů bylo sledování radiochemických ukazatelů rozšířeno a doplněno o stanovení celkové objemové aktivity alfa (RL, NL), ^{226}Ra (RL, NL) a uranu (RL, NL) a radonu.

Na profilech řeky Vltavy – Solenice, VN Kořensko, Štěchovice, Hluboká nad Vltavou, Podolí, Zelčín, na profilech Labe – Lysá, Hřensko, na profilech Jihlavy – Vladislav, Mohelno, Ivančice, na profilu Morava – Lanžhot, Dyje – Pohansko a na profilu Strouha – Jeznice byla s četností 12× za rok stanovena objemová aktivita tritia ve vodě.

Ve vzorcích sedimentů odebraných pro radiochemické hodnocení byly 1× ročně standardními metodami analyzovány radionuklidy ^{134}Cs, ^{137}Cs, ^{40}K, ^{226}Ra, ^{228}Ra, ^{228}Th, ^{235}U, izotopy ^{57}Co, ^{60}Co a ^{241}Am jsou sledovány od roku 2010 a izotop ^{210}Pb od roku 2014. Aktivity jednotlivých radionuklidů jsou uváděny vždy v $Bq \cdot kg^{-1}$ sušiny.

Tab. 3.2.1 Počty profilů klasifikovaných do tříd kvality podle ČSN 75 7221 pro jednotlivé radiologické ukazatele za rok 2025 v jednotlivých dílčích povodích

Rok	Ukazatel	Celková objemová aktivita alfa						Celková objemová aktivita beta						Celková objemová aktivita beta po korekci na ^{40}K					
	Počet profilů	Třída kvality						Třída kvality						Třída kvality					
		I	II	III	IV	V	N	I	II	III	IV	V	N	I	II	III	IV	V	N
2025	136	26	8	12	13	14	63	69	11	11	1	2	42	83	2	2	4	3	42
povodí Labe	101	19	4	10	10	13	45	53	5	7		2	34	58	2	2	3	2	34
DP Horního a středního Labe	16	4			1		11	13					3	13					3
DP Horní Vltavy	8	5				1	2	6	1				1	6	1				1
DP Berounky	10	3	1	1	1	1	3	4	1	2			3	6			1		3
DP Dolní Vltavy	13	5	2		1	3	2	6	1	3			3	8			2		3
DP Ohře, Dolního Labe a ostatních přítoků Labe	54	2	1	9	7	8	27	24	2	2		2	24	25	1	2		2	24
povodí Odry	20	7	1	2	1		9	6	3	3			8	12					8
DP Horní Odry	17	7	1	1	1		7	5	2	3			7	10					7
DP Lužické Nisy a ostatních přítoků Odry	3			1			2	1	1				1	2					1
povodí Moravy	15		3		2	1	9	10	3	1	1			13			1	1	
DP Moravy a přítoků Váhu	3						3	3						3					
DP Dyje	12		3		2	1	6	7	3	1	1			10			1	1	

Rok	Ukazatel	Tritium						uran						radium 226 - celkové					
	Počet profilů	Třída kvality						Třída kvality						Třída kvality					
		I	II	III	IV	V	N	I	II	III	IV	V	N	I	II	III	IV	V	N
2025	136	7	6	1			122	36	2	4	2	7	85	2	33	5	3		93
povodí Labe	101	5	4				92	32	2	2	2	6	57	2	28	5	3		63
DP Horního a středního Labe	16	1					15	7		1			8	2	1				13
DP Horní Vltavy	8	3					5	2				1	5		3				5
DP Berounky	10						10	3	2	1		1	3		4	1			5
DP Dolní Vltavy	13		4				9	3			1	2	7		5				8
DP Ohře, Dolního Labe a ostatních přítoků Labe	54	1					53	17			1	2	34		15	4	3		32
povodí Odry	20						20	2					18		1				19
DP Horní Odry	17						17						17						17
DP Lužické Nisy a ostatních přítoků Odry	3						3	2					1		1				2
povodí Moravy	15	2	2	1			10	2		2		1	10		4				11
DP Moravy a přítoků Váhu	3	1					2						3						3
DP Dyje	12	1	2	1			8	2		2		1	7		4				8

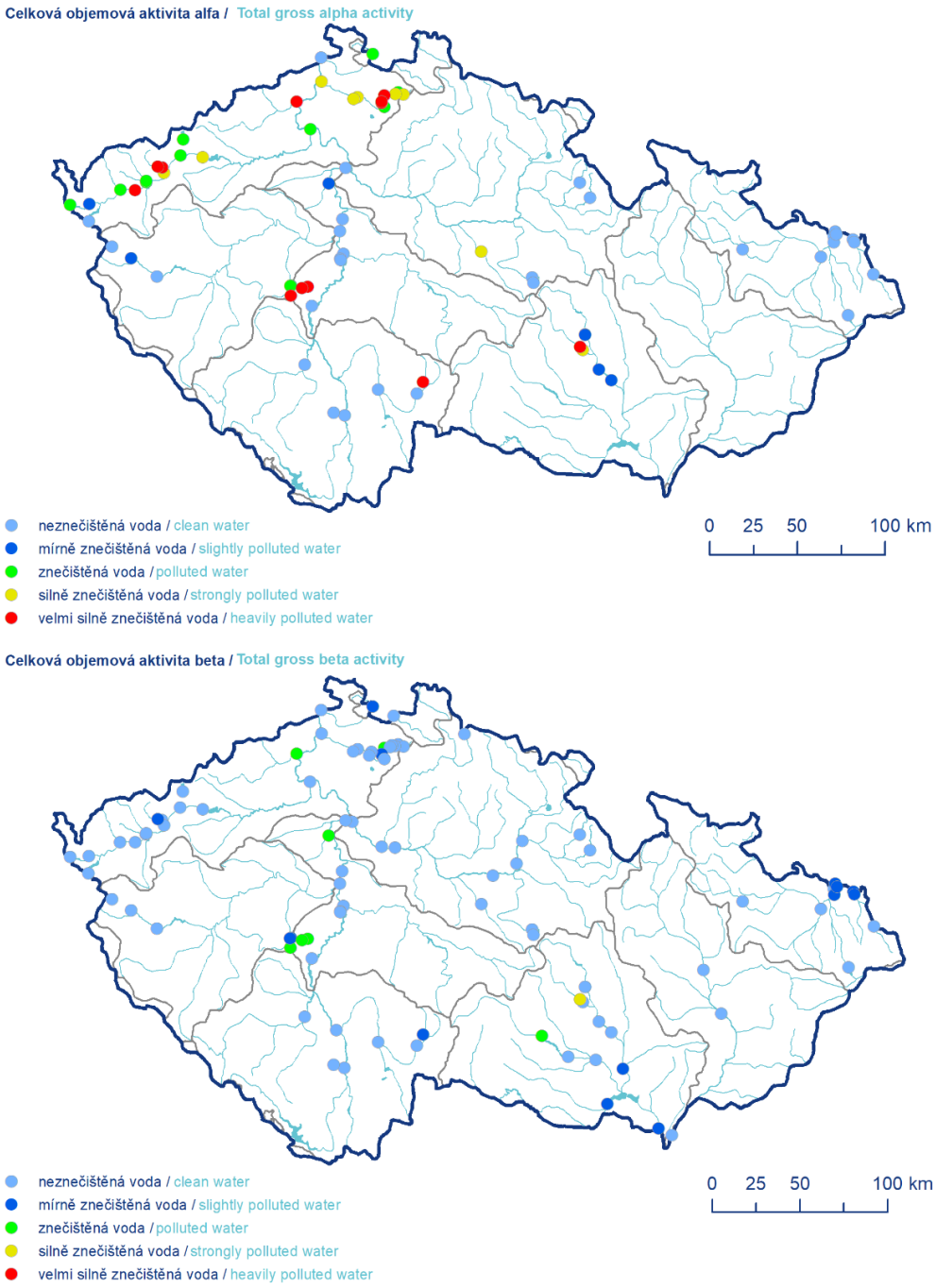
Třída	Klasifikace kvality povrchových vod		
I	neznečištěná voda	IV	silně znečištěná voda
II	mírně znečištěná voda	V	velmi silně znečištěná voda
III	znečištěná voda	N	neanalyzováno, nehodnoceno

DP dílčí povodí

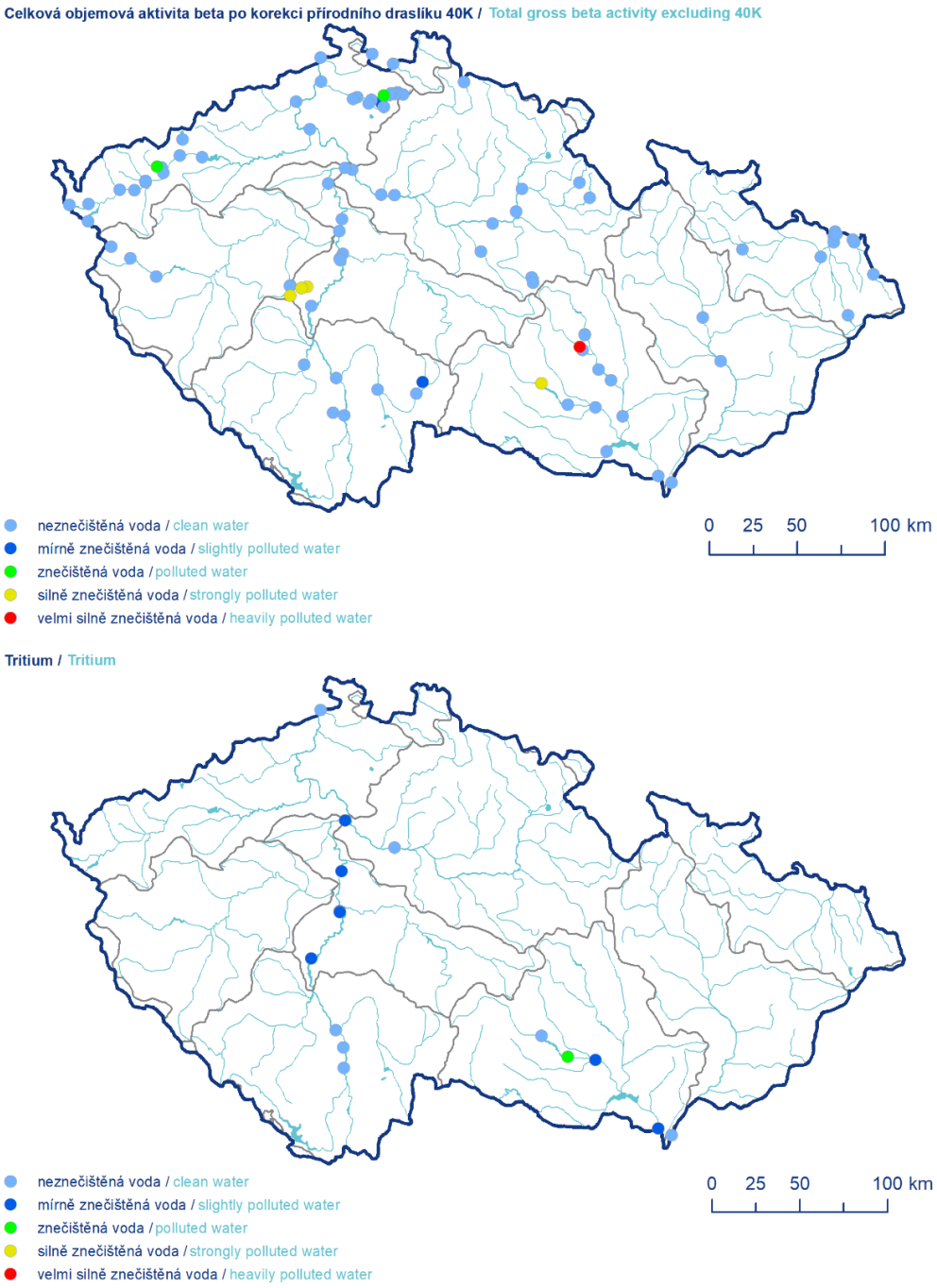
Výsledky radiochemických ukazatelů ve vodě byly ve sledovaném období roku 2025 dodány ze všech dílčích povodí s výjimkou dílčího povodí ostatních přítoků Dunaje, v tomto povodí nebyly odebrány vzorky.

Profily se zjištěnými zvýšenými aktivitami v povrchové vodě jsou pro každé dílčí povodí popsány v samostatné kapitole. V tabulce (viz. **Tab. 3.2.1**) jsou uvedeny počty profilů dle zařazení do tříd kvality podle ČSN 75 7221.

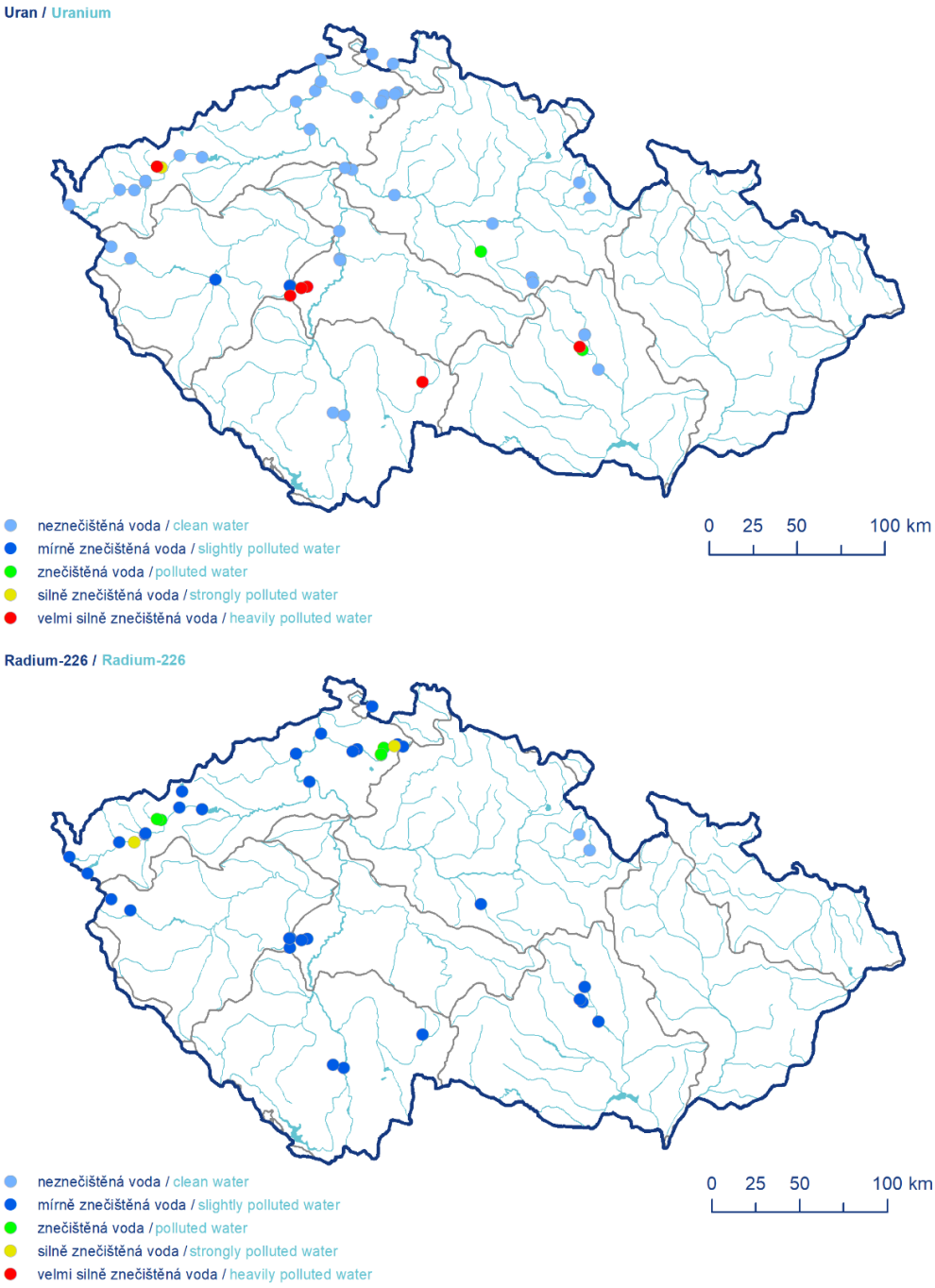
Na mapách se zatříděním kvality povrchových vod dle aktualizované ČSN 75 7221 z hlediska hodnocení radioaktivních ukazatelů jsou zřetelně znázorněny profily se zvýšenými hodnotami radioaktivních ukazatelů v místech původních dobývacích prostor radioaktivních surovin (viz. mapy **Obr. 3.2.1** až **Obr. 3.2.3**).



Obr. 3.2.1 Zatřídění sledovaných profilů povrchových vod dle stanovených hodnot celkové objemové aktivity alfa a beta



Obr. 3.2.2 Zatřídění sledovaných profilů povrchových vod dle stanovených hodnot celkové objemové aktivity beta po korekci na ^{40}K a tritia



Obr. 3.2.3 Zatřídění sledovaných profilů povrchových vod dle stanovených hodnot uranu a radia 226

Bilance jakosti vody v dílčích povodích

Dílčí povodí Horního a středního Labe

Matrice voda

Na sledovaných profilech tohoto dílčího povodí je kvalita povrchové vody zařazena dle normy ČSN 75 7221 Kvalita vod – klasifikace povrchových vod do třídy I– neznečištěná voda, s výjimkou jediného profilu Kurvice – Ronov, řazeného do třídy IV – silně znečištěná voda na základě charakteristické hodnoty ukazatele celkové objemové aktivity alfa. Nejvyšší změřená hodnota celkové objemové aktivity alfa je 470 mBq·l^{-1}. Na základě charakteristické hodnoty obsahu uranu 15 µg·l^{-1}dle normy ČSN 75 7221 Kvalita vod je povrchová voda řazena do třídy III – znečištěná voda. Roční průměrné hodnoty pro oba tyto ukazatele vyhovují hodnotám přípustného znečištění podle Nařízení vlády 401/2015 Sb.

Aktivita tritia byla měřena na profilu Labe – Lysá nad Labem nejvýše do hodnoty 0,78 Bq·l^{-1}.

Matrice sediment

Odběry vzorků pevných matric (sedimenty) na stanovení radionuklidů nebyly do programu monitoringu pro rok 2025 zařazeny.

Dílčí povodí Horní Vltavy

Matrice voda

V dílčím povodí Horní Vltavy byly předány výsledky aktivit radionuklidů v povrchových vodách celkem z osmi profilů. Největší zatížení radioaktivními látkami je na profilu Račí potok – Nekrasín, na tomto jediném profilu v povodí jsou povrchové vody při použití klasifikace dle normy ČSN 75 7221 Kvalita vod zařazeny do třídy V – velmi silně znečištěná voda na základě celkové objemové aktivity alfa a obsahu uranu. Limitní hodnoty přípustného znečištění podle Nařízení vlády 401/2015 Sb. byly pro ukazatel celkové objemové aktivity alfa (max 1 000 mBq·l^{-1}, průměr 832 mBq·l^{-1}) a průměrné koncentrace uranu (30 µg·l^{-1}) překročeny.

V povrchových vodách řeky Vltavy na profilu VN Kořensko pod zaústěním odpadních vod z jaderné elektrárny byly zaznamenány u cca čtvrtiny měření hodnoty objemové aktivity tritia nad mezí detekce, roční průměrná hodnota aktivity i tato maximální hodnota aktivity tritia splňuje normy environmentální kvality pro tento ukazatel v povrchových tocích uvedeného v Nařízení vlády č. 401/2015 Sb., dle charakteristické hodnoty pro tritium je řazena do třídy I – neznečištěná voda.

Matrice sediment

V sedimentech všech 12 sledovaných profilů v celé České republice byla zjištěna nejvyšší aktivita izotopů v tomto dílčím povodí Horní Vltavy pro izotopy 2. thoriové řady ^{228}Th (157 Bq·kg^{-1}) a ^{228}Ra (131 Bq·kg^{-1}), ^{210}Pb (298 Bq·kg^{-1}) a ^{137}Cs (77,7 Bq·kg^{-1}) na profilu Lužnice – Veselí nad Lužnicí, na tomto profilu byla prokázána též vysoká aktivita ^{228}Ra (180 Bq·kg^{-1}), ^{235}U (14,3 Bq·kg^{-1}). Aktivita ^{238}U (137 Bq·kg^{-1}), a byla nejvyšší na profilu Otava – Topělec. Pod mezí detekce byly aktivity radioizotopů ^{134}Cs, ^{57}Co, ^{60}Co a ^{241}Am.

Dílčí povodí Berounky

Matrice voda

Na Příbramském potoce na profilu Brod byla zjištěna maximální hodnota celkové objemové aktivity alfa 2 200 mBq·l^{-1}. Povrchová voda na tomto profilu je na základě charakteristické hodnoty dle normy ČSN 75 7221 zařazena do třídy V – velmi silně znečištěné vody. Kvalita povrchové vody na profilu Příbramského potoka v Trhových Dušníkách je zařazena do třídy IV – silně znečištěné vody.

Obsah uranu na profilu Příbramský potok – Brod dosahoval až 84 µg·l^{-1}. Roční průměrné obsahy uranu na tomto a profilu Trhové Dušníky na Příbramském potoce převýšily limitní hodnoty přípustného znečištění dle Nařízení vlády č. 401/2015 Sb. Aktivita radioizotopu radia 226 byla detekována v rozsahu do 16,1 mBq·l^{-1} na profilu Trhové Dušníky na Příbramském potoce, dle této aktivity jsou řazeny do třídy III – mírně znečištěná voda.

Matrice sediment

Aktivity izotopu uranu ^{238}U (41,8 Bq·kg^{-1}), ^{228}Ra (49,4 Bq·kg^{-1}) a ^{228}Th (43,3 Bq·kg^{-1}) zjištěná v sedimentech na profilu Mže – Plzeň jsou nižší než v předchozím roce a v porovnání s ostatními 12 sledovanými profily průměrná. Pod mezí detekce byly zjištěny aktivity radioizotopů ^{134}Cs, ^{57}Co, ^{60}Co a ^{241}Am.

Dílčí povodí Dolní Vltavy

Matrice voda

Na třinácti profilech dílčího povodí Dolní Vltavy byly v povrchových vodách stanoveny radiochemické ukazatele. Na třech z nich, tj. na profilu Drásovský potok – Drásov, Kocába – Višňová a Kocába – Štěchovice byly povrchové vody podle kvality dle normy ČSN 75 7221 zařazeny do třídy V – velmi silně znečištěná voda. Zařazení do nejvyšší třídy kvality bylo provedeno podle charakteristické hodnoty celkové objemové aktivity alfa a koncentrace uranu. Na profilu Drásovský potok – Drásov byla zjištěna maximální hodnota celkové objemové aktivity alfa 8 100 mBq·l^{-1}, maximální koncentrace uranu byly 310 µg·l^{-1}. Na uvedených profilech a profilu Kocába – Štěchovice nejsou splněny normy environmentální kvality dle Nařízení vlády č. 401/2015 Sb. pro roční průměrné hodnoty a nejvyšší přípustné hodnoty ukazatele celkové objemové aktivity alfa a roční průměrné hodnoty koncentrace uranu. Z hlediska průměrné roční hodnoty ukazatele celkové objemové aktivity beta nevyhovuje této normě povrchová voda na Zákolanském potoce na profilu v Kralupech nad Vltavou. Na profilu Vltava – Solenice, pod zaústěním odpadních vod z jaderné elektrárny Temelín, byla zjištěna nejvyšší aktivita tritia 62,5 Bq·l^{-1}, roční průměrná hodnota aktivity tritia i tato maximální hodnota aktivity tritia splňuje normy environmentální kvality v povrchových tocích uvedeného v Nařízení vlády č. 401/2015 Sb. Roční aritmetický průměr tohoto ukazatele nepřekročil indikativní hodnotu přípustného znečištění povrchových vod (100 Bq·l^{-1}) dle Nařízení vlády č. 401/2015 Sb. a vyhovuje požadavkům na používání povrchových vod pro vodárenské účely. Na základě charakteristické hodnoty pro tritium odpovídá povrchová voda toku Vltava na profilu Štěchovice, Solenice, Podolí a Zelčín dle ČSN 75 7221 třídě II – mírně znečištěná voda.

Matrice sediment

Aktivity radioizotopů v sedimentech závěrového profilu Vltava – Vrané nabývají v porovnání s 12 sledovanými profily na ostatních dílčích povodích v celé České republice průměrných a nižších hodnot – ^{235}U (3,11 Bq·kg^{-1}), ^{238}U (29,9 Bq·kg^{-1}), ^{226}Ra (32 Bq·kg^{-1}) a ^{137}Cs (4,17 Bq·kg^{-1}). Hodnoty aktivity ^{228}Ra (35,7 Bq·kg^{-1}). a ^{228}Th (44,7 Bq·kg^{-1}) jsou nižší než průměr naměřených hodnot. Pod mezí detekce byly zjištěny aktivity radionuklidu ^{134}Cs, ^{57}Co, ^{60}Co a ^{241}Am.

Dílčí povodí Ohře, Dolního Labe a ostatních přítoků Labe

Matrice voda

Zvýšené hodnoty radioukazatelů byly zjištěny v oblasti uranového ložiska ve Stráži pod Ralskem (např. Mlýnský náhon – Stráž pod Ralskem, Ploučnice – Mimoň, Noviny pod Ralskem, Brenná) a dále v oblasti Jáchymovska (např. Jáchymovský potok – Ostrov, Bystřice – Ostrov nad Ohří) a Slavkovska (Stoka – Loket). Na základě charakteristická hodnoty celkové objemové aktivity alfa na těchto profilech jsou povrchové vody řazeny dle ČSN 75 7221 do třídy V – velmi silně znečištěné vody. Nejvyšší hodnoty celkové objemové aktivity alfa Nejvyšší hodnoty celkové objemové aktivity alfa (19 100 mBq·l^{-1}) a obsahy uranu (498 µg·l^{-1}) byly zjištěny na nově sledovaném profilu pod Lahoští na toku Bouřlivec protékající oblastí ovlivněné těžbou hnědého uhlí a jeho spalováním. V tradičních oblastech těžby a zpracování uranových

rud byly zjištěny nejvyšší koncentrace uranu 310 µg·l^{-1} na profilu Jáchymovský potok – Ostrov, nejvyšší hodnoty celkové objemové aktivity alfa (4 550 mBq·l^{-1}) a celkové objemové aktivita beta (2 790 mBq·l^{-1}) v tomto dílčím povodí na profilu Mlýnský náhon – Stráž pod Ralskem. Maximální i roční průměrné hodnoty ukazatele celková objemová aktivita alfa nevyhovují limitním hodnotám přípustného znečištění dle Nařízení vlády č. 401/2015 Sb. na těchto i dalších profilech z oblasti ložiska Stráž pod Ralskem, Jáchymovska a na řece Ohři (Želina, Radošov, Tuhnice). Nejvyšší aktivita izotopu ^{226}Ra (353 mBq·l^{-1}) z celé ČR byla změřena na profilu Havraní Potok – Krásný jez. Na profilu Labe – Hřensko byly změřeny hodnoty tritia (12,2 Bq·l^{-1}), které vyhovují normám environmentální kvality pro tritium v povrchových tocích uvedených v Nařízení vlády č. 401/2015 Sb.

Matrice sediment

V tomto dílčím povodí byly odebrány vzorky sedimentů ze tří profilů. V porovnání se všemi 12 sledovanými profily byla na profilu Ploučnice – Březiny byla zjištěna nejvyšší aktivita radionuklidu ^{235}U (14,7 Bq·kg^{-1}) a aktivita izotopu ^{226}Ra (223 Bq·kg^{-1}) a na profilu Labe – Prostřední Žleb nejnižší aktivita izotopu ^{235}U (0,72 Bq·kg^{-1}), ^{238}U (7,67 Bq·kg^{-1}), ^{228}Ra (10,7 Bq·kg^{-1}) a ^{228}Th (11,5 Bq·kg^{-1}).

Pod mezí detekce byly zjištěny aktivity izotopů ^{134}Cs, ^{57}Co, ^{60}Co a ^{241}Am.

Dílčí povodí Horní Odry

Matrice voda

Ukazatel celkové objemové aktivity alfa v ústí Vrbické stružky dosáhl hodnoty 540 mBq·l^{-1} Na základě charakteristické hodnoty dle normy ČSN 75 7221 je povrchová voda tohoto profilu zařazena do třídy IV – silně znečištěné vody. Průměrné roční hodnoty ukazatele celková objemová aktivita beta na profilu v ústí Karvinského potoka (830 mBq·l^{-1}) a Vrbické stružky (625 mBq·l^{-1}) nevyhovují přípustným hodnotám znečištění dle Nařízení vlády č. 401/2015 Sb.

Na zbývajících profilech povrchových vod sledovaných v daném dílčím povodí hodnocené ukazatele radioaktivity vyhovují limitním ukazatelům Nařízení vlády č. 401/2015 Sb. Pololetně odebírané vzorky z celkem 7 profilů u hráze vodních nádrží neindikují znečištění hodnocené podle zmíněného nařízení vlády.

Matrice sediment

Matrice sediment

Aktivity radioizotopů v sedimentech v ústí Olše jsou v porovnání s předchozím rokem shodné, nízké jsou ve srovnání s průměrným hodnotami 12 sledovaných profilů na ostatních dílčích povodích v celé ČR – ^{238}U (32,9 Bq·kg^{-1}), ^{226}Ra (64,5 Bq·kg^{-1}), též aktivity izotopů 2. thoriové řady ^{228}Ra (48,4 Bq·kg^{-1}), ^{228}Th (55,7 Bq·kg^{-1}) a aktivita ^{137}Cs (6,69 Bq·kg^{-1}). Pod mezí detekce byly zjištěny aktivity izotopů ^{134}Cs, ^{57}Co, ^{60}Co a ^{241}Am.

Dílčí povodí Lužické Nisy a ostatních přítoků Odry

Matrice voda

V tomto dílčím povodí byly výsledky aktivit radionuklidů v povrchových vodách předány z profilu Lužická Nisa – Hrádek nad Nisou a Mandava – Varnsdorf. Dle aktualizované normy ČSN 75 7221 hodnocené dle ukazatele celková objemová aktivita alfa je kvalita povrchových vod na profilu Mandava – Varnsdorf řazena do třídy III – znečištěné vody. Průměrná roční hodnota a maximální hodnota ukazatele celková objemová aktivita alfa na profilu Mandava – Varnsdorf vyhovuje limitním hodnotám přípustného znečištění dle Nařízení vlády 401/2015 Sb. Ukazatel celkové objemové aktivity beta v rozpuštěných látkách dosáhl maximální hodnotu 761 mBq·l^{-1}. Obsahy uranu a aktivity izotopu radia 226 na profilu Mandava – Varnsdorf ojediněle a nevýznamně převýšily mez detekce.

Matrice sediment

V roce 2025 byly odebrány vzorky na stanovení aktivity radioizotopů na profilu Lužická Nisa – Hrádek nad Nisou. Aktivity izotopů ^{226}Ra (53,2 Bq·kg^{-1}), ^{137}Cs (3,2 Bq·kg^{-1}) a ^{210}Pb (67,2 Bq·kg^{-1}) byly nižší než průměrné hodnoty na ostatních profilech ČR. Pod mezí detekce byly zjištěny aktivity izotopů ^{134}Cs, ^{57}Co, ^{60}Co a ^{241}Am.

Dílčí povodí Moravy a přítoků Váhu

Matrice voda

V tomto dílčím povodí byly výsledky aktivit radionuklidů v povrchových vodách předány ze tří profilů na řece Moravě – Kroměříž, Blatec a Lanžhot. Nejvyšší zjištěná celková objemová aktivita beta 552 mBq·l^{-1} na profilu Morava – Lanžhot nepřevyšuje limitní hodnoty přípustného znečištění dle Nařízení vlády č. 401/2015 Sb. Aktivity tritia na profilu Morava – Lanžhot byly zjištěny pod mezí detekce nebo nevýznamně nad touto hodnotou.

Matrice sediment

Radionuklidy v sedimentech nebyly v tomto dílčím povodí sledovány.

Dílčí povodí Dyje

Matrice voda

Výsledky radiochemických ukazatelů v povrchových vodách dílčího povodí Dyje byly předány z dvanácti profilů. Největší znečištění povrchových vod odpovídající zařazení dle normy ČSN 75 7221 do třídy V – velmi silně znečištěné vody bylo zjištěno na profilu Hadůvka – Skryje. Na tomto profilu byla zjištěna nejvyšší celková objemová aktivita alfa 9 210 mBq·l^{-1}, celková objemová aktivita beta 1 830 mBq·l^{-1} [a] koncentrace uranu 231 µg·l^{-1}. Vyjmenované ukazatele radioaktivity na profilu Hadůvka – Skryje, Nedvědička – Nedvědice a Loučka Boudy a ukazatel celková objemové aktivity alfa na profilu Svratka – Veverská Bítýška nevyhovují limitním hodnotám přípustného znečištění dle Nařízení vlády 401/2015 Sb.

Aktivita tritia v povrchové vodě na profilu Jihlava – Mohelno dosahuje hodnoty až 183 Bq·l^{-1}, na profilu Jihlava – Ivančice až 103 Bq·l^{-1}, na dalším profilu Dyje – Pohansko je hodnota aktivity tritia nižší. Na základě hodnocení tohoto ukazatele dle aktualizované normy ČSN 75 7221 je kvalita povrchových vod na profilu Mohelno zařazena do třídy III – znečištěných povrchových vod. Hodnoty ukazatele tritia jsou vyšší než v předchozím roce, roční průměrná hodnota aktivity tritia na profilu Jihlava – Mohelno převyšuje limitní hodnotu normy environmentální kvality podle Nařízení vlády č. 401/2015 Sb.

Matrice sediment

Hodnoty aktivit sledovaných izotopů tomto dílčím povodí jsou nižší než ve předchozím roce a pohybují se na úrovni průměrné hodnoty všech 12 sledovaných profilů – ^{235}U (0,93 až 4,51 Bq·kg^{-1}), ^{238}U (21,4 až 35,4 Bq·kg^{-1}),^{226}Ra (23,6 až 53,2 Bq·kg^{-1}), ^{228}Ra (28,4 až 52,3 Bq·kg^{-1}), obdobně jako v případě ^{228}Th (50,2 až 64,4 Bq·kg^{-1}). Pod mezí detekce byly zjištěny aktivity izotopů ^{134}Cs, ^{57}Co, ^{60}Co a ^{241}Am.

Dílčí povodí ostatních přítoků Dunaje

Matrice voda

Radionuklidy v povrchových vodách nebyly v tomto dílčím povodí sledovány.

Matrice sediment

Odběry vzorků pevných matric (sedimenty) na stanovení radionuklidů nebyly do programu monitoringu pro rok 2025 zařazeny.

Bilance jakosti povrchové vody – radiochemie za období 2023 až 2025

Matrice voda

Množství sledovaných profilů, kdy byly analyzovány radiochemické ukazatele, se od roku 2022 ustálilo na počtu 136 profilů z původního počtu 144 profilů sledovaných v roce 2017. Četnost odběrů vzorků povrchových vod byla 12×, popř. 6×, 4× za rok nebo 1× za pololetí.

Legislativní předpisy, na jejichž základě byly hodnoty aktivity posuzovány z hlediska splnění limitů environmentální kvality a případně překročení hodnot přípustného znečištění, byly platné pro celé období let 2023–2025.

Největší znečištění radiochemickými ukazateli odpovídající V. třídě – velmi silně znečištěná voda dle ČSN 75 7221 bylo prokázáno a přetrvává po celé hodnocené období 2022–2025 v oblastech ovlivněných těžbou uranových rud s.p. DIAMO v Dolní Rožínce (Hadůvka), dále v oblasti Stráže pod Ralskem (Ploučnice, Mlýnský náhon), v oblastech uranových ložisek v regionu Příbramska (Kocába, Příbramský potok), Jáchymovska (Jáchymovský potok). Znečištění povrchových vod bylo prokázáno v důsledku zvýšené celkové objemové aktivity alfa, celkové objemové aktivity beta a aktivity izotopu ^{226}Ra. Na profilu Bouřlivec pod Lahoští protékajícím oblastí ovlivněné těžbou hnědého uhlí a jeho spalováním nově zařazeném do sledovaných profilů v roce 2025 byly zjištěny nejvyšší hodnoty celkové objemové aktivity alfa a obsahy uranu.

Nízké hodnoty tritia vyhovují normám environmentální kvality pro tritium v povrchových tocích uvedených v Nařízení vlády č. 23/2011 Sb., novelizované Nařízením vlády č. 401/2015 Sb. Na profilu Jihlava – Mohelno jsou překračovány průměrné roční hodnoty tritia.

Matrice sediment

Obsahy radioaktivních izotopů v sedimentech byly v letech 2023–2025 analyzovány jednou ročně na 12 profilech. Toto množství sledovaných profilů umožňuje bilanční srovnání jak z pohledu prostorového, tak časového vývoje jen velmi omezeně. Oproti předchozím letům, kdy byly sledovány radioaktivní izotopy na 77 profilech dvakrát ročně v místech bývalé těžby a úpravy uranových rud, nejsou v rámci prováděného monitoringu poskytovány relevantní údaje o výskytu radioaktivních izotopů v sedimentech povrchových toků.

Na profilu Lužnice – Veselí nad Lužnicí přetrvávají nejvyšší hodnoty aktivity izotopů 2. thoriové řady ^{228}Th (125 – 157 Bq·kg^{-1}), ^{228}Ra (95 – 131 Bq·kg^{-1}) a ^{235}U (max 14,3 Bq·kg^{-1}). Na profilu Otava – Topělec jsou dlouhodobě nejvyšší aktivity ^{238}U (82,2 – 137 Bq·kg^{-1}) a ^{137}Cs (49,5 – 86,6 Bq·kg^{-1}). Hodnoty aktivity izotopů na těchto i dalších profilech zůstávají po celé hodnocené období na vyrovnané úrovni.

Pod mezí detekce byly aktivity radioizotopů ^{134}Cs, ^{57}Co, ^{60}Co a ^{241}Am.

Matrice plaveniny

Aktivita radionuklidů v plaveninách říčního prostředí ČR nebyla v letech 2023–2025 sledována.

Tab. 3.2.2 Počty profilů klasifikovaných podle ČSN 75 7221 do tříd, resp. kvality na základě radiologických ukazatelů za období 2023–2025

Ukazatel		celková objemová aktivita alfa			celková objemová aktivita beta		
rok		2023	2024	2025	2023	2024	2025
Počet profilů		138	136	133	138	136	136
Třída kvality	27	26	70	75	69	76	76
	11	8	11	12	11	17	17
	14	12	9	7	11	7	7
	7	13	2	2	1	2	2
	13	14	24	1	2	1	1
	66	63	17	41	42	33	33

Ukazatel		celková objemová aktivita beta po korekci na ^{40}K			Tritium		
rok		2023	2024	2025	2023	2024	2025
Počet profilů		187	189	260	270	265	136
Třída kvality	1	2	6	6	6	5	5
	3	2	2	2	1	7	7
	2	4	-	-	-	2	2
	2	3	-	-	-	-	-
	41	42	119	124	122	-	-
	138	136	133	138	136	122	122

Ukazatel		uran – celkový			radium 226 – celkové		
rok		2023	2024	2025	2023	2024	2025
Počet profilů		138	136	133	138	136	136
Třída kvality	42	36	2	2	2	2	2
	3	2	27	33	33	30	30
	1	4	10	5	5	9	9
	3	2	2	3	3	2	2
	6	7	-	-	-	1	1
	83	85	92	95	93	92	92

3.3 Bilance jakosti povrchové vody – akumulační monitoring biotických matric

Výsledky každoročního monitoringu prováděného ČHMÚ ukazují dlouhodobé zatížení povrchových vod v ČR nebezpečnými látkami. Jedná se o látky perzistentní, které se vzhledem k jejich vysoké stabilitě a lipofilitě akumulují v biotických i abiotických složkách a potravních řetězcích. Tyto látky vznikají v důsledku řady průmyslových a jiných antropogenních činností, a to buď cíleně (pesticidy, zpomalovače hoření, plastifikátory) nebo jako nechtěné vedlejší produkty (PAU, dioxinové látky). Většina těchto látek je klasifikována jako lidské karcinogeny a endokrinní disruptory, které mohou mít negativní vliv na reprodukční systém a vývoj plodu. ČHMÚ pravidelně sleduje obsah téměř 90 látek ve vodních organismech na profilech významných českých a moravských řek. Pro některé látky je v Nařízení vlády č. 401/2015 Sb. stanovena hodnota normy environmentální kvality (NEK), se kterou se naměřené hodnoty srovnávají.

Téměř všudypřítomným kontaminantem je rtuť, která se v dospělých rybách nachází každoročně v koncentracích výrazně překračujících NEK na všech monitorovaných profilech. V roce 2025 byly nejvyšší koncentrace rtuti v dospělých rybách (315 $\mu g \cdot kg^{-1}$) naměřeny na profilu Ohře – Želina. Další významnou znečišťující látkou, která se pravidelně nachází v biotě na většině profilů, je perfluorooktansulfonát (PFOS). V nadlimitních koncentracích se dlouhodobě vyskytuje převážně v rybím plůdku, kde bylo v roce 2025 naměřeno maximum 27,0 $\mu g \cdot kg^{-1}$ na profilu Sázava – Zruč n. Sázavou. Maximální koncentrace di(2-ethylhexyl) ftalátu v roce 2025 byla naměřena v rybím plůdku na profilu Olše – Věřňovice (653,9 $\mu g \cdot kg^{-1}$), zatímco v bentických organismech bylo dosaženo maxima na profilu Vltava – Vrané n. Vltavou (351 $\mu g \cdot kg^{-1}$).

V rámci bioakumulačního monitoringu se sledují převážně vysoce stabilní látky, které se vzhledem ke svým fyzikálně-chemických vlastnostem akumulují především v tukových tkáních organismů a ve vodě se nachází pouze ve velmi nízkých, často neměřitelných, koncentracích. Mezi vybrané zástupce vodních organismů patří dospělé ryby, rybí plůdek a bentos. Pro analýzy bentických organismů se vzorkují pijavky (*Erpobdella spp.*), chrostíci (*Hydropsyche spp.*) a blešivci (*Gammarus spp.*) a u dospělých ryb se jedná o druh jelec tloušť (*Squalius cephalus*). Konkrétní profily, na kterých probíhalo vzorkování bioty v roce 2025 jsou uvedeny na **Obr. 3.3.1** – **3.3.7**. Profily jsou rozděleny do pěti oblastí (povodí) dle hlavních řek a jejich přítoků. Závěrové profily jsou zvýrazněny tučně. Vzorky se odebírají jedenkrát ročně. Hodnocené profily jsou rozděleny do dvou sad, k jejichž střídání dochází každé tři roky. V roce 2025 byly matrice rybí plůdek a dospělé ryby sledovány na 28 lokalitách a bentické organismy na 27 lokalitách (nebyl odebrán vzorek na profilu Vltava – Hluboká n. V.). V rámci zjednodušení je pod názvem Labe – Děčín (odběrové místo pro matrice bentos a ryba – dospělec) uváděn i sousední profil Labe – Prostřední Žleb, kde byl odebírán rybí plůdek.

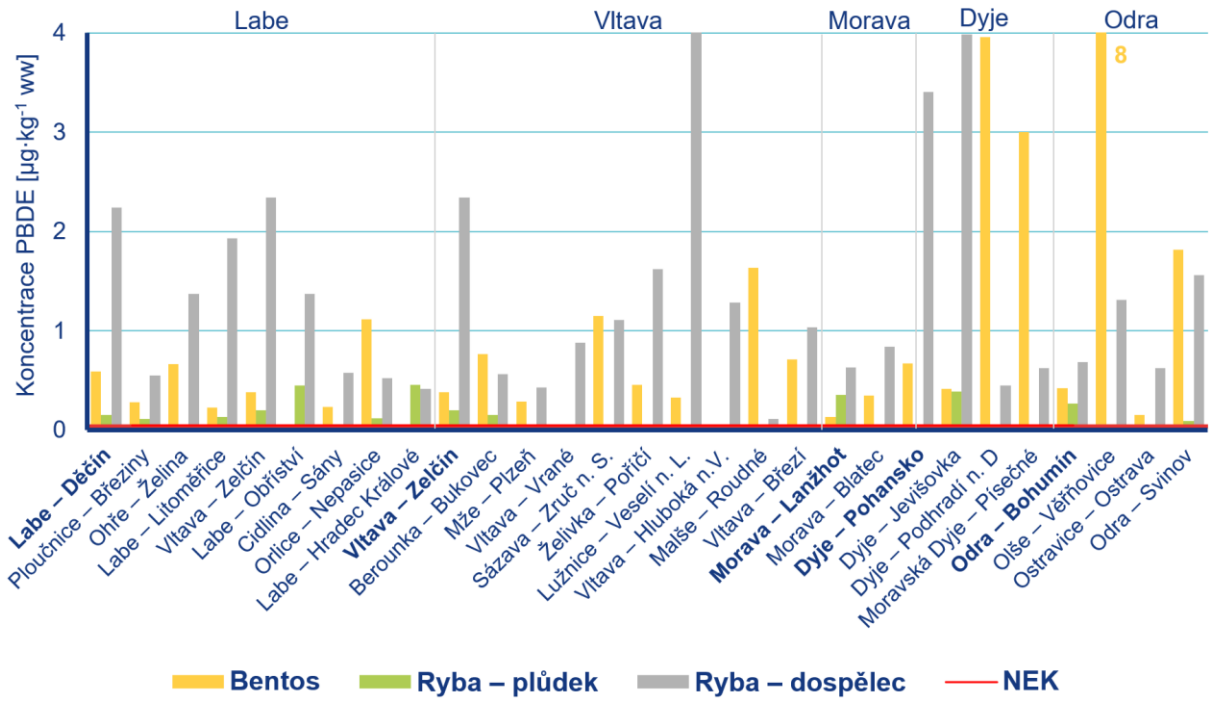
K podrobnějšímu hodnocení byly vybrány fluoranten a benzo(a)pyren jako zástupci PAU. Dále polybromované difenylethery (suma PBDE) a směs izomerů hexabromcyklododekanu (HBCDD) ze skupiny zpomalovačů hoření. Z fluorovaných látek, využívaných například na povrchové úpravy materiálů, je sledován již zakázaný PFOS. Mezi další hodnocené kontaminanty patří látky na bázi dioxinů (suma PCDD/F + DL-PCB) a rtuť, uvolňovaná do životního prostředí především ze spalovacích procesů, těžby a průmyslu. Analýzy dále zahrnovaly průmyslové chemikálie: polychlorované bifenyly (suma PCB), hexachlorbutadien (HCBUT), chloralkany C10–C13 a pesticidní látky: DDT (v sumě s metabolity), HCH, dikofol, heptachlor včetně heptachlorepoxidu, hexachlorbenzen (HCB), chinoxyfen a pentachlorbenzen. Dále DEHP (plastifikátor) a kation tributylcínu (součástí např. lodních nátěrů). Z anorganických látek se dále analyzovaly: arsen, chrom, kadmium, měď, nikl, olovo a zinek. Od roku 2024 byly přidány také bisfenoly A a S a vybrané látky, které mohou být součástí produktů osobní péče: triclosan, galaxolid a tonalid.

Pro ukazatele, které mají stanoveny NEK bylo provedeno srovnání s těmito normami u všech sledovaných matric. Naměřené hodnoty jsou přepočteny na mokrou váhu (ww) a pro jednotlivé matrice shrnuty v odpovídajících grafech. Hodnoty pod mezí stanovitelnosti byly nahrazeny polovinou této meze.

Bilance jakosti vody v ČR

PBDE

Koncentrace sumy PBDE, stejně jako v minulých letech, překročily hodnotu NEK (**0,0085 µg·kg⁻¹**) ve všech matricích na všech profilech o několik řádů (stanovená hodnota NEK je extrémně nízká). Rozsahy hodnot naměřených v jednotlivých matricích jsou shrnuty na obrázku **3.3.1.**



Obr. 3.3.1 Koncentrace PBDE v měřených matricích na sledovaných profilech

RTUŤ

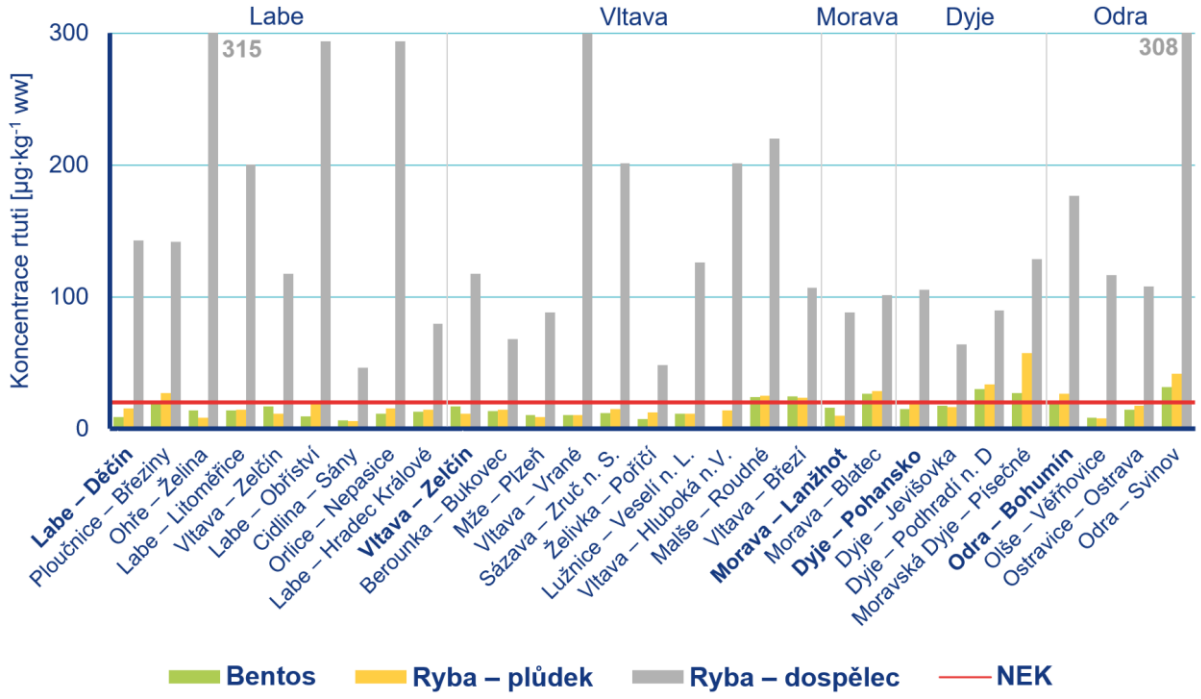
Ze sledovaných matric se rtuť nejvíce akumuluje v dospělých rybách, kde jsou naměřené koncentrace ve většině případů vyšší přibližně o jeden řád v porovnání s rybím plůdkem a bentosem. Koncentrace rtuti v dospělých rybách, stejně jako v minulých letech, překračovaly NEK (**20 µg·kg⁻¹**) na všech profilech. V rybím plůdku naměřené hodnoty překračovaly NEK na 36 % sledovaných profilů s maximem na profilu Moravská Dyje – Písečné (57,2 µg·kg⁻¹). V bentosu byla maximální koncentrace (31,5 µg·kg⁻¹) naměřena na profilu Odra – Svinov. Naměřené hodnoty v jednotlivých matricích jsou shrnuty na obrázku **3.3.2.**

PFOS

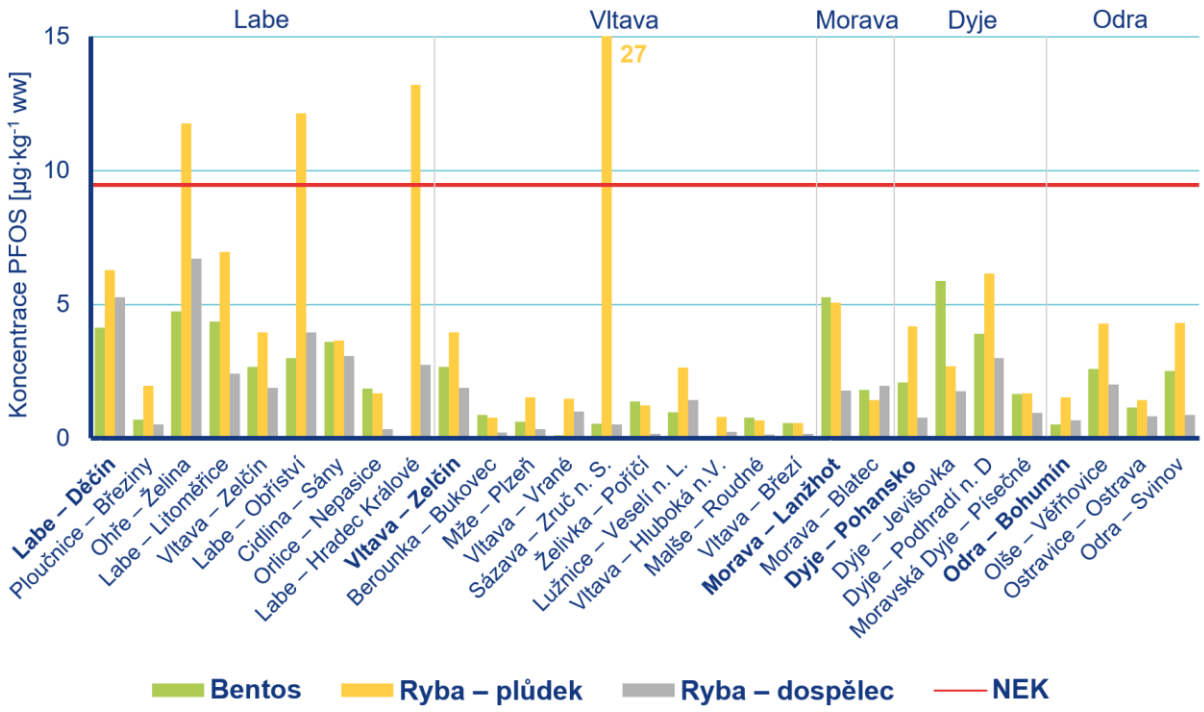
Nejvyšší koncentrace PFOS se dlouhodobě nacházejí v rybím plůdku, kde v roce 2025 překročily NEK (**9,1 µg·kg⁻¹**) na 4 profilech, což představuje pokles oproti minulému roku, kdy se nadlimitní koncentrace vyskytovaly na více než 50 % profilů. Podrobnější přehled shrnuje **Obr. 3.3.3.**

PAH

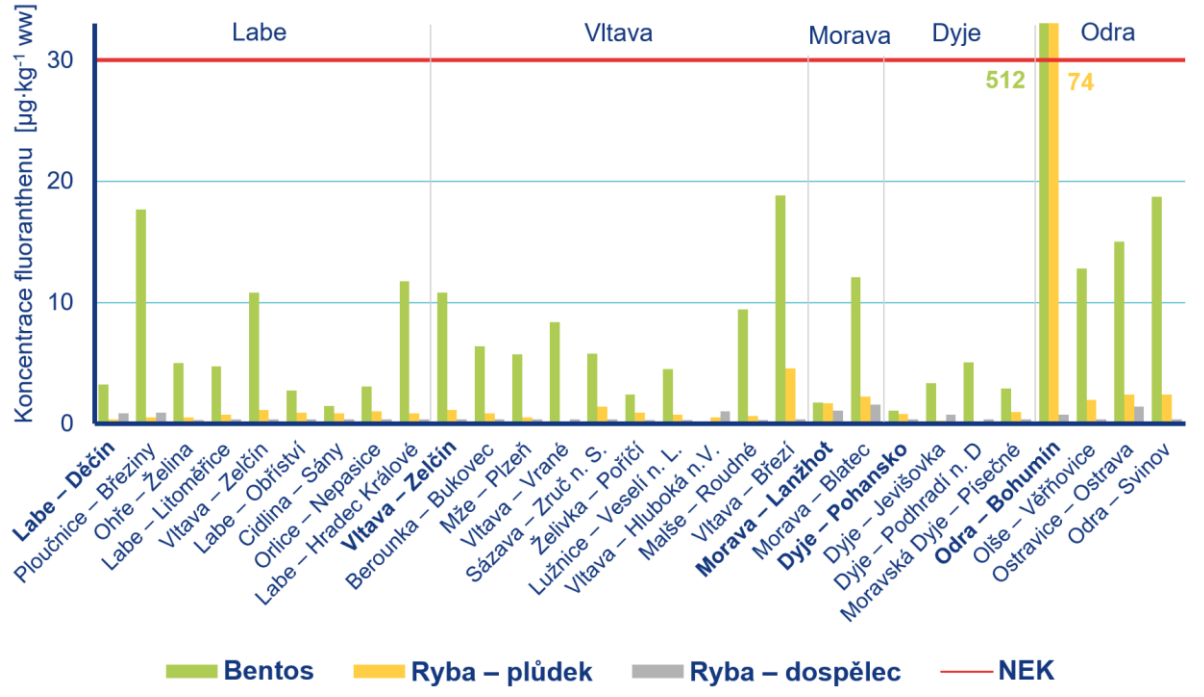
Z polyaromatických uhlovodíků jsou stanoveny hodnoty NEK u fluorantenu (**30 µg·kg⁻¹**) a benzo(a)pyrenu (**5 µg·kg⁻¹**). Obě látky se nejvíce akumulují v bentických organismech, kde byla NEK pro benzo(a)pyren překročena na 26 % profilů s maximem na Ploučnice – Březiny (39,9 µg·kg⁻¹). Fluoranten se vyskytoval v nadlimitních koncentracích primárně na profilu Odra – Bohumín, a to jak v bentosu (512 µg·kg⁻¹), tak i v rybím plůdku (74,2 µg·kg⁻¹). Na tomto profilu (Odra – Bohumín) překročil v rybím plůdku limit i benzo(a)pyren (21 µg·kg⁻¹). Naměřené hodnoty v jednotlivých matricích jsou shrnuty na obrázku 3.3.4 pro fluoranten a na obrázku 3.3.5 pro benzo(a)pyren.



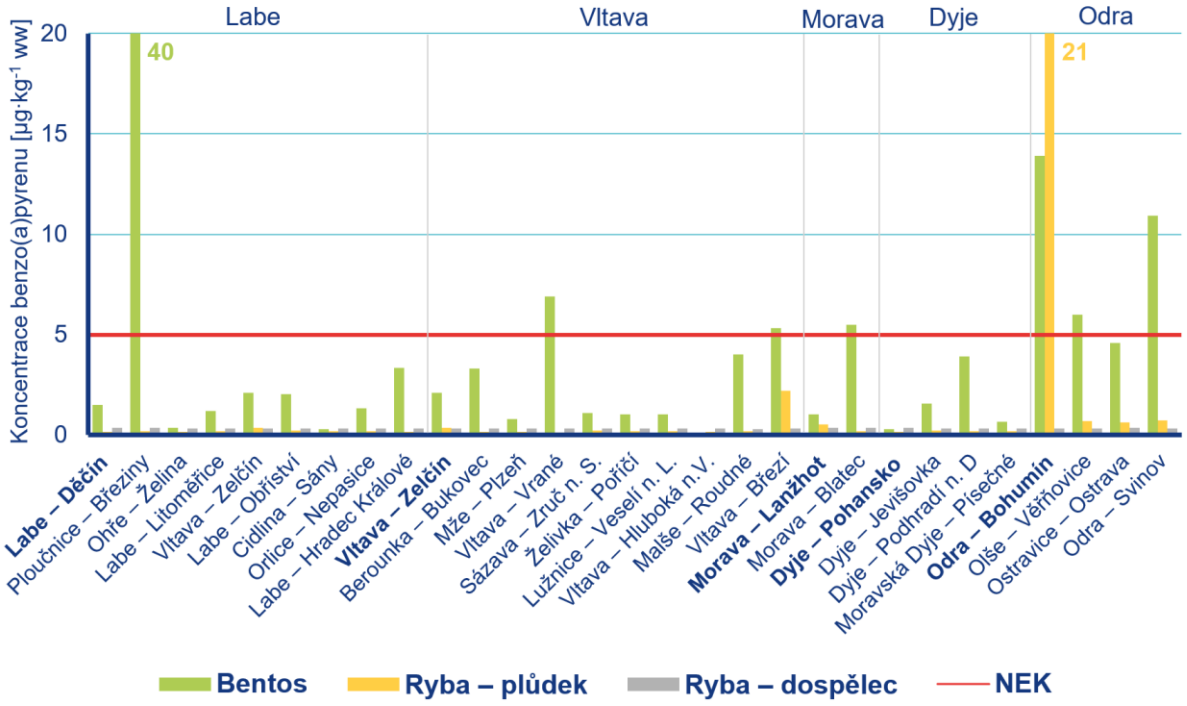
Obr. 3.3.2 Koncentrace rtuti v měřených matricích na sledovaných profilech



Obr. 3.3.3 Koncentrace PFOS v měřených matricích na sledovaných profilech



Obr. 3.3.4 Koncentrace fluoranthenu v měřených matricích na sledovaných profilech



Obr. 3.3.5 Koncentrace benzo(a)pyrenu v měřených matricích na sledovaných profilech

PCDD/F + DL-PCB

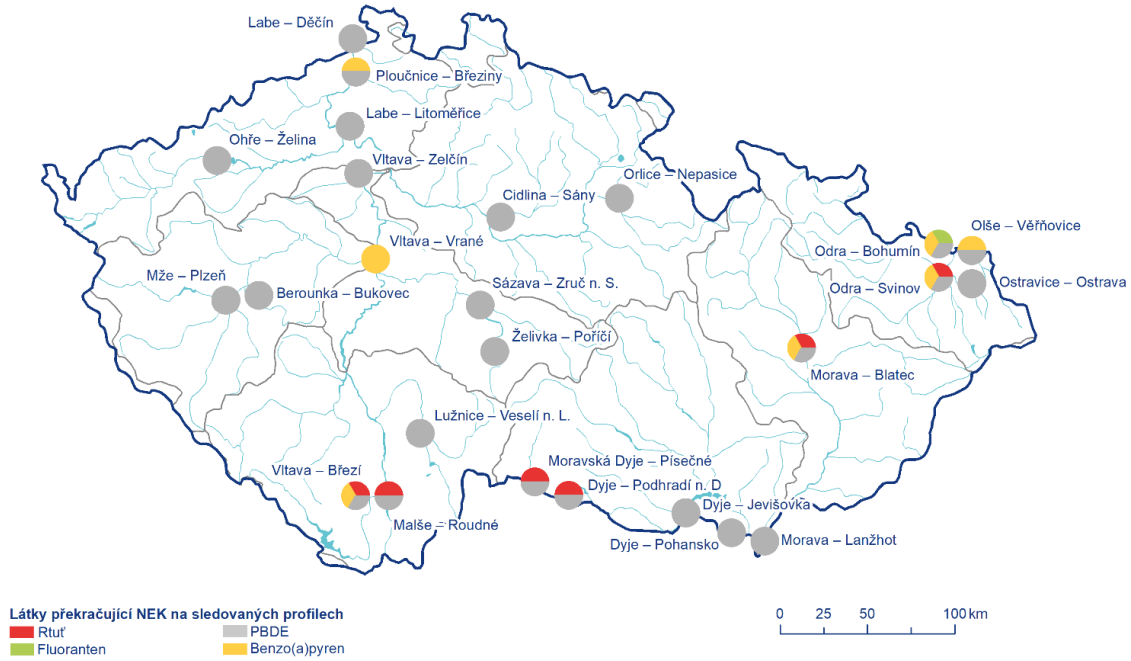
Suma dioxinových látek se v matrici ryba – dospělec pohybovala do maxima 5,6 ng·kg⁻¹ TEQ, které bylo naměřeno na profilu Labe – Obříství. Hodnota NEK pro biotu, která je stanovena na **6,5 ng·kg⁻¹ TEQ**, tak nebyla v roce 2025 na rozdíl od předchozích let překročena na žádném ze sledovaných profilů.

OSTATNÍ LÁTKY, PRO KTERÉ JE STANOVENA HODNOTA NEK

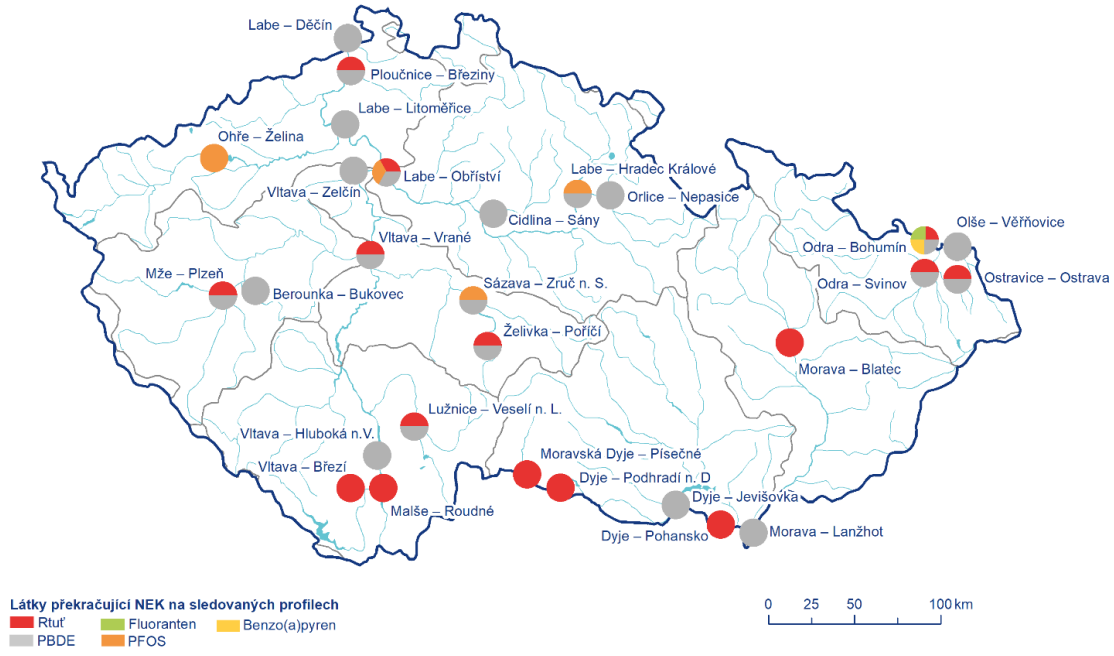
Koncentrace ostatních látek, pro které je stanovena hodnota NEK pro biotu (HCB, HCBUT, dikofol, HBCDD, heptachlor a heptachlorepoxid) nepřekračovaly tuto hodnotu na žádném profilu.

VYBRANÉ LÁTKY, PRO KTERÉ NENÍ STANOVENA HODNOTA NEK

Koncentrace **DEHP** v bentických organismech byly naměřeny v hodnotách do 351 µg·kg⁻¹ (Vltava – Vrané n. Vltavou). V rybích dospělcích se maximální koncentrace DEHP naměřila na profilu Olše – Věřňovice (81,8 µg·kg⁻¹) a ve stejné lokalitě bylo zaznamenáno i maximum pro rybí plůdek (653,9 µg·kg⁻¹). Naměřené hodnoty **PCB** se v dospělých rybách pohybovaly do 105 µg·kg⁻¹ (Labe – Litoměřice). Maximální koncentrace PCB v plůdku byla naměřena na profilu Labe – Obříství (20,3 µg·kg⁻¹) a v bentosu na profilu Labe – Děčín (24,1 µg·kg⁻¹). Koncentrace sumy **DDT** v dospělých rybách dosáhly maxima 41,9 µg·kg⁻¹ na profilu Labe – Děčín a v rybím plůdku na Moravská Dyje – Písečné (31,3 µg·kg⁻¹). **Bisfenol A** byl v nejvyšších koncentracích naměřen v bentických organismech na profilu Odra – Bohumín (24,3 µg·kg⁻¹). **Triclosan** byl zaznamenán s maximální koncentrací 11,3 µg·kg⁻¹ v bentosu, taktéž na profilu Odra – Bohumín, a u dospělých ryb bylo maximum 1,2 µg·kg⁻¹ naměřeno na profilu Labe – Děčín. **Tonalid** v bentických organismech dosáhl maxima také na profilu Odra – Bohumín (7,1 µg·kg⁻¹). Nejvyšší koncentrace **galaxolidu** byly naměřeny v rybím plůdku na profilu Dyje – Jevišovka nad (55,1 µg·kg⁻¹) a u bentických organismů na profilu Vltava – Zelčín (29,6 µg·kg⁻¹).



Obr. 3.3.6 Látky překračující NEK v matrici bentos.



Obr. 3.3.7 Látky překračující NEK v matrici ryba – plůdek

Bilance jakosti povrchové vody – akumulační monitoring biotických matric za období 2023 až 2025

Vyhodnocení uplynulého tříletého období 2023–2025 bylo provedeno na 6 vybraných závěrových profilech s kompletní datovou řadou (**Tab. 3.3.1**). Z hodnocení vychází dlouhodobá zátěž PBDE na všech profilech a matricích. U rtuti je patrný proces bioakumulace, kdy k 100% překračování limitů dochází pouze u dospělých ryb (vrchol potravního řetězce), zatímco v nižších trofických úrovních pouze občasně. Nadlimitní výskyt PFOS zůstává dlouhodobě navázán primárně na rybí plůdek a koncentrace dioxinových látek u dospělých ryb naopak představují spíše kolísavý stav bez trvalého překračování norem. Na profilu Odra – Bohumín je na rozdíl od zbytku republiky trvale zvýšené znečištění PAU.

Tab. 3.3.1 Počet let, kdy došlo u konkrétní látky a matrice k překročení limitu NEK

Profil	Matrice	Rtuť	PFOS	Fluoranthen	Benzo(a)pyren	PBDE	Dioxiny
Dyje - Pohansko	Bentos	0	0	0	0	3	
	Ryba – plůdek	3	1	0	0	2	
	Ryba – dospělec	3	0	0	0	3	0
Labe - Děčín	Bentos	0	0	0	0	3	
	Ryba – plůdek	0	1	0	0	3	
	Ryba – dospělec	3	0	0	0	3	1
Labe - Obříství	Bentos	0	2	0	0	2	
	Ryba – plůdek	1	3	0	0	3	
	Ryba – dospělec	3	1	0	0	3	1
Morava - Lanžhot	Bentos	1	1	0	1	3	
	Ryba – plůdek	1	1	0	0	3	
	Ryba – dospělec	3	0	0	0	3	1
Odra - Bohumín	Bentos	0	0	2	2	2	
	Ryba – plůdek	2	0	1	2	3	
	Ryba – dospělec	3	0	0	0	3	0
Vltava - Zelčín	Bentos	1	0	0	0	3	
	Ryba – plůdek	1	0	0	0	3	
	Ryba – dospělec	3	0	0	0	3	1

ZÁVĚR

Stejně jako v minulých letech i výsledky bioakumulačního monitoringu z roku 2025 ukazují kontaminaci vodních ekosystémů nebezpečnými látkami. Z hlediska porovnání naměřených koncentrací s limitní hodnou NEK je nejvýznamnějším kontaminantem v dospělých rybách rtuť, v rybím plůdku PFOS a v bentických organismech PAU. Pro komplexní hodnocení znečištění vodních ekosystémů je třeba provádět systematický monitoring všech matric z důvodu nerovnoměrné distribuce kontaminantů mezi nimi.

3.4 Bilance jakosti povrchové vody – plaveniny a sedimenty

Plaveniny (tj. nerozpuštěné látky ve vznosu) a sedimenty představují důležitou součást vodního ekosystému, na které jsou sorbovány anorganické i organické polutanty, jež následně negativně ovlivňují život ve fluviálních ekosystémech. Sledování kvality plavenin a sedimentů přispívá významným způsobem k celkovému hodnocení jakosti povrchových vod toků ČR. Jejich analýzy informují o přítomnosti nebezpečných cizorodých látek ve vodním prostředí, jež následně umožňují rozbor příčin znečištění na jednotlivých lokalitách. Dlouhodobé sledování stavu fluviálních ekosystémů je velmi žádoucí a umožňuje posouzení vývoje a dopadů znečištění na životní prostředí. Směrnice Evropské unie 2000/60/ES (dále jen „Rámcová směrnice o vodách“), 2008/105/ES a 2013/39/EU vyžadují u pevných matric sledování dlouhodobých trendů pro soubor 26 vybraných prioritních nebezpečných látek. Pro tyto účely byly v roce 2025 sledovány na 48 profilech obsahy těžkých kovů, metaloidů a specifických organických látek s důrazem na prioritní látky v oblasti vodní politiky v celkovém rozsahu 135 chemických látek, z nichž 26 je na seznamu prioritních látek. Tyto látky jsou nebezpečné pro zdraví lidí, zvířat i celých ekosystémů, často se jedná o látky karcinogenní (např. polyaromatické uhlovodíky, perfluorooktansulfonát), mutagenní (např. organochlorované pesticidy) a poškozující nervový, hormonální a imunitní systém (např. hexabromcyklododekan, polybromované difenylethery, tributylcín). Hodnocení výsledků monitoringu bylo provedeno dle Nařízení vlády č. 401/2015 Sb. na základě analýzy dlouhodobých trendů koncentrací vybraných prioritních látek, které se v sedimentech a plaveninách mohou kumulovat. Míra kontaminace byla posouzena na základě průměrné roční koncentrace cizorodých látek v dané matrici s limitními hodnotami kvality sedimentů MKOL (které jsou využívány pro posouzení zatížení řeky Labe), protože v české legislativě nejsou tyto limity v současnosti ukotveny. Kontaminace sedimentů, plavenin a sedimentovatelných plavenin je značně heterogenní napříč republikou i mezi jednotlivými povodími, souvisí s geomorfologií, využitím a osídlením krajiny. Často jsou nadměrné koncentrace jednotlivých cizorodých látek nalézány pod průmyslovými a městskými aglomeracemi i oblastmi dotčenými těžbou surovin.

Sledování pevných abiotických matric vodního prostředí – plavenin a sedimentů je jednou ze součástí programů monitoringu kvality vod, které ČHMÚ zajišťuje v rámci svých činností v resortu MŽP.

Plaveniny (tj. nerozpuštěné látky ve vznosu) jsou pevné organické a anorganické částice velikosti mikronů až milimetru, transportované v říčních tocích v suspenzi. Jejich přirozeným a hlavním zdrojem jsou produkty erozních procesů v povodí toků a vlastním korytě toků. Vedlejšími zdroji plavenin jsou vypouštěné odpadní vody a další produkty antropogenní činnosti v tocích (např. úpravy toků). V letních měsících při zvýšené produkci biogenní hmoty je ve vzorcích vody s plaveninami přítomen v různé míře také fytoplankton (sinice, řasy) a při nízkých průtocích vody také zvýšený podíl bakteriálního znečištění a plísní, které pak negativně ovlivňují kvalitu vzorku a komplikují filtraci vzorků při stanovení množství nerozpuštěných látek. Plaveniny, sedimentovatelné plaveniny a sedimenty představují důležitou součást vodního ekosystému, na které jsou sorbovány anorganické i organické polutanty, jež následně negativně ovlivňují život ve fluviálních ekosystémech.

V plaveninách, sedimentovatelných plaveninách a sedimentech se kumuluje řada chemických látek, které jsou ve vzorcích povrchové vody obtížně detekovatelné. Sledování kvality pevných matric přispívá významným způsobem k celkovému hodnocení jakosti povrchových vod toků ČR. V případě prioritních látek s významným akumulačním potenciálem je monitoring v pevných matricích nezbytným podkladem pro komplexní hodnocení chemického stavu útvarů povrchových vod. Jejich analýzy informují o přítomnosti nebezpečných cizorodých látek ve vodním prostředí, jež následně umožňují rozbor příčin znečištění na jednotlivých lokalitách. Dlouhodobé sledování stavu fluviálních ekosystémů je velmi žádoucí a umožňuje posouzení vývoje a dopadů znečištění na životní prostředí.

Množství plavenin bylo v roce 2025 sledováno na 38 profilech, pro účely vyhodnocení byla zpracována data z 36 profilů (z důvodu nekontinuálního odběru vzorků na lokalitě Teplá Vltava – Lenora a Morava – Olomouc neproběhlo zhodnocení odtoku nerozpuštěných látek). Základním hodnoceným údajem je koncentrace plavenin c [mg·l^{-1}], udávající množství nerozpuštěných látek v konstantním objemu vody. Na základě tohoto údaje a údaje o průtoku vody Q [m3·s^{-1}] je vypočten průtok plavenin Qpl [kg·s^{-1}], tj. množství nerozpuštěných látek protékajících profilem za jednotku času. Pro účely bilancování se vyhodnocuje odtok plavenin Gpl [t], tj. celkové množství nerozpuštěných látek transportovaných tokem v daném profilu za určitou časovou jednotku.

Sledování jakosti plavenin a sedimentů bylo realizováno na 48 profilech hlavních vodních toků a jejich významných přítoků v souladu s Rámcovým programem monitoringu a aktualizovaným programem situačního monitoringu pevných matric pro rok 2025, schváleným MŽP. Vzorky sedimentů byly odebrány 2 krát ročně, vzorky plavenin a sedimentovatelných plavenin 4 až 6 krát ročně. Sledovány byly obsahy těžkých kovů, metaloidů a specifických organických látek s důrazem na prioritní látky a prioritní nebezpečné látky v oblasti vodní politiky přílohy X Směrnice Evropského Parlamentu a Rady 2013/39/EU a s ohledem na relevanci látky pro pevné matrice. Podobně jako v minulých letech byly v rámci monitoringu analyzovány také organochlorované pesticidy starých zátěží, vybrané aktuálně používané pesticidní látky a rovněž potenciálně nebezpečné látky používané v přípravcích běžné denní spotřeby s pravděpodobnými endokrinními a toxickými účinky (bisfenol A, galaxolid, tonalid, triclosan, methyl triclosan, 2-ethylhexyl-4-methoxycinnamát). Screening pyretroidů – kandidátských látek pro tzv.Watch list nebyl v roce 2025 proveden. Celkem bylo sledováno 135 chemických látek, nejširší spektrum látek bylo monitorováno v sedimentech.

Zhodnocení výsledků monitoringu jakosti pevných matric a jejich chemického stavu je provedeno dle normativu NV 401/2015 Sb. V souladu s touto legislativou je provedena analýza dlouhodobých trendů koncentrací vybraných 20 prioritních látek, které se mohou kumulovat v sedimentech a plaveninách. Analýza trendů detekuje na hodnocených lokalitách „pouze“, zda koncentrace rostou nebo klesají a neposkytuje informaci o míře znečištění. Hodnocení míry znečištění vybraných prioritních látek bylo provedeno podle standardů kvality, publikovaných v roce 2005 pro vybraných 18 látek pod názvem „Environmental Quality Standards (EQS) - Substance Data Sheets“ a zavedených do české legislativy jako normy environmentální kvality (NEK) v NV 23/2011 Sb., platného do roku 2015. Normou environmentální kvality se rozumí koncentrace znečišťující látky nebo skupiny látek ve vodě, sedimentech nebo živých organismech, která nesmí být překročena z důvodu ochrany lidského zdraví a životního prostředí.

Nepřekročení NEK je jedním z cílů pro dosažení dobrého chemického stavu vodních útvarů. U řady organických látek (hexachlorbutadien, polybromované difenylethery, pentachlorbenzen, pentachlorfenol, 4-nonylfenol, 4-terc oktylfenol) tyto limity překročeny nebyly až na ojedinělé výskyty. Vyšší než limitní hodnoty NEK byly zjištěny pro vybrané látky (kovy - kadmium, nikl, olovo, rtuť a organické látky - fluoranten, antracen, hexachlorbenzen, tributylcín a polyaromatické uhlovodíky v sumě 5 PAU (benzo[a]pyrenu, benzo[b]fluorantenu, benzo[g,h,i]perylenu, benzo[k]fluorantenu a indeno[1,2,3-cd]pyrenu). Pro hodnocení látek bez limitu NEK bylo využito porovnání s horními prahovými hodnotami tzv. indexu kvality sedimentů (SQI), stanoveného MKOL ke zdokumentování intenzity kontaminace znečišťujícími látkami v plaveninách a sedimentech v povodí Labe. Překročení horních prahových hodnot indikuje možnost environmentálního rizika.

Hodnocení chemického stavu pevných matric

Z celkového počtu 26 sledovaných prioritních látek byly na sledovaných profilech zjištěny pod mezí stanovitelnosti pentachlorfenol, nonylfenoly (4-nonylfenol) a izomery hexachlorcyklohexanu (α-HCH, β-HCH, γ-HCH). Z dalších sledovaných látek pod mezí stanovitelnosti byly analyzovány látky ze skupiny chlorovaných fenolů (3,4-dichlorfenol, 2,4,5-trichlorfenol, 2,4,6-trichlorfenol, 2,3,4,5-tetrachlorfenol, 2,3,4,6-tetrachlorfenol, 2,3,5,6-tetrachlorfenol). Látky ze skupiny chlorovaných benzenů (1,2,3-trichlorbenzen, 1,2,4-trichlorbenzen, 1,3,5-trichlorbenzen, 1,2,4,5-tetrachlorbenzen) byly též zjištěny

pod mezí stanovitelnosti s výjimkou profilů na Labi–Valy, Lysá nad Labem, Obříství, Litoměřice a Schmilka a profilů Bílina–Ústí nad Labem a Ploučnice-Březiny. Neprokázaný výskyt, tzn. analýzy pod mezí stanovitelnosti ve všech sledovaných matricích pevných látek (plaveniny, sedimentovatelné plaveniny a sedimenty), je doložen u těchto látek používaných jako pesticidy – aldrin, dieldrin, endrin, isodrin, dikofol, heptachlor, methoxyhlor, triallát. Chlorpyrifos-methyl byl též zjištěn pod mezí stanovitelnosti s výjimkou profilu Bečva–Troubky a Lužická Nisa–Hádek nad Nisou, kde tato látka byla zaznamenána v měřitelném množství. Pod mezí stanovitelnosti byl v pevných matricích doložen výskyt cis a trans izomeru heptachlorepoxidu, který je perzistentním produktem rozkladu heptachloru, a mošusových látek (musk xylen, musk keton). Též některé kongenery polybromovaných difenyleterů (PBDE 28, PBDE 138 PBDE 153, PBDE 154, PBDE 183), tj. uměle vyráběné, organické sloučeniny jako látky zpomalující hoření byly zjištěny pod mezí stanovitelnosti.

V sedimentech byly nalezeny nejvyšší koncentrace těžkých kovů v severních, západních i středních Čechách. V matrici plaveniny byly nejvyšší koncentrace olova nalezeny v Plzni na Berounce (340 mg·kg^{-1}), a na Berounce v Srbsku (230 mg·kg^{-1}). Na Berounce v Srbsku byly nalezeny nejvyšší koncentrace kadmia (6 mg·kg^{-1}). Na Bílině v Ústí nad Labem byly nalezeny nejvyšší koncentrace arsenu, ve všech pevných matricích, nejvíce plaveninách (134 mg·kg- 1). Obsahy niklu byly nejvyšší na Jihlavě v Ivančicích v sedimentech (95 mg·kg^{-1}) a plaveninách (83 mg·kg^{-1}), na Bílině v Ústí nad Labem byly nejvyšší koncentrace v sedimentovatelných plaveninách (76 mg·kg^{-1}). Na Bílině v Ústí nad Labem byly zjštěny též nejvyšší koncentrace rtuti ve všech matricích, nejvíce v sedimentovatelných plaveninách (1,3 mg·kg^{-1}).

Organické látky, které se uměle vyrábějí a používají jako zpomalovače hoření (PBDE – polybromované difenylethery, kongenery PBDE 28, PBDE 47, PBDE 99, PBDE 100) a jsou zařazeny na seznamu látek s limitními hodnotami NEK v Nařízení vlády 23/2011 Sb., byly nalezeny pod mezí stanovitelnosti, s výjimkou jejich identifikace na profilu Lužická Nisa–Hrádek nad Nisou, Bílina–Ústí nad Labem, Labe–Prostřední Žleb, Ostravice–Ostrava a Svratka–Židlochovice, kde ovšem limit NEK nebyl překročen. Zcela odlišný je výskyt kongeneru PDBE 209, který byl v nejvyšších koncentracích zaznamenán na Labi v Hradci Králové (2 200 µg·kg^{-1}) a Obříství (1 200 µg·kg^{-1}), na Labi na dalších profilech – Lysá nad Lalbem, Litoměřice a Schmilka.

Ze sledovaných prioritních látek nejvyšší měřitelné koncentrace v sedimentech dosahovaly látky skupiny polyaromatických uhlovodíků, které vznikají především nedokonalým spalováním (benzo[a]pyren, benzo[b]fluoranten, benzo[g,h,i]perylen, benzo[k]fluoranten, indeno[1,2,3-cd]pyren), antracen, fluoranten) a ftaláty (DEHP) (Obr. 3.4.1, Obr. 3.4.2). Významný podíl obsahu polyaromatických uhlovodíků v sedimentech byl zjištěn na profilu Březiny–Ploučnice (24 700 µg·kg^{-1}), Odra–Bohumín (12 200 µg·kg^{-1}), Morava–Kroměříž (6 695 µg·kg^{-1}) a v plaveninách na profilu Odra–Bohumín (9 610 µg·kg^{-1}).

Hodnocení dle norem environmentální kvality

Prioritní kovy (rtuť, olovo, kadmium, nikl) byly ve všech případech měřitelné, v závislosti na zdrojích znečistění a na geogenním pozadí (Berounka, Sázava, Jizera), je různá pouze úroveň jejich koncentrace. V případě prioritních organických látek je počet detekovaných látek vyšší, jejich koncentrací jsou řádově nižší. Prioritní kovy byly zjištěny v nadlimitní koncentraci v každé matrici.

Na všech dílčích povodích s výjimkou Dyje a Moravy a přítoků Váhu, byly zjištěny v plaveninách a sedimentovatelných plaveninách koncentrace olova nad limitní hodnotou ročního průměru. Nejvyšší průměrná koncentrace olova byla zaznamenána na Mži v Plzni, která překročila více než 6× horní limitní hodnotu (340 mg·kg^{-1}), 4× na Berounce v Srbsku (166 mg·kg^{-1}), a na Lužické Nise v Hrádku nad Nisou s 3násobným překročením limitní hodnoty NEK. Nejvyšší koncentrace rtuti byly nalezeny ve všech pevných matricích na Bílině v Ústí nad Labem, kde byl horní limit překročen více než 2× (1,3 mg·kg^{-1}), v sedimentovatelných plaveninách na Svratce v Židlochovicích a sedimentech na Lužické Nise v Hrádku

nad Nisou byly nalezeny nižší hodnoty (0,9 mg·kg^{-1}). Nejvyšší koncentrace kadmia byly nalezeny na Berounce v Srbsku ve všech pevných matricích, kde limitní hodnota byla překročena 3× (7,1 mg·kg^{-1}), v plaveninách na Svitavě v Bílovicích (5 mg·kg^{-1}) a na Ohři v Želině (4,2 mg·kg^{-1}). Koncentrace niklu převyšující horní limit byly nalezeny v sedimentech s plaveninách na Jihlavě v Ivančicích (95 mg·kg^{-1}).

Přehled počtu detekovaných prioritních látek v měřitelných hodnotách (tzn. nad mezí stanovitelnosti) a jejich sumárních koncentrací (roční průměr součtu látek z dílčích odběrů) v jednotlivých lokalitách a matricích uvádí mapy **Obr. 3.4.8 – Obr. 3.4.10.**

Fluoranten a anthracen jsou prioritní organické látky, které se spolu s dalšími látkami ze skupiny 5 PAU (polyaromatické uhlovodíky) vyskytují v každém dílčím povodí a v každé matrici v koncentracích nad limitní hodnotou NEK. Nejvyšší koncentrace těchto látek v plaveninách a v sedimentovatelných plaveninách se v roce 2025 obdobně jako v roce předchozím lokalizovaly na řadě profilů v povodí Odry. Nejvíce bylo ∑ PAU v plaveninách na Odře v Bohumíně (9 610 µg·kg^{-1}) a v sedimentovatelných plaveninách byla přítomnost těchto látek maximální na profilu Olše–ústí (7 300 µg·kg^{-1}), koncentrace ∑ PAU v sedimentech byly nejvyšší na Ploučnici v Březinách (24 700 µg·kg^{-1}).

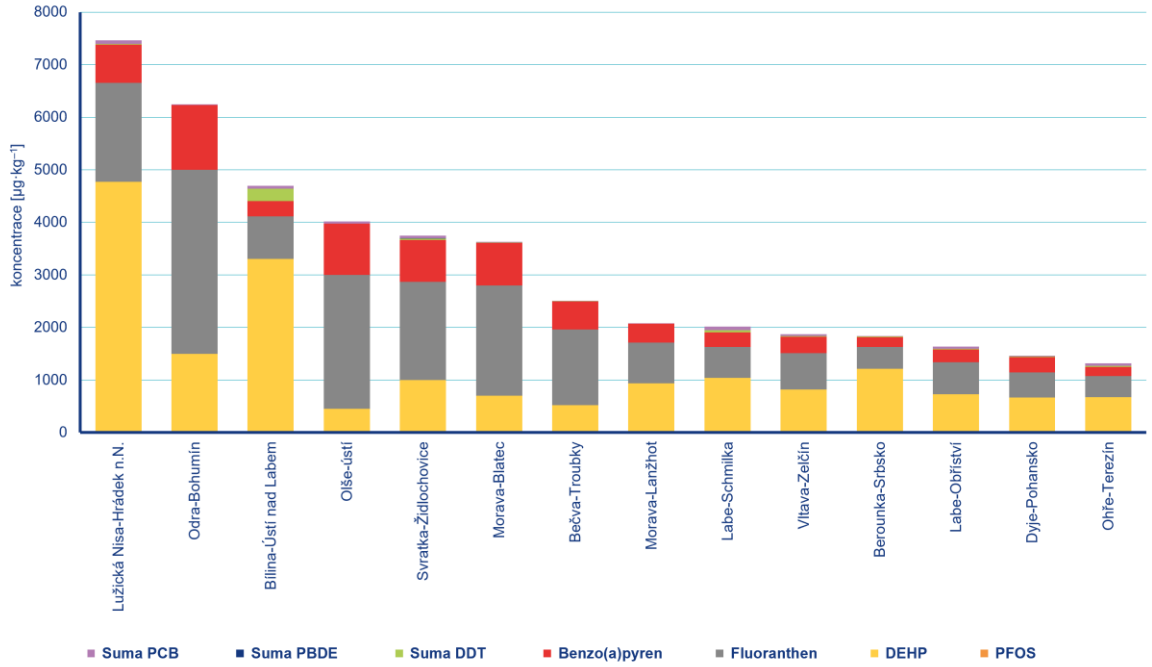
Hexachlorbenzen a hexachlorbutadien jsou kontaminanty pocházející ze starých zátěží. Dlouhodobě se na většině profilů vyskytují v koncentracích pod mezí stanovitelnosti nebo v nízkých hodnotách řádově v jednotkách µg·kg^{-1}. Zvýšená obsah hexachlorbenzenu přetrvává na Bílině v Ústí nad Labem v plaveninách (64 µg·kg^{-1}), v sedimentovatelných plaveninách (350 µg·kg^{-1}) a v sedimentech na Labi v Litoměřicích (42 µg·kg^{-1}).

Tributylcín byl měřen na vybraných profilech s ohledem na možný zdroj úniků, jako jsou aplikace biocidů, desinfekčních prostředků, fungicidů v chladících vodách, v textilním, kožedělném a papírenském průmyslu a aplikace prostředku na ochranu dřeva (lodní nátěry). Tributylcín byl zjištěn na řadě profilů pod mezí stanovitelnosti, v nadlimitním množství v profilu Bečva–Troubky, měřitelné hodnoty byly v proflu Labe–Litoměřice, Obříství, Schmilka, Svratka–Židlochovice, Lužická Nisa–Hrádek nad Nisou.

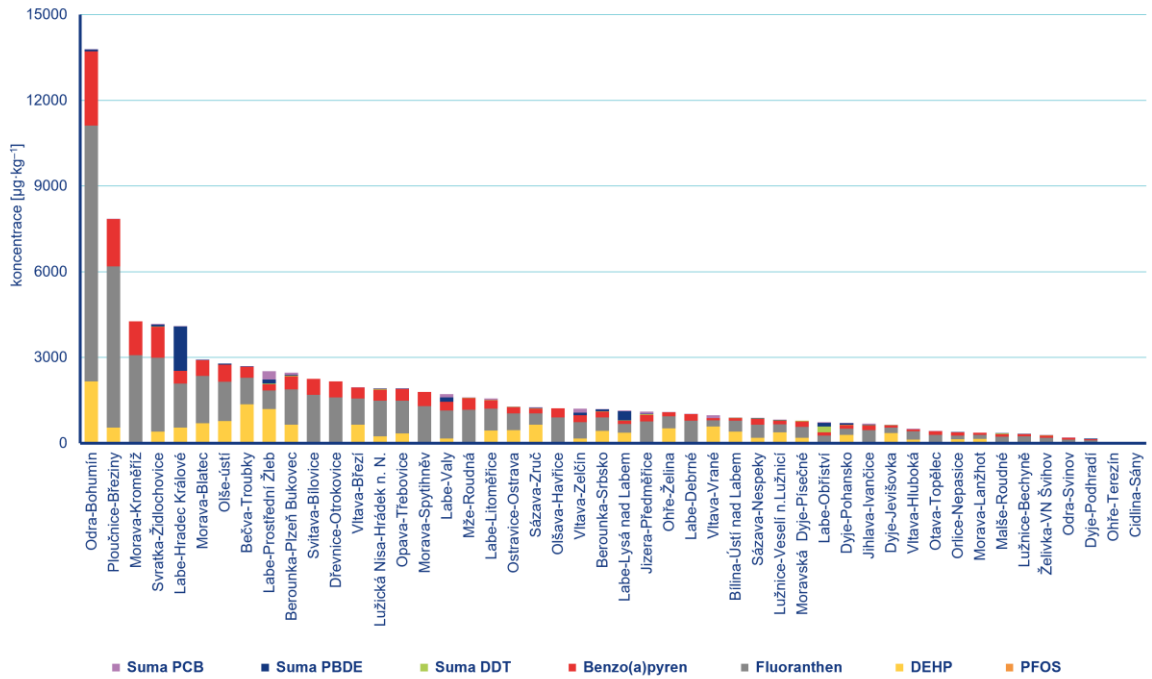
Chloralkany $C_{10–13}$, jejichž zdrojem jsou emise při zpracování kůže, výrobě obuvi a při obrábění kovů, byly detekovány v měřitelných koncentracích nejčastěji v pevných matricích na Bílině v Ústí nad Labem, na Lužické Nise v Hrádku nad Nisou, na Labi v Hradci Králové, na Odře v Bohumíně, na Svitavě v Bílovicích, na těchto profilech koncentrace dosahovaly hodnot vyšších než 250 µg·kg^{-1}.

Perfluorované látky jsou pro své unikátní vlastnosti používány při úpravě povrchů papírových obalů, textilií a teflonových vrstev. Nejvyšší koncentrace perfluorooktansulfonátu (PFOS) nad 3 µg·kg^{-1} byly zaznamenány na Bílině v Ústí nad Labem, na Lužické Nise v Hrádku nad Nisou, na Bečvě v Troubkách, na Ohři v Terezíně a na Labi v Obříství a Schmilce.

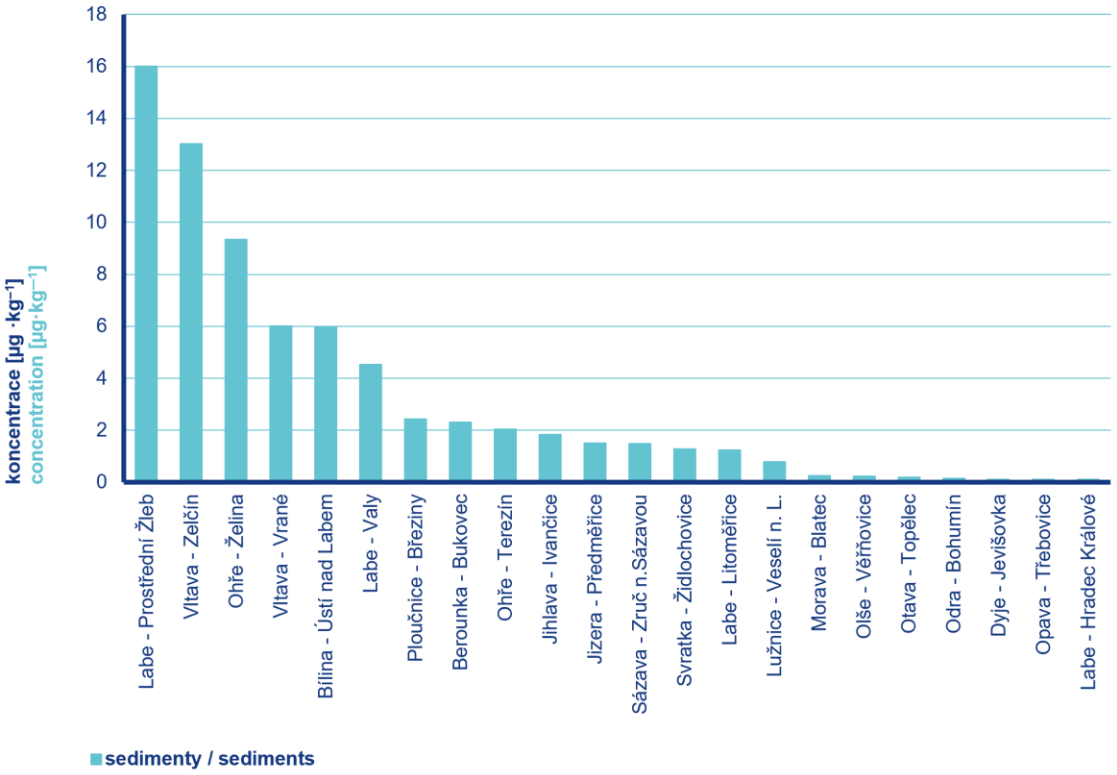
Nejvyšší sumární koncentrace látek skupiny dioxinů, furanů a PCB s dioxinovým efektem v sedimentech byly zjištěny na Labi v Prostředním Žlebu (**Obr. 3.4.3**).



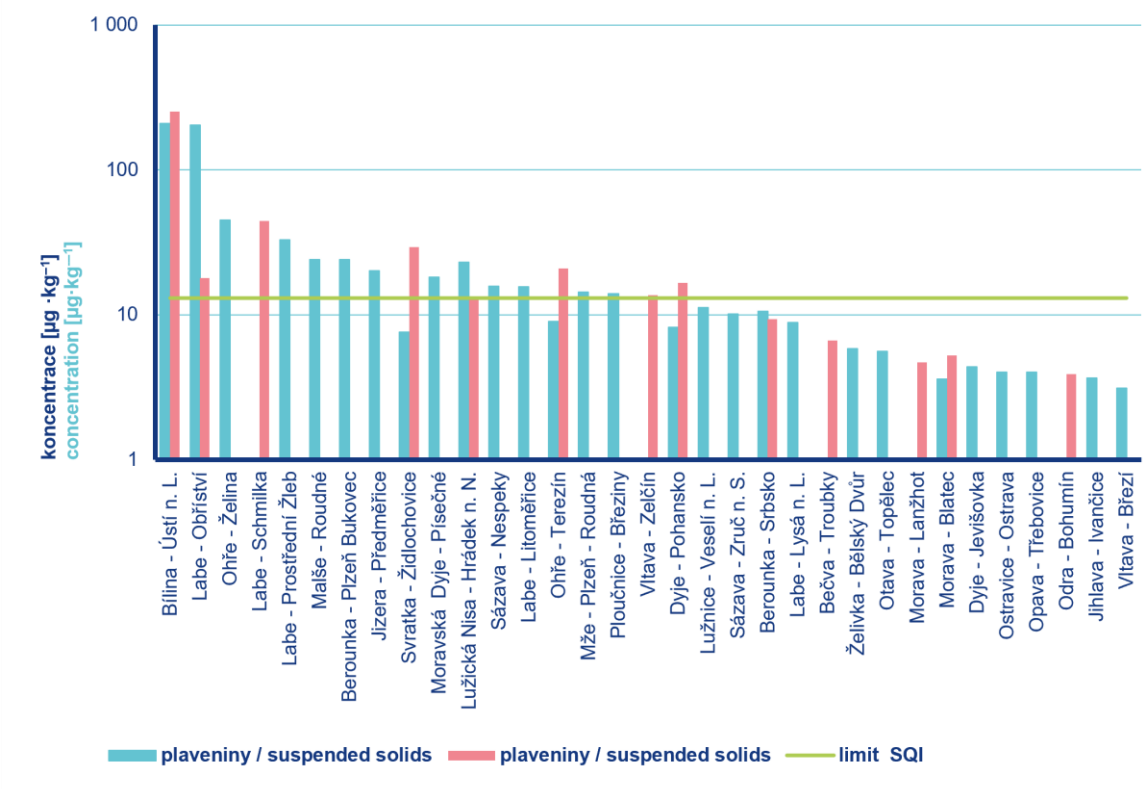
Obr. 3.4.1 Suma průměrných koncentrací prioritních organických látek v sedimentovatelných plaveninách v roce 2025



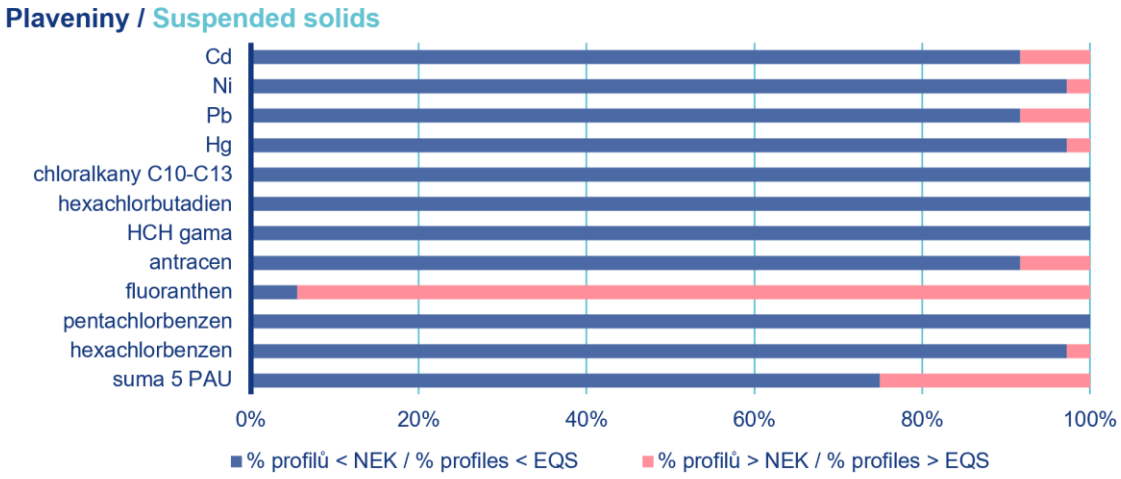
Obr. 3.4.2 Suma koncentrací prioritních organických látek v sedimentech



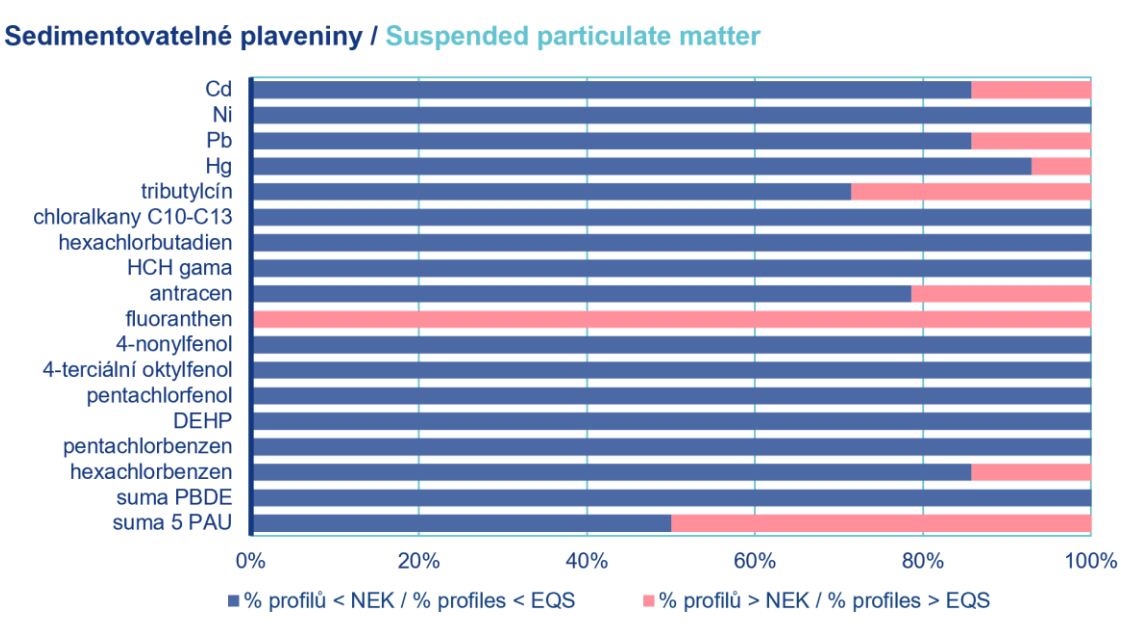
Obr. 3.4.3 Suma koncentrací dioxinů, furanů a PCB s dioxinovým efektem v sedimentech v roce 2025



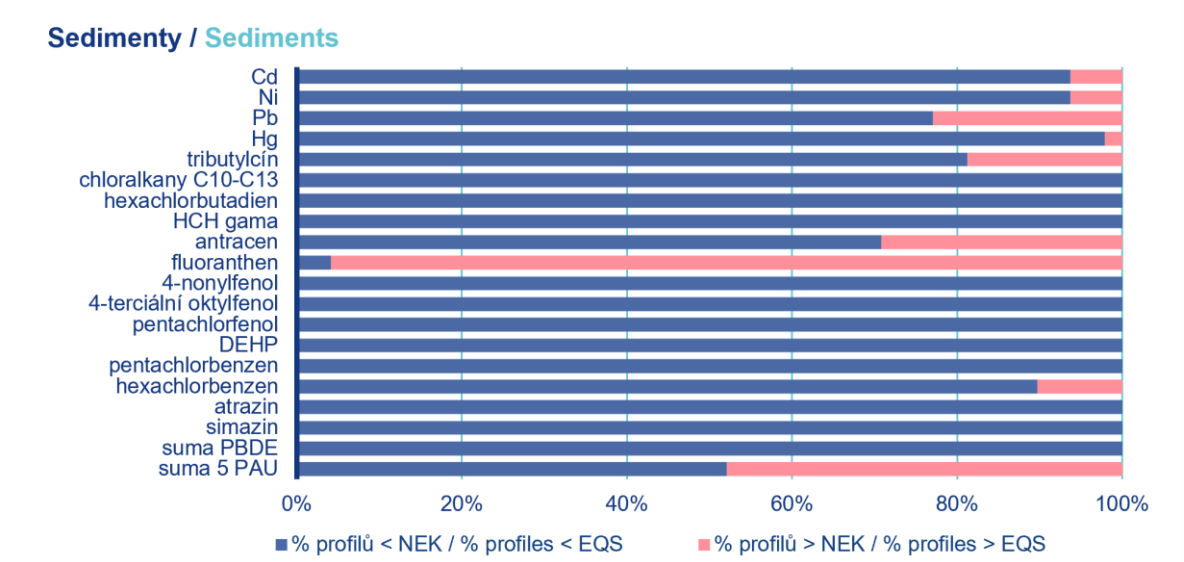
Obr. 3.4.4 Průměrné roční koncentrace všech izomerů pesticidu DDT v roce 2025



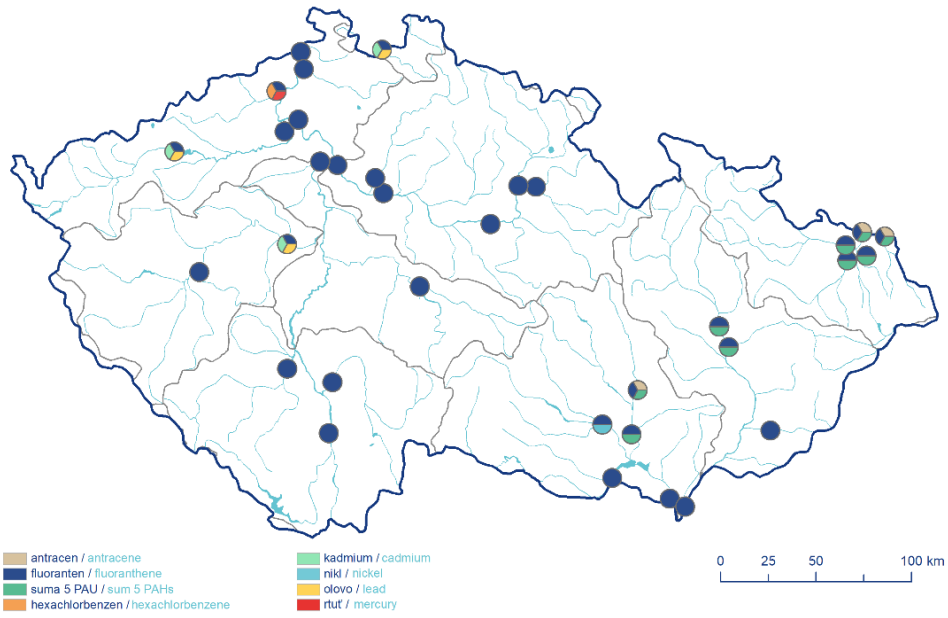
Obr. 3.4.5 Počet profilů s překročením limitu NEK dle NV 23/2011 Sb. v plaveninách v roce 2025



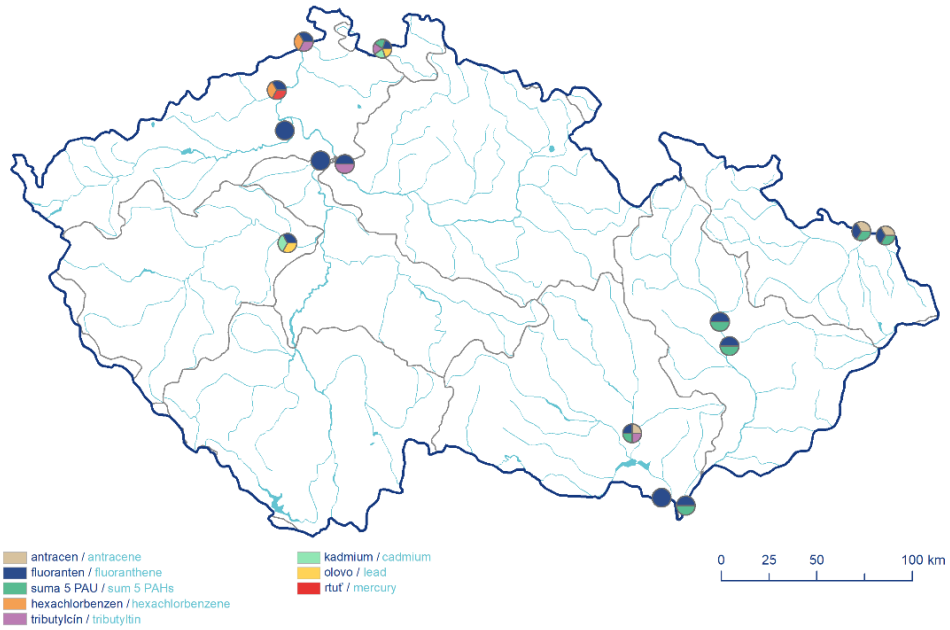
Obr. 3.4.6 Počet profilů s překročením limitu NEK dle NV 23/2011 Sb. v sedimentovatelných plaveninách v roce 2025



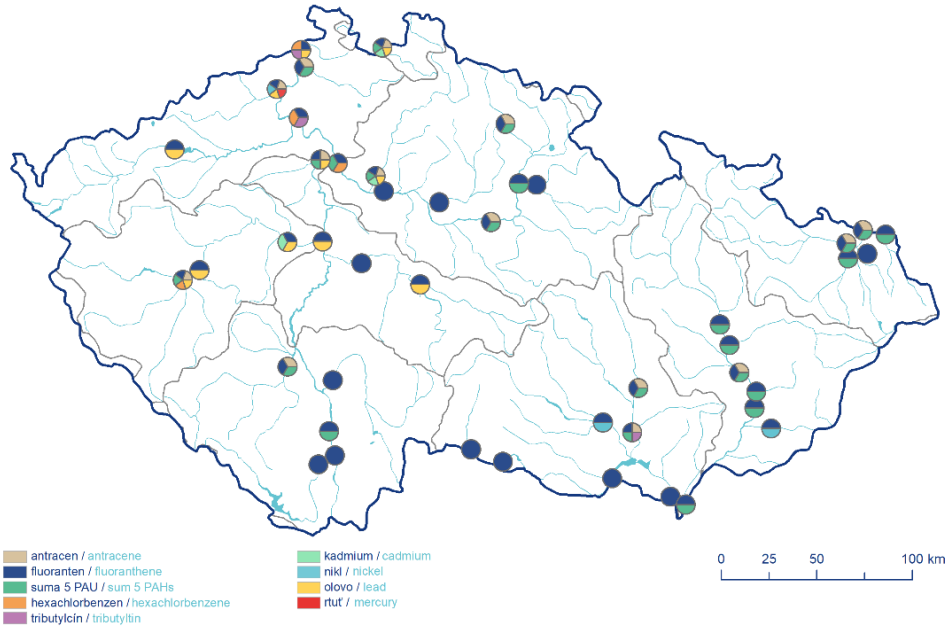
Obr. 3.4.7 Počet profilů s překročením limitu NEK dle NV 23/2011 Sb. v sedimentech v roce 2025



Obr. 3.4.8 Přehled profilů s překročením limitu NEK v plaveninách



Obr. 3.4.9 Přehled profilů s překročením limitu NEK v sedimentovatelných plaveninách



Obr. 3.4.10 Přehled profilů s překročením limitu NEK v sedimentech

Tab. 3.4.1 Přehled počtu analyzovaných vzorků, počtu hodnot nad MS a nejvyšších změřených koncentrací v jednotlivých dílčích povodích v plaveninách

Plaveniny		Horní a střední Labe				Horní Vltava				Berounka			
		N	%>MS	Max	Lokalita	N	%>MS	Max	Lokalita	N	%>MS	Max	Lokalita
kadmium	$mg \cdot kg^{-1}$	30	100	3,2	Jizera - Předměřice	12	100	1,6	Otava - Topělec	6	100	6	Berounka - Srbsko
nikl	$mg \cdot kg^{-1}$	30	100	61	Labe - Lysá n. L.	12	100	47	Otava - Topělec	6	100	51	Berounka - Srbsko
olovo	$mg \cdot kg^{-1}$	30	100	77	Jizera - Předměřice	12	100	47	Otava - Topělec	6	100	156	Berounka - Srbsko
rtuť	$mg \cdot kg^{-1}$	30	96,7	0,6	Labe - Obříství	12	91,7	0,3	Otava - Topělec	6	100	0,4	Berounka - Srbsko
chloralkany C10-C13	$\mu g \cdot kg^{-1}$	30	56,7	290	Labe - Hradec Králové	12	8,3	90	Otava - Topělec	6	100	170	Berounka - Srbsko
hexachlorbutadien	$\mu g \cdot kg^{-1}$	30	0	< 1	-	12	0	< 1	-	6	0	< 1	-
alfa-HCH	$\mu g \cdot kg^{-1}$	30	0	< 1	-	12	0	< 1	-	6	0	< 1	-
beta-HCH	$\mu g \cdot kg^{-1}$	30	0	< 1	-	12	0	< 1	-	6	0	< 1	-
gama-HCH	$\mu g \cdot kg^{-1}$	30	0	< 1	-	12	0	< 1	-	6	0	< 1	-
antracen	$\mu g \cdot kg^{-1}$	30	100	73	Jizera - Předměřice	12	100	130	Vltava - Hluboká n. Vlt.	6	100	53	Berounka - Srbsko
fluoranthen	$\mu g \cdot kg^{-1}$	30	100	1 400	Labe - Hradec Králové	12	100	1 960	Otava - Topělec	6	100	791	Berounka - Bukovec
benzo[a]pyren	$\mu g \cdot kg^{-1}$	30	100	614	Labe - Hradec Králové	12	100	835	Otava - Topělec	6	100	395	Berounka - Bukovec
benzo[b]fluoranthen	$\mu g \cdot kg^{-1}$	30	100	607	Labe - Hradec Králové	12	100	911	Otava - Topělec	6	100	391	Berounka - Bukovec
benzo[ghi]perylen	$\mu g \cdot kg^{-1}$	30	100	486	Labe - Hradec Králové	12	100	706	Otava - Topělec	6	100	419	Berounka - Bukovec
benzo[k]fluoranthen	$\mu g \cdot kg^{-1}$	30	100	366	Labe - Hradec Králové	12	100	504	Otava - Topělec	6	100	227	Berounka - Bukovec
indeno[1,2,3-cd]pyren	$\mu g \cdot kg^{-1}$	30	100	395	Labe - Hradec Králové	12	100	692	Otava - Topělec	6	100	242	Berounka - Bukovec
heptachlor	$\mu g \cdot kg^{-1}$	30	0	< 1	-	12	0	< 1	-	6	0	< 1	-
trifluralin	$\mu g \cdot kg^{-1}$	30	0	< 2	-	12	0	< 2	-	6	0	< 2	-
pentachlorbenzen	$\mu g \cdot kg^{-1}$	30	6,67	1,7	Labe - Obříství	12	0	< 1	-	6	0	< 1	-
hexachlorbenzen	$\mu g \cdot kg^{-1}$	30	46,7	4	Labe - Obříství	12	0	< 1	-	6	17	1,1	Berounka - Bukovec

* hodnota meze stanovitelnosti (MS)

Tab. 3.4.2 Přehled počtu analyzovaných vzorků, počtu hodnot nad MS a nejvyšších změřených koncentrací v jednotlivých dílčích povodích v plaveninách

Plaveniny		Dolní Vltava				Ohře, Dolní Labe a ostatní přítoky Labe				Horní Odra			
		N	%>MS	Max	Lokalita	N	%>MS	Max	Lokalita	N	%>MS	Max	Lokalita
kadmium	$mg \cdot kg^{-1}$	10	100	1,6	Sázava - Zruč n.Sáz.	14	100	4,2	Ohře - Želina	16	100	1,2	Olše - Věřňovice
nikl	$mg \cdot kg^{-1}$	10	100	60	Sázava - Zruč n.Sáz.	14	100	65	Bílina - Ústí n. L.	16	100	49	Ostravice - Ostrava
olovo	$mg \cdot kg^{-1}$	10	100	76	Sázava - Zruč n.Sáz.	14	100	93	Ohře - Želina	16	100	51	Olše - Věřňovice
rtuť	$mg \cdot kg^{-1}$	10	70	0,3	Vltava - Zelčín	14	100	1,2	Bílina - Ústí n. L.	16	100	0,5	Odra - Svinov
chloralkany C10-C13	$\mu g \cdot kg^{-1}$	10	40	100	Sázava - Poříčí n.Sáz.	14	78,6	910	Bílina - Ústí n. L.	16	56	150	Opava - Děhylov
hexachlorbutadien	$\mu g \cdot kg^{-1}$	10	0	< 1	-	14	21,4	7,6	Bílina - Ústí n. L.	16	0	< 1	-
alfa-HCH	$\mu g \cdot kg^{-1}$	10	0	< 1	-	14	0	< 1	-	16	0	< 1	-
beta-HCH	$\mu g \cdot kg^{-1}$	10	0	< 1	-	14	0	< 1	-	16	0	< 1	-
gama-HCH	$\mu g \cdot kg^{-1}$	10	0	< 1	-	14	0	< 1	-	16	0	< 1	-
antracen	$\mu g \cdot kg^{-1}$	10	100	28	Vltava - Zelčín	14	100	143	Ohře - Želina	16	100	1 540	Odra - Bohumín
fluoranthen	$\mu g \cdot kg^{-1}$	10	100	592	Vltava - Zelčín	14	100	1 370	Ohře - Želina	16	100	8 640	Odra - Bohumín
benzo[a]pyren	$\mu g \cdot kg^{-1}$	10	100	248	Vltava - Zelčín	14	100	569	Ohře - Želina	16	100	2 400	Odra - Bohumín
benzo[b]fluoranthen	$\mu g \cdot kg^{-1}$	10	100	259	Vltava - Zelčín	14	100	454	Ohře - Želina	16	100	2 490	Odra - Bohumín
benzo[ghi]perylen	$\mu g \cdot kg^{-1}$	10	100	247	Vltava - Zelčín	14	100	396	Bílina - Ústí n. L.	16	100	1 730	Odra - Bohumín
benzo[k]fluoranthen	$\mu g \cdot kg^{-1}$	10	100	161	Vltava - Zelčín	14	100	277	Ohře - Želina	16	100	1 500	Odra - Bohumín
indeno[1,2,3-cd]pyren	$\mu g \cdot kg^{-1}$	10	100	170	Vltava - Zelčín	14	100	319	Ohře - Želina	16	100	1 490	Odra - Bohumín
heptachlor	$\mu g \cdot kg^{-1}$	10	0	< 1	-	14	0	< 1	-	16	0	< 1	-
trifluralin	$\mu g \cdot kg^{-1}$	10	0	< 2	-	14	0	< 2	-	16	0	< 2	-
pentachlorbenzen	$\mu g \cdot kg^{-1}$	10	0	< 1	-	14	14,3	1,7	Bílina - Ústí n. L.	16	0	< 1	-
hexachlorbenzen	$\mu g \cdot kg^{-1}$	10	20	1,5	Sázava - Zruč n.Sáz.	14	57,1	64	Bílina - Ústí n. L.	16	31,3	1,3	Opava - Děhylov

* hodnota meze stanovitelnosti (MS)

Tab. 3.4.3 Přehled počtu analyzovaných vzorků, počtu hodnot nad MS a nejvyšších změřených koncentrací v jednotlivých dílčích povodích v plaveninách

Plaveniny		Lužická Nisa a ostatní přítoky Odry				Morava a přítoky Váhu				Dyje			
		N	%>MS	Max	Lokalita	N	%>MS	Max	Lokalita	N	%>MS	Max	Lokalita
kadmium	mg·kg^{-1}	2	100	3,5	Lužická Nisa - Hrádek n. N.	10	100	1,1	Morava - Blatec	16	100	5	Svitava - Bílovice
nikl	mg·kg^{-1}	2	100	59	Lužická Nisa - Hrádek n. N.	10	100	64	Olšava - Havřice	16	100	83	Jihlava - Ivančice
olovo	mg·kg^{-1}	2	100	127	Lužická Nisa - Hrádek n. N.	10	100	36	Morava - Blatec	16	100	51	Svitava - Bílovice
rtuť	mg·kg^{-1}	2	100	0,8	Lužická Nisa - Hrádek n. N.	10	100	0,2	Olšava - Havřice	16	100	0,3	Svitava - Bílovice
chloralkany C10-C13		2	100	500	Lužická Nisa - Hrádek n. N.	10	40,0	170	Morava - Lanžhot	16	25	310	Svitava - Bílovice
hexachlorbutadien	µg·kg^{-1}	2	0	< 1	-	10	0	< 1	-	16	0	< 1	-
alfa-HCH	µg·kg^{-1}	2	0	< 1	-	10	0	< 1	-	16	0	< 1	-
beta-HCH	µg·kg^{-1}	2	0	< 1	-	10	0	< 1	-	16	0	< 1	-
gama-HCH	µg·kg^{-1}	2	0	< 1	-	10	0	< 1	-	16	6,25	2,5	Svitava - Bílovice
antracen	µg·kg^{-1}	2	100	132	Lužická Nisa - Hrádek n. N.	10	100	108	Morava - Blatec	16	100	230	Svitava - Bílovice
fluoranthen	µg·kg^{-1}	2	100	2 010	Lužická Nisa - Hrádek n. N.	10	100	2 630	Morava - Blatec	16	100	4 210	Svitava - Bílovice
benzo[a]pyren	µg·kg^{-1}	2	100	957	Lužická Nisa - Hrádek n. N.	10	100	1 230	Morava - Blatec	16	100	2 200	Svitava - Bílovice
benzo[b]fluoranthen	µg·kg^{-1}	2	100	825	Lužická Nisa - Hrádek n. N.	10	100	975	Morava - Blatec	16	100	1 870	Svitava - Bílovice
benzo[ghi]perylen	µg·kg^{-1}	2	100	630	Lužická Nisa - Hrádek n. N.	10	100	713	Morava - Blatec	16	100	1 580	Svitava - Bílovice
benzo[k]fluoranthen	µg·kg^{-1}	2	100	481	Lužická Nisa - Hrádek n. N.	10	100	601	Morava - Blatec	16	100	1 100	Svitava - Bílovice
indeno[1,2,3-cd]pyren	µg·kg^{-1}	2	100	507	Lužická Nisa - Hrádek n. N.	10	100	633	Bečva - Troubky	16	100	1 400	Svitava - Bílovice
heptachlor	µg·kg^{-1}	2	0	< 1	-	10	0	< 1	-	16	0	< 1	-
trifluralin	µg·kg^{-1}	2	0	< 2	-	10	0	< 2	-	16	0	< 2	-
pentachlorbenzen	µg·kg^{-1}	2	0	< 1	-	10	0	< 1	-	16	0	< 1	-
hexachlorbenzen	µg·kg^{-1}	8	100	1,3	Lužická Nisa - Hrádek n. N.	10	10	1,5	Morava - Blatec	16	12,5	4,1	Svitava - Bílovice

* hodnota meze stanovitelnosti (MS)

Tab. 3.4.4 Přehled počtu analyzovaných vzorků, počtu hodnot nad MS a nejvyšších změřených koncentrací v jednotlivých dílčích povodích v sedimentovatelných plaveninách

Sedimentovatelné plaveniny		Horní a střední Labe				Horní Vltava				Berounka			
		N	%>MS	Max	Lokalita	N	%>MS	Max	Lokalita	N	%>MS	Max	Lokalita
kadmium	$mg \cdot kg^{-1}$	6	100	2,5	Labe - Obříství				neměřeno	6	100	6,9	Berounka - Srbsko
nikl	$mg \cdot kg^{-1}$	6	100	61	Labe - Obříství				neměřeno	6	100	53	Berounka - Srbsko
olovo	$mg \cdot kg^{-1}$	6	100	63	Labe - Obříství				neměřeno	6	100	173	Berounka - Srbsko
rtuť	$mg \cdot kg^{-1}$	6	100	0,6	Labe - Obříství				neměřeno	6	100	0,5	Berounka - Srbsko
tributylcín	$\mu g \cdot kg^{-1}$	6	83,3	5	Labe - Obříství				neměřeno	6	0	< 2	-
PFOS	$\mu g \cdot kg^{-1}$	6	100	8,5	Labe - Obříství				neměřeno	6	100	1,9	Berounka - Srbsko
chloralkany C10-C13	$\mu g \cdot kg^{-1}$	6	66,7	180	Labe - Obříství				neměřeno	6	66,7	120	Berounka - Srbsko
Hexachlorbutadien	$\mu g \cdot kg^{-1}$	6	0	< 1	-				neměřeno	6	0	< 1	-
alfa-HCH	$\mu g \cdot kg^{-1}$	6	0	< 1	-				neměřeno	6	0	< 1	-
beta-HCH	$\mu g \cdot kg^{-1}$	6	0	< 1	-				neměřeno	6	0	< 1	-
gama-HCH	$\mu g \cdot kg^{-1}$	6	0	< 1	-				neměřeno	6	0	< 1	-
antracen	$\mu g \cdot kg^{-1}$	6	100	79	Labe - Obříství				neměřeno	6	100	27	Berounka - Srbsko
fluoranthen	$\mu g \cdot kg^{-1}$	6	100	887	Labe - Obříství				neměřeno	6	100	461	Berounka - Srbsko
benzo[a]pyren	$\mu g \cdot kg^{-1}$	6	100	373	Labe - Obříství				neměřeno	6	100	285	Berounka - Srbsko
benzo[b]fluoranthen	$\mu g \cdot kg^{-1}$	6	100	339	Labe - Obříství				neměřeno	6	100	240	Berounka - Srbsko
benzo[ghi]perylen	$\mu g \cdot kg^{-1}$	6	100	238	Labe - Obříství				neměřeno	6	100	166	Berounka - Srbsko
benzo[k]fluoranthen	$\mu g \cdot kg^{-1}$	6	100	229	Labe - Obříství				neměřeno	6	100	137	Berounka - Srbsko
indeno[1,2,3-cd]pyren	$\mu g \cdot kg^{-1}$	6	100	208	Labe - Obříství				neměřeno	6	100	147	Berounka - Srbsko
4–nonylfenol	$\mu g \cdot kg^{-1}$	6	0	< 20	-				neměřeno	6	0	< 20	-
pentachlorfenol	$\mu g \cdot kg^{-1}$	6	0	< 20	-				neměřeno	6	0	< 20	-
heptachlor	$\mu g \cdot kg^{-1}$	6	0	< 1	-				neměřeno	6	0	< 1	-
trifluralin	$\mu g \cdot kg^{-1}$	6	0	< 2	-				neměřeno	6	0	< 2	-
DEHP	$\mu g \cdot kg^{-1}$	6	100	1 270	Labe - Obříství				neměřeno	6	100	1 550	Berounka - Srbsko
dikofol	$\mu g \cdot kg^{-1}$	6	0	< 5	-				neměřeno	6	0	< 5	-
pentachlorbenzen	$\mu g \cdot kg^{-1}$	6	33,3	1,9	Labe - Obříství				neměřeno	6	0	< 1	-
hexachlorbenzen	$\mu g \cdot kg^{-1}$	6	100	21	Labe - Obříství				neměřeno	6	0	< 1	-
hexabromcyklododekan	$\mu g \cdot kg^{-1}$	6	50,0	26	Labe - Obříství				neměřeno	6	16,7	39	Berounka - Srbsko
suma PBDE	$\mu g \cdot kg^{-1}$	6	100	0	Labe - Obříství				neměřeno	6	100	0	Berounka - Srbsko

* hodnota meze stanovitelnosti (MS)

Tab. 3.4.5 Přehled počtu analyzovaných vzorků, počtu hodnot nad MS a nejvyšších změřených koncentrací v jednotlivých dílčích povodích v sedimentovatelných plaveninách

Sedimentovatelné plaveniny		Dolní Vltava				Ohře, Dolní Labe a ostatní přítoky Labe				Horní Odra			
		N	%>MS	Max	Lokalita	N	%>MS	Max	Lokalita	N	%>MS	Max	Lokalita
kadmium	$mg \cdot kg^{-1}$	18	100	1,8	Vltava - Zelčín	18	100	2,4	Bílina - Ústí n. L.	8	100	1	Odra - Bohumín
nikl	$mg \cdot kg^{-1}$	18	100	46	Vltava - Zelčín	18	100	84	Labe - Schmilka	8	100	38	Odra - Bohumín
olovo	$mg \cdot kg^{-1}$	18	100	73	Vltava - Zelčín	18	100	69	Labe - Schmilka	8	100	39	Odra - Bohumín
rtuť	$mg \cdot kg^{-1}$	18	100	0,6	Vltava - Zelčín	18	4	1,3	Bílina - Ústí n. L.	8	75	0,4	Odra - Bohumín
tributylcín	$\mu g \cdot kg^{-1}$	6	0	< 2	-	18	22,2	8,4	Labe - Schmilka	8	0	< 2	-
PFOS	$\mu g \cdot kg^{-1}$	18	77,7	2,4	Vltava - Zelčín	18	100	22	Bílina - Ústí n. L.	8	25	0,9	Olše - ústí
chloralkany C_{10}-C_{13}	$\mu g \cdot kg^{-1}$	18	16,6	190	Vltava - Zelčín	18	77,7	850	Bílina - Ústí n. L.	8	37,5	340	Odra - Bohumín
hexachlorbutadien	$\mu g \cdot kg^{-1}$	18	0	< 1	-	18	55,5	18	Bílina - Ústí n. L.	8	0	< 1	-
alfa-HCH	$\mu g \cdot kg^{-1}$	18	0	< 1	-	18	0	< 1	-	8	0	< 1	-
beta-HCH	$\mu g \cdot kg^{-1}$	18	0	< 1	-	18	0	< 1	-	8	0	< 1	-
gama-HCH	$\mu g \cdot kg^{-1}$	18	0	< 1	-	18	0	< 1	-	8	0	< 1	-
antracen	$\mu g \cdot kg^{-1}$	18	100	190	Vltava - Zelčín	18	100	84	Bílina - Ústí n. L.	8	100	1 600	Olše - ústí
fluoranthen	$\mu g \cdot kg^{-1}$	18	100	1 100	Vltava - Zelčín	18	100	1 230	Bílina - Ústí n. L.	8	100	6 090	Olše - ústí
benzo[a]pyren	$\mu g \cdot kg^{-1}$	18	100	470	Vltava - Zelčín	18	100	485	Bílina - Ústí n. L.	8	100	1 970	Olše - ústí
benzo[b]fluoranthen	$\mu g \cdot kg^{-1}$	18	100	500	Vltava - Zelčín	18	100	459	Bílina - Ústí n. L.	8	100	1 850	Olše - ústí
benzo[ghi]perylen	$\mu g \cdot kg^{-1}$	18	100	280	Vltava - Zelčín	18	100	347	Bílina - Ústí n. L.	8	100	1 060	Olše - ústí
benzo[k]fluoranthen	$\mu g \cdot kg^{-1}$	18	100	280	Vltava - Zelčín	18	100	278	Bílina - Ústí n. L.	8	100	1 270	Olše - ústí
indeno[1,2,3-cd]pyren	$\mu g \cdot kg^{-1}$	18	100	250	Vltava - Zelčín	18	100	366	Bílina - Ústí n. L.	8	100	1 150	Olše - ústí
4–nonylfenol	$\mu g \cdot kg^{-1}$	18	0	< 20	-	18	0	< 20	-	8	0	< 20	-
pentachlorfenol	$\mu g \cdot kg^{-1}$	18	0	< 20	-	18	0	< 20	-	8	0	< 20	-
heptachlor	$\mu g \cdot kg^{-1}$	18	0	< 1	-	18	0	< 1	-	8	0	< 1	-
trifluralin	$\mu g \cdot kg^{-1}$	18	0	< 10	-	18	0	< 2	-	8	0	< 2	-
DEHP	$\mu g \cdot kg^{-1}$	18	100	2 170	Vltava - Zelčín	18	100	5 520	Bílina - Ústí n. L.	8	100	1 640	Odra - Bohumín
dikofol	$\mu g \cdot kg^{-1}$	18	0	< 5	-	18	0	< 5	-	8	0	< 5	-
pentachlorbenzen	$\mu g \cdot kg^{-1}$	18	0	< 1	-	18	55,5	5,2	Bílina - Ústí n. L.	8	0	< 1	-
hexachlorbenzen	$\mu g \cdot kg^{-1}$	18	77,7	2,5	Vltava - Zelčín	18	72,2	350	Bílina - Ústí n. L.	8	0	< 1	-
hexabromcyklododekan	$\mu g \cdot kg^{-1}$	18	100	390	Vltava - Zelčín	18	72,2	39	Bílina - Ústí n. L.	8	0	< 10	-
suma PBDE	$\mu g \cdot kg^{-1}$	18	100	0	Vltava - Zelčín	18	100	1,4	Bílina - Ústí n. L.	8	100	0	Olše - ústí

* hodnota meze stanovitelnosti (MS)

Tab. 3.4.6 Přehled počtu analyzovaných vzorků, počtu hodnot nad MS a nejvyšších změřených koncentrací v jednotlivých dílčích povodích v sedimentovatelných plaveninách

Sedimentovatelné plaveniny		Lužická Nisa a ostatní přítoky Odry				Morava a přítoky Váhu				Dyje			
		N	%>MS	Max	Lokalita	N	%>MS	Max	Lokalita	N	%>MS	Max	Lokalita
kadmium	$mg \cdot kg^{-1}$	6	100	3,2	Lužická Nisa - Hrádek n. N.	17	100	1,2	Morava - Blatec	8	100	1,5	Svratka - Židlochovice
nikl	$mg \cdot kg^{-1}$	6	100	54	Lužická Nisa - Hrádek n. N.	17	100	54	Morava - Lanžhot	8	100	59	Dyje - Pohansko
olovo	$mg \cdot kg^{-1}$	6	100	113	Lužická Nisa - Hrádek n. N.	17	100	41	Morava - Blatec	8	100	45	Svratka - Židlochovice
rtuť	$mg \cdot kg^{-1}$	6	100	0,7	Lužická Nisa - Hrádek n. N.	17	100	0,3	Morava - Blatec	8	100	0,9	Svratka - Židlochovice
tributylcín	$\mu g \cdot kg^{-1}$	6	66,7	4,4	Lužická Nisa - Hrádek n. N.	17	11,8	61	Bečva - Troubky	8	75	5,2	Svratka - Židlochovice
PFOS	$\mu g \cdot kg^{-1}$	6	100	7,2	Lužická Nisa - Hrádek n. N.	17	76,5	3,2	Bečva - Troubky	8	25,0	1,3	Dyje - Pohansko
chloralkany C_{10}-C_{13}	$\mu g \cdot kg^{-1}$	6	100	1 200	Lužická Nisa - Hrádek n. N.	17	17,6	100	Morava - Blatec	8	50,0	130	Svratka - Židlochovice
hexachlorbutadien	$\mu g \cdot kg^{-1}$	6	0	< 1	-	17	0	< 1	-	8	0	< 1	-
alfa-HCH	$\mu g \cdot kg^{-1}$	6	0	< 1	-	17	0	< 1	-	8	0	< 1	-
beta-HCH	$\mu g \cdot kg^{-1}$	6	0	< 1	-	17	0	< 1	-	8	0	< 1	-
gama-HCH	$\mu g \cdot kg^{-1}$	6	0	< 1	-	17	0	< 1	-	8	0	< 1	-
antracen	$\mu g \cdot kg^{-1}$	6	100	341	Lužická Nisa - Hrádek n. N.	17	100	107	Bečva - Troubky	8	100	203	Svratka - Židlochovice
fluoranthen	$\mu g \cdot kg^{-1}$	6	100	2 840	Lužická Nisa - Hrádek n. N.	17	100	2 370	Morava - Blatec	8	100	2 660	Svratka - Židlochovice
benzo[a]pyren	$\mu g \cdot kg^{-1}$	6	100	1 100	Lužická Nisa - Hrádek n. N.	17	100	886	Morava - Blatec	8	100	944	Svratka - Židlochovice
benzo[b]fluoranthen	$\mu g \cdot kg^{-1}$	6	100	1 040	Lužická Nisa - Hrádek n. N.	17	100	904	Morava - Blatec	8	100	990	Svratka - Židlochovice
benzo[ghi]perylen	$\mu g \cdot kg^{-1}$	6	100	691	Lužická Nisa - Hrádek n. N.	17	100	697	Morava - Blatec	8	100	643	Svratka - Židlochovice
benzo[k]fluoranthen	$\mu g \cdot kg^{-1}$	6	100	640	Lužická Nisa - Hrádek n. N.	17	100	523	Morava - Blatec	8	100	599	Svratka - Židlochovice
indeno[1,2,3-cd]pyren	$\mu g \cdot kg^{-1}$	6	100	655	Lužická Nisa - Hrádek n. N.	17	100	624	Morava - Blatec	8	100	726	Svratka - Židlochovice
4-nonylfenol	$\mu g \cdot kg^{-1}$	6	0	< 20	-	17	0	< 20	-	8	0	< 20	-
pentachlorfenol	$\mu g \cdot kg^{-1}$	6	0	< 20	-	17	0	< 20	-	8	0	< 20	-
heptachlor	$\mu g \cdot kg^{-1}$	6	0	< 1	-	17	0	< 1	-	8	0	< 1	-
trifluralin	$\mu g \cdot kg^{-1}$	6	0	< 2	-	17	0	< 2	-	8	0	< 2	-
DEHP	$\mu g \cdot kg^{-1}$	6	100	7 410	Lužická Nisa - Hrádek n. N.	17	100	2 740	Morava - Lanžhot	8	100	1 260	Svratka - Židlochovice
dikofol	$\mu g \cdot kg^{-1}$	6	0	< 1	-	17	0	< 1	-	8	0	< 1	-
pentachlorbenzen	$\mu g \cdot kg^{-1}$	6	83,3	5,8	Lužická Nisa - Hrádek n. N.	17	17,6	1,3	Bečva - Troubky	8	87,5	3,6	Svratka - Židlochovice
hexachlorbenzen	$\mu g \cdot kg^{-1}$	6	100	88	Lužická Nisa - Hrádek n. N.	17	0,0	< 10	-	8	37,5	23	Svratka - Židlochovice
hexabromcyklododekan	$\mu g \cdot kg^{-1}$	6	100	2,4	Lužická Nisa - Hrádek n. N.	17	100	0	Morava - Lanžhot	8	100	2,2	Svratka - Židlochovice
suma PBDE	$\mu g \cdot kg^{-1}$	6	100	3,2	Lužická Nisa - Hrádek n. N.	17	100	1,2	Morava - Blatec	8	100	1,5	Svratka - Židlochovice

* hodnota meze stanovitelnosti (MS)

Tab. 3.4.7 Přehled počtu analyzovaných vzorků, počtu hodnot nad MS a nejvyšších změřených koncentrací v jednotlivých dílčích povodích v sedimentech

Sedimenty		Horní a střední Labe				Horní Vltava				Berounka			
		N	%>MS	Max	Lokalita	N	%>MS	Max	Lokalita	N	%>MS	Max	Lokalita
kadmium	$mg \cdot kg^{-1}$	16	100	2.8	Jizera - Předměřice	12	100	1.3	Vltava - Březí	6	100	7.1	Berounka - Srbsko
nikl	$mg \cdot kg^{-1}$	18	100	59	Labe - Lysá n. L.	12	100	62	Vltava - Hluboká n. Vlt.	6	100	67	Berounka - Bukovec
olovo	$mg \cdot kg^{-1}$	36	100	90	Jizera - Předměřice	24	100	62	Vltava - Březí	12	100	340	Mže - Plzeň Roudná
rtuť	$mg \cdot kg^{-1}$	18	100	0,7	Labe - Valy	12	100	0,4	Lužnice – Bechyně	6	100	0,5	Berounka - Srbsko
tributylcín	$\mu g \cdot kg^{-1}$	4	25	2,5	Labe - Litoměřice	6	0	< 2	-	4	0	< 2	-
PFOS	$\mu g \cdot kg^{-1}$	14	14,3	0,7	Labe - Litoměřice	12	16,7	1	Lužnice - Veselí n.L.	6	16,7	0,9	Berounka - Srbsko
chloralkany C_{10}-C_{13}	$\mu g \cdot kg^{-1}$	18	16,7	240	Labe - Litoměřice	12	0	< 200	-	6	50,0	140	Berounka - Bukovec
hexachlorbutadien	$\mu g \cdot kg^{-1}$	16	0	< 1	-	12	0	< 1	-	6	0	< 1	-
alfa-HCH	$\mu g \cdot kg^{-1}$	18	0	< 1	-	12	0	< 1	-	6	0	< 1	-
beta-HCH	$\mu g \cdot kg^{-1}$	18	0	< 1	-	12	0	< 1	-	6	0	< 1	-
gama-HCH	$\mu g \cdot kg^{-1}$	18	0	< 1	-	12	0	< 1	-	6	0	< 1	-
antracen	$\mu g \cdot kg^{-1}$	18	83,3	143	Labe - Debrné	12	100	110	Otava – Topělec	6	100	170	Mže - Plzeň Roudná
fluoranthen	$\mu g \cdot kg^{-1}$	17	100	1 620	Labe - Hradec Králové	12	100	1 080	Vltava - Boršov n.Vltavou (Březí)	6	100	1 470	Berounka - Bukovec
benzo[a]pyren	$\mu g \cdot kg^{-1}$	17	94,1	455	Labe - Hradec Králové	12	100	429	Vltava – Březí	6	100	553	Berounka - Bukovec
benzo[b]fluoranthen	$\mu g \cdot kg^{-1}$	17	94,1	483	Labe - Hradec Králové	12	100	440	Otava – Topělec	6	100	670	Berounka - Bukovec
benzo[ghi]perylen	$\mu g \cdot kg^{-1}$	17	94,1	314	Labe - Hradec Králové	12	100	270	Otava – Topělec	6	100	463	Berounka - Bukovec
benzo[k]fluoranthen	$\mu g \cdot kg^{-1}$	17	94,1	314	Labe - Hradec Králové	12	100	220	Vltava – Březí	6	100	387	Berounka - Bukovec
indeno[1,2,3-cd]pyren	$\mu g \cdot kg^{-1}$	17	94,1	307	Labe - Hradec Králové	12	100	300	Otava – Topělec	6	100	381	Berounka - Bukovec
4–nonylfenol	$\mu g \cdot kg^{-1}$	6	0	< 20	-	2	0	< 20	-	2	0	< 20	-
pentachlorfenol	$\mu g \cdot kg^{-1}$	4	0	< 20	-	2	0	< 20	-	2	0	< 20	-
heptachlor	$\mu g \cdot kg^{-1}$	16	0	< 1	-	12	0	< 1	-	6	0	< 1	-
trifluralin	$\mu g \cdot kg^{-1}$	18	0	< 2	-	12	0	< 10	-	6	0	< 10	-
DEHP	$\mu g \cdot kg^{-1}$	18	38,9	609	Labe - Hradec Králové	12	41,7	726	Vltava – Březí	6	66,7	689	Berounka - Bukovec
dikofol	$\mu g \cdot kg^{-1}$	2	0	< 5	-	12	0	< 5	-	6	0	< 5	-
pentachlorbenzen	$\mu g \cdot kg^{-1}$	12	16,7	1,4	Labe - Litoměřice	12	0	< 1	-	6	0	< 1	-
hexachlorbenzen	$\mu g \cdot kg^{-1}$	18	22,2	42	Labe - Litoměřice	12	0	< 1	-	6	33,3	3,5	Mže - Plzeň Roudná
hexabromcyklododekan	$\mu g \cdot kg^{-1}$	18	16,7	31	Labe - Hradec Králové	12	0	< 10	-	6	50,0	66	Berounka - Bukovec
suma PBDE	$\mu g \cdot kg^{-1}$	18	100	0	Orlice - Nepasice	12	100	0	Vltava - Hluboká n. Vlt.	6	100	0	Mže - Plzeň Roudná
suma dioxinů	$\mu g \cdot kg^{-1}$	1	100	0,101	Labe - Hradec Králové	1	100	0,76	Lužnice - Veselí n.L.	1	100	0,13	Berounka - Bukovec

* hodnota meze stanovitelnosti (MS)

Tab. 3.4.8 Přehled počtu analyzovaných vzorků, počtu hodnot nad MS a nejvyšších změřených koncentrací v jednotlivých dílčích povodích v sedimentech

Sedimenty		Dolní Vltava				Ohře, Dolní Labe a ostatní přítoky Labe				Horní Odra			
		N	%>MS	Max	Lokalita	N	%>MS	Max	Lokalita	N	%>MS	Max	Lokalita
kadmium	$mg \cdot kg^{-1}$	10	100	2.2	Sázava - Zruč n.Sáz,	10	80	2.7	Labe - Prostřední Žleb	10	100	1.31	Olše - ústí
nikl	$mg \cdot kg^{-1}$	10	100	62	Vltava - Vrané n.Vltavou	10	100	89,7	Bílina - Ústí n. L.	10	100	40,7	Olše - ústí
olovo	$mg \cdot kg^{-1}$	20	100	163	Vltava - Vrané n.Vltavou	20	90	107	Bílina - Ústí n. L.	20	100	44,1	Olše - ústí
rtuť	$mg \cdot kg^{-1}$	10	100	0,6	Vltava - Zelčín	10	100	1,09	Bílina - Ústí n. L.	10	100	0,5	Odra - Bohumín
tributylcín	$\mu g \cdot kg^{-1}$	4	0	< 2	-	6	16,7	2,2	Labe - Prostřední Žleb	2	0	< 2	-
PFOS	$\mu g \cdot kg^{-1}$	4	25	0,5	Sázava - Poříčí n.Sáz.	11	54,5	2,2	Bílina - Ústí n. L.	6	50,0	1	Olše - ústí
chloralkany C_{10}-C_{13}	$\mu g \cdot kg^{-1}$	10	10	72	Sázava - Zruč n.Sáz.	2	50,0	53	Labe - Prostřední Žleb	10	30,0	260	Odra - Bohumín
hexachlorbutadien	$\mu g \cdot kg^{-1}$	10	0	< 1	-	10	20,0	23	Ploučnice - Březiny	10	0	< 20	-
alfa-HCH	$\mu g \cdot kg^{-1}$	10	0	< 1	-	10	0	< 1	-	10	0	< 20	-
beta-HCH	$\mu g \cdot kg^{-1}$	10	0	< 1	-	10	0	< 1	-	10	0	< 20	-
gama-HCH	$\mu g \cdot kg^{-1}$	10	0	< 1	-	10	0	< 1	-	10	0	< 20	-
antracen	$\mu g \cdot kg^{-1}$	10	100	126	Sázava - Poříčí n.Sáz.	10	70	4 700	Ploučnice - Březiny	10	80	2 400	Odra - Bohumín
fluoranthen	$\mu g \cdot kg^{-1}$	10	100	730	Vltava - Zelčín	10	100	22 000	Ploučnice - Březiny	10	90	10 000	Odra - Bohumín
benzo[a]pyren	$\mu g \cdot kg^{-1}$	10	100	276	Vltava - Zelčín	10	80	6 500	Ploučnice - Březiny	10	90	2600	Odra - Bohumín
benzo[b]fluoranthen	$\mu g \cdot kg^{-1}$	10	100	270	Vltava - Zelčín	10	70	6 800	Ploučnice - Březiny	10	100	3 400	Odra - Bohumín
benzo[ghi]perylen	$\mu g \cdot kg^{-1}$	10	100	169	Vltava - Zelčín	10	90	4 400	Ploučnice - Březiny	10	90	2 300	Odra - Bohumín
benzo[k]fluoranthen	$\mu g \cdot kg^{-1}$	10	100	181	Vltava - Zelčín	10	70	4 600	Ploučnice - Březiny	10	100	1 400	Odra - Bohumín
indeno[1,2,3-cd]pyren	$\mu g \cdot kg^{-1}$	10	100	157	Vltava - Zelčín	10	70	2 400	Ploučnice - Březiny	10	80	2 800	Odra - Bohumín
4–nonylfenol	$\mu g \cdot kg^{-1}$	0			neměřeno	8	0	< 60	-	0			neměřeno
pentachlorfenol	$\mu g \cdot kg^{-1}$	0			neměřeno	8	0	< 20	-	0			neměřeno
heptachlor	$\mu g \cdot kg^{-1}$	10	0	< 1	-	2	0	< 1	-	10	0	< 20	-
trifluralin	$\mu g \cdot kg^{-1}$	10	0	< 2	-	10	0	< 2	-	10	0	< 20	-
DEHP	$\mu g \cdot kg^{-1}$	10	70	776	Sázava - Zruč n.Sáz.	10	50	1 700	Ohře - Želina	10	80,0	3 770	Odra - Bohumín
dikofol	$\mu g \cdot kg^{-1}$	10	0	< 5	-	2	0	< 5	-	10	0	< 5	-
pentachlorbenzen	$\mu g \cdot kg^{-1}$	10	0	< 1	-	10	0	< 1	-	10	0	< 20	-
hexachlorbenzen	$\mu g \cdot kg^{-1}$	10	10	1,1	Sázava - Zruč n.Sáz.	2	100	15	Labe - Prostřední Žleb	10	0	< 20	-
hexabromcyklododekan	$\mu g \cdot kg^{-1}$	10	20	39	Vltava - Zelčín	10	10,0	13	Ohře - Želina	10	10	67	Opava - Třebovice
suma PBDE	$\mu g \cdot kg^{-1}$	10	100	0,7	Vltava - Vrané n.Vltavou	10	100	0,6	Labe - Prostřední Žleb	10	100	1,6	Ostravice - Ostrava
suma dioxinů	$\mu g \cdot kg^{-1}$	1	100	0,0405	Sázava - Zruč n.Sáz.	1	100	0,2	Ohře - Želina	1	100	0,2	Olše - ústí

* hodnota meze stanovitelnosti (MS)

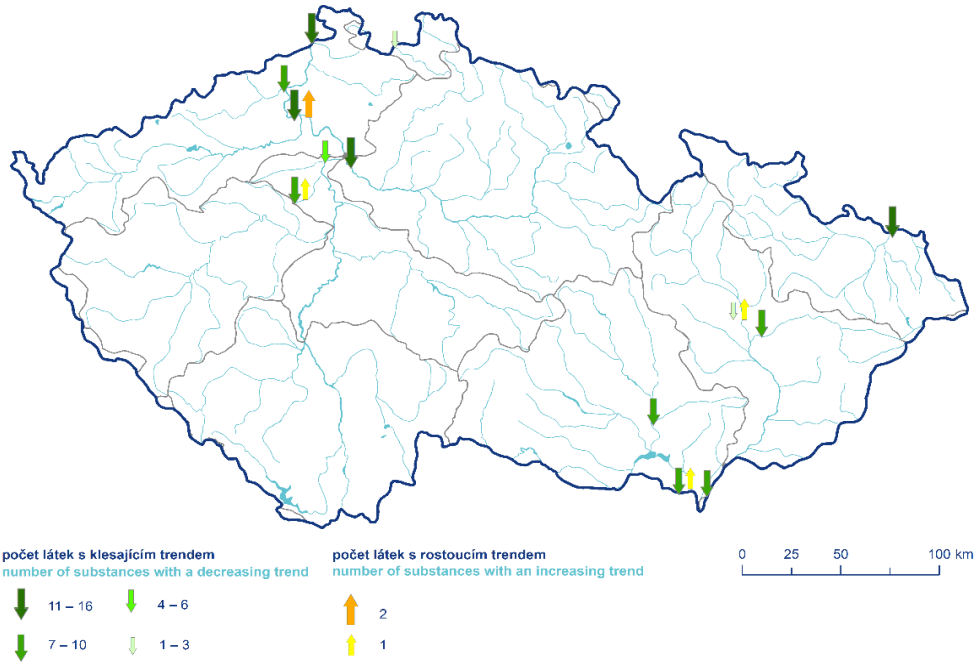
Tab. 3.4.9 Přehled počtu analyzovaných vzorků, počtu hodnot nad MS a nejvyšších změřených koncentrací v jednotlivých dílčích povodích v sedimentech

Sedimenty		Lužická Nisa a ostatní přítoky Odry				Morava a přítoky Váhu				Dyje			
		N	%>MS	Max	Lokalita	N	%>MS	Max	Lokalita	N	%>MS	Max	Lokalita
kadmium	mg·kg^{-1}	2	100	3.7	Lužická Nisa - Hrádek n. N.	14	100	1.3	Morava - Blatec	14	100	1.6	Svratka - Židlochovice
nikl	mg·kg^{-1}	2	100	66	Lužická Nisa - Hrádek n. N.	14	100	79	Olšava - Havřice	14	100	95	Jihlava - Ivančice
olovo	mg·kg^{-1}	4	100	161	Lužická Nisa - Hrádek n. N.	28	100	42	Olšava - Havřice	28	100	61,5	Svratka - Židlochovice
rtuť	mg·kg^{-1}	2	100	0,9	Lužická Nisa - Hrádek n. N.	14	100	0,5	Dřevnice - Otrokovice	14	93	0,7	Svratka - Židlochovice
tributylcín	µg·kg^{-1}	2	0	< 2	-					4	25,0	2,3	Svratka - Židlochovice
PFOS	µg·kg^{-1}	2	0	< 0.5	-	6	16,7	1	Bečva - Troubky	6	50,0	1,3	Dyje - Jevišovka
chloralkany C_{10}-C_{13}	µg·kg^{-1}	2	50	130	Lužická Nisa - Hrádek n. N.	6	16,7	80	Morava - Blatec	12	16,7	110	Svratka - Židlochovice
hexachlorbutadien	µg·kg^{-1}	2	0	< 1	-	6	0	< 1	-	12	0	< 1	-
alfa-HCH	µg·kg^{-1}	2	0	< 1	-	6	0	< 1	-	12	0	< 1	-
beta-HCH	µg·kg^{-1}	2	0	< 1	-	6	0	< 1	-	12	0	< 1	-
gama-HCH	µg·kg^{-1}	2	0	< 1	-	6	0	< 1	-	12	0	< 1	-
antracen	µg·kg^{-1}	2	100	169	Lužická Nisa - Hrádek n. N.	14	100	894	Morava - Kroměříž	14	100	874	Svratka - Židlochovice
fluoranthen	µg·kg^{-1}	2	100	1 970	Lužická Nisa - Hrádek n. N.	14	100	4 960	Morava - Kroměříž	14	100	2 690	Svratka - Židlochovice
benzo[a]pyren	µg·kg^{-1}	2	100	608	Lužická Nisa - Hrádek n. N.	14	100	2 000	Morava - Kroměříž	14	100	1 100	Svratka - Židlochovice
benzo[b]fluoranthen	µg·kg^{-1}	2	100	583	Lužická Nisa - Hrádek n. N.	14	100	1 580	Morava - Kroměříž	14	100	1 030	Svratka - Židlochovice
benzo[ghi]perylen	µg·kg^{-1}	2	100	382	Lužická Nisa - Hrádek n. N.	14	100	1030	Morava - Kroměříž	14	100	645	Svratka - Židlochovice
benzo[k]fluoranthen	µg·kg^{-1}	2	100	346	Lužická Nisa - Hrádek n. N.	14	100	1 130	Morava - Kroměříž	14	100	681	Svratka - Židlochovice
indeno[1,2,3-cd]pyren	µg·kg^{-1}	2	100	356	Lužická Nisa - Hrádek n. N.	14	100	955	Morava - Kroměříž	14	100	668	Svratka - Židlochovice
4–nonylfenol	µg·kg^{-1}	0			neměřeno	0			neměřeno	0			neměřeno
pentachlorfenol	µg·kg^{-1}	2	0	< 20	-	0			neměřeno	0			neměřeno
heptachlor	µg·kg^{-1}	2	0	< 1	-	6	0	< 1	-	12	0	< 1	-
trifluralin	µg·kg^{-1}	2	0	< 2	-	6	0	< 2	-	12	0	< 2	-
DEHP	µg·kg^{-1}	2	100	327	Lužická Nisa - Hrádek n. N.	6	66,7	1 360	Bečva - Troubky	12	58,3	461	Svratka - Židlochovice
dikofol	µg·kg^{-1}	0			neměřeno	6	0	< 5	-	12	0	< 5	-
pentachlorbenzen	µg·kg^{-1}	2	0	< 1	-	6	0	< 1	-	12	0	< 1	-
hexachlorbenzen	µg·kg^{-1}	2	0	< 1	-	6	0	< 1	-	12	8,3	1,3	Svratka - Židlochovice
hexabromcyklododekan	µg·kg^{-1}	2	0	< 10	-	6	16,7	14	Morava - Blatec	12	8,3	20	Svratka - Židlochovice
suma PBDE	µg·kg^{-1}	2	100	0	Lužická Nisa - Hrádek n. N.	6	100	0	Morava - Lanžhot	12	100	0	Svratka - Židlochovice
suma dioxinů	µg·kg^{-1}	1	100	0,0167	Lužická Nisa - Hrádek n. N.	1	100	0,2	Morava - Blatec	1	100	0,1	Dyje - Jevišovka

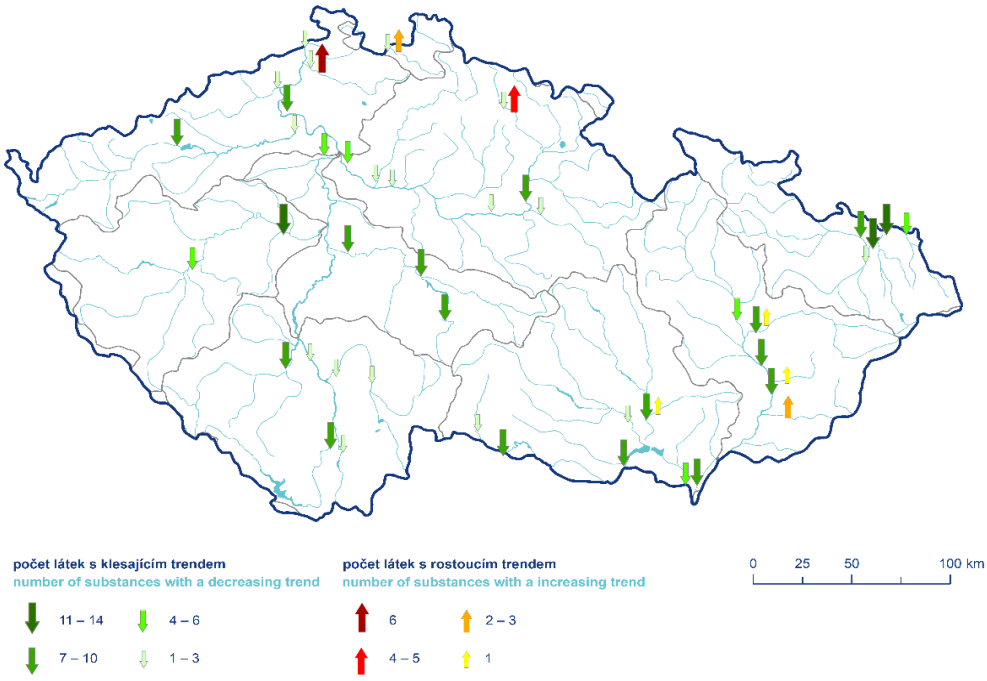
* hodnota meze stanovitelnosti (MS)

Hodnocení trendu dat

Zhodnocení koncentrace vybraných cizorodých látek v sedimentech a sedimentovatelných plaveninách napříč sledovanými lokalitami bylo provedeno pomocí vyhodnocení monolitického trendu prostřednictvím Mann–Kendallova testu. Sledované organické ukazatele byly před vlastní statistickou analýzou normovány na množství organického uhlíku obsaženého ve vzorcích. S ohledem na skutečnost, že nebezpečné látky se sorbují zejména na jemnou anorganickou i organickou frakci, jež se následně stávají více biodostupné a snadněji pronikají do vyšších trofických úrovní. Statistické analýzy prokázaly významně rostoucí trend na sledovaných lokalitách u řady vybraných ukazatelů znečištění (prioritní nebezpečné látky) mezi sledovanými matricemi (sedimentovatelné plaveniny a sedimenty) v roce 2025. Významně rostoucí trend v sedimentovatelných plaveninách (**Obr. 3.4.11**) byl zaznamenán v 6 případech na 4 lokalitách u 2 nebezpečných prioritních látek: u **kadmia** (Ohře – Terezín, Dyje – Pohansko), a **rtuti** (Ohře – Terezín, Berounka – Srbsko, Morava – Blatec). V sedimentech byl zaznamenán významně rostoucí trend v 18 případech na 8 lokalitách u 12 nebezpečných prioritních látek (**Obr. 3.4.12**). Mezi látky se zaznamenaným rostoucím trendem byly: **těžké kovy** (kadmium a rtuť) a organické látky ze **skupiny polyaromatických uhlovodíků** (antracen, fluoranten, benzo[a]pyren, benzo[b]fluoranten, benzo[ghi]pyren, indeno[1,2,3-cd]pyren, benzo[k]fluoranten a sumy 5PAU), **chloralkany** a **PFOS**. Rostoucí trend u kadmia byl evidován na třech profilech, které se nacházejí v povodí Moravy (Olšava – Havřice, Dřevnice – Otrokovice a Bečva – Troubky). Signifikantně vzrůstající trend byl potvrzen, také u rtuti pouze na profilu Olšava – Havřice. U látek ze skupiny polyaromatických úhlovodíků byl vzrůstajíc trend dosažen u třech lokalit (Ploučnice – Březiny, Labe – Debrné a Lužická Nisa – Hrádek nad Nisou). Rostoucí trend u chloralkanů byl zaznamenán jen na profilu Svratka – Židlochovice. Narůstající trend u perfluorovaných sloučenin (PFOS) byl zaznamenán pouze na profilu Lužnice – Veselí nad Lužnicí. Nicméně výsledkům analýzy trendů je zapotřebí rozumět v kontextu naměřených hodnot, setrvalý nebo klesající trend nemusí nutně znamenat pozitivní zjištění, pokud koncentrace látky dosahují stále vysokých hodnot. Obdobné je to i u rostoucího trendu, který nemusí být nutně interpretován jako citelné znečištění, ale může jít o odchylku způsobenou transformací hodnot na množství organického uhlíku. Tento jev může být vzácně zaznamenán zejména u látek, které se běžně vyskytují ve velmi nízkých koncentrací.



Obr. 3.4.11 Přehled profilů se statisticky potvrzeným trendem u sledovaných prioritních látek v matrici sedimentovatelné plaveniny



Obr. 3.4.12 Přehled profilů se statisticky potvrzeným trendem u sledovaných prioritních látek v matrici sedimenty

Bilance jakosti povrchové vody – plaveniny a sedimenty za období 2023 až 2025

Hodnocení chemického stavu

Během sledovaného tříletí (2023–2025) byl u většiny sledovaných ukazatelů zaznamenán statisticky signifikantní pokles koncentrací na monitorovaných lokalitách. Počty případů se statisticky potvrzeným trendem v obou matricích (sedimentovatelné plaveniny a sedimenty) **vykazovaly mírnou meziroční variabilitu** (**Tab. 3.4.10**). **Klesající trend:** počet případů v čase kolísal u obou matric. V sedimentovatelných plaveninách bylo evidováno 106 případů (2023), po snížení na 94 (2024) se jejich počet zvýšil na 115 (2025). V sedimentech byl průběh analogický: z 228 případů (2023) klesl počet na 215 (2024) a následně stoupl na 234 (2025). **Rostoucí trend:** vývoj se u sledovaných matric lišil. V sedimentovatelných plaveninách vykazuje počet rostoucích trendů mírný pokles (z 8 případů v roce 2023 na 6 případů v letech 2024 a 2025). V sedimentech je naopak patrný znatelný nárůst – z 11 případů (2023), potažmo 10 (2024), stoupl počet v roce 2025 na 18 zaznamenaných případů.

Tab. 3.4.10 Hodnocení chemického stavu dlouhodobou analýzu trendů prioritních nebezpečných látek v sedimentech a sedimentovatelných plaveninách

Matrice	Rok	Stoupající	Klesající
		Suma	Suma
Sediment	2023	11	228
	2024	10	215
	2025	18	234
Sedimentovatelné plaveniny	2023	8	106
	2024	6	94
	2025	6	115

3.5 Bilance jakosti povrchové vody – transport plavenin

Plaveniny jsou pevné organické a anorganické částice velikosti mikronů až milimetru, transportované v říčních tocích v suspenzi. Jejich přirozeným a hlavním zdrojem jsou produkty erozních procesů v povodí toků a vlastním korytě toků. Vedlejšími zdroji plavenin jsou vypouštěné odpadní vody a další produkty antropogenní činnosti v tocích (např. úpravy toků). V letních měsících při zvýšené produkci biogenní hmoty je ve vzorcích vody s plaveninami přítomen v různé míře také fytoplankton (sinice, řasy) a při nízkých průtocích vody také zvýšený podíl bakteriálního znečištění a plísní, které pak negativně ovlivňují kvalitu vzorku a komplikují filtraci vzorků při stanovení množství nerozpuštěných látek.

Množství plavenin bylo v roce 2025 sledováno na 38 profilech, pro účely vyhodnocení byla zpracována data z 36 profilů (z důvodu nekontinuálního odběru vzorků na lokalitě Teplá Vltava – Lenora a Morava – Olomouc neproběhlo zhodnocení odtoku nerozpuštěných látek). Základním hodnoceným údajem je koncentrace plavenin c [mg·l^{-1}], udávající množství nerozpuštěných látek v konstantním objemu vody. Na základě tohoto údaje a údaje o průtoku vody Q [m^3·s^{-1}] je vypočten průtok plavenin Qpl [kg·s^{-1}], tj. množství nerozpuštěných látek protékajících profilem za jednotku času. Pro účely bilancování se vyhodnocuje odtok plavenin Gpl [t], tj. celkové množství nerozpuštěných látek transportovaných tokem v daném profilu za určitou časovou jednotku.

Transport plavenin

Množství plavenin transportovaných sledovanými vodními toky v průběhu roku dlouhodobě kolísá v závislosti na srážkoodtokových poměrech v jednotlivých povodích. Tato variabilita se následně promítá také do celkového ročního transportu plavenin. Rok 2025 byl z hlediska odtoku plavenin ve srovnání s rokem 2024 výrazně chudší a také v porovnání s dlouhodobým průměrem se jednalo o podprůměrný rok. Tomu odpovídal i celkový srážkový charakter roku. Průměrný roční úhrn srážek na území České republiky dosáhl 571 mm, což představovalo přibližně 83 % normálu období 1991–2020. Přesto se v průběhu roku vyskytlo několik regionálně významných srážkových a následně odtokových epizod, které vedly ke krátkodobému zvýšení transportu plavenin.

K prvním epizodám zvýšených denních průtoků plavenin došlo již v první polovině ledna, zejména v dílčím povodí Ohře, Dolního Labe a ostatních přítoků Labe. Dne 10. 1. byla zaznamenána roční maxima na třech sledovaných profilech: Ohře – Kadaň (2,3 kg·s^{-1}), Bílina – Ústí nad Labem (0,2 kg·s^{-1}) a Ploučnice – Děčín-Březiny (1,2 kg·s^{-1}).

Výraznější situace byly zaznamenány v průběhu března a dubna, především v dílčích povodích Moravy a Dyje. Přestože byly oba měsíce z celorepublikového pohledu srážkově podnormální, regionální srážkoodtokové epizody se na některých tocích projevily výrazným zvýšením transportu plavenin. Na Bečvě v Dluhonicích byl dne 15. 3. vyhodnocen denní průtok plavenin ve výši 38,6 kg·s^{-1} a na Moravě v Kroměříži dosáhl 21,3 kg·s^{-1}. Ročních maxim bylo v tomto období dosaženo také na dalších sedmi sledovaných profilech, většinou však v řádu jednotek kg·s^{-1}.

Další významnější období z hlediska transportu plavenin nastalo ve druhé polovině července. Červenec patřil k několika málo měsícům roku 2025, kdy celorepublikový srážkový úhrn překročil dlouhodobý normál. Zvýšený transport plavenin se projevil především v dílčím povodí Horní Odry, ale také na Moravě v Lanžhotě (32,1 kg·s^{-1}) a na Dyji v Jevišovce (0,7 kg·s^{-1}). Nejvyšší hodnoty byly zaznamenány dne 28. 7. na Odře v Bohumíně, kde denní průtok plavenin dosáhl 142,9 kg·s^{-1}, a na Olši ve Věřňovicích s hodnotou 130,4 kg·s^{-1}.

Zvýšené hodnoty průtoku plavenin byly zaznamenány rovněž v podzimním období, zejména v říjnu a listopadu. Listopad byl na území České republiky srážkově mírně nadnormální, což se na některých sledovaných tocích projevilo zvýšeným transportem plavenin. Například na profilech Odra – Bohumín, Morava – Spytihněv a Morava – Lanžhot byly v průběhu listopadu zaznamenány denní průtoky plavenin převyšující příslušné měsíční průměry.

Celkově byl rok 2025 charakteristický relativně nízkým transportem plavenin, přičemž jeho zvýšené hodnoty byly soustředěny především do několika krátkodobých regionálních srážkoodtokových epizod. Jejich průběh ukazuje, že transport plavenin je vedle celkového množství srážek významně ovlivňován také jejich intenzitou a prostorovým rozložením a následnou odtokovou odezvou jednotlivých povodí.

Z pohledu počtu zaznamenaných epizod a dosažených koncentrací plavenin byl v rámci monitorovací sítě, obdobně jako v předchozích letech, nejvýznamnější transport plavenin zaznamenán na tocích v dílčím povodí horní Odry. Významnější transport byl zaznamenán také v dílčím povodí Ohře, dolního Labe a ostatních přítoků Labe, kde byly oproti roku 2024 naměřeny vyšší koncentrace plavenin. Jako třetí nejvýznamnější oblast bylo z hlediska počtu epizod a dosažených koncentrací vyhodnoceno povodí Moravy a přítoků Váhu. Při celkovém porovnání s dlouhodobým průměrem za referenční období 1991–2020 však nedošlo k jeho překročení ani na jedné ze stanic s celoročním pozorováním. Na téměř všech sledovaných stanicích byly naopak zaznamenány hodnoty výrazně pod úrovní dlouhodobého průměru

Přehled průměrných ročních hodnot koncentrací a denních maxim na stanicích s celoročním pozorováním v jednotlivých dílčích povodích dokumentuje **Tab. 3.5.1.** Nejnižší průměrné roční koncentrace plavenin byly vyhodnoceny na Jizeře v Tuřicích–Předměřicích (8,2 $mg \cdot l^{-1}$) nebo na Labi v Hřensku (8,8 $mg \cdot l^{-1}$). Naopak nejvyšší hodnoty byly zjištěny na Svratce v Židlochovicích (41,5 $mg \cdot l^{-1}$) a na Odře v Bohumíně (27,7 $mg \cdot l^{-1}$). Maximální denní koncentrace dosáhla hodnot v rozmezí 25,6 $mg \cdot l^{-1}$ (Labe – Hřensko) a 1 382,7 $mg \cdot l^{-1}$ (Olšava – Uherský Brod).

Absolutně nejvyšší okamžitá koncentrace plavenin s hodnotou 1 382,7 $mg \cdot l^{-1}$ byla změřena dne 24. 4. 2025 na Olšavě ve stanici Uherský Brod po intenzivních přívalových deštích.

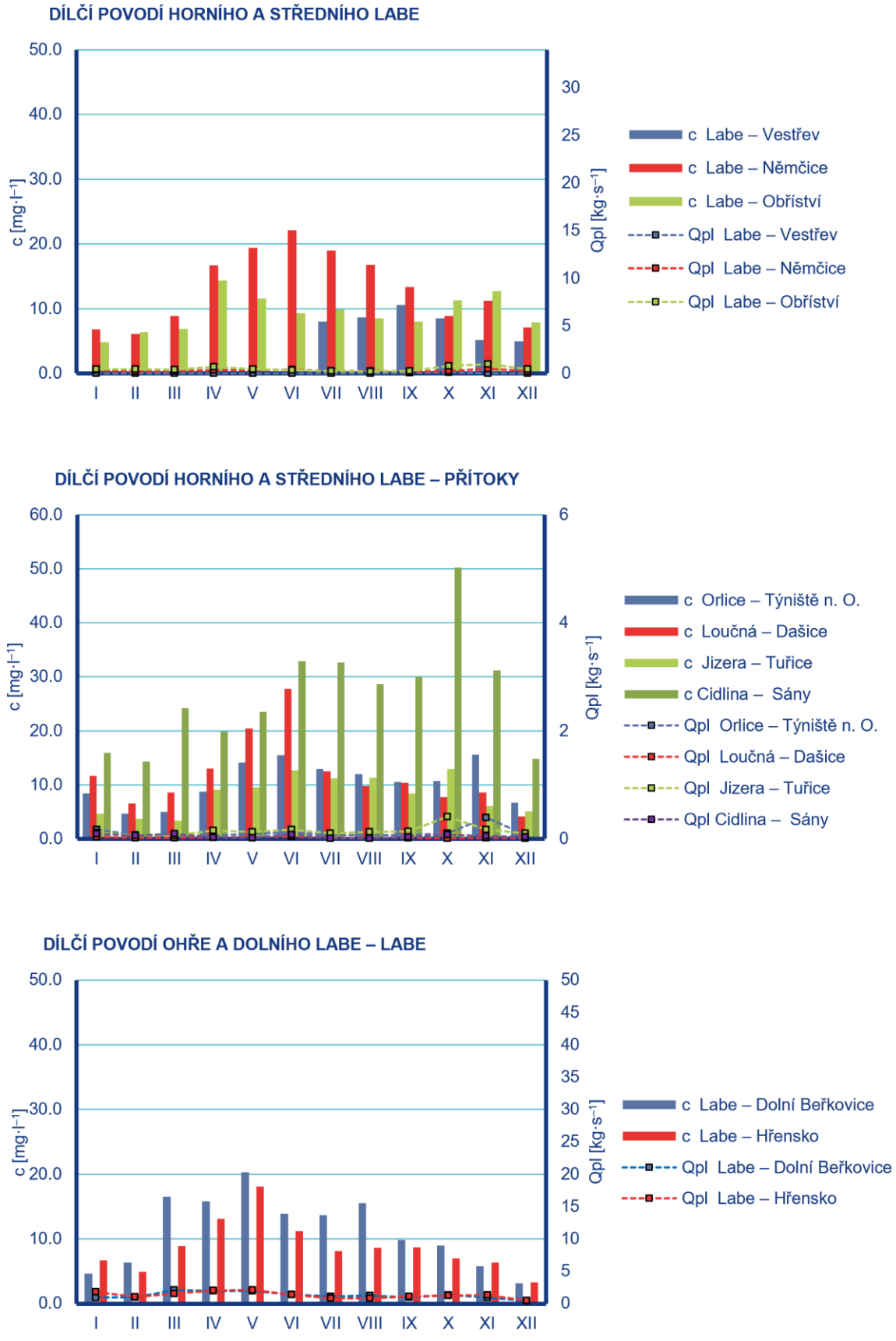
Průběh měsíčních hodnot koncentrací plavenin a průtoků plavenin v profilech jednotlivých dílčích povodí dokumentují **Obr. 3.5.1.** až **3.5.4.** Grafický přehled ročních koncentrací plavenin na sledovaných lokalitách znázorňuje mapa **Obr. 3.5.5.**

Z hlediska přípustného limitu pro obsah nerozpuštěných látek v povrchových vodách (tzv. NEK dle NV 405/2015 Sb.), který je stanoven na 20 $mg \cdot l^{-1}$ bylo vyhodnoceno dle ročních průměrů koncentrací plavenin překročení limitu pouze na 6 z 36 sledovaných profilů. Oproti roku 2024, kdy tuto hodnotu překročilo 21 profilů jde o výrazný pokles. Nejnižší dosažený roční průměr byl naměřen na Labi ve Vestřevi (7,5 $mg \cdot l^{-1}$). Hranice přípustného limitu (20 $mg \cdot l^{-1}$) byla naměřena například na Olšavě v Uherském Brodu. Na druhou stranu nejvyšší průměrná hodnota byla naměřena na lokalitě v dílčím povodí Moravy, a to na řece Svratce v Židlochovicích (41,5 $mg \cdot l^{-1}$) – tyto hodnoty byly ovlivněny zejména antropogenní činností na toku (oprava jezu v Rajhradicích cca 6.5 km nad stanicí).

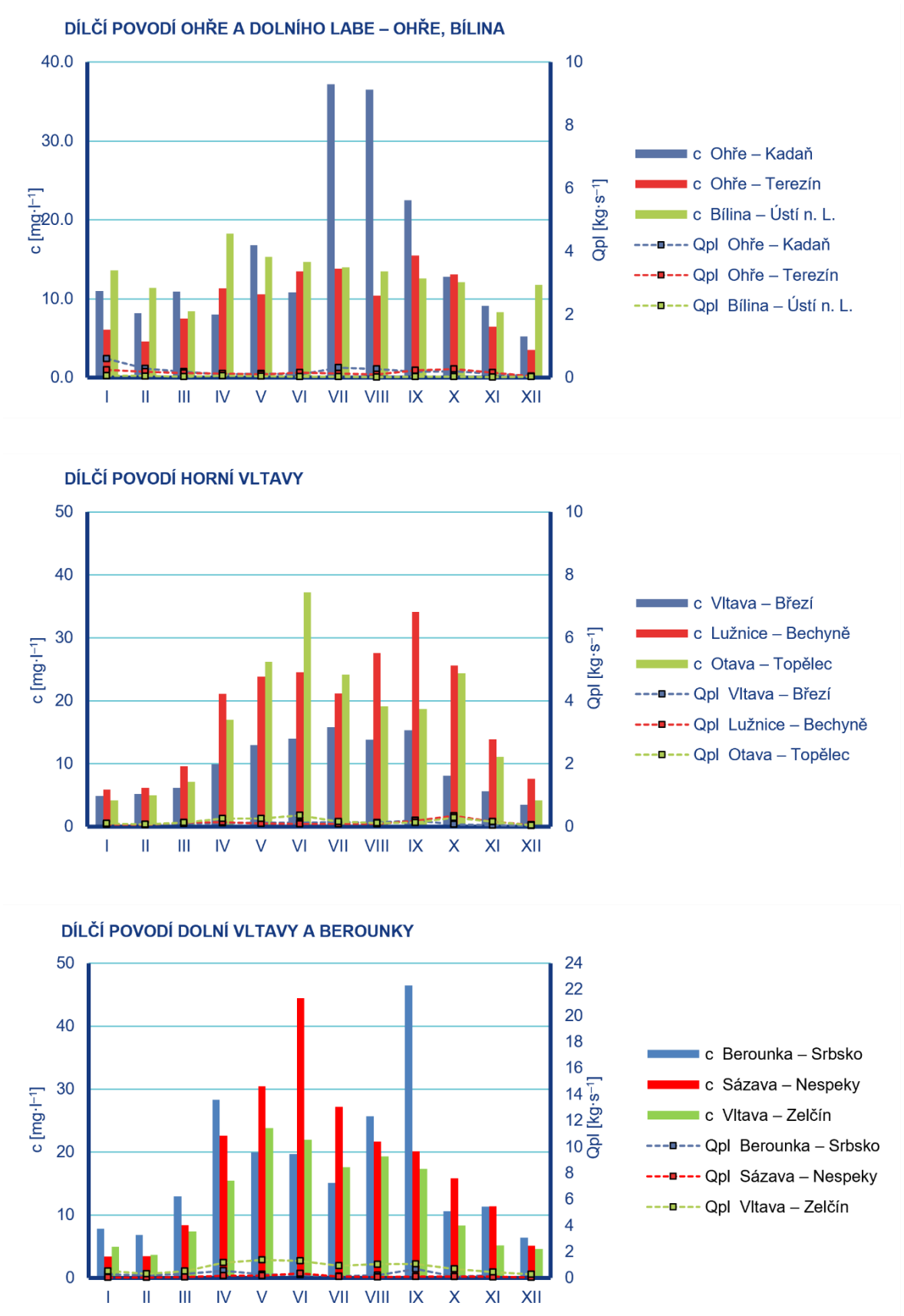
Tab. 3.5.1 Průměrné roční a maximální denní koncentrace plavenin (c), maximální denní průtoky plavenin (Qpl).

Dílčí povodí	Tok	Profil	c	c max		Qpl max	
			[mg·l^{-1}]	[mg·l^{-1}]	datum	[kg·s^{-1}]	datum
Horní a střední Labe	Labe	Vestřev*	7,5	70	28. 10.	1,554	28. 10.
	Orlice	Týniště nad Orlicí	10,4	119	4. 11.	4,993	4. 11.
	Labe	Němčice	13,1	49	4. 11.	3,847	4. 11.
	Loučná	Dašice	11,8	95	18. 6.	0,168	18. 6.
	Cidlina	Sány	27,3	100	1. 11.	0,696	6. 6.
	Jizera	Tuřice-Předměřice	8,2	62	30. 10.	3,513	29. 10.
	Labe	Obříství-jez	9,3	57	30. 10.	7,063	30. 10.
Horní Vltava	Vltava	Březí	9,5	37	11. 7.	0,707	10. 9.
	Lužnice	Bechyně	19,3	92	28. 7.	0,801	10. 10.
	Otava	Topělec*	17,3	59	17. 6.	1,150	29. 10.
Berounka	Berounka	Srbsko	17,6	215	26. 9.	5,408	26. 9.
Dolní Vltava	Sázava	Nespeky	17,9	383	5. 6.	5,406	5. 6.
	Vltava	Zelčín*	12,5	44	7. 6.	2,957	7. 6.
Ohře, Dolní Labe a ostatní přítoky Labe	Labe	Dolní Beřkovice	11,2	66	9. 10.	9,385	9. 10.
	Ohře	Kadaň*	15,8	178	7. 5.	2,346	10. 1.
	Ohře	Terezín	9,7	38	25. 9.	0,794	25. 9.
	Bílina	Ústí nad Labem	13,1	38	22. 9.	0,208	10. 1.
	Ploučnice	Děčín-Březiny	13,2	72	10. 1.	1,148	10. 1.
	Labe	Hřensko *	8,8	26	17. 4.	4,198	17. 4.
Horní Odra	Odra	Svinov	27,7	1 132	28. 7.	45,062	28. 7.
	Opava	Děhylov	13,0	157	3. 6.	2,055	3. 6.
	Ostravice	Ostrava	14,5	453	28. 7.	60,289	28. 7.
	Odra	Bohumín*	27,7	812	28. 7.	142,912	28. 7.
	Olše	Věřňovice	15,5	906	28. 7.	130,421	28. 7.
Lužická Nisa a ostatní přítoky Odry	Lužická Nisa	Hrádek nad Nisou	16,6	241	4. 5.	1,258	25. 4.
Morava a přítoky Váhu	Bečva	Dluhonice*	18,7	527	15. 3.	38,682	15. 3.
	Morava	Kroměříž	18,1	197	6. 6.	21,312	15. 3.
	Dřevnice	Zlín	21,3	456	15. 3.	4,373	15. 3.
	Morava	Spytihněv	13,2	61	7. 6.	3,605	4. 11.
	Olšava	Uherský Brod	20,0	1 383	24. 4.	3,802	24. 4.
	Morava	Lanžhot*	24,5	348	29. 7.	32,120	29. 7.
Dyje	Dyje	Jevišovka*	17,5	165	7. 7.	0,666	7. 7.
	Svitava	Bílovice nad Svitavou	18,9	529	25. 4.	4,988	25. 4.
	Svratka	Židlochovice*	41,5	883	8. 5.	5,713	25. 4.
	Jihlava	Ivančice	10,7	105	14. 8.	0,378	9. 6.
	Dyje	Pohansko*	9,1	39	8. 9	0,760	15. 3.

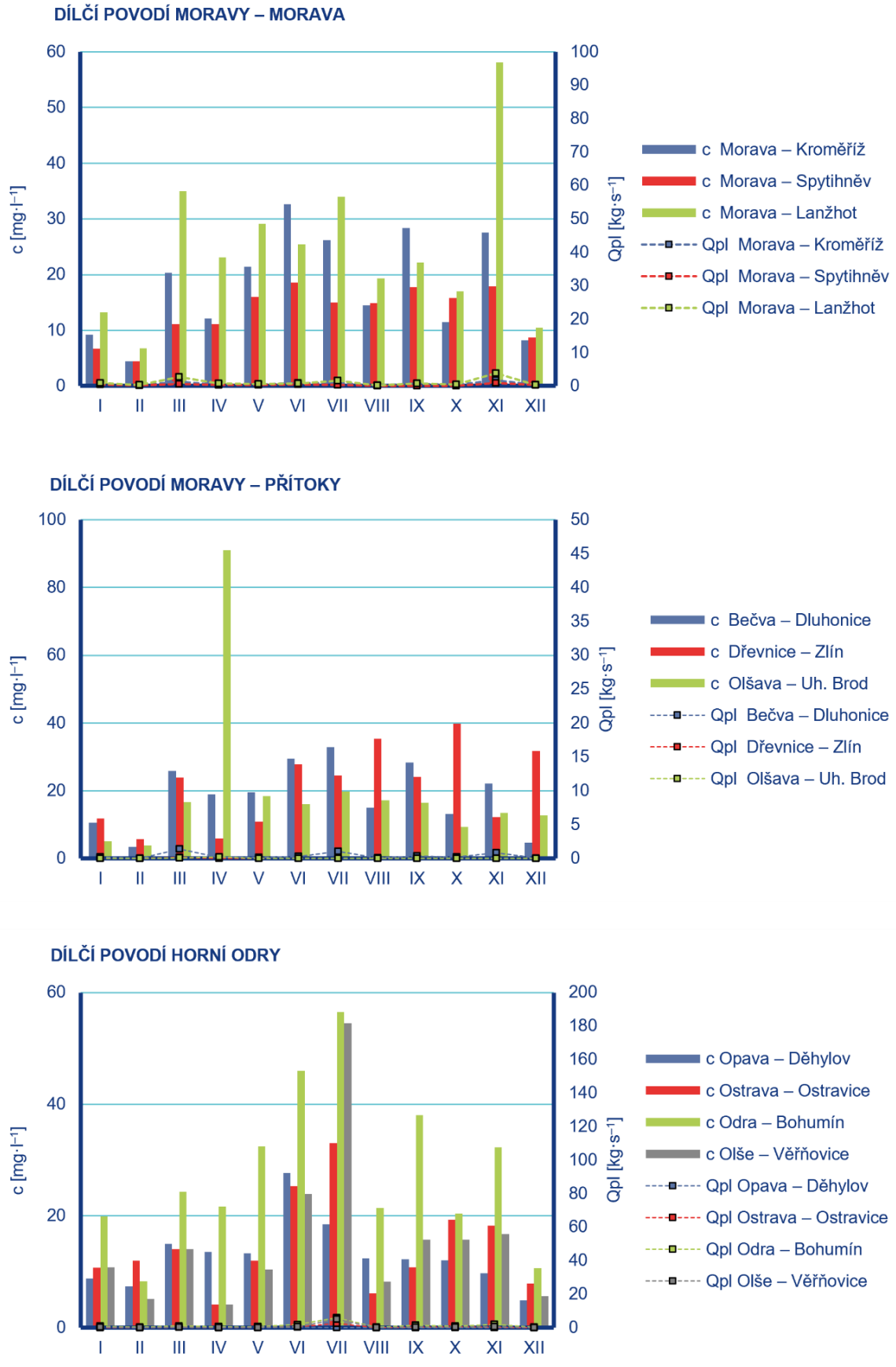
* neúplné údaje
– nehodnoceno



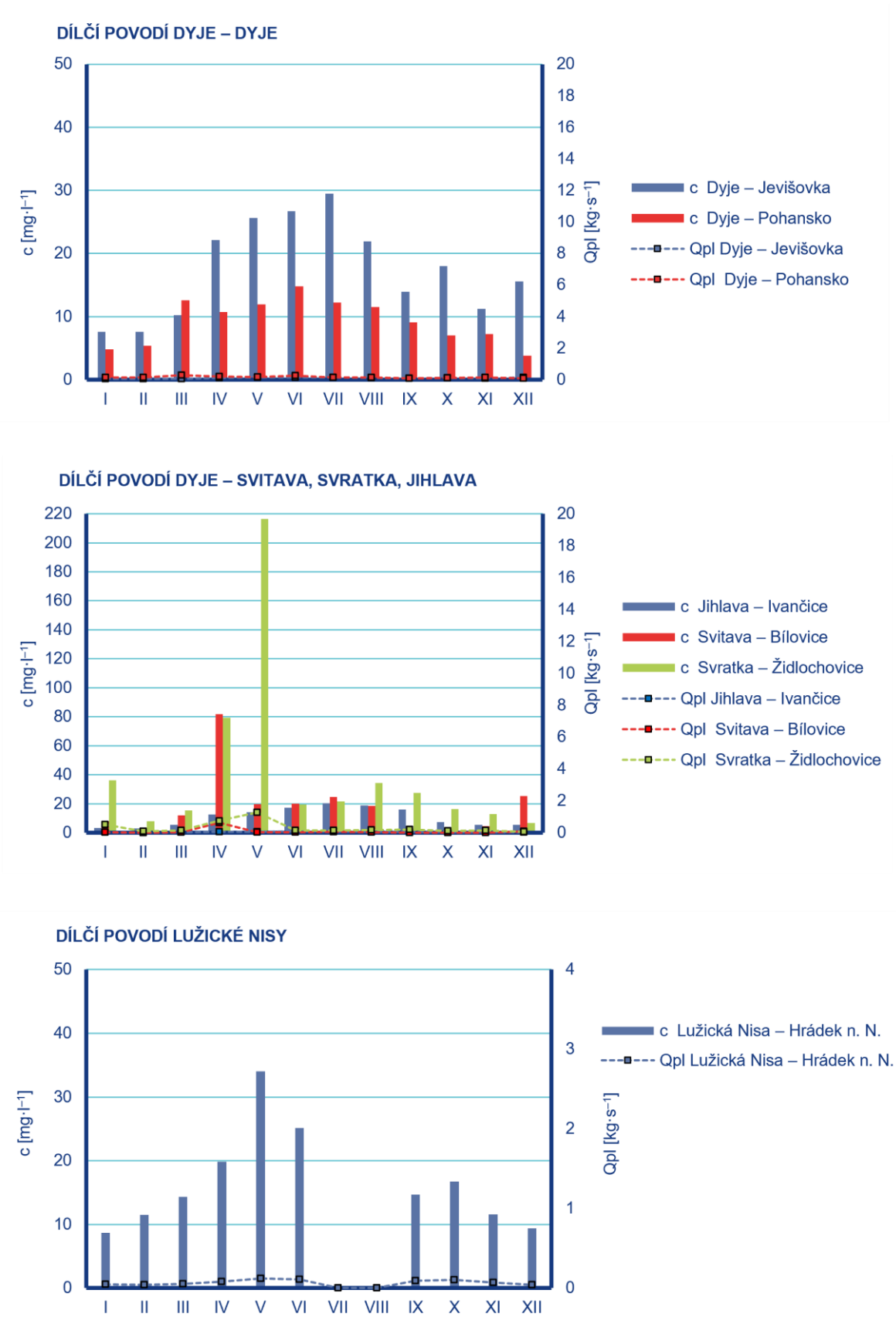
Obr. 3.5.1 Měsíční údaje koncentrace plavenin (c) a průtoku plavenin (Qpl).



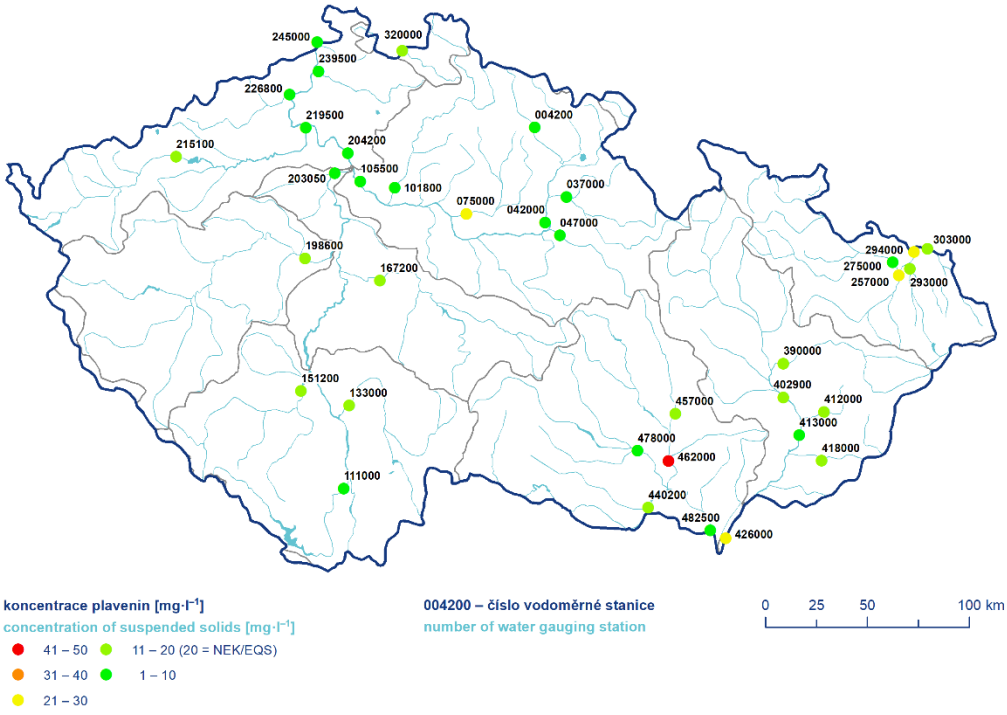
Obr. 3.5.2 Měsíční údaje koncentrace plavenin (c) a průtoku plavenin (Qpl).



Obr. 3.5.3 Měsíční údaje koncentrace plavenin (c) a průtoku plavenin (Qpl).



Obr. 3.5.4 Měsíční údaje koncentrace plavenin (c) a průtoku plavenin (Qpl).



Obr. 3.5.5 Průměrné roční koncentrace plavenin pro rok 2025

Množství plavenin transportovaných sledovaným profilem v čase je vyjadřováno průtokem a odtokem plavenin, jejichž velikost je určována nejen aktuální koncentrací plavenin, ale také velikostí průtoku vody. Zvýšené hodnoty průtoku plavenin se proto zpravidla vyskytují v souvislosti s výraznějšími odtokovými situacemi, které reagují na předchozí srážkovou činnost v povodí. Průběh měsíčních průtoků plavenin v hodnoceném roce dokumentují pro jednotlivé stanice dílčích povodí **Obr. 3.5.1.** až **3.5.4.** Přehled nejvyšších denních hodnot průtoků plavenin pro jednotlivé stanice uvádí **Tab. 3.5.1.**

Epizody zvýšených odtoků plavenin se v průběhu roku vyskytovaly pouze krátkodobě, zpravidla v řádu jednotek dnů, a byly spojeny především s mimořádnými odtokovými situacemi vyvolanými výraznějšími srážkovými událostmi. Nejvyšší hodnota denního odtoku plavenin byla zaznamenána na Odře v Bohumíně, a to 12 346,6 tun. Nejvyšší maximální denní koncentrace plavenin byla naměřena na Olšavě v Uherském Brodě dne 24. 4. v souvislosti s výraznými srážkami v povodí. Maximální denní koncentrace plavenin zde dosáhla 1 382,7 mg·l^{-1}, čemuž odpovídal celkový denní odtok plavenin 328,49 tun. Přehled ročních hodnot odtoku plavenin v jednotlivých profilech dílčích povodí je uveden v **Tab. 3.5.2.** Porovnání s dlouhodobými hodnotami, které reprezentuje průměr let 1991 až 2020, bylo provedeno pro stanice, kde bylo pozorování v uvedeném období kontinuální, případně jen s krátkodobým přerušením. Grafický přehled ročního odtoku transportovaných plavenin ve stanicích s celoročním pozorováním pro dílčí povodí dokumentuje mapa **Obr. 3.5.6.**

V roce 2025 bylo v jednotlivé měsíce na většině profilech naměřeno výrazně podprůměrné množství plavenin v porovnání s dlouhodobými hodnotami (1991–2020). Výjimku tvořil pouze listopad, kde byly na některých lokalitách naměřeny lehce nadprůměrné hodnoty. Přehled ročního odtoku plavenin v profilech v průběhu roku znázorňuje **Tab. 3.5.2 .**

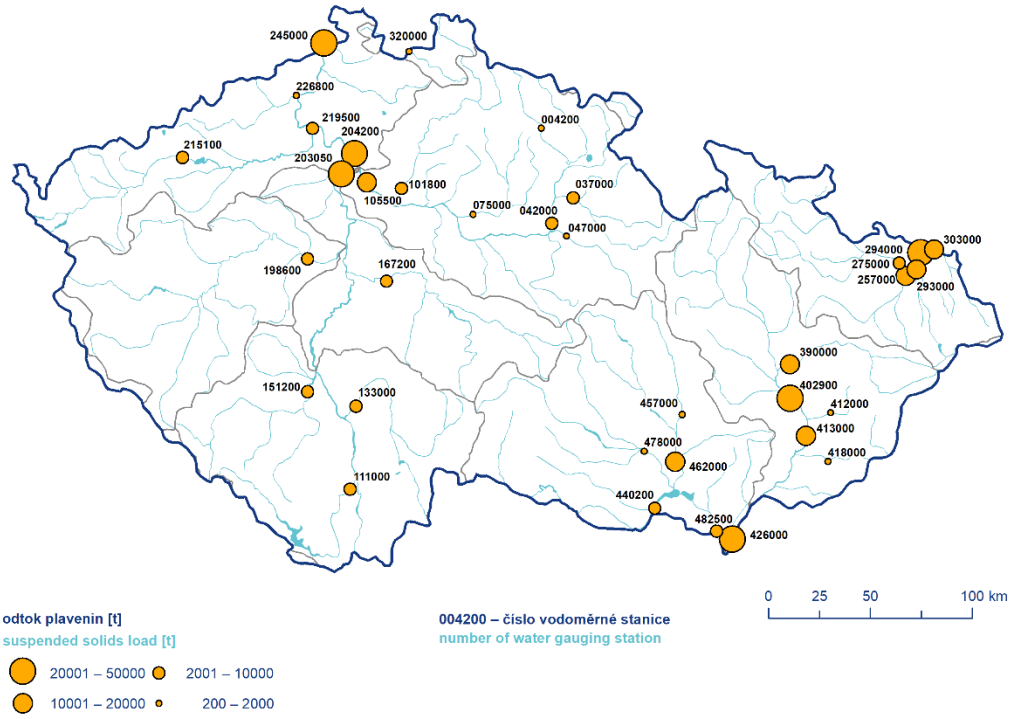
V roce 2025 odteklo z povodí České republiky tokem Labe, Lužické Nisy, Odry, Olše, Moravy a Dyje přibližně 130 181 tun nerozpuštěných látek. Z dlouhodobého pozorování se jedná o nejnižší hodnotu naměřenou od roku 2000. Největší profilový roční odnos plavenin byl vyhodnocen v hraničním profilu Odry v Bohumíně (40 150 t) způsobený zejména přívalovými dešti v letních měsících.

V porovnání s rokem 2024 jde přibližně o desetinové množství (1 044 351 tun). Rok 2024 ovšem nejvíce ovlivnily zářijové povodně, kdy tvořil zářijový odnos plavenin více než 90 % celkového ročního odnosu. V roce 2023 odteklo z našeho povodí při porovnání s rokem 2024 přibližně poloviční množství (509 000 tun).

Tab. 3.5.2 Roční odtok plavenin (Gpl) a porovnání s dlouhodobým průměrem

Dílčí povodí	Tok	Profil	Gpl	dlouhodobý průměr		Gpl / Gpl prům.
				Gpl prům.	období	
			[t·rok^{-1}]	[t·rok^{-1}]		
Horní a střední Labe	Labe	Vestřev	723	–	–	–
	Orlice	Týniště nad Orlicí	3 439	19 013	1991–2020	0 ,18
	Labe	Němčice	9 597	52 782	1991–2020	0 ,18
	Loučná	Dašice	704	5 580	1991–2020	0 ,13
	Cidlina	Sány	1 311	–	–	–
	Jizera	Tuřice-Předměřice	4 534	26 063	1991–2020	0 ,17
	Labe	Obříství-jez	15 262	112 141	1991–2020	0 ,14
Horní Vltava	Vltava	Březí	3 180	12 903	1992–2020	0 ,25
	Lužnice	Bechyně	4 059	20 730	1991–2020	0 ,20
	Otava	Topělec	5 417	–	–	–
Berounka	Berounka	Srbsko	8 728	47 952	2000–2020	0 ,18
Dolní Vltava	Sázava	Nespeky	3 850	23 399*	1991–2020	0 ,16
	Vltava	Zelčín	25 642	93 088**	1991–2020	0 ,26
Ohře, Dolní Labe a ostatní přítoky Labe	Labe	Dolní Beřkovice	40 123	190 784	1991–2020	0 ,21
	Ohře	Kadaň	6 523	–	–	–
	Ohře	Terezín	4 977	–	–	–
	Bílina	Ústí nad Labem	1 091	8 714	1991–2020	0 ,13
	Labe	Hřensko	29 771	–	–	–
Horní Odra	Odra	Svinov	14 448	50 397	1991–2020	0 ,29
	Opava	Děhylov	2 829	34 692	1991–2020	0 ,08
	Ostravice	Ostrava	11 546	52 398	1994–2020	0 ,22
	Odra	Bohumín	40 150	171 851	1994–2020	0 ,23
	Olše	Věřňovice	18 726	39 939	1991–2020	0 ,47
Lužická Nisa a ostatní přítoky Odry	Lužická Nisa	Hrádek nad Nisou	1 870	–	–	–
Morava a přítoky Váhu	Bečva	Dluhonice	12 695	61 310	2000–2020	0 ,21
	Morava	Kroměříž	21 014	217 842	1991–2020	0 ,10
	Dřevnice	Zlín	803	9 781	1991–2020	0 ,08
	Morava	Spytihněv	10 287	151 786	2000–2020	0 ,07
	Olšava	Uherský Brod	954	12 659	1991–2020	0 ,08
	Morava	Lanžhot	34 944	211 305	1999–2020	0 ,17
Dyje	Dyje	Jevišovka	3 064	13 517	1995–2020	0 ,23
	Svitava	Bílovice nad Svitavou	1 423	10 958	1991–2020	0 ,13
	Svratka	Židlochovice	10 003	33 015	1995–2020	0 ,30
	Jihlava	Ivančice	1 364	14 976	2000–2020	0 ,09
	Dyje	Pohansko	4 772	–	–	–

* dle stanice Poříčí nad Sázavou
** dle stanice Vraňany
– nehodnoceno



Obr. 3.5.6 Přehled ročního odtoku plavenin v roce 2025

3.6 Bilance jakosti podzemní vody

Hodnocení jakosti podzemních vod pro hydrologickou bilanci podzemních vod v roce 2025 bylo zpracováno z údajů monitoringu jakosti podzemních vod na objektech státní sítě sledování podzemních vod, kterou provozuje ČHMÚ. Do hodnocení byly zahrnuty údaje ze 727 objektů sítě sledování (203 pramenů, 232 mělkých a 292 hlubokých vrtů), kde bylo v roce 2025 odebráno celkem 1 443 vzorků, a to v jarním a podzimním období. Počet objektů v jednotlivých oblastech povodí uvádí **Tab. 3.6.1**. Do hodnocení bylo zahrnuto devět ukazatelů: chloridy (Cl^-), amonné ionty (NH_4^+), dusičnany (NO_3^-), sírany (SO_4^{2-}), chemická spotřeba kyslíku manganistanem ($CHSK_{Mn}$), měď (Cu), kadmium (Cd), olovo (Pb) a pH, definovaných v příloze č. 1 vyhlášky ministerstva zemědělství č. 431/2001 Sb. Hodnocení bylo provedeno jako srovnání s referenčními (limitními) hodnotami pro podzemní vodu dle požadavků vyhlášky č. 5/2011 Sb. (v aktuálním znění) o vymezení hydrogeologických rajonů a útvarů podzemních vod, způsobu hodnocení stavu podzemních vod a náležitostech programů zjišťování a hodnocení stavu podzemních vod (dále jen vyhláška č. 5/2011 Sb.). Měď a pH byly hodnoceny porovnáním s limity pro pitnou vodu dle požadavků vyhlášky Ministerstva zdravotnictví č. 252/2004 Sb. (v aktuálním znění), protože vyhláška pro podzemní vodu limitní hodnoty pro tyto ukazatele neobsahuje. Seznam hodnocených ukazatelů a jejich limitní hodnoty ukazuje **Tab. 3.6.2**. Maximální roční průměrné hodnoty jednotlivých ukazatelů (s výjimkou pH, kde jsou uvedeny minimální roční průměrné hodnoty) na monitorovaných objektech podzemních vod v jednotlivých oblastech dílčích povodí uvádí **Tab. 3.6.3**.

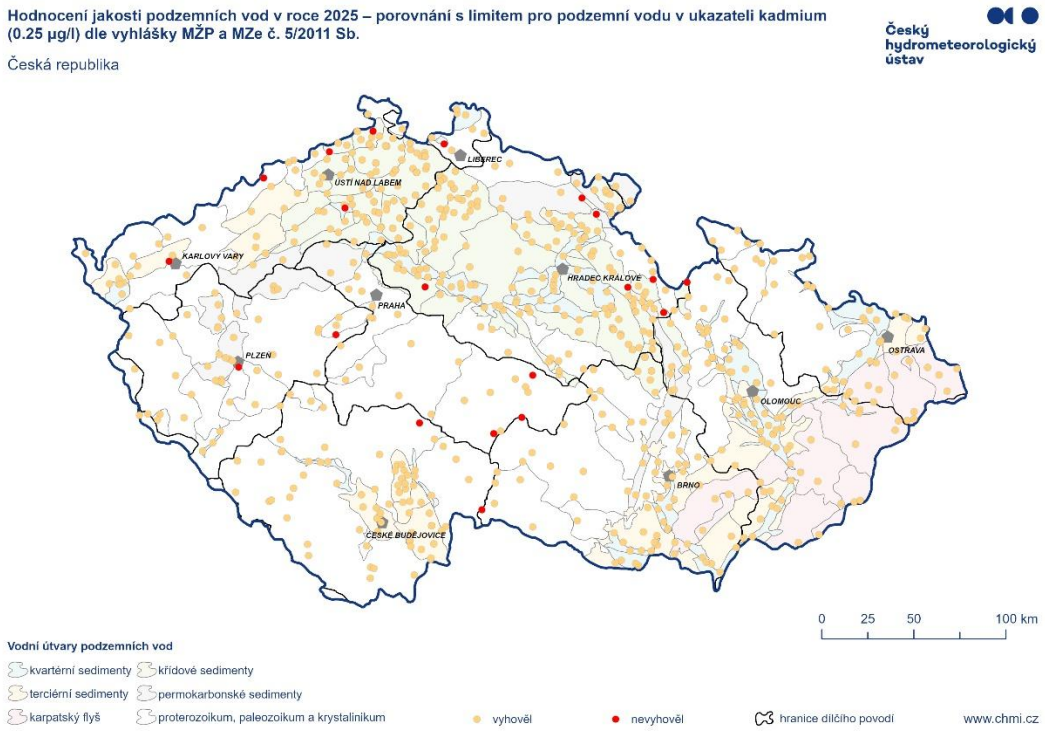
Bilance jakosti vody v ČR

Pro ukazatel pH bylo hodnoceno 1 443 vzorků, mimo limitní rozmezí 6,5 až 9,5 bylo 27 % z nich (s výjimkou 2 hodnot nad 9,5, stanovených ve vzorcích odebraných u vrtu podzemních vod v lokalitě Pstruží u Merklína, byla všechna ostatní stanovení nižší než 6,5). Pro ukazatel chemická spotřeba kyslíku manganistanem ($CHSK_{Mn}$) bylo hodnoceno 1 443 vzorků, z toho 12 % bylo pod mezí stanovitelnosti 0,5 $mg \cdot l^{-1}$, limit 3 $mg \cdot l^{-1}$ byl překročen u 13 % z nich. Pro ukazatel amonné ionty (NH_4^+) bylo hodnoceno 1 443 vzorků, z toho 49 % bylo pod mezí stanovitelnosti 0,05 $mg \cdot l^{-1}$, limit 0,5 $mg \cdot l^{-1}$ byl překročen u 13 % z nich. Pro ukazatel dusičnany (NO_3^-) bylo hodnoceno 1 443 vzorků, z toho 36 % bylo pod mezí stanovitelnosti 1 $mg \cdot l^{-1}$, limit 50 $mg \cdot l^{-1}$ byl překročen u 10 % z nich. Pro ukazatel chloridy (Cl^-) bylo hodnoceno 1 443 vzorků, z toho 22 % bylo pod mezí stanovitelnosti 4 $mg \cdot l^{-1}$, limit 200 $mg \cdot l^{-1}$ byl překročen u 2,7 % z nich. Pro ukazatel sírany (SO_4^{2-}) bylo hodnoceno 1 443 vzorků, z toho 5,7 % bylo pod mezí stanovitelnosti 5 $mg \cdot l^{-1}$, limit 400 $mg \cdot l^{-1}$ byl překročen u 3,0 % z nich. Pro ukazatel kadmium (Cd) bylo hodnoceno 1 443 vzorků, z toho 96 % bylo pod mezí stanovitelnosti 0,2 $\mu g \cdot l^{-1}$, limit 0,25 $\mu g \cdot l^{-1}$ byl překročen u 2,8 % z nich. Pro ukazatel měď (Cu) bylo hodnoceno 1 443 vzorků, z toho 93 % bylo pod mezí stanovitelnosti 2 $\mu g \cdot l^{-1}$, limit 1 $mg \cdot l^{-1}$ nebyl překročen u žádného z nich. Pro ukazatel olovo (Pb) bylo hodnoceno 1 443 vzorků, z toho 98 % bylo pod mezí stanovitelnosti 0,5 $\mu g \cdot l^{-1}$, limit 5 $\mu g \cdot l^{-1}$ byl překročen u 0,3 % z nich.

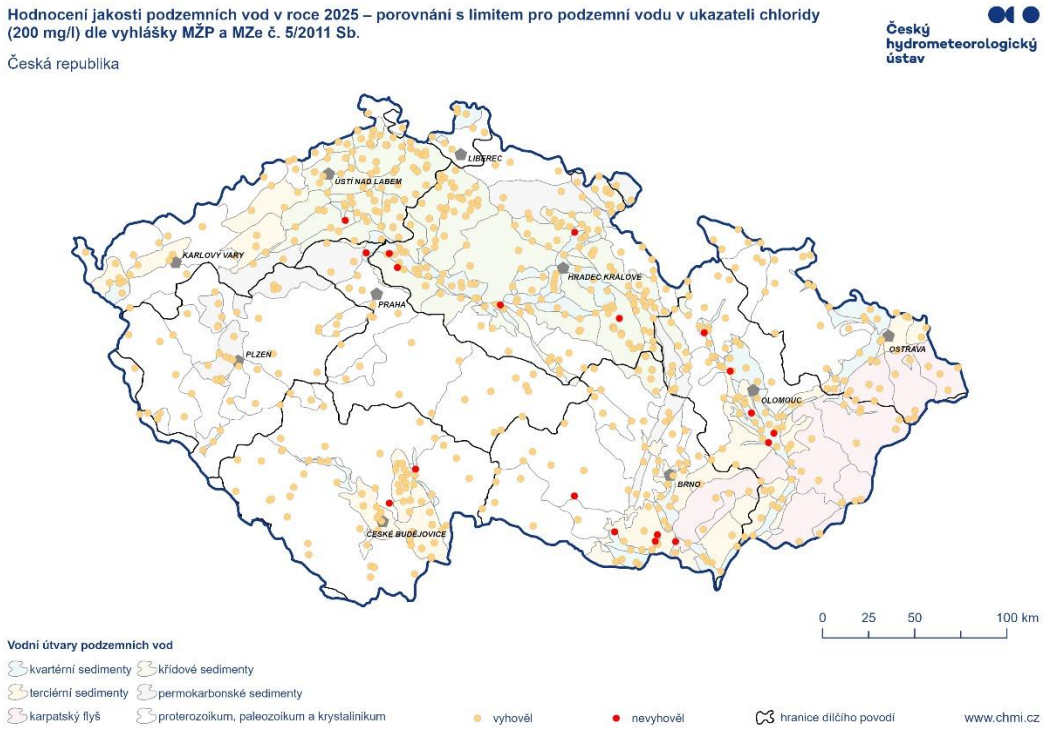
Seznam všech ukazatelů, které překračovaly v roce 2025 limity pro podzemní vody dle vyhlášky MŽP a MZe 5/2011 Sb. (pro pH, měď a celkovou mineralizaci byly použity limity pro pitnou vodu dle vyhlášky MZ 252/2004 Sb. a pro skupinu pesticidů také limity ze směrnice Evropského parlamentu a Rady 2006/118/ES – příloha I), a maximální roční průměrné hodnoty těchto ukazatelů s přiřazením lokalit jejich výskytu uvádí **Tab. 3.6.4**.

Ukazatele jakosti podzemních vod byly pro území České republiky vyneseny do 15 map **Obr. 3.6.1** až **Obr. 3.6.15**. Mapy zobrazují buď jednotlivé ukazatele (Cd, Cl^-, Cu, $CHSK_{Mn}$, Pb, pH, SO_4^{2-} a celková objemová aktivita alfa) nebo skupiny ukazatelů (dusíkaté látky, stopové prvky, TOL, PAU, pesticidy a léčiva) v porovnání s limity pro podzemní vodu (popř. s limity pro pitnou vodu jako u pH a Cu). U látek ze skupin léčiv nejsou určeny limitní hodnoty, proto je porovnání pouze v úrovni, zda byla prokázána

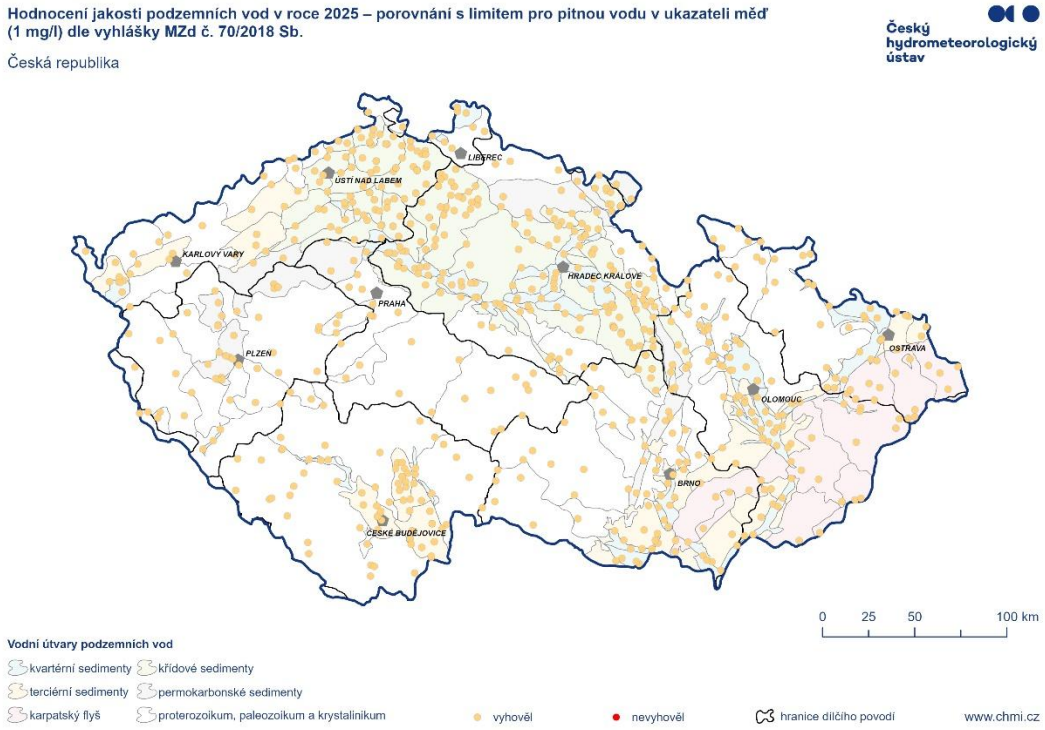
přítomnost daného farmaka v odebraných vzorcích čili, zda stanovená hodnota byla nad mezí stanovitelnosti.



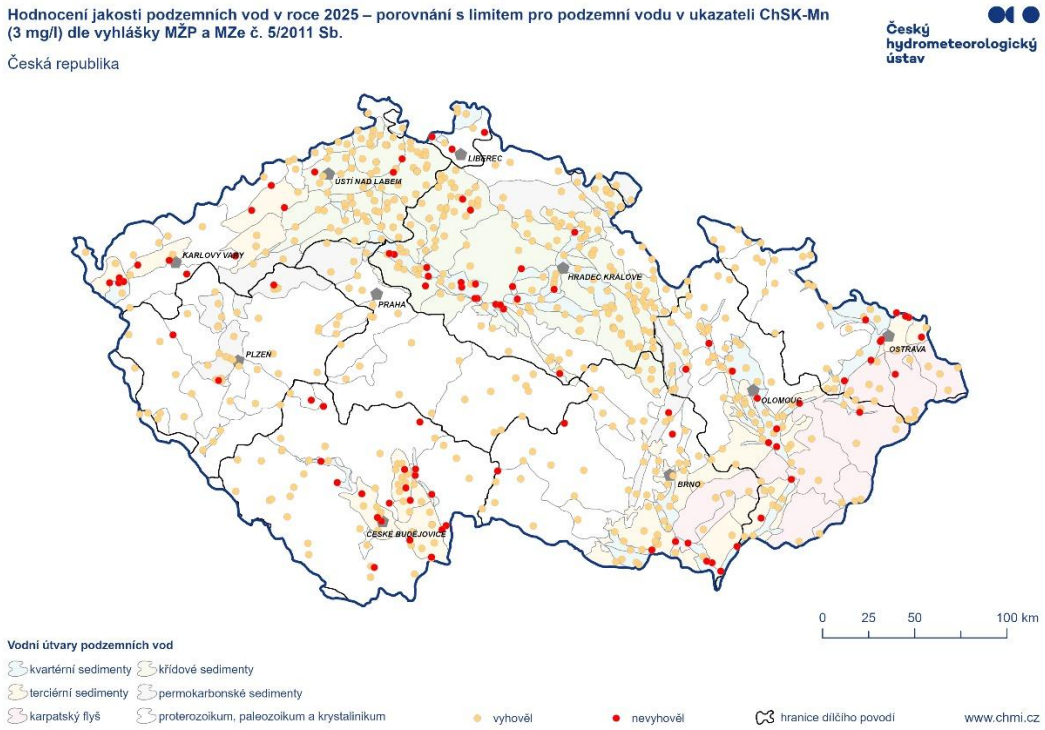
Obr. 3.6.1 Vyhodnocení objektů podzemních vod dle ukazatele kadmium.



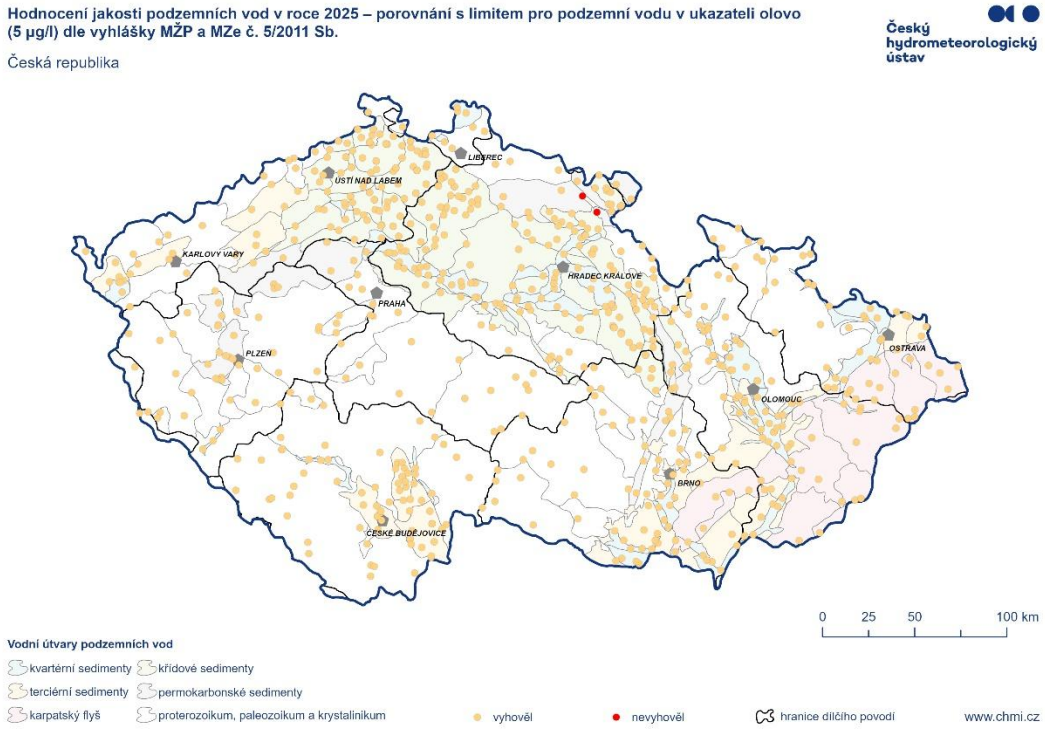
Obr. 3.6.2 Vyhodnocení objektů podzemních vod dle ukazatele chloridy.



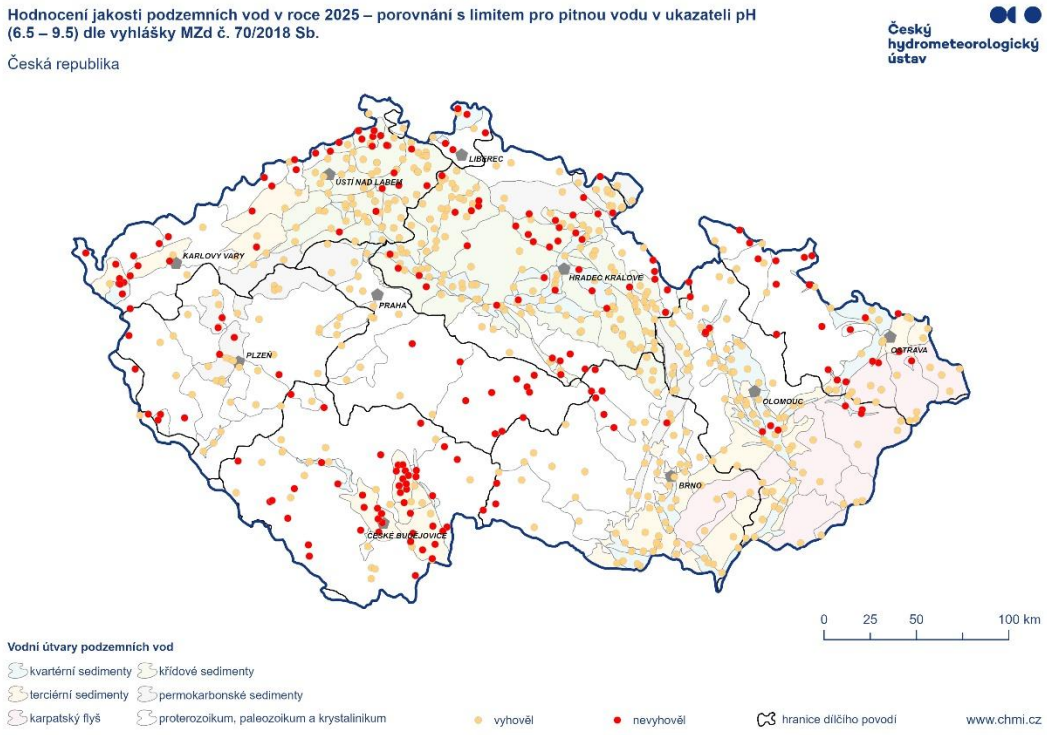
Obr. 3.6.3 Vyhodnocení objektů podzemních vod dle ukazatele měď.



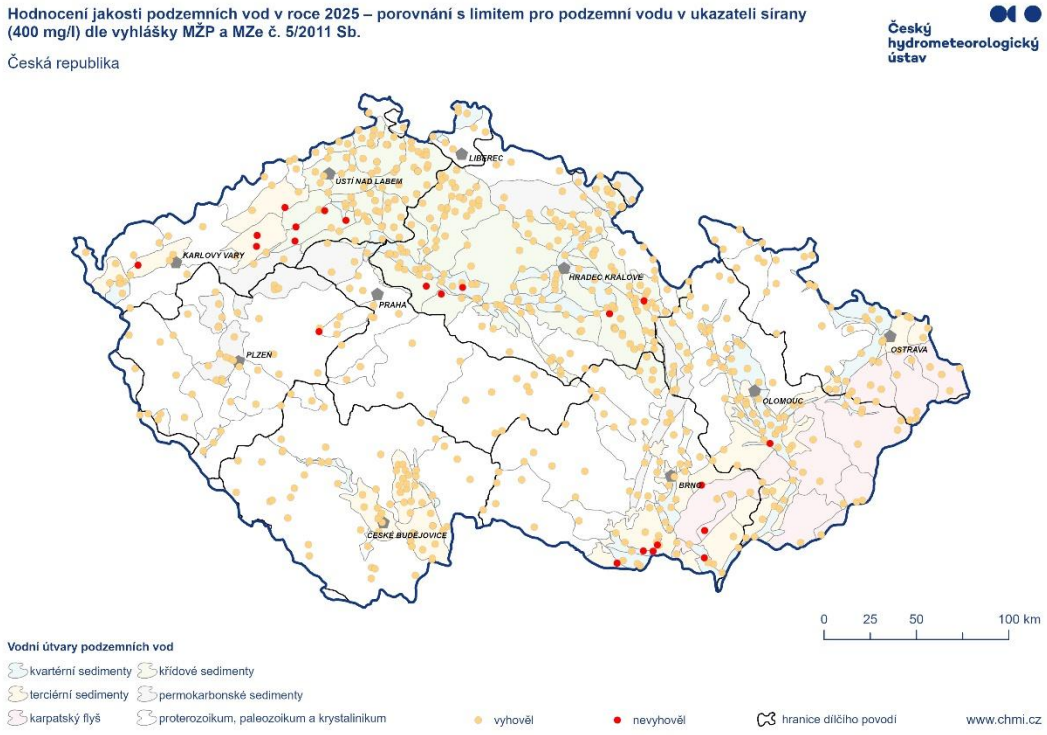
Obr. 3.6.4 Vyhodnocení objektů podzemních vod dle ukazatele $CHSK_{Mn}$.



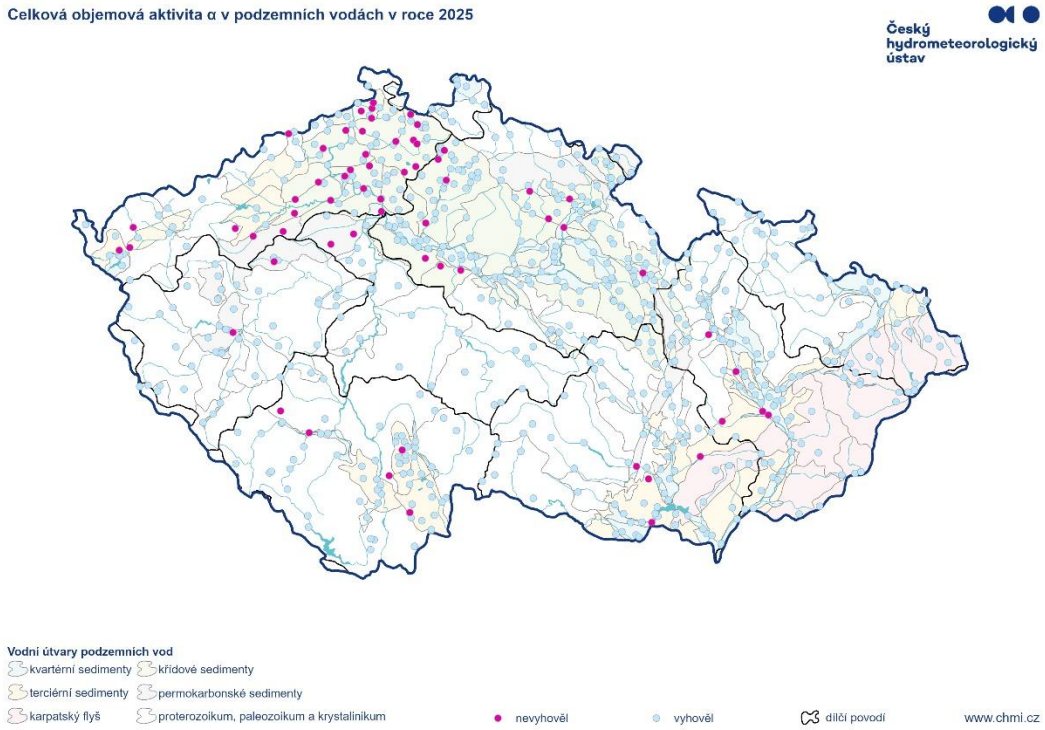
Obr. 3.6.5 Vyhodnocení objektů podzemních vod dle ukazatele olovo.



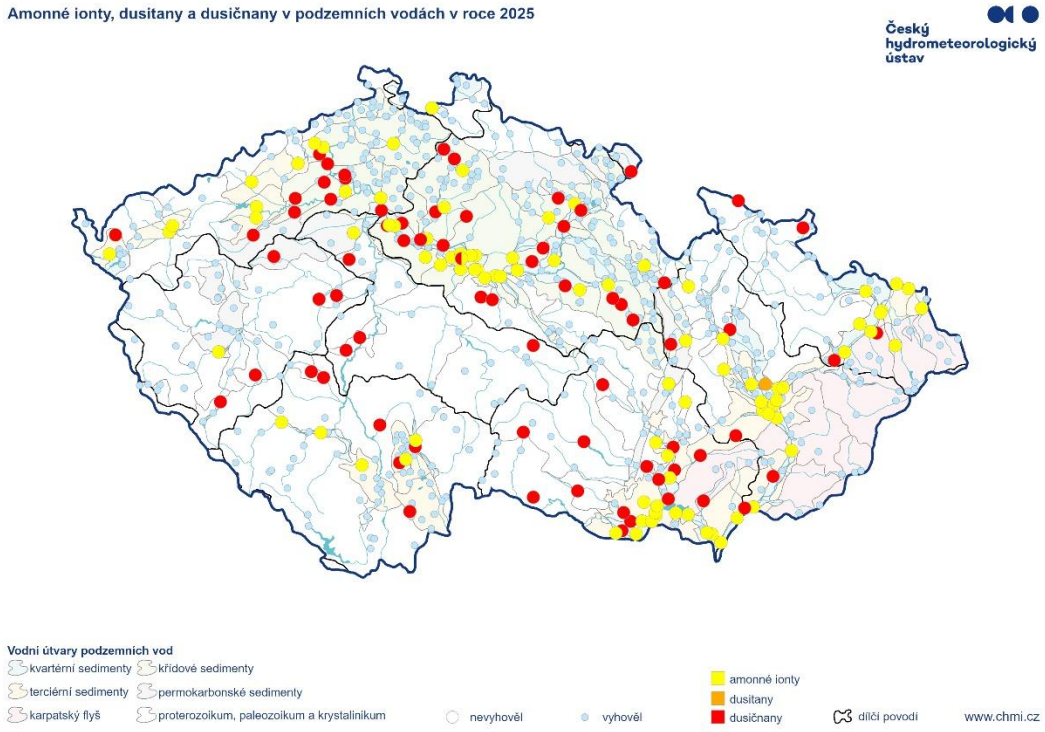
Obr. 3.6.6 Vyhodnocení objektů podzemních vod dle ukazatele pH.



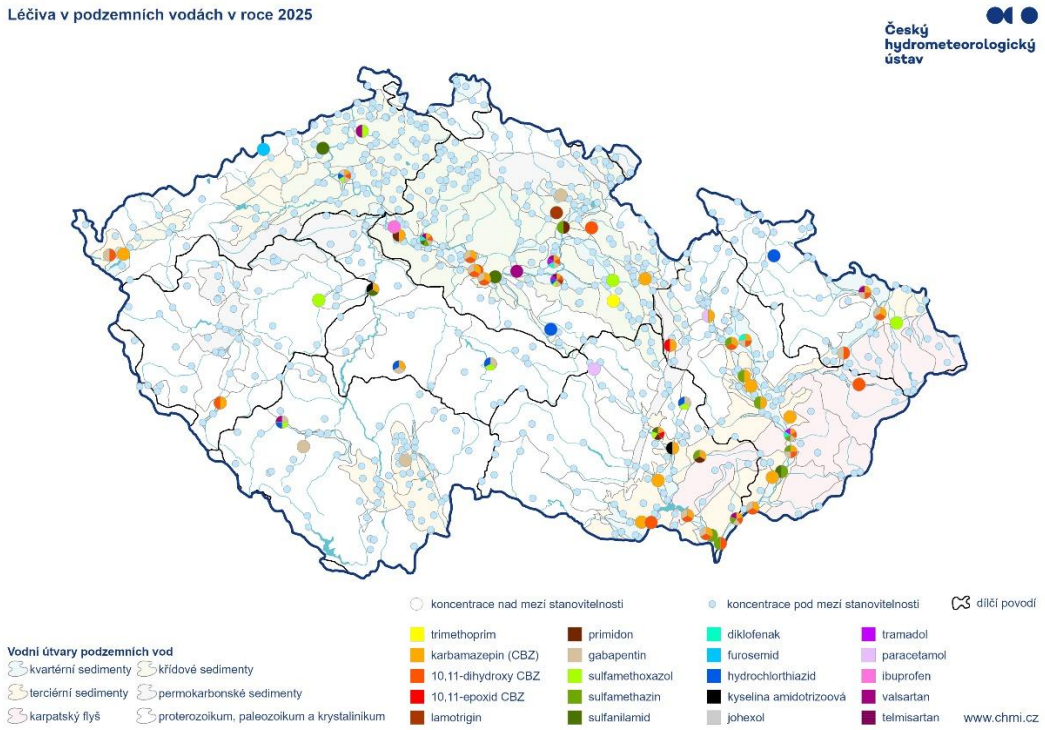
Obr. 3.6.7 Vyhodnocení objektů podzemních vod dle ukazatele sírany.



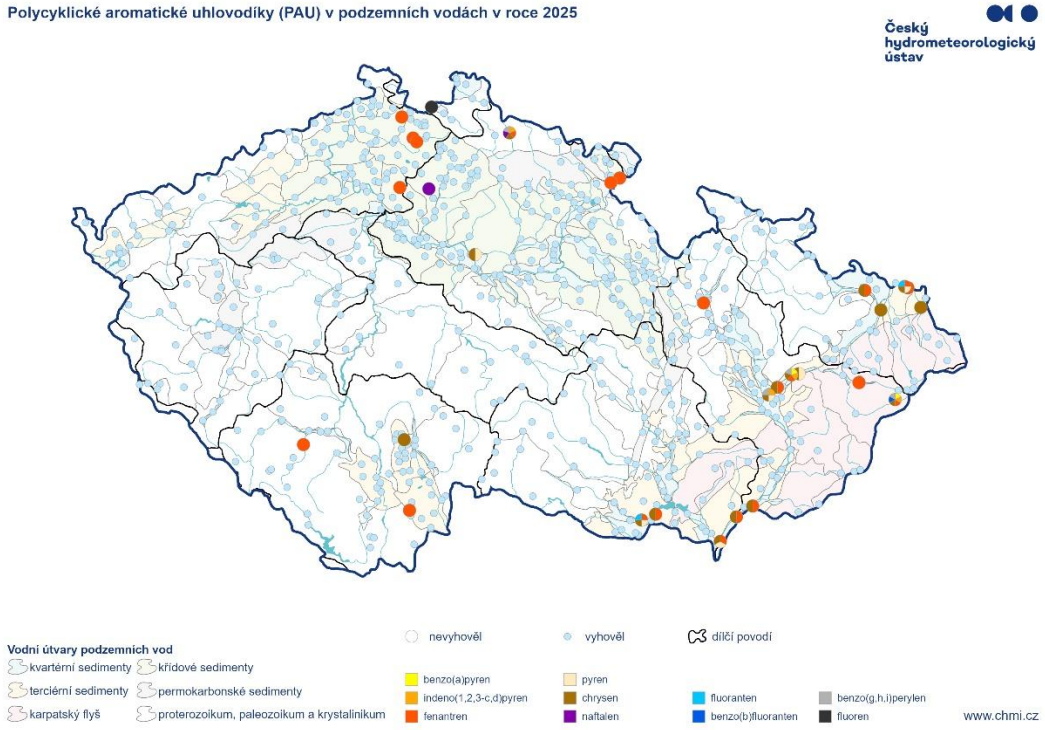
Obr. 3.6.8 Vyhodnocení objektů podzemních vod dle ukazatele celková objemová aktivita alfa.



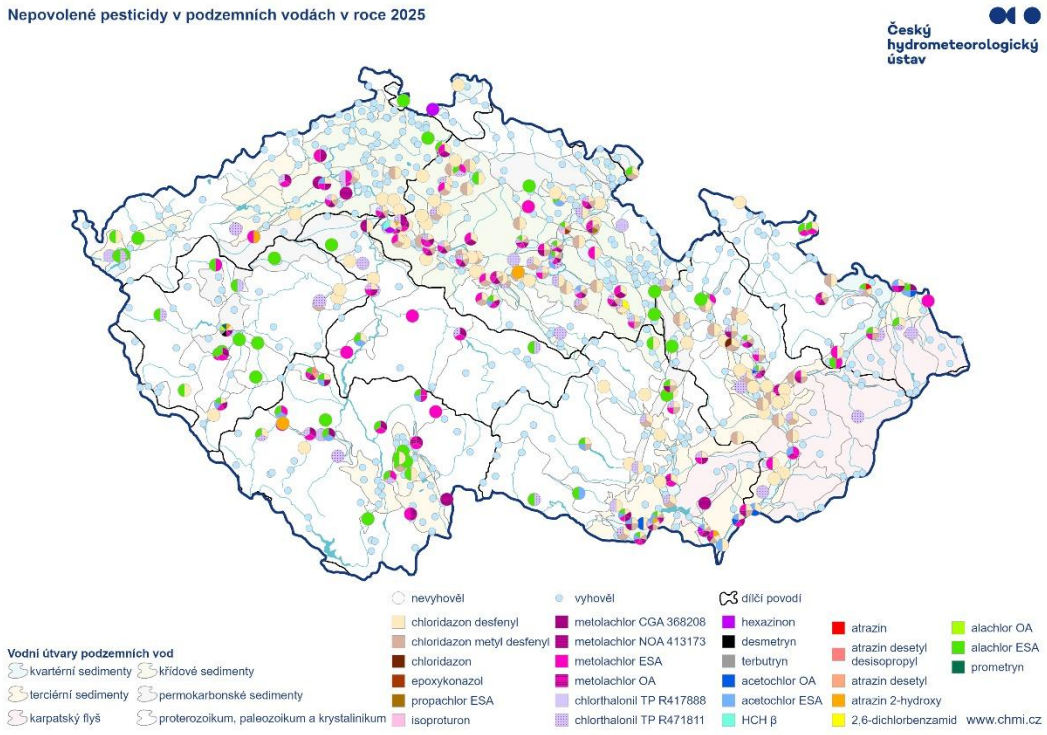
Obr. 3.6.9 Vyhodnocení objektů podzemních vod dle skupiny dusíkaté látky.



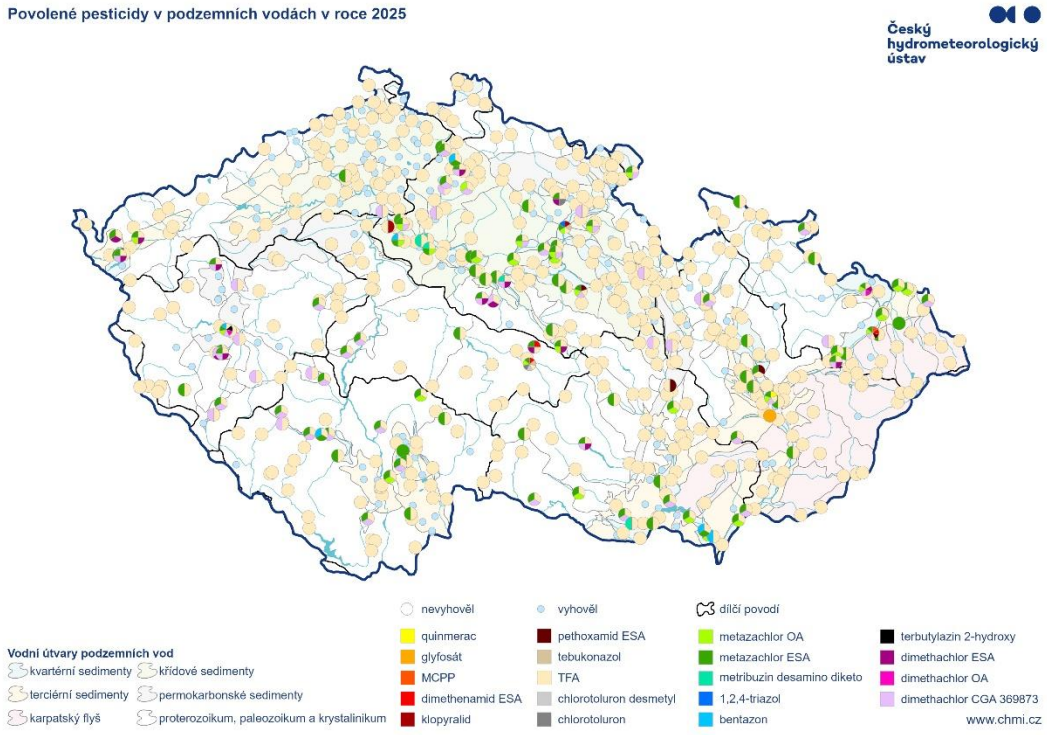
Obr. 3.6.10 Vyhodnocení objektů podzemních vod dle skupiny léčiva.



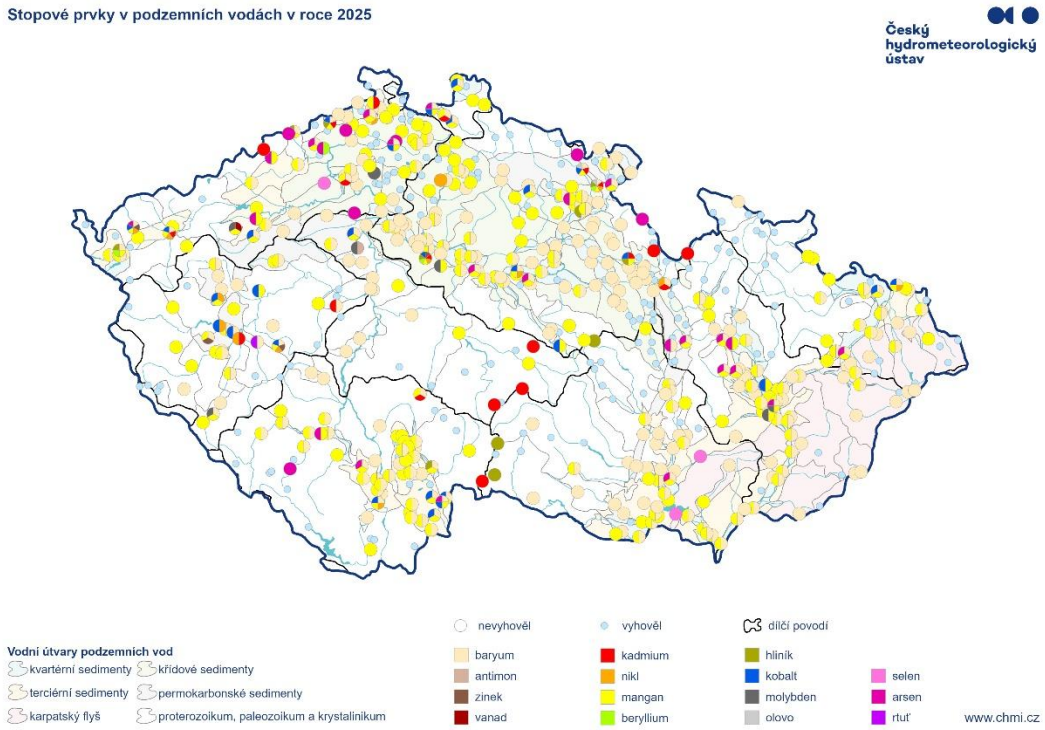
Obr. 3.6.11 Vyhodnocení objektů podzemních vod dle skupiny PAU.



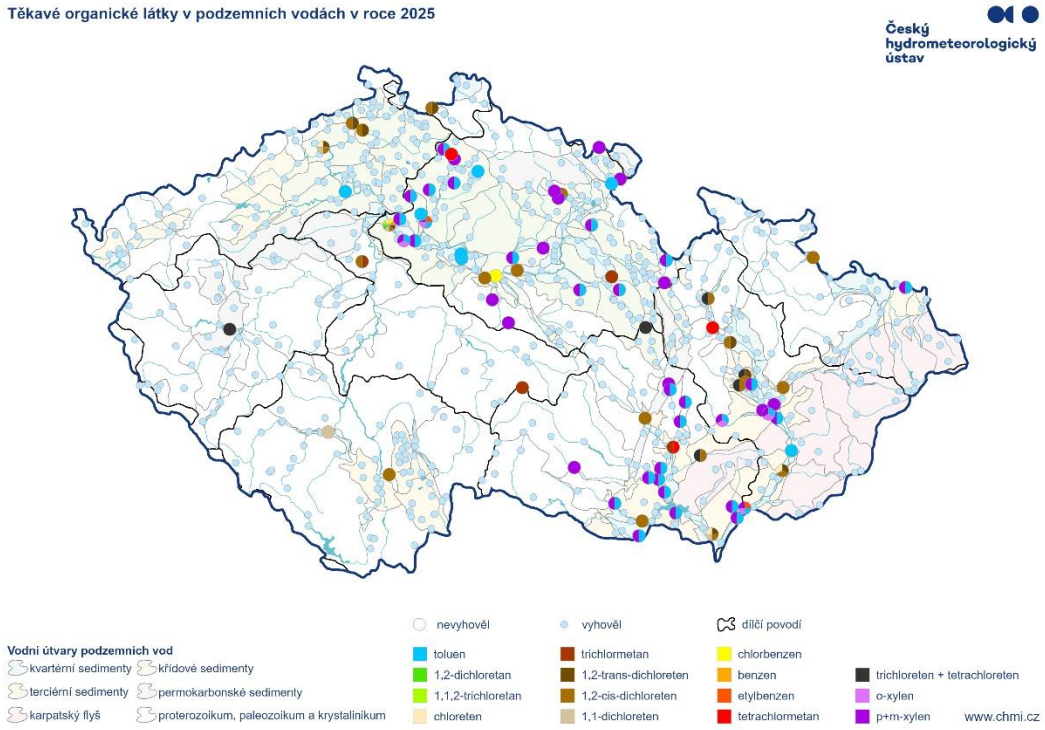
Obr. 3.6.12 Vyhodnocení objektů podzemních vod dle skupiny pesticidy (nepovolené).



Obr. 3.6.13 Vyhodnocení objektů podzemních vod dle skupiny pesticidy (povolené).



Obr. 3.6.14 Vyhodnocení objektů podzemních vod dle skupiny stopové prvky (kovy).



Obr. 3.6.15 Vyhodnocení objektů podzemních vod dle skupiny TOL.

Tab. 3.6.1 Počet hodnocených objektů.

Dílčí povodí	Počet objektů
Horního a středního Labe	194
Horní Vltavy	81
Berounky	46
Dolní Vltavy	26
Ohře, Dolního Labe a ostatních přítoků Labe	135
Horní Odry	56
Lužické Nisy a ostatních přítoků Odry	11
Moravy a přítoků Váhu	93
Dyje	83
ostatních přítoků Dunaje	2
celá ČR	727

Tab. 3.6.2 Seznam hodnocených ukazatelů.

Ukazatel	Limit	Jednotky	Typ limitu
pH	6,5–9,5	–	mezná hodnota
$CHSK_{Mn}$	3	$mg \cdot l^{-1}$	referenční hodnota
Amonné ionty	0,5	$mg \cdot l^{-1}$	prahová hodnota
Dusičnany	50	$mg \cdot l^{-1}$	prahová hodnota
Chloridy	200	$mg \cdot l^{-1}$	prahová hodnota
Sírany	400	$mg \cdot l^{-1}$	prahová hodnota
Kadmium	0,25	$\mu g \cdot l^{-1}$	prahová hodnota
Měď	1 000	$\mu g \cdot l^{-1}$	nejvyšší mezná hodnota
Olovo	5	$\mu g \cdot l^{-1}$	prahová hodnota

Tab. 3.6.3 Maximální roční průměrné hodnoty ukazatelů na monitorovaných objektech podzemních vod v jednotlivých dílčích povodích.

Ukazatel	Dílčí povodí									
	Horního a středního Labe	Horní Vltavy	Berounky	Dolní Vltavy	Ohře, Dolního Labe a ostatních přítoků Labe	Horní Odry	Lužické Nisy a ostatních přítoků Odry	Moravy a přítoků Váhu	Dyje	ostatních přítoků Dunaje
pH (minimum)	4,8	5,1	5,8	5,5	5,0	5,5	6,0	5,9	5,1	6,3
$CHSK_{Mn}$ [$mg \cdot l^{-1}$]	20	11	4,2	1,8	15	9,7	29	14	6,8	1,4
Amonné ionty [$mg \cdot l^{-1}$]	9,1	1,2	0,8	1,1	11	3,1	15	36	6,4	< 0,05
Dusičnany [$mg \cdot l^{-1}$]	159	108	88	126	211	72	74	89	277	19
Chloridy [$mg \cdot l^{-1}$]	2 230	389	186	261	283	165	167	540	471	7,7
Sírany [$mg \cdot l^{-1}$]	1 520	104	474	287	1 630	351	107	6 110	1 025	23
Kadmium [$\mu g \cdot l^{-1}$]	1,6	0,5	3,9	0,6	1,7	0,2	0,4	0,2	0,4	< 0,2
Měď [$\mu g \cdot l^{-1}$]	118	4,4	15	2,8	8,0	3,2	1,8	3,3	10,1	< 2
Olovo [$\mu g \cdot l^{-1}$]	100	0,5	< 0,5	0,8	< 0,5	< 0,5	1,2	0,4	1,8	< 0,5

Pro hydrologickou bilanci v roce 2025 bylo provedeno i zhodnocení výskytu skupin nebezpečných látek v podzemních vodách (vybrané toxické stopové prvky, těkavé organické látky, polycyklické aromatické uhlovodíky, pesticidy, farmaka, cheláty, benzotriazoly, perfluorované látky), u ukazatelů se stanovenými limitními hodnotami rovněž i formou porovnání zjištěných koncentrací s limity pro podzemní vodu dle vyhlášky č. 5/2011 Sb. ve znění pozdějších předpisů (pro skupinu pesticidů také dle směrnice Evropského parlamentu a Rady 2006/118/ES – příloha I).

U výskytu nadlimitních hodnot pro dusíkaté látky na objektech podzemních vod (**Obr. 3.6.9**) je stav v porovnání s rokem 2024 v procentuálním zastoupení nadlimitních koncentrací mírně vyšší u amonných iontů (13 %) a málo rozdílný u dusičnanů (10 %), dusitany se pak v podzemních vodách vyskytovaly většinou ve velmi nízkých koncentracích a k překročení limitní hodnoty pro podzemní vodu došlo pouze u dvou objektů z celkového počtu 1 443 odebraných vzorků. Dusičnany se do vod snadno vyplavují jako důsledek zemědělské činnosti v krajině a představují významný dlouhodobý indikátor hlavně antropogenního znečištění, neboť ve vodě jsou poměrně stabilní, což dokazuje i jejich přítomnost ve všech typech objektů podzemních vod sítě jakosti, i když očekávatelně je výskyt zvýšených koncentrací u mělkých vrtů a pramenů přece jen pravděpodobnější než u vrtů hlubokých. Ovšem situaci lze označit za stabilizovanou, protože i nadále platí, že koncentrace dusičnanů u více než dvou třetin vzorků byla do 15 $mg \cdot l^{-1}$, což je limit pro pitnou kojeneckou vodu. U amonných iontů zase byla téměř polovina stanovených hodnot pod mezí stanovitelnosti 0,05 $mg \cdot l^{-1}$, což je mimochodem desetina limitu pro podzemní vodu, čili limitní hodnota je 0,5 $mg \cdot l^{-1}$. Výraznější procentuální zastoupení nadlimitních koncentrací dusíkatých látek se objevuje zejména v lokalitách s tradičně vyšší intenzitou zemědělské a průmyslové činnosti (dílčí povodí Dyje, dílčí povodí Moravy a přítoků Váhu, dílčí povodí Horní Odry, dílčí povodí Horního a středního Labe, dílčí povodí Dolní Vltavy a dílčí povodí Berounky). Z dalších anorganických ukazatelů se ve vysokém počtu překročení limitu pro podzemní vodu vyskytoval mangan (**Obr. 3.6.14**), a to dokonce u 38 % vzorků. Zde je nutno poznamenat, že limit (uvedený jako referenční hodnota 0,05 $mg \cdot l^{-1}$ pro podzemní vodu ve vyhlášce MŽP a MZe č. 5/2011 Sb. ve znění pozdějších předpisů) je poměrně přísný. Za vhodných podmínek se může mangan dostávat z geologického prostředí do podzemních vod zcela přirozeně. Navíc výše limitu pro mangan byla vždy nastavována s ohledem na obavy ovlivnění pitné vody nežádoucími organoleptickými vlastnostmi, a nikoliv z důvodů toxikologických.

U vyhodnocení toxických stopových prvků (**Obr. 3.6.1, Obr. 3.6.3, Obr. 3.6.5, Obr. 3.6.14**) se nejčastěji v nadlimitních koncentracích pro podzemní vodu vyskytovaly baryum (47 % nadlimitních vzorků), arsen a kobalt (do 5 %), kadmium (3 %), nikl, a hliník (do 2 %). Referenční hodnota 50 $\mu g \cdot l^{-1}$ pro baryum (vyhláška MŽP a MZe č. 5/2011 Sb. v aktuálním znění) je však příliš přísná, protože je prakticky na úrovni přirozených pozaďových koncentrací tohoto prvku v prostých podzemních vodách. U barya je výskyt zvýšených koncentrací prakticky ve všech dílčích povodí, u ostatních kovů byly procentuálně nejčastěji detekovány v nadlimitních koncentracích v dílčích povodích Lužické Nisy a ostatních přítoků Odry, Ohře, Dolního Labe a ostatních přítoků Labe, Horní Vltavy, Berounky, Moravy a přítoků Váhu a s menší četností pak, u Horního a středního Labe a Dolní Vltavy.

U těkavých organických látek (**Obr. 3.6.15**), které byly analyzovány ve dvou třetinách vzorků podzemních vod, se nadlimitní koncentrace u většiny monitorovaných ukazatelů vyskytovaly jen zřídka, ovšem výjimkou je suma p-xylenu a m-xylenu a také toluenu (6 % nadlimitních vzorků), 1,2-cis-dichlorethenu (5 %), a 1,2-trans-dichlorethenu (2 %). Nadlimitní koncentrace těchto látek byly zjištěny zejména v dílčích povodích Horního a středního Labe, Dyje a Moravy a přítoků Váhu.

U skupiny polycyklických aromatických uhlovodíků (**Obr. 3.6.11**), stanovených u 80 % vzorků, se v nadlimitních koncentracích nejčastěji vyskytovaly polutanty s přísnějším limitem jako jsou fenantren a chrysen (3 % nadlimitních vzorků). Další nadlimitní koncentrace ve vzorcích podzemních vod se vyskytovaly u pyrenu a naftalenu (do 1 %). Nadlimitní koncentrace jednotlivých látek se samozřejmě projevily také v hodnotách ukazatele suma PAU (přes 2 %). Mimo fenantren a chrysen, kde byl alespoň jeden z nich zaznamenán v nadlimitních koncentracích u 6 z 10 dílčích povodí, byly zvýšené počty nadlimitních koncentrací dalších ukazatelů ze skupiny polycyklických aromatických uhlovodíků zjištěny zejména v dílčích povodích Moravy a přítoků Váhu, Dyje a Horního a středního Labe. Maximální naměřené koncentrace pro jednotlivé látky ze skupiny PAU byly nalezeny téměř výhradně u objektů podzemních vod v dílčích povodích Moravy a přítoků Váhu a Horního a středního Labe.

V početné skupině pesticidních látek (**Obr. 3.6.12, Obr. 3.6.13**) se, co do počtu nadlimitních koncentrací, nejvýrazněji projevují metabolity chloridazonu – chloridazon desfenyl (25 % nadlimitních vzorků) a chloridazon methyl desfenyl (12 %). Následuje rozsáhlá skupina metabolitů herbicidů metazachloru,

metolachloru, alachloru, acetochloru a dimethachloru (chloracetanilidy). Jsou to metazachlor ESA (14 % nadlimitních vzorků), metolachlor ESA (11 %); alachlor ESA (10 %);dimethachlor CGA369873 a metolachlor NOA 413173 (oba 8 %), metazachlor OA (5 %), acetochlor ESA (4 %) a dimethachlor ESA, metolachlor OA (2 %), Polutantem s relativně četnějším výskytem byl také triazinový herbicid atrazin 2-hydroxy nebo bentazon (oba 1 % nadlimitních vzorků). Dalším výrazným opakovaně se vyskytujícím pesticidem je metabolit hojně užívaného fungicidu chlorthalonilu, a to chlorthalonil TP R471811 s 12 % nadlimitních hodnot ve vzorcích podzemních vod. Ostatní pesticidy se v nadlimitních koncentracích vyskytovaly jen sporadicky. Vzorky podzemních vod s nadlimitními koncentracemi pesticidů byly odebrány převážně u mělkých vrtů. Nadlimitní koncentrace pesticidů byly stanoveny ve vzorcích podzemních vod u všech monitorovaných dílčích povodí, což se projevilo i ve výrazných hodnotách počtu překročení ukazatele suma pesticidů (celkem pro všechny vzorky – 29 % nadlimitních hodnot).

Vzhledem k široké škále monitorovaných a samozřejmě i používaných pesticidů, byly ve všech dílčích povodích lokalizovány objekty podzemních vod, které jsou zasaženy některými z těchto látek. Protože však sítě pozorovacích objektů v jednotlivých hodnocených dílčích povodích jsou rozdílné, jak do hustoty sítě objektů, tak do počtu procentuálního zastoupení mělkých vrtů (nejzranitelnější podzemní vody), nelze jednoznačně určit, které z těchto oblastí lze, s ohledem na monitoring této skupiny organických látek, považovat za výrazně méně znečištěné.

Kyselina 2-fenylbenzimidazol-5-sulfonová (PBSA), která silně absorbuje UV záření a je hojně používaná v kosmetice, byla analyzována v 931 odebraných vzorcích podzemních vod a nalezena u 9 objektů podzemních vod zejména v dílčích povodích Horního a středního Labe a Dyje.

U 3 chelátů v 911 odebraných vzorcích se v nadlimitních koncentracích vyskytoval ukazatel EDTA (40 vzorků) a to zejména na objektech dílčích povodí Horní a střední Labe, Morava a přítoky Váhu a Dyje.4 (resp. 2) hodnoty nad mezí stanovitelnosti byly prokázány také u ukazatele NTA (resp. PDTA).

U skupiny alkylfenolů byly nalezeny hodnoty nad mezí stanovitelnosti 0,03 $\mu g \cdot l^{-1}$ u ukazatele 4-nonylfenoly, kde na 720 sledovaných objektech z 754 odebraných vzorků bylo 26 pozitivních, ovšem ani jedna hodnota nepřekročila limit pro podzemní vodu ve výši 20 $\mu g \cdot l^{-1}$. Mezi alkylfenoly je řazen také bisfenol A (BPA), což je látka používaná zejména při výrobě plastů jako polykarbonátu a epoxidových pryskyřic. V rámci provozního monitoringu jakosti podzemních vod byl tento ukazatel znečištění sledován na 720 objektech a jeho přítomnost v podobě hodnoty nad mezí stanovitelnosti 0,01 $\mu g \cdot l^{-1}$ byla prokázána u 64 z nich, a to hlavně u objektů v dílčích povodích Horního a středního Labe a Ohře, Dyje, Dolního Labe a ostatních přítoků Labe a Moravy a přítoků Váhu.

Nadlimitní koncentrace di(2-ethylhexyl)ftalátu čili DEHP (změkčovadlo v plastech) byly zaznamenány na 6 z 720 monitorovaných objektů podzemních vod, což je mírné zlepšení proti roku 2024.

U ukazatele chloralkany C10 až C13 nebyla u 720 analyzovaných objektů nalezena žádná hodnota nad mezí stanovitelnosti 0,2 $\mu g \cdot l^{-1}$.

Přítomnost diethyltoluamidu (DEET), používaného v repelentech, byla prokázána u 9 vzorků, avšak v nadlimitní koncentraci nebyl ukazatel analyzován na žádném z objektů.

Terc-butyl(methyl)etheru (MTBE), který bývá součástí benzínů, byl nalezen ve vzorcích u 9 z 721 sledovaných objektů podzemních vod ve 2 dílčích povodích, zejména však v oblasti Horního a středního Labe a jednou v oblasti Horní Vltavy. Tyto výsledky jsou obdobné jako v roce 2024.

Ukazatele z početné skupiny léčiv (**Obr. 3.6.10**), sice nemají legislativně stanovený limit pro podzemní vodu, nicméně přítomnost alespoň některé látky z této skupiny byla prokázána na některém z objektů ve všech dílčích povodích s výjimkou dvou nejmenších (Lužické Nisy a ostatních přítoků Odry a ostatních přítoků Dunaje). Celkově byla u 126 objektů alespoň jedna ze sledovaných látek nad mezí stanovitelnosti. Mezi léčiva je řazen i kofein, který se nepřekvapivě vyskytuje nejčastěji z ukazatelů této skupiny se 72 pozitivními vzorky. Nicméně i po jeho vyloučení se některé z ostatních farmak vyskytuje na 72

sledovaných objektech podzemních vod. Tento fakt dokládá pozvolné pronikání těchto polutantů do podzemních vod ve větším počtu ukazatelů a do většího počtu lokalit, i když u více než dvou třetin pozitivních vzorků je suma sledovaných látek (bez kofeinu) nižší než 0,1 µg·l^{-1} a jedná se tedy zatím převážně o stopy léčiv v podzemních vodách.

Rychle se rozšiřující monitorovanou skupinou ukazatelů znečištění podzemních vod jsou také perfluorované a polyfluorované látky (PFAS). Jedná se o perzistentní organické látky odpuzující vodu a většinou i tuk, proto jsou využívány při výrobě celé škály nejrůznějších produktů. V rámci provozního monitoringu byly tyto látky sledovány na vybraných 720 lokalitách. V podzimním monitorovacím kole byl nově přidán i ukazatel TFA čili trifluoroctová kyselina (nalezena hodnota nad mezí stanovitelnosti u 80 % sledovaných objektů), jedná se o špatně odbouratelnou látku, u které existuje oprávněná obava, že její množství a četnost výskytu v životním prostředí se bude v průběhu let navyšovat, je totiž produktem rozkladu nejen průmyslově užívaných látek ze skupiny PFAS, ale i řady hojně užívaných pesticidů. Četnost výskytu dalších sledovaných látek z této skupiny je už výrazně nižší, i když ne zanedbatelná. Stopy 16 z dalších 22 analyzovaných látek byly nalezeny v odebraných vzorcích u 21 % monitorovaných objektů podzemních vod, a to převážně v dílčím povodí Horního a středního Labe, Moravy a přítoků Váhu, Dyje, Ohře, Dolního Labe a ostatních přítoků Labe, ale v menší míře i v dalších dílčích povodích.

Další monitorovanou skupinou organických látek, pro něž zatím nebyly stanoveny limitní hodnoty pro podzemní vodu, jsou benzotriazoly (sledované na 720 objektech) používané jako inhibitory koroze, součásti nemrznoucích směsí, hydraulických kapalin apod. Četnější výskyt u objektů podzemních vod mají 1H-benzotriazol (36 vzorků s hodnotou nad mezí stanovitelnosti 0,03 µg·l^{-1}) a 5-methyl-1H-benzotriazol (27 vzorků s hodnotou nad mezí stanovitelnosti), naopak u 1-methyl-1H-benzotriazolu nebyly nalezeny žádné hodnoty nad mezí stanovitelnosti. Tyto látky se vyskytují zejména u monitorovaných podzemních vod v dílčích povodích Horního a středního Labe (s maximy u obou nalezených látek) a Dyje.

Teprve čtvrtým rokem je prováděn monitoring ukazatelů náležících do skupiny PMOC (perzistentní a mobilní organické látky), všechny 3 sledované látky se užívají jako náhradní sladidla. Na 721 monitorovaných objektech byla ve vzorcích podzemních vod nejčastěji prokázána přítomnost látky acesulfam K (248 vzorků ve všech dílčích povodích vyjma malého povodí ostatních přítoků Dunaje), dále u látky cyklamát (12 vzorků) a podobně u sacharinu (5 vzorků).

Referenční hodnota 0,3 Bq·l^{-1} pro radiochemický ukazatel celková objemová aktivita alfa (10 % nadlimitních vzorků z 1110 analyzovaných), v **Obr. 3.6.8**, byla nejvýrazněji překročena (46,9 Bq·l^{-1}) již tradičně u hlubokého vrtu v lokalitě Kamenice v dílčím povodí Ohře, Dolní Labe a ostatní přítoky Labe. Nadlimitní hodnoty celkové objemové aktivity alfa byly naměřeny nejčastěji v podzemních vodách monitorovaných hlubokými vrty, hlavně v dílčích povodích Ohře, Dolní Labe a ostatní přítoky Labe, Horní a střední Labe, Horní Vltavy, Dyje a Morava a přítoky Váhu.

Seznam všech ukazatelů, které překračovaly v roce 2025 limity pro podzemní vody dle vyhlášky MŽP a MZe č. 5/2011 Sb. (ve znění pozdějších předpisů) a dle směrnice Evropského parlamentu a Rady 2006/118/ES – příloha I, a maximální hodnoty těchto ukazatelů s přiřazením lokalit jejich výskytu uvádí **Tab. 3.6.4**.

Hodnocené ukazatele byly vybrány jako charakteristické pro určité druhy znečištění (zejména antropogenní) s ohledem na současné potřeby hodnocení jakosti podzemních vod a klasifikaci obvykle používanou v členských státech EU.

V roce 2025 probíhal jak základní provozní monitoring (jarní období), tak rozsáhlý situační monitoring na podzim, který byl navíc rozšířený o celou škálu nově sledovaných látek ze skupiny per- a polyfluorovaných sloučenin (PFAS) s nejvyšší četností hodnot nad mezí stanovitelnosti u trifluoroctové kyseliny (TFA). Ostatní analyzované znečišťující látky jsou, co do maximálních nalezených koncentrací a procentuálního počtu překročení limitů pro jakost podzemních vod potvrzením výsledků z předchozích let. To platí také o nejrozsáhlejší monitorované skupině pesticidních látek, kde byl opět zjištěn výraznější podíl metabolitů (produktů rozpadu) než původních pesticidů.

Bilance jakosti vody v dílčích povodích

Dílčí povodí Horního a středního Labe

Jakost podzemních vod byla pozorována na 194 objektech pozorovací sítě. Tu v dílčím povodí Horního a středního Labe tvoří 32 pramenů, 63 mělkých vrtů a 99 hlubokých vrtů. Celkově se odebralo 385 vzorků podzemních vod na fyzikálně-chemickou analýzu.

V dílčím povodí Horního a středního Labe byly roční průměrné hodnoty pH mimo limitní interval u 45 ze 194 hodnocených objektů, všechny nevyhovující objekty měly hodnotu pH nižší než 6,5 a u žádného objektu nebyla zjištěna průměrná hodnota pH vyšší než 9,5. Limit pro ukazatel chemická spotřeba kyslíku manganistanem byl překročen u 21 objektů. Limit pro amonné ionty byl překročen u 26 objektů. Limit pro dusičnany byl překročen u 22 objektů. Limit pro kadmium byl překročen u 7 objektů. Limity pro ukazatele chloridy a sírany byly překročen u 5 objektů. Limit pro olovo byl překročen u 2 objektů. V ukazateli měď nedošlo k překročení limitních hodnot.

Z hlediska hodnocení procentuálního zastoupení nevyhovujících hodnot základních analyzovaných ukazatelů je možno pro toto dílčí povodí shrnout, že nejvýznamnějšími ukazateli znečištění ze skupiny základních ukazatelů byly dusíkaté látky: amonné ionty (14 % analyzovaných vzorků překračuje limit pro podzemní vodu) a dusičnany (11 % vzorků nad limit). Chloridy z hlediska počtu nadlimitních koncentrací nejsou významné, avšak bylo zde nalezen maximum 2 240 $mg \cdot l^{-1}$ v lokalitě Záboří nad Labem, v tomto vrtu byla zároveň stanovena druhá nejvyšší průměrná koncentrace sodíku 1 670 $mg \cdot l^{-1}$, nalezené vysoké koncentrace obou zmíněných ukazatelů se nejvýrazněji podílely i na druhé nejvyšší průměrné hodnotě celkové mineralizace 5 340 $mg \cdot l^{-1}$. Celková mineralizace podzemních vod tohoto dílčího povodí pak překračovala požadovaný limit pro pitnou vodu 1 000 $mg \cdot l^{-1}$ u 9 % analyzovaných vzorků. Při vyhodnocení skupiny kovů byly zjištěny maximální koncentrace stroncia, hliníku, barya, zinku, niklu, mědi, olova, kobaltu a beryllia. Z hlediska četnosti výskytu koncentrací překračujících limity jsou však významnější kovy kadmium, arsen a kobalt, i tak se ale nadlimitní hodnoty u žádného z těchto kovů netýkají více než 8 sledovaných objektů. Procentuální zastoupení nadlimitních vzorků u ukazatelů souvisejících obecně s organickým znečištěním jako je DOC (7 % nadlimitních vzorků), a $CHSK_{Mn}$ (11 % nadlimitních vzorků) patřilo při porovnání s ostatními dílčími povodími k průměru. V tomto dílčím povodí byla rovněž nalezena maximální koncentrace u aniontových tenzidů. Nalezen zde byl i nejvyšší počet maximálních koncentrací monitorovaných organických látek v rámci celé ČR a to u 63 z nich. Je však nutné dodat, že nalezené maximální koncentrace u 34 z těchto ukazatelů buď nepřekročily limitní hodnoty pro podzemní vodu, nebo pro ně tyto limity vůbec nejsou stanoveny. Maximální koncentrace sledovaných ukazatelů překračující limity pro podzemní vodu byly zaznamenány u 6 látek ze skupiny TOL, 27 pesticidních ukazatelů (byla nalezena i nejvyšší hodnota pro sumu pesticidů – mělký vrt v lokalitě České Meziříčí) a u chlorbenzenu. Dále u skupin látek bez určeného limitu pro podzemní vodu bylo maximum zjištěno u 9 ukazatelů v rámci monitorovaných léčiv, u 10 ukazatelů ze skupiny per- a polyfluorovaných látek (PFOS; nepřilnavé povrchy jako teflon a Gore-Tex, méně nasákavý papír, elektronika, farmaceutický průmysl atd.) a to včetně nově monitorované a hojně se vyskytující (přes 81% vzorků nad MS) trifluoroctové kyseliny (TFA) , u 2 benzotriazolů (součástí konzervačních činidel a přípravků proti korozi), u terc-butyl(methyl)etheru (MTBE; složka benzínu) a dále u kyseliny 2-fenylbenzimidazol-5-sulfonové čili PBSA (UV filtr v kosmetice). Vyšší počet nalezených polutantů z různorodých skupin organických látek je pochopitelně významně ovlivněn i faktem, že v Dílčím povodí Horního a středního Labe je jednoznačně nejvyšší počet monitorovaných objektů. Analýza specifických organických polutantů ukázala, že v rámci tohoto dílčího povodí je monitorován nejvyšší počet znečištěných objektů podzemních vod, zejména díky mnoha průmyslovým oblastem. I po monitoringu v roce 2025 nadále zůstává toto dílčí povodí v rámci hodnocení jako celku oblastí s horší kvalitou podzemních vod.

Dílčí povodí Horní Vltavy

Jakost podzemních vod byla pozorována na 81 objektech pozorovací sítě. Ta je v tomto dílčím povodí tvořena 21 prameny, 19 mělkými vrty a 41 hlubokými vrty. Celkově se odebralo 162 vzorků podzemních vod na fyzikálně-chemickou analýzu.

V dílčím povodí Horní Vltavy byly roční průměrné hodnoty pH mimo limitní interval u 53 z 81 hodnocených objektů, všechny nevyhovující objekty měly hodnotu pH nižší než 6,5 a žádný objekt neměl hodnotu pH vyšší než 9,5. Limit pro ukazatel chemická spotřeba kyslíku manganistanem byl překročen u 22 objektů. Limit pro dusičnany byl překročen u 6 objektů. Limit pro amonné ionty byl překročen u 5 objektů. Limity pro chloridy byl překročen u 2 objektů. Limit pro kadmium byl překročen u 1 objektu. Limity pro ukazatele sírany, měď a olovo nebyly překročeny na žádném z objektů.

Z hlediska hodnocení procentuálního zastoupení nevyhovujících hodnot základních analyzovaných ukazatelů je možno pro dílčí povodí Horní Vltavy shrnout, že nejpočetnější překročení požadovaných limitů pro podzemní vodu vykazovaly ukazatele organického znečištění $CHSK_{Mn}$ (23 % nadlimitních vzorků) a DOC (9 % nadlimitních vzorků). V porovnání s ostatními dílčími povodími to bylo pro $CHSK_{Mn}$ a pro DOC druhé nejvyšší procento nevyhovujících vzorků. Dále byly významnými ukazateli znečištění nutrienty, a to dusičnany a fosforečnany (7 % analyzovaných vzorků překročilo limit pro podzemní vodu), ovšem amonné ionty jen 4 % vzorků. Vyjma barya a manganu s příliš přísnými limity pro podzemní vody na hranici přirozeného výskytu byl u ostatních kovů významnější počet překročení limitní hodnoty pro podzemní vodu zaznamenán pro kobalt u 6 objektů a pro arsen u 5 objektů, to znamená 7 % (resp. 6 %) nevyhovujících vzorků. Analýzy specifických organických polutantů ukázaly, že z hlediska jejich maximálních stanovených koncentrací byla v tomto dílčím povodí zjištěna nejvyšší koncentrace u 1,1-dichlorethenu (skupina TOL), ovšem zároveň se jedná o jediný objekt s hodnotami nad mezí stanovitelnosti tohoto ukazatele v rámci dílčího povodí, lokalita Kestřany. Obdobně další těkavá organická látka 1,2-cis-dichlorethen překračuje limit pro podzemní vodu pouze na 1 objektu. Ze skupiny pesticidních látek byly naměřeny celorepubliková maxima pro alachlor ESA a metabolity atrazinu (atrazin desethyl a atrazin desethyl desisopropyl). Významnější zvýšené koncentrace byly zaznamenány také u látek chlorthalonil TP R471811, chloridazon desfenyl, metazachlor ESA, metolachlor ESA, acetochlor ESA a dimethachlor CGA369873. Pesticidy jsou nejvýznamnější v tomto dílčím povodí i z hlediska procentuálního zastoupení nadlimitních vzorků alachlor ESA (19 %), metazachlor ESA (18 %), metolachlor ESA (12 %), dimethachlor CGA369873 (10 %), chloridazon desfenyl a metolachlor NOA 413173 (7 %) a chlorthalonil TP R471811 (6 %). Pro skupinu polycyklických aromatických uhlovodíků jsou limitní hodnoty překročeny zejména u látek s přísnějším limitem a pouze u 3 sledovaných objektů. U organických látek bez přiřazeného limitu pro podzemní vodu byly nalezeny mírně zvýšené hodnoty nad mezí stanovitelnosti u gabapentinu a valsartanu (skupina léčiv), ale také např. čtvrtá nejvyšší koncentrace trifluoroctové kyseliny řazené ke skupině PFOS.

Dílčí povodí Berounky

Jakost podzemních vod byla pozorována na 46 objektech pozorovací sítě. Pozorovací síť v dílčím povodí tvoří 23 pramenů, 17 mělkých vrtů a 6 hlubokých vrtů. Celkově se odebralo 91 vzorků podzemních vod na fyzikálně-chemickou analýzu.

V dílčím povodí Berounky byly roční průměrné hodnoty pH mimo limitní interval u 10 ze 46 hodnocených objektů, všechny nevyhovující objekty měly hodnotu pH nižší než 6,5 a žádný objekt neměl hodnotu pH vyšší než 9,5. Limit pro dusičnany byl překročen u 5 objektů. Limity pro ukazatel chemická spotřeba kyslíku manganistanem byl překročen u 3 objektů. Limit pro kadmium byl překročen u 2 objektů. Limity pro ukazatele amonné ionty a sírany byly překročeny u 1 objektu. Limity pro ukazatele chloridy, měď a olovo nebyly překročeny na žádném z objektů.

Z hlediska hodnocení procentuálního zastoupení nevyhovujících hodnot základních analyzovaných ukazatelů je možno pro toto dílčí povodí shrnout, že nejvýznamnějším ukazatelem znečištění jsou zejména

dusičnany (11 % nadlimitních hodnot), naopak významně méně a s hodnotami jen mírně překračujícími limity pro podzemní vodu se na znečištění podílely fosforečnany (3 % nadlimitních vzorků) a amonné ionty (2 % nadlimitních vzorků), což ostatně koresponduje s monitoringem jakosti podzemních vod dílčího povodí Dolní Vltavy. Celková mineralizace podzemních vod překračovala požadovaný limit pro pitnou vodu u 3 % analyzovaných vzorků, což představuje nadlimitní hodnoty pouze u dvou objektů. Přítomnost organických látek vyjádřených přes ukazatele $CHSK_{Mn}$ a DOC (pouze 3 objektů s nadlimitními hodnotami) nebyla významná. Co se týče toxických kovů, byla zde v rámci monitoringu celé ČR zjištěna nejvyšší koncentrace kadmia (Doudlevce - Česalova studánka) a rtuti (Lhůta - U studánky). S ohledem na procentuální počet překročení limitních hodnot u odebraných vzorků jsou však významnější kovy kobalt (10 %) a nikl (7 %). U těkavých organických látek byla nalezena jediná mírně nadlimitní hodnota u tetrachlorethenu. Podobně i u polutantů z dalších monitorovaných skupin byla prokázána přítomnost ve vzorcích podzemních vod ojediněle a v koncentracích nepřesahujících limity nebo většinou blízko mezí stanovitelnosti. Výjimku jako obvykle tvoří ukazatele z nejčetnější sledované skupiny a to pesticidy, pro něž byly zjištěny nadlimitní maximální hodnoty v rámci ČR u látek atrazin 2-hydroxy, prometryn, terbutryn, dimethachlor OA, terbuthylazin 2-hydroxy, alachlor OA a desmetryn, nicméně všechna tato maxima byla nalezena na objektu podzemních vod v lokalitě Vochov. Takže k hodnotě 32 % nadlimitních vzorků pro sumu pesticidů přispívají významně jiné pesticidy, a to dimethachlor CGA369873 (25 % nadlimitních vzorků), alachlor ESA (24 %), chloridazon desfenyl (18 %), metazachlor ESA (17 %), metolachlor ESA (9 %), chlorthalonil R471811 (8 %), a metolachlor NOA 413173 (7 %). V porovnání s rokem 2024 došlo opět k mírnému zvýšení procentuálních počtů nadlimitních vzorků u monitorovaných pesticidů čili došlo ke zhoršení stavu kvality podzemních vod, avšak při porovnávání přítomnosti jiných druhů polutantů s ostatními dílčími povodími lze dílčí povodí Berounky řadit mezi ty méně znečištěné.

Dílčí povodí Dolní Vltavy

Jakost podzemních vod byla pozorována na 26 objektech. Pozorovací síť v dílčím povodí tvoří 17 pramenů, 5 mělkých vrtů a 4 hluboké vrty. Celkově se odebralo 52 vzorků podzemních vod na fyzikálně-chemickou analýzu.

V dílčím povodí Dolní Vltavy byly roční průměrné hodnoty pH mimo limitní interval u 10 z 26 hodnocených objektů, všechny nevyhovující objekty měly hodnotu pH nižší než 6,5 a žádný objekt neměl hodnotu pH vyšší než 9,5. Limit pro dusičnany byl překročen u 4 objektů. Limit pro kadmium byl překročen u 2 objektů. Limity pro ukazatele amonné ionty a chloridy byly překročeny u 1 objektu. Limity pro ukazatele chemická spotřeba kyslíku manganistanem, sírany, měď a olovo nebyly překročeny na žádném z objektů.

Z hlediska hodnocení procentuálního zastoupení nevyhovujících hodnot základních analyzovaných ukazatelů je možno shrnout, že pro dílčí povodí Dolní Vltavy byly nejvýznamnějším ukazatelem znečištění dusičnany (17 % analyzovaných vzorků překročilo limit pro podzemní vodu). To je druhé nejvyšší procento nadlimitních vzorků v tomto ukazateli. Skutečnost, že amonné ionty se vyskytovaly v nízkých koncentracích (limit pro podzemní vodu byl překročen pouze v lokalitě Olovnice), koresponduje s nižším počtem nadlimitních koncentrací pro tento ukazatel u pozorovaných objektů podzemních vod na území celého povodí Vltavy. U ukazatelů obecného znečištění organickými látkami, jako je $CHSK_{Mn}$ a DOC, je stav prakticky nejlepších ze všech sledovaných oblastí, nebyla nalezena žádná nadlimitní hodnota. Rovněž limitní hodnoty pro další základní ukazatele, jako jsou např. chloridy, byly překročeny jen ojediněle u jediného objektu. Celková mineralizace podzemních vod této oblasti překročila požadovaný limit pro pitnou vodu u 17 % analyzovaných vzorků. Z hlediska specifických polutantů patří dílčí povodí Dolní Vltavy k méně zatíženým. U kovů se nadlimitní hodnoty vyskytují u kadmia (2 objekty) a u kobaltu, molybdenu a antimonu (nadlimitní koncentrace pouze u 1 objektu). Obdobně u skupiny těkavých organických látek se vyskytují mírně nadlimitní hodnoty pouze u pramene Praha-Šárka - Habrovka. Maximální nadlimitní hodnoty v rámci celé ČR byly zaznamenány u antimonu v lokalitě Lichoceves (taktéž druhá nejvyšší hodnota pro molybden) a u 4 látek ze skupiny pesticidů (např. chlortoluron a tebukonazol), podstatnější je však četnost nadlimitních koncentrací u látek metazachlor ESA, chlorthalonil R471811, chloridazon desfenyl, metolachlor ESA a alachlor ESA. Další organické látky se buď

nevyskytují vůbec či v hodnotách blízkých mezím stanovitelnosti nebo v podlimitních koncentracích. Výjimku tvoří problematická nově monitorovaná látka ze skupiny PFOS trifluoroctová kyselina (TFA), která se ovšem v koncentracích nad mezí stanovitelnosti hojně vyskytuje ve všech sledovaných dílčích povodích. Při porovnání s předchozím monitorovacím obdobím nedošlo k výraznější změně v hodnocení jakosti podzemních vod, ovšem je potřeba brát na zřetel vliv nižší hustoty pozorovací sítě (pouze 26 lokalit), kde může snáze dojít k změně celkového hodnocení zařazením nebo naopak vyřazením, byť jediného pozorovacího objektu.

Dílčí povodí Ohře, Dolního Labe a ostatních přítoků Labe

Jakost podzemních vod byla pozorována na 135 objektech pozorovací sítě, kterou v dílčím povodí tvoří 23 pramenů, 30 mělkých vrtů a 82 hlubokých vrtů. Celkově se odebralo 269 vzorků podzemních vod na fyzikálně-chemickou analýzu.

V dílčím povodí Ohře, Dolního Labe a ostatních přítoků Labe byly roční průměrné hodnoty pH mimo limitní interval u 42 ze 135 hodnocených objektů, s výjimkou vrtu v lokalitě Pstruží u Merklína, kde byla roční průměrná hodnota pH vyšší než 9,5, měly všechny ostatní nevyhovující objekty hodnoty pH nižší než 6,5. Limit pro ukazatel chemická spotřeba kyslíku manganistanem byl překročen u 14 objektů. Limit pro amonné ionty byl překročen u 12 objektů. Limit pro dusičnany byl překročen u 11 objektů. Limit pro sírany byl překročen u 8 objektů. Limit pro kadmium byl překročen u 5 objektů. Limit pro chloridy byl překročen u 1 objektu. Limity pro ukazatele měď a olovo nebyly překročeny na žádném z objektů.

Z hlediska hodnocení procentuálního zastoupení nevyhovujících hodnot základních analyzovaných ukazatelů je možno shrnout, že v dílčím povodí Ohře, Dolního Labe a ostatních přítoků Labe bylo zjištěno u amonných iontů (9 % nadlimitních vzorků) a dusičnanů (7 %), u fluoridů a síranů (6 %). U fluoridů byla také stanovena maximální koncentrace v rámci celé ČR, u dusičnanů pak byl nalezen objekt s druhou nejvyšší průměrnou koncentrací (lokalita Travčice). Celková mineralizace podzemních vod této oblasti překračuje požadovaný limit pro pitnou vodu u 13 % analyzovaných vzorků. Monitorované toxické kovy jsou zde výrazně zastoupeny, jak co do procentuálního počtu nadlimitních koncentrací: arsen (9 %), kobalt (5 %), kadmium (4 %), hliník a nikl (3 %), tak i co do výskytu maximálních koncentrací v rámci ČR: arsen, vanad, a uran, který desetinásobně překračuje limit pro pitnou vodu 15 $\mu g \cdot l^{-1}$ v lokalitě Košťany. U niklu, kobaltu, selenu, beryllia a kadmia byl pak nalezen objekt s druhou nejvyšší průměrnou koncentrací těchto kovů. Přítomnost organických látek vyjadřují zvýšené hodnoty $CHSK_{Mn}$ (9 % nadlimitních vzorků) a DOC (7 %). Pramen v lokalitě Svatava - V břízkách je objekt s nejvyšší nalezenou hodnotou DOC v rámci ČR, navíc na této lokalitě byla rovněž zaznamenána druhá nejvyšší hodnota pro huminové látky. U skupiny TOL byla v tomto dílčím povodí zjištěna maximální koncentrace u 1,2-cis-dichlorethenu v Ústí nad Labem (Předlice), v stejné lokalitě byly nalezena i druhá nejvyšší průměrná hodnota u chlorethenu. Maximální hodnota byla nalezena pro di(2-ethylhexyl) ftalát (DEHP; zejména při výrobě PVC) a také pro látku 4-terciální oktylfenol (při výrobě povrchově aktivních látek tenzidů). Maximum bylo rovněž nalezeno při stanovení radiochemického ukazatele celková objemová aktivita alfa (lokalita Kamenice). Objevují se zde obvyklé pesticidy s vyšší počtem překročení limitních hodnot, jako jsou chloridazon desfenyl (9 % nadlimitních vzorků), chlorthalonil R471811 (8 %; u tohoto herbicidu bylo nalezeno i maximum v rámci ČR), metolachlor ESA, alachlor ESA a metolachlor NOA 413173 (5 % nadlimitních vzorků), metazachlor ESA (4 % nadlimitních vzorků) a chloridazon methyl desfenyl (3 %). Nebezpečné látky byly v této oblasti sice stanoveny ve více případech v maximálních koncentracích v rámci celé republiky, ale při posuzování zasažení oblasti jmenovitě pesticidními látky s ohledem na počet nadlimitních hodnot pro sumu pesticidů (12 % je druhá nejnižší hodnota z dílčích povodí) nebo např. polycyklickými aromatickými látkami vzhledem k velikosti jejich nalezených maximálních hodnot, se tato oblast jeví v porovnání se srovnatelnou oblastí, co do hustoty monitorovací sítě, Dílčím povodím Horního a středního Labe méně zasažená.

Dílčí povodí Horní Odry

Jakost podzemních vod byla pozorována na 56 objektech. Pozorovací síť v dílčím povodí tvoří 26 pramenů, 28 mělkých vrtů a 2 hluboké vrty. Celkově se odebralo 109 vzorků podzemních vod na fyzikálně-chemickou analýzu.

V dílčím povodí Horní Odry byly roční průměrné hodnoty pH mimo limitní interval u 20 z 56 hodnocených objektů, všechny nevyhovující objekty měly hodnotu pH nižší než 6,5 a žádný objekt neměl hodnotu pH vyšší než 9,5. Limity pro ukazatele chemická spotřeba kyslíku manganistanem a amonné ionty byly překročeny u 11 objektů. Limit pro dusičnany byl překročen u 4 objektů. Limity pro ukazatele sírany, chloridy, kadmium, měď a olovo nebyly překročeny na žádném z objektů.

Z hlediska hodnocení procentuálního zastoupení nevyhovujících hodnot základních analyzovaných ukazatelů je možno pro dílčí povodí Horní Odry shrnout, že nejvýznamnějším ukazatelem znečištění byly z dusíkatých látek amonné ionty, které v porovnání s ostatními oblastmi měly druhý nejvyšší procentuální počet analýz překračujících limit pro podzemní vodu (19 %), dusičnany byly naopak stanoveny v nadlimitních koncentracích v menším počtu vzorků (7 % analyzovaných vzorků překročilo limit pro podzemní vodu). Celková mineralizace podzemních vod se většinou pohybovala do 500 $mg \cdot l^{-1}$ tedy výrazně pod limitní hodnotu pro pitnou vodu (1 000 $mg \cdot l^{-1}$), která ostatně byla překročena pouze u 2 mělkých vrtů v lokalitě Věřňovice a Ostrava-Nová Ves. Přítomnost organických látek vyjádřených prostřednictvím ukazatele $CHSK_{Mn}$ (19 % nadlimitních vzorků) byla ze všech dílčích povodí třetí nejvyšší, ovšem samotné nadlimitní hodnoty nejsou extrémně vysoké, jsou v jednotkách $mg \cdot l^{-1}$, s tím korespondují i hodnoty pro ukazatel DOC, které byly pouze u 3 objektů nad limitních 5 $mg \cdot l^{-1}$. Počty vzorků s výskytem nadlimitních koncentrací toxických kovů jsou nízké, resp. byly zaznamenány pouze u 3 mělkých vrtů. Monitorované specifické organické polutanty se nacházely v nadlimitních hodnotách, při porovnání s ostatními dílčími povodími, na nižším počtu monitorovaných objektů jako např. u látek ze skupiny polycyklických aromatických uhlovodíků je to u 5 objektů s nadlimitními vzorky, u těkavých organických látek je to celkově u 2 objektů. Z průměru nevybočoval ani počet 8 objektů u skupiny sledovaných léčiv s výskytem hodnot nad mezí stanovitelnosti pro 7 pozitivních látek. Pesticidy nejsou ani tak významné nalezenými maximálními nadlimitními koncentracemi u MCPP a atrazinu, ale zejména procentuálními počty nadlimitních vzorků u ukazatelů metazachlor ESA (28 %), chloridazon desfenyl (20 %), metolachlor ESA (15 %), metazachlor OA (14 %), dimethachlor CGA369873 (11 %), metazachlor OA (9 %), chloridazon methyl desfenyl a chlorthalonil R471811 (7 %) a acetochlor ESA a (6 %). Uvedené skutečnosti potvrzují, že v rámci vyhodnocení monitoringu jakosti podzemních vod v roce 2025 je Dílčí povodí Horní Odry i nadále řazeno mezi oblasti významně znečištěné pesticidními látkami.

Dílčí povodí Lužické Nisy a ostatních přítoků Odry

Jakost podzemních vod byla pozorována na 11 objektech. Pozorovací síť v dílčím povodí tvoří 3 prameny, 7 mělkých vrtů a 1 hluboký vrt. Celkově se odebralo 21 vzorků podzemních vod na fyzikálně-chemickou analýzu.

V dílčím povodí Lužické Nisy a ostatních přítoků Odry byly roční průměrné hodnoty pH mimo limitní interval u 5 z 11 hodnocených objektů, všechny nevyhovující objekty měly hodnotu pH nižší než 6,5 a žádný objekt neměl hodnotu pH vyšší než 9,5. Limit pro ukazatel chemická spotřeba kyslíku manganistanem byl překročen u 3 objektů. Limity pro hodnocené ukazatele amonné ionty, dusičnany a kadmium byly překročeny u 1 objektu. Limity pro ostatní ukazatele (chloridy, sírany, měď a olovo) nebyly překročeny na žádném z objektů.

Z hlediska hodnocení procentuálního zastoupení nevyhovujících hodnot základních analyzovaných ukazatelů lze na základě výsledků analýz podzemních vod odebraných z nevelkého počtu pozorovacích objektů shrnout, že nejvýznamnější ukazatele znečištění náleží ke skupině stanovení indikujících organické látky $CHSK_{Mn}$ (33 % nadlimitních vzorků), DOC (29 % nadlimitních vzorků). To dokládá i fakt, že mělký vrt v lokalitě Hrádek nad Nisou je objektem s maximem pro $CHSK_{Mn}$, ale také huminové látky,

s druhou nejvyšší analyzovanou hodnotou pro DOC a třetí nejvyšší hodnotou pro anionaktivní tenzidy. Dusičnany a amonné ionty zde byly zjištěny v nižších koncentracích a k překročení limitních hodnot došlo vždy pouze u jediného objektu, pro amonné ionty opět u vrtu v Hrádku nad Nisou. Z anorganických látek často překračoval poněkud přísný limit (0,05 mg·l^{-1}) mangan (62 % nadlimitních vzorků). Ve skupině kovů byly nalezeny nadlimitní hodnoty pro podzemní vodu u kobaltu (u 3 objektů), arsenu a kadmia (u 1 objektu). Organických látky ze skupiny PAU (fluoren, naftalen a antracen) byly nad mezí stanovitelnosti pouze na objektu Hrádek nad Nisou, na tomtéž objektu byla detekována i nejvyšší hodnota pro EDTA (skupina komplexotvorné látky) a také nadlimitní hodnota pro 1,2-cis-dichlorethen ze skupiny těkavých organických látek. Z hlediska procentuálního počtu stanovení s překročením limitních hodnot lze považovat za významnější ukazatele ze skupiny pesticidů chloridazon desfenyl, alachlor ESA, metazachlor ESA, dimethachlor CGA369873, chloridazon methyl desfenyl a hexazinon. Nadlimitní hodnoty u nejvyššího počtu pesticidů se vyskytovaly v lokalitě Božanov. Poměrně vysoké hodnoty procentuálního překročení limitních hodnot pro podzemní vody u jednotlivých ukazatelů jsou zkresleny druhým nejnižším počtem odebraných vzorků v porovnání s ostatními dílčími povodími, ale i tak lze toto dílčí povodí považovat za zasažené organickými polutanty zejména pesticidy. Ve srovnání s předchozím pozorovacím obdobím nedošlo k významným změnám v jakosti podzemních vod.

Dílčí povodí Moravy a přítoků Váhu

Jakost podzemních vod byla pozorována na 93 objektech. Pozorovací síť v dílčím povodí tvoří 24 pramenů, 37 mělkých vrtů a 32 hlubokých vrtů. Celkově se odebralo 184 vzorků podzemních vod na fyzikálně-chemickou analýzu.

V dílčím povodí Moravy a přítoků Váhu byly roční průměrné hodnoty pH mimo limitní interval u 9 z 93 hodnocených objektů, všechny nevyhovující objekty měly hodnotu pH nižší než 6,5 a žádný objekt neměl hodnotu pH vyšší než 9,5. Limit pro amonné ionty byl překročen u 17 objektů. Limit pro ukazatel chemická spotřeba kyslíku manganistanem byl překročen u 11 objektů. Limity pro ukazatele dusičnany a chloridy byly překročeny u 5 objektů. Limit pro sírany byl překročen u 1 objektu. Limity pro ukazatele kadmium, měď a olovo nebyly překročeny na žádném z objektů.

Z hlediska hodnocení procentuálního zastoupení nevyhovujících hodnot základních analyzovaných ukazatelů je možno shrnout, že v tomto dílčím povodí byly nejvýznamnějším ukazatelem znečištění amonné ionty (18 % analyzovaných vzorků překročilo limit pro podzemní vodu) s nalezenou nejvyšší koncentrací amonných iontů v rámci ČR (lokalita Přerov - Dluhonice). V nepoměrně menší míře byly zastoupeny dusičnany (5 % nadlimitních vzorků). Dusitany sice nejsou významné počtem nadlimitních hodnot, ale bylo v této oblasti nalezeno jejich maximum (lokalita Brodek u Přerova). Z dalších anorganických ukazatelů se v nadlimitních koncentracích vyskytovaly také chloridy (5 % nevyhovujících vzorků). Celková mineralizace podzemních vod překračovala požadovaný limit pro pitnou vodu u 11 % analyzovaných vzorků. Významným je také vrt v lokalitě Bezměrov, kde byla právě stanovena maximální hodnota pro celkovou mineralizaci, na které se podílí zejména koncentrace síranů a sodíku, též maxima v rámci ČR, a vše stvrzeno i maximem pro konduktivitu. Zatímco přítomnost organických látek vyjádřených přes ukazatele $CHSK_{Mn}$ (14 % nadlimitních vzorků) řadí toto dílčí povodí k průměru při srovnávání s ostatními povodími, výskytem DOC patří toto dílčí povodí mezi lépe hodnocené s 3 objekty, kde byla nalezena nadlimitní hodnota. Při vyhodnocení počtu nadlimitních koncentrací toxických kovů lze toto dílčí povodí řadit mezi méně zasažené, za zmínku stojí pouze arsen (8 % nadlimitních vzorků), molybden se zaznamenanou maximální koncentrací v ČR (lokalita Kyselovice). Vysoké nebo přímo maximální koncentrace byly sice nalezeny i kovy, pro něž není v podzemní vodě stanoven limit, jako jsou bor, lithium a stroncium (lokalita Bezměrov) nebo baryum, ovšem jedná se o ojedinělé případy. Z nebezpečných látek zde bylo zjištěno maximum zejména u ukazatelů tetrachlorethen, trichlorethen, xyleny, toluen a ethylbenzen (skupina TOL), chloridazon methyl desfenyl, metazachlor OA, quinmerac, acetochlor ESA, acetochlor OA, glyfosát, a chloridazon (skupina pesticidů), ze skupiny PAU fluoranthen, benzo(b)fluoranthen, benzo(a)antracen, fenantren, benzo(a)pyren, chrysenu, indeno(1,2,3-c,d)pyren, benzo(g,h,i)perylen, benzo(k)fluoranthen a dibenzo(a,h)antracen (vše u pramene Velké Karlovice - Ve škaredici), ze skupiny léčiv sulfanilamid a náhradní sladidla acesulfam K a cyklamát ze skupiny PMOC

(perzistentní a mobilní organické látky). Byla prokázána i přítomnost ukazatele di(2-ethylhexyl)ftalát (DEHP), také maximum u alkylfenolů jako 4-nonylfenoly a bisfenol A (látka používaná zejména při výrobě plastů). Co se týče polycyklických aromatických uhlovodíků lze toto dílčí povodí z hlediska jakosti podzemních vod řadit mezi zasažené také s ohledem na počet nalezených nadlimitních koncentrací ve vzorcích - chrysen (6 %), fenantren (5 %) a suma PAU (5 %). Ještě výrazněji se vyskytují nadlimitní hodnoty pro těkavé organické látky 1,2-cis-dichlorethen (10 %), toluen (9 %), xyleny a tri- + tetrachlorethen (nad 5 %) a např. také 9 % nadlimitních hodnot u EDTA (komplexony). Stejně jako u ostatních oblastí i zde se promítá rozšiřování monitoringu pesticidních látek zvýšeným počtem nadlimitních vzorků, nejvíce k tomu přispívají látky chloridazon desfenyl (40 % nadlimitních vzorků), chloridazon methyl desfenyl (23 % nadlimitních vzorků), chlorthalonil R471811 a metazachlor ESA (10 % nadlimitních vzorků), metolachlor ESA (8 %), alachlor ESA (7 %), dimethachlor CGA369873 (6 %), metolachlor NOA 413173 (5 %) a acetochlor ESA (3 %). V porovnání s předchozími lety nadále trvá zařazení této oblasti mezi více znečištěné zejména z důvodu stagnujícího stavu s ohledem na přítomnost vyššího počtu nadlimitních koncentrací organických polutantů.

Dílčí povodí Dyje

Jakost podzemních vod byla pozorována na 83 objektech. Pozorovací síť v dílčím povodí tvoří 33 pramenů, 26 mělkých vrtů a 24 hlubokých vrtů. Celkově se odebralo 166 vzorků podzemních vod na fyzikálně-chemickou analýzu.

V dílčím povodí Dyje byly roční průměrné hodnoty pH mimo limitní interval u 11 z 83 hodnocených objektů, všechny nevyhovující objekty měly hodnotu pH nižší než 6,5 a žádný objekt neměl hodnotu pH vyšší než 9,5. Limit pro amonné ionty byl překročen u 19 objektů. Limit pro dusičnany byl překročen u 15 objektů. Limit pro ukazatel chemická spotřeba kyslíku manganistanem byl překročen u 10 objektů. Limit pro sírany byl překročen u 7 objektů. Limit pro chloridy byl překročen u 5 objektů. Limit pro kadmium byl překročen u 2 objektů. Limity pro ukazatele měď a olovo nebyly překročeny na žádném z objektů.

Z hlediska hodnocení procentuálního zastoupení nevyhovujících hodnot základních analyzovaných ukazatelů je možno shrnout, že nejpočetnější překročení požadovaných limitů pro podzemní vodu vykazovaly ukazatele amonné ionty (24 % nadlimitních vzorků) a dusičnany (18 %), u dusičnanů byla současně zaznamenána maximální hodnota pro ČR u pramene Božice - Karlovská studánka, tyto ukazatel měly v porovnání s ostatními oblastmi povodí nejvyšší procentuální zastoupení nadlimitních vzorků. Významným ukazatelem znečištění byly s 8 % nadlimitních vzorků pro podzemní vodu také sírany nebo fosforečnany a chloridy (7 %). Počet vyšších koncentrací u základních anorganických ukazatelů vede i k vyššímu počtu nadlimitních hodnot pro celkovou mineralizaci s 24 % nadlimitních vzorků pro pitnou vodu, rovněž tato hodnota je v porovnání s ostatními dílčími povodími nejvyšší. Hodnoty ukazatelů organického znečištění $CHSK_{Mn}$ (13 % nadlimitních vzorků) a DOC (7 % nadlimitních vzorků) byly v porovnání s hodnotami u dalších dílčích povodí, co do nalezených maximálních koncentrací, spíše průměrné. Z kovů jsou zastoupeny mezi ukazateli s nadlimitními hodnotami pouze kadmium, hliník a selen (u všech do 3 nalezených objekty), akorát pro selen bylo stanoveno i maximum v rámci ČR v lokalitě Pavlov. Výskyt specifických organických látek v maximálních koncentracích v rámci ČR byl zaznamenán u skupiny TOL pro tetrachlormethan, u alkylfenolů pro 4,4'-bisfenol F, u léčiv pro karbamazepin a příbuzné látky karbamazepin 10,11-dihydroxy a karbamazepin 10,11-epoxid, dále paracetamol a sulfamethazin a u skupiny pesticidů zejména pro metabolity metolachloru jako metolachlor ESA, metolachlor NOA 413173 a metolachlor CGA368208, dále hexazinon a pethoxamid ESA. Co se týče procentuálního počtu nadlimitních koncentrací, je významný z těkavých organických látek xyleny, toluen (14 %nadlimitních vzorků) a 1,2-cis-dichlorethen (8 %), ze skupiny pesticidů chloridazon desfenyl (33 % nadlimitních vzorků), metazachlor ESA (16 %), chlorthalonil R471811 a chloridazon methyl desfenyl (14 %), metolachlor NOA 413173 (12 %), metolachlor ESA, alachlor ESA a acetochlor ESA (11 %), , metazachlor OA a dimethachlor CGA369873 (6 %), z polycyklických aromatických uhlovodíků pak látky s přísným limitem (5 $ng \cdot l^{-1}$) chrysen (5 %) a fenantren (4 %). Celkově je možno konstatovat, že z hlediska požadavků pro podzemní vodu bylo v dílčím povodí Dyje v podzemních vodách zjištěno vyšší procento nevyhovujících vzorků, jak pro organické, tak pro anorganické ukazatele znečištění, což je stav

přetrvávající i z předchozích let a řadící dílčí povodí Dyje z hlediska hodnocení monitoringu jakosti podzemních vod mezi více znečištěné oblasti.

Dílčí povodí ostatních přítoků Dunaje

Jakost podzemních vod byla pozorována na 2 objektech. Pozorovací síť v dílčím povodí tvoří 1 pramen a 1 hluboký vrt. Celkově se odebraly 4 vzorky podzemních vod na fyzikálně-chemickou analýzu.

V dílčím povodí ostatních přítoků Dunaje byly roční průměrné hodnoty pH mimo limitní interval u 1 z 2 hodnocených objektů, tento hodnocený objekt měl hodnotu pH nižší než 6,5. Limity pro ukazatele chemická spotřeba kyslíku manganistanem, amonné ionty, dusičnany, chloridy, sírany, kadmium, měď a olovo nebyly překročeny u žádného ze dvou hodnocených objektů.

Z hlediska obsahu anorganických makrokomponent se u obou hodnocených objektů v tomto dílčím povodí jedná o poměrně čistou vodu, což lze odvodit i na základě nižších hodnot celkové mineralizace (do 82 resp. 135 $mg \cdot l^{-1}$). Nebyla nalezena žádná nadlimitní hodnota pro analyzované ukazatele jakosti podzemní vody. Nicméně i u těchto znečištěním prakticky nezasažených objektů podzemních vod byla přesto prokázána přítomnost trifluoroctové kyseliny (TFA) ze skupiny per a polyfluorovaných látek (PFOS), byť v nízkých koncentracích. Dílčí povodí ostatních přítoků Dunaje bylo sice vyhodnoceno jako nejméně znečištěné, nicméně je nutné přihlédnout k faktu, že se jedná na území ČR o naprosto miniaturní povodí, jak co do velikosti, tak co do počtu monitorovaných objektů.

Tab. 3.6.4 Objekty podzemních vod, u nichž byly naměřeny maximální roční průměrné hodnoty ukazatelů jakosti v rámci celé České republiky překračující limity dle vyhlášky MŽP a MZe č. 5/2011 Sb. (v aktuálním znění).

Sk	Ukazatel	CAS	J	Limit	Max	Objekt	Lokalita	DP
Základní ukazatele	amonné ionty	14798-03-9	mg·l^{-1}	0,5	36	VB0112	Přerov-Dluhonice	Mor
	celková mineralizace		mg·l^{-1}	1 000*	10 110	VB9662	Bezměrov	Mor
	dusičnany	14797-55-8	mg·l^{-1}	50	277	PB0264	Božice - Karlovská studánka	Dyje
	dusitany	14797-65-0	mg·l^{-1}	0,5	1,7	VB9533	Brodek u Přerova	Mor
	fluoridy	16984-48-8	mg·l^{-1}	1,5	5,5	VP8411	Ústí n. L. (Předlice)	Ohře
	fosforečnany	14265-44-2	mg·l^{-1}	0,5	5,8	VP7318	Záboří nad Labem	HSLa
	huminové látky	1415-93-6	mg·l^{-1}	MS	16	VP2017	Hrádek nad Nisou	LNisa
	CHSKMn		mg·l^{-1}	3	29	VP2017	Hrádek nad Nisou	LNisa
	chloridy	16887-00-6	mg·l^{-1}	200	2 230	VP7318	Záboří nad Labem	HSLa
	konduktivita v terénu		mS·m^{-1}	MS	1 075	VB9662	Bezměrov	Mor
	KNK4,5		mmol·l^{-1}	≥ 0,2	<0,05**	PP0002	Markoušovice – Kozí kameny	HSLa
	mangan celkový po filtraci	7439-96-5	mg·l^{-1}	0,05	6,5	VP2017	Hrádek nad Nisou	LNisa
	pH vody v terénu			6,5–9,5*	4,8**	VP7229	Horní Čermná	HSLa
	sírany	14808-79-8	mg·l^{-1}	400	6 110	VB9662	Bezměrov	Mor
	sodík	7440-23-5	mg·l^{-1}	200	2 470	VB9662	Bezměrov	Mor
	tenzidy aniontové		mg·l^{-1}	0,3	0,85	VP7318	Záboří nad Labem	HSLa
	DOC		mg·l^{-1}	5	18	PP0492	Svatava - V břízkách	Ohře
	uhlovodíky C10-40		mg·l^{-1}	0,1	0,10	VB9653	Kyselovice	Mor
Kovy	antimon po filtraci	7440-36-0	µg·l^{-1}	5	9,3	VP1727	Lichoceves	DVlta
	arsen po filtraci	7440-38-2	µg·l^{-1}	10	61	VP1855	Oloví	Ohře
	baryum po filtraci	7440-39-3	µg·l^{-1}	50	927	VP7231	Horní Dobrouč	HSLa
	beryllium po filtraci	7440-41-7	µg·l^{-1}	2	14	VP7420	Vyšehořovice	HSLa
	hliník po filtraci	7429-90-5	µg·l^{-1}	200	1 310	PP0993	Vamberk (Merklovice) - U Prokopa	HSLa
	kadmium po filtraci	7440-43-9	µg·l^{-1}	0,25	3,9	PP0368	Doudlevce - Česalova studánka	Ber
	kobalt po filtraci	7440-48-4	µg·l^{-1}	3	63	VP7420	Vyšehořovice	HSLa
	lithium po filtraci	7439-93-2	µg·l^{-1}	MS	2 880	VB9662	Bezměrov	Mor
	molybden po filtraci	7439-98-7	µg·l^{-1}	5	13	VP1727	Lichoceves	DVlta
	nikl po filtraci	7440-02-0	µg·l^{-1}	20	204	VP7420	Vyšehořovice	HSLa
	olovo po filtraci	7439-92-1	µg·l^{-1}	5	100	PP0002	Markoušovice - Kozí kameny	HSLa
	rtuť po filtraci	7439-97-6	µg·l^{-1}	0,2	0,34	PP0379	Lhůta - U studánky	Ber
	selen po filtraci	7782-49-2	µg·l^{-1}	10	14	VB9900	Pavlov	Dyje
	vanad po filtraci	7440-62-2	µg·l^{-1}	18	303	PP0513	Krásný Dvůr - Srnčík	Ohře
	zinek po filtraci	7440-66-6	µg·l^{-1}	150	364	VP1855	Oloví	Ohře
TOL	1,1,2-trichlorethan	79-00-5	µg·l^{-1}	MS	3,2	VP0699	Neratovice (Libiš)	HSLa
	1,1-dichlorethen	75-35-4	µg·l^{-1}	0,1	3,0	VP1113	Kestřany	HVlta
	1,2-cis-dichlorethen	156-59-2	µg·l^{-1}	0,1	135	VP1873	Ústí nad Labem (Předlice)	Ohře
	1,2-dichlorethan	107-06-2	µg·l^{-1}	3	7,7	VP0699	Neratovice (Libiš)	HSLa
	1,2-trans-dichlorethen	156-60-5	µg·l^{-1}	MS	33	VP0699	Neratovice (Libiš)	HSLa
	benzen	71-43-2	µg·l^{-1}	1	2,1	VP0699	Neratovice (Libiš)	HSLa
	ethylbenzen	100-41-4	µg·l^{-1}	0,2	0,30	VB9702	Rohatec	Mor
	chlorethen	75-01-4	µg·l^{-1}	0,5	288	VP0699	Neratovice (Libiš)	HSLa
	o-xylen	95-47-6	µg·l^{-1}	0,2	0,59	VB9702	Rohatec	Mor
	p+m-xylen		µg·l^{-1}	MS	1,1	VB9702	Rohatec	Mor
	tetrachlormethan	56-23-5	µg·l^{-1}	0,1	7,4	VB0284	Brno (Černovice)	Dyje
	toluen	108-88-3	µg·l^{-1}	0,2	1,1	VB9702	Rohatec	Mor
	tri + tetrachlorethen		µg·l^{-1}	10	108	VB0014	Postřelmov	Mor
	trichlormethan	67-66-3	µg·l^{-1}	2,5	5,5	VZ0001	Choceň Běstovice	HSLa

Sk	Ukazatel	CAS	J	Limit	Max	Objekt	Lokalita	DP
Pesticidy	1,2,4-triazol	288-88-0	µg·l^{-1}	0,1	0,33	VP0093	Skalička	HSLa
	2,6-dichlorbenzamid	2008-58-4	µg·l^{-1}	0,1	0,21	PP0091	Nedošín - U sv. Antoníčka	HSLa
	acetochlor ESA	187022-11-3	µg·l^{-1}	0,1	1,6	VB0071	Olomouc-Holice	Mor
	acetochlor OA	194992-44-4	µg·l^{-1}	0,1	0,60	VB0266	Drnholec	Dyje
	alachlor ESA	142363-53-9	µg·l^{-1}	0,1	5,3	VP7800	Hlubyně	HVlta
	alachlor OA	171262-17-2	µg·l^{-1}	0,1	0,22	VP1567	Vochov	Ber
	atrazin	1912-24-9	µg·l^{-1}	0,1	0,13	VO0172	Dolní Benešov	Odra
	atrazin 2-hydroxy	2163-68-0	µg·l^{-1}	0,1	1,0	VP1567	Vochov	Ber
	atrazin desethyl	6190-65-4	µg·l^{-1}	0,1	0,37	VP7800	Hlubyně	HVlta
	atrazin desethyl desisopropyl	3397-62-4	µg·l^{-1}	0,1	0,11	VP7800	Hlubyně	HVlta
	bentazon	25057-89-0	µg·l^{-1}	0,1	2,7	VP0725	Mratín	HSLa
	desmetryn	1014-69-3	µg·l^{-1}	0,1	0,10	VP1567	Vochov	Ber
	dimethachlor CGA369873	1418095-08-5	µg·l^{-1}	0,1	1,1	VP0375	Kobylnice	HSLa
	dimethachlor ESA	CASID 30748	µg·l^{-1}	0,1	0,96	VP0375	Kobylnice	HSLa
	dimethachlor OA	1086384-49-7	µg·l^{-1}	0,1	0,26	VP1567	Vochov	Ber
	dimethenamid ESA	205939-58-8	µg·l^{-1}	0,1	0,13	PP0359	Čachotín - Boučí	DVlta
	epoxykonazol	133855-98-8	µg·l^{-1}	0,1	0,28	VP0093	Skalička	HSLa
	glyfosát	1071-83-6	µg·l^{-1}	0,1	0,27	VB9662	Bezměrov	Mor
	hexachlorcyklohexan beta	319-85-7	µg·l^{-1}	0,1	0,13	VP0699	Neratovice (Libiš)	HSLa
	hexazinon	51235-04-2	µg·l^{-1}	0,1	0,34	VB0349	Břeclav (Charvátská Nová Ves)	Dyje
	chloridazon	1698-60-8	µg·l^{-1}	0,1	0,15	VB0049	Chořelice	Mor
	chloridazon desfenyl	6339-19-1	µg·l^{-1}	0,1	17	VP0131	České Meziříčí	HSLa
	chloridazon methyl desfenyl	17254-80-7	µg·l^{-1}	0,1	5,0	VB0150	Troubky	Mor
	chlorthalonil R417888	1418095-02-9	µg·l^{-1}	0,1	0,42	VP0698	Neratovice (Libiš)	HSLa
	chlorthalonil R471811		µg·l^{-1}	0,1	7,1	VP1805	Loužek	Ohře
	chlortoluron	15545-48-9	µg·l^{-1}	0,1	1,5	VP1308	Havlíčkův Brod	DVlta
	chlortoluron desmethyl	22175-22-0	µg·l^{-1}	0,1	0,12	VP1308	Havlíčkův Brod	DVlta
	isoproturon	34123-59-6	µg·l^{-1}	0,1	0,13	VP0093	Skalička	HSLa
	klopyralid	1702-17-6	µg·l^{-1}	0,1	2,3	VP0698	Neratovice (Libiš)	HSLa
	MCPP (mecoprop)	93-65-2	µg·l^{-1}	0,1	0,22	VO0166	Petřvaldík	Odra
	metazachlor ESA	172960-62-2	µg·l^{-1}	0,1	3,1	VP0261	Blížňovice	HSLa
	metazachlor OA	1231244-60-2	µg·l^{-1}	0,1	2,2	VB0150	Troubky	Mor
	metolachlor CGA368208	446027-17-4	µg·l^{-1}	0,1	1,2	VB9751	Borotice	Dyje
	metolachlor ESA	171118-09-5	µg·l^{-1}	0,1	4,1	VB9751	Borotice	Dyje
	metolachlor NOA 413173	1418095-19-8	µg·l^{-1}	0,1	2,5	VB9751	Borotice	Dyje
	metolachlor OA	152019-73-3	µg·l^{-1}	0,1	0,95	VP0516	Dvorce	HSLa
	metribuzin desamino diketo	52236-30-3	µg·l^{-1}	0,1	1,0	VP0516	Dvorce	HSLa
	pethoxamid ESA		µg·l^{-1}	0,1	0,33	VB0433	Mladkov	Dyje
	prometryn	7287-19-6	µg·l^{-1}	0,1	0,52	VP1567	Vochov	Ber
	propachlor ESA	947601-88-9	µg·l^{-1}	0,1	0,14	VP0131	České Meziříčí	HSLa
	quinmerac	90717-03-6	µg·l^{-1}	0,1	1,3	VB0150	Troubky	Mor
	tebukonazol	107534-96-3	µg·l^{-1}	0,1	0,50	VP1308	Havlíčkův Brod	DVlta
	terbuthylazin 2-hydroxy	66753-07-9	µg·l^{-1}	0,1	0,23	VP1567	Vochov	Ber
	terbutryn	886-50-0	µg·l^{-1}	0,1	0,34	VP1567	Vochov	Ber
	suma pesticidů		µg·l^{-1}	0,5	22	VP0131	České Meziříčí	HSLa

Sk	Ukazatel	CAS	J	Limit	Max	Objekt	Lokalita	DP
PAU	benzo(a)pyren	50-32-8	$\mu g \cdot l^{-1}$	0,01	0,03	PB0079	Velké Karlovice – Ve škaredici	Mor
	benzo(b)fluoranthen	205-99-2	$\mu g \cdot l^{-1}$	0,03	0,05	PB0079	Velké Karlovice – Ve škaredici	Mor
	benzo(g,h,i)perylen	191-24-2	$\mu g \cdot l^{-1}$	0,002	0,02	PB0079	Velké Karlovice – Ve škaredici	Mor
	fenantren	85-01-8	$\mu g \cdot l^{-1}$	0,005	0,06	VO0074	Věřňovice	Odra
	fluoranthen	206-44-0	$\mu g \cdot l^{-1}$	0,1	0,13	VB0264	Hrušovany nad Jevišovkou	Dyje
	fluoren	86-73-7	$\mu g \cdot l^{-1}$	0,1	0,24	VP2017	Hrádek nad Nisou	LNisa
	chrysen	218-01-9	$\mu g \cdot l^{-1}$	0,005	0,03	PB0079	Velké Karlovice – Ve škaredici	Mor
	indeno(1,2,3-c,d)pyren	193-39-5	$\mu g \cdot l^{-1}$	0,002	0,02	PB0079	Velké Karlovice – Ve škaredici	Mor
	naftalen	91-20-3	$\mu g \cdot l^{-1}$	0,1	0,14	PP0190	Rokytnice nad Jizerou – U dvou topolů	HSLa
	pyren	129-00-0	$\mu g \cdot l^{-1}$	0,1	0,20	VB0103	Lipník nad Bečvou	Mor
	suma PAU		$\mu g \cdot l^{-1}$	0,15	0,41	PB0079	Velké Karlovice – Ve škaredici	Mor
K	EDTA	60-00-4	$\mu g \cdot l^{-1}$	5	48	VP2017	Hrádek nad Nisou	LNisa
	PDTA	1939-36-2	$\mu g \cdot l^{-1}$	MS	4,3	VP7318	Záboří nad Labem	HSLa
O	celková objemová aktivita alfa		$Bq \cdot l^{-1}$	0,3	40	VP8445	Kamenice	Ohře
	chlorbenzen	108-90-7	$\mu g \cdot l^{-1}$	0,1	2,5	VP0699	Neratovice (Libiš)	HSLa
	di(2-ethylhexyl)ftalát (DEHP)	117-81-7	$\mu g \cdot l^{-1}$	1,3	4,3	VP7227	Orlické Záhoří, Trčkov	HSLa

CAS Číselné označení chemické látky dle Chemical Abstract Service
J Jednotky
K Syntetické komplexotvorné látky
MAX Maximum z ročních průměrných hodnot
MS Limitní hodnotou je přímo mez stanovitelnosti
O Ostatní ukazatele
PAU Polycyklické aromatické uhlovodíky
SK Skupina ukazatelů
TOL Těkavé organické látky
* Limity pro pitnou vodu dle vyhlášky MZ č. 252/2004 Sb.
** Pro ukazatele $KNK_{4,5}$ a pH je použito minimum
*** Limity pro pesticidy dle směrnice Evropského parlamentu a Rady 2006/118/ES – příloha I

DP Dílčí povodí
Ber Dílčí povodí Berounky
Dun Dílčí povodí ostatních přítoků Dunaje
DVlta Dílčí povodí Dolní Vltavy
Dyje Dílčí povodí Dyje
HSLa Dílčí povodí Horního a středního Labe
HVlta Dílčí povodí Horní Vltavy
Odra Dílčí povodí Horní Odry
LNisa Dílčí povodí Lužické Nisy a ostatních přítoků Odry
Mor Dílčí povodí Moravy a přítoků Váhu
Ohře Dílčí povodí Ohře, Dolního Labe a ostatních přítoků Labe

Bilance jakosti podzemní vody za období 2022 až 2025

Z důvodu, že v roce 2023 nebyl realizován program monitoringu jakosti podzemních vod na objektech státní pozorovací sítě ČHMÚ, bylo hodnocení tříletí jakosti podzemních vod pro hydrologickou bilanci zpracováno na základě výsledků v letech 2022, 2024 a 2025. Do hodnocení byly zahrnuty údaje ze 4274 analýz vzorků odebraných na 757 objektech této pozorovací sítě. V každém roce byly na monitorovaných objektech odebrány až dva vzorky podzemních vod. Odběry probíhaly v jarním a podzimním období. Hodnocení výsledků analýz bylo provedeno porovnáním s limitními hodnotami pro podzemní vodu dle požadavků vyhlášky Ministerstva životního prostředí a Ministerstva zemědělství č. 5/2011 Sb. popř. s limity pro pitnou vodu dle požadavků vyhlášky Ministerstva zdravotnictví č. 252/2004 Sb. a to v ukazatelích: chloridy (Cl^-), amonné ionty (NH_4^+), dusičnany (NO_3^-), sírany (SO_4^{2-}), chemická spotřeba kyslíku manganistanem ($CHSK_{Mn}$), měď (Cu), kadmium (Cd), olovo (Pb) a pH, definovaných v příloze č. 1 vyhlášky Ministerstva zemědělství č. 431/2001 Sb. Bilance jakosti podzemních vod v letech 2022, 2024 a 2025 dle dílčích povodí je zobrazena v grafu **Obr. 3.6.16.**

Dílčí povodí Horního a středního Labe

V dílčím povodí Horního a středního Labe je nejhustší síť pozorovacích objektů jakosti podzemních vod (206 objektů monitorovaných alespoň jednou během let 2022, 2024 a 2025), zastoupených jak prameny, tak mělkými i hlubokými vrty. Proto je možné souhrnné hodnocení kvality podzemních vod uvedené v grafu **Obr. 3.6.16** považovat za nejlépe vypovídající o skutečném stavu jakosti právě pro toto dílčí povodí. Procentuální počty překročení limitů u vybraných ukazatelů chemismu podzemních vod (pH, $CHSK_{Mn}$, NH_4^+, NO_3^-, Cl^-, SO_4^{2-} a Cd) lze v porovnání s ostatními dílčími povodími označit za průměrné. Oproti předchozímu tříletí 2020 až 2022 se mírně zvýšil počet hodnot pH pod 6,5 k 20 % a zároveň došlo k mírnému nárůstu nadlimitních hodnot u amonných iontů, chloridů, ale také z kovů u kadmia. U ostatních hodnocených ukazatelů chemického složení není zjevný nárůst či pokles procenta nadlimitních vzorků. Ze stopových prvků se vyskytují nadlimitní hodnoty kromě zmíněného Cd také u Pb v každém roce hodnoceného období.

Dílčí povodí Horní Vltavy

Při porovnání jednotlivých dílčích povodí je dílčí povodí Horní Vltavy zatíženo nejvyšším procentem hodnot pH v podzemní vodě mimo interval 6,5 – 9,5 (přesněji nižšími než hodnota 6,5) a to u více než ⅔ hodnot. S ohledem na nižší procentuální zastoupení mělkých vrtů mezi monitorovanými objekty (20 z 87 objektů) v tomto dílčím povodí, lze předpokládat, že nižší pH podzemní vody souvisí zejména s horninovým podložím a není tolik ovlivněno antropogenním znečištěním. Z dalších hodnocených ukazatelů se nadlimitní hodnoty pravidelně vyskytují u $CHSK_{Mn}$ a NO_3^-. V nižším počtu se nadlimitní hodnoty vyskytují u Cl^-, NH_4^+ a rovněž Cd. U Cd je ovšem překračován limit pro podzemní vodu pravidelně pouze u 2 objektů podzemních vod. Naopak nebyla nalezena žádná hodnota překračující limity podzemní vody pro SO_4^{2-} (limit je 400 $mg \cdot l^{-1}$) jejichž vyšší koncentrace ve vodě jsou obvykle spojovány mimo vlivy podloží také s průsaky znečištěných vod do vod podzemních. Vyšší hodnoty ukazatele $CHSK_{Mn}$ (chemicky oxidovatelných organických látek) můžou ukazovat na vliv zemědělské činnosti.

Dílčí povodí Berounky

Dílčí povodí Berounky je, při porovnání s dalšími oblastmi, povodím s průměrně vysokým procentuálním počtem hodnot pH vody mimo interval požadovaný pro kvalitu pitné vody, navíc tyto hodnoty mají k roku 2025 zjevně klesající trend. Relativně nižší je procentuální počet vzorků s nevyhovující koncentrací $CHSK_{Mn}$, opět s patrným snížením v roce 2025. V průběhu posledních 6 let prakticky totožný nízký počet nadlimitních koncentrací NH_4^+ je dán skutečností, že anorganických dusík se vyskytuje zejména v podobě NO_3^-, ovšem i počet nadlimitních hodnot této formy výskytu dusíku neroste, ale spíše pozvolna klesá, což může být považováno za mírně se lepšící stav z hlediska snižování znečištění dusíkatými látkami. Procentuální množství nadlimitních vzorků u ukazatele SO_4^{2-} lze považovat za podprůměrný v porovnání s ostatními dílčími povodími a opět se výrazně neměnící v průběhu posledních 6 let. Velmi nízký počet je

u koncentrací ukazatele Cl^- nad limit 200 mg·l^{-1} resp. nadlimitní hodnoty se v letech 2024 a 2025 vůbec nevyskytovaly. Pozornost však zasluhuje opakovaný výskyt nevyhovujících koncentrací toxického Cd.

Dílčí povodí Dolní Vltavy

Oproti dílčímu povodí Horního a střední Labe je pH výrazně procentuálně častěji mimo interval 6,5 až 9,5. Obdobně vysoké, resp. nízké procento nadlimitních koncentrací je u ukazatele Cl^- a naopak výrazně vyšší pak u ukazatele SO_4^{2-}. Naopak relativní četnost překročení limitů podzemní vody pro další ukazatele $CHSK_{Mn}$, a NO_3^- je nižší a v porovnání s ostatními oblastmi povodí je možné ji označit za podprůměrnou. Na rozdíl od povodí Vltavy, a naopak obdobně jako u Moravských oblastí povodí je vyšší (i když je mírně vyšší) část anorganického dusíku v podzemních vodách v podobně NH_4^+. Koncentrace NH_4^+ a NO_3^- vypovídají o obsahu anorganického dusíku a oxidačně-redukčních podmínkách v podzemních vodách. NO_3^- převažují v oxických podmínkách, naproti tomu NH_4^+ ve vodě s nižším obsahem kyslíku. Počet překročení limitů pro základní ukazatele ($CHSK_{Mn}$, NH_4^+, NO_3^-, SO_4^{2-} a Cl^-) v průběhu let 2022, 2024 a 2025 nijak výrazně neroste ani neklesá. Z kovů se stabilně vyskytuje 5 až 6 objektů s nadlimitními hodnotami pro kadmium.

Dílčí povodí Ohře, Dolního Labe a ostatních přítoků Labe

Oproti dílčímu povodí Horního a střední Labe je pH výrazně procentuálně častěji mimo interval 6,5 až 9,5. Obdobně vysoké, resp. nízké procento nadlimitních koncentrací je u ukazatele Cl^- a naopak výrazně vyšší pak u ukazatele SO_4^{2-}. Naopak relativní četnost překročení limitů podzemní vody pro další ukazatele $CHSK_{Mn}$, a NO_3^- je nižší a v porovnání s ostatními oblastmi povodí je možné ji označit za podprůměrnou. Na rozdíl od povodí Vltavy, a naopak obdobně jako u Moravských oblastí povodí je vyšší (i když jen mírně vyšší) část anorganického dusíku v podzemních vodách v podobně NH_4^+. Koncentrace NH_4^+ a NO_3^- vypovídají o obsahu anorganického dusíku a oxidačně-redukčních podmínkách v podzemních vodách. NO_3^- převažují v oxických podmínkách, naproti tomu NH_4^+ ve vodě s nižším obsahem kyslíku. Počet překročení limitů pro základní ukazatele ($CHSK_{Mn}$, NH_4^+, NO_3^-, SO_4^{2-} a Cl^-) v průběhu let 2022, 2024 a 2025 nijak výrazně neroste ani neklesá. Z kovů se stabilně vyskytuje 5 až 6 objektů s nadlimitními hodnotami pro kadmium.

Dílčí povodí Horní Odry

V tomto dílčím povodí je monitorován relativně nižší počet objektů podzemních vod a to 56, které navíc tvoří převážně prameny a mělké vrty, což v relativních číslech počtu nadlimitních hodnot uvedených ukazatelů vytváří dojem více znečištěné oblasti, byť faktický počet objektů, s překročením limitů pro podzemní vodu, je řádově v jednotkách. V této oblasti je sice relativně malý počet nadlimitních hodnot NO_3^-, a opravdu nízký pro SO_4^{2-} a Cl^-, ale procentuální počty nadlimitních hodnot pro pH a $CHSK_{Mn}$ a NH_4^+ jsou naopak relativně vysoké při porovnávání s ostatními oblastmi. S výjimkou poklesu počtu hodnot pH mimo interval 6,5 až 9,5 v průběhu srovnávaných tří let nelze u ostatních hodnocených ukazatelů jednoznačně hovořit o rostoucím či klesajícím trendu pro nadlimitní hodnoty. Koncentrace SO_4^{2-} je v porovnání s koncentracemi ve vzorcích podzemních vod odebraných v ostatních dílčích povodích nižší a obdobně jako u ukazatele Cd dochází k překračování limitu pro podzemní vodu pouze na jediném objektu. Nadlimitní hodnoty toxických kovů (Pb a Cu) v dílčím povodí Horní Odry se v podzemních vodách monitorovaných objektů vůbec nevyskytují.

Dílčí povodí Lužické Nisy a ostatních přítoků Odry

V dílčím povodí Lužické Nisy a ostatních přítoků Odry se nachází poměrně málo monitorovaných objektů podzemních vod, resp. oproti ostatním dílčím povodím se jedná o druhý nejnižší počet objektů vůbec (pouze 11 objektů). Porovnávání této oblasti s ostatními může být tudíž více zkreslené. Zde je charakteristický vyšší počet překročení limitů pro pitnou vodu v ukazateli $CHSK_{Mn}$ (4 objekty nad limit). S výjimkou u pH (u téměř ⅔ objektů se vyskytuje hodnota pod 6,5) a $CHSK_{Mn}$ byly další nadlimitní hodnoty nalezeny vždy jen na jednom objektu (pro NH_4^+, NO_3^-, Cl^- i Cd). Z trendů změn nadlimitních koncentrací

hodnocených ukazatelů v rámci tří let 2022, 2024 až 2025 se dá vypozorovat téměř neměnný stav. Nadlimitní hodnoty SO_4^{2-} a kovů Cu a Pb nebyly stanoveny vůbec nikde.

Dílčí povodí Moravy a přítoků Váhu

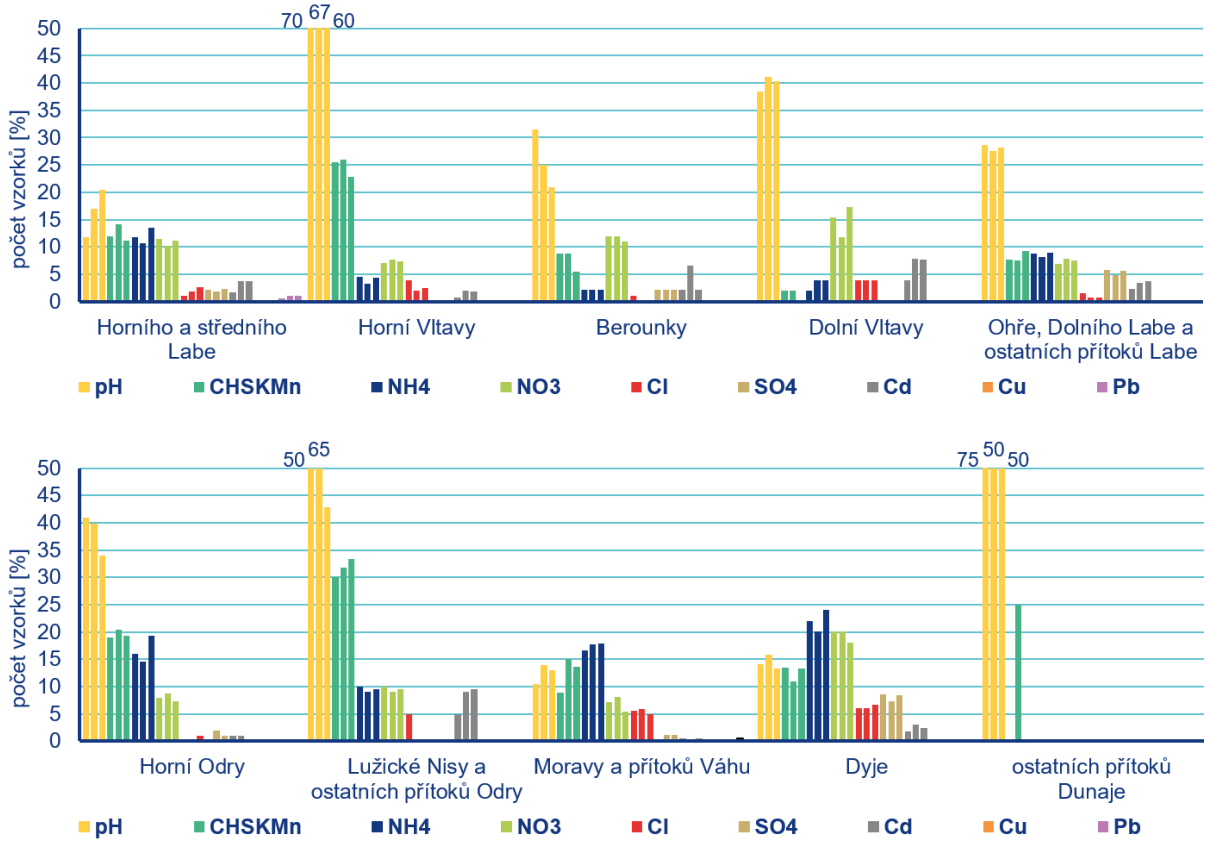
Vyjma ukazatele NH_4^+ jsou obdobně jako u dílčího povodí Horního a středního Labe podzemní vody v dílčím povodí Moravy s menším počtem nadlimitních hodnot základních ukazatelů. Relativní četnost hodnot překračujících limity je vyšší než 10 % u kromě již zmíněného ukazatele NH_4^+ také u $CHSK_{Mn}$ a taktéž u pH, kde byly hodnoty v 10 až 14 % pod 6,5 a u jednoho objektu došlo i k překročení hodnoty 9,5. Na mírný růst u procentuálního počtu nadlimitních koncentrací pro podzemní vodu lze usoudit u NH_4^+, u dalších ukazatelů nelze trend v průběhu tří let 2022, 2024 až 2025 jednoznačně určit. V podzemních vodách tohoto dílčího povodí byly zjištěny ojedinělé koncentrace nevyhovující limitům u SO_4^{2-} a obdobně i u kovů Cd a Pb.

Dílčí povodí Dyje

Při porovnání s dílčím povodím Moravy a přítoků Váhu obsahuje podzemní voda odebraná z monitorovaných objektů v povodí Dyje v průměru četněji nadlimitní koncentrace hodnocených ukazatelů. Výrazně vyšší jsou zejména počty překročení limitů u NH_4^+ a NO_3^-. Stejně jako u dílčích povodí Odry a Moravy je patrný vyšší počet nadlimitních koncentrací NH_4^+ s četnějším překročením limitu pro podzemní vodu oproti NO_3^-, i když rozdíl procentuálního počtu překročení pro obě formy anorganického dusíku není u tohoto dílčího povodí tak výrazný. Relativně vysoké jsou v průběhu hodnocených let také počty nevyhovujících vzorků u Cl^- a SO_4^2 a lze usuzovat na negativní ovlivnění kvality podzemních vod lidskou činností. Počty nadlimitních hodnot se v průběhu let, a to i při porovnání s předchozím hodnoceným tříletím, výrazně nemění, a tudíž míra znečištění zůstává na obdobné úrovni. S výjimkou Cd nebylo znečištění nadlimitními koncentracemi dalších hodnocených kovů (Cu a Pb) prokázáno.

Dílčí povodí ostatních přítoků Dunaje

V dílčím povodí ostatních přítoků Dunaje proběhlo sledování v hodnocených tří letech na pouhých 3 lokalitách monitorovací sítě jakosti podzemních vod. Z hodnocených ukazatelů vykazovaly vzorky nižší hodnotu pH než 6,5 u 2 monitorovaných objektů podzemních vod (u jednoho pramene a u hlubokého vrtu). Z dalších hodnocených ukazatelů znečištění bylo zjištěno překročení limitních hodnot pouze v ukazateli $CHSK_{Mn}$, a to na jednom ze sledovaných objektů u jediného vzorku.



Obr. 3.6.16 Procentuální počet vzorků podzemních vod v letech 2022, 2024 a 2025 překračujících limity pro podzemní vodu v dělení podle dílčích povodí

PŘÍLOHA 1

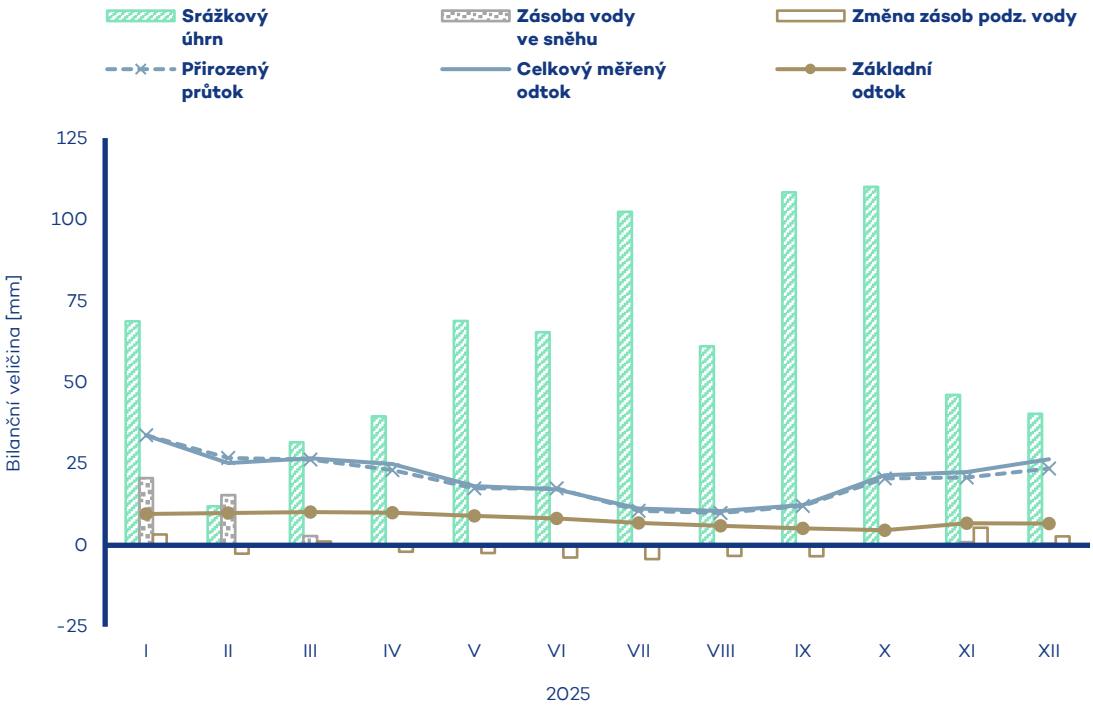
Bilance množství vody v bilančních profilech

Výsledky hydrologické bilance množství vody pro každý ze 74 bilančních profilů jsou uvedeny formou tabulek a grafů bilančních veličin.

V tabulkách s vyhodnocením odchylek bilančních veličin od normálu jsou na červené škále odlišeny hodnoty podnormální (mírně podnormální), silně podnormální a mimořádně podnormální, na modré škále pak hodnoty nadnormální (mírně nadnormální), silně nadnormální a mimořádně nadnormální.

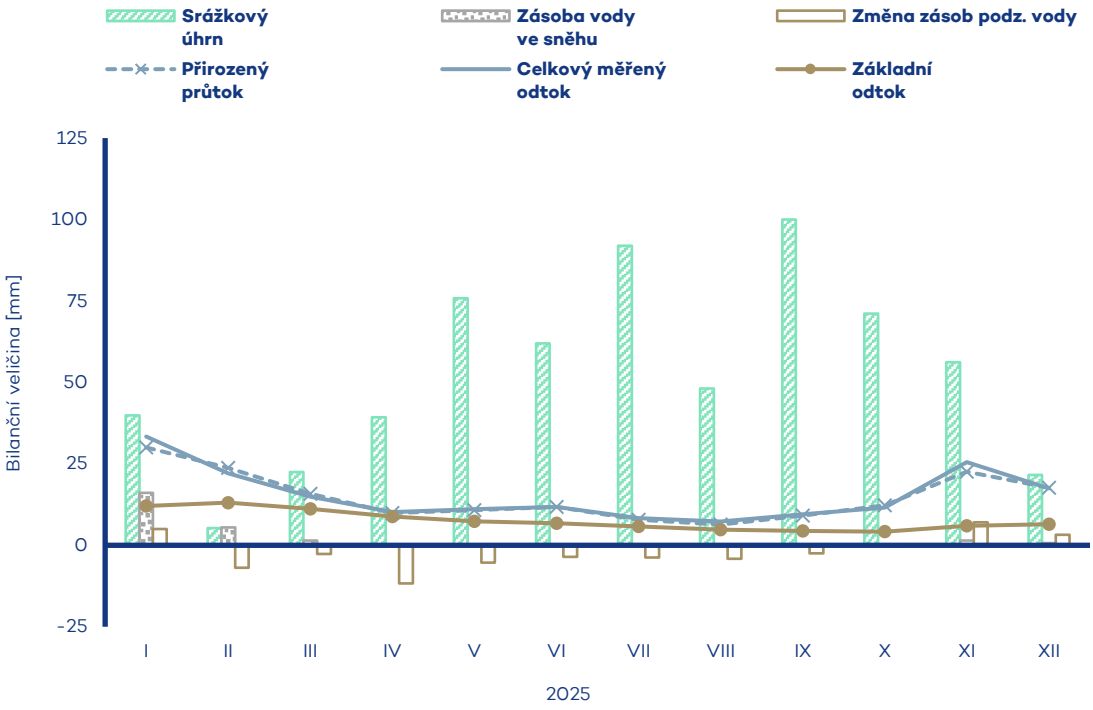
Tok	Bilanční profil	ID stanice	Plocha povodí [km^2]
Labe	**Jaroměř**	**016000**	1223.72

Měsíc	Teplota vzduchu		Srážkový úhrn		Celkový měřený odtok			Základní odtok			Zásoba vody ve sněhu		Změna zásob podz. vody	Přirozený průtok		
	[°C]	[odch.°C]	[mm]	[%norm]	[mm]	[m^3·s^{-1}]	[%norm]	[mm]	[m^3·s^{-1}]	[%norm]	[mm]	[%norm]	[mm]	[mm]	[m^3·s^{-1}]	[%norm]
I	-0.7	*1.8*	68.8	*91%*	33.7	15.4	*84%*	9.6	4.84	*103%*	20.6	*40%*	3.3	33.8	15.4	*85%*
II	-1.9	*-0.4*	12.0	*20%*	25.3	12.8	*67%*	9.9	4.99	*93%*	15.4	*23%*	-2.6	26.8	12.2	*64%*
III	4.2	*2.4*	31.6	*48%*	26.7	12.2	*46%*	10.2	4.66	*75%*	2.8	*5%*	1.2	26.4	12.0	*46%*
IV	9.6	*2.5*	39.6	*97%*	24.9	11.8	*44%*	10.0	4.56	*62%*	0	*0%*	-2.0	23.0	11.7	*43%*
V	9.7	*-2.2*	68.9	*98%*	18.2	8.31	*44%*	9.0	4.11	*54%*	0	*0%*	-2.4	17.4	7.97	*43%*
VI	16.7	*1.4*	65.4	*80%*	17.2	8.11	*76%*	8.3	3.78	*60%*	0	–	-3.7	17.5	7.98	*75%*
VII	16.8	*-0.3*	102.4	*103%*	11.3	5.14	*48%*	6.8	3.13	*60%*	0	–	-4.2	10.6	5.02	*48%*
VIII	16.4	*-0.2*	61.1	*71%*	10.5	4.81	*60%*	6.0	2.73	*60%*	0	–	-3.3	9.9	4.52	*59%*
IX	12.8	*0.9*	108.4	*159%*	12.4	5.84	*62%*	5.2	2.38	*57%*	0	–	-3.4	12.1	5.69	*63%*
X	6.8	*-0.4*	110.0	*169%*	21.5	9.84	*102%*	4.6	2.34	*61%*	0	*0%*	0.3	20.5	9.67	*102%*
XI	2.3	*-0.3*	46.2	*71%*	22.5	10.6	*88%*	6.8	3.11	*80%*	1.0	*26%*	5.4	20.8	10.5	*88%*
XII	0.6	*2.1*	40.4	*52%*	26.4	12.0	*86%*	6.6	3.35	*82%*	0.5	*2%*	2.7	23.6	11.9	*86%*
2025	7.8	*0.6*	754.8	*88%*	250.5	9.74	*63%*	92.9	3.66	*70%*	40.3	*19%*	-8.7	242.4	9.56	*63%*



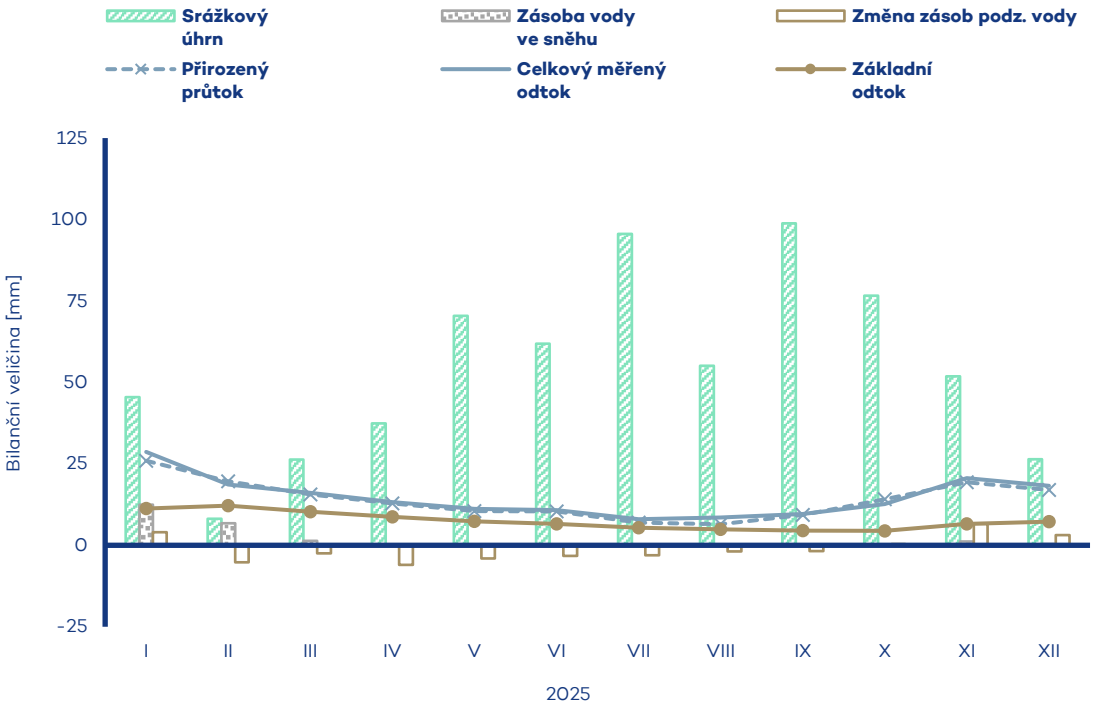
Tok	Bilanční profil	ID stanice	Plocha povodí [km^2]
Orlice	**Týniště nad Orlicí**	**037000**	1556.40

Měsíc	Teplota vzduchu		Srážkový úhrn		Celkový měřený odtok			Základní odtok			Zásoba vody ve sněhu		Změna zásob podz. vody	Přirozený průtok		
	[°C]	[odch.°C]	[mm]	[%norm]	[mm]	[m^3·s^{-1}]	[%norm]	[mm]	[m^3·s^{-1}]	[%norm]	[mm]	[%norm]	[mm]	[mm]	[m^3·s^{-1}]	[%norm]
I	-0.4	*1.6*	39.9	*61%*	33.4	19.4	*86%*	12.1	7.79	*132%*	16.1	*51%*	5.0	30.0	19.3	*87%*
II	-1.7	*-0.8*	5.3	*10%*	22.1	14.2	*59%*	13.1	7.61	*109%*	5.5	*14%*	-6.9	23.7	13.8	*57%*
III	4.4	*1.9*	22.5	*37%*	15.0	8.70	*26%*	11.2	6.53	*78%*	1.5	*6%*	-2.7	15.8	9.18	*28%*
IV	9.5	*1.5*	39.3	*91%*	10.2	6.13	*25%*	8.9	5.15	*54%*	0	*0%*	-11.7	10.0	6.40	*26%*
V	9.9	*-2.8*	75.8	*100%*	11.1	6.47	*47%*	7.4	4.29	*54%*	0	–	-5.3	10.8	6.26	*46%*
VI	17.1	*1.1*	62.0	*72%*	11.7	7.05	*64%*	6.8	3.95	*62%*	0	–	-3.6	11.8	6.84	*62%*
VII	17.3	*-0.5*	91.9	*87%*	8.3	4.83	*39%*	5.7	3.34	*59%*	0	–	-3.7	7.8	4.56	*38%*
VIII	16.6	*-0.8*	48.1	*60%*	7.3	4.24	*51%*	4.8	2.79	*54%*	0	–	-4.1	6.4	4.09	*50%*
IX	13.1	*0.5*	100.0	*142%*	9.5	5.69	*57%*	4.4	2.55	*53%*	0	–	-2.5	9.1	5.48	*55%*
X	7.2	*-0.6*	71.1	*121%*	11.6	6.73	*67%*	4.2	2.43	*53%*	0	*0%*	-0.3	12.3	7.12	*72%*
XI	2.7	*-0.7*	56.2	*96%*	25.6	15.3	*110%*	6.0	3.47	*73%*	1.5	*58%*	7.1	22.6	14.5	*104%*
XII	0.8	*1.7*	21.6	*33%*	17.5	10.2	*64%*	6.5	3.79	*74%*	0.7	*6%*	3.2	17.7	10.3	*65%*
2025	8.0	*0.2*	633.7	*77%*	183.2	9.08	*55%*	91.1	4.47	*71%*	25.3	*22%*	-25.5	177.9	8.99	*54%*



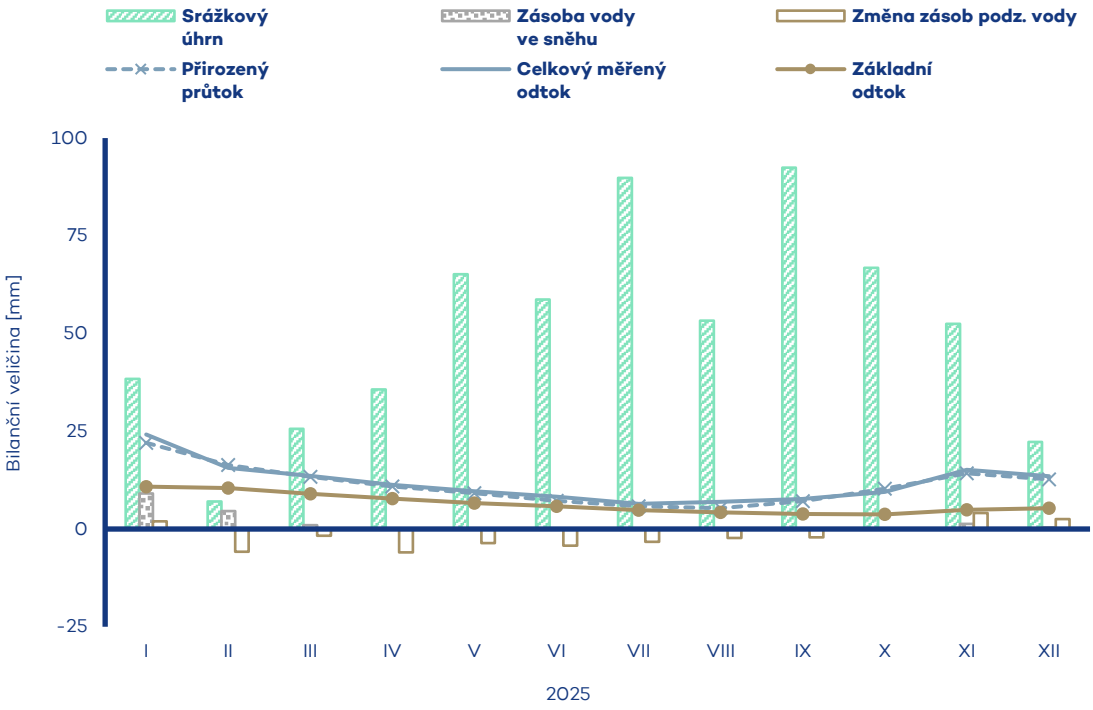
Tok	Bilanční profil	ID stanice	Plocha povodí [km^2]
Labe	**Němčice**	**042000**	4297.02

Měsíc	Teplota vzduchu		Srážkový úhrn		Celkový měřený odtok			Základní odtok			Zásoba vody ve sněhu		Změna zásob podz. vody	Přirozený průtok		
	[°C]	[odch.°C]	[mm]	[%norm]	[mm]	[m^3·s^{-1}]	[%norm]	[mm]	[m^3·s^{-1}]	[%norm]	[mm]	[%norm]	[mm]	[mm]	[m^3·s^{-1}]	[%norm]
I	-0.2	*1.8*	45.5	*73%*	28.7	46.0	*86%*	11.3	20.1	*117%*	12.5	*40%*	4.0	25.9	46.1	*88%*
II	-1.4	*-0.5*	8.1	*16%*	18.7	33.2	*58%*	12.2	19.5	*95%*	6.8	*17%*	-5.2	19.6	31.5	*55%*
III	4.6	*2.2*	26.3	*46%*	16.1	25.8	*33%*	10.3	16.5	*66%*	1.4	*5%*	-2.5	15.6	25.1	*31%*
IV	10.0	*2.0*	37.4	*93%*	13.2	21.9	*34%*	8.7	14.0	*49%*	0	*0%*	-6.0	12.8	22.8	*34%*
V	10.3	*-2.5*	70.4	*98%*	11.2	17.9	*44%*	7.3	11.7	*48%*	0	*0%*	-4.0	10.5	16.8	*43%*
VI	17.3	*1.2*	61.9	*77%*	10.8	17.9	*63%*	6.5	10.5	*57%*	0	–	-3.3	10.4	16.8	*63%*
VII	17.4	*-0.4*	95.6	*96%*	8.0	12.9	*42%*	5.4	8.66	*54%*	0	–	-3.1	6.9	11.5	*42%*
VIII	17.0	*-0.5*	55.1	*69%*	8.6	13.8	*60%*	4.9	7.79	*53%*	0	–	-1.9	6.5	11.5	*61%*
IX	13.4	*0.7*	98.8	*151%*	9.6	15.9	*58%*	4.5	7.16	*54%*	0	–	-1.8	9.3	15.4	*67%*
X	7.4	*-0.5*	76.6	*134%*	12.7	20.4	*78%*	4.4	7.12	*56%*	0	*0%*	0.4	14.1	22.6	*96%*
XI	2.8	*-0.5*	51.9	*92%*	20.6	34.1	*101%*	6.6	10.6	*79%*	1.2	*50%*	6.6	19.3	34.3	*107%*
XII	1.0	*1.9*	26.4	*42%*	18.2	29.3	*78%*	7.3	11.7	*83%*	0.4	*3%*	3.1	17.0	27.3	*74%*
2025	8.3	*0.4*	654.0	*83%*	176.3	24.1	*57%*	89.4	12.1	*67%*	22.3	*19%*	-13.7	168.1	23.5	*58%*



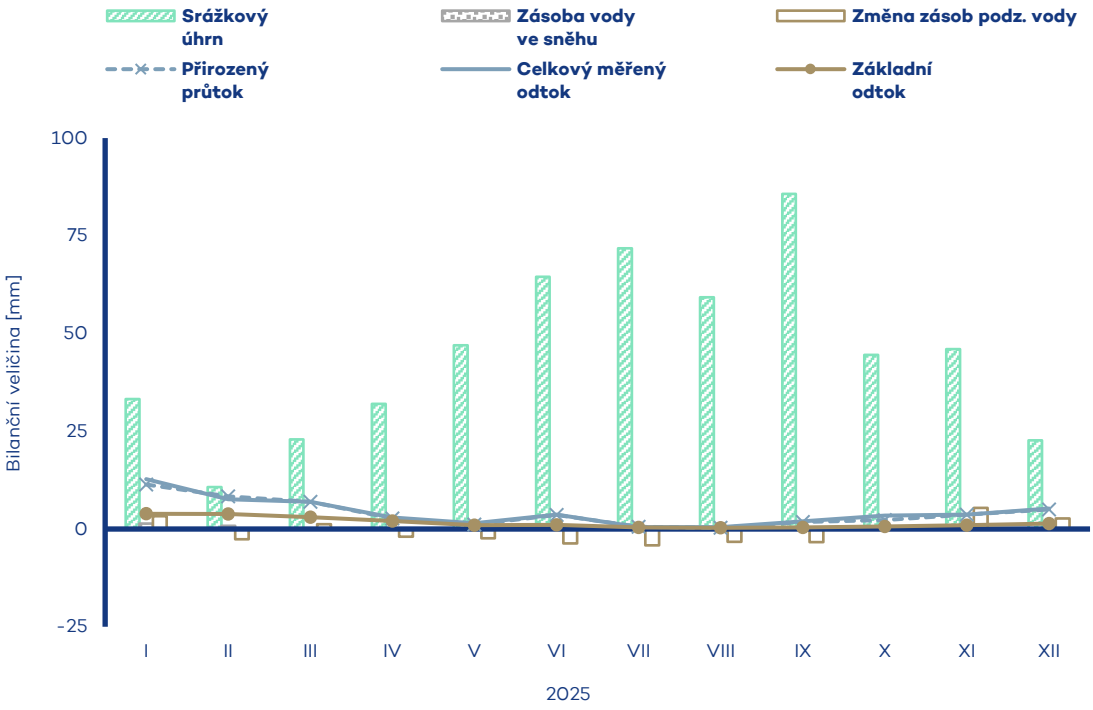
Tok	Bilanční profil	ID stanice	Plocha povodí [km^2]
Labe	**Přelouč**	**061000**	6436.43

Měsíc	Teplota vzduchu		Srážkový úhrn		Celkový měřený odtok			Základní odtok			Zásoba vody ve sněhu		Změna zásob podz. vody	Přirozený průtok		
	[°C]	[odch.°C]	[mm]	[%norm]	[mm]	[m^3.s^{-1}]	[%norm]	[mm]	[m^3.s^{-1}]	[%norm]	[mm]	[%norm]	[mm]	[mm]	[m^3.s^{-1}]	[%norm]
I	0.1	*1.8*	38.4	*69%*	24.2	58.1	*87%*	10.8	26.0	*123%*	9.1	*37%*	2.0	22.1	58.7	*89%*
II	-1.1	*-0.4*	7.0	*15%*	15.6	41.6	*57%*	10.4	25.1	*100%*	4.6	*15%*	-5.8	16.4	39.4	*54%*
III	5.0	*2.2*	25.6	*47%*	13.6	32.6	*33%*	9.0	21.7	*72%*	1.0	*5%*	-1.7	13.3	32.0	*31%*
IV	10.2	*2.0*	35.7	*91%*	11.3	28.0	*35%*	7.8	18.7	*54%*	0	*0%*	-6.0	10.9	28.9	*35%*
V	10.7	*-2.3*	65.2	*90%*	9.7	23.2	*45%*	6.7	16.0	*53%*	0	*0%*	-3.6	9.1	21.9	*44%*
VI	17.7	*1.4*	58.7	*73%*	8.3	20.5	*53%*	5.8	14.0	*58%*	0	–	-4.3	7.2	19.2	*53%*
VII	17.8	*-0.3*	89.8	*92%*	6.4	15.5	*38%*	4.8	11.6	*54%*	0	–	-3.3	5.8	13.9	*37%*
VIII	17.4	*-0.3*	53.3	*67%*	6.9	16.6	*53%*	4.2	10.2	*52%*	0	–	-2.3	5.3	14.2	*53%*
IX	13.8	*0.8*	92.4	*145%*	7.7	19.2	*53%*	3.9	9.29	*51%*	0	–	-2.1	7.1	17.6	*57%*
X	7.7	*-0.4*	66.8	*125%*	9.5	22.8	*66%*	3.7	8.96	*51%*	0	*0%*	0.0	10.3	24.8	*79%*
XI	2.9	*-0.6*	52.5	*102%*	15.1	37.6	*87%*	4.9	11.7	*66%*	1.3	*68%*	4.1	14.2	37.8	*92%*
XII	1.2	*1.8*	22.3	*39%*	13.5	32.5	*68%*	5.3	12.9	*70%*	0.4	*4%*	2.5	12.7	30.6	*65%*
2025	8.6	*0.5*	607.7	*81%*	141.8	29.0	*54%*	77.4	15.5	*67%*	16.4	*18%*	-20.5	134.5	28.3	*54%*



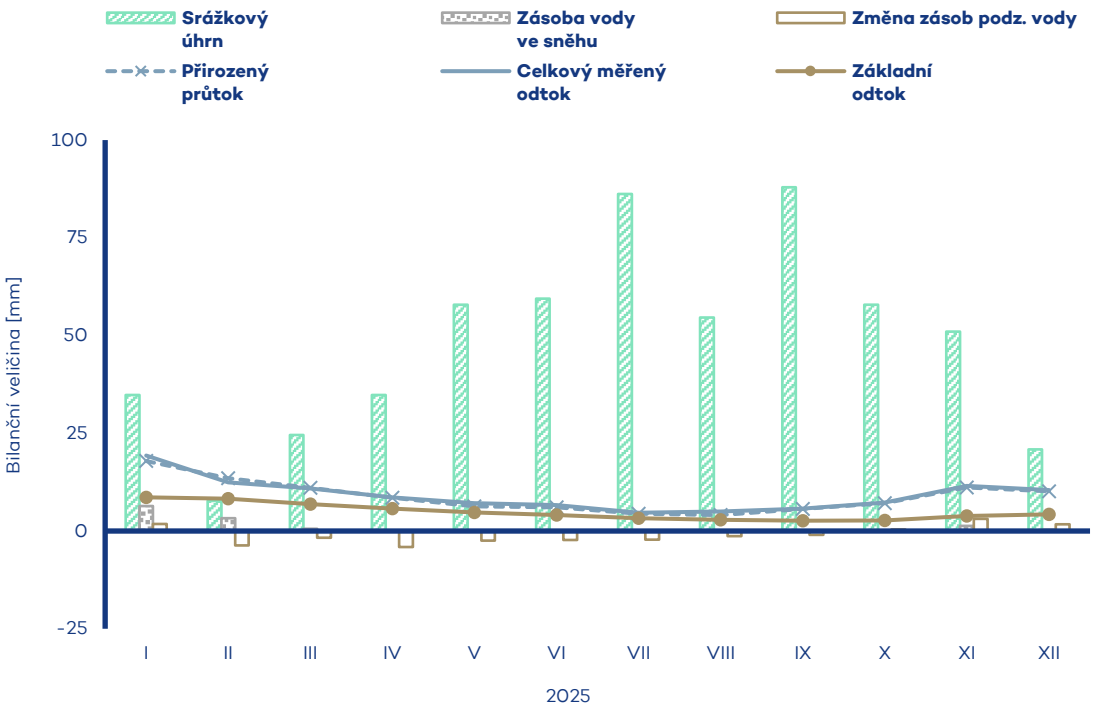
Tok	Bilanční profil	ID stanice	Plocha povodí [km^2]
Cidlina	**Sány**	**075000**	1151.79

Měsíc	Teplota vzduchu		Srážkový úhrn		Celkový měřený odtok			Základní odtok			Zásoba vody ve sněhu		Změna zásob podz. vody	Přirozený průtok		
	[°C]	[odch.°C]	[mm]	[%norm]	[mm]	[m^3.s^{-1}]	[%norm]	[mm]	[m^3.s^{-1}]	[%norm]	[mm]	[%norm]	[mm]	[mm]	[m^3.s^{-1}]	[%norm]
I	0.8	*1.6*	33.2	*74%*	12.8	5.49	*75%*	3.9	1.67	*101%*	1.4	*14%*	3.3	11.4	5.42	*71%*
II	0.1	*-0.4*	10.7	*31%*	7.6	3.62	*47%*	3.8	1.64	*74%*	0.8	*8%*	-2.6	8.3	3.59	*45%*
III	6.0	*1.8*	22.9	*54%*	7.0	3.00	*31%*	3.1	1.31	*48%*	0	*0%*	1.2	7.0	3.00	*31%*
IV	11.5	*1.9*	32.0	*101%*	2.9	1.29	*28%*	2.0	0.880	*37%*	0	–	-2.0	2.7	1.28	*27%*
V	12.0	*-2.3*	47.0	*74%*	1.4	0.621	*23%*	1.0	0.409	*32%*	0	–	-2.4	1.1	0.546	*18%*
VI	18.7	*1.1*	64.5	*93%*	3.7	1.64	*69%*	1.1	0.460	*54%*	0	–	-3.7	3.6	1.54	*61%*
VII	18.8	*-0.6*	71.8	*91%*	0.5	0.223	*16%*	0.4	0.191	*37%*	0	–	-4.2	0.6	0.244	*15%*
VIII	18.4	*-0.6*	59.3	*83%*	0.5	0.203	*20%*	0.3	0.129	*31%*	0	–	-3.3	0.3	0.147	*12%*
IX	14.7	*0.6*	85.7	*171%*	2.0	0.869	*49%*	0.4	0.181	*39%*	0	–	-3.4	1.8	0.772	*41%*
X	8.7	*-0.4*	44.5	*99%*	3.4	1.46	*66%*	0.6	0.266	*49%*	0	–	0.3	2.3	1.10	*53%*
XI	3.5	*-0.9*	46.0	*106%*	3.7	1.63	*60%*	1.0	0.424	*57%*	1.2	*171%*	5.4	3.7	1.76	*56%*
XII	1.9	*1.5*	22.7	*49%*	5.2	2.25	*58%*	1.4	0.613	*65%*	0	*0%*	2.7	5.0	2.15	*52%*
2025	9.6	*0.3*	540.3	*87%*	50.6	1.86	*47%*	19.0	0.682	*56%*	3.4	*13%*	-8.7	47.8	1.79	*43%*



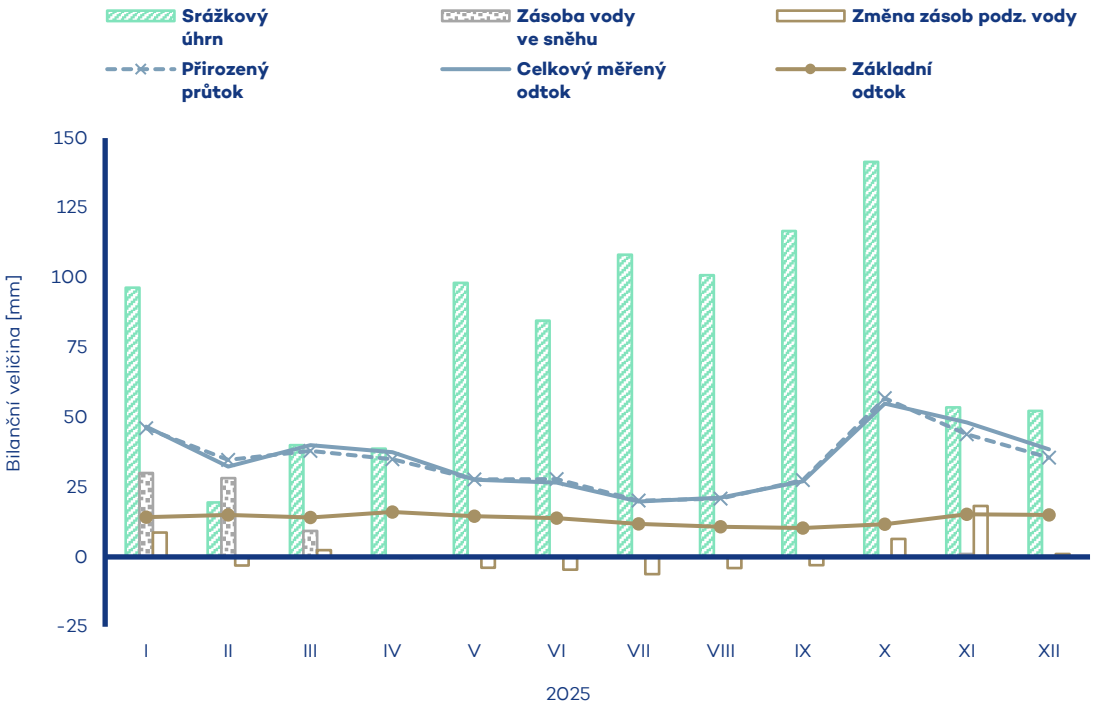
Tok	Bilanční profil	ID stanice	Plocha povodí [km^2]
Labe	**Nymburk**	**080000**	9720.74

Měsíc	Teplota vzduchu		Srážkový úhrn		Celkový měřený odtok			Základní odtok			Zásoba vody ve sněhu		Změna zásob podz. vody	Přirozený průtok		
	[°C]	[odch.°C]	[mm]	[%norm]	[mm]	[m^3.s^{-1}]	[%norm]	[mm]	[m^3.s^{-1}]	[%norm]	[mm]	[%norm]	[mm]	[mm]	[m^3.s^{-1}]	[%norm]
I	0.4	*1.8*	34.8	*69%*	19.3	70.1	*82%*	8.6	31.3	*116%*	6.4	*33%*	1.8	17.9	71.9	*84%*
II	-0.7	*-0.5*	7.7	*19%*	12.4	50.0	*54%*	8.2	29.9	*90%*	3.3	*14%*	-3.7	13.5	49.1	*53%*
III	5.4	*2.1*	24.6	*49%*	10.9	39.4	*32%*	6.9	24.9	*62%*	0.6	*4%*	-1.7	11.1	40.1	*32%*
IV	10.7	*2.0*	34.8	*95%*	8.6	32.4	*34%*	5.7	20.8	*46%*	0	*0%*	-4.1	8.5	34.4	*35%*
V	11.2	*-2.2*	57.9	*83%*	7.1	25.7	*42%*	4.7	17.2	*47%*	0	*0%*	-2.5	6.3	25.3	*41%*
VI	18.1	*1.4*	59.4	*76%*	6.6	24.9	*52%*	4.1	15.0	*53%*	0	–	-2.3	6.0	24.3	*51%*
VII	18.2	*-0.4*	86.2	*92%*	4.7	17.0	*35%*	3.3	12.0	*49%*	0	–	-2.2	4.4	16.1	*34%*
VIII	17.8	*-0.4*	54.6	*71%*	5.0	18.2	*50%*	2.9	10.5	*47%*	0	–	-1.3	4.1	16.4	*48%*
IX	14.1	*0.8*	87.9	*148%*	5.7	21.5	*49%*	2.6	9.57	*47%*	0	–	-1.0	5.6	20.5	*51%*
X	8.1	*-0.4*	57.9	*116%*	7.3	26.5	*63%*	2.7	9.73	*48%*	0	*0%*	0.4	7.2	28.8	*72%*
XI	3.1	*-0.8*	51.0	*107%*	11.5	43.3	*83%*	3.8	13.8	*66%*	1.3	*87%*	3.1	11.1	44.7	*86%*
XII	1.4	*1.6*	20.9	*40%*	10.4	37.9	*64%*	4.2	15.4	*69%*	0.3	*4%*	1.7	10.2	36.9	*62%*
2025	9.0	*0.4*	577.7	*82%*	109.7	33.9	*52%*	57.9	17.5	*62%*	11.9	*17%*	-11.8	106.0	34.0	*52%*



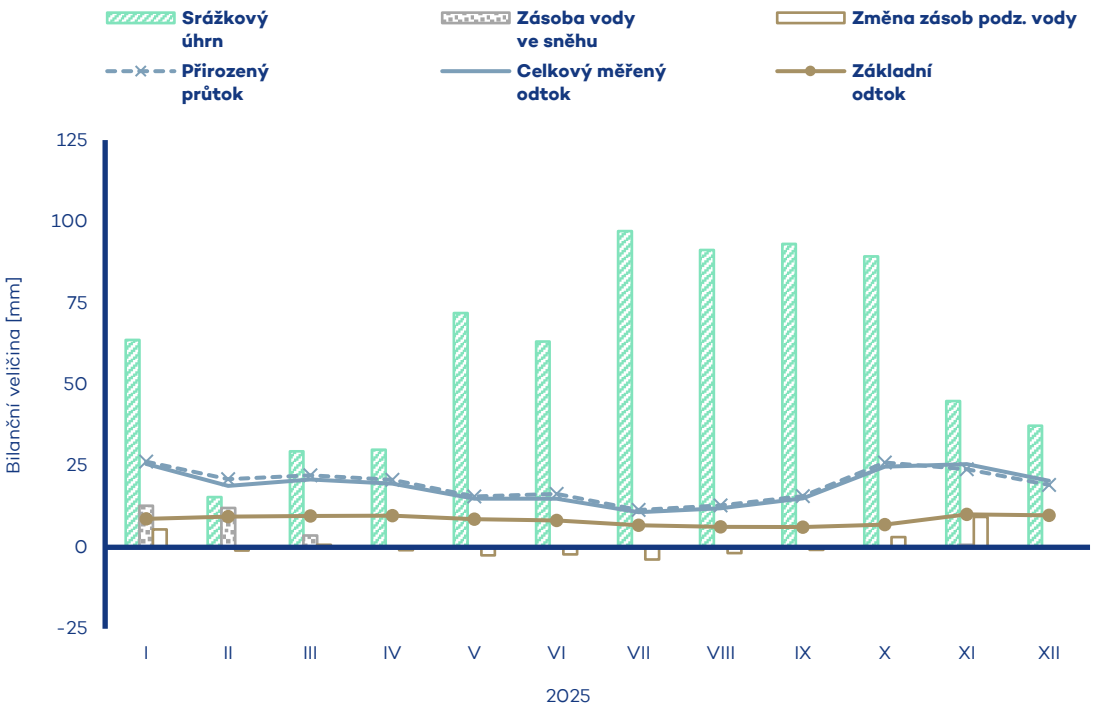
Tok	Bilanční profil	ID stanice	Plocha povodí [km^2]
Jizera	**Železný Brod**	**091000**	791.75

Měsíc	Teplota vzduchu		Srážkový úhrn		Celkový měřený odtok			Základní odtok			Zásoba vody ve sněhu		Změna zásob podz. vody	Přirozený průtok		
	[°C]	[odch.°C]	[mm]	[%norm]	[mm]	[m^3·s^{-1}]	[%norm]	[mm]	[m^3·s^{-1}]	[%norm]	[mm]	[%norm]	[mm]	[mm]	[m^3·s^{-1}]	[%norm]
I	-0.9	*1.8*	96.4	*95%*	46.6	13.8	*73%*	14.3	4.68	*82%*	30.1	*39%*	8.7	46.1	14.1	*74%*
II	-2.6	*-0.8*	19.5	*24%*	32.3	10.6	*58%*	15.0	4.92	*79%*	28.2	*26%*	-3.1	34.7	10.3	*55%*
III	3.0	*1.8*	40.0	*48%*	40.0	11.8	*41%*	14.1	4.63	*63%*	9.3	*10%*	2.4	38.0	12.4	*43%*
IV	8.5	*2.1*	38.8	*79%*	37.5	11.4	*37%*	16.1	4.76	*52%*	0	*0%*	-0.3	35.0	11.5	*36%*
V	8.8	*-2.5*	98.2	*126%*	27.6	8.17	*56%*	14.6	4.31	*51%*	0	*0%*	-3.9	27.8	8.49	*58%*
VI	15.7	*1.1*	84.6	*90%*	26.6	8.13	*79%*	13.8	4.09	*64%*	0	–	-4.6	27.9	8.25	*79%*
VII	15.6	*-0.8*	108.2	*97%*	19.8	5.87	*54%*	11.8	3.49	*63%*	0	–	-6.2	20.2	6.16	*56%*
VIII	15.2	*-0.8*	100.9	*102%*	21.2	6.28	*72%*	10.8	3.19	*64%*	0	–	-4.0	20.9	6.37	*72%*
IX	12.1	*0.7*	116.7	*146%*	27.0	8.26	*84%*	10.4	3.06	*66%*	0	–	-3.0	27.5	8.41	*84%*
X	6.2	*-0.7*	141.5	*175%*	54.9	16.2	*167%*	11.7	3.45	*78%*	0	*0%*	6.4	56.8	16.8	*167%*
XI	2.0	*-0.3*	53.5	*63%*	48.1	14.7	*112%*	15.2	4.99	*109%*	1.1	*16%*	18.3	43.9	14.4	*107%*
XII	0.4	*2.0*	52.3	*52%*	38.6	11.4	*75%*	15.0	4.91	*100%*	0.3	*1%*	1.1	35.6	11.6	*75%*
2025	7.0	*0.3*	950.6	*91%*	420.5	10.6	*67%*	162.8	4.21	*70%*	69.0	*20%*	11.8	414.4	10.7	*67%*



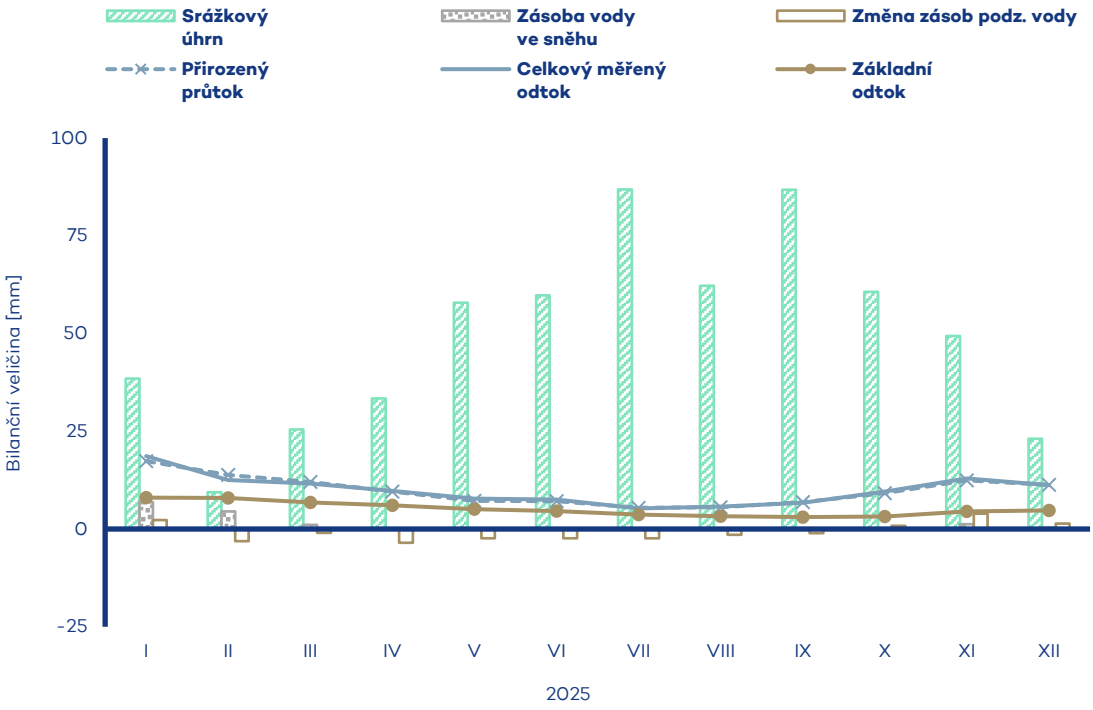
Tok	Bilanční profil	ID stanice	Plocha povodí [km^2]
Jizera	**Tuřice-Předměřice**	**101800**	2159.22

Měsíc	Teplota vzduchu		Srážkový úhrn		Celkový měřený odtok			Základní odtok			Zásoba vody ve sněhu		Změna zásob podz. vody	Přirozený průtok		
	[°C]	[odch.°C]	[mm]	[%norm]	[mm]	[m^3·s^{-1}]	[%norm]	[mm]	[m^3·s^{-1}]	[%norm]	[mm]	[%norm]	[mm]	[mm]	[m^3·s^{-1}]	[%norm]
I	0.0	*1.6*	63.7	*90%*	25.6	20.6	*70%*	8.7	7.81	*76%*	12.8	*35%*	5.5	26.3	21.2	*70%*
II	-1.4	*-0.7*	15.4	*28%*	18.8	16.8	*57%*	9.4	8.38	*73%*	12.1	*25%*	-1.0	20.9	16.8	*56%*
III	4.3	*1.6*	29.5	*49%*	20.9	16.8	*39%*	9.6	7.76	*57%*	3.6	*10%*	0.8	22.1	17.8	*40%*
IV	10.0	*2.0*	30.0	*76%*	19.6	16.3	*38%*	9.7	7.79	*48%*	0	*0%*	-0.9	20.7	16.7	*38%*
V	10.5	*-2.2*	71.9	*108%*	14.9	12.0	*55%*	8.6	6.93	*48%*	0	*0%*	-2.5	15.6	12.6	*56%*
VI	17.3	*1.3*	63.2	*74%*	14.9	12.4	*76%*	8.2	6.61	*62%*	0	–	-2.2	16.4	13.2	*77%*
VII	17.2	*-0.7*	97.1	*103%*	10.8	8.68	*52%*	6.8	5.48	*59%*	0	–	-3.7	11.5	9.54	*54%*
VIII	16.7	*-0.6*	91.3	*109%*	12.0	9.68	*73%*	6.3	5.05	*61%*	0	–	-1.8	12.8	10.3	*74%*
IX	13.4	*0.7*	93.1	*143%*	15.0	12.5	*81%*	6.2	5.01	*66%*	0	–	-0.8	15.7	13.1	*82%*
X	7.6	*-0.4*	89.3	*146%*	24.7	19.9	*127%*	7.0	5.61	*77%*	0	*0%*	3.1	26.1	21.0	*127%*
XI	2.8	*-0.5*	44.9	*71%*	25.6	21.3	*103%*	10.1	8.15	*103%*	0.8	*24%*	9.3	23.9	21.4	*99%*
XII	1.1	*1.7*	37.3	*52%*	20.4	16.5	*70%*	9.9	7.95	*93%*	0.2	*1%*	0.3	19.2	17.1	*71%*
2025	8.3	*0.3*	726.7	*89%*	223.2	15.3	*64%*	100.4	6.88	*66%*	29.5	*19%*	6.1	231.1	15.9	*64%*



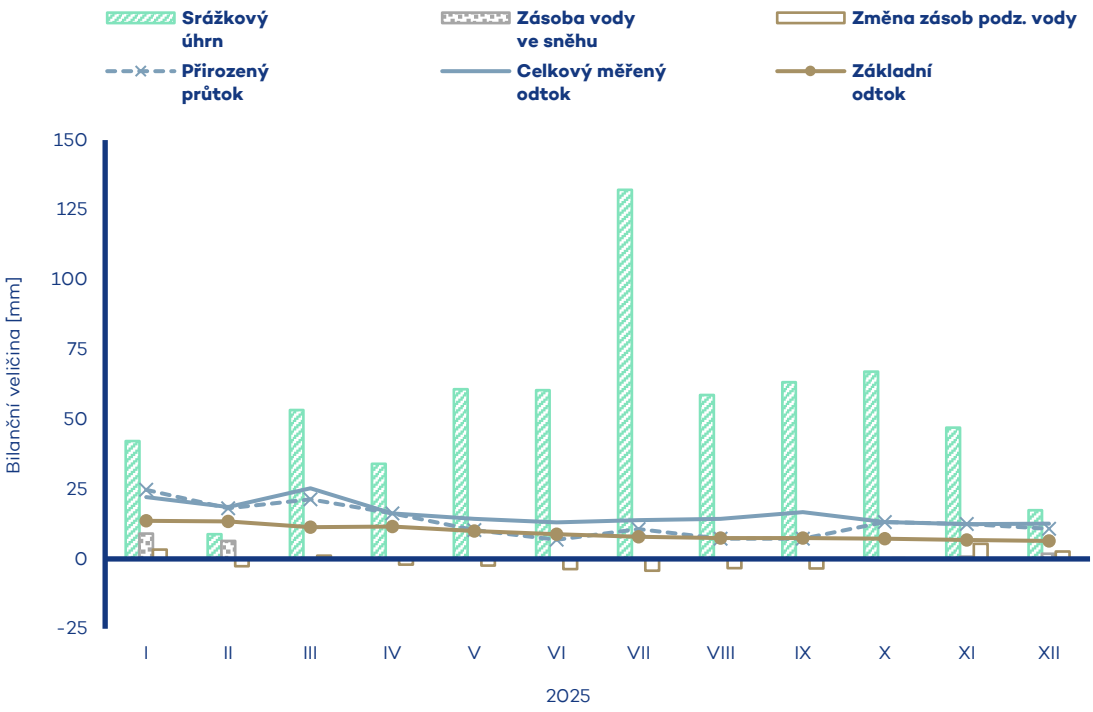
Tok	Bilanční profil	ID stanice	Plocha povodí [km^2]
Labe	**Kostelec nad Labem**	**104400**	13179.80

Měsíc	Teplota vzduchu		Srážkový úhrn		Celkový měřený odtok			Základní odtok			Zásoba vody ve sněhu		Změna zásob podz. vody	Přirozený průtok		
	[°C]	[odch.°C]	[mm]	[%norm]	[mm]	[m^3.s^{-1}]	[%norm]	[mm]	[m^3.s^{-1}]	[%norm]	[mm]	[%norm]	[mm]	[mm]	[m^3.s^{-1}]	[%norm]
I	0.5	*1.7*	38.5	*74%*	18.6	91.8	*79%*	8.0	39.5	*107%*	6.9	*33%*	2.3	17.4	94.6	*80%*
II	-0.7	*-0.5*	9.4	*22%*	12.6	68.4	*55%*	7.9	38.9	*87%*	4.5	*18%*	-3.1	13.9	68.2	*54%*
III	5.3	*1.9*	25.5	*50%*	11.6	57.1	*34%*	6.8	33.6	*63%*	1.1	*7%*	-1.0	12.0	59.3	*34%*
IV	10.6	*2.0*	33.4	*92%*	9.7	49.4	*35%*	6.0	29.6	*48%*	0	*0%*	-3.5	9.6	52.1	*36%*
V	11.2	*-2.2*	57.9	*84%*	7.8	38.2	*45%*	5.1	25.1	*49%*	0	*0%*	-2.4	7.2	39.2	*45%*
VI	18.1	*1.4*	59.8	*76%*	7.5	38.1	*58%*	4.6	22.4	*57%*	0	–	-2.4	7.1	38.9	*58%*
VII	18.1	*-0.4*	86.9	*95%*	5.3	25.9	*40%*	3.7	18.3	*54%*	0	–	-2.4	5.4	26.7	*40%*
VIII	17.7	*-0.4*	62.2	*81%*	5.7	28.1	*56%*	3.3	16.1	*53%*	0	–	-1.5	5.5	27.3	*55%*
IX	14.1	*0.8*	86.8	*146%*	6.7	34.2	*58%*	3.1	15.0	*53%*	0	–	-1.1	6.9	33.9	*59%*
X	8.1	*-0.3*	60.7	*120%*	9.5	47.0	*80%*	3.2	15.7	*56%*	0	*0%*	0.8	9.2	50.1	*86%*
XI	3.1	*-0.7*	49.4	*101%*	12.9	65.6	*90%*	4.5	22.0	*75%*	1.2	*71%*	3.9	12.4	67.6	*91%*
XII	1.4	*1.6*	23.1	*43%*	11.2	55.0	*66%*	4.7	23.3	*76%*	0.3	*4%*	1.4	11.3	55.4	*64%*
2025	9.0	*0.4*	593.6	*84%*	119.1	49.9	*55%*	60.9	25.0	*64%*	14.0	*18%*	-9.0	117.9	51.1	*55%*



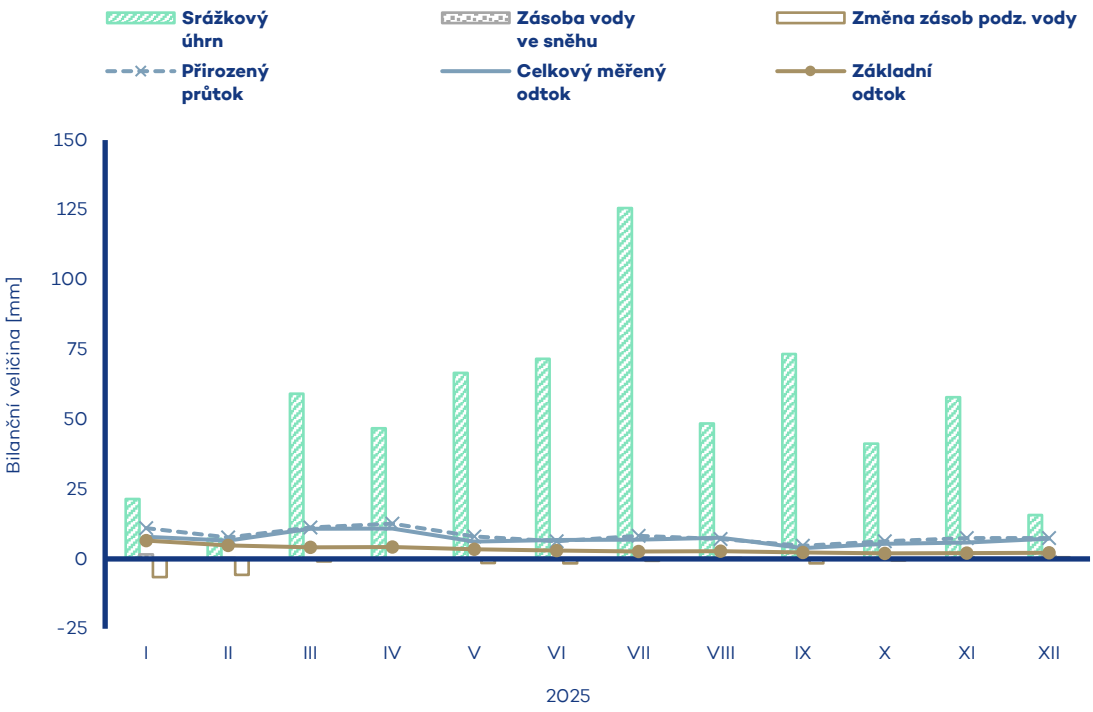
Tok	Bilanční profil	ID stanice	Plocha povodí [km^2]
Vltava	**Březí**	**111000**	1820.66

Měsíc	Teplota vzduchu		Srážkový úhrn		Celkový měřený odtok			Základní odtok			Zásoba vody ve sněhu		Změna zásob podz. vody	Přirozený průtok		
	[°C]	[odch.°C]	[mm]	[%norm]	[mm]	[m^3.s^{-1}]	[%norm]	[mm]	[m^3.s^{-1}]	[%norm]	[mm]	[%norm]	[mm]	[mm]	[m^3.s^{-1}]	[%norm]
I	-0.7	*1.9*	42.2	*77%*	22.1	15.0	*78%*	13.6	10.3	*140%*	9.1	*29%*	3.3	24.8	18.6	*99%*
II	-1.9	*-0.1*	8.8	*19%*	18.6	14.0	*71%*	13.4	9.11	*118%*	6.4	*16%*	-2.6	18.2	12.3	*59%*
III	2.8	*1.2*	53.3	*88%*	25.3	17.2	*63%*	11.3	8.53	*99%*	0.1	*0%*	1.2	21.3	16.1	*49%*
IV	8.1	*1.9*	34.1	*77%*	16.3	11.4	*48%*	11.6	7.87	*84%*	0	*0%*	-2.0	16.3	12.3	*43%*
V	9.3	*-1.6*	60.8	*74%*	14.4	9.77	*53%*	10.0	6.82	*75%*	0	–	-2.4	10.3	7.79	*42%*
VI	16.8	*2.1*	60.4	*59%*	13.1	9.18	*47%*	8.9	6.03	*69%*	0	–	-3.7	6.9	5.17	*28%*
VII	15.7	*-0.5*	132.2	*126%*	13.9	9.48	*59%*	8.0	5.41	*66%*	0	–	-4.2	10.7	7.24	*51%*
VIII	15.5	*-0.1*	58.7	*62%*	14.4	9.78	*54%*	7.5	5.11	*63%*	0	–	-3.3	7.2	5.41	*35%*
IX	11.9	*1.0*	63.3	*102%*	16.7	11.8	*88%*	7.5	5.07	*68%*	0	–	-3.4	7.3	4.93	*45%*
X	6.2	*-0.4*	67.1	*116%*	13.2	8.96	*65%*	7.2	4.90	*68%*	0	*0%*	0.3	13.2	8.96	*74%*
XI	1.4	*-0.5*	47.0	*98%*	12.4	8.74	*54%*	6.8	4.62	*66%*	0.8	*24%*	5.4	12.5	9.42	*70%*
XII	-0.4	*1.2*	17.4	*30%*	12.6	8.56	*52%*	6.4	4.38	*62%*	1.9	*13%*	2.7	10.8	7.33	*44%*
2025	7.1	*0.5*	645.3	*79%*	193.0	11.2	*60%*	112.3	6.51	*82%*	18.3	*15%*	-8.7	159.4	9.63	*52%*



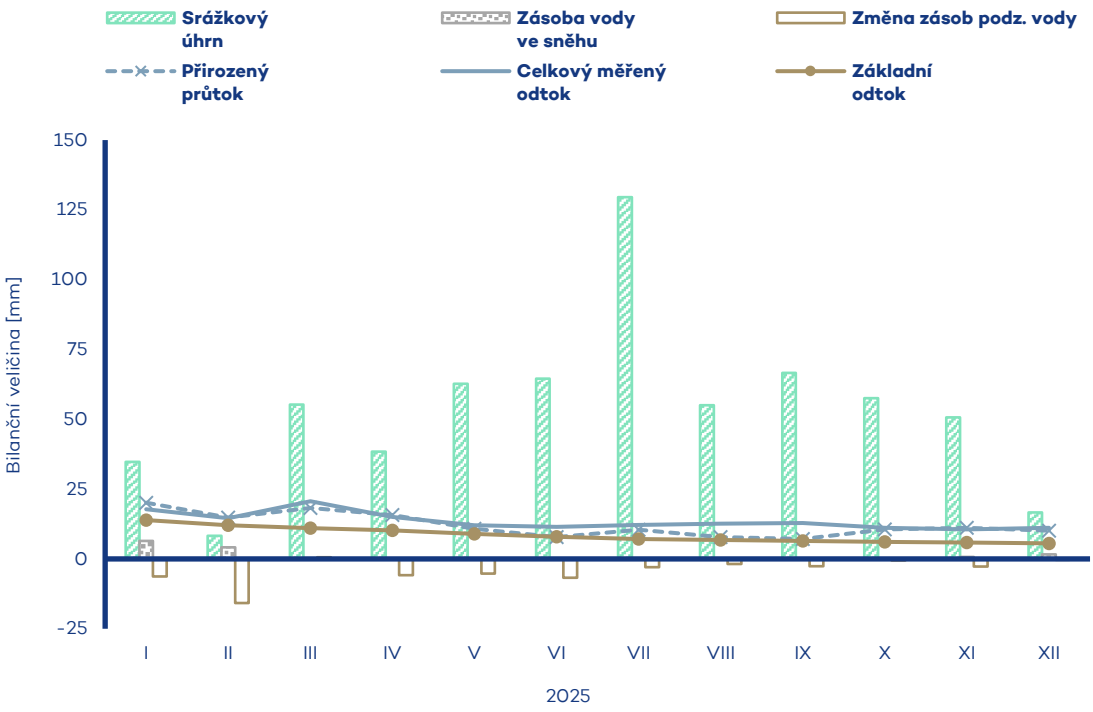
Tok	Bilanční profil	ID stanice	Plocha povodí [km^2]
Malše	**Roudné**	**115000**	958.96

Měsíc	Teplota vzduchu		Srážkový úhrn		Celkový měřený odtok			Základní odtok			Zásoba vody ve sněhu		Změna zásob podz. vody	Přirozený průtok		
	[°C]	[odch.°C]	[mm]	[%norm]	[mm]	[m^3·s^{-1}]	[%norm]	[mm]	[m^3·s^{-1}]	[%norm]	[mm]	[%norm]	[mm]	[mm]	[m^3·s^{-1}]	[%norm]
I	-0.2	*1.4*	21.5	*55%*	7.9	2.83	*58%*	6.6	2.35	*143%*	1.6	*9%*	-6.5	11.0	3.93	*69%*
II	-1.3	*-0.6*	7.2	*22%*	6.6	2.61	*52%*	4.9	1.75	*104%*	0.4	*2%*	-5.7	7.7	2.77	*47%*
III	3.7	*1.0*	59.2	*123%*	10.8	3.87	*43%*	4.1	1.47	*75%*	0	*0%*	-0.9	11.3	4.47	*43%*
IV	9.3	*1.8*	46.8	*101%*	10.9	4.02	*46%*	4.2	1.52	*57%*	0	*0%*	0.0	12.6	5.01	*53%*
V	10.6	*-1.7*	66.6	*74%*	6.2	2.20	*34%*	3.5	1.26	*51%*	0	–	-1.5	8.0	2.87	*41%*
VI	18.0	*2.1*	71.7	*68%*	6.8	2.50	*31%*	3.0	1.09	*43%*	0	–	-1.6	6.3	2.25	*26%*
VII	17.0	*-0.6*	125.7	*117%*	6.9	2.47	*43%*	2.6	0.946	*40%*	0	–	-0.7	8.2	2.95	*47%*
VIII	16.8	*-0.2*	48.5	*48%*	7.5	2.70	*33%*	2.8	1.01	*42%*	0	–	0.4	7.1	2.81	*33%*
IX	13.0	*0.9*	73.4	*113%*	3.9	1.43	*30%*	2.3	0.820	*39%*	0	–	-1.6	4.7	1.69	*33%*
X	7.1	*-0.4*	41.3	*80%*	5.4	1.94	*36%*	2.0	0.715	*35%*	0	*0%*	-0.6	6.3	2.50	*44%*
XI	2.0	*-1.0*	57.9	*138%*	5.9	2.17	*49%*	2.1	0.737	*38%*	0.7	*37%*	0.0	7.5	2.96	*58%*
XII	-0.1	*0.6*	15.7	*40%*	7.3	2.60	*61%*	2.2	0.792	*46%*	1.0	*16%*	0.6	7.5	2.67	*53%*
2025	8.0	*0.3*	635.5	*83%*	85.9	2.61	*42%*	40.3	1.20	*57%*	3.7	*7%*	-18.1	98.2	3.07	*45%*



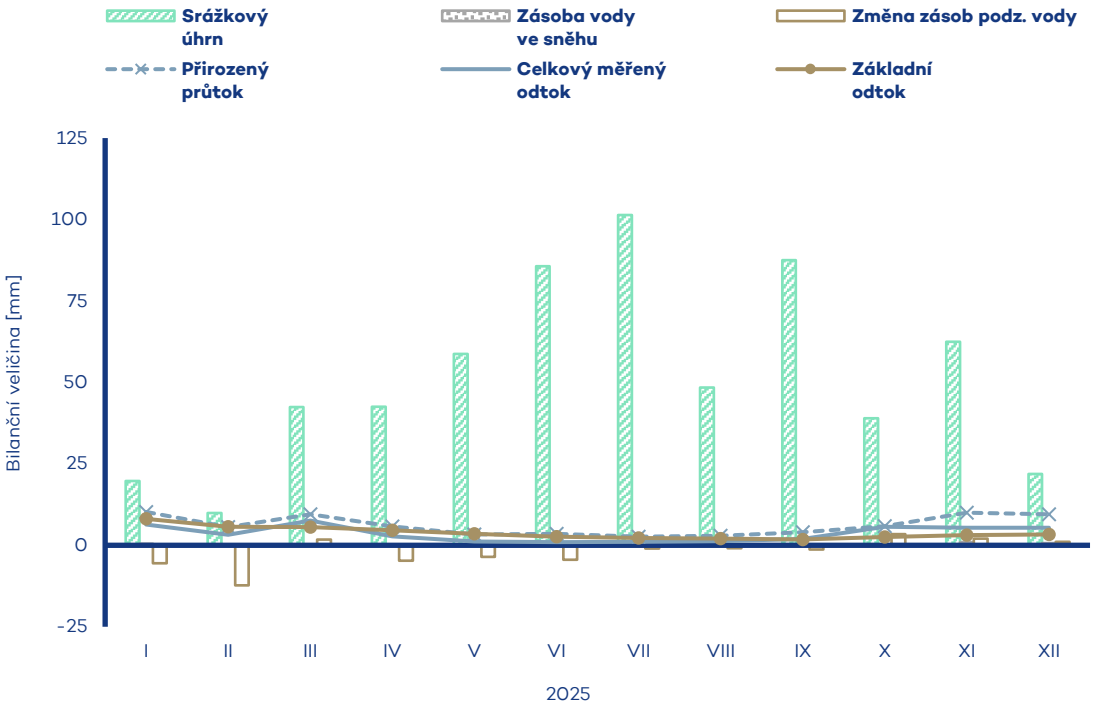
Tok	Bilanční profil	ID stanice	Plocha povodí [km^2]
Vltava	**České Budějovice**	**115100**	2838.77

Měsíc	Teplota vzduchu		Srážkový úhrn		Celkový měřený odtok			Základní odtok			Zásoba vody ve sněhu		Změna zásob podz. vody	Přirozený průtok		
	[°C]	[odch.°C]	[mm]	[%norm]	[mm]	[m^3·s^{-1}]	[%norm]	[mm]	[m^3·s^{-1}]	[%norm]	[mm]	[%norm]	[mm]	[mm]	[m^3·s^{-1}]	[%norm]
I	-0.5	*1.7*	34.7	*71%*	17.8	18.9	*76%*	13.9	14.7	*146%*	6.4	*24%*	-6.3	20.1	23.6	*93%*
II	-1.6	*-0.3*	8.3	*20%*	14.6	17.1	*66%*	12.1	12.8	*122%*	4.2	*13%*	-15.8	14.8	15.6	*56%*
III	3.1	*1.2*	55.3	*99%*	20.7	21.9	*58%*	11.0	11.7	*101%*	0.1	*0%*	0.6	18.2	21.4	*48%*
IV	8.6	*1.9*	38.4	*86%*	15.1	16.5	*49%*	10.2	10.9	*83%*	0	*0%*	-5.8	15.7	18.4	*47%*
V	9.8	*-1.7*	62.7	*74%*	12.0	12.8	*49%*	8.9	9.47	*74%*	0	–	-5.2	10.8	11.5	*43%*
VI	17.2	*2.1*	64.6	*63%*	11.5	12.6	*44%*	7.9	8.40	*67%*	0	–	-6.7	7.8	8.32	*29%*
VII	16.2	*-0.5*	129.5	*123%*	12.1	12.9	*57%*	7.1	7.51	*64%*	0	–	-3.0	10.5	11.1	*52%*
VIII	16.0	*-0.1*	55.0	*57%*	12.6	13.4	*50%*	6.7	7.15	*61%*	0	–	-1.8	7.8	9.13	*37%*
IX	12.3	*0.9*	66.6	*106%*	12.9	14.1	*76%*	6.5	6.85	*63%*	0	–	-2.6	7.2	7.58	*45%*
X	6.6	*-0.4*	57.6	*104%*	11.2	11.9	*59%*	6.1	6.52	*62%*	0	*0%*	-0.6	10.6	12.4	*66%*
XI	1.6	*-0.7*	50.7	*111%*	10.6	11.6	*54%*	5.8	6.17	*60%*	0.7	*24%*	-2.7	11.1	13.1	*67%*
XII	-0.3	*1.0*	16.7	*33%*	11.2	11.9	*55%*	5.6	5.91	*59%*	1.6	*14%*	-0.3	10.1	10.7	*47%*
2025	7.4	*0.4*	640.1	*80%*	162.3	14.6	*57%*	101.9	9.00	*80%*	13.0	*13%*	-50.2	144.7	13.6	*52%*



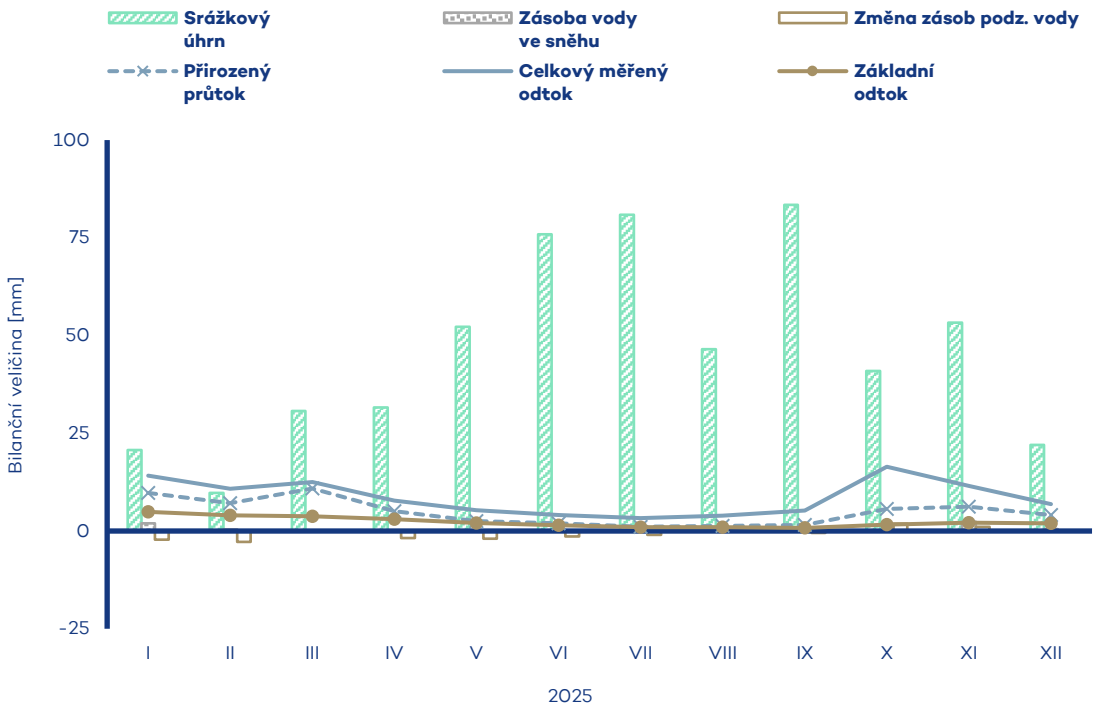
Tok	Bilanční profil	ID stanice	Plocha povodí [km^2]
Lužnice	**Frahelž**	**123000**	1539.06

Měsíc	Teplota vzduchu		Srážkový úhrn		Celkový měřený odtok			Základní odtok			Zásoba vody ve sněhu		Změna zásob podz. vody	Přirozený průtok		
	[°C]	[odch.°C]	[mm]	[%norm]	[mm]	[m^3.s^{-1}]	[%norm]	[mm]	[m^3.s^{-1}]	[%norm]	[mm]	[%norm]	[mm]	[mm]	[m^3.s^{-1}]	[%norm]
I	-0.3	*1.2*	19.7	*47%*	6.3	3.64	*93%*	8.1	4.66	*152%*	0.5	*3%*	-5.5	10.2	5.88	*74%*
II	-1.0	*-0.5*	9.9	*31%*	3.2	2.05	*45%*	5.7	3.26	*103%*	0.3	*2%*	-12.3	5.6	3.20	*36%*
III	4.4	*1.4*	42.4	*89%*	7.6	4.36	*71%*	5.6	3.19	*88%*	0	*0%*	1.8	9.5	6.04	*41%*
IV	9.9	*1.8*	42.5	*97%*	2.7	1.61	*30%*	4.6	2.64	*61%*	0	*0%*	-4.7	5.8	3.69	*29%*
V	11.1	*-1.7*	58.7	*70%*	1.2	0.693	*23%*	3.6	2.04	*55%*	0	–	-3.6	3.3	2.09	*26%*
VI	18.3	*1.9*	85.7	*87%*	1.0	0.577	*20%*	2.6	1.49	*43%*	0	–	-4.4	3.5	2.01	*23%*
VII	17.5	*-0.5*	101.4	*100%*	1.0	0.596	*21%*	2.3	1.31	*41%*	0	–	-1.0	2.6	1.57	*22%*
VIII	17.4	*-0.2*	48.4	*53%*	1.2	0.706	*14%*	2.0	1.17	*37%*	0	–	-0.9	3.0	1.89	*19%*
IX	13.4	*0.8*	87.5	*137%*	2.0	1.16	*35%*	1.8	1.03	*32%*	0	–	-1.3	4.0	2.32	*35%*
X	7.4	*-0.5*	39.0	*78%*	5.7	3.28	*67%*	2.5	1.46	*40%*	0	*0%*	3.4	5.9	3.77	*39%*
XI	2.0	*-1.1*	62.5	*144%*	5.4	3.22	*98%*	3.1	1.80	*52%*	1.0	*67%*	2.0	10.0	5.75	*78%*
XII	0.3	*0.8*	21.9	*55%*	5.4	3.08	*92%*	3.3	1.89	*60%*	0.7	*12%*	1.1	9.5	5.46	*96%*
2025	8.4	*0.3*	619.6	*84%*	42.8	2.08	*51%*	45.2	2.16	*63%*	2.5	*5%*	-25.4	73.0	3.64	*41%*



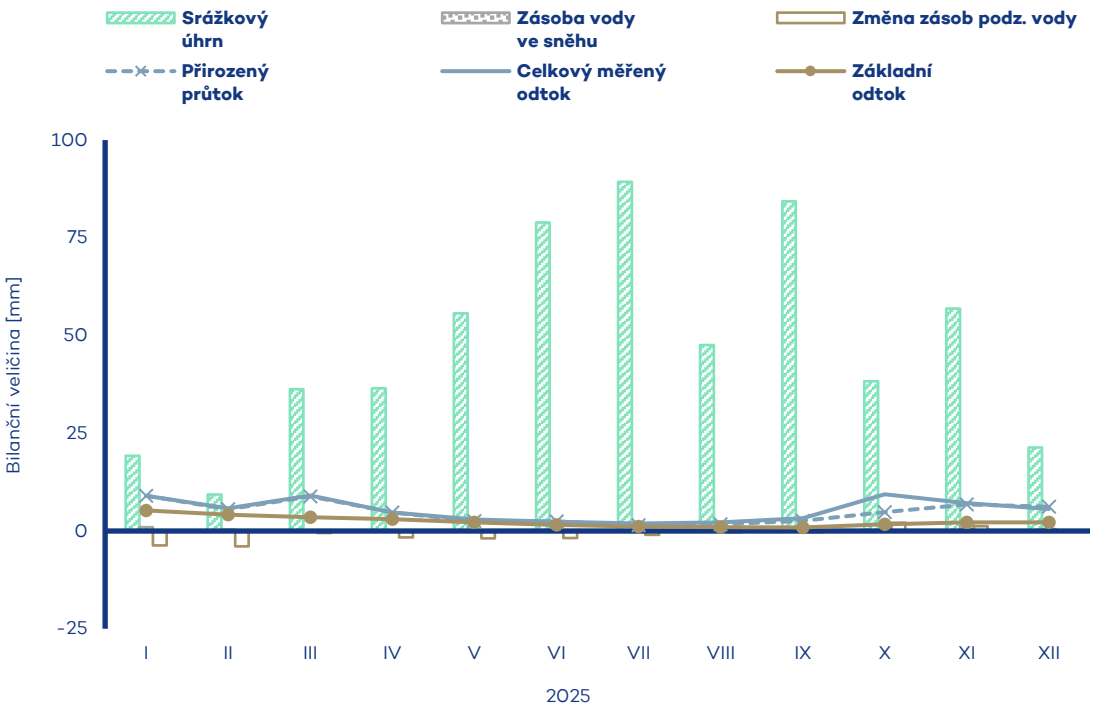
Tok	Bilanční profil	ID stanice	Plocha povodí [km^2]
Nežárka	**Hamr**	**129000**	983.60

Měsíc	Teplota vzduchu		Srážkový úhrn		Celkový měřený odtok			Základní odtok			Zásoba vody ve sněhu		Změna zásob podz. vody	Přirozený průtok		
	[°C]	[odch.°C]	[mm]	[%norm]	[mm]	[m^3.s^{-1}]	[%norm]	[mm]	[m^3.s^{-1}]	[%norm]	[mm]	[%norm]	[mm]	[mm]	[m^3.s^{-1}]	[%norm]
I	-0.4	*1.4*	20.7	*42%*	14.2	5.21	*56%*	4.9	1.80	*110%*	2.0	*12%*	-2.2	9.7	3.58	*61%*
II	-0.9	*-0.2*	9.7	*26%*	10.8	4.39	*41%*	4.0	1.49	*77%*	0.4	*2%*	-2.8	7.1	2.60	*38%*
III	4.9	*2.0*	30.7	*61%*	12.6	4.61	*25%*	3.7	1.37	*54%*	0	*0%*	0.2	10.9	3.99	*36%*
IV	10.0	*1.9*	31.6	*81%*	7.8	2.95	*21%*	3.0	1.12	*40%*	0	*0%*	-1.8	5.1	1.87	*27%*
V	11.0	*-1.8*	52.2	*72%*	5.3	1.96	*25%*	2.1	0.754	*40%*	0	–	-2.0	2.6	1.04	*28%*
VI	18.0	*1.8*	75.9	*90%*	4.1	1.54	*18%*	1.5	0.552	*37%*	0	–	-1.4	2.0	0.732	*23%*
VII	17.4	*-0.5*	80.9	*90%*	3.3	1.21	*17%*	1.0	0.371	*30%*	0	–	-1.0	1.1	0.403	*14%*
VIII	17.5	*-0.2*	46.5	*57%*	4.0	1.46	*19%*	1.0	0.351	*31%*	0	–	-0.1	1.3	0.543	*16%*
IX	13.5	*0.8*	83.4	*139%*	5.2	1.98	*28%*	0.8	0.286	*24%*	0	–	-0.5	1.5	0.558	*18%*
X	7.4	*-0.5*	40.9	*86%*	16.4	6.04	*53%*	1.6	0.588	*38%*	0	–	1.9	5.7	2.30	*43%*
XI	2.0	*-1.0*	53.3	*119%*	11.6	4.38	*60%*	2.1	0.783	*49%*	2.4	*171%*	1.1	6.2	2.52	*61%*
XII	0.4	*1.2*	22.0	*50%*	6.8	2.51	*39%*	2.0	0.731	*49%*	0.5	*9%*	-0.2	4.1	1.50	*37%*
2025	8.4	*0.4*	547.8	*78%*	102.0	3.19	*33%*	27.8	0.849	*50%*	5.3	*10%*	-8.8	57.3	1.80	*36%*



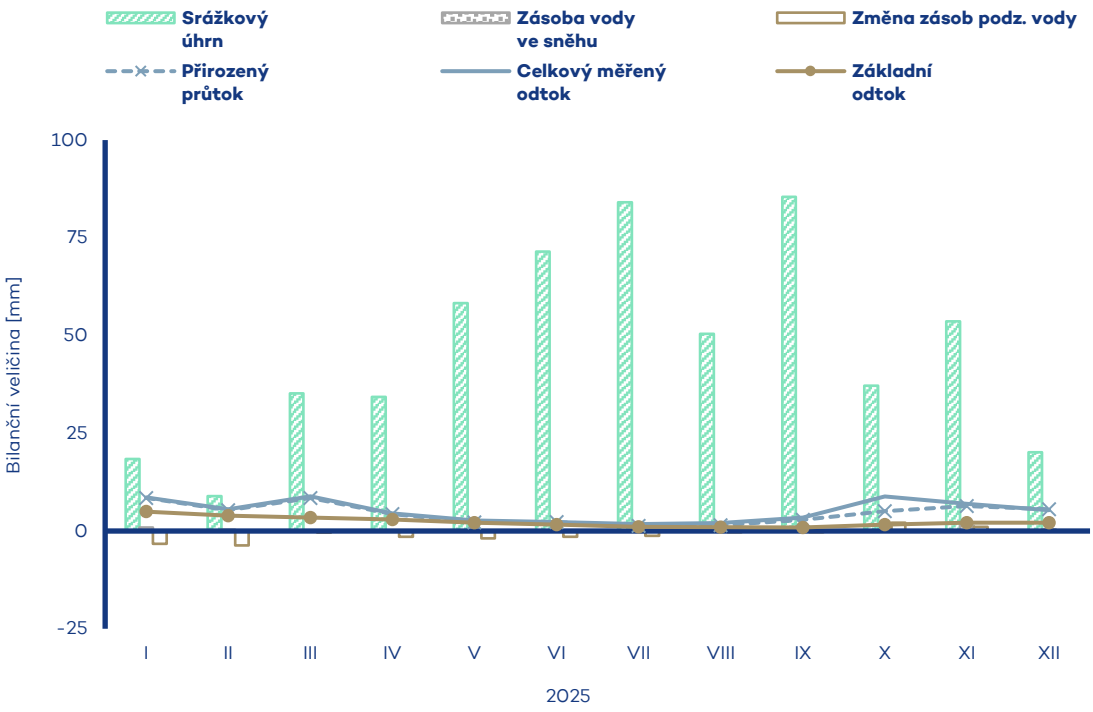
Tok	Bilanční profil	ID stanice	Plocha povodí [km^2]
Lužnice	**Klenovice**	**131000**	3158.87

Měsíc	Teplota vzduchu		Srážkový úhrn		Celkový měřený odtok			Základní odtok			Zásoba vody ve sněhu		Změna zásob podz. vody	Přirozený průtok		
	[°C]	[odch.°C]	[mm]	[%norm]	[mm]	[m^3.s^{-1}]	[%norm]	[mm]	[m^3.s^{-1}]	[%norm]	[mm]	[%norm]	[mm]	[mm]	[m^3.s^{-1}]	[%norm]
I	-0.2	*1.3*	19.2	*44%*	9.0	10.6	*63%*	5.3	6.21	*123%*	1.0	*6%*	-3.7	9.0	10.6	*62%*
II	-0.9	*-0.3*	9.3	*28%*	5.8	7.58	*39%*	4.1	4.89	*87%*	0.3	*2%*	-3.9	5.5	6.52	*33%*
III	4.6	*1.6*	36.3	*76%*	9.1	10.8	*35%*	3.6	4.20	*60%*	0	*0%*	-0.5	8.9	11.6	*37%*
IV	10.0	*1.8*	36.5	*89%*	4.8	5.83	*25%*	3.0	3.57	*42%*	0	*0%*	-1.6	4.8	6.24	*27%*
V	11.1	*-1.8*	55.7	*71%*	3.0	3.49	*26%*	2.2	2.58	*40%*	0	–	-1.9	2.5	3.32	*24%*
VI	18.2	*1.8*	78.9	*86%*	2.3	2.86	*20%*	1.6	1.85	*33%*	0	–	-1.8	2.5	2.91	*20%*
VII	17.5	*-0.5*	89.3	*94%*	1.9	2.27	*19%*	1.1	1.33	*28%*	0	–	-1.0	1.5	1.77	*15%*
VIII	17.4	*-0.2*	47.6	*55%*	2.2	2.59	*16%*	1.0	1.19	*25%*	0	–	-0.3	1.7	2.26	*15%*
IX	13.5	*0.8*	84.3	*138%*	3.3	3.99	*32%*	0.9	1.08	*23%*	0	–	-0.3	2.6	3.10	*27%*
X	7.5	*-0.4*	38.3	*79%*	9.4	11.1	*55%*	1.7	2.01	*36%*	0	*0%*	2.1	4.9	6.33	*34%*
XI	2.1	*-1.1*	56.9	*131%*	7.1	8.69	*65%*	2.2	2.63	*47%*	1.5	*107%*	1.2	6.8	8.83	*62%*
XII	0.4	*1.0*	21.4	*53%*	5.7	6.69	*54%*	2.2	2.62	*52%*	0.5	*9%*	0.2	6.2	7.32	*51%*
2025	8.4	*0.3*	573.7	*81%*	63.6	6.37	*37%*	29.0	2.85	*50%*	3.3	*7%*	-11.5	56.9	5.90	*34%*



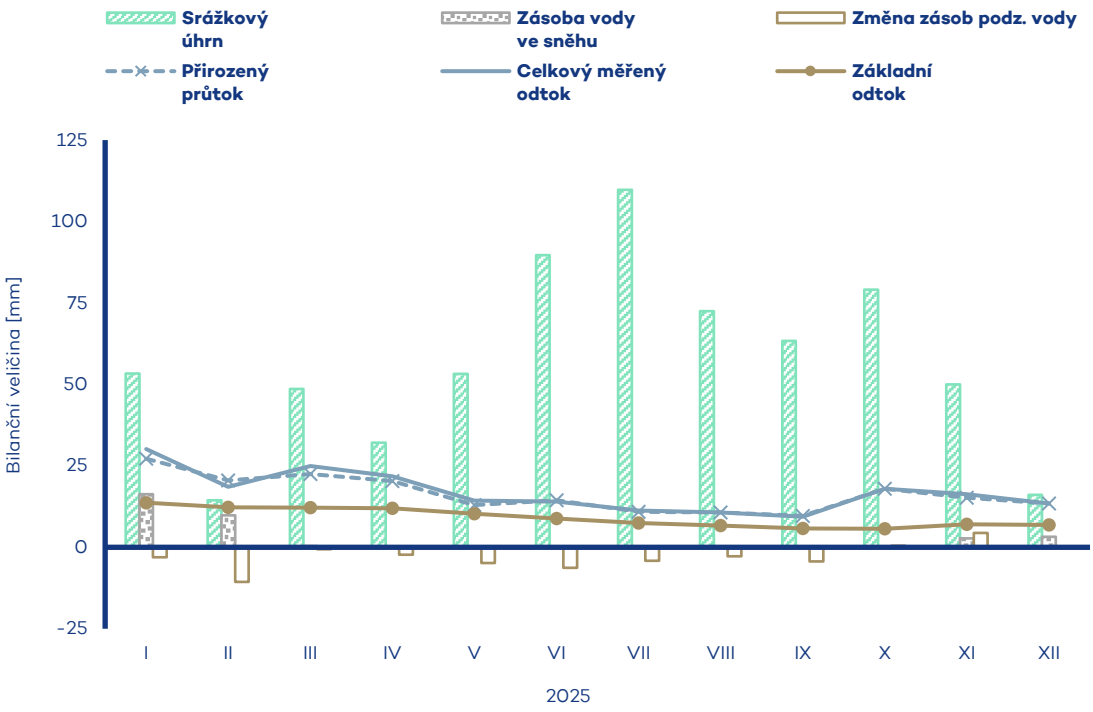
Tok	Bilanční profil	ID stanice	Plocha povodí [km^2]
Lužnice	**Bechyně**	**133000**	4062.89

Měsíc	Teplota vzduchu		Srážkový úhrn		Celkový měřený odtok			Základní odtok			Zásoba vody ve sněhu		Změna zásob podz. vody	Přirozený průtok		
	[°C]	[odch.°C]	[mm]	[%norm]	[mm]	[m^3·s^{-1}]	[%norm]	[mm]	[m^3·s^{-1}]	[%norm]	[mm]	[%norm]	[mm]	[mm]	[m^3·s^{-1}]	[%norm]
I	-0.1	*1.4*	18.4	*43%*	8.6	13.0	*60%*	5.0	7.51	*118%*	0.9	*6%*	-3.3	8.5	12.8	*58%*
II	-0.8	*-0.3*	8.9	*27%*	5.6	9.38	*38%*	3.9	5.96	*84%*	0.3	*2%*	-3.7	5.3	8.11	*33%*
III	4.7	*1.6*	35.2	*75%*	8.9	13.5	*34%*	3.4	5.15	*59%*	0	*0%*	-0.4	8.4	14.1	*35%*
IV	10.1	*1.9*	34.3	*87%*	4.5	7.09	*24%*	2.9	4.42	*42%*	0	*0%*	-1.5	4.3	7.30	*25%*
V	11.1	*-1.8*	58.3	*77%*	2.7	4.15	*24%*	2.1	3.18	*39%*	0	–	-1.9	2.2	3.75	*22%*
VI	18.2	*1.8*	71.5	*80%*	2.3	3.63	*20%*	1.6	2.42	*34%*	0	–	-1.5	2.3	3.50	*19%*
VII	17.6	*-0.5*	84.1	*90%*	1.8	2.69	*18%*	1.1	1.66	*28%*	0	–	-1.2	1.3	1.97	*14%*
VIII	17.5	*-0.2*	50.4	*59%*	2.0	3.05	*16%*	1.0	1.49	*26%*	0	–	-0.3	1.5	2.54	*14%*
IX	13.6	*0.8*	85.5	*146%*	3.5	5.43	*36%*	0.9	1.37	*24%*	0	–	-0.3	2.9	4.33	*31%*
X	7.6	*-0.4*	37.2	*78%*	8.8	13.4	*56%*	1.6	2.49	*38%*	0	*0%*	2.1	5.1	8.56	*39%*
XI	2.1	*-1.1*	53.6	*127%*	6.9	10.8	*65%*	2.1	3.24	*48%*	1.3	*100%*	1.1	6.4	10.8	*63%*
XII	0.5	*1.1*	20.1	*50%*	5.3	8.05	*51%*	2.1	3.22	*52%*	0.4	*8%*	0.1	5.6	8.49	*49%*
2025	8.5	*0.4*	557.5	*80%*	60.9	7.85	*37%*	27.8	3.51	*49%*	2.9	*6%*	-10.8	53.9	7.19	*34%*



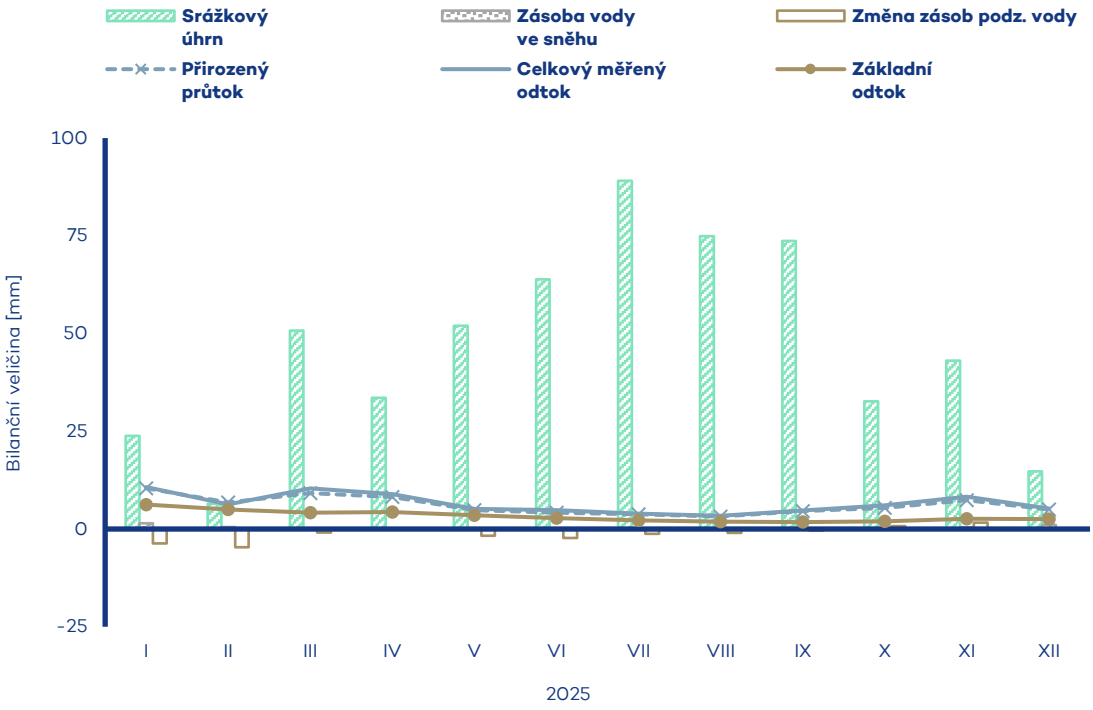
Tok	Bilanční profil	ID stanice	Plocha povodí [km^2]
Otava	**Katovice**	**141000**	1133.17

Měsíc	Teplota vzduchu		Srážkový úhrn		Celkový měřený odtok			Základní odtok			Zásoba vody ve sněhu		Změna zásob podz. vody	Přirozený průtok		
	[°C]	[odch.°C]	[mm]	[%norm]	[mm]	[m^3·s^{-1}]	[%norm]	[mm]	[m^3·s^{-1}]	[%norm]	[mm]	[%norm]	[mm]	[mm]	[m^3·s^{-1}]	[%norm]
I	0.0	*2.1*	53.3	*80%*	30.2	12.8	*99%*	13.7	6.41	*124%*	16.3	*43%*	-3.1	27.2	12.7	*99%*
II	-1.2	*0.2*	14.4	*25%*	18.5	8.69	*67%*	12.3	5.76	*107%*	9.8	*18%*	-10.6	20.5	8.68	*67%*
III	3.7	*1.7*	48.6	*70%*	25.0	10.6	*53%*	12.1	5.14	*84%*	0.4	*1%*	-0.6	22.5	10.5	*53%*
IV	8.9	*2.3*	32.1	*64%*	21.8	9.53	*42%*	11.9	5.05	*66%*	0	*0%*	-2.3	20.3	9.51	*42%*
V	10.3	*-0.9*	53.2	*65%*	14.3	6.06	*38%*	10.3	4.34	*53%*	0	–	-4.8	12.9	6.05	*38%*
VI	17.1	*2.3*	89.7	*87%*	14.0	6.14	*46%*	8.8	3.74	*52%*	0	–	-6.3	14.5	6.12	*46%*
VII	16.3	*-0.2*	109.7	*107%*	11.3	4.77	*45%*	7.5	3.16	*51%*	0	–	-4.1	10.9	4.76	*45%*
VIII	16.1	*0.2*	72.5	*74%*	10.7	4.51	*41%*	6.7	2.83	*52%*	0	–	-2.8	10.6	4.50	*41%*
IX	12.5	*1.2*	63.4	*95%*	9.4	4.10	*47%*	5.7	2.43	*48%*	0	–	-4.3	9.7	4.09	*47%*
X	6.8	*0.0*	79.1	*119%*	18.0	7.61	*81%*	5.7	2.41	*51%*	0	*0%*	0.5	18.0	7.61	*80%*
XI	1.7	*-0.4*	50.0	*85%*	16.3	7.12	*68%*	7.1	3.00	*63%*	2.7	*57%*	4.4	15.2	7.11	*68%*
XII	0.3	*1.5*	16.1	*22%*	13.5	5.71	*48%*	6.8	2.89	*61%*	3.2	*17%*	-0.1	13.5	5.70	*48%*
2025	7.7	*0.8*	682.1	*76%*	202.9	7.30	*55%*	108.7	3.93	*67%*	32.4	*19%*	-34.1	195.7	7.28	*55%*



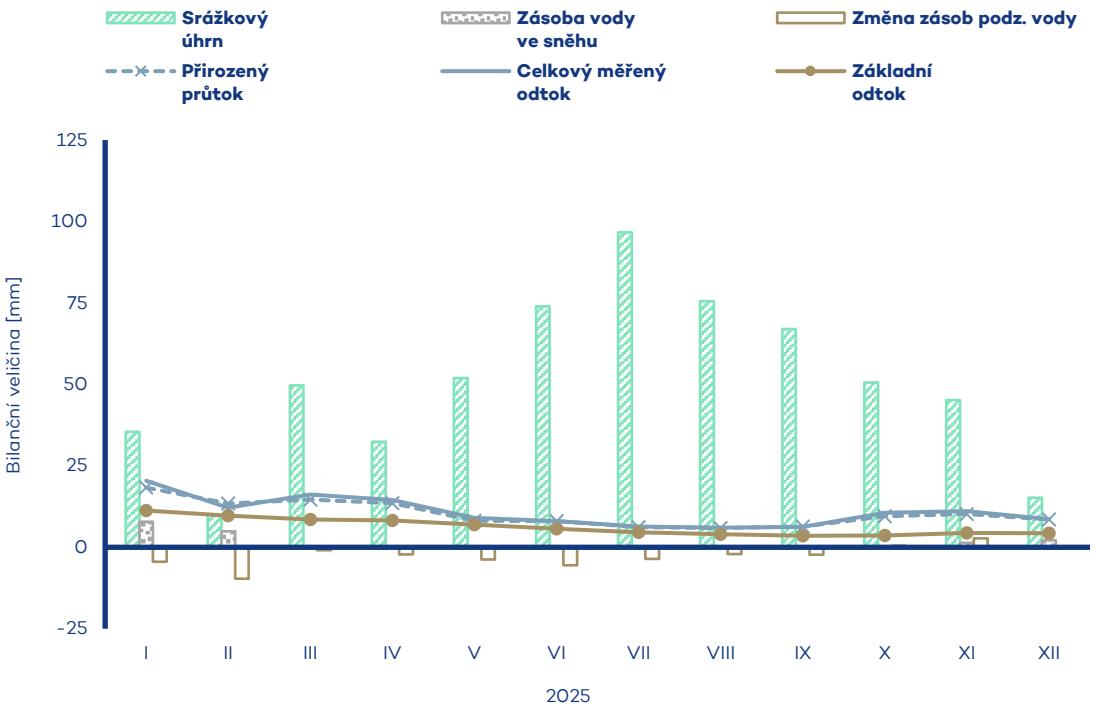
Tok	Bilanční profil	ID stanice	Plocha povodí [km^2]
Blanice	**Heřmaň**	**150000**	840.31

Měsíc	Teplota vzduchu		Srážkový úhrn		Celkový měřený odtok			Základní odtok			Zásoba vody ve sněhu		Změna zásob podz. vody	Přirozený průtok		
	[°C]	[odch.°C]	[mm]	[%norm]	[mm]	[m^3·s^{-1}]	[%norm]	[mm]	[m^3·s^{-1}]	[%norm]	[mm]	[%norm]	[mm]	[mm]	[m^3·s^{-1}]	[%norm]
I	0.2	*1.6*	23.8	*64%*	10.7	3.37	*90%*	6.3	1.96	*143%*	1.5	*10%*	-3.7	10.4	3.27	*91%*
II	-1.1	*-0.5*	6.5	*21%*	6.3	2.19	*58%*	5.0	1.57	*112%*	0.5	*3%*	-4.7	6.8	2.12	*57%*
III	3.9	*1.0*	50.8	*112%*	10.4	3.27	*48%*	4.2	1.31	*77%*	0	*0%*	-0.9	9.1	3.18	*47%*
IV	9.4	*1.7*	33.6	*83%*	8.9	2.89	*48%*	4.3	1.35	*61%*	0	*0%*	-0.1	8.2	2.85	*49%*
V	10.7	*-1.6*	52.0	*69%*	5.2	1.63	*42%*	3.5	1.11	*59%*	0	–	-1.7	4.9	1.69	*44%*
VI	17.7	*1.8*	63.9	*65%*	4.8	1.55	*26%*	2.8	0.864	*46%*	0	–	-2.3	4.1	1.30	*22%*
VII	17.0	*-0.6*	89.1	*95%*	3.9	1.22	*33%*	2.2	0.699	*43%*	0	–	-1.2	3.8	1.19	*33%*
VIII	16.9	*-0.3*	74.9	*86%*	3.4	1.06	*22%*	1.9	0.583	*36%*	0	–	-1.0	3.2	1.00	*21%*
IX	12.9	*0.6*	73.7	*136%*	4.7	1.54	*57%*	1.8	0.554	*40%*	0	–	-0.4	4.6	1.44	*56%*
X	7.3	*-0.3*	32.7	*67%*	6.0	1.89	*53%*	2.0	0.617	*43%*	0	*0%*	0.7	5.4	1.87	*53%*
XI	1.9	*-1.0*	43.1	*109%*	8.3	2.68	*87%*	2.7	0.832	*59%*	0.4	*22%*	1.6	7.3	2.55	*85%*
XII	0.3	*0.8*	14.7	*39%*	5.3	1.65	*51%*	2.5	0.793	*61%*	1.1	*17%*	-0.1	5.0	1.56	*48%*
2025	8.1	*0.3*	558.8	*81%*	77.9	2.08	*49%*	39.0	1.02	*64%*	3.5	*7%*	-13.8	72.8	2.00	*48%*



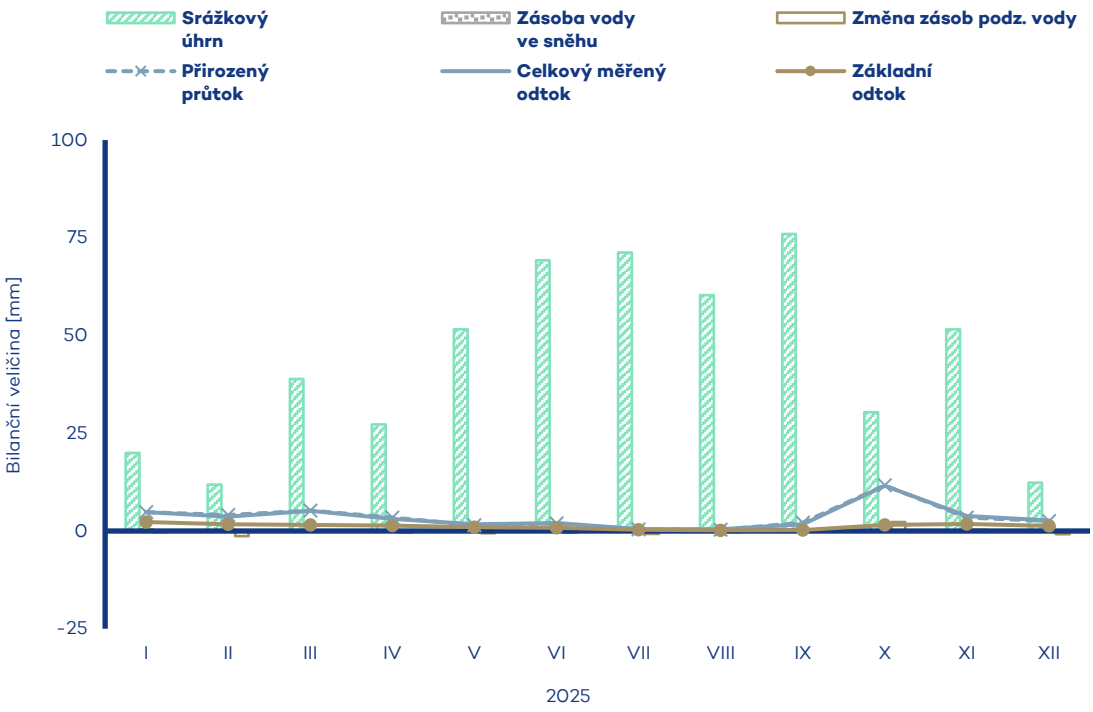
Tok	Bilanční profil	ID stanice	Plocha povodí [km^2]
Otava	**Písek**	**151000**	2913.12

Měsíc	Teplota vzduchu		Srážkový úhrn		Celkový měřený odtok			Základní odtok			Zásoba vody ve sněhu		Změna zásob podz. vody	Přirozený průtok		
	[°C]	[odch.°C]	[mm]	[%norm]	[mm]	[m^3·s^{-1}]	[%norm]	[mm]	[m^3·s^{-1}]	[%norm]	[mm]	[%norm]	[mm]	[mm]	[m^3·s^{-1}]	[%norm]
I	0.1	*1.8*	35.5	*72%*	20.4	22.2	*101%*	11.3	12.3	*140%*	7.8	*33%*	-4.4	18.3	22.1	*101%*
II	-1.0	*-0.2*	10.0	*24%*	12.2	14.7	*65%*	9.7	10.5	*114%*	4.9	*16%*	-9.6	13.5	14.6	*64%*
III	3.9	*1.3*	49.7	*90%*	16.2	17.7	*49%*	8.5	9.27	*87%*	0.2	*1%*	-0.9	14.6	17.6	*49%*
IV	9.2	*1.9*	32.4	*73%*	14.5	16.3	*45%*	8.2	8.93	*68%*	0	*0%*	-2.2	13.5	16.3	*45%*
V	10.6	*-1.3*	52.0	*67%*	9.0	9.80	*39%*	7.0	7.60	*58%*	0	–	-3.7	8.1	9.80	*39%*
VI	17.5	*2.0*	74.0	*75%*	8.1	9.07	*35%*	5.7	6.22	*53%*	0	–	-5.5	8.1	8.79	*34%*
VII	16.7	*-0.4*	96.7	*100%*	6.4	6.96	*37%*	4.6	4.99	*49%*	0	–	-3.6	6.1	6.89	*37%*
VIII	16.6	*-0.1*	75.5	*83%*	6.0	6.55	*31%*	4.0	4.40	*47%*	0	–	-2.1	5.9	6.44	*31%*
IX	12.8	*0.8*	67.0	*114%*	6.3	7.08	*47%*	3.5	3.85	*44%*	0	–	-2.3	6.3	6.89	*46%*
X	7.2	*-0.1*	50.6	*91%*	10.6	11.5	*68%*	3.6	3.89	*46%*	0	*0%*	0.5	9.5	11.4	*68%*
XI	1.8	*-0.8*	45.2	*95%*	11.1	12.5	*70%*	4.4	4.80	*58%*	1.4	*48%*	2.7	10.2	12.3	*69%*
XII	0.3	*1.1*	15.2	*29%*	8.6	9.36	*48%*	4.4	4.73	*58%*	2.1	*19%*	0.3	8.5	9.26	*47%*
2025	8.0	*0.5*	603.8	*79%*	129.4	12.0	*52%*	74.9	6.79	*68%*	16.4	*17%*	-30.8	122.6	11.9	*52%*



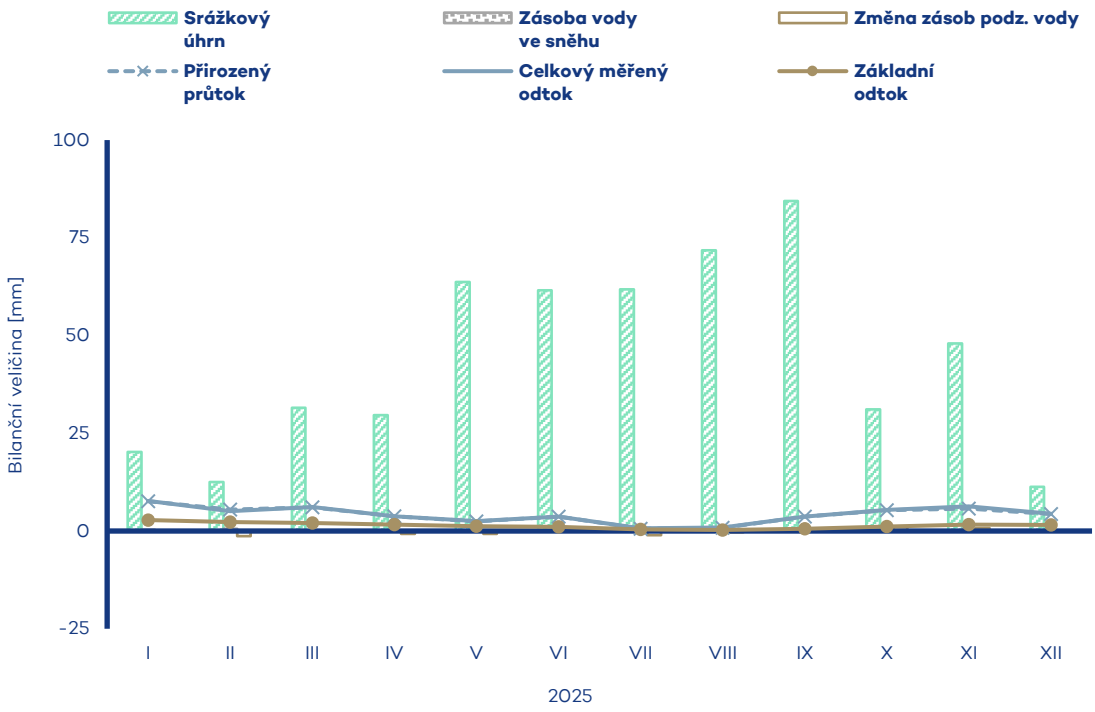
Tok	Bilanční profil	ID stanice	Plocha povodí [km^2]
Lomnice	**Dolní Ostrovec**	**152000**	391.13

Měsíc	Teplota vzduchu		Srážkový úhrn		Celkový měřený odtok			Základní odtok			Zásoba vody ve sněhu		Změna zásob podz. vody	Přirozený průtok		
	[°C]	[odch.°C]	[mm]	[%norm]	[mm]	[m^3·s^{-1}]	[%norm]	[mm]	[m^3·s^{-1}]	[%norm]	[mm]	[%norm]	[mm]	[mm]	[m^3·s^{-1}]	[%norm]
I	0.2	*1.4*	20.0	*51%*	4.8	0.707	*39%*	2.3	0.335	*81%*	0.4	*4%*	-0.3	4.8	0.701	*39%*
II	-0.6	*-0.3*	11.9	*37%*	3.7	0.599	*31%*	1.7	0.253	*50%*	0.3	*3%*	-1.3	4.1	0.598	*31%*
III	4.9	*1.6*	38.9	*89%*	5.1	0.752	*23%*	1.6	0.228	*35%*	0	*0%*	0.0	5.2	0.845	*26%*
IV	10.4	*2.1*	27.3	*77%*	3.1	0.471	*27%*	1.4	0.203	*29%*	0	*0%*	-0.4	3.5	0.505	*29%*
V	11.8	*-1.2*	51.6	*78%*	1.8	0.256	*25%*	1.0	0.146	*34%*	0	–	-0.6	1.5	0.240	*23%*
VI	18.4	*1.9*	69.3	*86%*	2.0	0.309	*29%*	0.8	0.115	*35%*	0	–	-0.4	2.0	0.290	*28%*
VII	17.8	*-0.4*	71.2	*85%*	0.5	0.069	*11%*	0.3	0.048	*21%*	0	–	-0.7	0.4	0.054	*9%*
VIII	18.0	*0.2*	60.3	*77%*	0.5	0.067	*7%*	0.2	0.026	*12%*	0	–	-0.3	0.3	0.055	*6%*
IX	13.6	*0.7*	76.0	*165%*	1.7	0.260	*29%*	0.3	0.041	*16%*	0	–	0.2	2.1	0.310	*36%*
X	7.9	*0.0*	30.4	*65%*	11.6	1.69	*92%*	1.6	0.232	*62%*	0	–	2.3	11.7	1.70	*99%*
XI	2.0	*-1.2*	51.6	*126%*	3.9	0.581	*55%*	1.8	0.264	*68%*	0.3	*33%*	0.3	3.5	0.559	*52%*
XII	0.5	*0.8*	12.4	*31%*	2.7	0.396	*34%*	1.3	0.194	*57%*	0.1	*3%*	-0.8	2.5	0.370	*32%*
2025	8.7	*0.5*	520.9	*82%*	41.4	0.513	*36%*	14.3	0.174	*43%*	1.1	*4%*	-2.0	41.5	0.519	*36%*



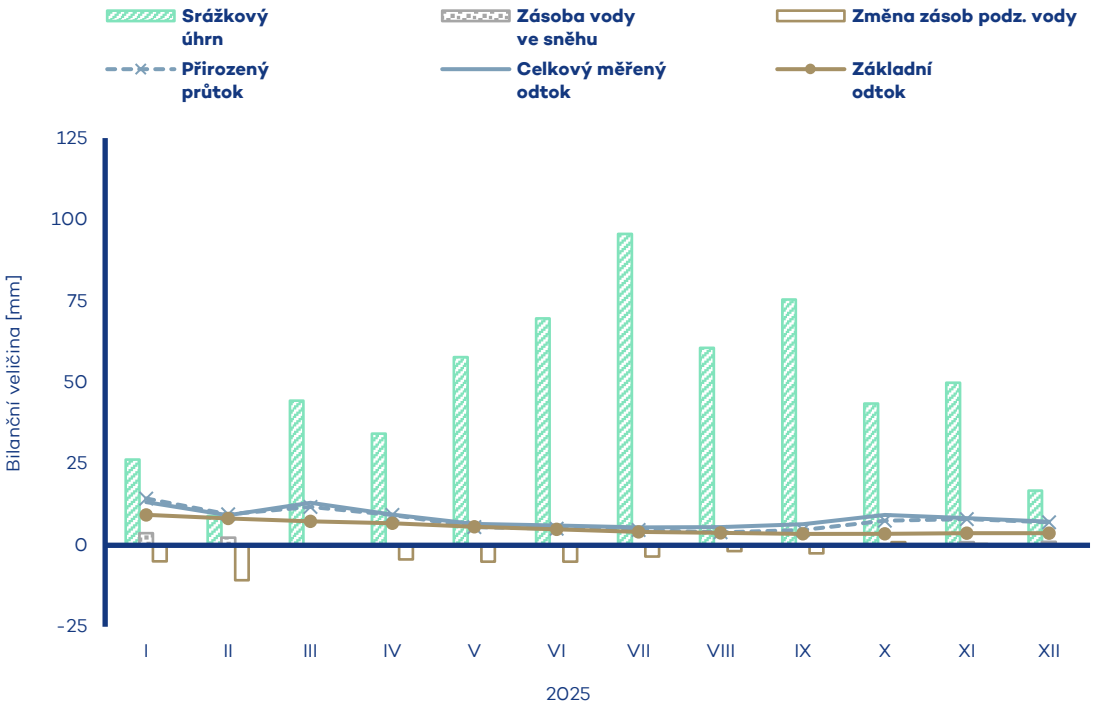
Tok	Bilanční profil	ID stanice	Plocha povodí [km^2]
Skalice	**Varvažov**	**153000**	369.10

Měsíc	Teplota vzduchu		Srážkový úhrn		Celkový měřený odtok			Základní odtok			Zásoba vody ve sněhu		Změna zásob podz. vody	Přirozený průtok		
	[°C]	[odch.°C]	[mm]	[%norm]	[mm]	[m^3·s^{-1}]	[%norm]	[mm]	[m^3·s^{-1}]	[%norm]	[mm]	[%norm]	[mm]	[mm]	[m^3·s^{-1}]	[%norm]
I	0.1	*1.3*	20.2	*50%*	7.7	1.06	*50%*	2.8	0.386	*83%*	0.3	*3%*	0.1	7.6	1.05	*50%*
II	-0.9	*-0.5*	12.5	*39%*	5.1	0.774	*38%*	2.3	0.314	*56%*	0.6	*5%*	-1.3	5.5	0.761	*37%*
III	4.6	*1.4*	31.5	*71%*	6.1	0.847	*26%*	2.0	0.280	*42%*	0	*0%*	0.0	6.0	0.833	*26%*
IV	10.0	*1.9*	29.6	*89%*	3.8	0.535	*34%*	1.7	0.229	*32%*	0	*0%*	-0.7	3.8	0.522	*33%*
V	11.4	*-1.4*	63.7	*98%*	2.6	0.354	*34%*	1.2	0.167	*38%*	0	–	-0.7	2.5	0.340	*33%*
VI	18.0	*1.7*	61.6	*78%*	3.7	0.522	*53%*	1.1	0.151	*47%*	0	–	-0.2	3.7	0.508	*52%*
VII	17.7	*-0.4*	61.8	*75%*	0.7	0.096	*15%*	0.4	0.059	*27%*	0	–	-1.1	0.6	0.084	*14%*
VIII	17.7	*0.0*	71.8	*97%*	0.9	0.123	*15%*	0.3	0.036	*17%*	0	–	-0.3	0.8	0.112	*14%*
IX	13.3	*0.5*	84.4	*188%*	3.7	0.520	*75%*	0.6	0.080	*40%*	0	–	0.5	3.6	0.502	*73%*
X	7.7	*-0.2*	31.1	*67%*	5.4	0.747	*80%*	1.1	0.158	*67%*	0	–	1.0	5.3	0.734	*80%*
XI	1.9	*-1.2*	48.0	*122%*	6.3	0.895	*83%*	1.6	0.221	*78%*	0.6	*86%*	0.7	5.8	0.879	*83%*
XII	0.4	*0.7*	11.3	*28%*	4.4	0.609	*43%*	1.6	0.214	*66%*	0.1	*3%*	0.0	4.3	0.595	*42%*
2025	8.5	*0.3*	527.5	*85%*	50.3	0.590	*43%*	16.7	0.191	*49%*	1.6	*5%*	-2.0	49.6	0.577	*42%*



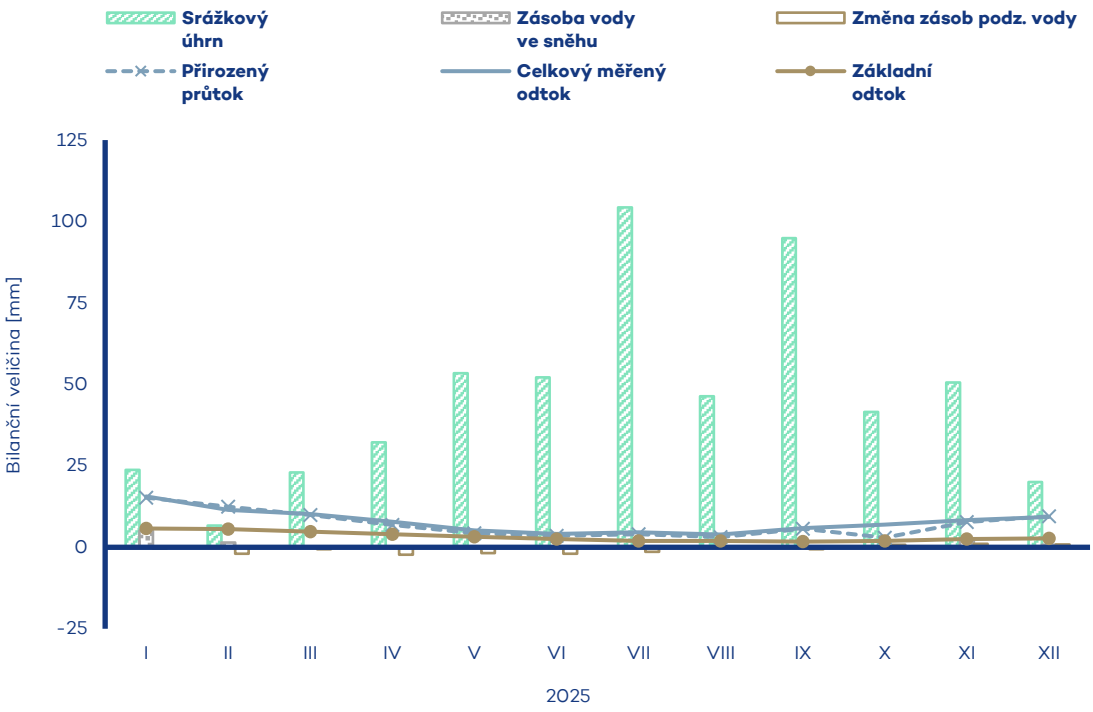
Tok	Bilanční profil	ID stanice	Plocha povodí [km^2]
Vltava	**Orlík-vtok**	**orlk**	11984.33

Měsíc	Teplota vzduchu		Srážkový úhrn		Celkový měřený odtok			Základní odtok			Zásoba vody ve sněhu		Změna zásob podz. vody	Přirozený průtok		
	[°C]	[odch.°C]	[mm]	[%norm]	[mm]	[m^3.s^{-1}]	[%norm]	[mm]	[m^3.s^{-1}]	[%norm]	[mm]	[%norm]	[mm]	[mm]	[m^3.s^{-1}]	[%norm]
I	0.0	*1.6*	26.3	*59%*	13.3	59.3	*76%*	9.3	41.8	*138%*	3.7	*20%*	-4.9	14.4	64.3	*82%*
II	-1.0	*-0.3*	9.0	*25%*	9.2	45.5	*55%*	8.2	36.7	*116%*	2.3	*10%*	-10.7	9.5	42.4	*50%*
III	4.2	*1.4*	44.4	*89%*	13.1	58.4	*46%*	7.4	33.0	*92%*	0.1	*1%*	-0.3	11.8	58.5	*43%*
IV	9.6	*1.9*	34.3	*84%*	9.5	43.7	*40%*	6.8	30.4	*73%*	0	*0%*	-4.3	9.3	46.0	*40%*
V	10.8	*-1.6*	57.8	*75%*	6.6	29.4	*39%*	5.7	25.4	*64%*	0	–	-5.0	5.5	27.4	*36%*
VI	17.9	*1.9*	69.6	*74%*	6.1	28.1	*35%*	4.9	22.1	*61%*	0	–	-5.0	5.1	22.8	*29%*
VII	17.1	*-0.5*	95.6	*100%*	5.5	24.6	*40%*	4.2	18.6	*56%*	0	–	-3.5	4.7	21.7	*37%*
VIII	17.0	*-0.1*	60.6	*69%*	5.6	25.2	*34%*	3.8	17.2	*54%*	0	–	-1.8	4.0	19.7	*28%*
IX	13.1	*0.8*	75.4	*130%*	6.4	29.7	*55%*	3.5	15.6	*51%*	0	–	-2.5	4.7	21.0	*42%*
X	7.3	*-0.3*	43.5	*85%*	9.4	41.9	*62%*	3.6	15.9	*51%*	0	*0%*	1.0	7.6	37.4	*58%*
XI	2.0	*-0.9*	49.9	*115%*	8.4	38.6	*62%*	3.7	16.8	*54%*	1.0	*53%*	0.4	8.1	40.0	*67%*
XII	0.3	*1.0*	16.8	*38%*	7.2	32.4	*51%*	3.7	16.4	*55%*	1.1	*14%*	0.2	7.0	31.4	*47%*
2025	8.2	*0.4*	583.2	*81%*	100.1	38.1	*49%*	64.8	24.2	*72%*	8.2	*12%*	-36.4	91.6	36.1	*46%*



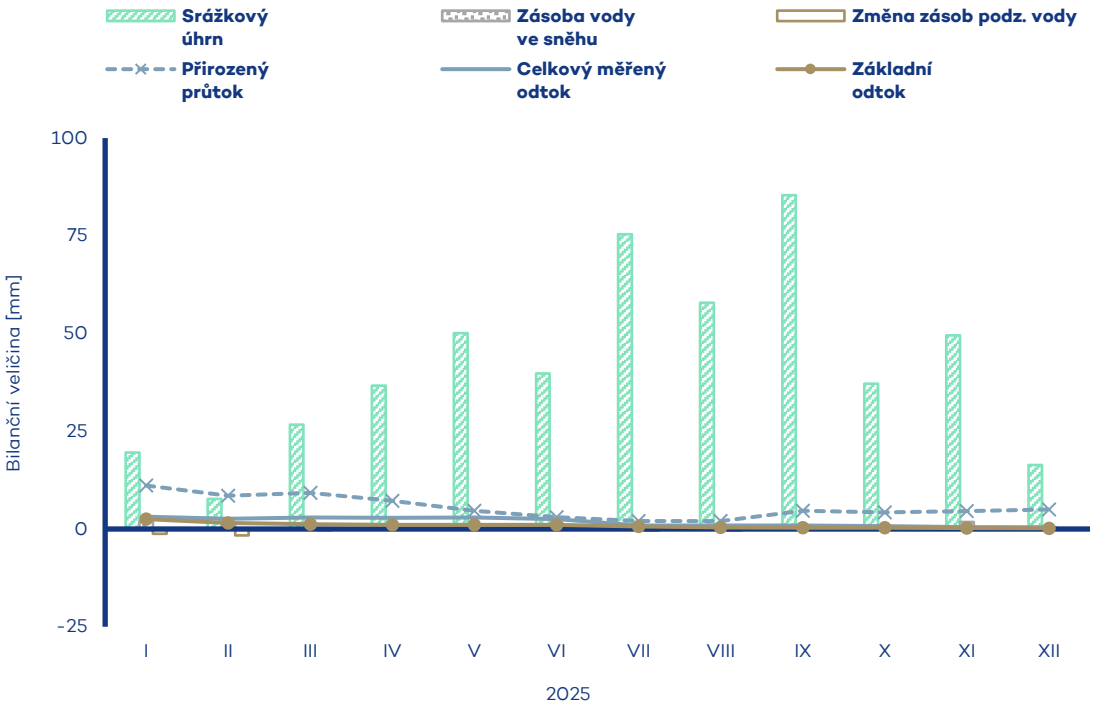
Tok	Bilanční profil	ID stanice	Plocha povodí [km^2]
Sázava	**Světlá nad Sázavou**	**159000**	1142.56

Měsíc	Teplota vzduchu		Srážkový úhrn		Celkový měřený odtok			Základní odtok			Zásoba vody ve sněhu		Změna zásob podz. vody	Přirozený průtok		
	[°C]	[odch.°C]	[mm]	[%norm]	[mm]	[m^3·s^{-1}]	[%norm]	[mm]	[m^3·s^{-1}]	[%norm]	[mm]	[%norm]	[mm]	[mm]	[m^3·s^{-1}]	[%norm]
I	-0.7	*1.2*	23.8	*49%*	15.6	6.67	*79%*	5.8	2.46	*120%*	5.1	*27%*	-0.4	15.2	6.50	*78%*
II	-1.4	*-0.5*	6.7	*17%*	11.5	5.43	*53%*	5.6	2.37	*90%*	1.5	*7%*	-2.0	12.4	5.30	*52%*
III	4.8	*2.2*	23.0	*46%*	10.2	4.34	*28%*	4.8	2.05	*60%*	0	*0%*	-0.6	9.9	4.24	*27%*
IV	9.7	*1.8*	32.2	*87%*	7.8	3.45	*36%*	4.1	1.73	*44%*	0	*0%*	-2.3	6.8	3.23	*34%*
V	10.7	*-1.9*	53.4	*71%*	5.2	2.23	*39%*	3.2	1.38	*46%*	0	–	-1.8	4.3	2.02	*37%*
VI	17.7	*1.7*	52.2	*66%*	4.2	1.83	*35%*	2.6	1.09	*44%*	0	–	-2.0	3.5	1.67	*32%*
VII	17.5	*-0.3*	104.3	*109%*	4.6	1.96	*36%*	1.9	0.831	*39%*	0	–	-1.4	4.0	1.77	*34%*
VIII	17.4	*-0.2*	46.4	*55%*	3.9	1.67	*37%*	1.9	0.825	*41%*	0	–	-0.1	3.2	1.50	*34%*
IX	13.4	*0.7*	94.9	*158%*	5.9	2.61	*58%*	1.7	0.742	*41%*	0	–	-0.6	5.6	2.48	*58%*
X	7.3	*-0.6*	41.5	*89%*	7.0	2.99	*68%*	2.0	0.850	*50%*	0	*0%*	0.8	3.0	1.40	*34%*
XI	2.1	*-1.0*	50.6	*113%*	8.3	3.68	*73%*	2.5	1.06	*63%*	2.3	*135%*	1.1	7.8	3.68	*76%*
XII	0.6	*1.6*	20.0	*43%*	9.3	3.98	*69%*	2.8	1.18	*67%*	0.8	*11%*	0.9	9.5	4.06	*71%*
2025	8.3	*0.4*	549.0	*78%*	93.6	3.40	*48%*	38.8	1.38	*58%*	9.7	*16%*	-8.4	85.3	3.15	*46%*



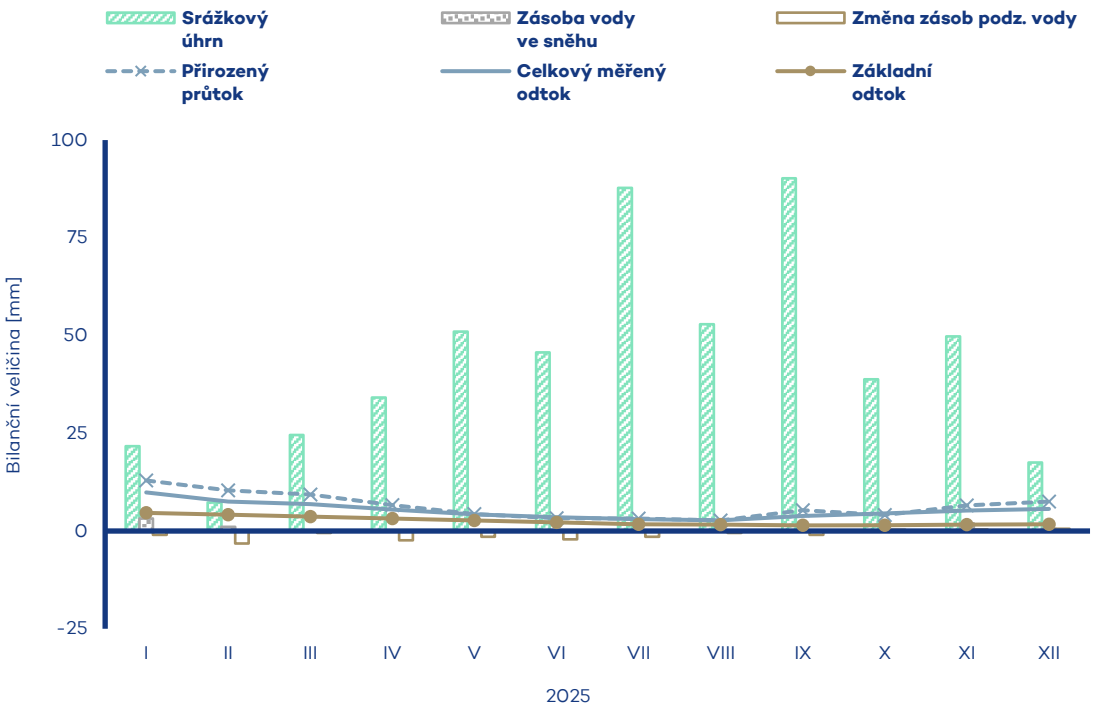
Tok	Bilanční profil	ID stanice	Plocha povodí [km^2]
Želivka	**Nesměřice**	**163300**	1178.45

Měsíc	Teplota vzduchu		Srážkový úhrn		Celkový měřený odtok			Základní odtok			Zásoba vody ve sněhu		Změna zásob podz. vody	Přirozený průtok		
	[°C]	[odch.°C]	[mm]	[%norm]	[mm]	[m^3·s^{-1}]	[%norm]	[mm]	[m^3·s^{-1}]	[%norm]	[mm]	[%norm]	[mm]	[mm]	[m^3·s^{-1}]	[%norm]
I	-0.1	*1.5*	19.6	*42%*	3.2	1.39	*42%*	2.5	1.11	*146%*	1.9	*12%*	-1.2	11.1	4.89	*70%*
II	-0.9	*-0.2*	7.7	*21%*	2.6	1.29	*39%*	1.6	0.691	*74%*	0.8	*5%*	-1.6	8.5	3.73	*44%*
III	4.9	*2.0*	26.7	*55%*	2.9	1.29	*23%*	1.2	0.536	*43%*	0	*0%*	-0.3	9.2	4.07	*34%*
IV	9.9	*1.8*	36.7	*96%*	2.9	1.31	*29%*	1.1	0.480	*31%*	0	*0%*	-0.2	7.2	3.50	*40%*
V	10.7	*-2.0*	50.1	*71%*	3.0	1.31	*48%*	1.1	0.466	*46%*	0	–	0.0	4.6	2.26	*40%*
VI	17.8	*1.7*	39.8	*48%*	2.5	1.15	*46%*	1.0	0.455	*56%*	0	–	-0.1	3.0	1.47	*28%*
VII	17.5	*-0.3*	75.4	*82%*	0.9	0.404	*22%*	0.7	0.300	*43%*	0	–	-0.4	2.1	0.909	*21%*
VIII	17.5	*-0.1*	57.9	*69%*	0.9	0.396	*14%*	0.4	0.190	*27%*	0	–	-0.4	2.0	0.984	*22%*
IX	13.4	*0.7*	85.4	*148%*	0.9	0.409	*28%*	0.4	0.158	*28%*	0	–	-0.1	4.7	2.05	*56%*
X	7.5	*-0.4*	37.2	*77%*	0.7	0.324	*25%*	0.3	0.142	*29%*	0	*0%*	0.0	4.3	2.08	*53%*
XI	2.2	*-1.0*	49.5	*114%*	0.5	0.224	*13%*	0.2	0.099	*20%*	1.8	*129%*	-0.2	4.6	2.25	*56%*
XII	0.7	*1.3*	16.4	*37%*	0.5	0.198	*13%*	0.2	0.086	*17%*	0.5	*9%*	0.0	5.0	2.20	*44%*
2025	8.4	*0.4*	502.4	*73%*	21.5	0.807	*30%*	10.7	0.393	*48%*	5.0	*10%*	-4.5	66.3	2.53	*42%*



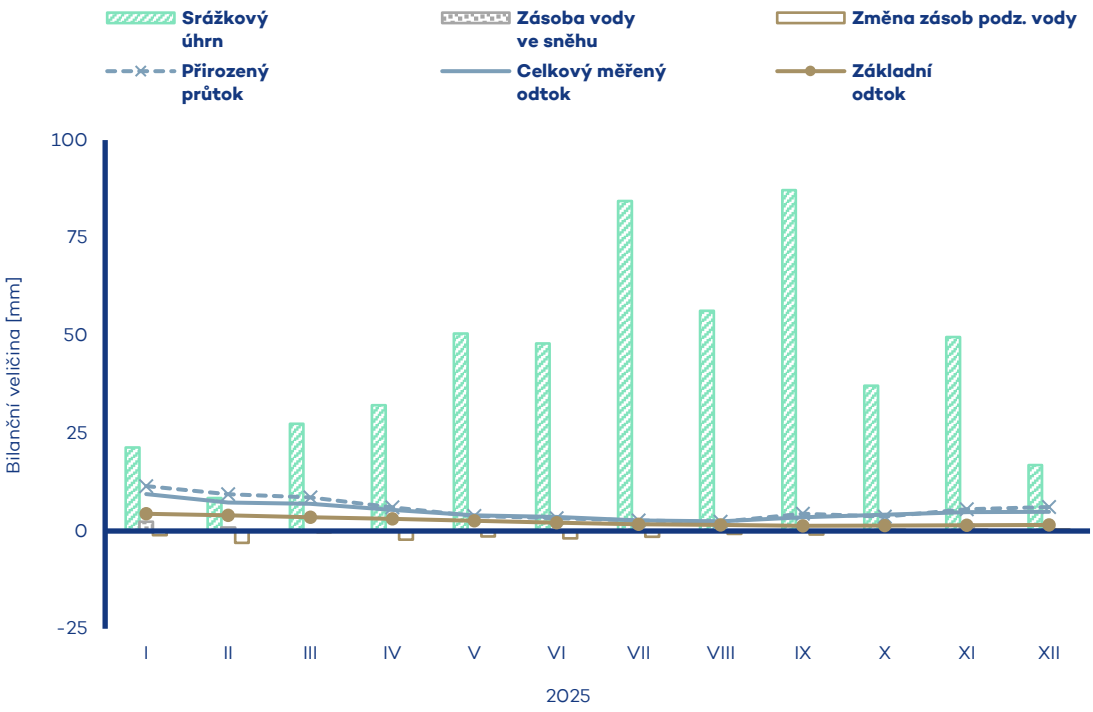
Tok	Bilanční profil	ID stanice	Plocha povodí [km^2]
Sázava	**Kácov**	**165000**	2814.52

Měsíc	Teplota vzduchu		Srážkový úhrn		Celkový měřený odtok			Základní odtok			Zásoba vody ve sněhu		Změna zásob podz. vody	Přirozený průtok		
	[°C]	[odch.°C]	[mm]	[%norm]	[mm]	[m^3.s^{-1}]	[%norm]	[mm]	[m^3.s^{-1}]	[%norm]	[mm]	[%norm]	[mm]	[mm]	[m^3.s^{-1}]	[%norm]
I	-0.2	*1.4*	21.7	*46%*	9.9	10.4	*68%*	4.6	4.87	*137%*	3.2	*19%*	-1.0	12.9	13.6	*72%*
II	-1.1	*-0.4*	7.3	*20%*	7.5	8.75	*51%*	4.2	4.42	*103%*	1.1	*6%*	-3.2	10.4	10.9	*49%*
III	4.9	*2.0*	24.6	*50%*	6.9	7.24	*27%*	3.7	3.88	*73%*	0	*0%*	-0.5	9.3	9.78	*30%*
IV	9.9	*1.8*	34.1	*92%*	5.5	5.93	*31%*	3.2	3.34	*52%*	0	*0%*	-2.4	6.7	7.74	*34%*
V	10.7	*-2.0*	51.0	*71%*	4.3	4.47	*39%*	2.7	2.82	*51%*	0	–	-1.5	4.3	5.05	*36%*
VI	17.8	*1.7*	45.7	*57%*	3.5	3.82	*36%*	2.2	2.32	*49%*	0	–	-2.1	3.3	3.80	*29%*
VII	17.6	*-0.3*	87.8	*94%*	3.0	3.18	*33%*	1.8	1.85	*44%*	0	–	-1.5	3.2	3.34	*29%*
VIII	17.4	*-0.2*	52.9	*63%*	2.7	2.87	*31%*	1.6	1.72	*45%*	0	–	-0.5	2.7	3.15	*29%*
IX	13.5	*0.7*	90.2	*155%*	3.9	4.20	*53%*	1.4	1.51	*41%*	0	–	-1.0	5.3	5.58	*57%*
X	7.5	*-0.5*	38.8	*82%*	4.5	4.69	*61%*	1.5	1.53	*45%*	0	*0%*	0.3	4.1	4.73	*48%*
XI	2.2	*-1.0*	49.8	*114%*	5.2	5.68	*64%*	1.6	1.69	*52%*	2.0	*133%*	0.4	6.5	7.58	*70%*
XII	0.7	*1.4*	17.5	*39%*	5.7	5.95	*61%*	1.7	1.79	*56%*	0.6	*10%*	0.6	7.5	7.88	*61%*
2025	8.4	*0.4*	521.4	*75%*	62.5	5.60	*44%*	30.2	2.65	*62%*	6.9	*13%*	-12.4	76.2	6.93	*44%*



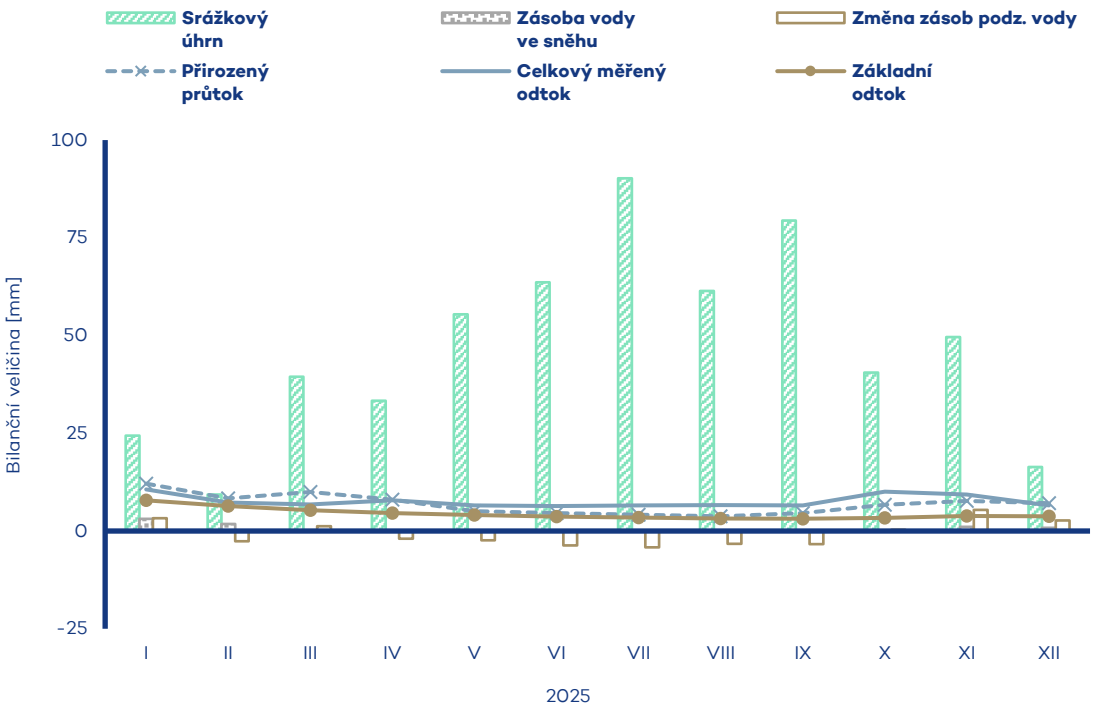
Tok	Bilanční profil	ID stanice	Plocha povodí [km^2]
Sázava	**Nespeky**	**167200**	4038.66

Měsíc	Teplota vzduchu		Srážkový úhrn		Celkový měřený odtok			Základní odtok			Zásoba vody ve sněhu		Změna zásob podz. vody	Přirozený průtok		
	[°C]	[odch.°C]	[mm]	[%norm]	[mm]	[m^3·s^{-1}]	[%norm]	[mm]	[m^3·s^{-1}]	[%norm]	[mm]	[%norm]	[mm]	[mm]	[m^3·s^{-1}]	[%norm]
I	0.1	*1.6*	21.4	*47%*	9.4	14.2	*64%*	4.4	6.65	*129%*	2.4	*16%*	-1.1	11.5	17.3	*68%*
II	-0.9	*-0.4*	8.4	*23%*	7.3	12.1	*49%*	4.0	6.03	*97%*	0.9	*5%*	-3.0	9.4	14.2	*48%*
III	5.1	*2.0*	27.4	*57%*	7.0	10.5	*28%*	3.5	5.33	*70%*	0	*0%*	-0.3	8.6	12.9	*30%*
IV	10.1	*1.9*	32.2	*88%*	5.4	8.47	*33%*	3.1	4.63	*51%*	0	*0%*	-2.2	6.1	10.2	*35%*
V	11.0	*-1.9*	50.5	*72%*	4.0	6.02	*37%*	2.6	3.90	*49%*	0	–	-1.4	3.9	6.48	*35%*
VI	18.0	*1.7*	48.0	*59%*	3.6	5.58	*37%*	2.2	3.26	*47%*	0	–	-1.9	3.3	5.45	*31%*
VII	17.7	*-0.3*	84.4	*93%*	2.7	4.02	*31%*	1.7	2.56	*44%*	0	–	-1.5	2.7	4.07	*28%*
VIII	17.6	*-0.1*	56.3	*68%*	2.5	3.73	*29%*	1.5	2.30	*43%*	0	–	-0.7	2.3	3.90	*28%*
IX	13.7	*0.7*	87.2	*154%*	3.5	5.43	*50%*	1.3	2.01	*40%*	0	–	-0.9	4.4	6.67	*53%*
X	7.7	*-0.3*	37.2	*79%*	4.2	6.30	*56%*	1.4	2.05	*43%*	0	*0%*	0.3	3.7	6.21	*47%*
XI	2.4	*-0.9*	49.6	*116%*	4.8	7.51	*58%*	1.5	2.25	*49%*	1.6	*114%*	0.3	5.5	9.26	*63%*
XII	0.9	*1.4*	16.9	*39%*	4.9	7.45	*53%*	1.6	2.35	*51%*	0.5	*9%*	0.4	6.1	9.27	*54%*
2025	8.6	*0.4*	519.5	*76%*	59.3	7.62	*42%*	28.7	3.61	*59%*	5.4	*12%*	-12.0	67.6	8.83	*42%*



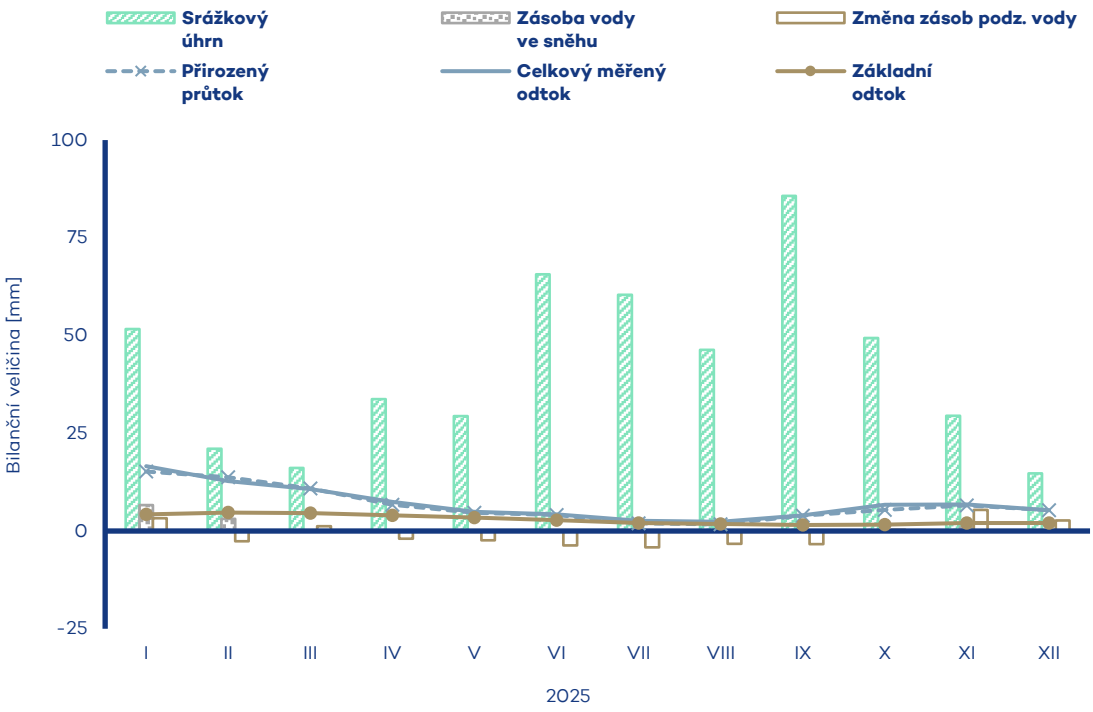
Tok	Bilanční profil	ID stanice	Plocha povodí [km^2]
Vltava	**Praha-Zbraslav**	**169000**	17824.82

Měsíc	Teplota vzduchu		Srážkový úhrn		Celkový měřený odtok			Základní odtok			Zásoba vody ve sněhu		Změna zásob podz. vody	Přirozený průtok		
	[°C]	[odch.°C]	[mm]	[%norm]	[mm]	[m^3.s^{-1}]	[%norm]	[mm]	[m^3.s^{-1}]	[%norm]	[mm]	[%norm]	[mm]	[mm]	[m^3.s^{-1}]	[%norm]
I	0.1	*1.6*	24.4	*56%*	10.6	70.8	*67%*	7.8	52.2	*138%*	3.1	*18%*	3.3	12.1	80.6	*76%*
II	-0.9	*-0.4*	9.3	*27%*	7.2	53.4	*45%*	6.3	42.2	*99%*	1.8	*9%*	-2.6	8.4	55.8	*46%*
III	4.5	*1.5*	39.5	*82%*	6.8	45.1	*30%*	5.3	35.1	*73%*	0	*0%*	1.2	10.0	73.8	*40%*
IV	9.8	*1.9*	33.3	*85%*	7.9	54.3	*40%*	4.6	30.6	*55%*	0	*0%*	-2.0	8.0	59.0	*40%*
V	10.9	*-1.7*	55.4	*74%*	6.6	43.8	*49%*	4.1	27.2	*54%*	0	–	-2.4	5.1	37.5	*40%*
VI	17.9	*1.8*	63.6	*71%*	6.4	43.9	*45%*	3.6	24.3	*53%*	0	–	-3.7	4.6	30.6	*31%*
VII	17.4	*-0.4*	90.2	*96%*	6.5	43.5	*56%*	3.4	22.6	*55%*	0	–	-4.2	4.2	27.7	*37%*
VIII	17.3	*-0.1*	61.4	*72%*	6.6	44.2	*45%*	3.2	21.5	*55%*	0	–	-3.3	3.8	25.0	*29%*
IX	13.3	*0.8*	79.4	*141%*	6.6	45.1	*65%*	3.1	20.9	*60%*	0	–	-3.4	4.6	30.4	*48%*
X	7.5	*-0.3*	40.5	*83%*	10.1	67.2	*85%*	3.4	22.4	*64%*	0	*0%*	0.3	6.7	49.7	*62%*
XI	2.1	*-1.0*	49.6	*117%*	9.4	64.4	*78%*	3.9	25.9	*71%*	1.1	*65%*	5.4	7.7	56.8	*74%*
XII	0.5	*1.1*	16.4	*38%*	6.6	43.7	*56%*	3.7	24.8	*70%*	0.8	*12%*	2.7	7.1	47.2	*55%*
2025	8.4	*0.4*	563.0	*80%*	91.3	51.6	*52%*	52.6	29.2	*70%*	6.8	*12%*	-8.7	82.3	47.8	*47%*



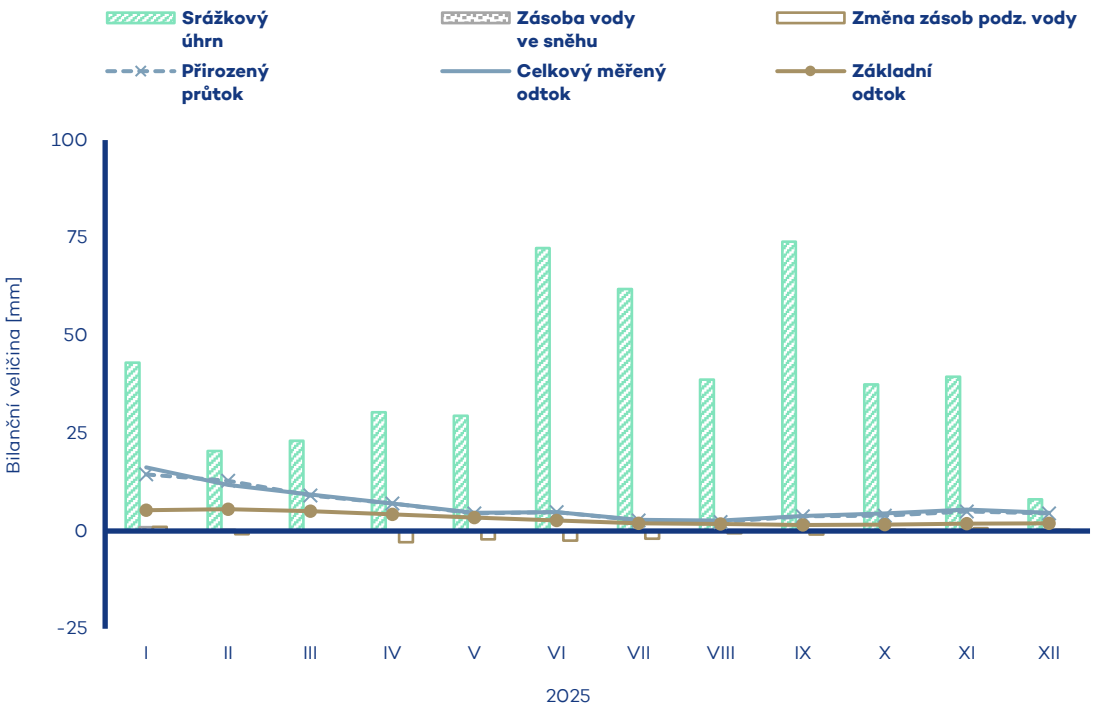
Tok	Bilanční profil	ID stanice	Plocha povodí [km^2]
Mže	**Stříbro**	**174000**	1143.89

Měsíc	Teplota vzduchu		Srážkový úhrn		Celkový měřený odtok			Základní odtok			Zásoba vody ve sněhu		Změna zásob podz. vody	Přirozený průtok		
	[°C]	[odch.°C]	[mm]	[%norm]	[mm]	[m^3·s^{-1}]	[%norm]	[mm]	[m^3·s^{-1}]	[%norm]	[mm]	[%norm]	[mm]	[mm]	[m^3·s^{-1}]	[%norm]
I	-0.2	*1.5*	51.7	*105%*	16.6	7.08	*72%*	4.2	1.80	*83%*	6.6	*47%*	3.3	15.2	7.19	*74%*
II	-1.6	*-0.7*	21.0	*55%*	12.8	6.05	*65%*	4.7	2.01	*79%*	3.1	*18%*	-2.6	13.8	5.88	*64%*
III	4.2	*1.5*	16.1	*35%*	10.7	4.58	*40%*	4.6	1.95	*67%*	0	*0%*	1.2	10.8	4.63	*41%*
IV	9.3	*1.8*	33.7	*87%*	7.5	3.29	*44%*	4.0	1.73	*56%*	0	*0%*	-2.0	6.7	3.16	*43%*
V	11.0	*-1.1*	29.4	*49%*	4.9	2.09	*45%*	3.4	1.47	*56%*	0	–	-2.4	4.6	1.98	*43%*
VI	17.5	*1.9*	65.7	*90%*	4.3	1.90	*44%*	2.7	1.17	*54%*	0	–	-3.7	4.1	1.76	*42%*
VII	16.7	*-0.6*	60.4	*77%*	2.6	1.11	*41%*	2.1	0.883	*53%*	0	–	-4.2	2.0	0.938	*35%*
VIII	16.5	*-0.3*	46.3	*64%*	2.4	1.01	*33%*	1.8	0.759	*53%*	0	–	-3.3	1.7	0.797	*27%*
IX	12.8	*0.7*	85.7	*157%*	4.0	1.79	*61%*	1.5	0.657	*51%*	0	–	-3.4	3.9	1.68	*60%*
X	7.3	*0.0*	49.4	*99%*	6.7	2.86	*69%*	1.6	0.702	*54%*	0	*0%*	0.3	5.4	2.56	*63%*
XI	2.0	*-0.6*	29.5	*61%*	6.8	3.01	*51%*	2.0	0.866	*59%*	0.9	*75%*	5.4	6.6	2.80	*49%*
XII	0.5	*1.2*	14.7	*28%*	5.3	2.26	*34%*	2.0	0.865	*51%*	0.2	*3%*	2.7	5.3	2.28	*34%*
2025	8.0	*0.4*	503.6	*76%*	84.6	3.09	*51%*	34.8	1.24	*61%*	10.8	*23%*	-8.7	80.2	2.97	*50%*



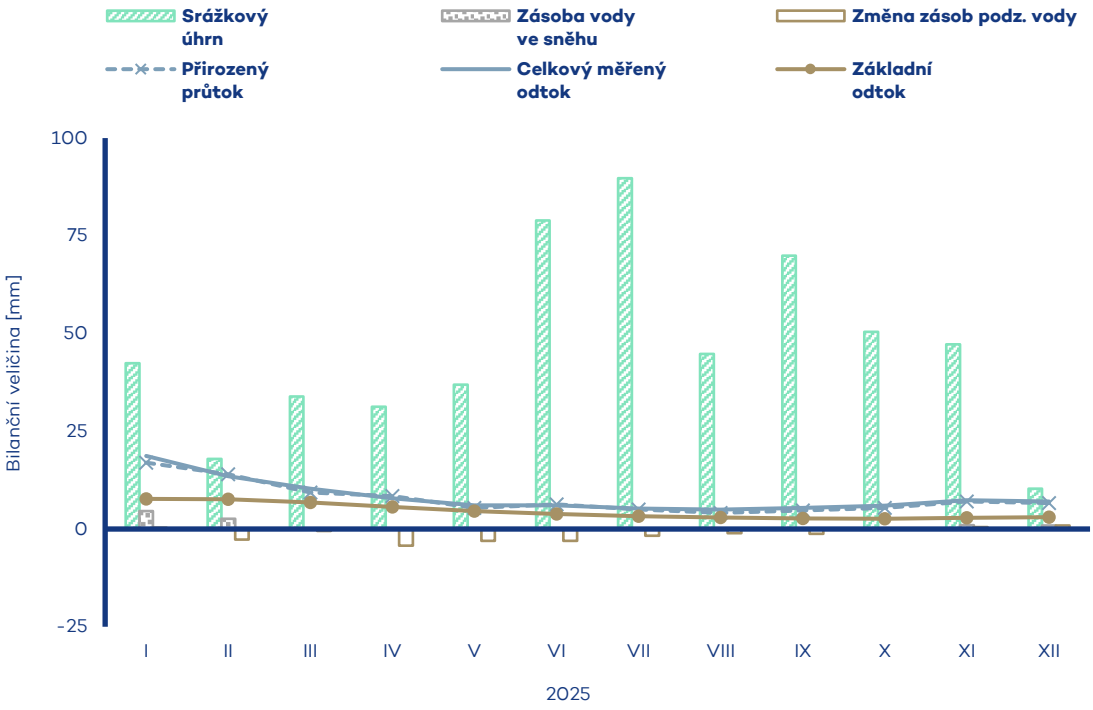
Tok	Bilanční profil	ID stanice	Plocha povodí [km^2]
Radbuza	**Lhota**	**179900**	1180.96

Měsíc	Teplota vzduchu		Srážkový úhrn		Celkový měřený odtok			Základní odtok			Zásoba vody ve sněhu		Změna zásob podz. vody	Přirozený průtok		
	[°C]	[odch.°C]	[mm]	[%norm]	[mm]	[m^3·s^{-1}]	[%norm]	[mm]	[m^3·s^{-1}]	[%norm]	[mm]	[%norm]	[mm]	[mm]	[m^3·s^{-1}]	[%norm]
I	0.6	*1.3*	43.1	*103%*	16.3	7.18	*101%*	5.3	2.34	*118%*	1.0	*13%*	1.1	14.5	7.06	*100%*
II	-0.6	*-0.7*	20.5	*60%*	11.8	5.77	*87%*	5.6	2.46	*109%*	0.3	*4%*	-0.8	12.9	5.67	*86%*
III	4.8	*1.1*	23.1	*56%*	9.3	4.11	*54%*	5.1	2.24	*88%*	0	*0%*	0.1	9.1	4.02	*54%*
IV	10.3	*1.8*	30.4	*79%*	7.0	3.19	*66%*	4.3	1.89	*76%*	0	–	-2.9	7.1	3.11	*65%*
V	11.9	*-1.2*	29.5	*46%*	4.7	2.06	*58%*	3.5	1.53	*73%*	0	–	-2.1	4.5	2.00	*58%*
VI	18.5	*1.9*	72.4	*91%*	4.9	2.21	*55%*	2.7	1.21	*66%*	0	–	-2.5	4.9	2.14	*54%*
VII	17.8	*-0.5*	61.9	*77%*	2.8	1.25	*45%*	2.0	0.872	*59%*	0	–	-2.0	2.7	1.18	*43%*
VIII	17.5	*-0.3*	38.7	*52%*	2.7	1.18	*37%*	1.8	0.787	*58%*	0	–	-0.6	2.3	1.12	*36%*
IX	13.7	*0.7*	74.0	*145%*	3.9	1.76	*74%*	1.5	0.678	*55%*	0	–	-0.9	3.8	1.67	*72%*
X	8.2	*0.1*	37.5	*78%*	4.5	1.99	*62%*	1.6	0.708	*59%*	0	–	0.3	3.9	1.92	*61%*
XI	2.5	*-0.9*	39.5	*94%*	5.5	2.51	*61%*	1.9	0.829	*62%*	0.4	*80%*	0.7	5.0	2.42	*60%*
XII	0.9	*0.8*	8.1	*17%*	4.6	2.05	*40%*	1.9	0.854	*56%*	0.1	*3%*	0.3	4.5	1.99	*39%*
2025	8.8	*0.3*	478.7	*75%*	78.0	2.94	*65%*	37.2	1.37	*77%*	1.8	*8%*	-9.3	75.0	2.86	*64%*



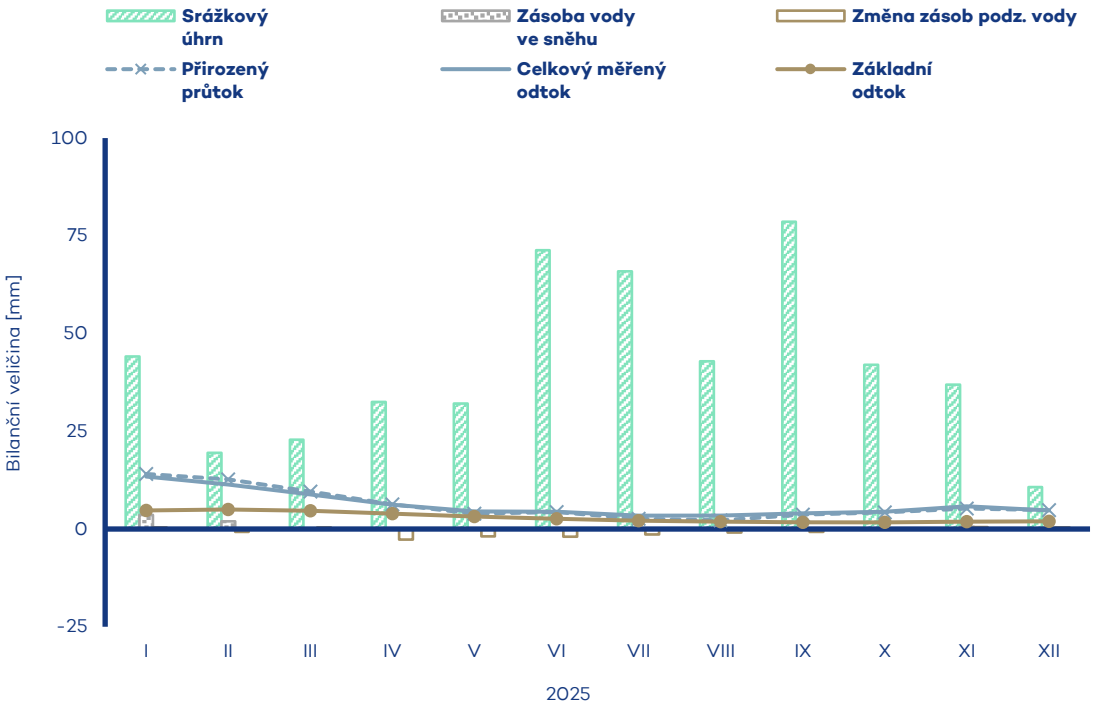
Tok	Bilanční profil	ID stanice	Plocha povodí [km^2]
Úhlava	**Štěnovice**	**183000**	892.79

Měsíc	Teplota vzduchu		Srážkový úhrn		Celkový měřený odtok			Základní odtok			Zásoba vody ve sněhu		Změna zásob podz. vody	Přirozený průtok		
	[°C]	[odch.°C]	[mm]	[%norm]	[mm]	[m^3.s^{-1}]	[%norm]	[mm]	[m^3.s^{-1}]	[%norm]	[mm]	[%norm]	[mm]	[mm]	[m^3.s^{-1}]	[%norm]
I	0.7	*1.5*	42.4	*95%*	18.7	6.23	*95%*	7.7	2.57	*112%*	4.6	*37%*	0.3	17.0	6.26	*95%*
II	-0.4	*-0.3*	17.9	*47%*	13.5	4.99	*73%*	7.6	2.55	*99%*	2.6	*16%*	-2.7	14.0	4.68	*70%*
III	4.8	*1.3*	33.9	*70%*	10.3	3.45	*45%*	6.8	2.25	*79%*	0.2	*2%*	-0.5	9.4	3.46	*44%*
IV	10.3	*1.9*	31.3	*73%*	7.9	2.72	*45%*	5.7	1.89	*64%*	0	*0%*	-4.3	8.4	2.81	*45%*
V	11.7	*-1.2*	36.9	*50%*	6.1	2.03	*44%*	4.6	1.54	*58%*	0	–	-3.0	5.4	1.99	*44%*
VI	18.4	*2.0*	78.9	*84%*	6.1	2.10	*40%*	3.9	1.29	*53%*	0	–	-3.0	6.3	2.10	*40%*
VII	17.7	*-0.4*	89.7	*98%*	5.3	1.75	*44%*	3.2	1.08	*51%*	0	–	-1.7	5.0	1.67	*41%*
VIII	17.4	*-0.2*	44.8	*51%*	5.0	1.65	*36%*	2.9	0.975	*48%*	0	–	-1.1	4.1	1.52	*33%*
IX	13.7	*0.8*	69.9	*123%*	5.4	1.87	*57%*	2.7	0.888	*47%*	0	–	-1.2	4.7	1.58	*50%*
X	8.1	*0.0*	50.4	*93%*	5.9	1.98	*56%*	2.6	0.875	*50%*	0	*0%*	0.2	5.4	1.99	*57%*
XI	2.5	*-0.9*	47.2	*104%*	7.4	2.55	*57%*	2.9	0.954	*53%*	1.0	*67%*	0.5	7.0	2.59	*59%*
XII	1.0	*0.9*	10.3	*20%*	7.1	2.35	*45%*	3.1	1.02	*52%*	0.9	*15%*	0.9	6.6	2.20	*41%*
2025	8.8	*0.4*	553.6	*76%*	98.6	2.81	*54%*	53.6	1.49	*65%*	9.3	*20%*	-15.6	93.3	2.74	*53%*



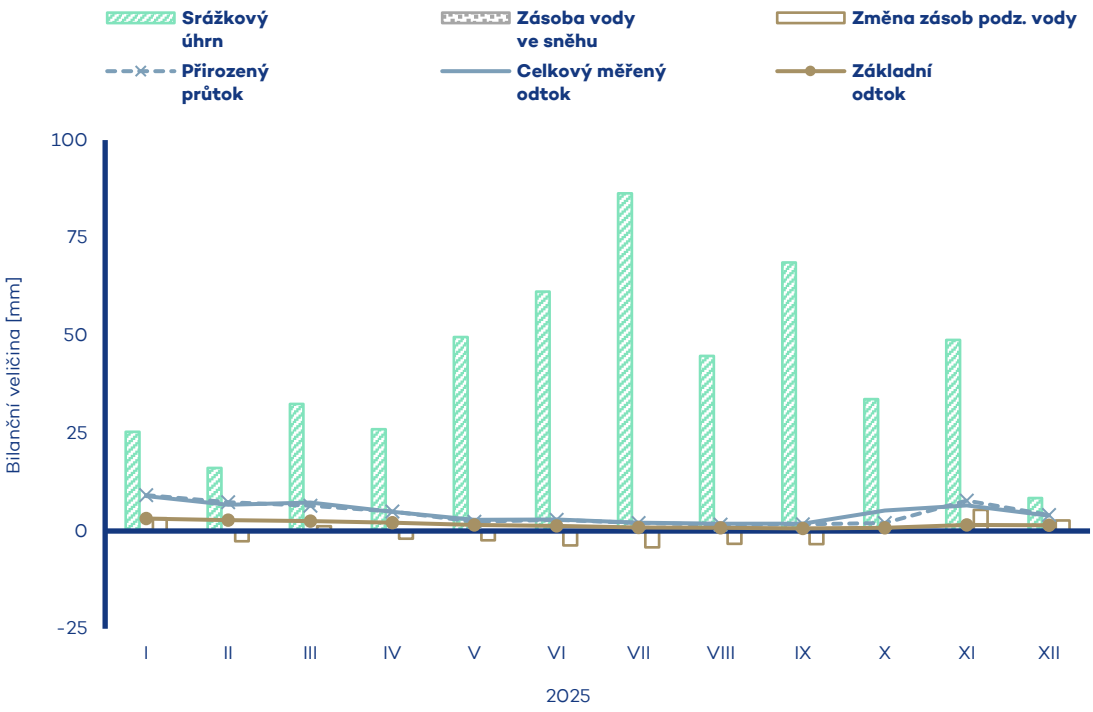
Tok	Bilanční profil	ID stanice	Plocha povodí [km^2]
Berounka	**Plzeň-Bílá Hora**	**186000**	4017.71

Měsíc	Teplota vzduchu		Srážkový úhrn		Celkový měřený odtok			Základní odtok			Zásoba vody ve sněhu		Změna zásob podz. vody	Přirozený průtok		
	[°C]	[odch.°C]	[mm]	[%norm]	[mm]	[m^3.s^{-1}]	[%norm]	[mm]	[m^3.s^{-1}]	[%norm]	[mm]	[%norm]	[mm]	[mm]	[m^3.s^{-1}]	[%norm]
I	0.3	*1.4*	44.1	*102%*	13.4	20.1	*77%*	4.7	7.08	*95%*	3.6	*34%*	0.4	14.1	23.4	*87%*
II	-0.9	*-0.7*	19.5	*56%*	11.4	18.9	*76%*	5.0	7.49	*89%*	2.0	*16%*	-0.7	12.7	19.1	*73%*
III	4.6	*1.2*	22.8	*53%*	8.8	13.3	*45%*	4.6	6.97	*74%*	0.1	*2%*	0.4	9.6	14.4	*45%*
IV	9.9	*1.8*	32.5	*84%*	6.2	9.59	*48%*	3.9	5.87	*61%*	0	*0%*	-2.7	6.3	10.4	*48%*
V	11.6	*-1.2*	32.1	*51%*	4.5	6.74	*50%*	3.2	4.82	*62%*	0	–	-1.9	3.9	6.53	*46%*
VI	18.1	*1.9*	71.3	*90%*	4.4	6.79	*46%*	2.7	3.98	*58%*	0	–	-2.0	4.3	6.52	*43%*
VII	17.5	*-0.5*	65.9	*81%*	3.4	5.14	*51%*	2.1	3.22	*57%*	0	–	-1.4	2.6	3.88	*37%*
VIII	17.1	*-0.3*	42.9	*57%*	3.4	5.17	*43%*	1.9	2.79	*53%*	0	–	-0.9	2.2	3.67	*31%*
IX	13.3	*0.7*	78.6	*151%*	4.0	6.21	*64%*	1.7	2.55	*52%*	0	–	-0.7	3.6	5.47	*59%*
X	7.9	*0.0*	42.0	*86%*	4.4	6.63	*56%*	1.7	2.54	*55%*	0	–	0.2	4.3	7.13	*61%*
XI	2.3	*-0.8*	36.9	*85%*	5.8	8.98	*54%*	1.9	2.88	*56%*	0.6	*67%*	0.5	5.3	8.74	*55%*
XII	0.8	*1.0*	10.7	*22%*	4.8	7.16	*37%*	2.0	2.98	*51%*	0.3	*6%*	0.4	4.9	7.30	*38%*
2025	8.5	*0.4*	499.3	*77%*	74.6	9.56	*55%*	35.4	4.43	*66%*	6.6	*19%*	-8.4	73.8	9.71	*54%*



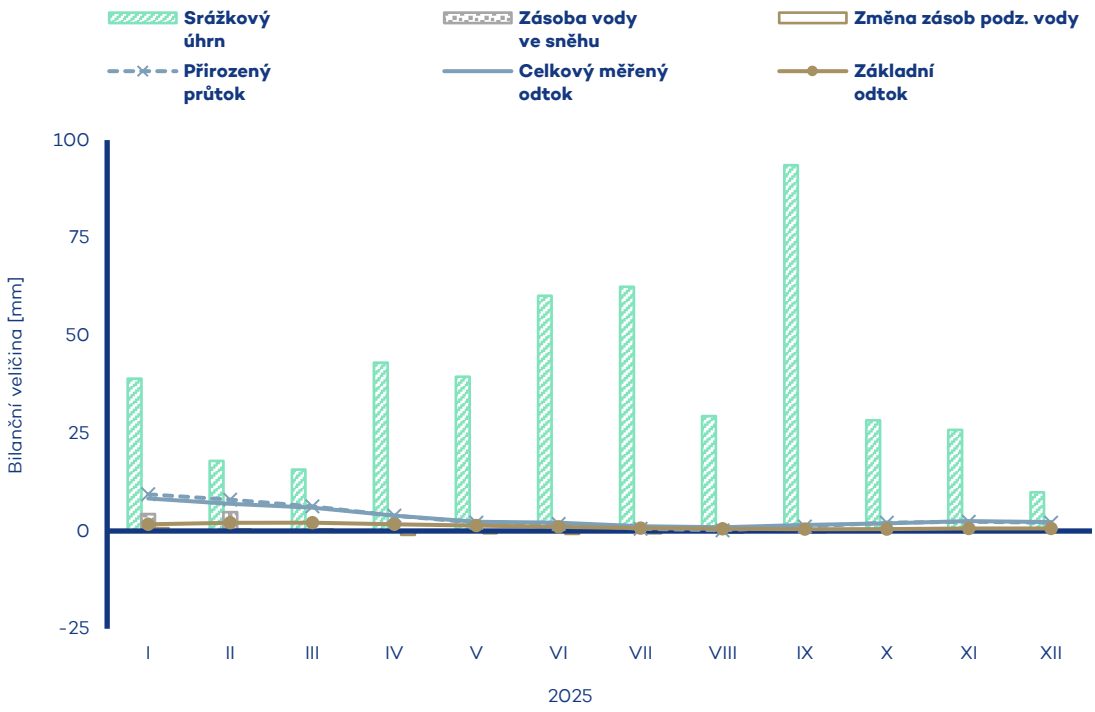
Tok	Bilanční profil	ID stanice	Plocha povodí [km^2]
Úslava	**Plzeň-Koterov**	**187000**	733.76

Měsíc	Teplota vzduchu		Srážkový úhrn		Celkový měřený odtok			Základní odtok			Zásoba vody ve sněhu		Změna zásob podz. vody	Přirozený průtok		
	[°C]	[odch.°C]	[mm]	[%norm]	[mm]	[m^3·s^{-1}]	[%norm]	[mm]	[m^3·s^{-1}]	[%norm]	[mm]	[%norm]	[mm]	[mm]	[m^3·s^{-1}]	[%norm]
I	0.3	*1.3*	25.4	*67%*	8.9	2.45	*63%*	3.2	0.869	*99%*	0.3	*4%*	3.3	9.2	2.51	*64%*
II	-0.6	*-0.5*	16.1	*50%*	6.7	2.05	*55%*	2.8	0.760	*76%*	0.2	*2%*	-2.6	7.4	2.02	*54%*
III	4.7	*1.2*	32.5	*75%*	7.3	2.00	*38%*	2.5	0.684	*59%*	0	*0%*	1.2	6.5	1.97	*38%*
IV	10.2	*1.9*	26.0	*69%*	4.9	1.39	*46%*	2.2	0.593	*50%*	0	*0%*	-2.0	5.0	1.36	*45%*
V	11.6	*-1.3*	49.6	*71%*	2.9	0.782	*32%*	1.6	0.434	*48%*	0	–	-2.4	2.4	0.731	*30%*
VI	18.2	*1.8*	61.2	*71%*	2.9	0.827	*32%*	1.3	0.347	*43%*	0	–	-3.7	2.9	0.784	*30%*
VII	17.8	*-0.4*	86.4	*101%*	2.1	0.588	*32%*	0.9	0.248	*39%*	0	–	-4.2	2.1	0.569	*32%*
VIII	17.5	*-0.1*	44.8	*55%*	1.9	0.514	*19%*	0.8	0.221	*31%*	0	–	-3.3	1.6	0.498	*19%*
IX	13.5	*0.7*	68.7	*142%*	1.9	0.537	*26%*	0.7	0.185	*35%*	0	–	-3.4	1.7	0.476	*24%*
X	7.9	*-0.1*	33.7	*69%*	5.2	1.44	*47%*	0.8	0.232	*42%*	0	–	0.3	2.1	0.624	*21%*
XI	2.0	*-1.3*	48.9	*118%*	6.5	1.85	*60%*	1.5	0.417	*64%*	0.2	*25%*	5.4	7.7	2.35	*77%*
XII	0.6	*0.6*	8.4	*20%*	3.9	1.07	*34%*	1.5	0.407	*59%*	0.1	*3%*	2.7	4.1	1.12	*36%*
2025	8.6	*0.3*	501.7	*77%*	55.2	1.29	*42%*	19.7	0.450	*56%*	0.8	*3%*	-8.7	52.6	1.25	*41%*



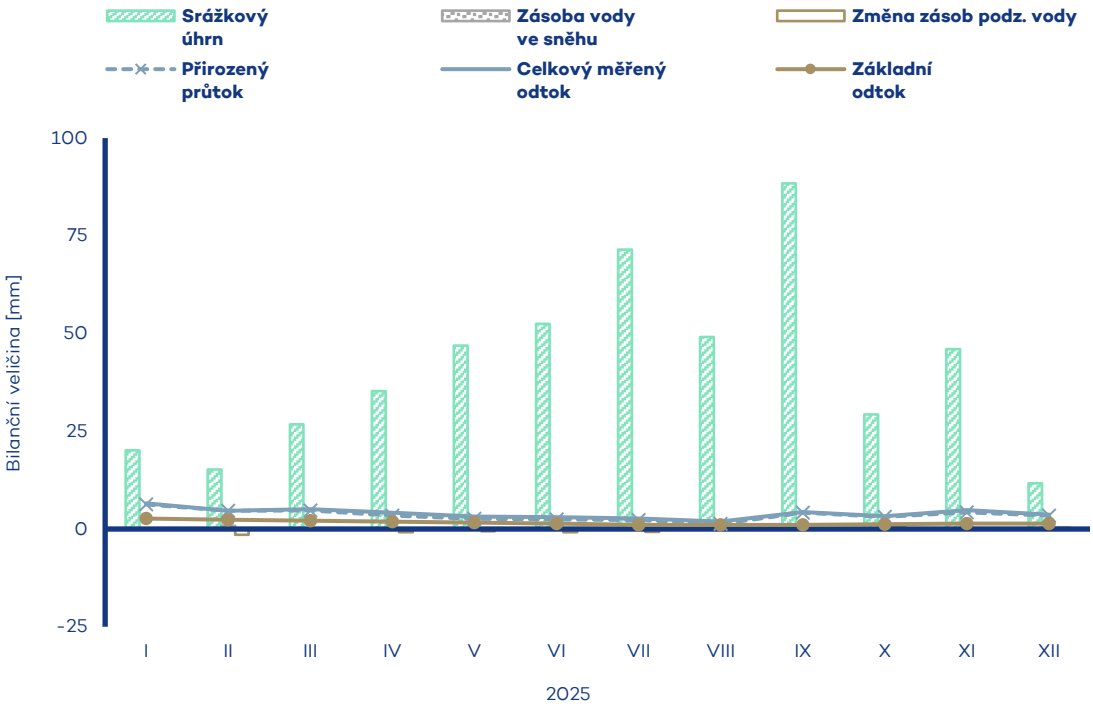
Tok	Bilanční profil	ID stanice	Plocha povodí [km^2]
Střela	**Plasy**	**190000**	774.28

Měsíc	Teplota vzduchu		Srážkový úhrn		Celkový měřený odtok			Základní odtok			Zásoba vody ve sněhu		Změna zásob podz. vody	Přirozený průtok		
	[°C]	[odch.°C]	[mm]	[%norm]	[mm]	[m^3·s^{-1}]	[%norm]	[mm]	[m^3·s^{-1}]	[%norm]	[mm]	[%norm]	[mm]	[mm]	[m^3·s^{-1}]	[%norm]
I	-0.3	*1.4*	39.0	*105%*	8.3	2.41	*57%*	1.7	0.497	*58%*	4.3	*38%*	0.7	9.4	3.00	*68%*
II	-2.0	*-1.2*	17.9	*62%*	7.0	2.24	*55%*	2.1	0.607	*59%*	4.8	*39%*	0.4	8.0	2.33	*52%*
III	4.3	*1.6*	15.7	*43%*	6.0	1.73	*33%*	2.1	0.604	*50%*	0.1	*2%*	0.4	6.3	1.83	*32%*
IV	9.4	*1.7*	43.1	*127%*	3.9	1.18	*34%*	1.7	0.489	*38%*	0	*0%*	-1.0	3.9	1.26	*35%*
V	11.1	*-1.2*	39.5	*68%*	2.4	0.689	*38%*	1.4	0.395	*41%*	0	–	-0.6	2.1	0.672	*37%*
VI	17.5	*1.9*	60.2	*87%*	2.1	0.624	*32%*	1.0	0.301	*40%*	0	–	-0.7	1.8	0.568	*29%*
VII	16.9	*-0.6*	62.5	*86%*	1.2	0.360	*31%*	0.7	0.215	*40%*	0	–	-0.6	0.6	0.171	*16%*
VIII	16.7	*-0.3*	29.4	*45%*	1.0	0.277	*26%*	0.5	0.157	*35%*	0	–	-0.4	0.2	0.050	*5%*
IX	12.9	*0.6*	93.6	*193%*	1.6	0.469	*42%*	0.4	0.130	*33%*	0	–	-0.3	1.1	0.342	*33%*
X	7.3	*0.0*	28.3	*67%*	1.9	0.558	*36%*	0.5	0.144	*36%*	0	*0%*	0.2	2.1	0.618	*37%*
XI	2.0	*-0.6*	25.9	*65%*	2.5	0.761	*34%*	0.6	0.180	*37%*	0.5	*56%*	0.2	2.4	0.691	*30%*
XII	0.5	*1.2*	9.9	*25%*	2.3	0.667	*24%*	0.7	0.195	*32%*	0.2	*4%*	0.1	2.2	0.626	*21%*
2025	8.0	*0.4*	465.0	*81%*	40.2	0.996	*39%*	13.5	0.326	*44%*	9.9	*28%*	-1.6	40.1	1.01	*38%*



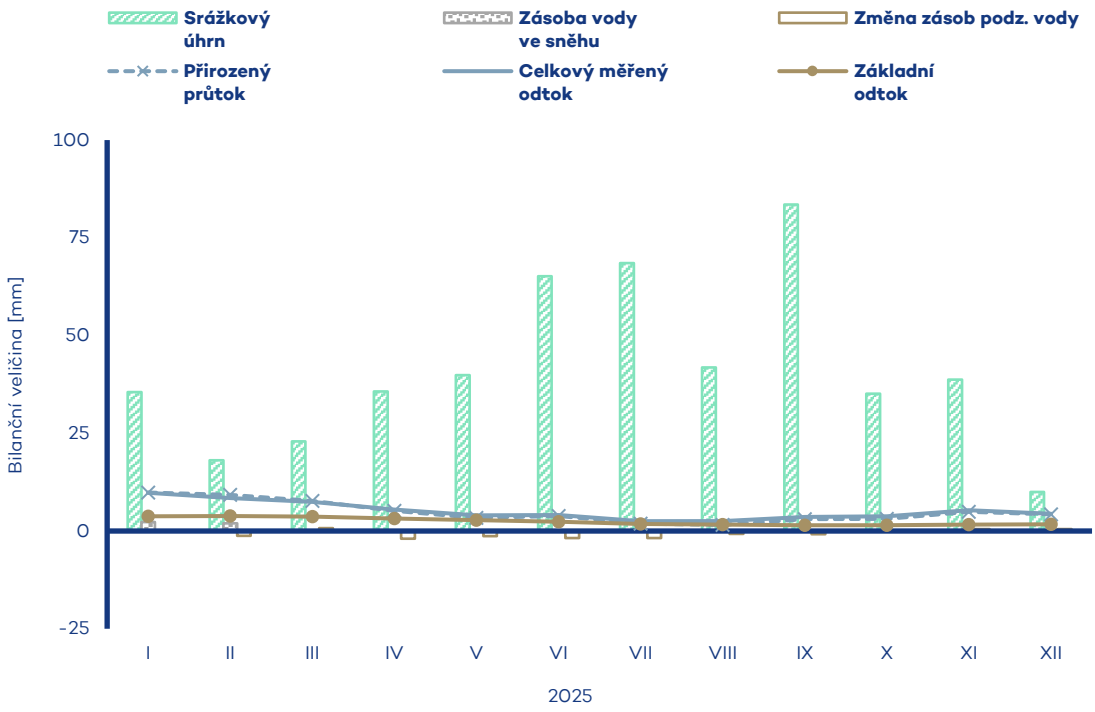
Tok	Bilanční profil	ID stanice	Plocha povodí [km^2]
Litavka	**Beroun**	**197300**	624.95

Měsíc	Teplota vzduchu		Srážkový úhrn		Celkový měřený odtok			Základní odtok			Zásoba vody ve sněhu		Změna zásob podz. vody	Přirozený průtok		
	[°C]	[odch.°C]	[mm]	[%norm]	[mm]	[m^3·s^{-1}]	[%norm]	[mm]	[m^3·s^{-1}]	[%norm]	[mm]	[%norm]	[mm]	[mm]	[m^3·s^{-1}]	[%norm]
I	0.6	1.4	20.1	59%	6.6	1.53	48%	2.7	0.623	78%	0.2	3%	0.0	6.3	1.47	47%
II	-0.8	-0.9	15.2	52%	4.6	1.20	40%	2.4	0.555	61%	0.8	10%	-1.5	4.7	1.10	37%
III	4.9	1.2	26.8	66%	5.1	1.18	28%	2.1	0.498	48%	0	0%	-0.1	4.7	1.11	26%
IV	10.2	1.6	35.3	105%	4.2	1.00	38%	1.9	0.440	39%	0	–	-0.8	3.5	0.898	36%
V	11.6	-1.6	46.9	71%	3.2	0.750	34%	1.6	0.382	42%	0	–	-0.6	2.6	0.666	32%
VI	18.3	1.5	52.5	66%	3.0	0.727	26%	1.4	0.325	36%	0	–	-0.8	2.4	0.625	24%
VII	18.1	-0.4	71.5	89%	2.7	0.636	38%	1.1	0.254	35%	0	–	-0.7	2.3	0.535	34%
VIII	17.8	-0.3	49.1	66%	1.9	0.445	27%	1.0	0.239	36%	0	–	-0.2	1.3	0.337	22%
IX	13.7	0.5	88.4	195%	4.4	1.05	78%	1.1	0.252	42%	0	–	0.1	4.2	0.981	79%
X	8.1	-0.2	29.3	69%	3.3	0.767	56%	1.2	0.291	53%	0	–	0.5	3.1	0.716	56%
XI	2.4	-1.0	46.0	124%	4.8	1.16	67%	1.4	0.316	56%	0.3	43%	0.2	4.3	1.10	67%
XII	0.8	0.6	11.7	33%	3.6	0.850	35%	1.4	0.326	53%	0.1	3%	0.3	3.4	0.795	34%
2025	8.8	0.2	492.8	82%	47.4	0.942	40%	19.3	0.375	48%	1.4	6%	-3.6	42.7	0.860	38%



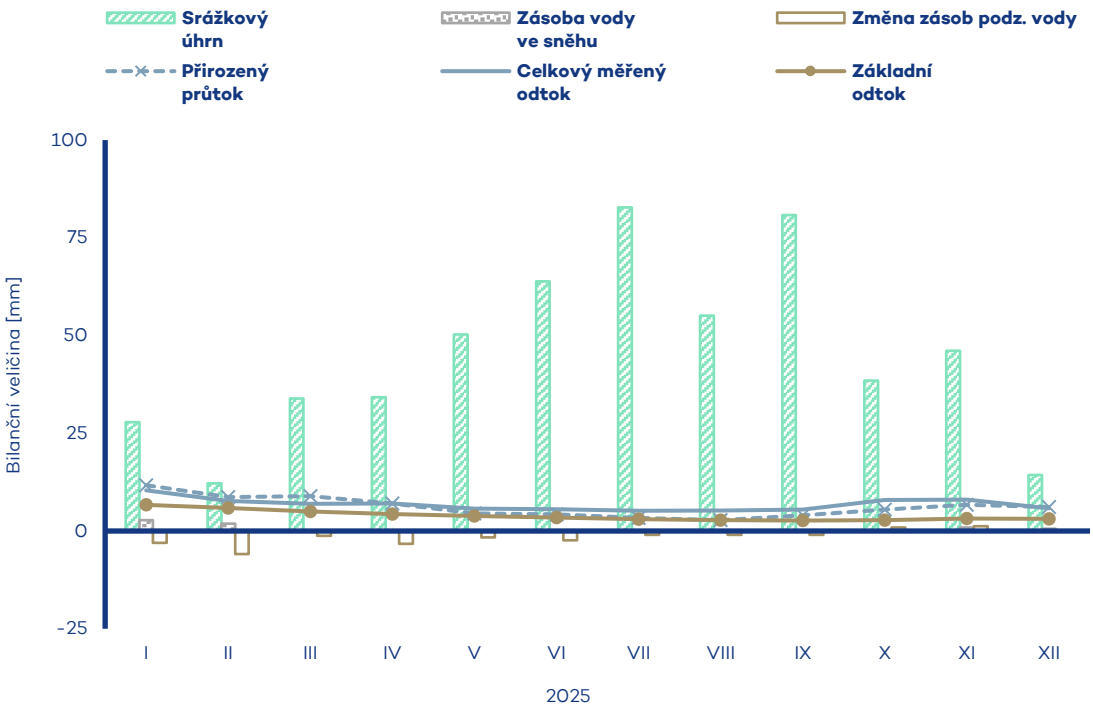
Tok	Bilanční profil	ID stanice	Plocha povodí [km^2]
Berounka	**Beroun**	**198000**	8284.96

Měsíc	Teplota vzduchu		Srážkový úhrn		Celkový měřený odtok			Základní odtok			Zásoba vody ve sněhu		Změna zásob podz. vody	Přirozený průtok		
	[°C]	[odch.°C]	[mm]	[%norm]	[mm]	[m^3.s^{-1}]	[%norm]	[mm]	[m^3.s^{-1}]	[%norm]	[mm]	[%norm]	[mm]	[mm]	[m^3.s^{-1}]	[%norm]
I	0.3	*1.4*	35.5	*93%*	9.8	30.2	*62%*	3.8	11.7	*86%*	2.3	*25%*	-0.1	9.8	33.7	*69%*
II	-1.0	*-0.8*	18.1	*58%*	8.4	28.9	*61%*	3.8	11.9	*77%*	2.0	*19%*	-1.2	9.2	28.6	*59%*
III	4.7	*1.3*	22.9	*57%*	7.5	23.1	*39%*	3.6	11.3	*65%*	0	*0%*	0.7	7.7	23.8	*39%*
IV	10.1	*1.8*	35.7	*99%*	5.5	17.5	*44%*	3.2	9.97	*54%*	0	*0%*	-2.0	5.2	17.8	*44%*
V	11.6	*-1.3*	39.9	*63%*	4.0	12.4	*45%*	2.8	8.57	*56%*	0	–	-1.3	3.4	11.5	*42%*
VI	18.2	*1.8*	65.2	*83%*	4.1	13.1	*42%*	2.4	7.36	*54%*	0	–	-1.8	3.9	11.9	*39%*
VII	17.7	*-0.5*	68.5	*86%*	2.5	7.79	*40%*	1.8	5.64	*51%*	0	–	-1.8	1.9	5.79	*30%*
VIII	17.3	*-0.3*	41.8	*56%*	2.5	7.81	*33%*	1.6	5.09	*48%*	0	–	-0.7	1.6	5.33	*23%*
IX	13.5	*0.6*	83.5	*169%*	3.6	11.4	*61%*	1.5	4.59	*45%*	0	–	-0.8	3.1	9.45	*54%*
X	7.9	*0.0*	35.1	*77%*	3.7	11.5	*50%*	1.5	4.58	*48%*	0	–	0.2	3.1	10.7	*48%*
XI	2.3	*-0.9*	38.7	*96%*	5.3	17.0	*54%*	1.7	5.16	*51%*	0.5	*63%*	0.5	4.9	16.8	*56%*
XII	0.8	*0.9*	10.0	*24%*	4.4	13.6	*38%*	1.8	5.43	*48%*	0.2	*5%*	0.5	4.3	13.3	*37%*
2025	8.6	*0.3*	494.9	*80%*	61.3	16.2	*48%*	29.5	7.60	*58%*	5.0	*17%*	-7.8	58.0	15.7	*47%*



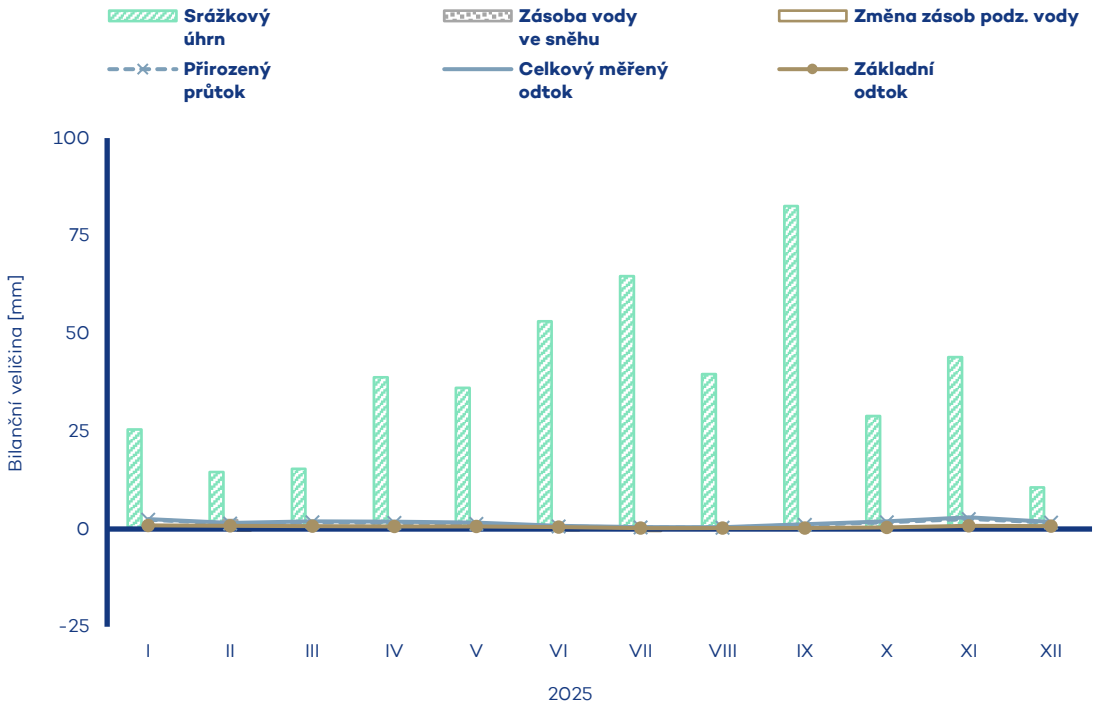
Tok	Bilanční profil	ID stanice	Plocha povodí [km^2]
Vltava	**Praha-Chuchle**	**200100**	26728.73

Měsíc	Teplota vzduchu		Srážkový úhrn		Celkový měřený odtok			Základní odtok			Zásoba vody ve sněhu		Změna zásob podz. vody	Přirozený průtok		
	[°C]	[odch.°C]	[mm]	[%norm]	[mm]	[m^3.s^{-1}]	[%norm]	[mm]	[m^3.s^{-1}]	[%norm]	[mm]	[%norm]	[mm]	[mm]	[m^3.s^{-1}]	[%norm]
I	0.2	*1.5*	27.8	*67%*	10.4	104	*66%*	6.7	66.7	*123%*	2.8	*20%*	-3.0	11.7	117	*75%*
II	-1.0	*-0.5*	12.2	*36%*	7.7	84.7	*51%*	5.9	58.5	*97%*	1.9	*12%*	-5.9	8.7	86.6	*51%*
III	4.5	*1.4*	33.9	*75%*	7.0	69.4	*33%*	5.0	49.8	*73%*	0	*0%*	-1.2	8.9	98.5	*40%*
IV	9.9	*1.8*	34.2	*90%*	7.1	72.8	*41%*	4.4	43.6	*57%*	0	*0%*	-3.3	7.0	77.6	*41%*
V	11.2	*-1.6*	50.3	*71%*	5.7	56.9	*48%*	3.8	38.4	*56%*	0	–	-1.6	4.5	49.5	*41%*
VI	18.0	*1.8*	63.9	*74%*	5.6	57.2	*44%*	3.4	34.0	*54%*	0	–	-2.4	4.3	42.6	*32%*
VII	17.5	*-0.4*	82.8	*93%*	5.2	51.7	*52%*	3.1	30.5	*54%*	0	–	-1.0	3.4	33.7	*35%*
VIII	17.3	*-0.2*	55.1	*68%*	5.3	52.5	*43%*	2.8	28.0	*51%*	0	–	-1.0	2.8	30.6	*28%*
IX	13.4	*0.7*	80.8	*150%*	5.5	57.0	*64%*	2.7	26.8	*52%*	0	–	-1.0	4.0	40.0	*49%*
X	7.7	*-0.2*	38.5	*81%*	7.9	79.2	*76%*	2.8	27.9	*57%*	0	*0%*	0.9	5.5	60.6	*58%*
XI	2.2	*-1.0*	46.1	*111%*	8.0	82.6	*71%*	3.2	31.8	*63%*	0.9	*64%*	1.2	6.7	74.5	*69%*
XII	0.6	*1.0*	14.3	*34%*	5.8	58.2	*51%*	3.1	31.3	*63%*	0.6	*10%*	0.2	6.1	61.2	*50%*
2025	8.5	*0.4*	539.9	*80%*	81.1	68.8	*51%*	46.8	38.9	*67%*	6.2	*13%*	-18.1	73.6	64.4	*47%*



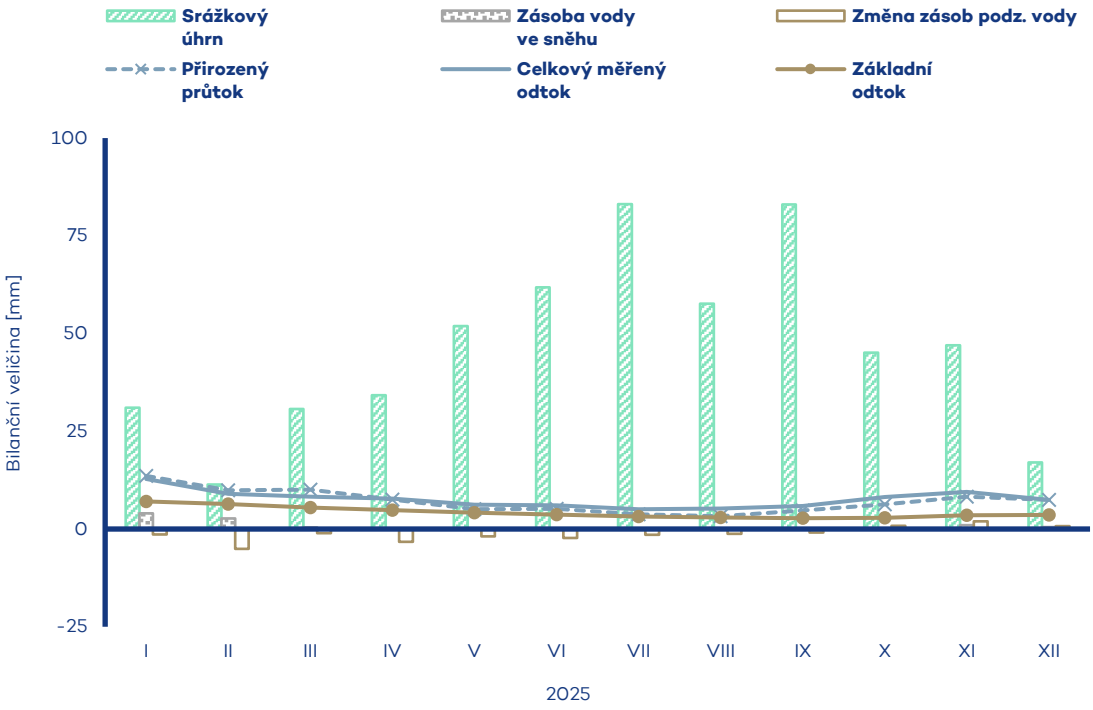
Tok	Bilanční profil	ID stanice	Plocha povodí [km^2]
Bakovský p.	**Velvary**	**202300**	292.22

Měsíc	Teplota vzduchu		Srážkový úhrn		Celkový měřený odtok			Základní odtok			Zásoba vody ve sněhu		Změna zásob podz. vody	Přirozený průtok		
	[°C]	[odch.°C]	[mm]	[%norm]	[mm]	[m^3·s^{-1}]	[%norm]	[mm]	[m^3·s^{-1}]	[%norm]	[mm]	[%norm]	[mm]	[mm]	[m^3·s^{-1}]	[%norm]
I	0.9	*1.4*	25.5	*108%*	2.5	0.278	*48%*	0.9	0.101	*56%*	0.3	*6%*	-0.1	2.4	0.258	*46%*
II	-1.0	*-1.6*	14.6	*69%*	1.5	0.184	*44%*	0.8	0.086	*54%*	2.3	*55%*	-0.4	1.4	0.149	*37%*
III	5.5	*1.3*	15.4	*50%*	1.9	0.212	*43%*	0.7	0.078	*52%*	0	*0%*	0.0	1.7	0.190	*40%*
IV	11.1	*1.8*	38.8	*138%*	1.9	0.209	*49%*	0.7	0.073	*47%*	0	–	-0.1	1.6	0.191	*46%*
V	12.5	*-1.2*	36.1	*60%*	1.6	0.177	*42%*	0.7	0.072	*49%*	0	–	0.0	1.3	0.162	*40%*
VI	18.8	*1.6*	53.1	*75%*	0.8	0.092	*18%*	0.5	0.052	*34%*	0	–	-0.3	0.6	0.077	*15%*
VII	18.8	*-0.3*	64.7	*90%*	0.5	0.057	*15%*	0.2	0.024	*18%*	0	–	-0.5	0.4	0.043	*12%*
VIII	18.5	*-0.2*	39.6	*57%*	0.5	0.050	*12%*	0.2	0.026	*20%*	0	–	0.0	0.3	0.038	*9%*
IX	14.7	*0.8*	82.6	*186%*	1.2	0.134	*30%*	0.3	0.028	*21%*	0	–	0.1	1.1	0.117	*27%*
X	9.0	*0.3*	28.9	*81%*	2.0	0.214	*36%*	0.4	0.044	*28%*	0	–	0.3	1.7	0.186	*32%*
XI	3.0	*-1.0*	44.0	*139%*	3.0	0.337	*66%*	0.8	0.091	*57%*	0.5	*167%*	0.7	2.6	0.311	*63%*
XII	1.6	*1.1*	10.6	*37%*	1.8	0.199	*37%*	0.8	0.082	*51%*	0	*0%*	-0.1	1.6	0.174	*33%*
2025	9.4	*0.3*	453.9	*88%*	19.3	0.179	*37%*	6.9	0.063	*42%*	3.1	*23%*	-0.4	16.7	0.158	*34%*



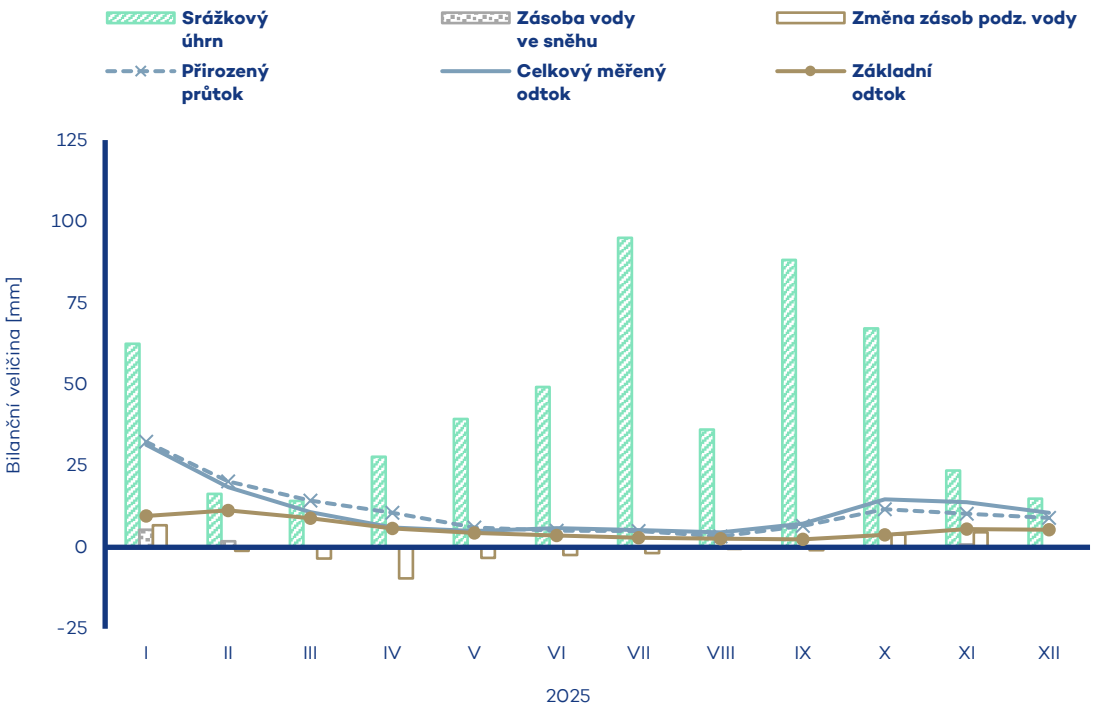
Tok	Bilanční profil	ID stanice	Plocha povodí [km^2]
Labe	**Mělník**	**204000**	41820.23

Měsíc	Teplota vzduchu		Srážkový úhrn		Celkový měřený odtok			Základní odtok			Zásoba vody ve sněhu		Změna zásob podz. vody	Přirozený průtok		
	[°C]	[odch.°C]	[mm]	[%norm]	[mm]	[m^3·s^{-1}]	[%norm]	[mm]	[m^3·s^{-1}]	[%norm]	[mm]	[%norm]	[mm]	[mm]	[m^3·s^{-1}]	[%norm]
I	0.3	*1.6*	31.0	*70%*	12.8	200	*70%*	7.1	110	*116%*	4.0	*25%*	-1.4	13.6	212	*75%*
II	-0.9	*-0.6*	11.4	*32%*	9.0	156	*52%*	6.4	100.0	*92%*	2.7	*14%*	-5.1	9.9	155	*51%*
III	4.8	*1.6*	30.7	*66%*	8.3	129	*33%*	5.5	85.6	*68%*	0.4	*4%*	-1.1	10.0	157	*37%*
IV	10.2	*1.9*	34.2	*92%*	7.8	126	*38%*	4.8	75.0	*53%*	0	*0%*	-3.3	7.5	130	*38%*
V	11.2	*-1.8*	51.9	*74%*	6.2	97.0	*46%*	4.2	65.3	*51%*	0	*0%*	-1.9	5.1	87.4	*41%*
VI	18.1	*1.7*	61.8	*74%*	6.1	97.7	*47%*	3.7	58.0	*52%*	0	–	-2.3	5.2	80.7	*40%*
VII	17.8	*-0.4*	83.1	*93%*	5.1	78.9	*45%*	3.2	50.1	*52%*	0	–	-1.5	3.8	58.7	*35%*
VIII	17.5	*-0.3*	57.6	*72%*	5.3	82.3	*46%*	2.9	45.4	*50%*	0	–	-1.2	3.3	56.5	*35%*
IX	13.7	*0.7*	83.0	*150%*	5.9	95.2	*61%*	2.8	43.1	*50%*	0	–	-0.9	4.7	73.7	*52%*
X	7.9	*-0.2*	45.1	*94%*	8.2	128	*75%*	2.9	45.0	*55%*	0	*0%*	0.8	6.3	109	*66%*
XI	2.5	*-0.9*	47.0	*108%*	9.5	153	*78%*	3.5	54.7	*66%*	1.0	*71%*	2.0	8.2	143	*77%*
XII	0.9	*1.2*	17.0	*37%*	7.4	116	*56%*	3.6	55.6	*66%*	0.5	*8%*	0.7	7.4	116	*55%*
2025	8.7	*0.4*	553.8	*82%*	91.5	122	*52%*	50.5	65.7	*64%*	8.6	*15%*	-15.2	85.0	115	*49%*



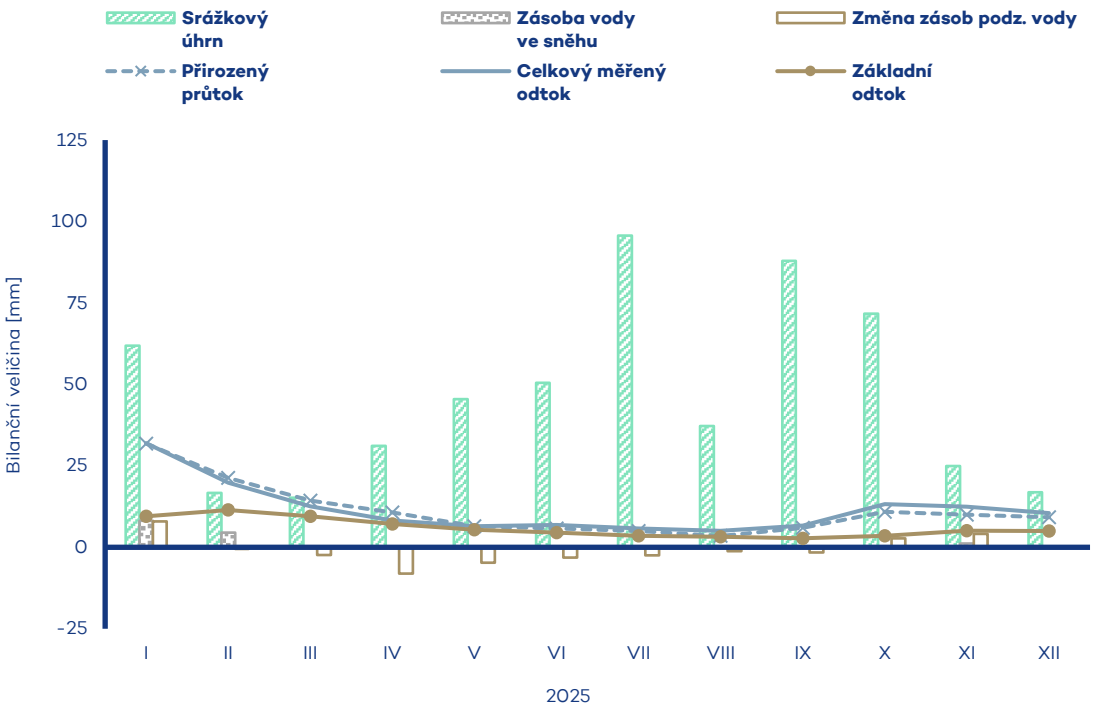
Tok	Bilanční profil	ID stanice	Plocha povodí [km^2]
Ohře	**Citice**	**207300**	1723.34

Měsíc	Teplota vzduchu		Srážkový úhrn		Celkový měřený odtok			Základní odtok			Zásoba vody ve sněhu		Změna zásob podz. vody	Přirozený průtok		
	[°C]	[odch.°C]	[mm]	[%norm]	[mm]	[m^3·s^{-1}]	[%norm]	[mm]	[m^3·s^{-1}]	[%norm]	[mm]	[%norm]	[mm]	[mm]	[m^3·s^{-1}]	[%norm]
I	-0.1	*1.6*	62.5	*117%*	31.5	20.2	*98%*	9.6	6.85	*97%*	5.4	*33%*	6.8	32.4	20.8	*99%*
II	-1.6	*-0.7*	16.4	*40%*	18.5	13.1	*66%*	11.3	7.29	*90%*	1.9	*9%*	-1.1	20.3	13.0	*65%*
III	4.4	*1.8*	14.2	*29%*	10.8	6.94	*33%*	9.0	5.77	*67%*	0	*0%*	-3.5	14.3	9.21	*38%*
IV	9.4	*2.0*	27.8	*73%*	6.1	4.05	*30%*	5.7	3.69	*46%*	0	*0%*	-9.5	10.6	6.80	*44%*
V	11.1	*-0.8*	39.4	*62%*	5.0	3.20	*36%*	4.4	2.82	*46%*	0	–	-3.3	6.1	4.35	*44%*
VI	17.6	*2.4*	49.2	*68%*	5.9	3.90	*43%*	3.6	2.35	*46%*	0	–	-2.4	5.1	3.66	*40%*
VII	16.5	*-0.5*	95.0	*115%*	5.3	3.41	*51%*	2.9	1.86	*45%*	0	–	-1.8	5.0	3.35	*50%*
VIII	16.5	*0.0*	36.1	*48%*	4.6	2.95	*40%*	2.7	1.73	*46%*	0	–	-0.5	3.3	2.37	*37%*
IX	12.8	*0.9*	88.2	*144%*	7.3	4.84	*57%*	2.4	1.57	*43%*	0	–	-0.9	6.6	4.22	*61%*
X	7.3	*0.0*	67.2	*125%*	14.8	9.50	*88%*	3.8	2.43	*60%*	0	*0%*	3.9	11.6	7.50	*86%*
XI	2.2	*-0.5*	23.6	*45%*	13.8	9.17	*67%*	5.6	3.62	*75%*	0.9	*64%*	4.6	10.3	6.63	*53%*
XII	0.7	*1.4*	14.9	*26%*	10.6	6.82	*43%*	5.4	3.49	*62%*	0.1	*1%*	0.0	9.0	5.81	*37%*
2025	8.1	*0.6*	534.5	*77%*	134.0	7.35	*57%*	66.5	3.62	*63%*	8.3	*15%*	-7.7	134.6	7.31	*56%*



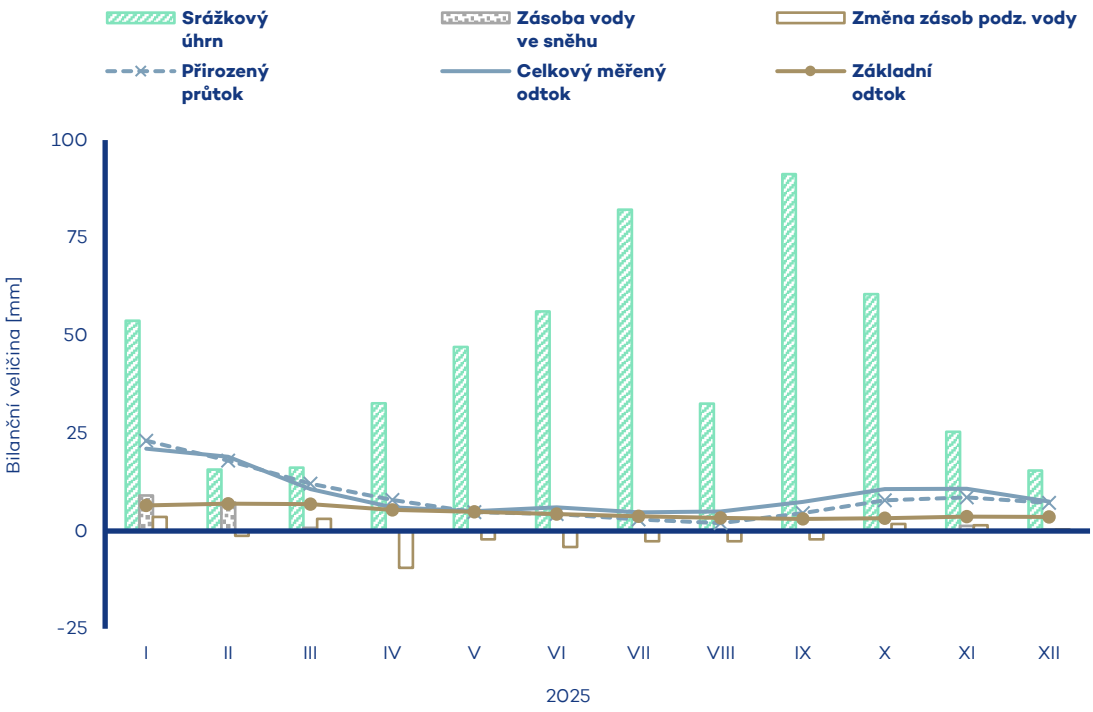
Tok	Bilanční profil	ID stanice	Plocha povodí [km^2]
Ohře	**Karlovy Vary-Drahovice**	**214000**	2822.96

Měsíc	Teplota vzduchu		Srážkový úhrn		Celkový měřený odtok			Základní odtok			Zásoba vody ve sněhu		Změna zásob podz. vody	Přirozený průtok		
	[°C]	[odch.°C]	[mm]	[%norm]	[mm]	[m^3·s^{-1}]	[%norm]	[mm]	[m^3·s^{-1}]	[%norm]	[mm]	[%norm]	[mm]	[mm]	[m^3·s^{-1}]	[%norm]
I	-0.3	*1.5*	61.9	*105%*	32.0	33.7	*84%*	9.5	11.1	*85%*	8.1	*37%*	7.9	31.8	33.6	*83%*
II	-1.9	*-0.8*	16.7	*37%*	19.8	23.1	*62%*	11.4	12.1	*81%*	4.5	*16%*	-0.5	21.3	22.5	*60%*
III	4.1	*1.8*	15.2	*29%*	12.5	13.2	*30%*	9.5	10.1	*62%*	0.1	*1%*	-2.4	14.4	15.2	*32%*
IV	9.0	*1.9*	31.1	*79%*	8.3	8.99	*31%*	7.2	7.57	*47%*	0	*0%*	-8.1	10.7	11.3	*37%*
V	10.8	*-0.9*	45.5	*71%*	6.5	6.80	*40%*	5.4	5.73	*47%*	0	–	-4.7	6.4	7.51	*43%*
VI	17.3	*2.2*	50.5	*67%*	6.9	7.47	*45%*	4.5	4.77	*47%*	0	–	-3.2	5.7	6.69	*42%*
VII	16.3	*-0.6*	95.7	*113%*	5.8	6.13	*48%*	3.6	3.76	*47%*	0	–	-2.5	5.0	5.41	*46%*
VIII	16.2	*-0.2*	37.2	*48%*	5.1	5.34	*42%*	3.2	3.35	*47%*	0	–	-1.2	3.5	4.06	*36%*
IX	12.5	*0.8*	87.9	*137%*	6.7	7.27	*49%*	2.8	2.92	*43%*	0	–	-1.6	5.9	6.26	*50%*
X	7.0	*0.0*	71.7	*127%*	13.3	14.0	*80%*	3.6	3.75	*53%*	0	*0%*	2.7	10.9	11.5	*77%*
XI	2.0	*-0.5*	24.9	*44%*	12.4	13.5	*54%*	5.1	5.33	*64%*	1.2	*60%*	4.1	10.0	10.5	*45%*
XII	0.5	*1.4*	16.9	*27%*	10.5	11.0	*37%*	5.0	5.26	*53%*	0.2	*2%*	0.3	9.2	9.67	*33%*
2025	7.8	*0.6*	555.2	*75%*	139.6	12.5	*51%*	70.7	6.30	*58%*	14.1	*18%*	-9.2	134.9	12.0	*49%*



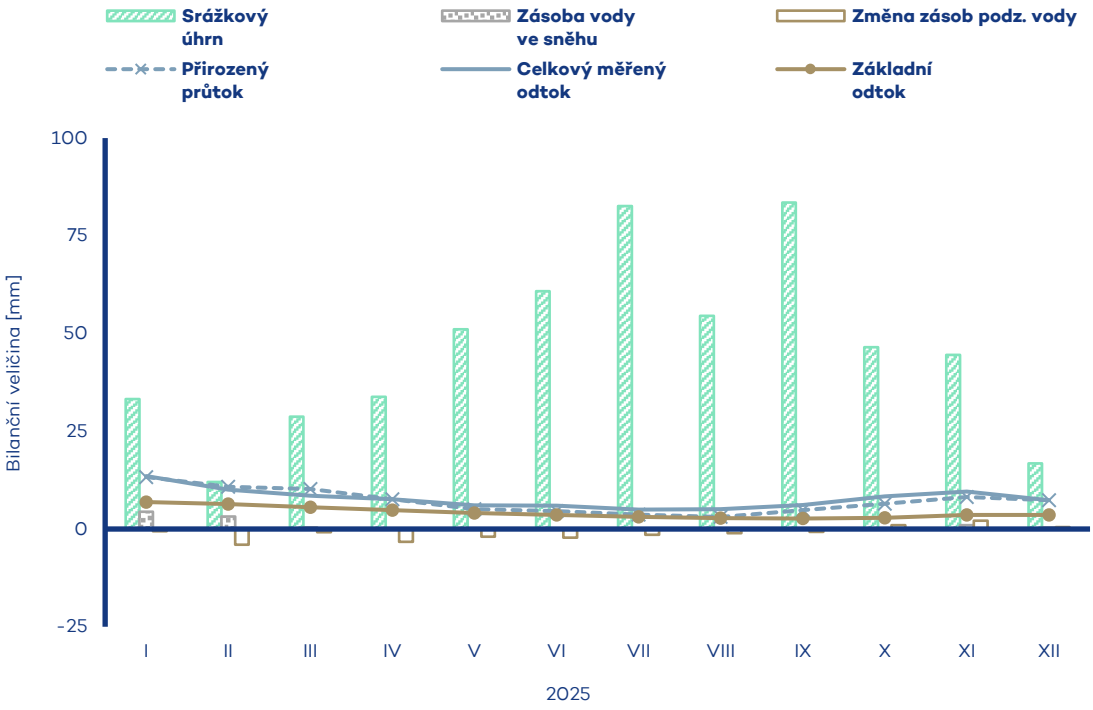
Tok	Bilanční profil	ID stanice	Plocha povodí [km^2]
Ohře	**Louny**	**219000**	4910.80

Měsíc	Teplota vzduchu		Srážkový úhrn		Celkový měřený odtok			Základní odtok			Zásoba vody ve sněhu		Změna zásob podz. vody	Přirozený průtok		
	[°C]	[odch.°C]	[mm]	[%norm]	[mm]	[m^3·s^{-1}]	[%norm]	[mm]	[m^3·s^{-1}]	[%norm]	[mm]	[%norm]	[mm]	[mm]	[m^3·s^{-1}]	[%norm]
I	-0.1	*1.4*	53.8	*107%*	21.1	38.6	*74%*	6.5	12.0	*92%*	9.1	*49%*	3.6	23.1	46.9	*87%*
II	-1.9	*-1.2*	15.7	*40%*	19.0	38.6	*75%*	7.0	12.8	*86%*	7.3	*32%*	-1.2	18.0	33.0	*62%*
III	4.3	*1.6*	16.2	*35%*	10.7	19.7	*32%*	6.8	12.5	*75%*	0.8	*6%*	3.1	12.1	22.2	*32%*
IV	9.5	*1.8*	32.7	*89%*	6.1	11.5	*25%*	5.4	9.96	*55%*	0	*0%*	-9.4	7.9	16.1	*35%*
V	11.2	*-0.9*	47.1	*76%*	5.1	9.33	*37%*	4.9	8.98	*56%*	0	–	-2.1	4.9	9.86	*41%*
VI	17.6	*2.1*	56.2	*77%*	6.1	11.5	*48%*	4.3	7.97	*56%*	0	–	-4.1	4.4	8.83	*39%*
VII	16.8	*-0.5*	82.2	*103%*	4.8	8.76	*53%*	3.8	6.93	*59%*	0	–	-2.6	3.0	5.45	*34%*
VIII	16.7	*-0.1*	32.6	*44%*	5.0	9.20	*51%*	3.3	6.11	*55%*	0	–	-2.6	2.0	4.09	*27%*
IX	13.0	*0.8*	91.3	*154%*	7.4	14.0	*75%*	3.1	5.66	*55%*	0	–	-2.1	4.5	8.34	*49%*
X	7.4	*0.0*	60.6	*120%*	10.7	19.7	*82%*	3.3	6.03	*60%*	0	*0%*	1.8	7.8	15.9	*75%*
XI	2.2	*-0.6*	25.4	*50%*	10.8	20.5	*64%*	3.7	6.70	*64%*	1.3	*72%*	1.5	8.6	15.8	*48%*
XII	0.8	*1.3*	15.5	*28%*	7.6	13.9	*38%*	3.6	6.60	*59%*	0.4	*4%*	0.4	7.2	13.1	*33%*
2025	8.1	*0.5*	529.3	*78%*	114.3	17.9	*53%*	55.8	8.52	*65%*	18.9	*28%*	-13.7	103.5	16.6	*48%*



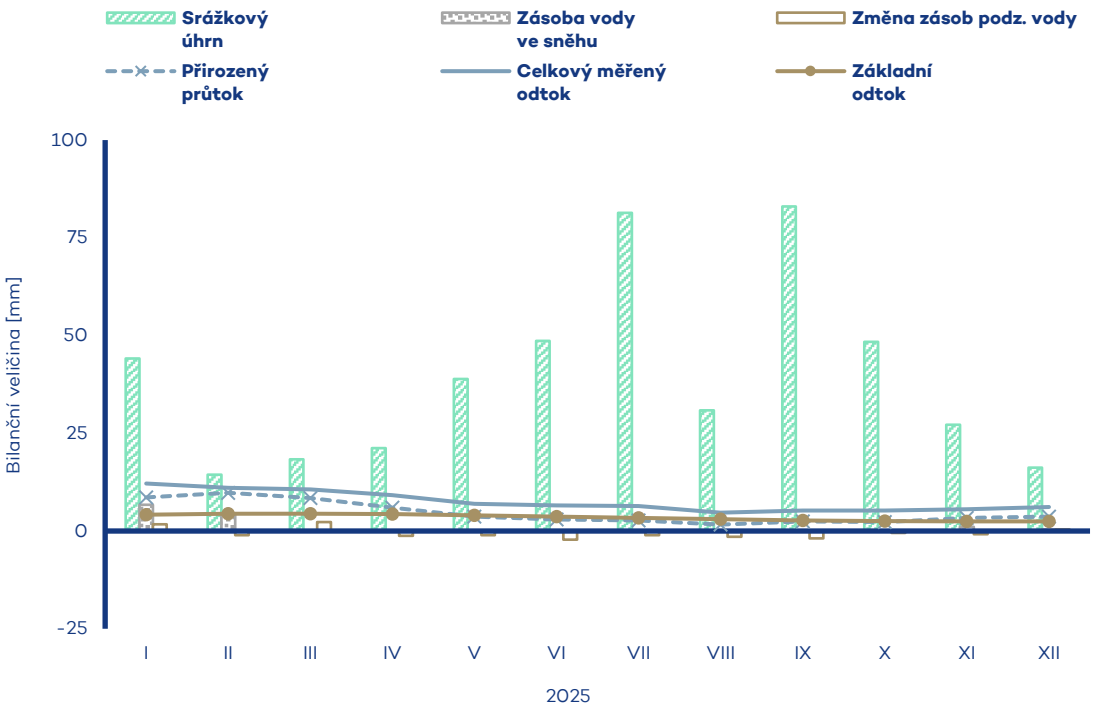
Tok	Bilanční profil	ID stanice	Plocha povodí [km^2]
Labe	**Ústí nad Labem**	**221000**	48493.02

Měsíc	Teplota vzduchu		Srážkový úhrn		Celkový měřený odtok			Základní odtok			Zásoba vody ve sněhu		Změna zásob podz. vody	Přirozený průtok		
	[°C]	[odch.°C]	[mm]	[%norm]	[mm]	[m^3·s^{-1}]	[%norm]	[mm]	[m^3·s^{-1}]	[%norm]	[mm]	[%norm]	[mm]	[mm]	[m^3·s^{-1}]	[%norm]
I	0.3	*1.6*	33.2	*75%*	13.5	245	*72%*	6.9	125	*110%*	4.4	*28%*	-0.6	13.3	267	*78%*
II	-1.0	*-0.7*	12.0	*34%*	10.1	202	*56%*	6.4	116	*89%*	3.2	*17%*	-4.0	10.8	196	*54%*
III	4.8	*1.6*	28.7	*62%*	8.5	155	*34%*	5.6	101	*67%*	0.4	*4%*	-0.8	10.3	186	*37%*
IV	10.2	*1.9*	33.8	*92%*	7.6	143	*38%*	4.8	87.0	*51%*	0	*0%*	-3.3	7.6	152	*38%*
V	11.3	*-1.7*	51.1	*75%*	6.1	110	*45%*	4.1	74.4	*50%*	0	*0%*	-2.0	5.1	101	*41%*
VI	18.1	*1.7*	60.8	*75%*	5.9	111	*48%*	3.6	65.7	*51%*	0	–	-2.2	4.6	92.5	*40%*
VII	17.7	*-0.4*	82.6	*94%*	5.0	89.9	*47%*	3.1	56.0	*51%*	0	–	-1.5	3.7	67.4	*36%*
VIII	17.5	*-0.3*	54.5	*69%*	5.1	91.6	*45%*	2.8	50.6	*49%*	0	–	-1.1	3.1	61.7	*34%*
IX	13.7	*0.7*	83.5	*151%*	6.1	114	*64%*	2.7	48.5	*51%*	0	–	-0.7	4.9	87.9	*54%*
X	7.9	*-0.2*	46.5	*97%*	8.4	152	*77%*	2.9	52.3	*57%*	0	*0%*	1.0	6.5	130	*68%*
XI	2.5	*-0.9*	44.5	*101%*	9.6	179	*78%*	3.6	64.7	*68%*	1.0	*71%*	2.1	8.2	165	*74%*
XII	0.9	*1.2*	16.8	*36%*	7.4	133	*54%*	3.6	65.1	*66%*	0.4	*6%*	0.5	7.4	133	*51%*
2025	8.7	*0.4*	548.0	*81%*	93.2	144	*53%*	50.1	75.5	*63%*	9.4	*17%*	-12.6	85.3	137	*50%*



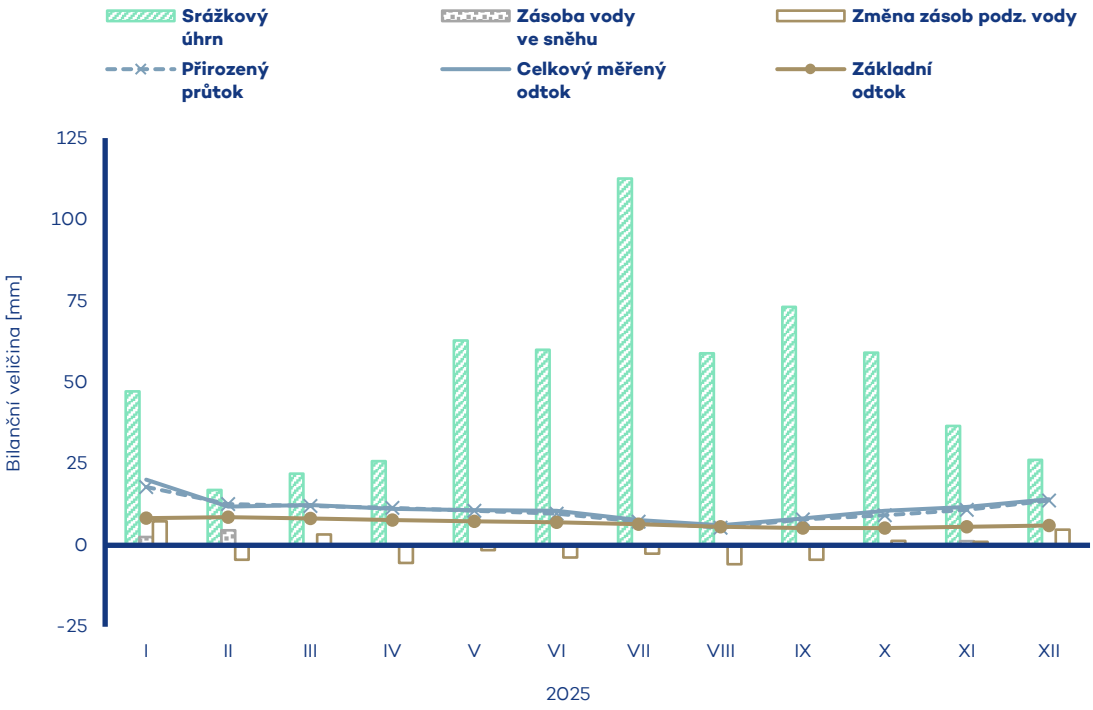
Tok	Bilanční profil	ID stanice	Plocha povodí [km^2]
Bílina	**Trmice**	**226000**	851.60

Měsíc	Teplota vzduchu		Srážkový úhrn		Celkový měřený odtok			Základní odtok			Zásoba vody ve sněhu		Změna zásob podz. vody	Přirozený průtok		
	[°C]	[odch.°C]	[mm]	[%norm]	[mm]	[m^3.s^{-1}]	[%norm]	[mm]	[m^3.s^{-1}]	[%norm]	[mm]	[%norm]	[mm]	[mm]	[m^3.s^{-1}]	[%norm]
I	0.4	*1.3*	44.1	*103%*	12.1	3.86	*48%*	4.2	1.33	*56%*	6.7	*53%*	1.7	8.6	3.01	*50%*
II	-1.2	*-1.3*	14.4	*43%*	11.0	3.88	*48%*	4.4	1.40	*54%*	4.5	*34%*	-1.1	9.8	3.11	*51%*
III	5.2	*1.6*	18.3	*44%*	10.7	3.39	*35%*	4.4	1.41	*49%*	0	*0%*	2.3	8.5	2.69	*33%*
IV	11.0	*2.1*	21.2	*66%*	9.1	3.00	*37%*	4.3	1.38	*44%*	0	*0%*	-1.2	6.0	1.90	*31%*
V	12.5	*-0.9*	38.9	*64%*	6.9	2.21	*42%*	4.0	1.27	*44%*	0	–	-1.1	3.7	1.29	*37%*
VI	18.7	*2.0*	48.6	*68%*	6.6	2.15	*41%*	3.7	1.16	*43%*	0	–	-2.2	2.9	1.03	*30%*
VII	18.4	*-0.2*	81.4	*107%*	6.4	2.02	*43%*	3.3	1.06	*43%*	0	–	-1.1	2.7	0.862	*30%*
VIII	18.1	*0.0*	30.9	*42%*	4.7	1.49	*32%*	3.0	0.959	*42%*	0	–	-1.5	1.6	0.521	*18%*
IX	14.3	*1.0*	83.0	*161%*	5.3	1.73	*41%*	2.7	0.865	*40%*	0	–	-1.9	2.4	0.772	*33%*
X	8.5	*0.3*	48.4	*107%*	5.3	1.68	*38%*	2.5	0.806	*40%*	0	*0%*	-0.5	2.3	0.819	*32%*
XI	2.6	*-0.9*	27.2	*62%*	5.6	1.83	*34%*	2.5	0.783	*39%*	1.1	*85%*	-0.8	3.4	1.07	*30%*
XII	1.3	*1.3*	16.2	*35%*	6.1	1.94	*32%*	2.5	0.783	*37%*	0.4	*6%*	0.4	3.7	1.17	*29%*
2025	9.1	*0.5*	472.6	*76%*	89.7	2.43	*39%*	41.5	1.10	*45%*	12.7	*31%*	-7.0	55.5	1.52	*35%*



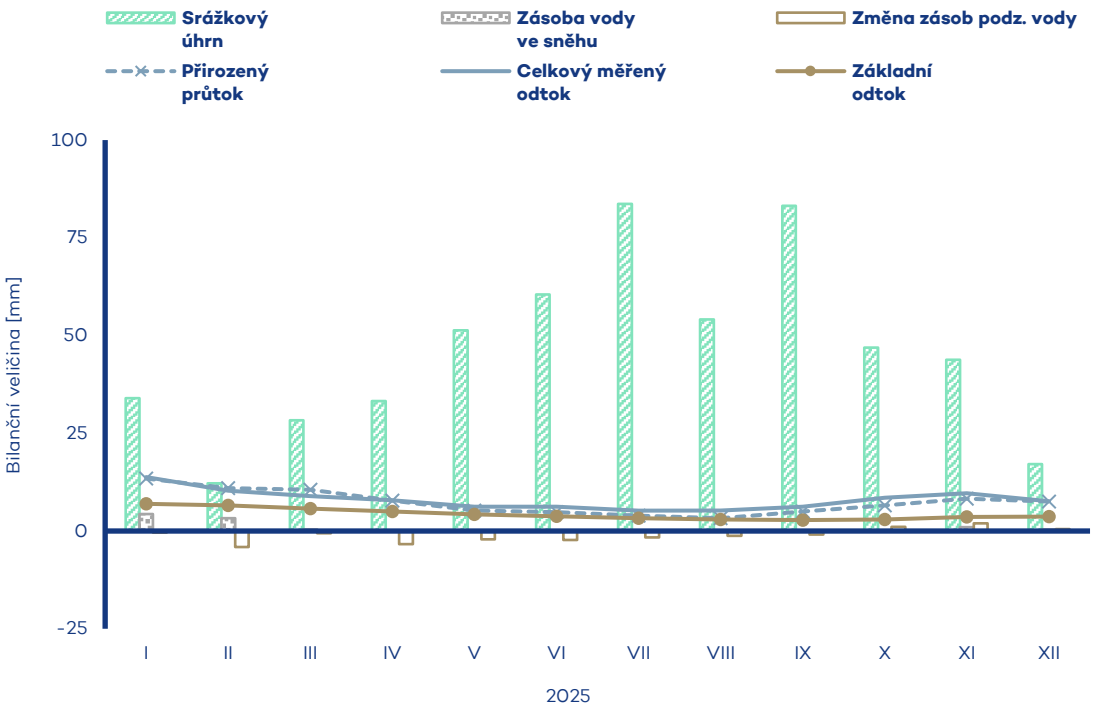
Tok	Bilanční profil	ID stanice	Plocha povodí [km^2]
Ploučnice	**Benešov nad Ploučnicí**	**239000**	1156.48

Měsíc	Teplota vzduchu		Srážkový úhrn		Celkový měřený odtok			Základní odtok			Zásoba vody ve sněhu		Změna zásob podz. vody	Přirozený průtok		
	[°C]	[odch.°C]	[mm]	[%norm]	[mm]	[m^3.s^{-1}]	[%norm]	[mm]	[m^3.s^{-1}]	[%norm]	[mm]	[%norm]	[mm]	[mm]	[m^3.s^{-1}]	[%norm]
I	0.4	*1.5*	47.2	*85%*	20.2	8.70	*81%*	8.4	3.61	*80%*	2.5	*19%*	7.4	17.9	8.56	*80%*
II	-1.3	*-1.1*	17.0	*39%*	11.9	5.69	*52%*	8.6	3.73	*77%*	4.6	*33%*	-4.4	12.7	5.49	*51%*
III	4.3	*1.1*	22.0	*44%*	12.4	5.34	*43%*	8.2	3.55	*68%*	0.1	*2%*	3.3	12.1	5.22	*43%*
IV	10.1	*1.7*	25.8	*75%*	11.2	5.01	*61%*	7.8	3.35	*63%*	0	*0%*	-5.4	11.5	4.95	*61%*
V	11.1	*-2.0*	62.9	*101%*	10.8	4.65	*74%*	7.3	3.16	*67%*	0	–	-1.5	10.6	4.57	*74%*
VI	17.7	*1.3*	60.0	*78%*	10.6	4.73	*75%*	7.0	3.04	*69%*	0	–	-3.7	9.7	4.64	*75%*
VII	17.3	*-0.9*	112.6	*131%*	7.8	3.35	*58%*	6.5	2.80	*69%*	0	–	-2.6	7.2	3.23	*58%*
VIII	16.7	*-0.9*	58.9	*70%*	6.1	2.65	*43%*	5.7	2.47	*62%*	0	–	-5.8	5.4	2.57	*43%*
IX	13.4	*0.6*	73.2	*126%*	8.2	3.66	*56%*	5.3	2.29	*60%*	0	–	-4.4	7.9	3.42	*53%*
X	8.1	*-0.1*	59.1	*111%*	10.6	4.57	*63%*	5.3	2.30	*60%*	0	–	1.4	9.2	4.41	*66%*
XI	3.0	*-0.7*	36.6	*71%*	11.8	5.24	*66%*	5.6	2.44	*62%*	1.3	*93%*	1.1	10.9	5.19	*66%*
XII	1.4	*1.4*	26.2	*46%*	14.1	6.10	*70%*	6.1	2.64	*64%*	0.2	*3%*	4.8	13.7	5.94	*69%*
2025	8.5	*0.2*	601.5	*84%*	135.6	4.98	*61%*	81.9	2.95	*67%*	8.7	*21%*	-9.8	128.8	4.85	*61%*



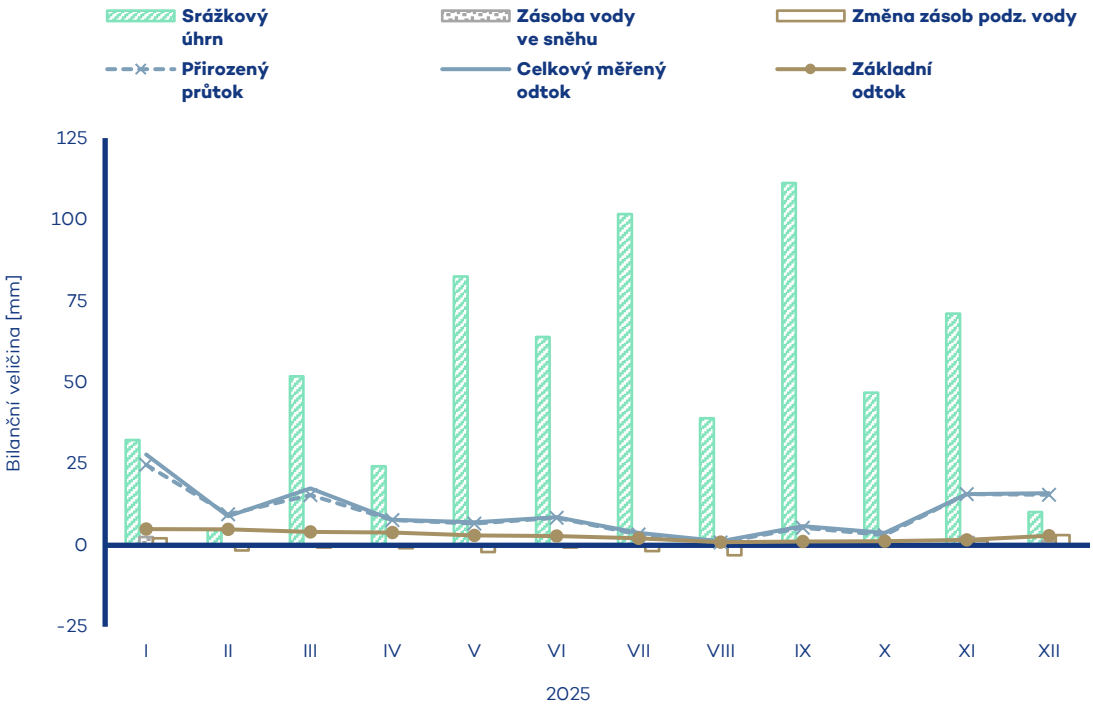
Tok	Bilanční profil	ID stanice	Plocha povodí [km^2]
Labe	**Hřensko**	**245000**	51261.77

Měsíc	Teplota vzduchu		Srážkový úhrn		Celkový měřený odtok			Základní odtok			Zásoba vody ve sněhu		Změna zásob podz. vody	Přirozený průtok		
	[°C]	[odch.°C]	[mm]	[%norm]	[mm]	[m^3·s^{-1}]	[%norm]	[mm]	[m^3·s^{-1}]	[%norm]	[mm]	[%norm]	[mm]	[mm]	[m^3·s^{-1}]	[%norm]
I	0.3	*1.5*	34.0	*76%*	13.8	264	*72%*	6.9	133	*110%*	4.3	*27%*	-0.4	13.4	284	*78%*
II	-1.0	*-0.7*	12.2	*34%*	10.3	218	*56%*	6.5	125	*89%*	3.3	*18%*	-4.1	11.0	211	*54%*
III	4.8	*1.6*	28.3	*61%*	8.9	171	*35%*	5.7	109	*68%*	0.4	*4%*	-0.6	10.5	202	*38%*
IV	10.2	*1.9*	33.2	*91%*	7.9	156	*39%*	5.0	95.3	*53%*	0	*0%*	-3.4	7.8	165	*39%*
V	11.3	*-1.7*	51.3	*75%*	6.3	120	*46%*	4.3	81.9	*51%*	0	*0%*	-2.1	5.2	110	*43%*
VI	18.1	*1.7*	60.5	*74%*	6.2	123	*49%*	3.8	72.5	*52%*	0	–	-2.3	4.8	103	*42%*
VII	17.7	*-0.4*	83.7	*96%*	5.2	99.7	*48%*	3.3	62.2	*52%*	0	–	-1.6	4.0	75.8	*38%*
VIII	17.5	*-0.3*	54.1	*69%*	5.2	100	*46%*	2.9	56.4	*50%*	0	–	-1.2	3.3	69.3	*36%*
IX	13.7	*0.8*	83.2	*150%*	6.3	124	*65%*	2.8	53.7	*52%*	0	–	-0.9	5.0	95.7	*54%*
X	7.9	*-0.2*	46.9	*97%*	8.5	162	*77%*	3.0	57.1	*57%*	0	*0%*	1.1	6.6	139	*69%*
XI	2.5	*-0.9*	43.8	*99%*	9.6	191	*76%*	3.6	69.3	*68%*	1.0	*71%*	2.0	8.3	176	*73%*
XII	1.0	*1.2*	17.1	*37%*	7.6	145	*54%*	3.7	69.9	*66%*	0.4	*6%*	0.5	7.5	144	*52%*
2025	8.7	*0.4*	548.3	*81%*	95.8	156	*53%*	51.5	82.1	*64%*	9.4	*17%*	-13.0	87.4	148	*51%*



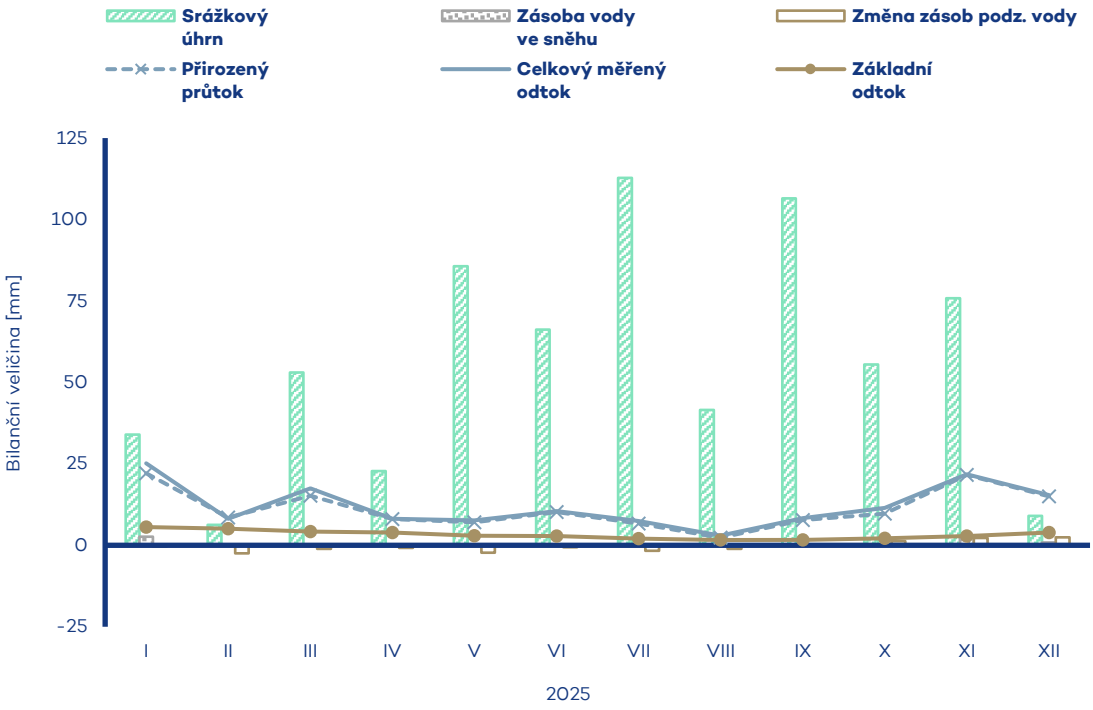
Tok	Bilanční profil	ID stanice	Plocha povodí [km^2]
Odra	**Bartošovice**	**252000**	913.11

Měsíc	Teplota vzduchu		Srážkový úhrn		Celkový měřený odtok			Základní odtok			Zásoba vody ve sněhu		Změna zásob podz. vody	Přirozený průtok		
	[°C]	[odch.°C]	[mm]	[%norm]	[mm]	[m^3.s^{-1}]	[%norm]	[mm]	[m^3.s^{-1}]	[%norm]	[mm]	[%norm]	[mm]	[mm]	[m^3.s^{-1}]	[%norm]
I	0.7	*2.8*	32.3	*84%*	27.9	9.50	*138%*	5.0	1.69	*127%*	2.5	*15%*	2.1	24.7	9.32	*137%*
II	-1.0	*-0.3*	4.7	*13%*	8.9	3.37	*39%*	4.9	1.66	*105%*	0.2	*1%*	-1.6	9.5	3.25	*38%*
III	5.5	*2.8*	51.9	*112%*	17.5	5.97	*45%*	4.1	1.41	*70%*	0.1	*1%*	-0.7	15.4	5.81	*44%*
IV	10.1	*1.7*	24.3	*53%*	7.8	2.75	*30%*	3.9	1.33	*56%*	0	*0%*	-0.9	7.7	2.63	*29%*
V	10.4	*-2.5*	82.5	*102%*	7.1	2.41	*33%*	3.0	1.03	*51%*	0	–	-2.1	6.6	2.26	*32%*
VI	17.8	*1.2*	63.9	*74%*	8.6	3.04	*62%*	2.8	0.968	*61%*	0	–	-0.7	8.5	2.88	*60%*
VII	18.0	*-0.4*	101.7	*104%*	3.8	1.30	*25%*	2.1	0.717	*58%*	0	–	-1.8	3.3	1.16	*22%*
VIII	17.9	*-0.2*	39.0	*52%*	1.2	0.422	*17%*	0.9	0.323	*32%*	0	–	-3.1	0.9	0.321	*13%*
IX	14.2	*1.2*	111.2	*148%*	5.8	2.06	*46%*	1.2	0.410	*40%*	0	–	0.6	5.4	1.91	*43%*
X	7.7	*-0.5*	46.9	*87%*	3.8	1.31	*30%*	1.3	0.433	*38%*	0	*0%*	0.2	3.1	1.17	*27%*
XI	3.0	*-0.7*	71.1	*149%*	15.8	5.55	*104%*	1.7	0.625	*54%*	2.5	*208%*	1.4	15.7	5.35	*103%*
XII	1.1	*2.0*	10.2	*24%*	16.0	5.45	*100%*	2.9	0.998	*82%*	1.2	*21%*	3.1	15.6	5.30	*100%*
2025	8.8	*0.6*	639.7	*88%*	124.2	3.59	*56%*	33.8	0.966	*65%*	6.5	*12%*	-3.5	116.3	3.45	*54%*



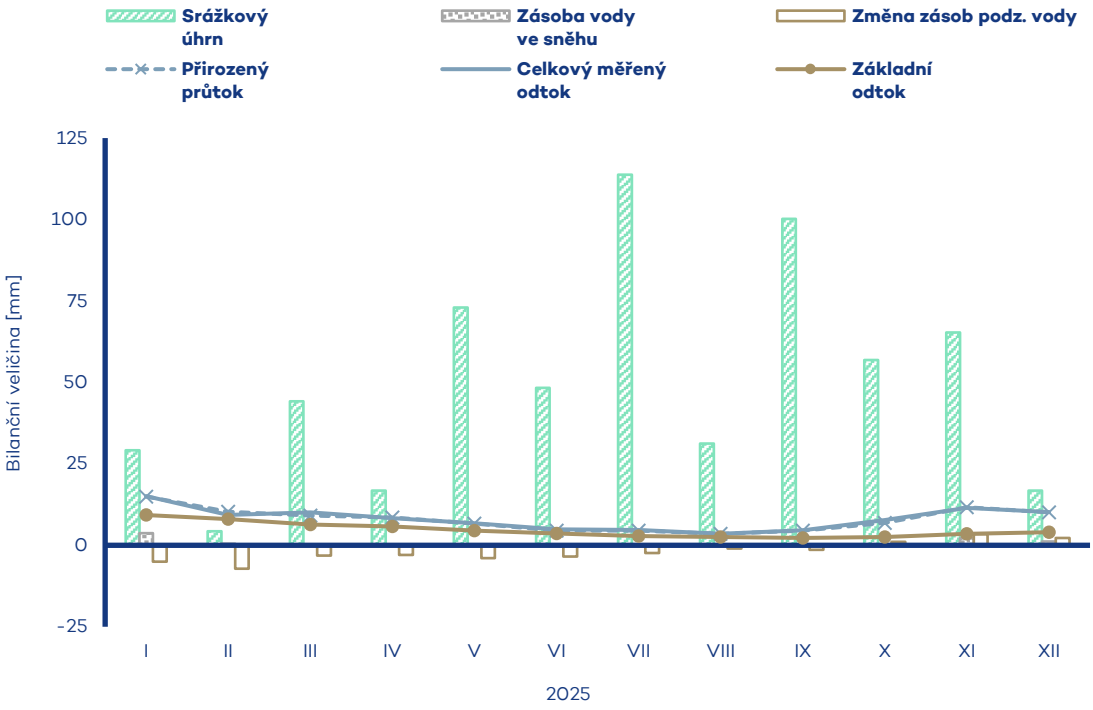
Tok	Bilanční profil	ID stanice	Plocha povodí [km^2]
Odra	**Svinov**	**257000**	1614.72

Měsíc	Teplota vzduchu		Srážkový úhrn		Celkový měřený odtok			Základní odtok			Zásoba vody ve sněhu		Změna zásob podz. vody	Přirozený průtok		
	[°C]	[odch.°C]	[mm]	[%norm]	[mm]	[m^3.s^{-1}]	[%norm]	[mm]	[m^3.s^{-1}]	[%norm]	[mm]	[%norm]	[mm]	[mm]	[m^3.s^{-1}]	[%norm]
I	1.1	*2.8*	34.0	*89%*	25.2	15.2	*126%*	5.6	3.37	*134%*	2.6	*17%*	-0.4	22.1	14.8	*124%*
II	-0.8	*-0.4*	6.3	*17%*	8.1	5.41	*37%*	5.1	3.06	*107%*	0.3	*2%*	-2.5	8.5	5.13	*35%*
III	5.8	*2.8*	53.0	*114%*	17.4	10.5	*47%*	4.2	2.52	*70%*	0.1	*1%*	-1.1	15.2	10.1	*45%*
IV	10.4	*1.7*	22.8	*47%*	8.2	5.08	*30%*	4.0	2.39	*57%*	0	*0%*	-0.8	8.0	4.83	*29%*
V	10.7	*-2.5*	85.7	*100%*	7.6	4.60	*32%*	2.9	1.77	*47%*	0	–	-2.3	7.1	4.26	*30%*
VI	18.2	*1.3*	66.2	*72%*	10.5	6.56	*57%*	2.8	1.69	*53%*	0	–	-0.6	10.2	6.17	*55%*
VII	18.3	*-0.3*	112.8	*110%*	7.5	4.50	*37%*	2.0	1.22	*44%*	0	–	-1.7	6.7	4.16	*34%*
VIII	18.1	*-0.1*	41.5	*54%*	3.0	1.79	*29%*	1.6	0.977	*43%*	0	–	-1.1	2.3	1.56	*25%*
IX	14.5	*1.3*	106.5	*134%*	8.3	5.19	*52%*	1.7	1.00	*43%*	0	–	0.0	7.7	4.81	*49%*
X	8.0	*-0.5*	55.5	*98%*	11.5	6.92	*65%*	2.1	1.28	*49%*	0	*0%*	1.3	9.7	6.50	*63%*
XI	3.2	*-0.8*	75.8	*158%*	21.8	13.6	*136%*	2.8	1.87	*75%*	2.3	*177%*	2.2	21.6	13.0	*133%*
XII	1.4	*1.9*	9.0	*22%*	15.5	9.32	*97%*	3.9	2.37	*98%*	0.9	*16%*	2.4	15.0	9.04	*96%*
2025	9.1	*0.6*	669.1	*89%*	144.5	7.38	*59%*	38.7	1.96	*67%*	6.2	*12%*	-4.6	134.2	7.03	*57%*



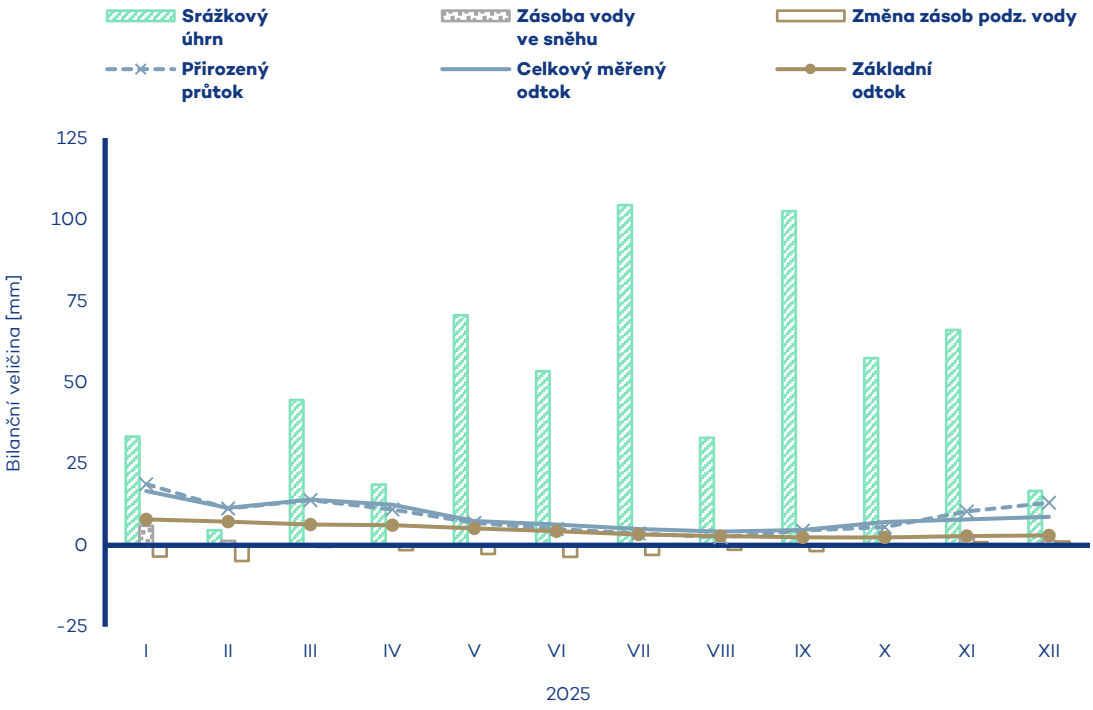
Tok	Bilanční profil	ID stanice	Plocha povodí [km^2]
Opava	**Opava**	**266000**	927.87

Měsíc	Teplota vzduchu		Srážkový úhrn		Celkový měřený odtok			Základní odtok			Zásoba vody ve sněhu		Změna zásob podz. vody	Přirozený průtok		
	[°C]	[odch.°C]	[mm]	[%norm]	[mm]	[m^3.s^{-1}]	[%norm]	[mm]	[m^3.s^{-1}]	[%norm]	[mm]	[%norm]	[mm]	[mm]	[m^3.s^{-1}]	[%norm]
I	1.0	*2.9*	29.2	*75%*	15.1	5.23	*113%*	9.3	3.22	*166%*	3.7	*19%*	-5.0	15.0	5.18	*112%*
II	-1.2	*-0.3*	4.3	*12%*	9.3	3.58	*62%*	8.1	2.79	*133%*	0.5	*2%*	-7.2	10.3	3.57	*61%*
III	4.9	*2.6*	44.2	*92%*	10.2	3.52	*36%*	6.4	2.22	*85%*	0.2	*1%*	-3.2	9.1	3.49	*36%*
IV	9.6	*1.9*	16.8	*34%*	8.3	2.98	*27%*	5.8	2.00	*56%*	0	*0%*	-3.0	8.6	2.97	*27%*
V	9.9	*-2.5*	73.0	*90%*	6.8	2.34	*27%*	4.5	1.56	*42%*	0	*0%*	-3.9	6.7	2.32	*26%*
VI	17.2	*1.4*	48.3	*50%*	4.9	1.75	*28%*	3.6	1.26	*40%*	0	–	-3.5	4.5	1.74	*28%*
VII	17.4	*-0.2*	113.8	*112%*	4.7	1.63	*21%*	2.8	0.986	*33%*	0	–	-2.4	4.5	1.60	*21%*
VIII	16.9	*-0.3*	31.2	*41%*	3.5	1.23	*31%*	2.6	0.896	*38%*	0	–	-1.0	3.5	1.22	*31%*
IX	13.6	*1.2*	100.2	*134%*	4.6	1.65	*34%*	2.3	0.783	*35%*	0	–	-1.4	4.5	1.61	*33%*
X	7.3	*-0.5*	56.9	*102%*	7.7	2.68	*55%*	2.5	0.863	*38%*	0	*0%*	1.1	6.9	2.64	*55%*
XI	3.0	*-0.5*	65.3	*145%*	11.4	4.10	*93%*	3.5	1.23	*55%*	2.1	*105%*	3.4	11.7	4.05	*93%*
XII	1.4	*2.2*	16.8	*43%*	10.3	3.55	*90%*	4.0	1.40	*69%*	1.2	*13%*	2.2	10.2	3.52	*89%*
2025	8.4	*0.6*	600.0	*81%*	96.8	2.85	*45%*	55.4	1.60	*61%*	7.7	*11%*	-23.9	95.4	2.83	*45%*



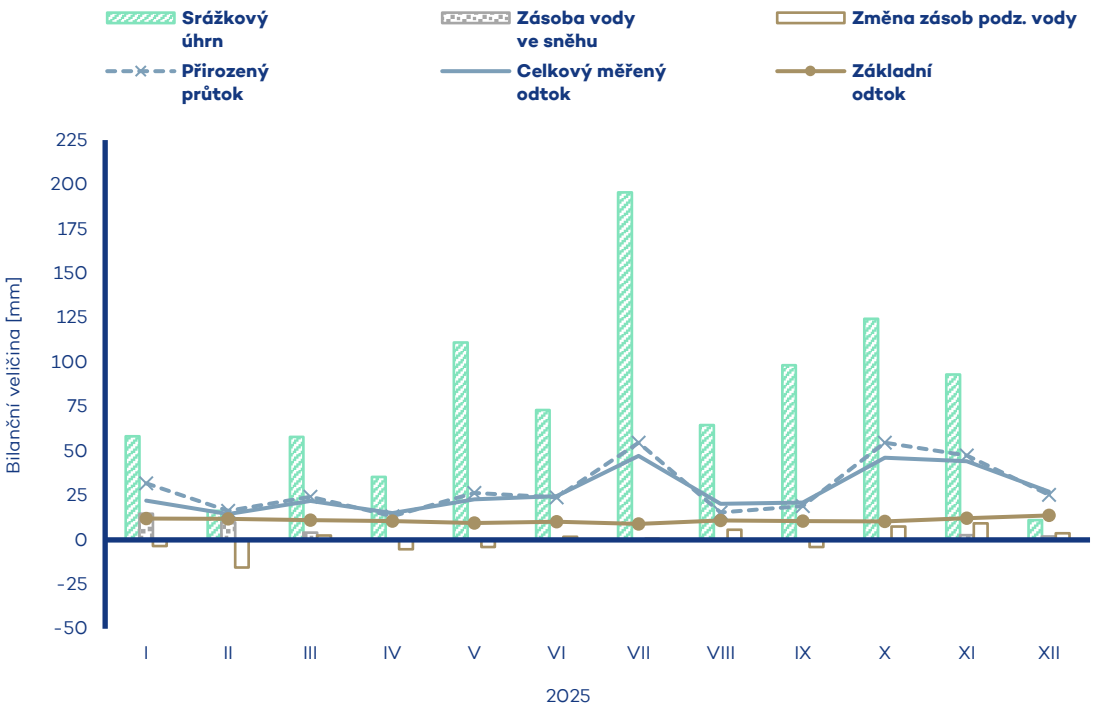
Tok	Bilanční profil	ID stanice	Plocha povodí [km^2]
Opava	**Děhylov**	**275000**	2036.34

Měsíc	Teplota vzduchu		Srážkový úhrn		Celkový měřený odtok			Základní odtok			Zásoba vody ve sněhu		Změna zásob podz. vody	Přirozený průtok		
	[°C]	[odch.°C]	[mm]	[%norm]	[mm]	[m^3·s^{-1}]	[%norm]	[mm]	[m^3·s^{-1}]	[%norm]	[mm]	[%norm]	[mm]	[mm]	[m^3·s^{-1}]	[%norm]
I	0.6	*2.7*	33.4	*83%*	16.6	12.7	*109%*	7.9	6.04	*155%*	6.0	*27%*	-3.5	18.8	15.8	*119%*
II	-1.3	*-0.3*	4.6	*12%*	11.5	9.66	*67%*	7.2	5.50	*124%*	1.4	*5%*	-4.8	11.3	8.58	*52%*
III	4.9	*2.6*	44.6	*92%*	14.0	10.7	*48%*	6.4	4.86	*88%*	0.1	*1%*	-0.5	13.9	11.7	*44%*
IV	9.6	*1.9*	18.7	*39%*	12.4	9.78	*42%*	6.1	4.67	*66%*	0	*0%*	-1.5	11.0	8.37	*32%*
V	9.9	*-2.4*	70.6	*88%*	7.4	5.64	*31%*	5.2	3.95	*55%*	0	*0%*	-2.7	6.9	5.24	*28%*
VI	17.3	*1.5*	53.4	*57%*	6.3	4.97	*39%*	4.3	3.24	*54%*	0	–	-3.6	4.9	4.17	*32%*
VII	17.5	*-0.2*	104.4	*106%*	5.0	3.78	*27%*	3.3	2.50	*48%*	0	–	-3.0	3.7	2.88	*20%*
VIII	17.0	*-0.2*	33.0	*43%*	4.2	3.20	*41%*	2.9	2.19	*48%*	0	–	-1.4	2.4	2.05	*26%*
IX	13.6	*1.2*	102.6	*139%*	4.7	3.72	*35%*	2.4	1.84	*43%*	0	–	-1.8	4.5	3.54	*34%*
X	7.3	*-0.5*	57.5	*102%*	7.2	5.45	*48%*	2.4	1.83	*41%*	0	*0%*	0.2	5.6	4.73	*41%*
XI	2.8	*-0.5*	66.1	*141%*	8.0	6.27	*66%*	2.8	2.12	*49%*	2.5	*132%*	1.0	10.4	7.94	*72%*
XII	1.2	*2.2*	16.7	*41%*	8.8	6.66	*75%*	3.0	2.31	*58%*	1.4	*15%*	1.2	13.0	9.89	*92%*
2025	8.4	*0.7*	605.6	*82%*	106.2	6.87	*50%*	54.0	3.42	*67%*	11.4	*14%*	-20.4	106.5	7.07	*47%*



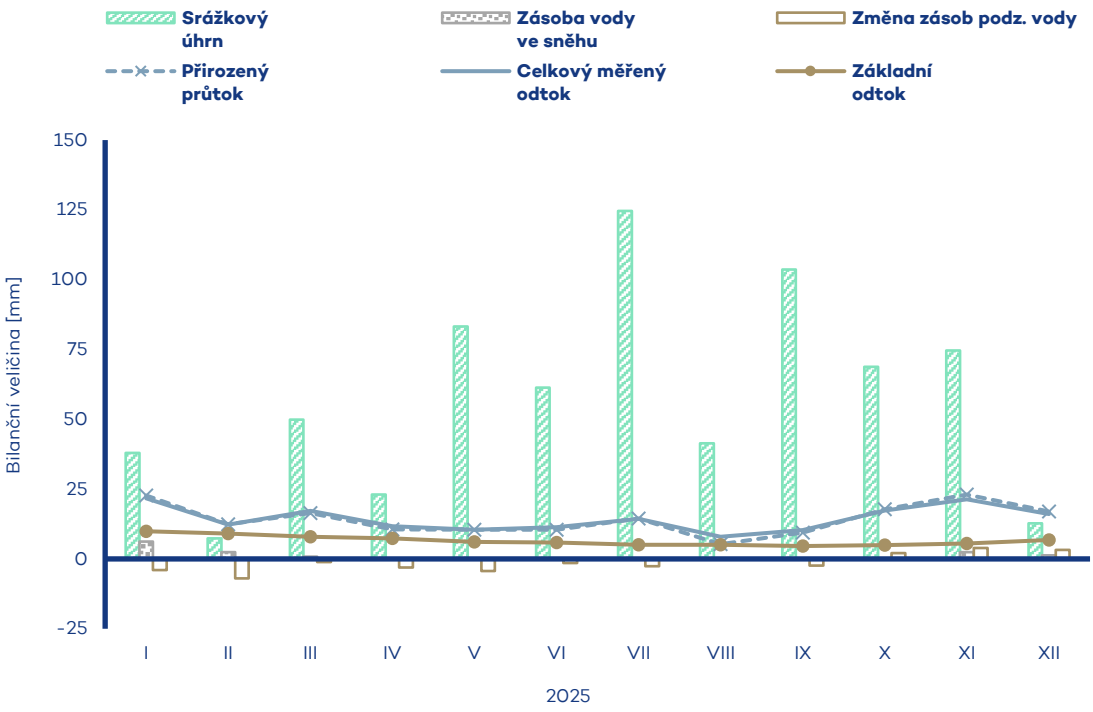
Tok	Bilanční profil	ID stanice	Plocha povodí [km^2]
Ostravice	**Ostrava**	**293000**	814.37

Měsíc	Teplota vzduchu		Srážkový úhrn		Celkový měřený odtok			Základní odtok			Zásoba vody ve sněhu		Změna zásob podz. vody	Přirozený průtok		
	[°C]	[odch.°C]	[mm]	[%norm]	[mm]	[m^3·s^{-1}]	[%norm]	[mm]	[m^3·s^{-1}]	[%norm]	[mm]	[%norm]	[mm]	[mm]	[m^3·s^{-1}]	[%norm]
I	1.2	*3.3*	58.4	*97%*	22.2	6.75	*71%*	12.1	4.06	*103%*	14.7	*39%*	-3.4	31.9	10.7	*99%*
II	-1.4	*-0.3*	16.4	*28%*	14.5	4.89	*44%*	11.9	3.61	*91%*	9.9	*20%*	-15.5	16.3	4.96	*39%*
III	5.3	*3.1*	58.0	*87%*	21.9	6.64	*39%*	11.1	3.38	*77%*	4.1	*10%*	2.4	24.3	8.17	*40%*
IV	9.7	*2.0*	35.4	*53%*	15.1	4.74	*26%*	10.6	3.22	*63%*	0	*1%*	-5.3	13.3	4.48	*22%*
V	10.0	*-2.3*	111.1	*97%*	22.7	6.92	*45%*	9.5	2.90	*55%*	0	*100%*	-4.1	26.4	8.30	*54%*
VI	17.5	*1.7*	73.1	*62%*	24.7	7.75	*56%*	10.2	3.10	*60%*	0	–	1.8	24.0	7.29	*51%*
VII	17.5	*-0.1*	195.5	*143%*	47.3	14.4	*93%*	9.0	3.03	*61%*	0	–	0.7	54.7	16.6	*105%*
VIII	17.5	*0.3*	64.6	*64%*	20.3	6.16	*64%*	10.9	3.32	*73%*	0	–	5.7	15.4	4.68	*51%*
IX	14.0	*1.6*	98.3	*94%*	21.0	6.61	*55%*	10.6	3.22	*70%*	0	–	-4.0	19.1	6.00	*50%*
X	7.3	*-0.6*	124.4	*166%*	46.2	14.1	*145%*	10.4	3.51	*80%*	0	*0%*	7.6	54.7	16.6	*174%*
XI	3.0	*-0.5*	93.0	*143%*	44.3	13.9	*159%*	12.2	4.12	*94%*	2.7	*64%*	9.4	47.5	14.9	*154%*
XII	1.4	*2.3*	11.2	*17%*	27.2	8.26	*101%*	13.8	4.19	*100%*	1.9	*11%*	3.8	25.3	7.71	*83%*
2025	8.6	*0.9*	939.4	*91%*	327.3	8.42	*68%*	132.3	3.47	*76%*	33.6	*20%*	-0.9	353.0	9.21	*69%*



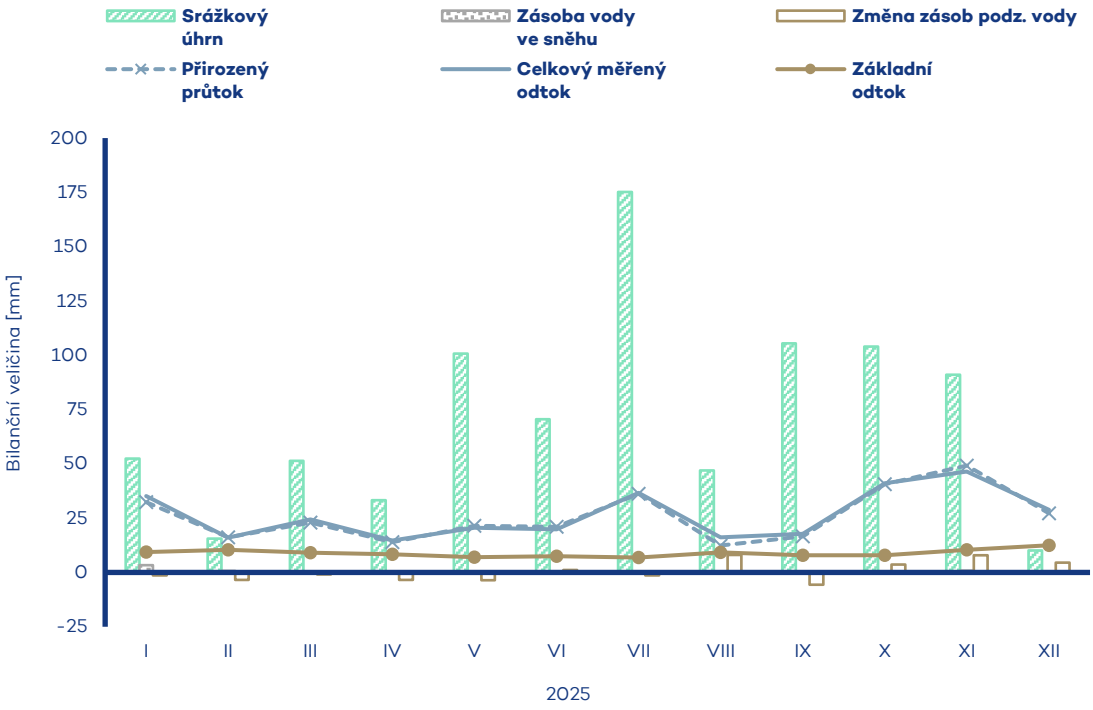
Tok	Bilanční profil	ID stanice	Plocha povodí [km^2]
Odra	**Bohumín**	**294000**	4661.57

Měsíc	Teplota vzduchu		Srážkový úhrn		Celkový měřený odtok			Základní odtok			Zásoba vody ve sněhu		Změna zásob podz. vody	Přirozený průtok		
	[°C]	[odch.°C]	[mm]	[%norm]	[mm]	[m^3·s^{-1}]	[%norm]	[mm]	[m^3·s^{-1}]	[%norm]	[mm]	[%norm]	[mm]	[mm]	[m^3·s^{-1}]	[%norm]
I	1.0	*2.8*	38.0	*89%*	21.7	37.8	*106%*	9.9	17.2	*137%*	6.2	*28%*	-4.0	22.8	43.8	*117%*
II	-1.1	*-0.3*	7.4	*18%*	12.3	23.7	*55%*	9.0	15.7	*115%*	2.4	*9%*	-7.0	12.4	21.6	*48%*
III	5.4	*2.8*	49.9	*99%*	17.3	30.0	*46%*	7.9	13.8	*85%*	0.8	*4%*	-1.1	16.5	31.7	*44%*
IV	10.0	*1.9*	23.1	*45%*	11.7	21.0	*35%*	7.4	12.9	*65%*	0	*0%*	-3.1	10.6	18.5	*29%*
V	10.3	*-2.4*	83.2	*94%*	10.5	18.2	*36%*	6.1	10.6	*55%*	0	*0%*	-4.3	10.5	18.2	*37%*
VI	17.7	*1.5*	61.3	*63%*	11.4	20.5	*51%*	5.9	10.3	*59%*	0	–	-1.5	10.5	18.3	*46%*
VII	17.9	*-0.2*	124.6	*117%*	14.3	24.9	*55%*	5.1	8.81	*56%*	0	–	-2.6	14.5	25.2	*56%*
VIII	17.6	*-0.1*	41.4	*51%*	7.9	13.8	*53%*	5.1	8.81	*63%*	0	–	0.0	5.3	10.2	*42%*
IX	14.1	*1.3*	103.6	*128%*	10.4	18.7	*53%*	4.6	8.04	*58%*	0	–	-2.4	9.4	16.9	*50%*
X	7.6	*-0.5*	68.8	*115%*	17.3	30.1	*89%*	5.0	8.68	*61%*	0	*0%*	2.1	17.7	30.9	*95%*
XI	3.0	*-0.6*	74.6	*148%*	21.3	38.4	*126%*	5.6	10.7	*78%*	2.4	*120%*	3.9	23.0	40.1	*127%*
XII	1.3	*2.1*	12.7	*28%*	16.0	27.9	*97%*	6.7	11.7	*92%*	1.3	*14%*	3.2	17.0	29.6	*97%*
2025	8.7	*0.7*	688.6	*87%*	172.2	25.4	*62%*	78.2	11.4	*75%*	13.1	*16%*	-16.8	170.2	25.4	*60%*



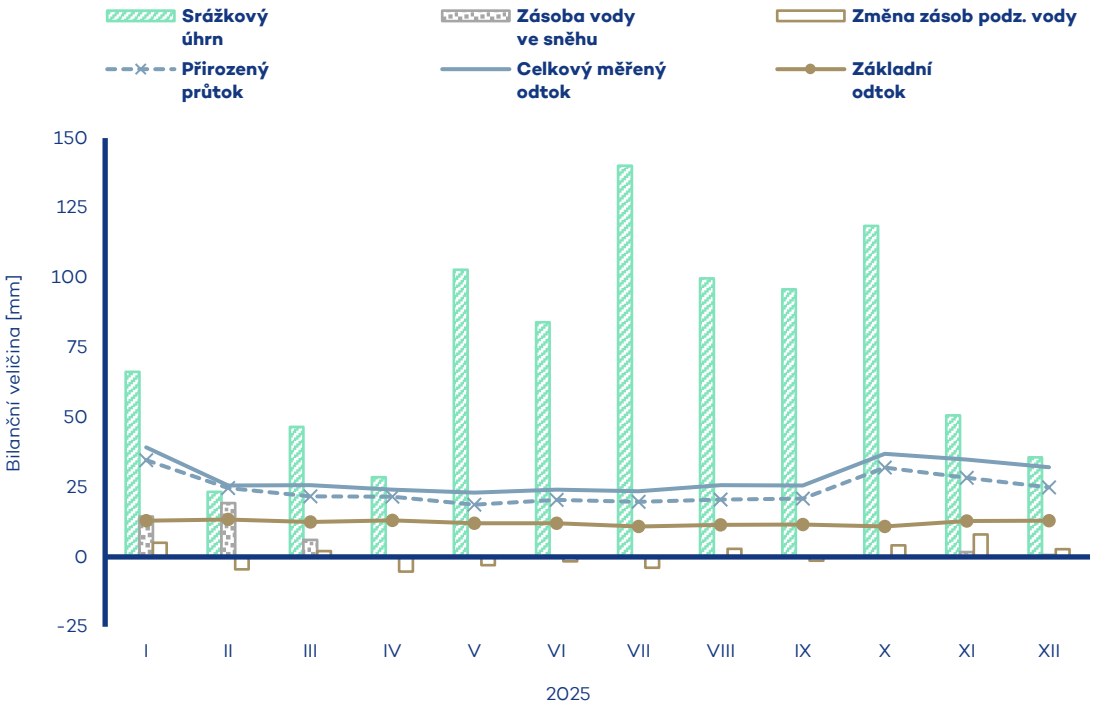
Tok	Bilanční profil	ID stanice	Plocha povodí [km^2]
Olše	**Věřňovice**	**303000**	1077.23

Měsíc	Teplota vzduchu		Srážkový úhrn		Celkový měřený odtok			Základní odtok			Zásoba vody ve sněhu		Změna zásob podz. vody	Přirozený průtok		
	[°C]	[odch.°C]	[mm]	[%norm]	[mm]	[m^3.s^{-1}]	[%norm]	[mm]	[m^3.s^{-1}]	[%norm]	[mm]	[%norm]	[mm]	[mm]	[m^3.s^{-1}]	[%norm]
I	1.7	*3.1*	52.4	*99%*	35.2	14.1	*107%*	9.4	4.20	*100%*	3.3	*17%*	-1.4	32.3	14.4	*104%*
II	-0.8	*-0.6*	15.6	*31%*	16.0	7.11	*43%*	10.4	4.19	*91%*	0.7	*3%*	-3.4	16.2	6.52	*38%*
III	5.9	*2.8*	51.4	*88%*	24.4	9.80	*43%*	9.1	3.66	*67%*	0.3	*2%*	-1.0	22.9	10.2	*43%*
IV	10.6	*1.9*	33.3	*54%*	14.7	6.11	*30%*	8.3	3.34	*53%*	0	*0%*	-3.5	13.9	6.20	*30%*
V	10.9	*-2.4*	100.7	*94%*	20.6	8.27	*49%*	7.0	2.80	*49%*	0	–	-3.6	21.4	8.91	*51%*
VI	18.4	*1.5*	70.5	*64%*	19.9	8.28	*53%*	7.5	3.02	*55%*	0	–	1.1	21.1	8.47	*53%*
VII	18.3	*-0.3*	175.2	*138%*	36.6	14.7	*89%*	6.9	2.76	*53%*	0	–	-1.4	36.1	15.0	*89%*
VIII	18.3	*0.1*	47.0	*50%*	16.2	6.52	*62%*	9.3	3.74	*82%*	0	–	8.1	12.4	5.52	*52%*
IX	14.7	*1.4*	105.4	*112%*	17.7	7.37	*55%*	7.9	3.16	*69%*	0	–	-5.6	16.7	6.92	*50%*
X	7.9	*-0.8*	104.0	*153%*	41.0	16.5	*149%*	7.9	3.52	*78%*	0	*0%*	3.7	40.6	16.9	*150%*
XI	3.5	*-0.8*	91.0	*154%*	46.5	19.3	*162%*	10.4	4.63	*106%*	0.9	*45%*	7.9	49.2	19.8	*161%*
XII	1.8	*2.0*	10.1	*18%*	28.9	11.6	*101%*	12.5	5.03	*120%*	0.4	*5%*	4.5	27.2	10.9	*92%*
2025	9.3	*0.7*	856.6	*91%*	317.6	10.8	*72%*	106.6	3.67	*74%*	5.6	*9%*	5.4	310.0	10.8	*70%*



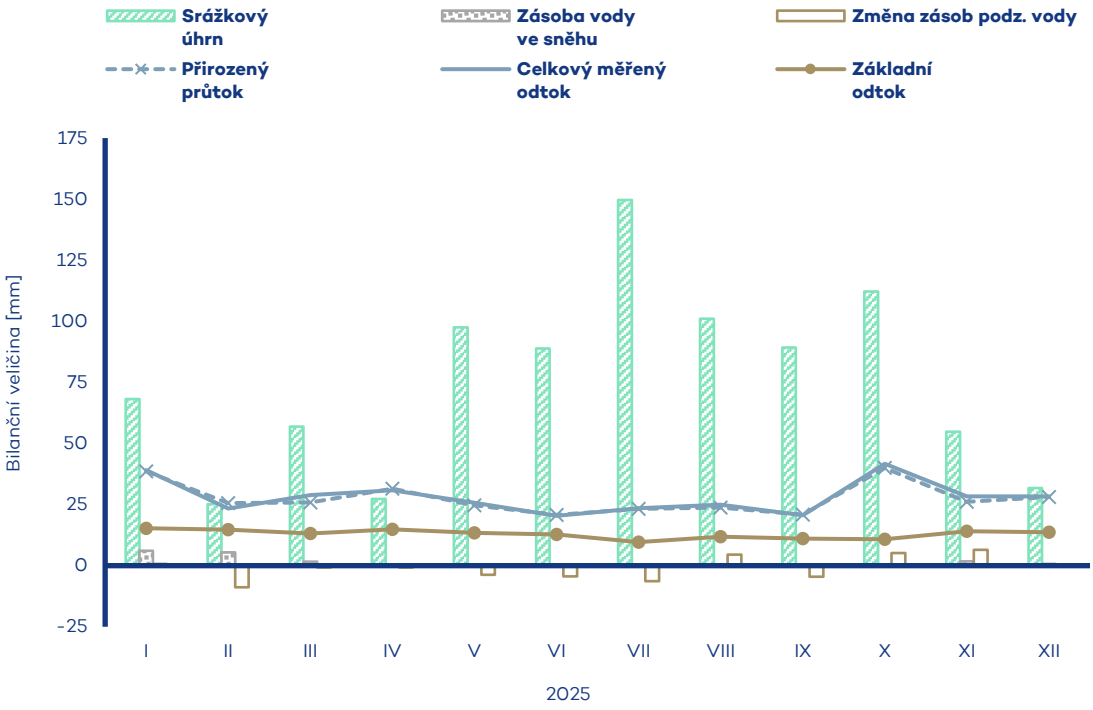
Tok	Bilanční profil	ID stanice	Plocha povodí [km^2]
Lužická Nisa	**Hrádek nad Nisou**	**320000**	354.87

Měsíc	Teplota vzduchu		Srážkový úhrn		Celkový měřený odtok			Základní odtok			Zásoba vody ve sněhu		Změna zásob podz. vody	Přirozený průtok		
	[°C]	[odch.°C]	[mm]	[%norm]	[mm]	[m^3.s^{-1}]	[%norm]	[mm]	[m^3.s^{-1}]	[%norm]	[mm]	[%norm]	[mm]	[mm]	[m^3.s^{-1}]	[%norm]
I	0.2	*1.9*	66.3	*90%*	39.2	5.20	*80%*	13.0	1.90	*87%*	14.5	*40%*	5.1	34.7	4.59	*77%*
II	-1.7	*-0.9*	23.3	*39%*	25.6	3.75	*57%*	13.4	1.96	*81%*	19.3	*41%*	-4.5	24.7	3.27	*55%*
III	3.8	*1.5*	46.6	*69%*	25.7	3.40	*37%*	12.5	1.83	*66%*	6.1	*19%*	2.1	21.6	3.18	*37%*
IV	9.2	*1.8*	28.6	*62%*	24.1	3.30	*48%*	13.1	1.74	*56%*	0	*0%*	-5.3	21.6	2.86	*45%*
V	9.8	*-2.2*	102.9	*130%*	23.0	3.05	*70%*	12.0	1.60	*60%*	0	–	-3.0	18.7	2.56	*67%*
VI	16.6	*1.3*	84.1	*89%*	24.1	3.30	*76%*	12.1	1.60	*68%*	0	–	-1.6	20.5	2.71	*72%*
VII	16.1	*-1.0*	140.1	*124%*	23.5	3.12	*69%*	10.9	1.44	*66%*	0	–	-3.9	19.7	2.61	*65%*
VIII	15.6	*-1.1*	99.8	*94%*	25.7	3.40	*83%*	11.5	1.52	*73%*	0	–	2.9	20.6	2.81	*79%*
IX	12.6	*0.4*	95.9	*127%*	25.6	3.50	*93%*	11.6	1.54	*77%*	0	–	-1.3	20.9	2.87	*90%*
X	7.1	*-0.7*	118.5	*177%*	36.9	4.89	*144%*	10.9	1.60	*86%*	0	*0%*	4.1	32.0	4.38	*154%*
XI	2.8	*-0.5*	50.7	*76%*	34.9	4.78	*114%*	12.9	1.89	*103%*	1.7	*50%*	8.0	28.4	4.16	*113%*
XII	0.9	*1.4*	35.7	*49%*	32.1	4.25	*86%*	13.0	1.91	*99%*	0.7	*4%*	2.8	24.9	3.65	*82%*
2025	7.7	*0.2*	892.5	*97%*	340.4	3.83	*73%*	146.9	1.71	*75%*	42.3	*30%*	5.4	288.2	3.31	*71%*



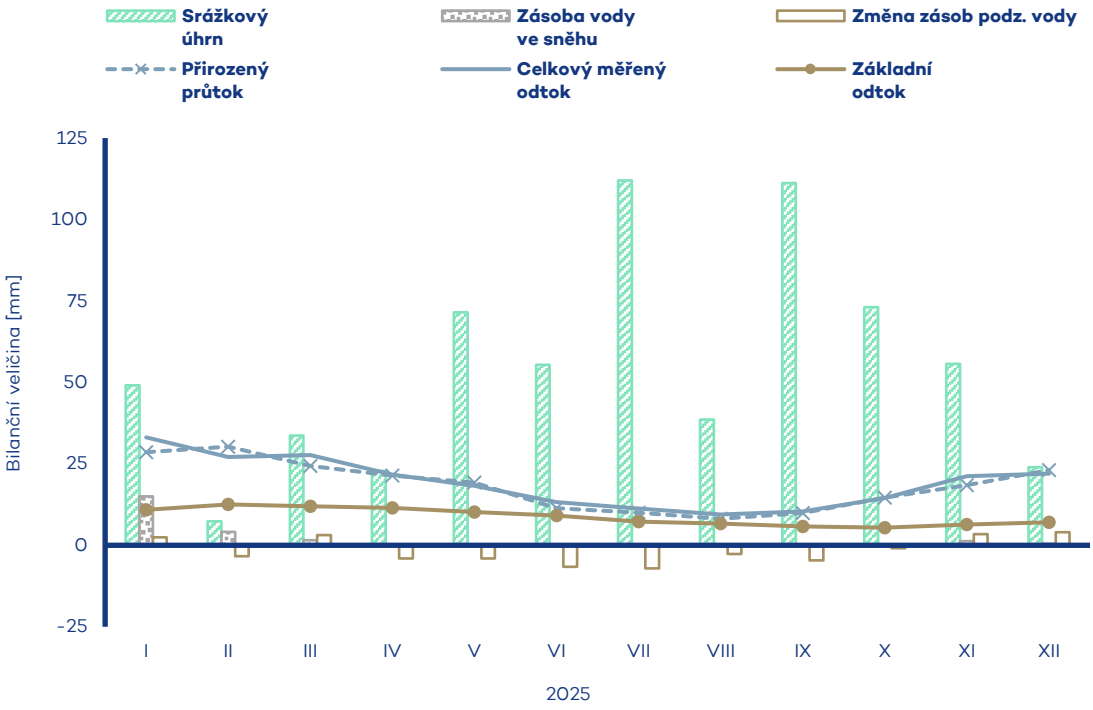
Tok	Bilanční profil	ID stanice	Plocha povodí [km^2]
Smědá	**Předlánce**	**326000**	245.02

Měsíc	Teplota vzduchu		Srážkový úhrn		Celkový měřený odtok			Základní odtok			Zásoba vody ve sněhu		Změna zásob podz. vody	Přirozený průtok		
	[°C]	[odch.°C]	[mm]	[%norm]	[mm]	[m^3·s^{-1}]	[%norm]	[mm]	[m^3·s^{-1}]	[%norm]	[mm]	[%norm]	[mm]	[mm]	[m^3·s^{-1}]	[%norm]
I	1.3	*2.2*	68.2	*97%*	39.0	3.57	*90%*	15.3	1.55	*103%*	6.1	*20%*	0.7	38.6	3.53	*89%*
II	-0.9	*-0.8*	25.2	*42%*	23.4	2.37	*60%*	14.7	1.49	*94%*	5.4	*13%*	-8.8	25.6	2.34	*60%*
III	4.5	*1.6*	56.9	*81%*	28.9	2.65	*47%*	13.1	1.33	*74%*	1.6	*4%*	-0.7	25.8	2.62	*46%*
IV	9.5	*1.5*	27.3	*53%*	30.8	2.91	*51%*	14.9	1.36	*64%*	0	*0%*	-0.7	31.5	2.88	*51%*
V	10.0	*-2.4*	97.5	*112%*	25.7	2.35	*69%*	13.4	1.23	*65%*	0	*0%*	-3.8	24.6	2.33	*69%*
VI	16.9	*1.3*	88.9	*82%*	20.4	1.93	*52%*	12.7	1.16	*70%*	0	–	-4.4	20.8	1.90	*51%*
VII	16.5	*-1.0*	149.6	*116%*	23.5	2.15	*54%*	9.6	0.976	*60%*	0	–	-6.4	23.3	2.13	*53%*
VIII	16.1	*-1.0*	101.0	*87%*	24.9	2.28	*64%*	11.8	1.08	*70%*	0	–	4.5	23.8	2.25	*63%*
IX	13.3	*0.6*	89.3	*112%*	20.6	1.95	*60%*	11.0	1.01	*68%*	0	–	-4.5	20.9	1.91	*59%*
X	7.8	*-0.6*	112.2	*162%*	41.7	3.81	*148%*	10.8	1.10	*79%*	0	*0%*	5.2	40.0	3.78	*147%*
XI	4.2	*0.3*	54.8	*84%*	28.4	2.68	*93%*	14.1	1.29	*94%*	1.8	*58%*	6.5	26.2	2.65	*92%*
XII	1.5	*1.3*	31.8	*46%*	28.4	2.60	*82%*	13.6	1.25	*89%*	0.7	*5%*	0.0	28.1	2.57	*81%*
2025	8.4	*0.3*	902.7	*93%*	335.9	2.60	*68%*	155.2	1.24	*76%*	15.6	*11%*	-12.4	329.2	2.57	*68%*



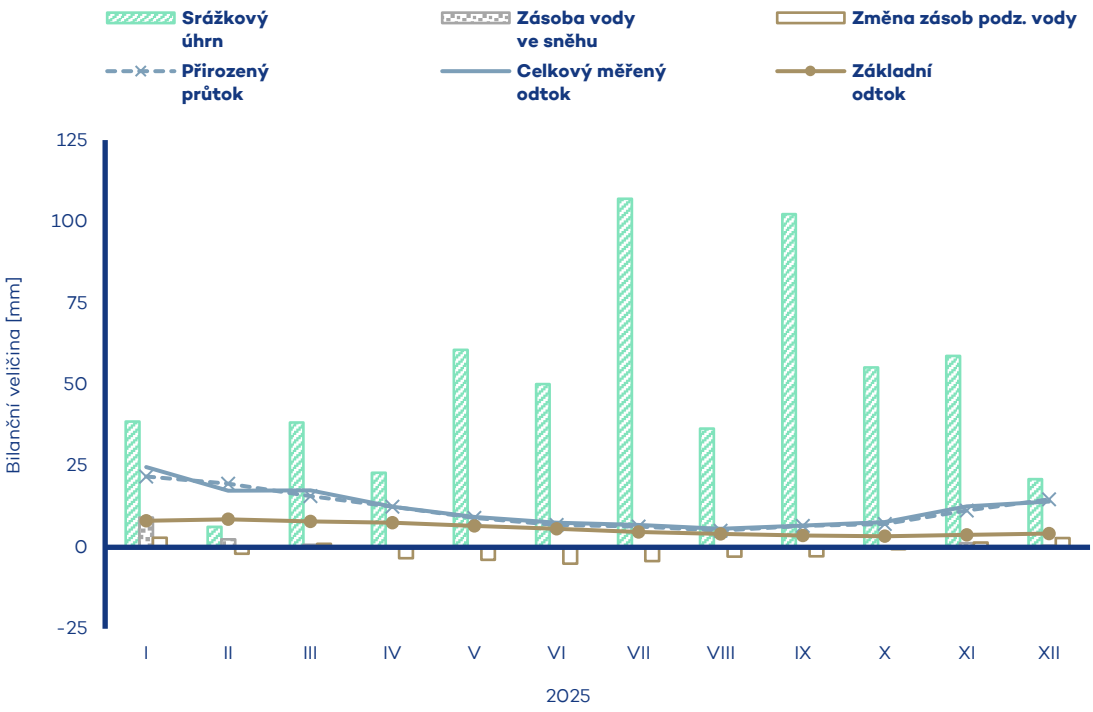
Tok	Bilanční profil	ID stanice	Plocha povodí [km^2]
Morava	**Moravičany**	**355000**	1559.11

Měsíc	Teplota vzduchu		Srážkový úhrn		Celkový měřený odtok			Základní odtok			Zásoba vody ve sněhu		Změna zásob podz. vody	Přirozený průtok		
	[°C]	[odch.°C]	[mm]	[%norm]	[mm]	[m^3·s^{-1}]	[%norm]	[mm]	[m^3·s^{-1}]	[%norm]	[mm]	[%norm]	[mm]	[mm]	[m^3·s^{-1}]	[%norm]
I	-0.8	*1.7*	49.1	*76%*	33.1	19.3	*115%*	10.9	7.03	*141%*	15.0	*42%*	2.4	28.6	18.4	*111%*
II	-2.2	*-0.8*	7.4	*14%*	27.1	17.5	*91%*	12.5	7.30	*129%*	4.1	*9%*	-3.4	30.3	17.6	*92%*
III	4.0	*2.1*	33.7	*57%*	27.7	16.1	*54%*	12.0	6.98	*101%*	1.6	*6%*	3.1	24.3	15.7	*53%*
IV	9.1	*1.7*	22.9	*51%*	21.7	13.1	*45%*	11.5	6.68	*77%*	0	*4%*	-4.0	21.4	12.4	*43%*
V	9.4	*-2.7*	71.5	*95%*	18.3	10.7	*60%*	10.2	5.97	*70%*	0	*0%*	-4.0	19.3	11.2	*64%*
VI	16.4	*0.9*	55.4	*64%*	13.3	7.97	*67%*	9.1	5.29	*74%*	0	–	-6.6	11.4	7.36	*62%*
VII	16.8	*-0.5*	112.0	*112%*	11.3	6.57	*50%*	7.2	4.21	*69%*	0	–	-7.1	10.0	6.03	*47%*
VIII	16.2	*-0.7*	38.6	*49%*	9.5	5.51	*70%*	6.6	3.86	*74%*	0	–	-2.7	8.1	5.25	*67%*
IX	12.8	*0.8*	111.2	*156%*	10.4	6.28	*68%*	5.8	3.39	*71%*	0	–	-4.6	9.9	5.98	*65%*
X	6.8	*-0.6*	73.1	*127%*	14.5	8.44	*89%*	5.4	3.16	*69%*	0	*0%*	-0.9	14.6	8.53	*91%*
XI	2.4	*-0.6*	55.7	*98%*	21.2	12.8	*104%*	6.4	3.72	*80%*	1.3	*52%*	3.4	18.5	11.9	*98%*
XII	0.8	*2.3*	24.0	*38%*	22.0	12.8	*102%*	7.1	4.11	*87%*	0.5	*4%*	4.0	23.1	13.4	*107%*
2025	7.6	*0.3*	654.6	*81%*	230.1	11.4	*72%*	104.8	5.14	*86%*	22.7	*17%*	-20.4	219.6	11.2	*71%*



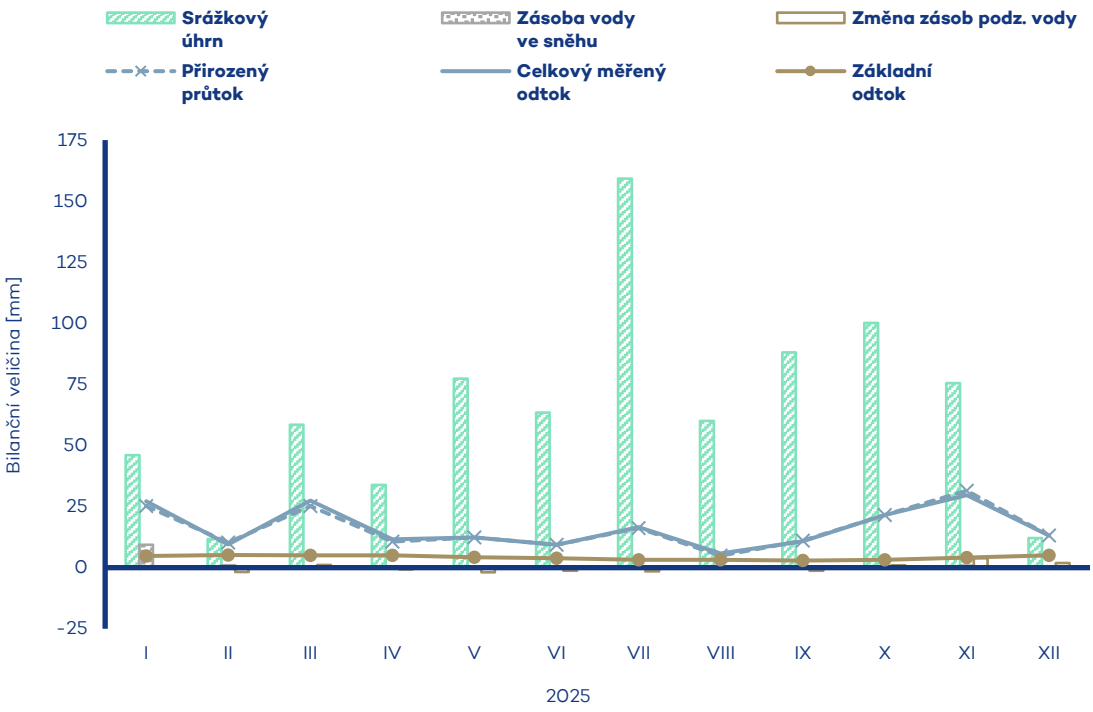
Tok	Bilanční profil	ID stanice	Plocha povodí [km^2]
Morava	**Olomouc-Nové Sady**	**367000**	3323.43

Měsíc	Teplota vzduchu		Srážkový úhrn		Celkový měřený odtok			Základní odtok			Zásoba vody ve sněhu		Změna zásob podz. vody	Přirozený průtok		
	[°C]	[odch.°C]	[mm]	[%norm]	[mm]	[m^3·s^{-1}]	[%norm]	[mm]	[m^3·s^{-1}]	[%norm]	[mm]	[%norm]	[mm]	[mm]	[m^3·s^{-1}]	[%norm]
I	-0.4	*1.8*	38.6	*76%*	24.6	30.6	*112%*	8.1	10.1	*129%*	9.1	*37%*	2.9	21.7	29.9	*108%*
II	-1.6	*-0.6*	6.3	*15%*	17.3	23.8	*72%*	8.6	10.7	*117%*	2.4	*8%*	-2.0	19.5	24.2	*73%*
III	4.9	*2.3*	38.3	*77%*	17.5	21.7	*44%*	8.0	9.88	*88%*	0.8	*4%*	1.1	15.7	21.5	*43%*
IV	9.9	*1.8*	22.9	*56%*	12.4	15.9	*37%*	7.5	9.33	*68%*	0	*3%*	-3.4	12.5	15.5	*36%*
V	10.3	*-2.5*	60.6	*85%*	9.3	11.5	*45%*	6.5	8.09	*61%*	0	*0%*	-3.8	9.0	12.3	*47%*
VI	17.4	*1.2*	50.1	*62%*	7.6	9.72	*54%*	5.7	7.05	*65%*	0	–	-5.0	6.8	9.39	*51%*
VII	17.6	*-0.3*	107.0	*114%*	6.8	8.47	*43%*	4.7	5.78	*64%*	0	–	-4.2	6.4	8.15	*41%*
VIII	17.3	*-0.4*	36.4	*49%*	5.7	7.05	*59%*	4.1	5.05	*64%*	0	–	-2.9	5.1	7.07	*58%*
IX	13.7	*0.9*	102.3	*155%*	6.7	8.54	*63%*	3.6	4.51	*62%*	0	–	-2.8	6.6	8.45	*61%*
X	7.4	*-0.4*	55.2	*106%*	7.7	9.56	*66%*	3.4	4.20	*59%*	0	*0%*	-0.6	7.2	9.87	*67%*
XI	2.7	*-0.6*	58.7	*119%*	12.6	16.1	*86%*	3.8	4.74	*65%*	1.3	*76%*	1.5	11.3	15.5	*81%*
XII	1.0	*2.1*	20.9	*41%*	14.0	17.4	*87%*	4.2	5.27	*71%*	0.5	*6%*	2.8	14.7	18.3	*90%*
2025	8.3	*0.4*	597.3	*83%*	142.2	15.0	*61%*	68.2	7.05	*76%*	14.2	*17%*	-16.4	136.5	15.0	*60%*



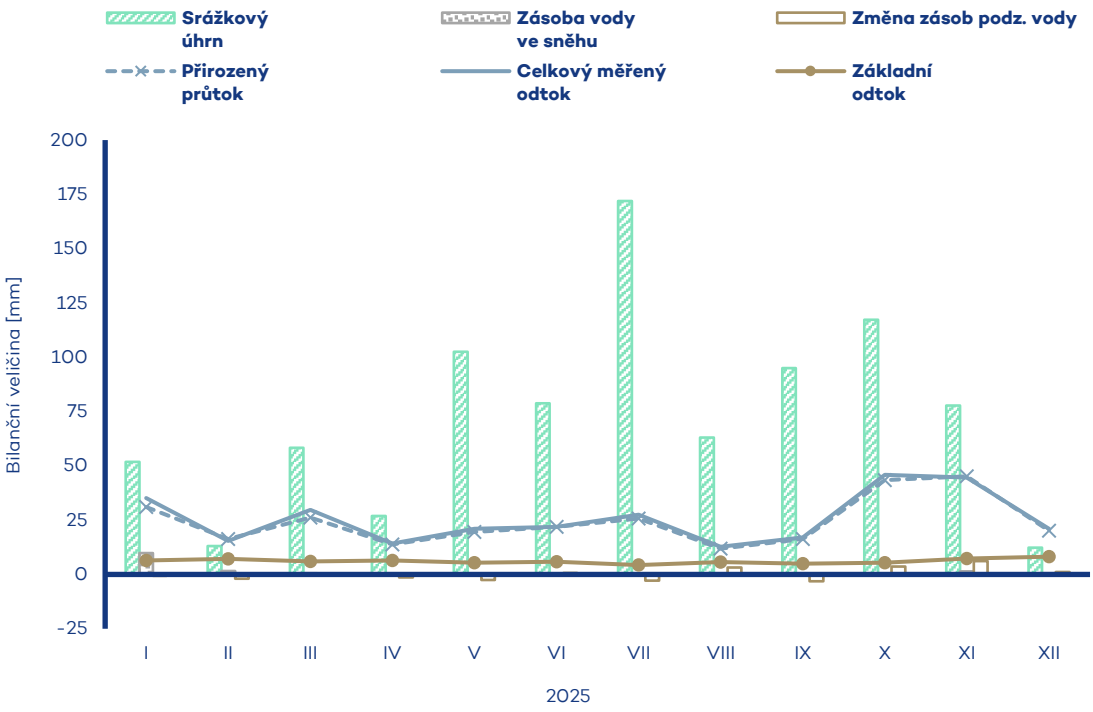
Tok	Bilanční profil	ID stanice	Plocha povodí [km^2]
Vsetínská Bečva	**Jarcová**	**382000**	723.80

Měsíc	Teplota vzduchu		Srážkový úhrn		Celkový měřený odtok			Základní odtok			Zásoba vody ve sněhu		Změna zásob podz. vody	Přirozený průtok		
	[°C]	[odch.°C]	[mm]	[%norm]	[mm]	[m^3.s^{-1}]	[%norm]	[mm]	[m^3.s^{-1}]	[%norm]	[mm]	[%norm]	[mm]	[mm]	[m^3.s^{-1}]	[%norm]
I	0.2	*2.5*	46.1	*69%*	27.1	7.33	*83%*	4.8	1.43	*79%*	9.3	*25%*	0.3	25.2	7.54	*85%*
II	-1.6	*-0.5*	11.7	*19%*	9.4	2.82	*24%*	5.2	1.40	*67%*	1.0	*2%*	-1.8	10.3	2.78	*23%*
III	4.9	*2.7*	58.5	*90%*	27.4	7.41	*40%*	5.0	1.36	*50%*	0.2	*1%*	1.1	25.2	7.55	*40%*
IV	9.3	*1.6*	33.9	*55%*	11.5	3.22	*24%*	5.0	1.35	*42%*	0	*0%*	-0.7	10.6	3.18	*23%*
V	9.7	*-2.7*	77.3	*84%*	12.4	3.36	*40%*	4.2	1.13	*42%*	0	–	-1.9	12.3	3.33	*40%*
VI	17.3	*1.2*	63.5	*66%*	9.4	2.62	*39%*	3.9	1.05	*46%*	0	–	-1.3	9.4	2.55	*38%*
VII	17.1	*-0.7*	159.2	*141%*	16.6	4.49	*61%*	3.3	0.879	*46%*	0	–	-1.5	16.2	4.52	*61%*
VIII	17.0	*-0.3*	60.1	*67%*	5.8	1.57	*36%*	3.2	0.875	*56%*	0	–	0.0	4.9	1.46	*34%*
IX	13.7	*1.3*	88.1	*103%*	10.8	3.02	*50%*	2.9	0.782	*50%*	0	–	-1.3	11.1	3.00	*49%*
X	6.9	*-1.0*	100.2	*139%*	21.6	5.84	*95%*	3.1	0.849	*55%*	0	*0%*	1.0	21.5	6.01	*98%*
XI	2.7	*-1.0*	75.5	*116%*	29.7	8.29	*119%*	4.1	1.23	*75%*	0.9	*38%*	3.8	31.5	8.51	*120%*
XII	1.1	*2.2*	12.1	*17%*	13.2	3.56	*47%*	5.1	1.37	*83%*	0.4	*3%*	1.9	13.1	3.55	*47%*
2025	8.2	*0.4*	786.2	*84%*	195.0	4.46	*50%*	49.8	1.14	*56%*	11.8	*9%*	-0.4	191.4	4.50	*50%*



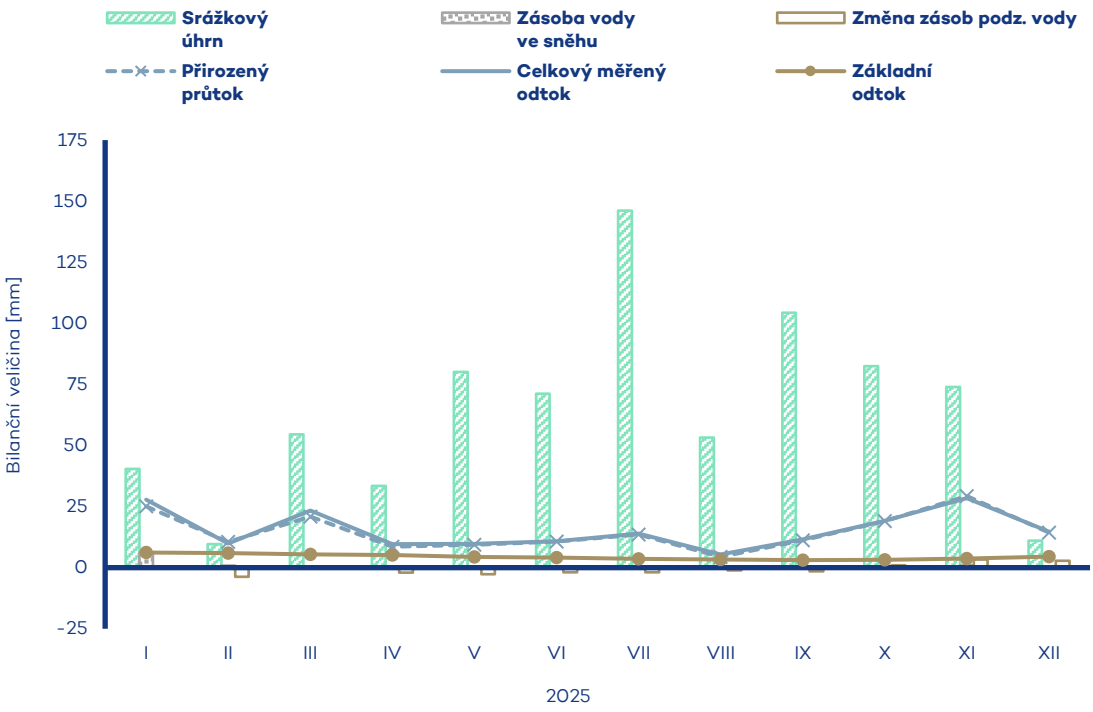
Tok	Bilanční profil	ID stanice	Plocha povodí [km^2]
Rožnovská Bečva	**Valašské Meziříčí**	**387000**	252.12

Měsíc	Teplota vzduchu		Srážkový úhrn		Celkový měřený odtok			Základní odtok			Zásoba vody ve sněhu		Změna zásob podz. vody	Přirozený průtok		
	[°C]	[odch.°C]	[mm]	[%norm]	[mm]	[m^3.s^{-1}]	[%norm]	[mm]	[m^3.s^{-1}]	[%norm]	[mm]	[%norm]	[mm]	[mm]	[m^3.s^{-1}]	[%norm]
I	0.9	*3.0*	51.8	*81%*	35.1	3.31	*98%*	6.4	0.668	*91%*	9.8	*28%*	-0.7	31.1	3.24	*97%*
II	-1.4	*-0.4*	13.1	*21%*	15.4	1.60	*37%*	7.2	0.676	*84%*	1.6	*4%*	-2.0	16.4	1.54	*35%*
III	5.1	*2.9*	58.3	*86%*	29.7	2.79	*41%*	6.0	0.622	*62%*	0.5	*2%*	0.4	26.1	2.73	*40%*
IV	9.3	*1.7*	26.9	*41%*	14.2	1.38	*24%*	6.4	0.602	*50%*	0	*0%*	-1.4	13.9	1.31	*23%*
V	9.7	*-2.7*	102.5	*98%*	21.0	1.98	*49%*	5.4	0.510	*49%*	0	–	-2.5	19.6	1.91	*48%*
VI	17.3	*1.3*	78.8	*74%*	21.9	2.13	*67%*	5.8	0.549	*61%*	0	–	0.7	21.9	2.06	*65%*
VII	17.2	*-0.5*	171.9	*132%*	27.5	2.59	*62%*	4.3	0.450	*56%*	0	–	-2.8	25.8	2.51	*61%*
VIII	17.1	*-0.1*	63.1	*65%*	12.7	1.20	*54%*	5.8	0.542	*85%*	0	–	3.2	11.9	1.12	*51%*
IX	13.8	*1.4*	95.0	*99%*	17.1	1.66	*55%*	5.0	0.470	*69%*	0	–	-3.1	16.3	1.58	*53%*
X	7.1	*-0.9*	117.3	*158%*	45.9	4.32	*164%*	5.4	0.560	*83%*	0	*0%*	3.7	43.5	4.23	*161%*
XI	2.9	*-0.9*	77.8	*119%*	44.6	4.34	*155%*	7.3	0.759	*107%*	1.4	*44%*	6.2	45.2	4.25	*152%*
XII	1.4	*2.2*	12.3	*18%*	21.1	1.98	*67%*	8.2	0.770	*109%*	0.6	*4%*	1.2	20.1	1.89	*65%*
2025	8.4	*0.6*	868.8	*87%*	306.2	2.44	*65%*	73.1	0.598	*73%*	13.9	*11%*	2.9	291.6	2.36	*63%*



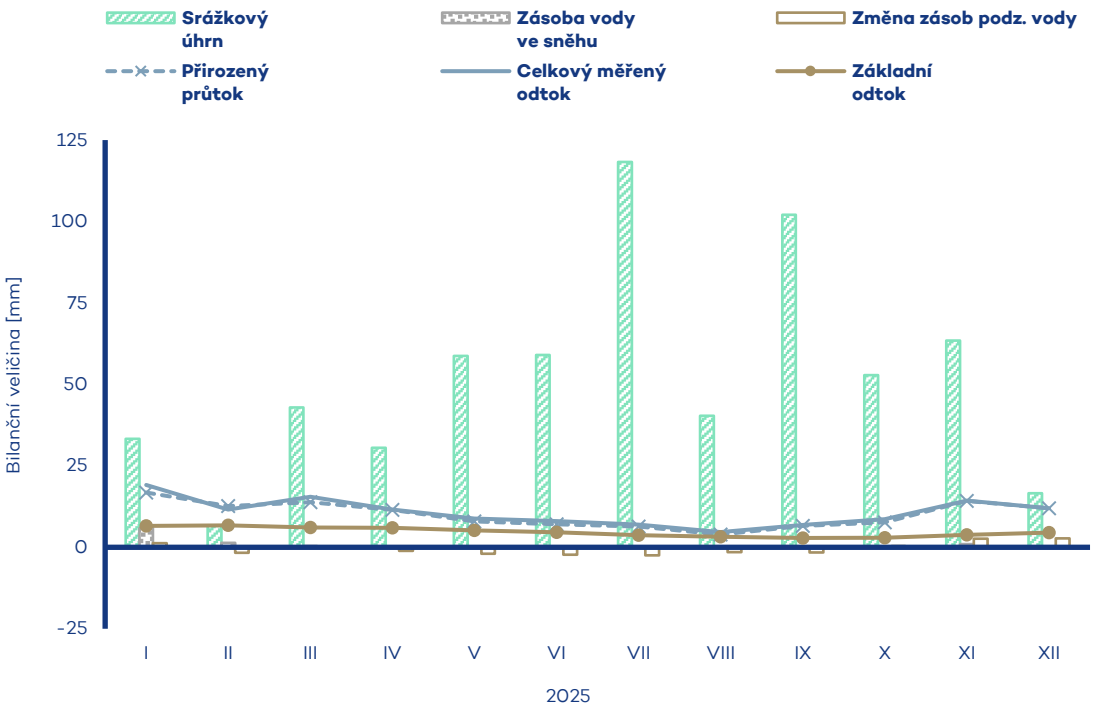
Tok	Bilanční profil	ID stanice	Plocha povodí [km^2]
Bečva	**Dluhonice**	**390000**	1592.32

Měsíc	Teplota vzduchu		Srážkový úhrn		Celkový měřený odtok			Základní odtok			Zásoba vody ve sněhu		Změna zásob podz. vody	Přirozený průtok		
	[°C]	[odch.°C]	[mm]	[%norm]	[mm]	[m^3.s^{-1}]	[%norm]	[mm]	[m^3.s^{-1}]	[%norm]	[mm]	[%norm]	[mm]	[mm]	[m^3.s^{-1}]	[%norm]
I	0.7	*2.7*	40.4	*72%*	27.8	16.5	*99%*	6.2	3.68	*108%*	6.2	*22%*	-0.2	25.1	16.5	*99%*
II	-1.2	*-0.4*	9.6	*18%*	9.9	6.54	*31%*	5.9	3.53	*95%*	0.8	*2%*	-3.7	10.6	6.30	*29%*
III	5.3	*2.7*	54.6	*94%*	23.3	13.9	*42%*	5.5	3.25	*72%*	0.2	*1%*	0.4	20.9	13.8	*42%*
IV	9.8	*1.6*	33.5	*60%*	9.6	5.92	*24%*	5.2	3.07	*58%*	0	*0%*	-2.1	8.6	5.67	*23%*
V	10.2	*-2.6*	80.1	*90%*	9.7	5.78	*34%*	4.4	2.62	*53%*	0	–	-2.7	9.3	5.53	*32%*
VI	17.7	*1.2*	71.2	*76%*	10.8	6.63	*48%*	4.1	2.44	*55%*	0	–	-1.9	10.7	6.34	*46%*
VII	17.6	*-0.5*	146.1	*134%*	13.9	8.26	*54%*	3.6	2.11	*56%*	0	–	-1.9	13.5	8.05	*53%*
VIII	17.5	*-0.2*	53.2	*63%*	5.4	3.21	*36%*	3.3	1.97	*59%*	0	–	-1.1	4.4	2.91	*33%*
IX	14.1	*1.3*	104.4	*127%*	11.6	7.14	*61%*	3.1	1.84	*56%*	0	–	-1.5	11.2	6.88	*59%*
X	7.5	*-0.8*	82.5	*126%*	19.2	11.4	*98%*	3.2	1.91	*60%*	0	*0%*	1.0	19.1	11.4	*98%*
XI	3.0	*-0.9*	73.9	*125%*	28.5	17.5	*135%*	3.7	2.42	*72%*	1.0	*53%*	3.3	29.3	17.4	*135%*
XII	1.3	*2.1*	11.1	*18%*	14.7	8.74	*64%*	4.6	2.71	*82%*	0.4	*4%*	2.8	14.3	8.52	*63%*
2025	8.6	*0.5*	760.6	*88%*	184.5	9.29	*55%*	52.6	2.63	*68%*	8.6	*9%*	-7.6	177.1	9.10	*55%*



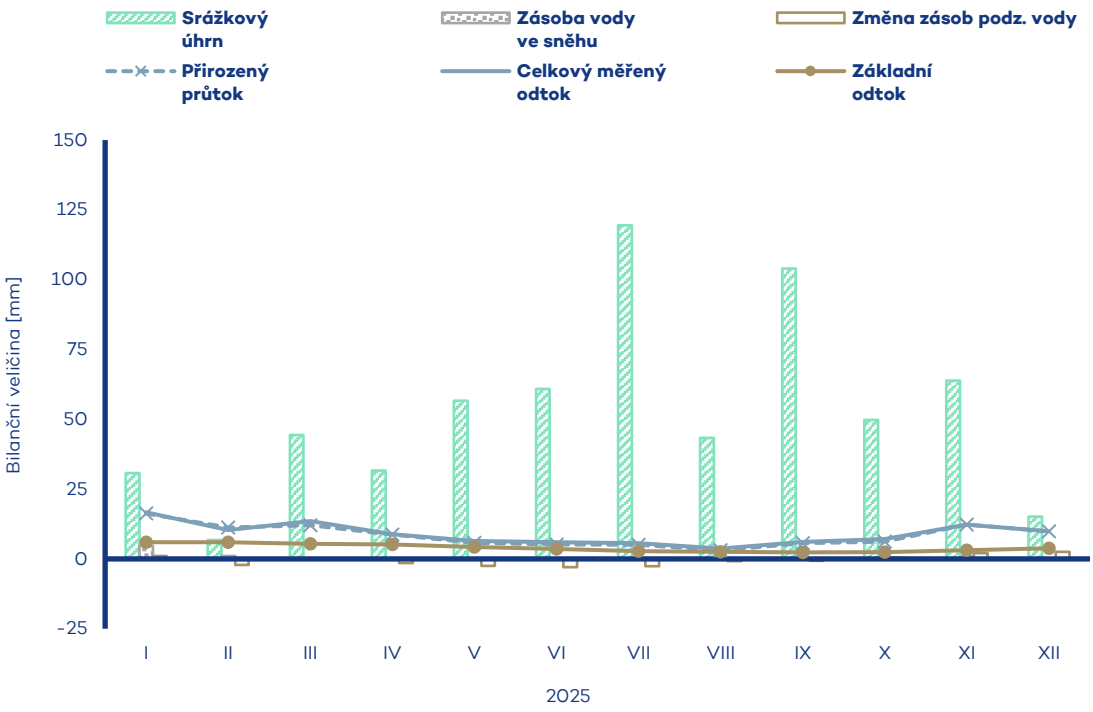
Tok	Bilanční profil	ID stanice	Plocha povodí [km^2]
Morava	**Kroměříž**	**403000**	7012.53

Měsíc	Teplota vzduchu		Srážkový úhrn		Celkový měřený odtok			Základní odtok			Zásoba vody ve sněhu		Změna zásob podz. vody	Přirozený průtok		
	[°C]	[odch.°C]	[mm]	[%norm]	[mm]	[m^3·s^{-1}]	[%norm]	[mm]	[m^3·s^{-1}]	[%norm]	[mm]	[%norm]	[mm]	[mm]	[m^3·s^{-1}]	[%norm]
I	0.2	*2.2*	33.3	*73%*	19.1	50.1	*98%*	6.6	17.3	*112%*	5.9	*28%*	1.3	16.8	48.7	*96%*
II	-1.1	*-0.5*	6.6	*16%*	11.6	33.6	*54%*	6.7	17.6	*96%*	1.4	*6%*	-1.7	12.7	33.1	*53%*
III	5.4	*2.5*	42.9	*90%*	15.6	40.7	*43%*	6.1	15.9	*68%*	0.4	*3%*	0.0	13.8	40.1	*43%*
IV	10.3	*1.7*	30.5	*71%*	11.6	31.3	*40%*	5.9	15.6	*54%*	0	*0%*	-1.1	11.5	30.1	*38%*
V	10.8	*-2.4*	58.7	*80%*	8.8	23.1	*46%*	5.2	13.5	*54%*	0	–	-2.0	7.9	23.0	*46%*
VI	17.9	*1.3*	59.0	*72%*	8.0	21.7	*58%*	4.6	12.1	*59%*	0	–	-2.3	7.1	20.5	*55%*
VII	18.1	*-0.4*	118.3	*127%*	7.0	18.2	*46%*	3.7	9.74	*58%*	0	–	-2.5	6.3	17.2	*43%*
VIII	17.9	*-0.3*	40.4	*54%*	4.7	12.2	*50%*	3.3	8.55	*61%*	0	–	-1.5	3.9	11.4	*47%*
IX	14.2	*1.0*	102.1	*150%*	6.9	18.6	*63%*	2.9	7.50	*58%*	0	–	-1.6	6.5	17.6	*61%*
X	7.8	*-0.5*	52.8	*101%*	8.6	22.5	*74%*	2.9	7.57	*59%*	0	*0%*	0.4	7.7	22.2	*74%*
XI	3.0	*-0.7*	63.5	*130%*	14.3	38.8	*107%*	3.8	9.98	*75%*	1.0	*71%*	2.6	14.2	37.3	*103%*
XII	1.3	*2.1*	16.6	*34%*	12.0	31.3	*81%*	4.5	11.8	*85%*	0.3	*4%*	2.7	12.0	31.5	*81%*
2025	8.8	*0.5*	624.7	*87%*	128.1	28.5	*60%*	56.2	12.3	*68%*	9.0	*13%*	-5.7	120.5	27.7	*58%*



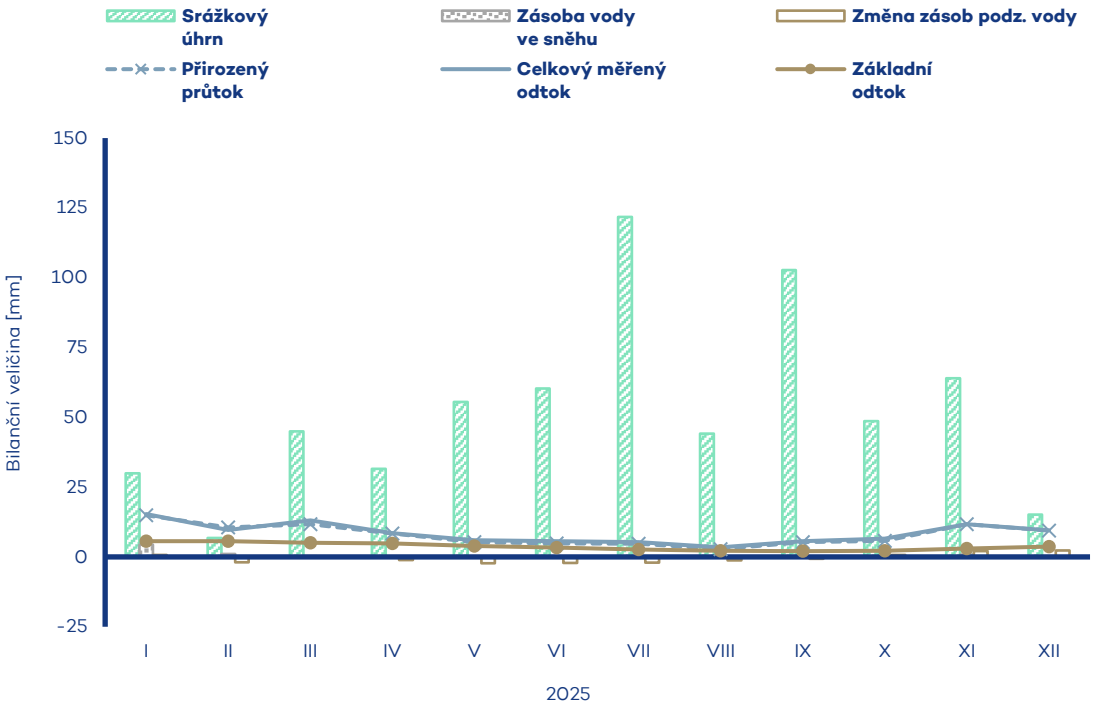
Tok	Bilanční profil	ID stanice	Plocha povodí [km^2]
Morava	**Strážnice**	**421500**	9145.07

Měsíc	Teplota vzduchu		Srážkový úhrn		Celkový měřený odtok			Základní odtok			Zásoba vody ve sněhu		Změna zásob podz. vody	Přirozený průtok		
	[°C]	[odch.°C]	[mm]	[%norm]	[mm]	[m^3·s^{-1}]	[%norm]	[mm]	[m^3·s^{-1}]	[%norm]	[mm]	[%norm]	[mm]	[mm]	[m^3·s^{-1}]	[%norm]
I	0.5	*2.2*	30.8	*70%*	16.7	57.0	*98%*	6.0	20.4	*116%*	4.7	*25%*	1.0	16.3	55.5	*95%*
II	-0.9	*-0.5*	6.8	*17%*	10.3	39.1	*54%*	6.0	20.4	*98%*	1.1	*5%*	-2.1	11.3	38.5	*53%*
III	5.7	*2.5*	44.4	*96%*	13.6	46.3	*43%*	5.4	18.6	*70%*	0.3	*2%*	0.2	12.1	45.7	*43%*
IV	10.5	*1.7*	31.7	*74%*	8.9	31.2	*35%*	5.2	17.6	*55%*	0	*0%*	-1.5	8.8	29.9	*33%*
V	11.0	*-2.4*	56.6	*77%*	6.5	22.2	*37%*	4.3	14.7	*51%*	0	–	-2.5	5.8	21.9	*37%*
VI	18.2	*1.2*	60.9	*75%*	5.9	20.9	*47%*	3.6	12.1	*52%*	0	–	-3.0	5.2	19.5	*44%*
VII	18.3	*-0.4*	119.5	*130%*	5.6	19.1	*41%*	2.7	9.34	*50%*	0	–	-2.6	5.0	17.8	*39%*
VIII	18.1	*-0.3*	43.4	*59%*	3.7	12.7	*46%*	2.5	8.54	*54%*	0	–	-0.8	3.1	11.6	*43%*
IX	14.4	*1.0*	104.0	*154%*	6.0	21.3	*64%*	2.4	8.05	*54%*	0	–	-0.7	5.7	20.1	*61%*
X	8.0	*-0.5*	49.8	*96%*	7.1	24.3	*69%*	2.4	8.32	*56%*	0	*0%*	0.5	6.2	23.6	*68%*
XI	3.2	*-0.8*	63.9	*133%*	12.3	43.5	*107%*	3.1	10.7	*70%*	0.8	*67%*	2.1	12.2	41.8	*103%*
XII	1.4	*2.0*	15.1	*32%*	9.9	33.8	*77%*	3.8	12.8	*81%*	0.3	*5%*	2.6	9.9	33.7	*77%*
2025	9.0	*0.5*	626.9	*89%*	106.6	31.0	*56%*	47.4	13.5	*66%*	7.2	*12%*	-6.8	101.5	30.0	*55%*



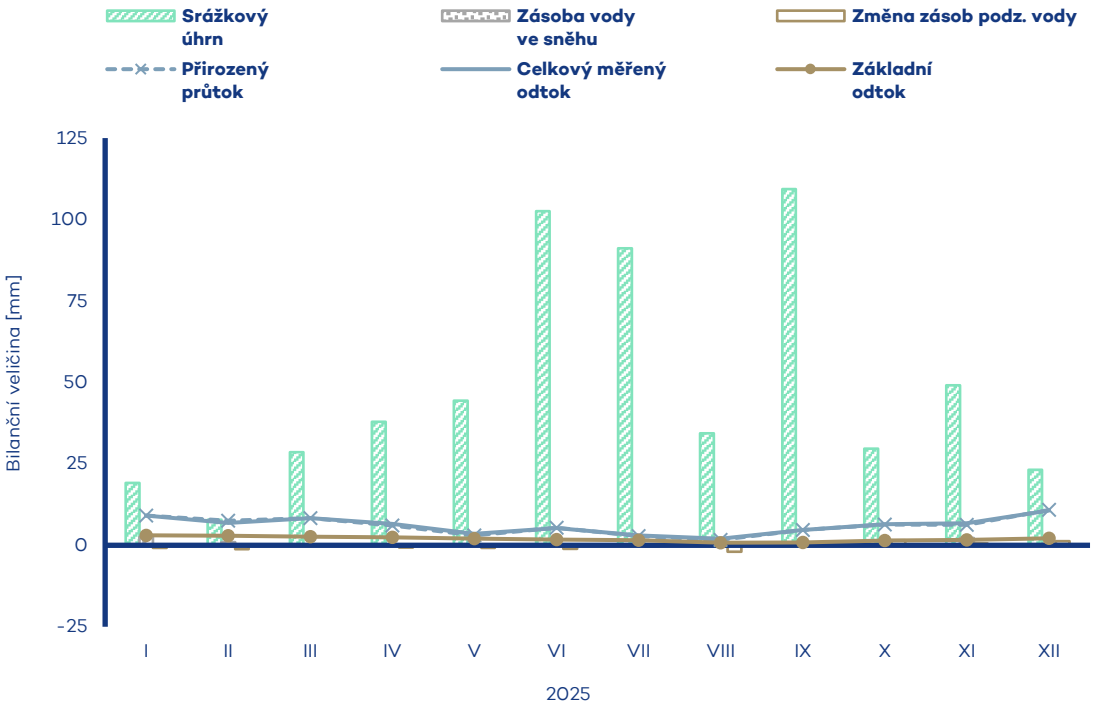
Tok	Bilanční profil	ID stanice	Plocha povodí [km^2]
Morava	**Lanžhot**	**426000**	9726.22

Měsíc	Teplota vzduchu		Srážkový úhrn		Celkový měřený odtok			Základní odtok			Zásoba vody ve sněhu		Změna zásob podz. vody	Přirozený průtok		
	[°C]	[odch.°C]	[mm]	[%norm]	[mm]	[m^3·s^{-1}]	[%norm]	[mm]	[m^3·s^{-1}]	[%norm]	[mm]	[%norm]	[mm]	[mm]	[m^3·s^{-1}]	[%norm]
I	0.5	*2.3*	29.9	*69%*	15.4	55.8	*94%*	5.6	20.5	*114%*	4.4	*24%*	0.7	14.9	54.1	*90%*
II	-0.8	*-0.5*	6.8	*17%*	9.7	38.8	*53%*	5.6	20.3	*95%*	1.1	*5%*	-1.9	10.5	38.2	*52%*
III	5.7	*2.5*	44.9	*98%*	13.1	47.6	*44%*	5.1	18.4	*66%*	0.3	*3%*	0.1	11.7	46.9	*43%*
IV	10.5	*1.6*	31.5	*74%*	8.5	31.8	*35%*	4.9	17.6	*52%*	0	*0%*	-1.1	8.3	30.3	*33%*
V	11.0	*-2.4*	55.5	*76%*	6.0	21.7	*35%*	4.0	14.4	*48%*	0	–	-2.3	5.3	21.3	*34%*
VI	18.2	*1.2*	60.3	*74%*	5.6	21.1	*46%*	3.4	12.3	*51%*	0	–	-2.2	4.9	19.6	*42%*
VII	18.4	*-0.4*	121.7	*134%*	5.3	19.2	*41%*	2.6	9.46	*50%*	0	–	-2.0	4.7	17.7	*37%*
VIII	18.1	*-0.3*	44.1	*61%*	3.4	12.5	*45%*	2.2	8.08	*51%*	0	–	-1.2	2.8	11.3	*39%*
IX	14.5	*1.0*	102.7	*153%*	5.6	21.1	*63%*	2.1	7.50	*51%*	0	–	-0.7	5.3	19.7	*57%*
X	8.0	*-0.5*	48.6	*94%*	6.6	24.0	*67%*	2.2	8.11	*55%*	0	*0%*	0.7	5.8	23.3	*63%*
XI	3.2	*-0.8*	64.0	*135%*	11.8	44.1	*106%*	3.0	10.9	*71%*	0.8	*73%*	2.1	11.7	42.3	*99%*
XII	1.5	*2.0*	15.1	*32%*	9.5	34.5	*78%*	3.6	13.2	*83%*	0.2	*3%*	2.3	9.5	34.3	*75%*
2025	9.1	*0.5*	625.1	*89%*	100.4	31.0	*56%*	44.3	13.4	*64%*	6.8	*11%*	-5.5	95.3	29.9	*53%*



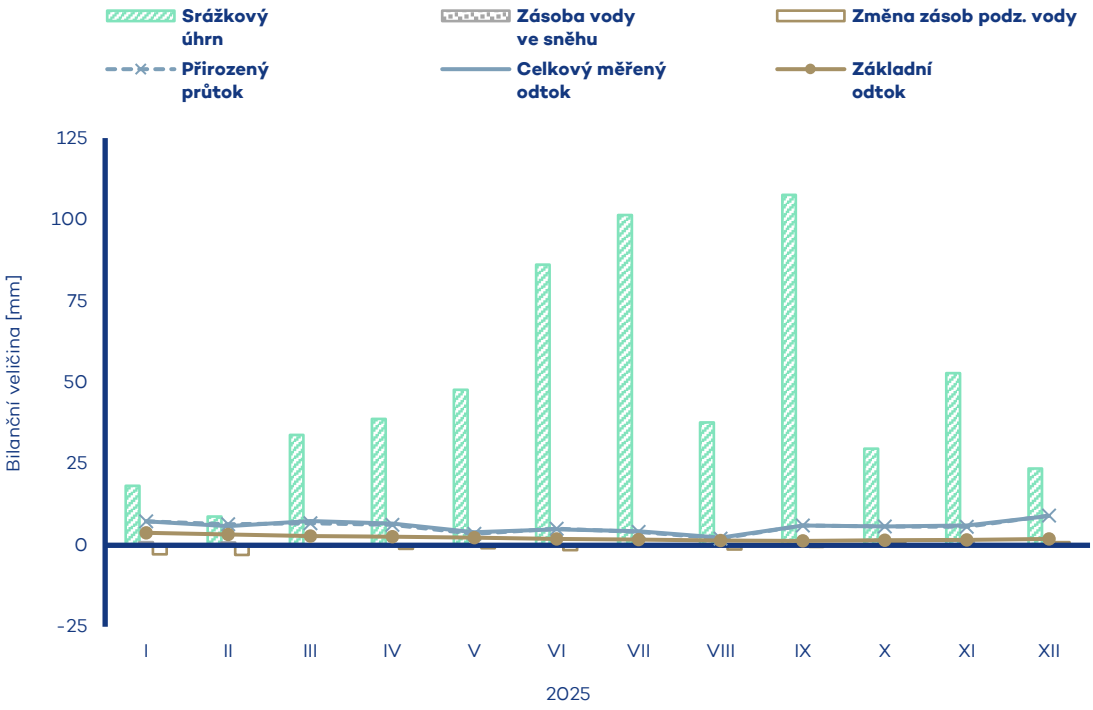
Tok	Bilanční profil	ID stanice	Plocha povodí [km^2]
Moravská Dyje	**Janov**	**429000**	517.69

Měsíc	Teplota vzduchu		Srážkový úhrn		Celkový měřený odtok			Základní odtok			Zásoba vody ve sněhu		Změna zásob podz. vody	Přirozený průtok		
	[°C]	[odch.°C]	[mm]	[%norm]	[mm]	[m^3.s^{-1}]	[%norm]	[mm]	[m^3.s^{-1}]	[%norm]	[mm]	[%norm]	[mm]	[mm]	[m^3.s^{-1}]	[%norm]
I	-1.0	*1.0*	19.1	*43%*	9.1	1.76	*65%*	3.1	0.592	*104%*	2.5	*15%*	-0.8	9.1	1.76	*64%*
II	-1.1	*-0.3*	7.8	*23%*	6.9	1.47	*43%*	2.9	0.559	*76%*	1.0	*6%*	-1.2	7.5	1.46	*42%*
III	5.1	*2.2*	28.6	*60%*	8.3	1.61	*30%*	2.7	0.514	*54%*	0	*0%*	0.1	8.4	1.61	*30%*
IV	9.9	*1.8*	37.9	*105%*	6.5	1.31	*34%*	2.5	0.475	*40%*	0	*0%*	-0.7	6.1	1.31	*34%*
V	11.0	*-1.7*	44.4	*66%*	3.5	0.677	*37%*	2.1	0.403	*43%*	0	–	-0.8	3.0	0.647	*35%*
VI	17.9	*1.7*	102.6	*131%*	5.3	1.05	*65%*	1.7	0.333	*47%*	0	–	-1.1	5.3	1.07	*67%*
VII	17.5	*-0.5*	91.2	*109%*	3.0	0.582	*42%*	1.6	0.300	*53%*	0	–	-0.4	2.8	0.548	*40%*
VIII	17.9	*0.1*	34.4	*45%*	2.0	0.390	*28%*	0.8	0.154	*31%*	0	–	-2.0	1.7	0.361	*26%*
IX	13.7	*0.8*	109.3	*196%*	4.7	0.937	*83%*	0.9	0.167	*37%*	0	–	0.1	4.7	0.934	*85%*
X	7.2	*-0.6*	29.7	*67%*	6.5	1.25	*80%*	1.4	0.274	*62%*	0	–	1.6	6.3	1.23	*79%*
XI	2.0	*-1.0*	49.1	*113%*	6.7	1.35	*82%*	1.7	0.327	*71%*	2.2	*157%*	0.6	6.3	1.35	*83%*
XII	0.3	*1.4*	23.2	*56%*	10.7	2.06	*107%*	2.1	0.412	*85%*	0.5	*8%*	1.3	10.8	2.10	*109%*
2025	8.4	*0.4*	577.3	*88%*	73.2	1.20	*52%*	23.3	0.376	*56%*	6.2	*12%*	-3.3	72.2	1.20	*51%*



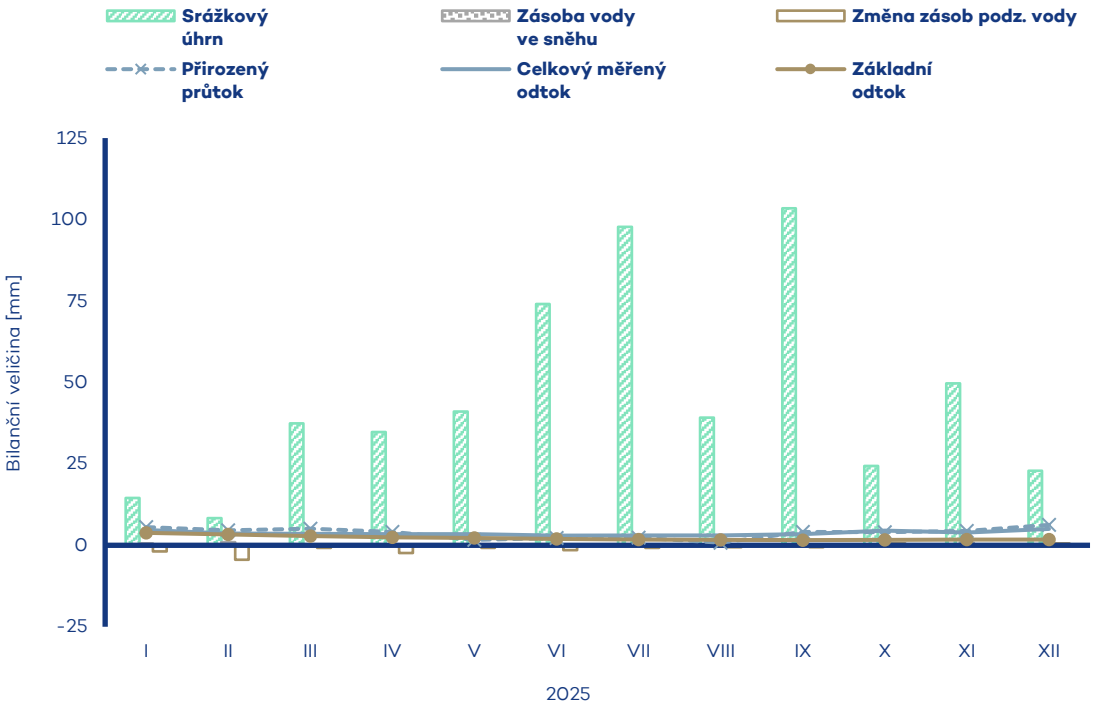
Tok	Bilanční profil	ID stanice	Plocha povodí [km^2]
Dyje	**Podhradí nad Dyjí**	**430000**	1751.54

Měsíc	Teplota vzduchu		Srážkový úhrn		Celkový měřený odtok			Základní odtok			Zásoba vody ve sněhu		Změna zásob podz. vody	Přirozený průtok		
	[°C]	[odch.°C]	[mm]	[%norm]	[mm]	[m^3.s^{-1}]	[%norm]	[mm]	[m^3.s^{-1}]	[%norm]	[mm]	[%norm]	[mm]	[mm]	[m^3.s^{-1}]	[%norm]
I	-0.7	*1.0*	18.3	*44%*	7.3	4.79	*54%*	3.8	2.51	*131%*	1.0	*7%*	-2.8	7.3	4.80	*54%*
II	-1.0	*-0.5*	8.8	*29%*	5.8	4.22	*41%*	3.3	2.16	*95%*	0.9	*5%*	-3.0	6.4	4.21	*40%*
III	5.0	*1.9*	33.9	*75%*	7.4	4.87	*29%*	2.9	1.88	*67%*	0	*0%*	-0.4	6.8	4.90	*29%*
IV	10.1	*1.8*	38.8	*99%*	6.7	4.54	*38%*	2.6	1.72	*49%*	0	*0%*	-1.1	6.3	4.55	*38%*
V	11.2	*-1.7*	47.7	*66%*	4.0	2.60	*40%*	2.3	1.51	*51%*	0	–	-0.9	3.6	2.58	*39%*
VI	18.2	*1.7*	86.2	*101%*	4.9	3.32	*49%*	1.9	1.27	*51%*	0	–	-1.5	5.1	3.33	*49%*
VII	17.7	*-0.5*	101.4	*115%*	4.3	2.82	*50%*	1.8	1.18	*56%*	0	–	-0.2	4.1	2.78	*50%*
VIII	17.9	*0.0*	37.7	*47%*	2.4	1.54	*25%*	1.4	0.938	*48%*	0	–	-1.3	2.1	1.50	*24%*
IX	13.8	*0.8*	107.6	*186%*	6.1	4.13	*97%*	1.3	0.877	*48%*	0	–	-0.5	6.1	4.13	*98%*
X	7.4	*-0.6*	29.7	*65%*	5.8	3.79	*73%*	1.6	1.04	*59%*	0	–	1.0	5.8	3.77	*72%*
XI	2.1	*-1.0*	52.8	*122%*	6.1	4.12	*73%*	1.7	1.10	*63%*	1.2	*92%*	0.1	5.7	4.13	*73%*
XII	0.4	*1.2*	23.6	*59%*	9.0	5.89	*89%*	1.9	1.25	*71%*	0.3	*6%*	1.0	9.1	5.97	*90%*
2025	8.5	*0.3*	586.5	*88%*	69.9	3.88	*49%*	26.6	1.45	*64%*	3.4	*7%*	-9.6	68.4	3.89	*49%*



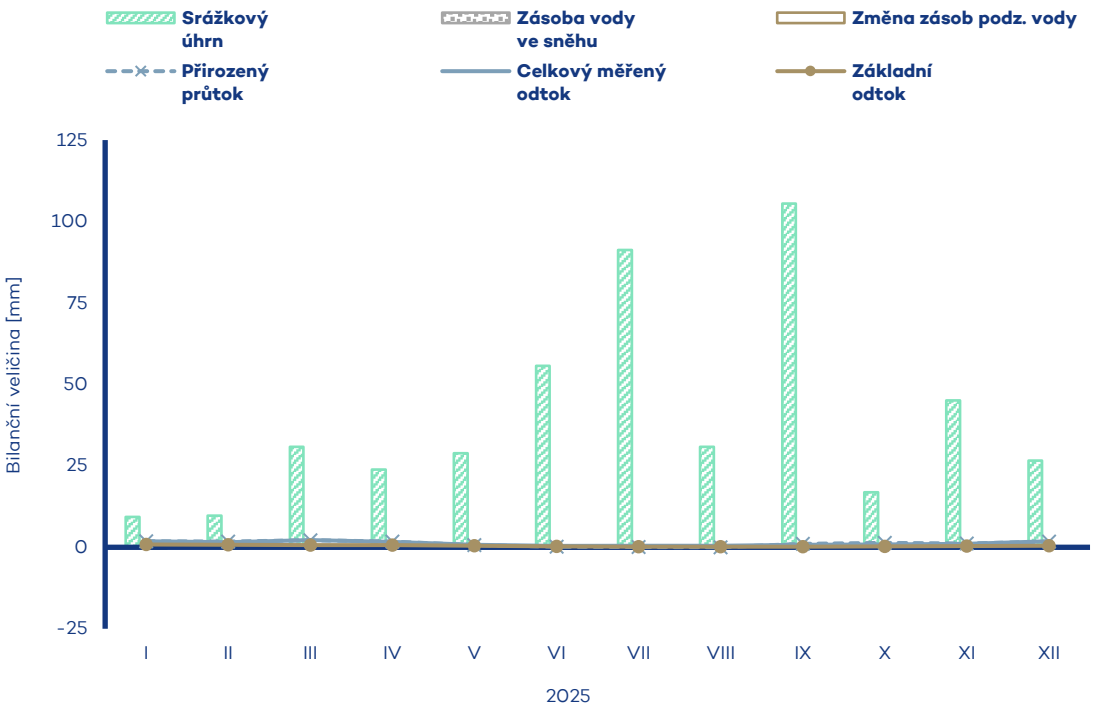
Tok	Bilanční profil	ID stanice	Plocha povodí [km^2]
Dyje	**Trávní Dvůr**	**437000**	3524.62

Měsíc	Teplota vzduchu		Srážkový úhrn		Celkový měřený odtok			Základní odtok			Zásoba vody ve sněhu		Změna zásob podz. vody	Přirozený průtok		
	[°C]	[odch.°C]	[mm]	[%norm]	[mm]	[m^3.s^{-1}]	[%norm]	[mm]	[m^3.s^{-1}]	[%norm]	[mm]	[%norm]	[mm]	[mm]	[m^3.s^{-1}]	[%norm]
I	-0.2	*1.1*	14.5	*42%*	4.7	6.15	*60%*	3.8	5.03	*138%*	0.6	*5%*	-1.9	5.6	7.31	*63%*
II	-0.6	*-0.5*	8.3	*32%*	3.6	5.27	*45%*	3.3	4.32	*111%*	1.0	*8%*	-4.4	4.6	6.10	*46%*
III	5.7	*2.0*	37.4	*94%*	3.5	4.64	*28%*	2.8	3.71	*81%*	0	*0%*	-0.8	5.1	7.36	*34%*
IV	10.8	*1.7*	34.8	*97%*	3.5	4.72	*29%*	2.4	3.22	*58%*	0	*0%*	-2.4	4.1	5.93	*37%*
V	12.0	*-1.7*	41.1	*62%*	3.4	4.50	*50%*	2.2	2.91	*56%*	0	–	-0.8	1.7	2.41	*28%*
VI	18.9	*1.6*	74.1	*94%*	3.0	4.05	*46%*	2.0	2.63	*56%*	0	–	-1.5	2.3	2.99	*36%*
VII	18.6	*-0.5*	97.7	*121%*	3.0	3.93	*44%*	1.8	2.34	*53%*	0	–	-0.8	2.3	3.15	*44%*
VIII	18.7	*-0.1*	39.2	*53%*	3.0	3.99	*44%*	1.7	2.19	*52%*	0	–	-0.6	0.8	1.16	*17%*
IX	14.6	*0.9*	103.4	*183%*	3.4	4.67	*65%*	1.6	2.11	*53%*	0	–	-0.6	4.1	5.55	*100%*
X	8.1	*-0.5*	24.4	*59%*	4.5	5.92	*76%*	1.7	2.20	*57%*	0	–	0.6	4.0	5.25	*73%*
XI	2.7	*-1.0*	49.7	*128%*	3.9	5.35	*76%*	1.8	2.31	*63%*	0.8	*89%*	0.1	4.4	6.46	*89%*
XII	0.8	*1.3*	22.9	*65%*	5.0	6.60	*89%*	1.8	2.36	*66%*	0.2	*5%*	0.6	6.3	8.24	*93%*
2025	9.2	*0.4*	547.5	*90%*	44.6	4.98	*50%*	26.8	2.94	*69%*	2.6	*7%*	-12.5	45.1	5.16	*50%*



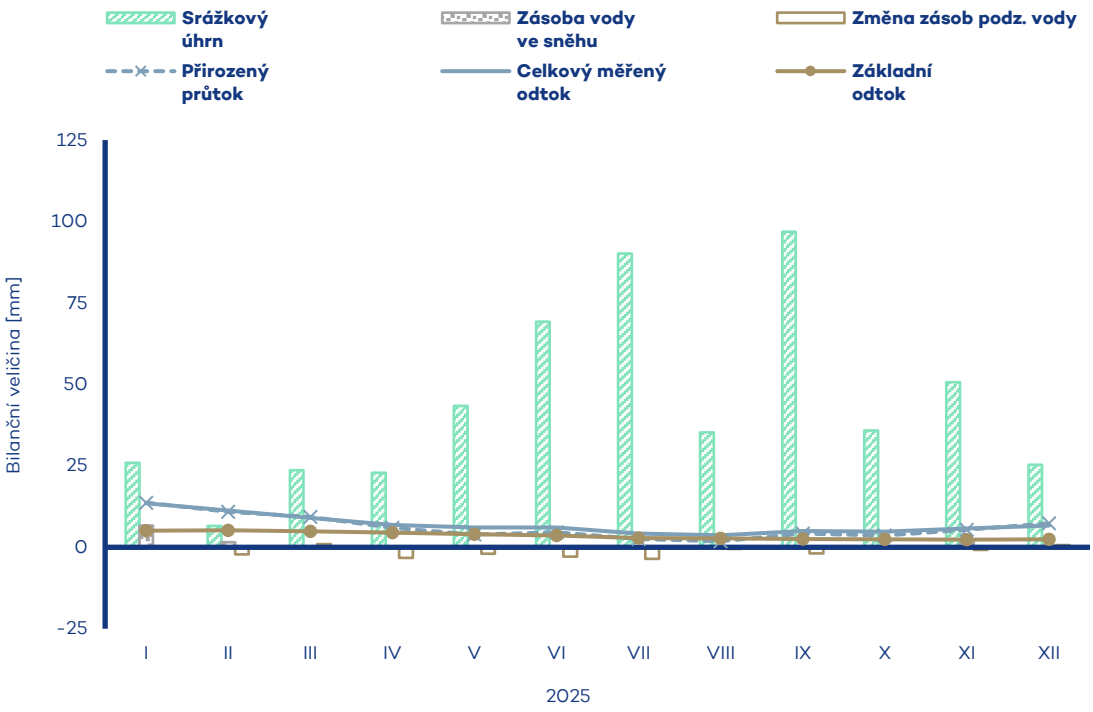
Tok	Bilanční profil	ID stanice	Plocha povodí [km^2]
Jevišovka	**Božice**	**440000**	643.30

Měsíc	Teplota vzduchu		Srážkový úhrn		Celkový měřený odtok			Základní odtok			Zásoba vody ve sněhu		Změna zásob podz. vody	Přirozený průtok		
	[°C]	[odch.°C]	[mm]	[%norm]	[mm]	[m^3·s^{-1}]	[%norm]	[mm]	[m^3·s^{-1}]	[%norm]	[mm]	[%norm]	[mm]	[mm]	[m^3·s^{-1}]	[%norm]
I	0.2	*1.3*	9.3	*37%*	1.8	0.444	*55%*	0.8	0.204	*85%*	0.1	*1%*	-0.4	1.8	0.439	*51%*
II	-0.2	*-0.5*	9.7	*49%*	1.6	0.418	*50%*	0.7	0.174	*66%*	1.3	*17%*	-0.3	1.8	0.426	*46%*
III	6.4	*2.2*	30.8	*96%*	2.2	0.532	*39%*	0.7	0.170	*53%*	0	*0%*	0.1	2.2	0.523	*33%*
IV	11.5	*1.7*	23.9	*78%*	1.7	0.412	*35%*	0.7	0.169	*38%*	0	*0%*	-0.1	1.7	0.412	*32%*
V	12.8	*-1.5*	28.9	*48%*	0.8	0.196	*31%*	0.5	0.126	*40%*	0	–	-0.2	0.7	0.167	*26%*
VI	19.6	*1.7*	55.7	*80%*	0.4	0.108	*16%*	0.3	0.077	*30%*	0	–	-0.4	0.2	0.053	*8%*
VII	19.6	*-0.4*	91.3	*128%*	0.4	0.105	*19%*	0.2	0.052	*25%*	0	–	-0.1	0.1	0.024	*5%*
VIII	19.6	*0.0*	30.8	*48%*	0.5	0.120	*21%*	0.2	0.044	*22%*	0	–	-0.1	0.0	0.006	*1%*
IX	15.4	*1.0*	105.5	*195%*	0.8	0.188	*30%*	0.2	0.050	*25%*	0	–	0.0	1.1	0.268	*50%*
X	8.7	*-0.3*	16.9	*48%*	0.9	0.218	*30%*	0.3	0.065	*28%*	0	–	0.1	1.4	0.330	*46%*
XI	3.3	*-0.8*	45.1	*138%*	1.0	0.255	*39%*	0.3	0.080	*35%*	0.3	*75%*	0.1	1.1	0.300	*49%*
XII	1.3	*1.5*	26.6	*94%*	1.8	0.434	*71%*	0.4	0.107	*47%*	0.1	*3%*	0.2	1.8	0.422	*67%*
2025	9.9	*0.5*	474.5	*91%*	14.0	0.286	*37%*	5.5	0.110	*42%*	1.8	*8%*	-1.1	13.9	0.281	*36%*



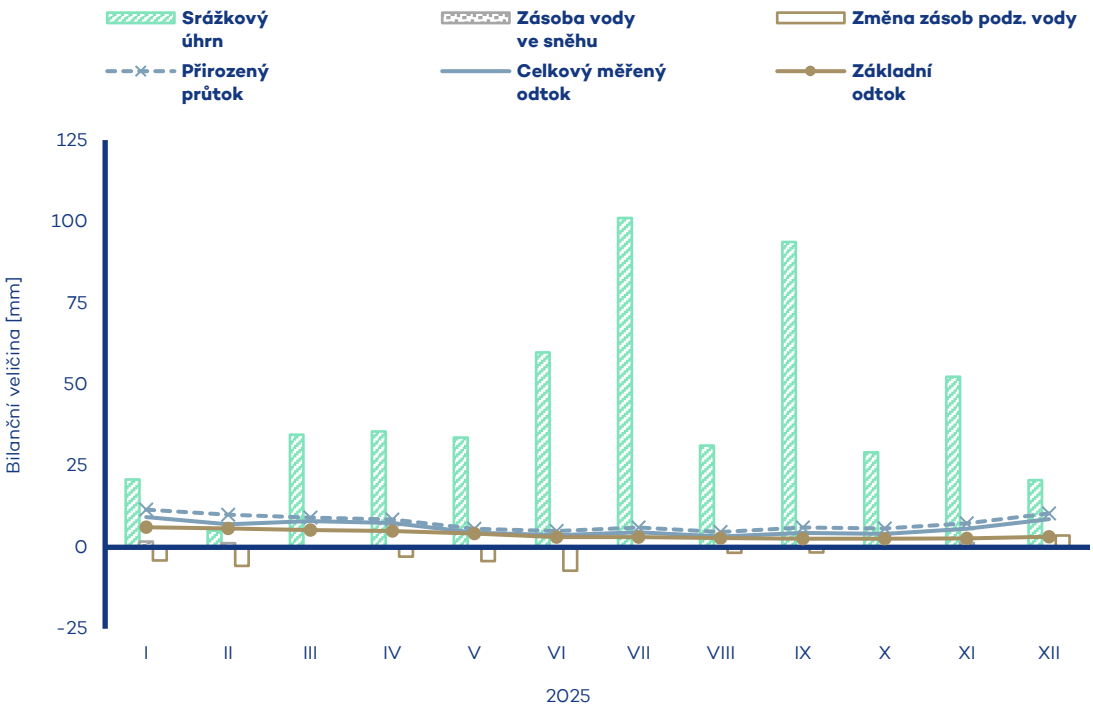
Tok	Bilanční profil	ID stanice	Plocha povodí [km^2]
Svratka	**Veverská Bítýška**	**448000**	1479.97

Měsíc	Teplota vzduchu		Srážkový úhrn		Celkový měřený odtok			Základní odtok			Zásoba vody ve sněhu		Změna zásob podz. vody	Přirozený průtok		
	[°C]	[odch.°C]	[mm]	[%norm]	[mm]	[m^3·s^{-1}]	[%norm]	[mm]	[m^3·s^{-1}]	[%norm]	[mm]	[%norm]	[mm]	[mm]	[m^3·s^{-1}]	[%norm]
I	-0.8	*1.5*	25.9	*57%*	13.5	7.47	*96%*	5.1	2.82	*118%*	6.7	*31%*	0.3	13.7	7.57	*91%*
II	-1.6	*-0.5*	6.6	*18%*	11.3	6.92	*70%*	5.2	2.89	*108%*	1.6	*7%*	-2.2	10.9	6.03	*55%*
III	5.2	*2.7*	23.7	*50%*	9.0	4.97	*33%*	4.9	2.70	*84%*	0	*0%*	1.0	9.3	5.12	*29%*
IV	9.9	*1.9*	22.9	*62%*	6.8	3.90	*33%*	4.5	2.47	*63%*	0	*0%*	-3.3	6.0	3.31	*29%*
V	10.8	*-1.8*	43.4	*63%*	6.1	3.37	*48%*	4.0	2.20	*60%*	0	–	-2.0	3.9	2.40	*37%*
VI	17.9	*1.7*	69.3	*90%*	6.1	3.46	*58%*	3.6	1.99	*61%*	0	–	-2.9	4.6	2.53	*47%*
VII	17.8	*-0.2*	90.2	*104%*	4.2	2.32	*36%*	2.9	1.59	*53%*	0	–	-3.6	2.5	1.41	*24%*
VIII	17.8	*0.1*	35.3	*48%*	3.7	2.04	*45%*	2.8	1.54	*56%*	0	–	-0.5	1.9	1.15	*31%*
IX	13.7	*1.1*	96.9	*163%*	5.0	2.85	*65%*	2.5	1.40	*55%*	0	–	-1.9	4.2	2.41	*60%*
X	7.3	*-0.4*	35.8	*79%*	4.8	2.68	*52%*	2.4	1.33	*55%*	0	*0%*	-0.2	3.6	2.20	*49%*
XI	2.3	*-0.6*	50.7	*114%*	5.7	3.28	*57%*	2.4	1.30	*55%*	1.6	*89%*	-0.8	5.4	3.30	*63%*
XII	0.6	*2.0*	25.3	*57%*	6.7	3.68	*61%*	2.4	1.33	*56%*	0.5	*6%*	0.7	7.4	4.07	*68%*
2025	8.4	*0.6*	526.0	*79%*	83.0	3.91	*52%*	42.6	1.96	*68%*	10.4	*15%*	-15.4	73.4	3.46	*46%*



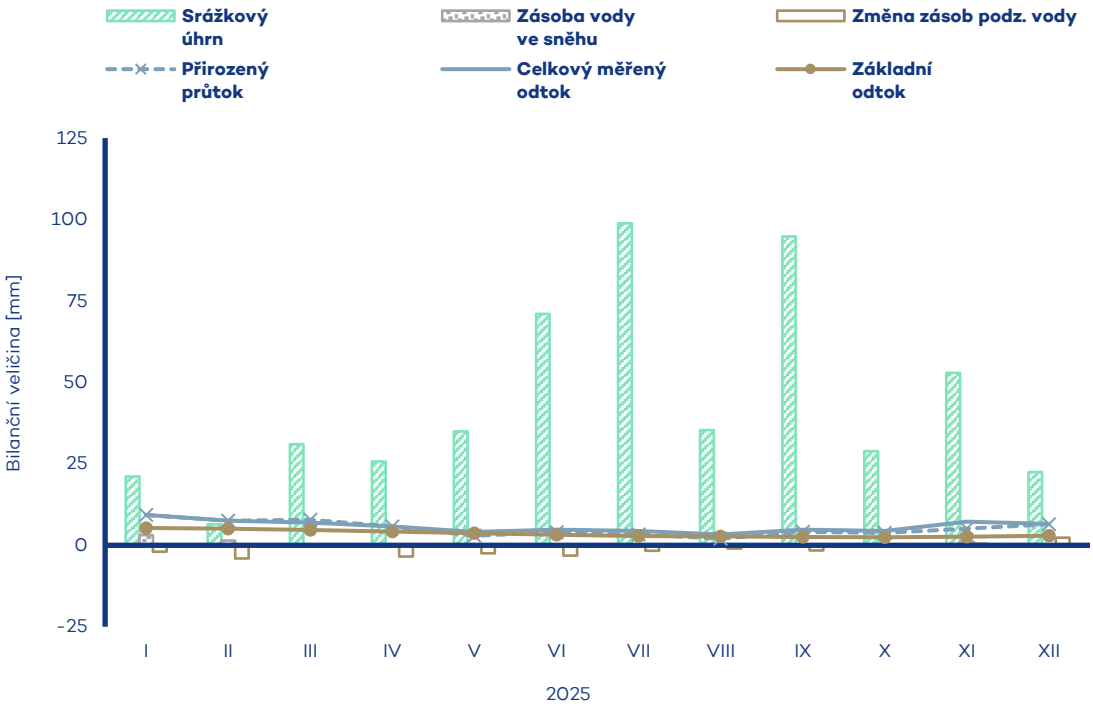
Tok	Bilanční profil	ID stanice	Plocha povodí [km^2]
Svitava	**Bílovice nad Svitavou**	**457000**	1120.18

Měsíc	Teplota vzduchu		Srážkový úhrn		Celkový měřený odtok			Základní odtok			Zásoba vody ve sněhu		Změna zásob podz. vody	Přirozený průtok		
	[°C]	[odch.°C]	[mm]	[%norm]	[mm]	[m^3.s^{-1}]	[%norm]	[mm]	[m^3.s^{-1}]	[%norm]	[mm]	[%norm]	[mm]	[mm]	[m^3.s^{-1}]	[%norm]
I	-0.5	*1.6*	20.8	*60%*	9.3	3.88	*107%*	6.1	2.57	*151%*	1.8	*12%*	-4.0	11.6	4.83	*104%*
II	-1.3	*-0.6*	5.1	*17%*	7.1	3.28	*74%*	5.8	2.43	*131%*	1.3	*8%*	-5.7	10.0	4.17	*73%*
III	5.5	*2.7*	34.6	*84%*	8.1	3.37	*49%*	5.3	2.22	*101%*	0	*0%*	0.3	9.1	4.23	*50%*
IV	10.3	*1.9*	35.6	*98%*	7.5	3.24	*59%*	5.0	2.09	*79%*	0	*0%*	-2.9	8.5	3.95	*60%*
V	11.0	*-1.9*	33.7	*51%*	4.5	1.89	*46%*	4.2	1.75	*70%*	0	–	-4.2	5.7	2.65	*52%*
VI	18.1	*1.7*	59.8	*81%*	3.7	1.61	*46%*	3.2	1.33	*59%*	0	–	-7.2	5.0	2.30	*53%*
VII	18.1	*-0.2*	101.1	*115%*	4.6	1.93	*52%*	3.1	1.30	*64%*	0	–	0.3	6.0	2.61	*58%*
VIII	18.0	*0.0*	31.2	*43%*	3.3	1.39	*51%*	2.8	1.19	*63%*	0	–	-1.7	4.7	1.96	*56%*
IX	14.0	*1.0*	93.7	*160%*	4.4	1.89	*66%*	2.7	1.12	*62%*	0	–	-1.6	6.1	2.64	*73%*
X	7.6	*-0.4*	29.2	*68%*	4.1	1.73	*58%*	2.6	1.11	*62%*	0	–	0.3	5.8	2.41	*64%*
XI	2.6	*-0.7*	52.4	*134%*	5.7	2.46	*89%*	2.7	1.13	*65%*	1.4	*140%*	-0.2	7.3	3.40	*91%*
XII	0.9	*2.0*	20.6	*56%*	8.7	3.62	*121%*	3.2	1.33	*78%*	0.3	*5%*	3.6	10.4	4.36	*111%*
2025	8.7	*0.6*	517.8	*83%*	70.9	2.52	*66%*	46.8	1.63	*81%*	4.8	*11%*	-23.0	90.3	3.29	*68%*



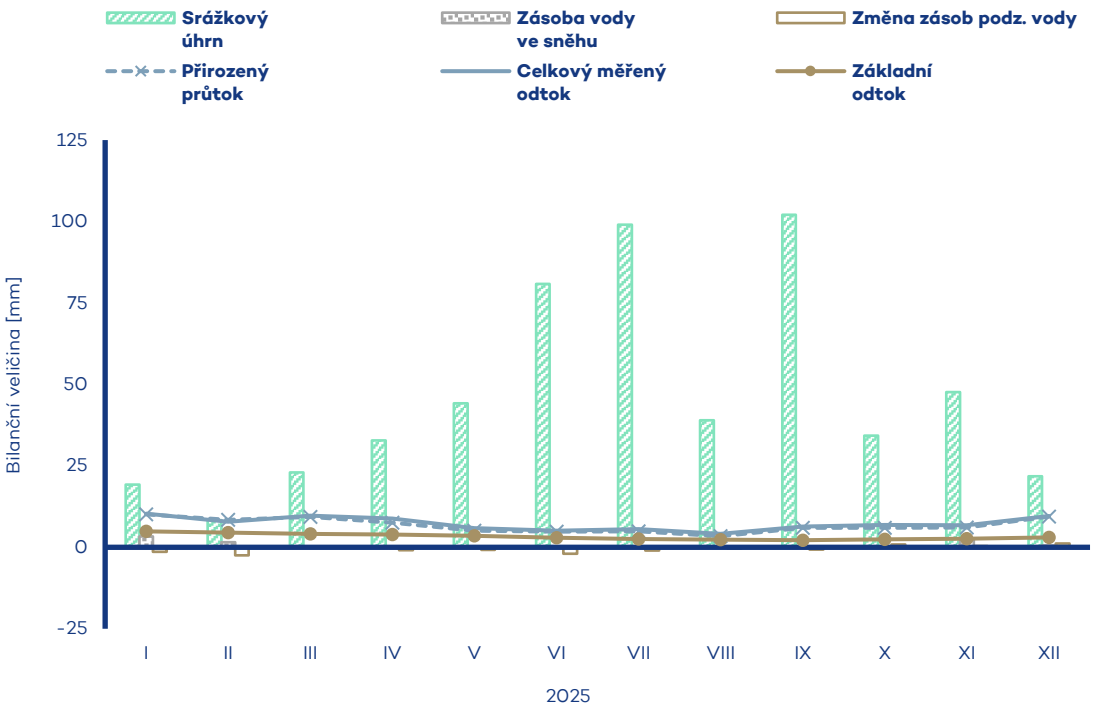
Tok	Bilanční profil	ID stanice	Plocha povodí [km^2]
Svratka	**Židlochovice**	**462000**	3937.78

Měsíc	Teplota vzduchu		Srážkový úhrn		Celkový měřený odtok			Základní odtok			Zásoba vody ve sněhu		Změna zásob podz. vody	Přirozený průtok		
	[°C]	[odch.°C]	[mm]	[%norm]	[mm]	[m^3·s^{-1}]	[%norm]	[mm]	[m^3·s^{-1}]	[%norm]	[mm]	[%norm]	[mm]	[mm]	[m^3·s^{-1}]	[%norm]
I	-0.2	*1.6*	21.1	*58%*	9.3	13.7	*95%*	5.3	7.83	*134%*	3.1	*21%*	-2.0	9.3	13.6	*93%*
II	-1.1	*-0.6*	6.5	*21%*	7.5	12.3	*71%*	5.1	7.56	*117%*	1.5	*9%*	-4.0	7.5	11.1	*58%*
III	5.8	*2.6*	31.0	*75%*	6.9	10.2	*42%*	4.7	6.91	*92%*	0	*0%*	0.3	7.8	11.5	*39%*
IV	10.6	*1.8*	25.7	*74%*	5.8	8.80	*43%*	4.3	6.25	*70%*	0	*0%*	-3.5	5.8	8.57	*42%*
V	11.5	*-1.9*	35.0	*54%*	4.1	6.06	*44%*	3.7	5.44	*66%*	0	–	-2.5	3.0	4.84	*37%*
VI	18.5	*1.6*	71.0	*96%*	4.8	7.30	*59%*	3.3	4.79	*65%*	0	–	-3.2	4.0	5.85	*52%*
VII	18.5	*-0.3*	98.8	*118%*	4.4	6.42	*52%*	2.9	4.21	*63%*	0	–	-1.7	3.3	5.05	*44%*
VIII	18.4	*0.0*	35.4	*51%*	3.3	4.88	*52%*	2.7	3.96	*64%*	0	–	-1.0	2.0	3.30	*40%*
IX	14.4	*1.0*	94.8	*165%*	4.8	7.26	*75%*	2.5	3.67	*62%*	0	–	-1.6	4.1	6.30	*72%*
X	7.9	*-0.4*	28.9	*68%*	4.5	6.55	*61%*	2.5	3.63	*62%*	0	*0%*	0.2	3.8	5.57	*59%*
XI	2.8	*-0.7*	52.9	*131%*	7.2	11.0	*92%*	2.6	3.87	*66%*	1.1	*100%*	0.5	5.1	8.28	*81%*
XII	1.1	*1.9*	22.5	*59%*	6.6	9.69	*84%*	2.9	4.30	*74%*	0.3	*5%*	2.3	6.5	9.55	*86%*
2025	9.0	*0.6*	523.6	*85%*	69.3	8.68	*62%*	42.5	5.20	*77%*	6.0	*13%*	-16.2	62.3	7.79	*56%*



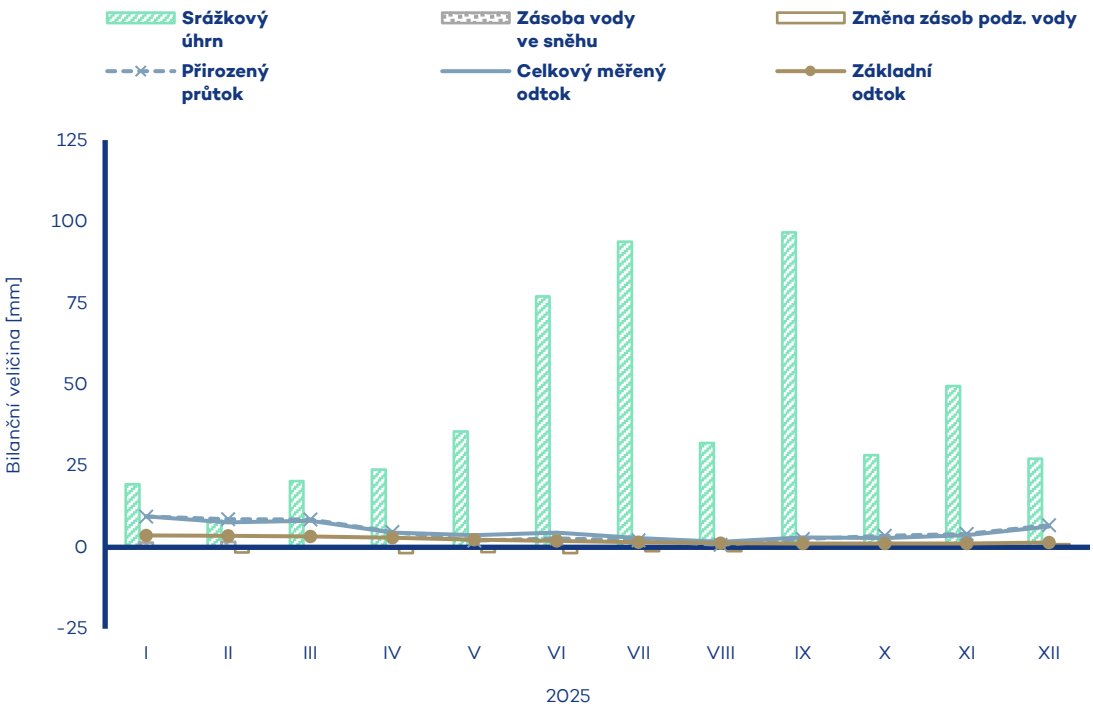
Tok	Bilanční profil	ID stanice	Plocha povodí [km^2]
Jihlava	**Třebíč-Ptáčov**	**469000**	962.99

Měsíc	Teplota vzduchu		Srážkový úhrn		Celkový měřený odtok			Základní odtok			Zásoba vody ve sněhu		Změna zásob podz. vody	Přirozený průtok		
	[°C]	[odch.°C]	[mm]	[%norm]	[mm]	[m^3.s^{-1}]	[%norm]	[mm]	[m^3.s^{-1}]	[%norm]	[mm]	[%norm]	[mm]	[mm]	[m^3.s^{-1}]	[%norm]
I	-1.0	*1.0*	19.2	*45%*	10.3	3.71	*68%*	4.9	1.76	*107%*	3.3	*18%*	-1.4	10.1	3.63	*67%*
II	-1.5	*-0.5*	8.3	*25%*	7.9	3.13	*46%*	4.5	1.61	*79%*	1.6	*8%*	-2.5	8.4	3.04	*45%*
III	4.4	*1.8*	23.0	*51%*	9.7	3.50	*33%*	4.1	1.48	*57%*	0	*0%*	0.3	9.4	3.37	*32%*
IV	9.5	*1.6*	32.8	*90%*	8.8	3.27	*43%*	3.9	1.41	*44%*	0	*0%*	-0.9	7.5	3.00	*40%*
V	10.4	*-2.1*	44.2	*62%*	5.9	2.12	*48%*	3.5	1.27	*50%*	0	–	-0.8	5.1	2.01	*47%*
VI	17.4	*1.4*	80.8	*105%*	5.1	1.89	*49%*	3.0	1.06	*53%*	0	–	-2.0	4.8	1.73	*46%*
VII	17.1	*-0.6*	99.0	*117%*	5.6	2.00	*58%*	2.5	0.903	*54%*	0	–	-1.0	4.9	1.81	*55%*
VIII	17.1	*-0.3*	39.0	*49%*	4.1	1.49	*43%*	2.4	0.852	*54%*	0	–	-0.4	3.4	1.36	*41%*
IX	13.0	*0.6*	102.1	*175%*	6.3	2.36	*72%*	2.2	0.783	*53%*	0	–	-0.7	6.0	2.23	*71%*
X	7.0	*-0.6*	34.3	*76%*	6.8	2.46	*67%*	2.4	0.872	*60%*	0	*0%*	0.9	5.9	2.37	*66%*
XI	1.7	*-1.2*	47.6	*113%*	6.8	2.53	*70%*	2.7	0.957	*66%*	2.2	*147%*	0.4	6.0	2.40	*69%*
XII	0.3	*1.4*	21.8	*54%*	9.6	3.46	*85%*	3.0	1.08	*73%*	0.6	*9%*	1.2	9.4	3.38	*85%*
2025	8.0	*0.2*	552.1	*84%*	87.0	2.66	*53%*	39.0	1.17	*61%*	7.7	*14%*	-6.9	81.0	2.53	*52%*



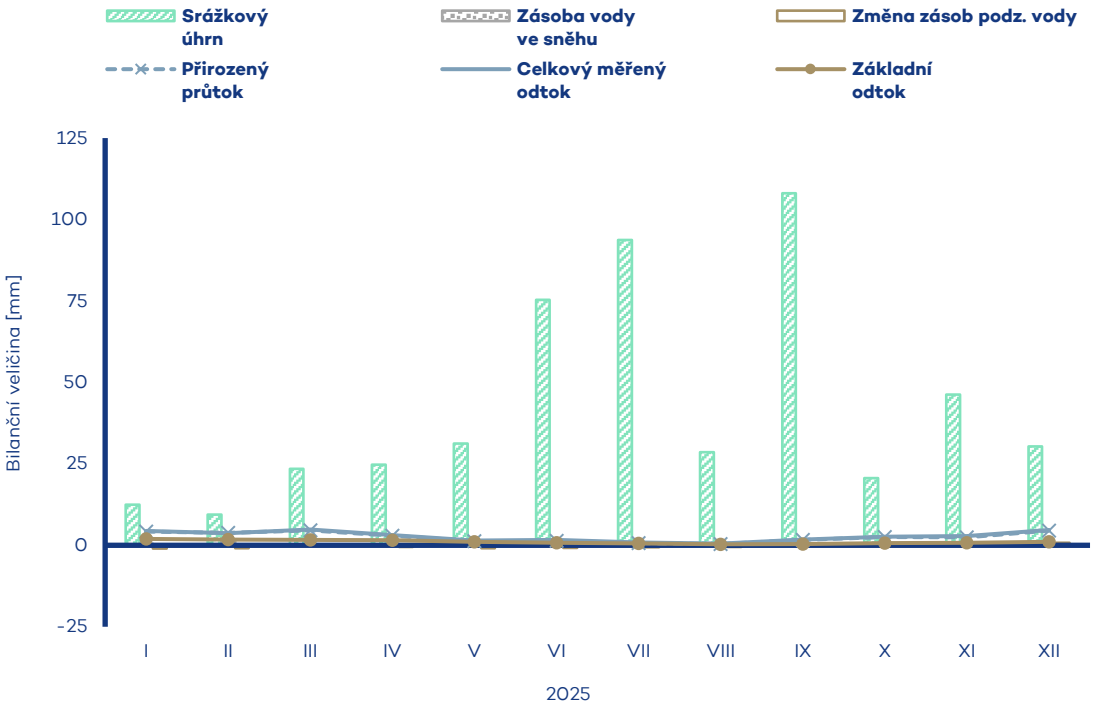
Tok	Bilanční profil	ID stanice	Plocha povodí [km^2]
Oslava	**Oslavany**	**474000**	862.22

Měsíc	Teplota vzduchu		Srážkový úhrn		Celkový měřený odtok			Základní odtok			Zásoba vody ve sněhu		Změna zásob podz. vody	Přirozený průtok		
	[°C]	[odch.°C]	[mm]	[%norm]	[mm]	[m^3·s^{-1}]	[%norm]	[mm]	[m^3·s^{-1}]	[%norm]	[mm]	[%norm]	[mm]	[mm]	[m^3·s^{-1}]	[%norm]
I	-0.8	*1.1*	19.3	*53%*	9.5	3.05	*90%*	3.6	1.17	*141%*	1.5	*10%*	-0.1	9.5	3.04	*88%*
II	-1.4	*-0.7*	8.3	*28%*	7.7	2.73	*59%*	3.6	1.15	*110%*	1.7	*11%*	-1.6	8.7	2.79	*59%*
III	5.1	*2.2*	20.3	*51%*	8.1	2.62	*36%*	3.3	1.06	*77%*	0	*0%*	0.3	8.6	2.75	*36%*
IV	10.1	*1.7*	23.9	*71%*	4.5	1.50	*31%*	2.9	0.934	*55%*	0	*0%*	-1.8	4.7	1.52	*31%*
V	11.2	*-1.9*	35.6	*54%*	3.8	1.21	*46%*	2.4	0.766	*57%*	0	–	-1.5	2.1	0.745	*29%*
VI	18.2	*1.6*	77.0	*105%*	4.5	1.49	*61%*	1.9	0.625	*58%*	0	–	-1.8	2.7	0.868	*37%*
VII	18.1	*-0.3*	93.8	*118%*	2.8	0.899	*43%*	1.5	0.496	*55%*	0	–	-1.2	2.2	0.717	*37%*
VIII	18.1	*0.0*	32.0	*46%*	1.7	0.540	*31%*	1.2	0.392	*49%*	0	–	-1.2	0.7	0.266	*16%*
IX	13.9	*0.9*	96.7	*175%*	3.0	1.00	*49%*	1.2	0.372	*47%*	0	–	-0.4	2.5	0.842	*44%*
X	7.5	*-0.4*	28.3	*69%*	2.8	0.902	*38%*	1.2	0.373	*45%*	0	*0%*	0.2	3.5	1.13	*45%*
XI	2.3	*-1.0*	49.5	*124%*	3.7	1.25	*59%*	1.2	0.380	*47%*	1.3	*100%*	-0.1	4.1	1.46	*69%*
XII	0.6	*1.7*	27.2	*73%*	6.3	2.04	*86%*	1.4	0.459	*58%*	0.4	*6%*	1.0	6.8	2.19	*92%*
2025	8.6	*0.4*	511.9	*85%*	58.4	1.60	*51%*	25.4	0.682	*66%*	4.9	*11%*	-8.2	56.0	1.53	*48%*



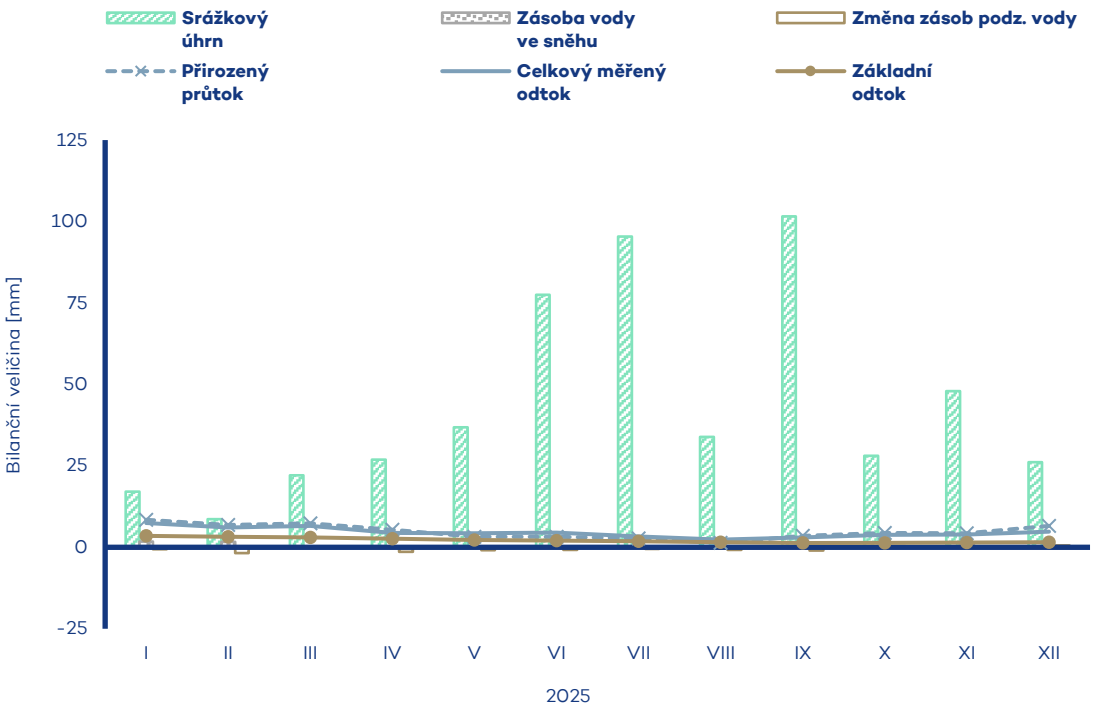
Tok	Bilanční profil	ID stanice	Plocha povodí [km^2]
Rokytná	**Moravský Krumlov**	**477000**	561.23

Měsíc	Teplota vzduchu		Srážkový úhrn		Celkový měřený odtok			Základní odtok			Zásoba vody ve sněhu		Změna zásob podz. vody	Přirozený průtok		
	[°C]	[odch.°C]	[mm]	[%norm]	[mm]	[m^3·s^{-1}]	[%norm]	[mm]	[m^3·s^{-1}]	[%norm]	[mm]	[%norm]	[mm]	[mm]	[m^3·s^{-1}]	[%norm]
I	-0.3	*1.2*	12.5	*44%*	4.4	0.925	*77%*	2.0	0.411	*119%*	0.5	*5%*	-1.0	4.2	0.873	*76%*
II	-0.6	*-0.5*	9.4	*43%*	3.7	0.859	*58%*	1.8	0.367	*89%*	1.7	*19%*	-0.9	3.9	0.809	*56%*
III	5.9	*2.3*	23.5	*68%*	4.8	1.01	*40%*	1.7	0.357	*68%*	0	*0%*	0.2	4.6	0.958	*39%*
IV	10.9	*1.7*	24.7	*77%*	3.1	0.675	*37%*	1.5	0.320	*47%*	0	*0%*	-0.5	3.0	0.619	*35%*
V	12.1	*-1.6*	31.2	*50%*	1.5	0.307	*28%*	1.1	0.232	*43%*	0	–	-0.9	1.2	0.257	*25%*
VI	19.0	*1.6*	75.3	*106%*	1.6	0.348	*33%*	0.8	0.169	*40%*	0	–	-0.8	1.4	0.289	*29%*
VII	18.9	*-0.3*	93.7	*125%*	0.9	0.188	*25%*	0.5	0.112	*35%*	0	–	-0.6	0.7	0.143	*20%*
VIII	19.1	*0.1*	28.6	*43%*	0.5	0.108	*14%*	0.3	0.065	*23%*	0	–	-0.5	0.4	0.086	*12%*
IX	14.8	*1.0*	108.1	*202%*	1.8	0.390	*50%*	0.4	0.078	*29%*	0	–	0.1	1.6	0.348	*47%*
X	8.2	*-0.3*	20.6	*55%*	2.7	0.562	*59%*	0.6	0.131	*43%*	0	–	0.6	2.5	0.531	*58%*
XI	2.8	*-0.8*	46.3	*133%*	2.8	0.610	*67%*	0.8	0.170	*54%*	0.9	*129%*	0.4	2.4	0.568	*65%*
XII	0.9	*1.5*	30.3	*98%*	4.7	0.983	*97%*	1.1	0.229	*71%*	0.1	*3%*	0.8	4.5	0.936	*96%*
2025	9.3	*0.5*	504.2	*92%*	32.6	0.581	*49%*	12.6	0.220	*56%*	3.2	*12%*	-3.1	30.3	0.535	*47%*



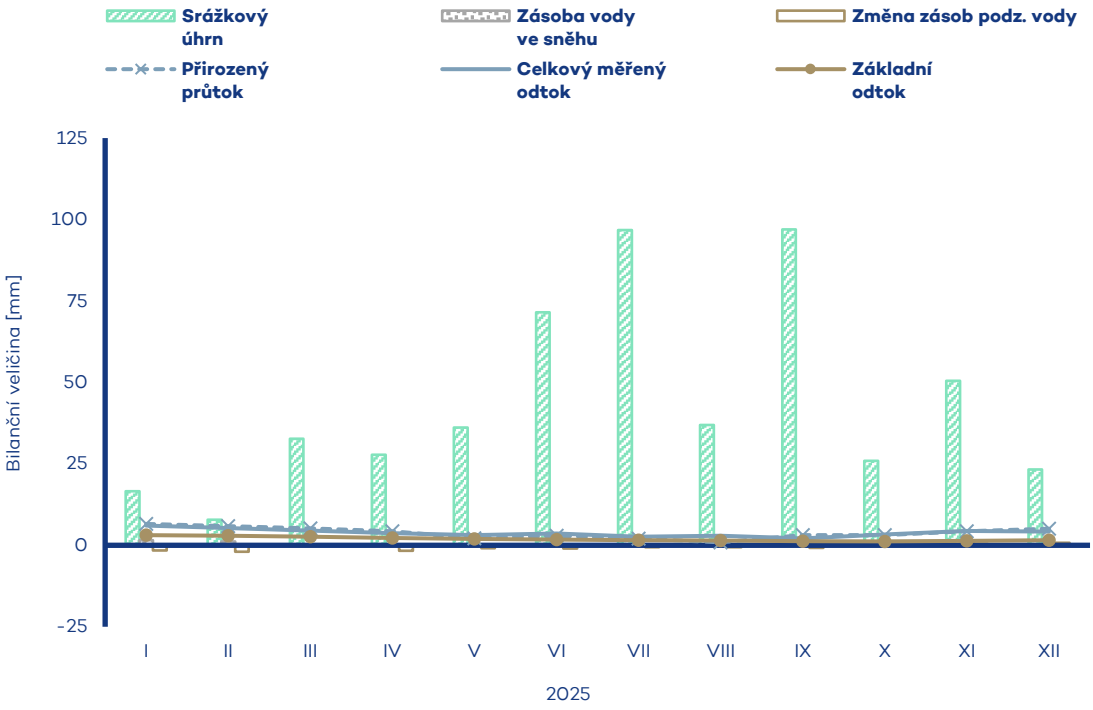
Tok	Bilanční profil	ID stanice	Plocha povodí [km^2]
Jihlava	**Ivančice**	**478000**	2679.70

Měsíc	Teplota vzduchu		Srážkový úhrn		Celkový měřený odtok			Základní odtok			Zásoba vody ve sněhu		Změna zásob podz. vody	Přirozený průtok		
	[°C]	[odch.°C]	[mm]	[%norm]	[mm]	[m^3.s^{-1}]	[%norm]	[mm]	[m^3.s^{-1}]	[%norm]	[mm]	[%norm]	[mm]	[mm]	[m^3.s^{-1}]	[%norm]
I	-0.7	*1.1*	17.1	*47%*	7.5	7.46	*82%*	3.5	3.50	*123%*	1.8	*12%*	-0.6	8.4	8.45	*82%*
II	-1.2	*-0.6*	8.6	*30%*	6.1	6.71	*58%*	3.2	3.24	*95%*	1.7	*12%*	-1.8	6.9	6.87	*52%*
III	5.1	*2.1*	22.1	*55%*	6.6	6.60	*36%*	3.0	3.00	*68%*	0	*0%*	0.2	7.4	7.41	*35%*
IV	10.2	*1.7*	26.9	*79%*	4.5	4.60	*31%*	2.6	2.64	*47%*	0	*0%*	-1.4	5.4	5.40	*35%*
V	11.2	*-1.9*	36.8	*55%*	4.3	4.29	*50%*	2.3	2.27	*48%*	0	–	-0.9	3.2	3.53	*39%*
VI	18.2	*1.5*	77.5	*105%*	4.5	4.65	*59%*	2.1	2.08	*52%*	0	–	-0.8	3.2	3.25	*40%*
VII	18.0	*-0.4*	95.4	*120%*	3.4	3.37	*50%*	1.8	1.85	*53%*	0	–	-0.5	2.7	2.78	*42%*
VIII	18.0	*-0.1*	33.9	*47%*	2.4	2.36	*37%*	1.6	1.58	*50%*	0	–	-0.8	1.3	1.46	*23%*
IX	13.9	*0.8*	101.6	*182%*	3.0	3.12	*50%*	1.3	1.32	*46%*	0	–	-1.0	3.5	3.63	*56%*
X	7.5	*-0.5*	28.1	*68%*	3.8	3.78	*54%*	1.4	1.38	*49%*	0	*0%*	0.4	4.4	4.42	*60%*
XI	2.2	*-1.0*	47.9	*123%*	3.9	4.06	*56%*	1.5	1.48	*52%*	1.5	*125%*	0.1	4.4	4.82	*65%*
XII	0.6	*1.6*	26.1	*72%*	4.8	4.79	*69%*	1.6	1.61	*57%*	0.4	*7%*	0.6	6.6	6.61	*82%*
2025	8.6	*0.4*	522.0	*86%*	54.6	4.65	*50%*	25.9	2.16	*60%*	5.4	*12%*	-6.5	57.4	4.88	*49%*



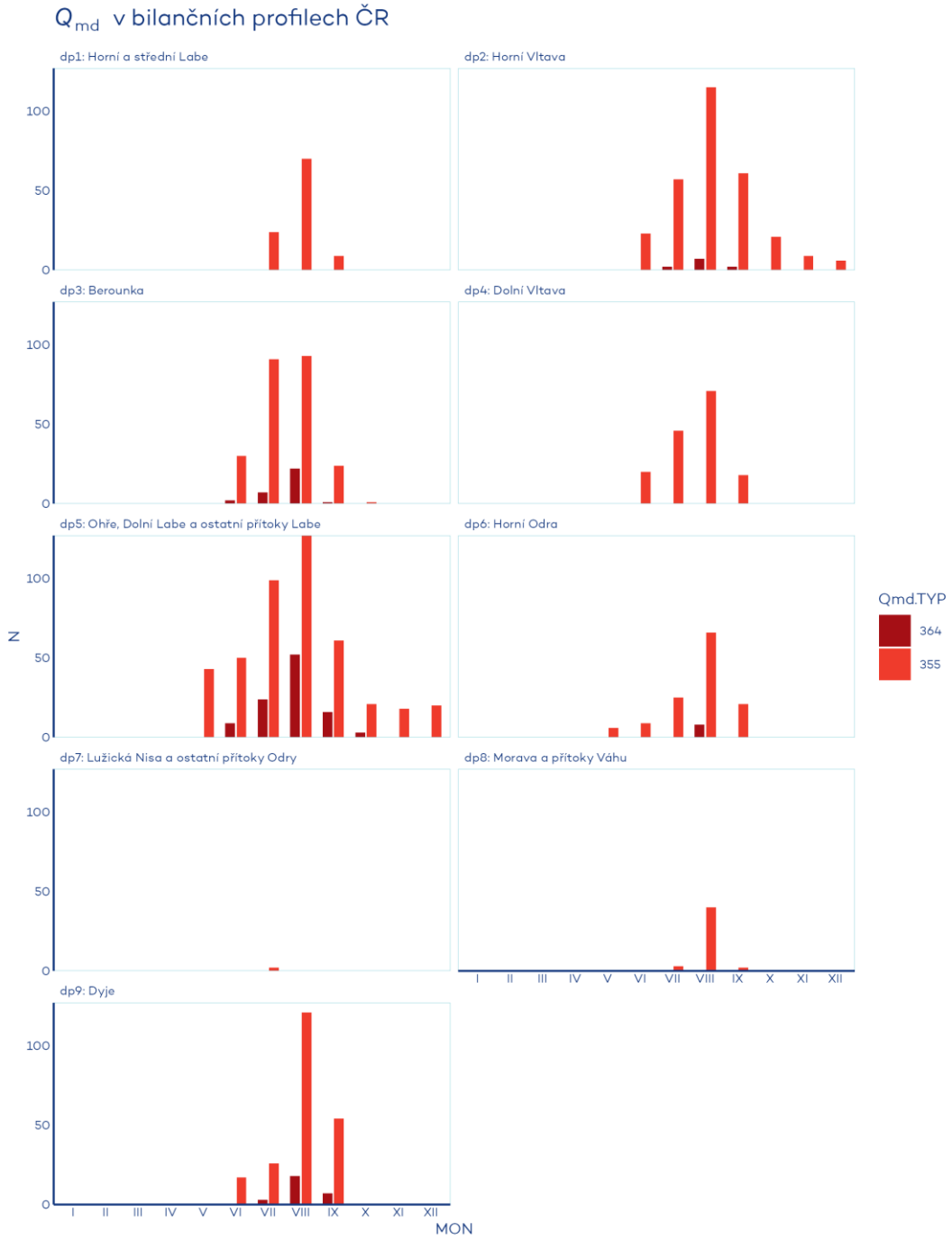
Tok	Bilanční profil	ID stanice	Plocha povodí [km^2]
Dyje	**Ladná**	**480500**	12285.42

Měsíc	Teplota vzduchu		Srážkový úhrn		Celkový měřený odtok			Základní odtok			Zásoba vody ve sněhu		Změna zásob podz. vody	Přirozený průtok		
	[°C]	[odch.°C]	[mm]	[%norm]	[mm]	[m^3.s^{-1}]	[%norm]	[mm]	[m^3.s^{-1}]	[%norm]	[mm]	[%norm]	[mm]	[mm]	[m^3.s^{-1}]	[%norm]
I	-0.2	*1.3*	16.6	*49%*	6.1	27.8	*79%*	3.1	14.3	*128%*	1.6	*13%*	-1.6	6.6	30.1	*78%*
II	-0.8	*-0.6*	7.8	*29%*	5.3	26.9	*63%*	2.9	13.4	*106%*	1.2	*9%*	-2.0	5.9	26.9	*56%*
III	5.8	*2.2*	32.7	*84%*	4.5	20.7	*34%*	2.6	11.9	*79%*	0	*0%*	-0.1	5.2	26.3	*35%*
IV	10.8	*1.7*	27.8	*81%*	3.7	17.4	*32%*	2.3	10.4	*56%*	0	*0%*	-1.7	4.3	19.7	*36%*
V	11.8	*-1.8*	36.1	*56%*	3.1	14.2	*43%*	2.0	9.03	*53%*	0	–	-0.9	2.2	10.9	*34%*
VI	18.7	*1.5*	71.5	*96%*	3.6	17.0	*57%*	1.8	8.23	*55%*	0	–	-1.0	2.9	13.4	*47%*
VII	18.7	*-0.4*	96.8	*121%*	2.7	12.3	*46%*	1.6	7.32	*55%*	0	–	-0.6	2.1	9.90	*40%*
VIII	18.6	*-0.1*	36.9	*53%*	2.9	13.4	*55%*	1.4	6.61	*54%*	0	–	-0.6	0.9	4.63	*22%*
IX	14.5	*0.9*	97.0	*172%*	2.1	10.0	*44%*	1.3	5.90	*52%*	0	–	-0.8	3.1	14.9	*71%*
X	8.1	*-0.4*	25.9	*63%*	3.4	15.4	*57%*	1.2	5.54	*50%*	0	–	-0.2	3.1	14.3	*57%*
XI	2.8	*-0.9*	50.5	*132%*	4.4	21.0	*76%*	1.4	6.29	*57%*	0.9	*100%*	0.5	4.3	21.7	*82%*
XII	1.0	*1.6*	23.3	*66%*	4.3	19.5	*71%*	1.5	6.92	*63%*	0.2	*4%*	0.8	5.1	23.4	*78%*
2025	9.2	*0.4*	522.9	*88%*	46.0	18.0	*52%*	23.1	8.82	*66%*	3.9	*10%*	-8.2	45.6	18.0	*51%*

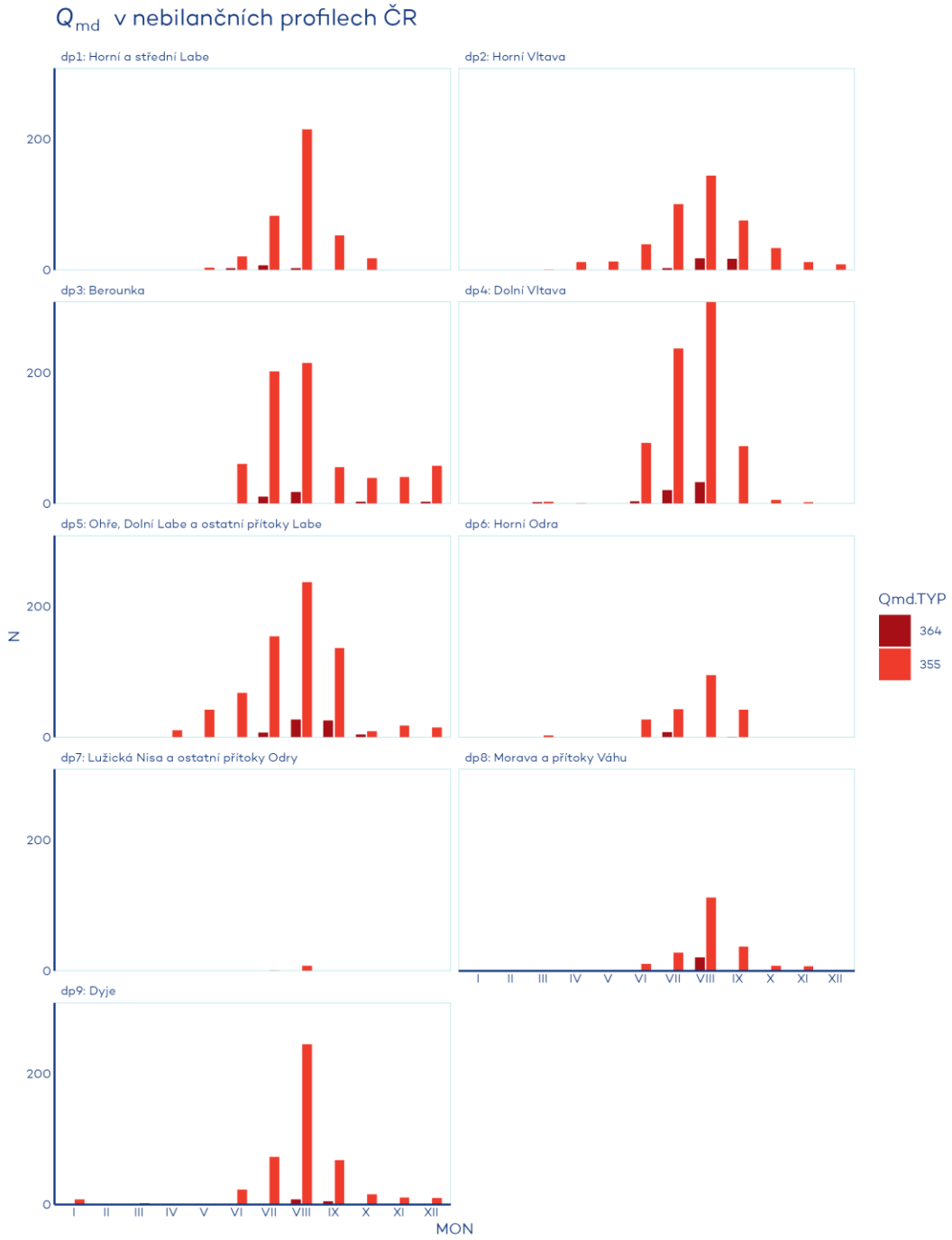


PŘÍLOHA 2

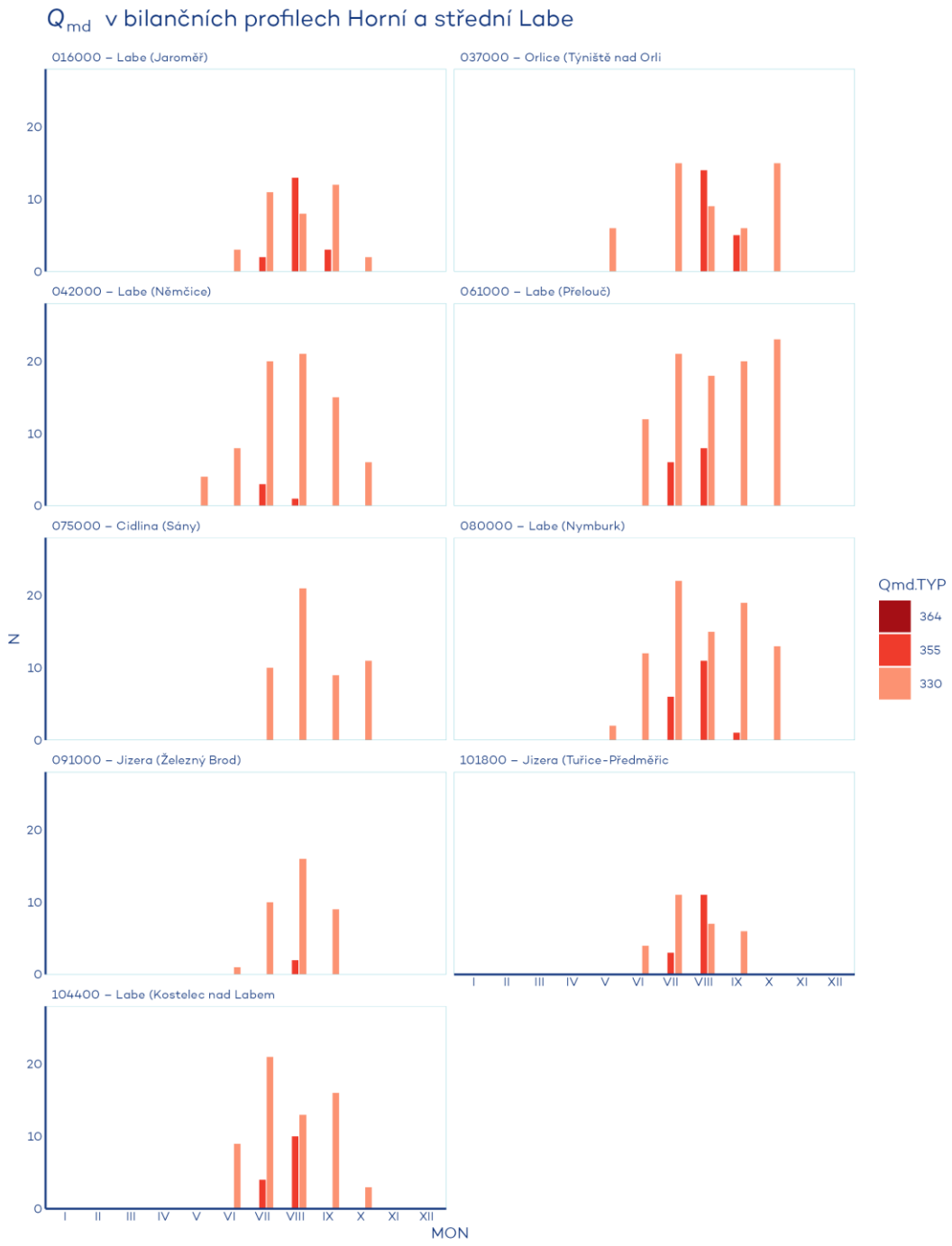
Bilance množství vody – Podkročení malých průtoků



Obr. 2.4.58 Podkročení Q_{md} v bilančních profilech dílčích povodí ČR.



Obr. 2.4.58 Podkročení Q_{md} v nebilančních profilech dílčích povodí ČR.



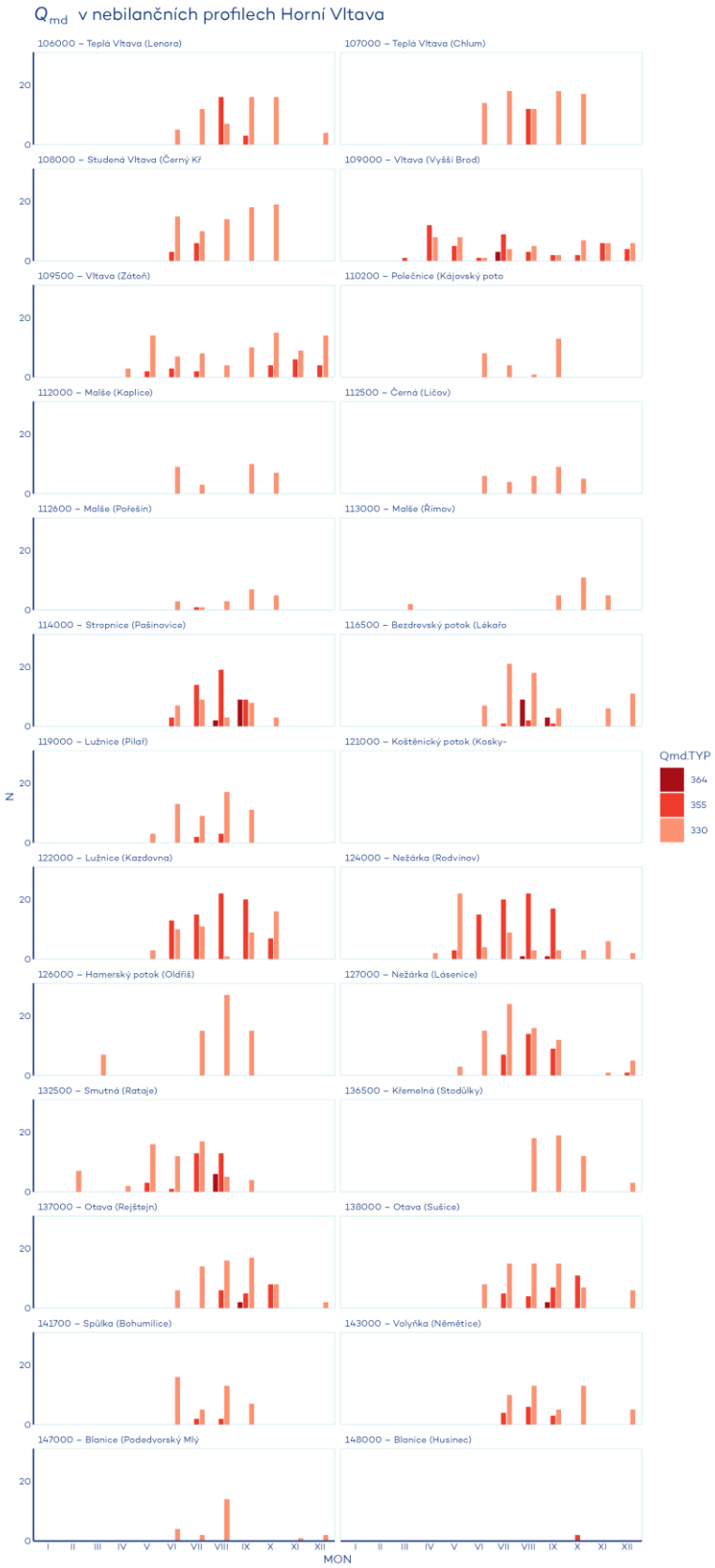
Obr. 2.4.59 Podkročení Q_{md} v jednotlivých bilančních profilech dílčího povodí Horní a střední Labe.



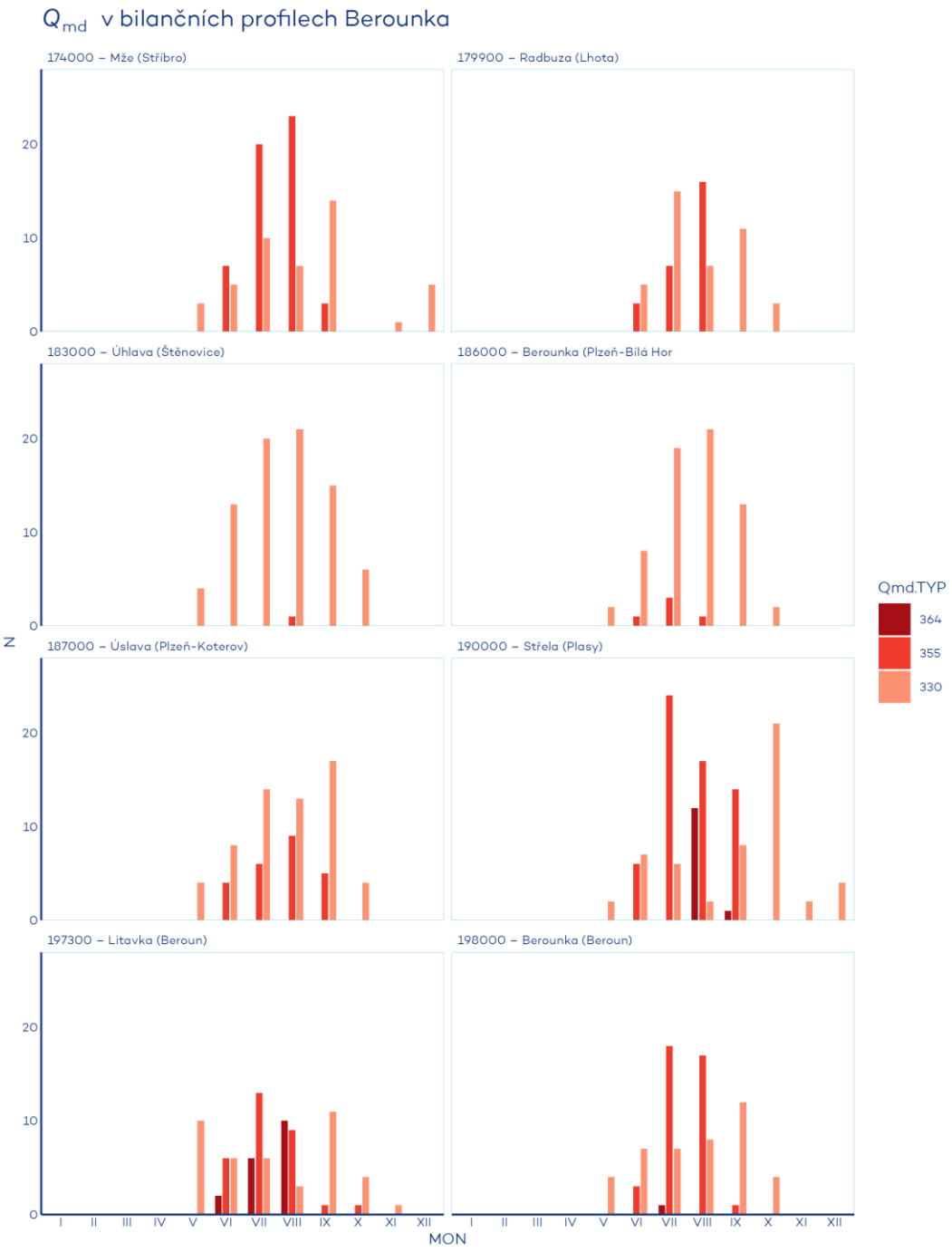
Obr. 2.4.60 Podkročení Q_{md} v jednotlivých nebilančních profilech dílčího povodí Horní a střední Labe.



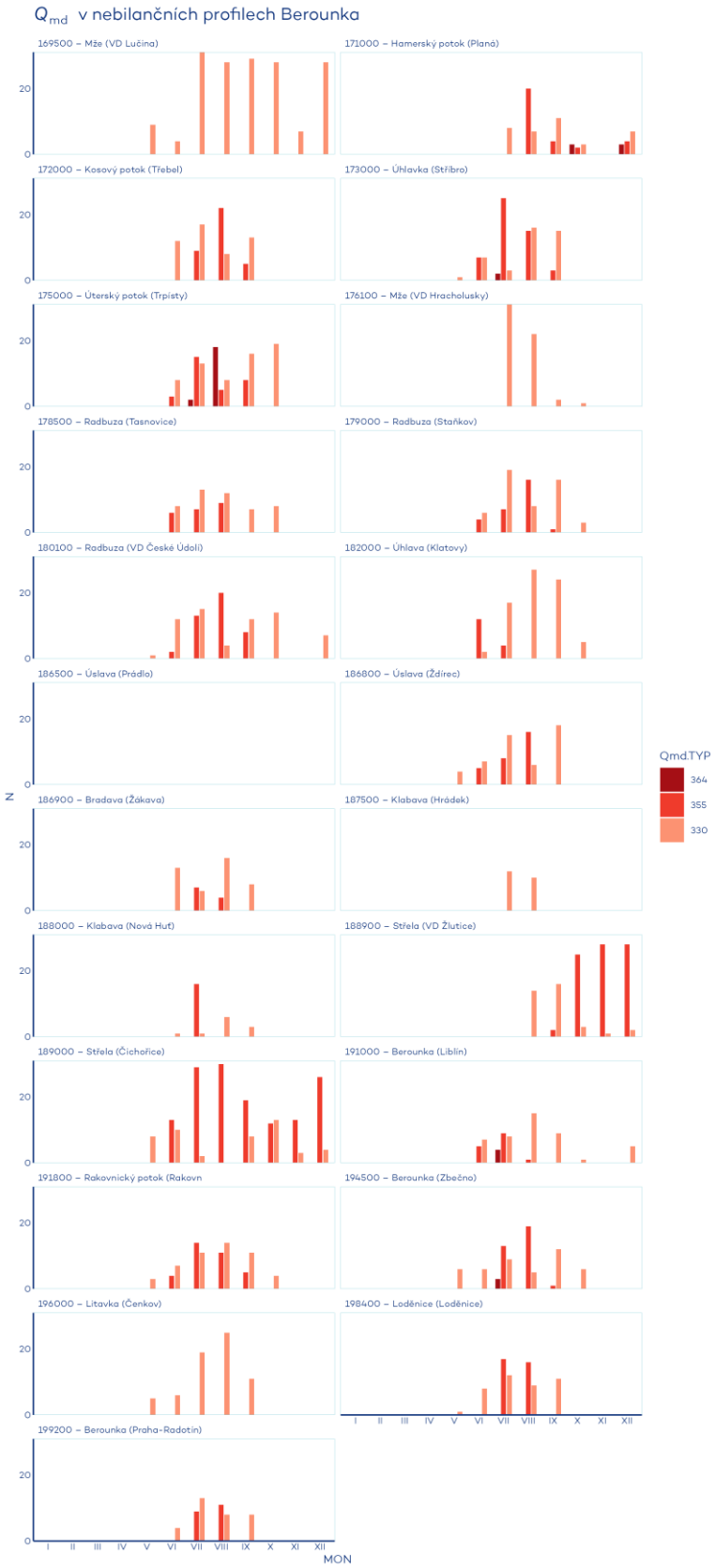
Obr. 2.4.61 Podkročení Q_{md} v jednotlivých bilančních profilech dílčího povodí Horní Vltava.



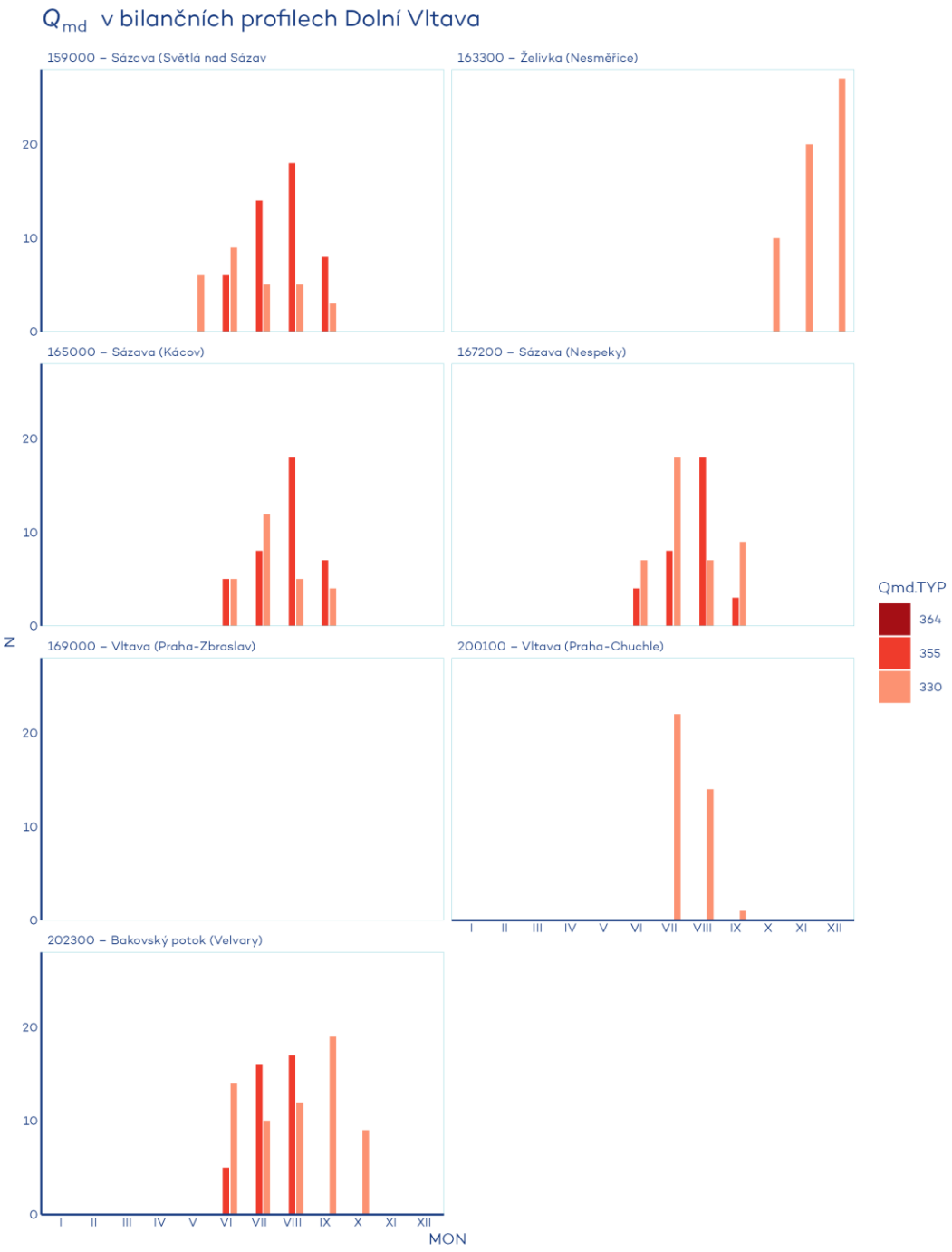
Obr. 2.4.62 Podkročení Q_{md} v jednotlivých nebilančních profilech dílčího povodí Horní Vltava.



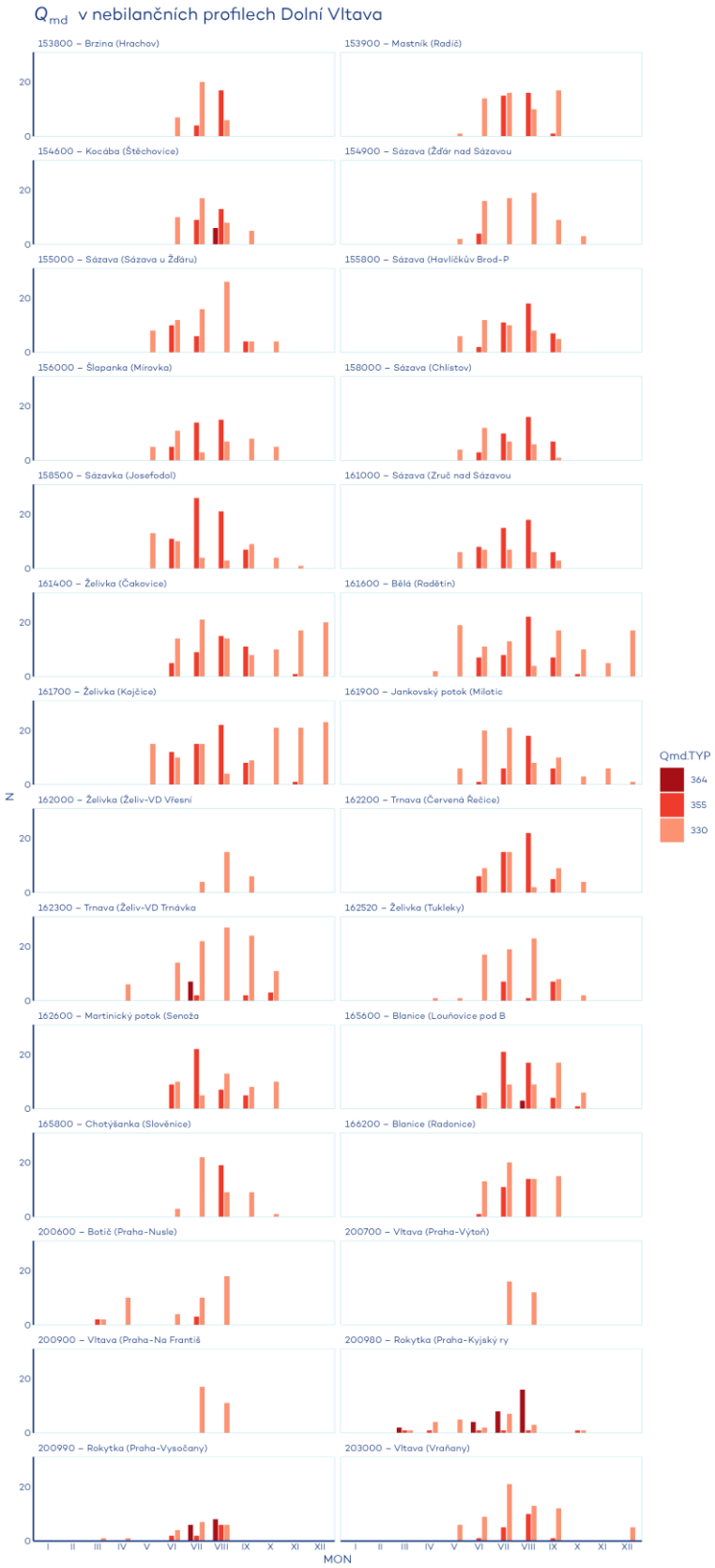
Obr. 2.4.63 Podkročení Q_{md} v jednotlivých bilančních profilech dílčího povodí Berounka.



Obr. 2.4.64 Podkročení Q_{md} v jednotlivých nebilančních profilech dílčího povodí Berounka.



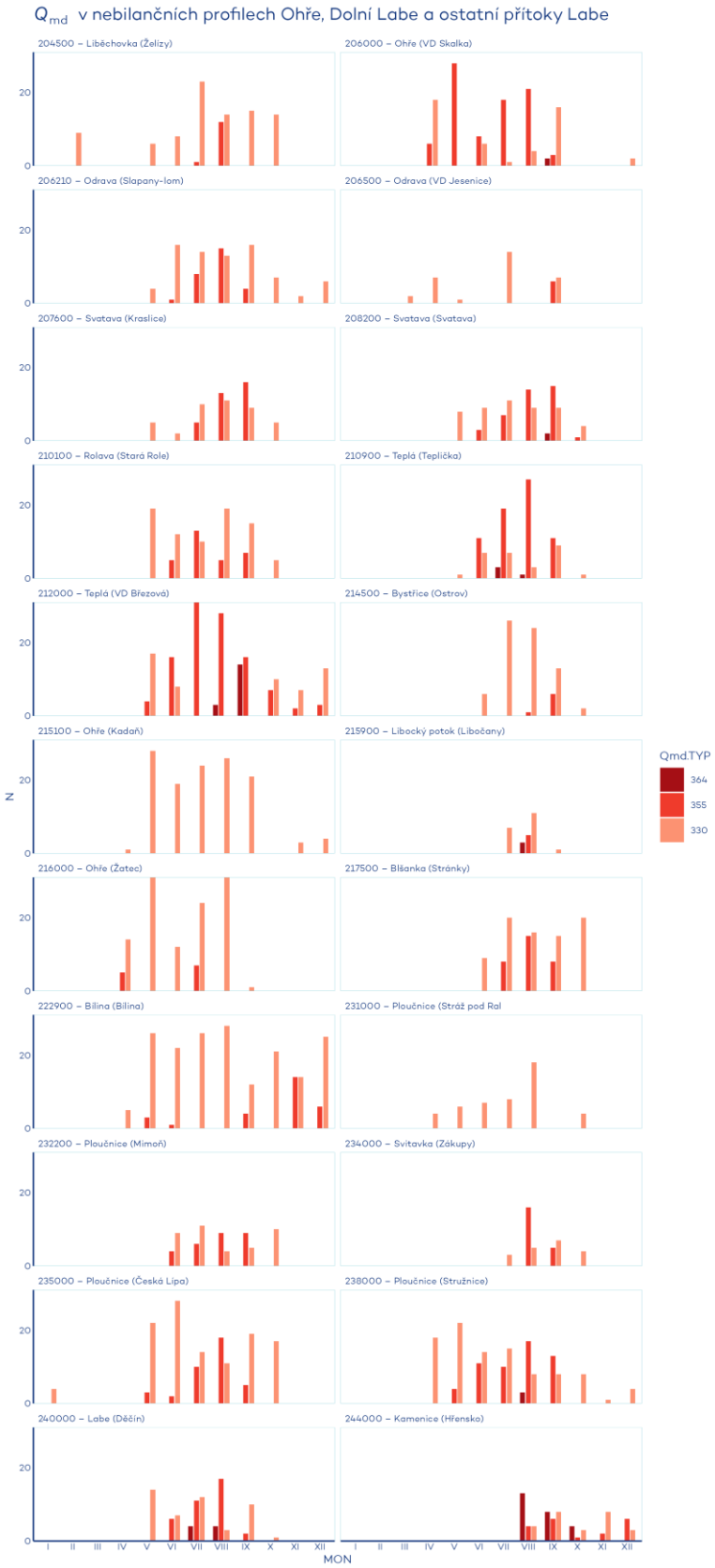
Obr. 2.4.65 Podkročení Q_{md} v jednotlivých bilančních profilech dílčího povodí Dolní Vltava.



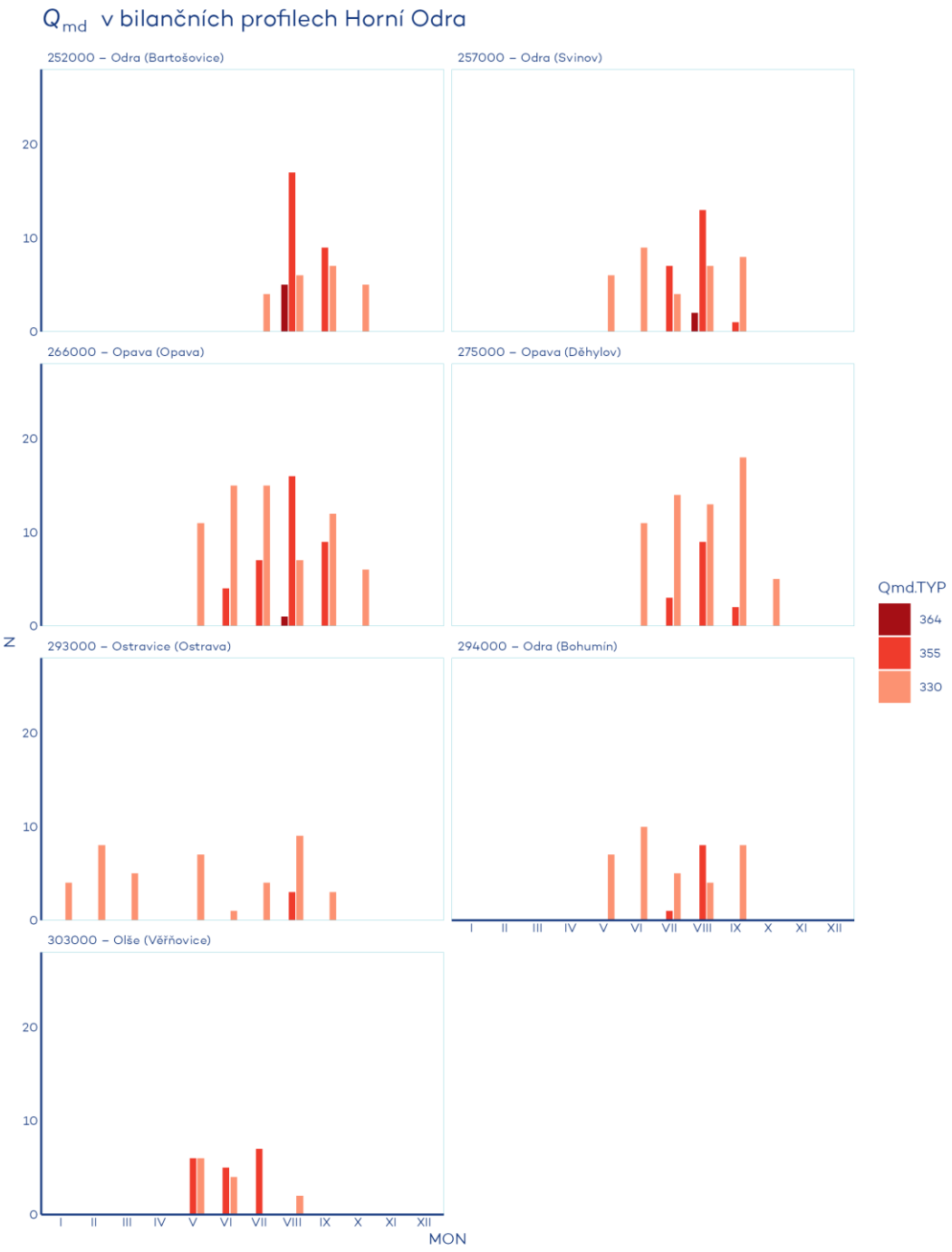
Obr. 2.4.66 Podkročení Q_{md} v jednotlivých nebilančních profilech dílčího povodí Dolní Vltava.



Obr. 2.4.67 Podkročení Q_{md} v jednotlivých bilančních profilech dílčího povodí Ohře, Dolní Labe a ostatní přítoky Labe.



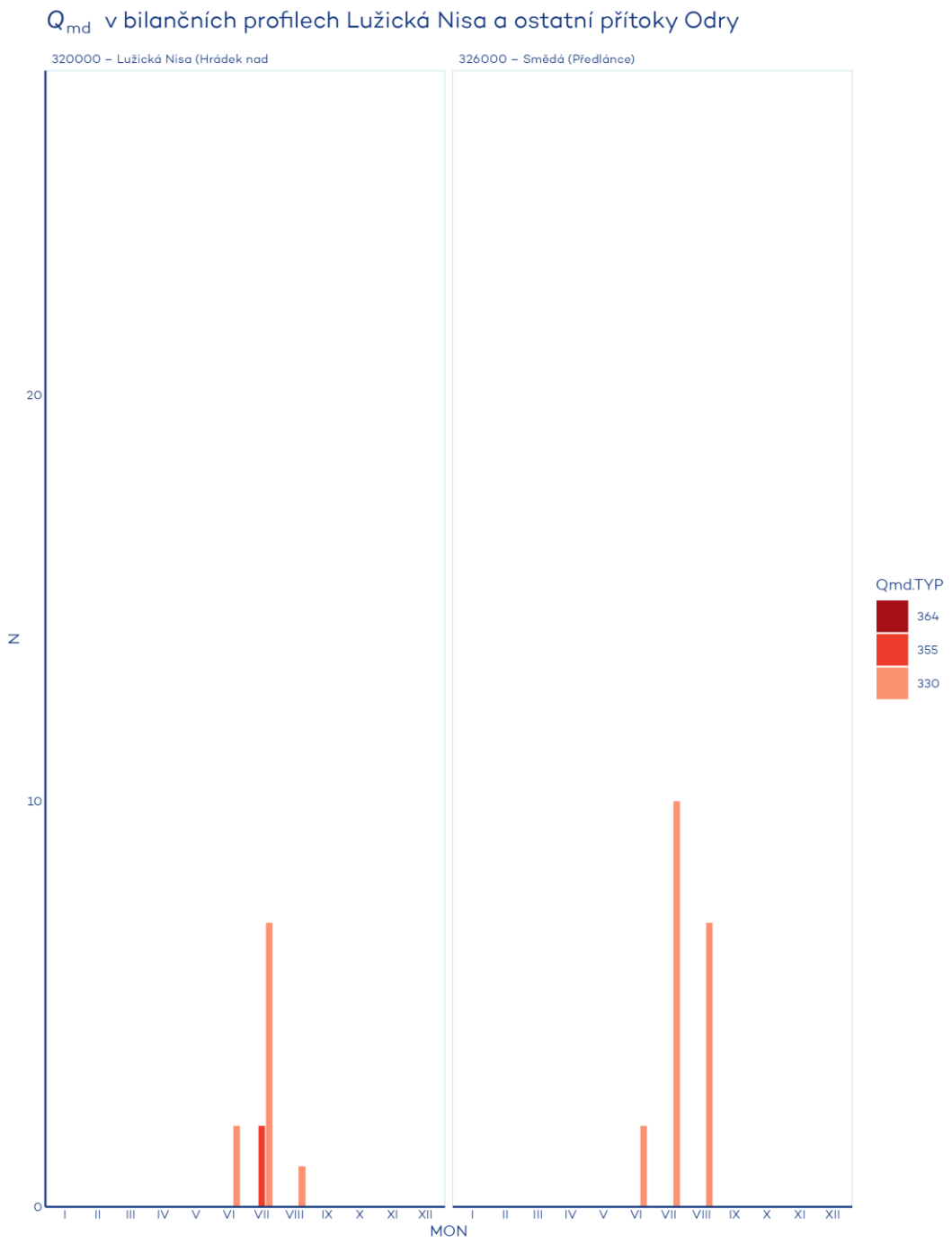
Obr. 2.4.68 Podkročení Q_{md} v jednotlivých nebilančních profilech dílčího povodí Ohře, Dolní Labe a ostatní přítoky Labe.



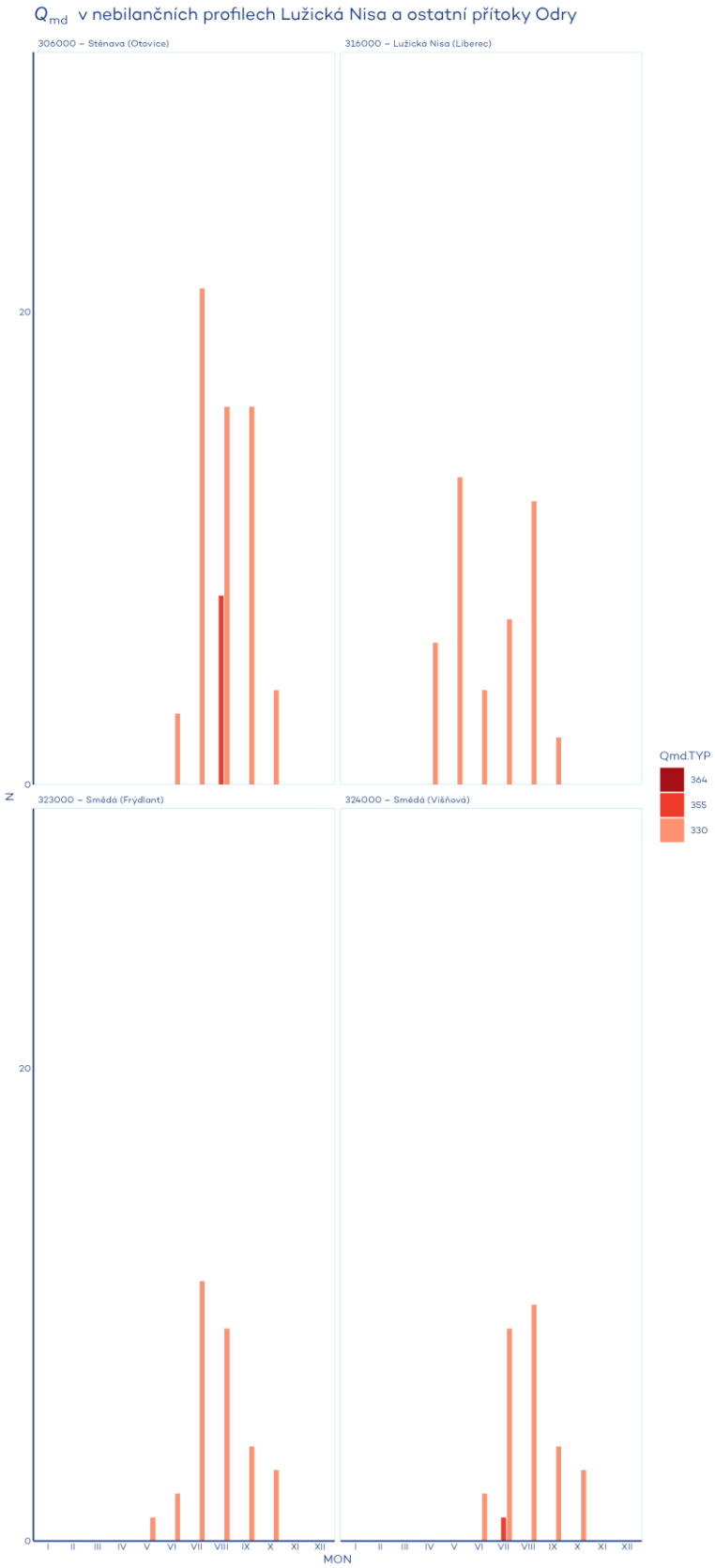
Obr. 2.4.69 Podkročení Q_{md} v jednotlivých bilančních profilech dílčího povodí Horní Odra.



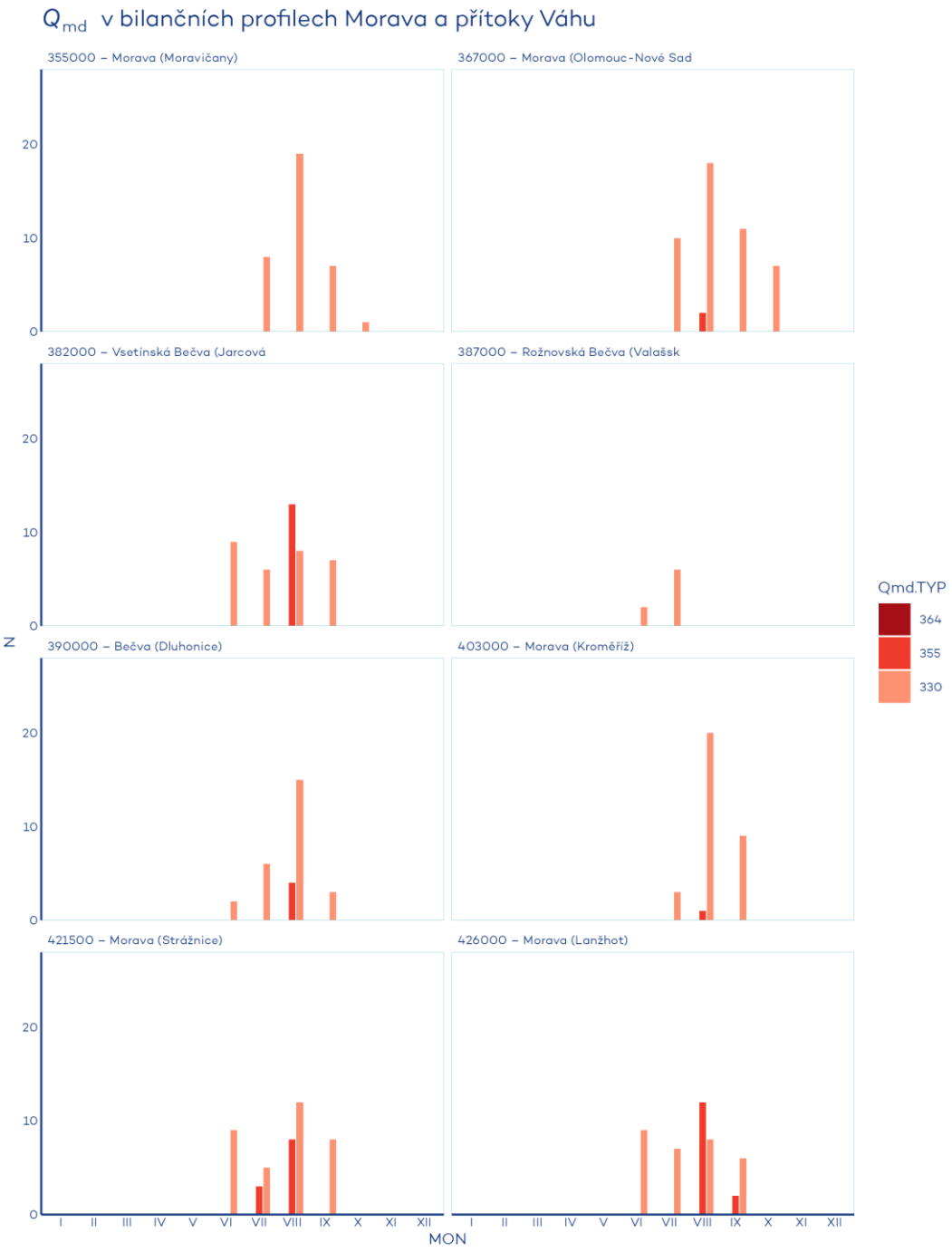
Obr. 2.4.70 Podkročení Q_{md} v jednotlivých nebilančních profilech dílčího povodí Horní Odra.



Obr. 2.4.71 Podkročení Q_{md} v jednotlivých bilančních profilech dílčího povodí Lužická Nisa a ostatní přítoky Odry.



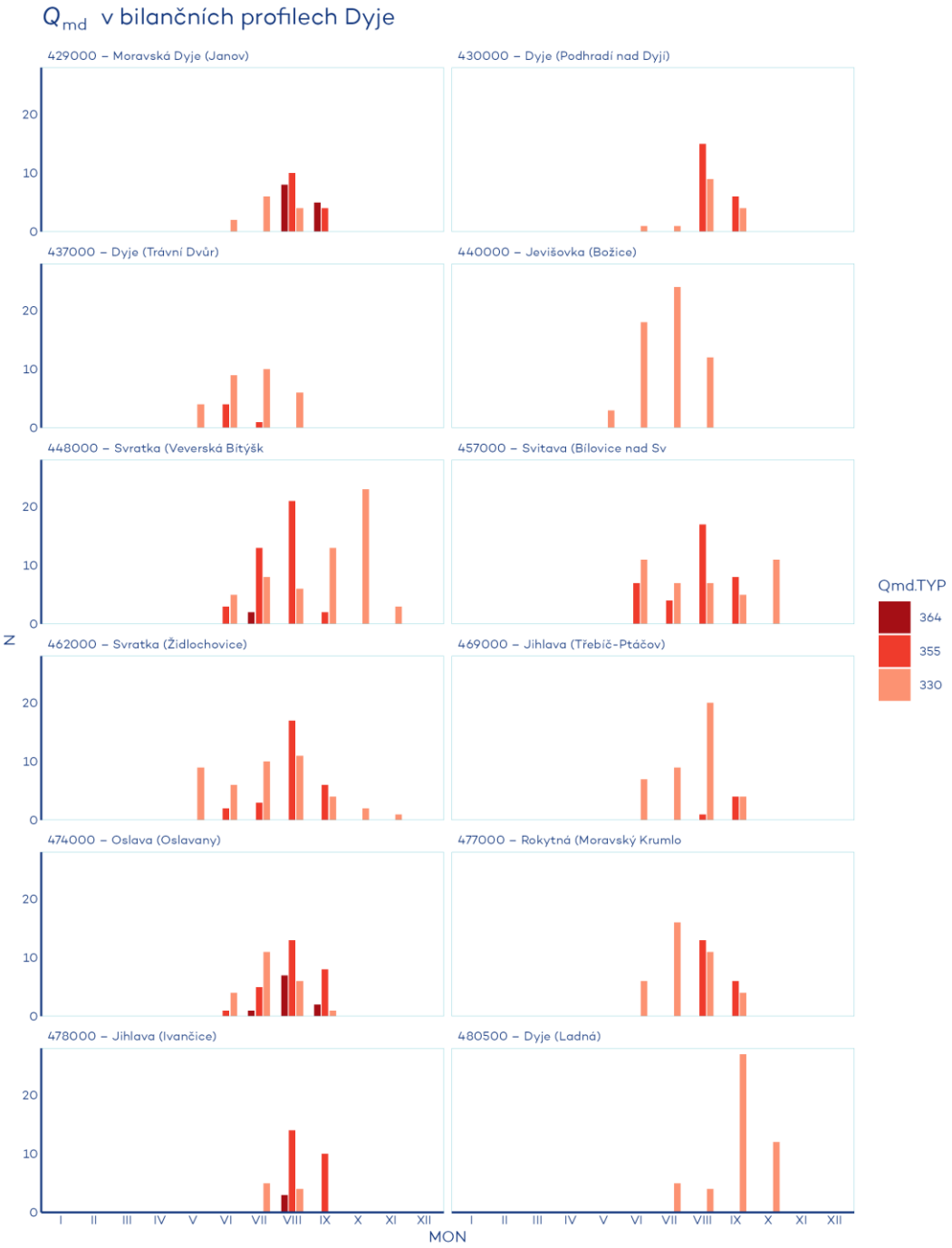
Obr. 2.4.72 Podkročení Q_{md} v jednotlivých nebilančních profilech dílčího povodí Lužická Nisa a ostatní přítoky Odry.



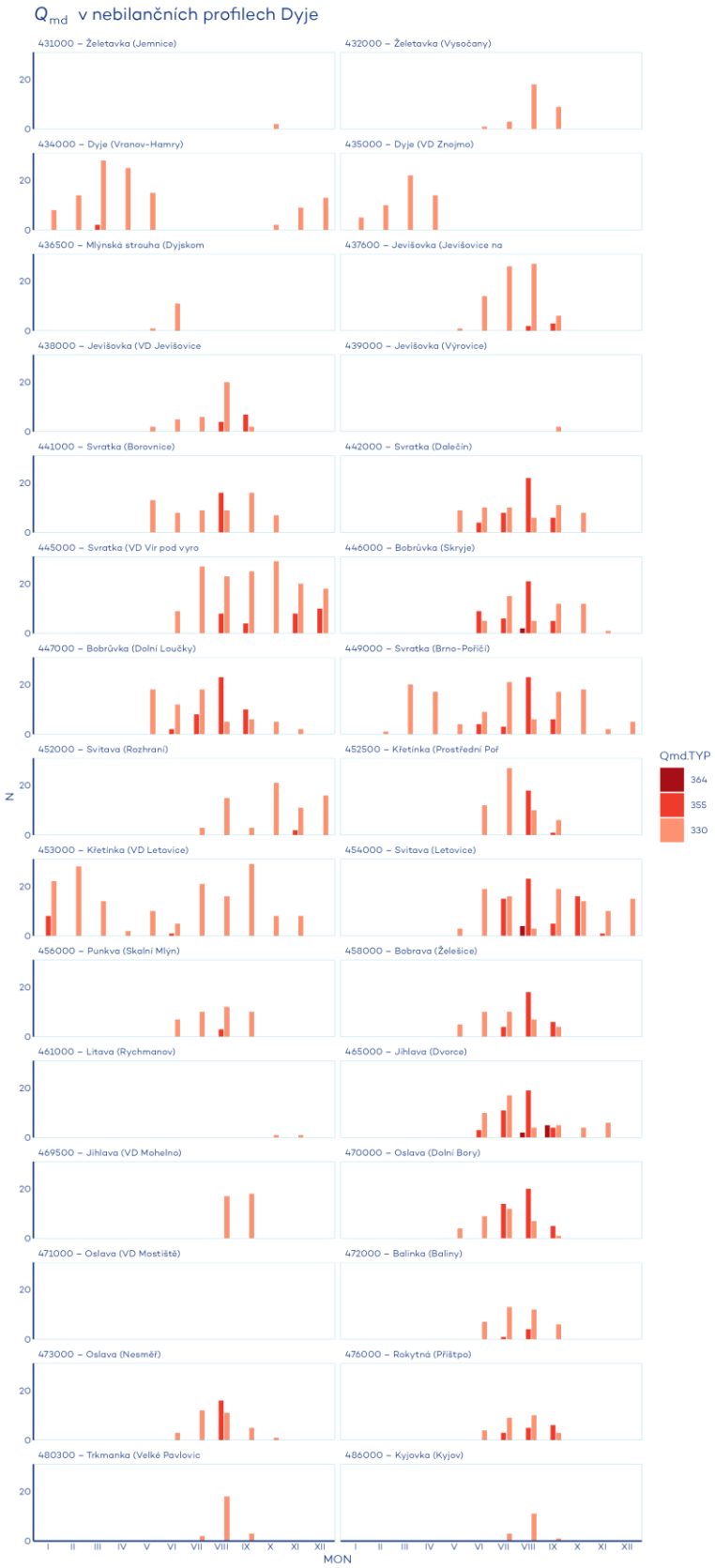
Obr. 2.4.73 Podkročení Q_{md} v jednotlivých bilančních profilech dílčího povodí Morava a přítoky Váhu.



Obr. 2.4.74 Podkročení Q_{md} v jednotlivých nebilančních profilech dílčího povodí Morava a přítoky Váhu.



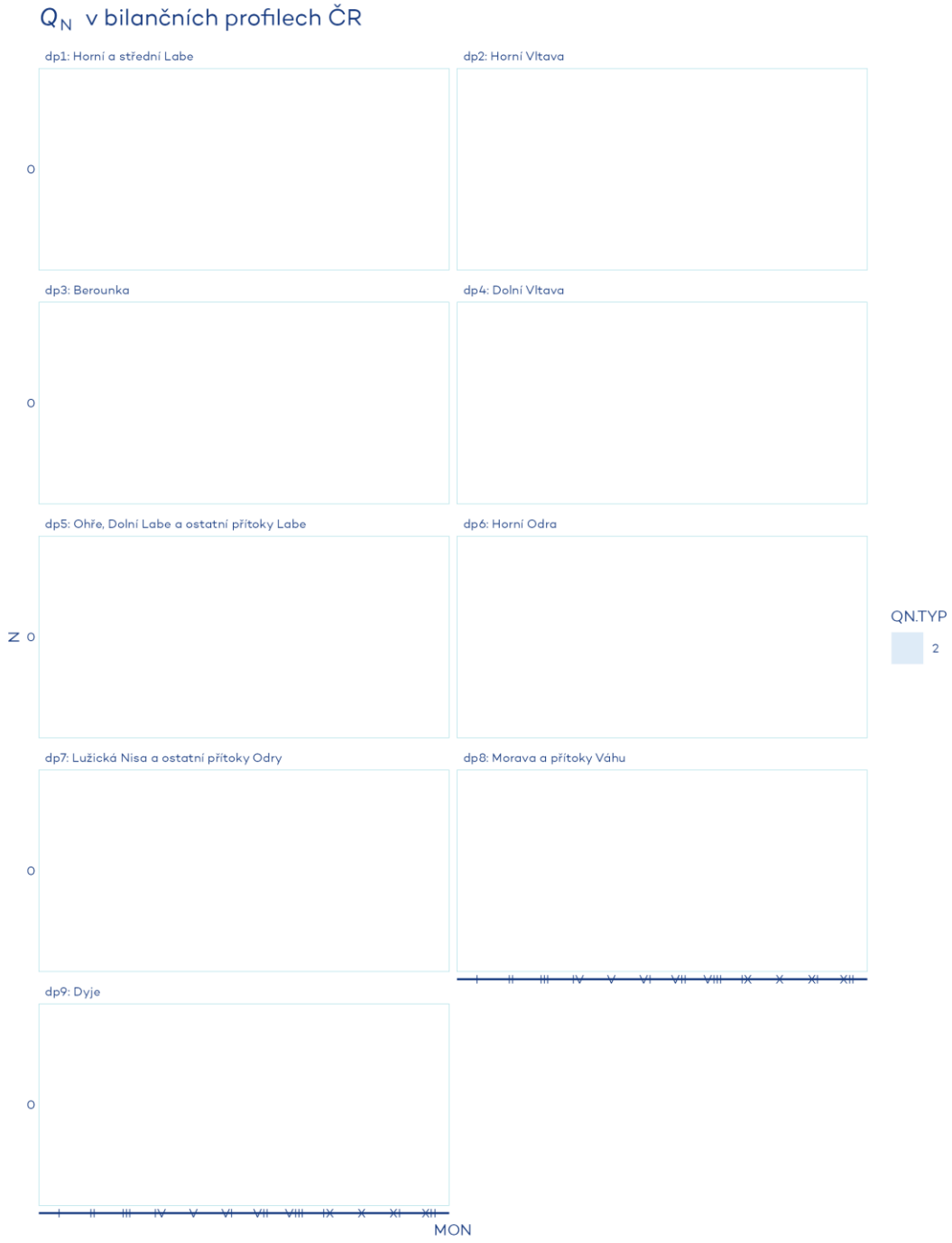
Obr. 2.4.75 Podkročení Q_{md} v jednotlivých bilančních profilech dílčího povodí Dyje.



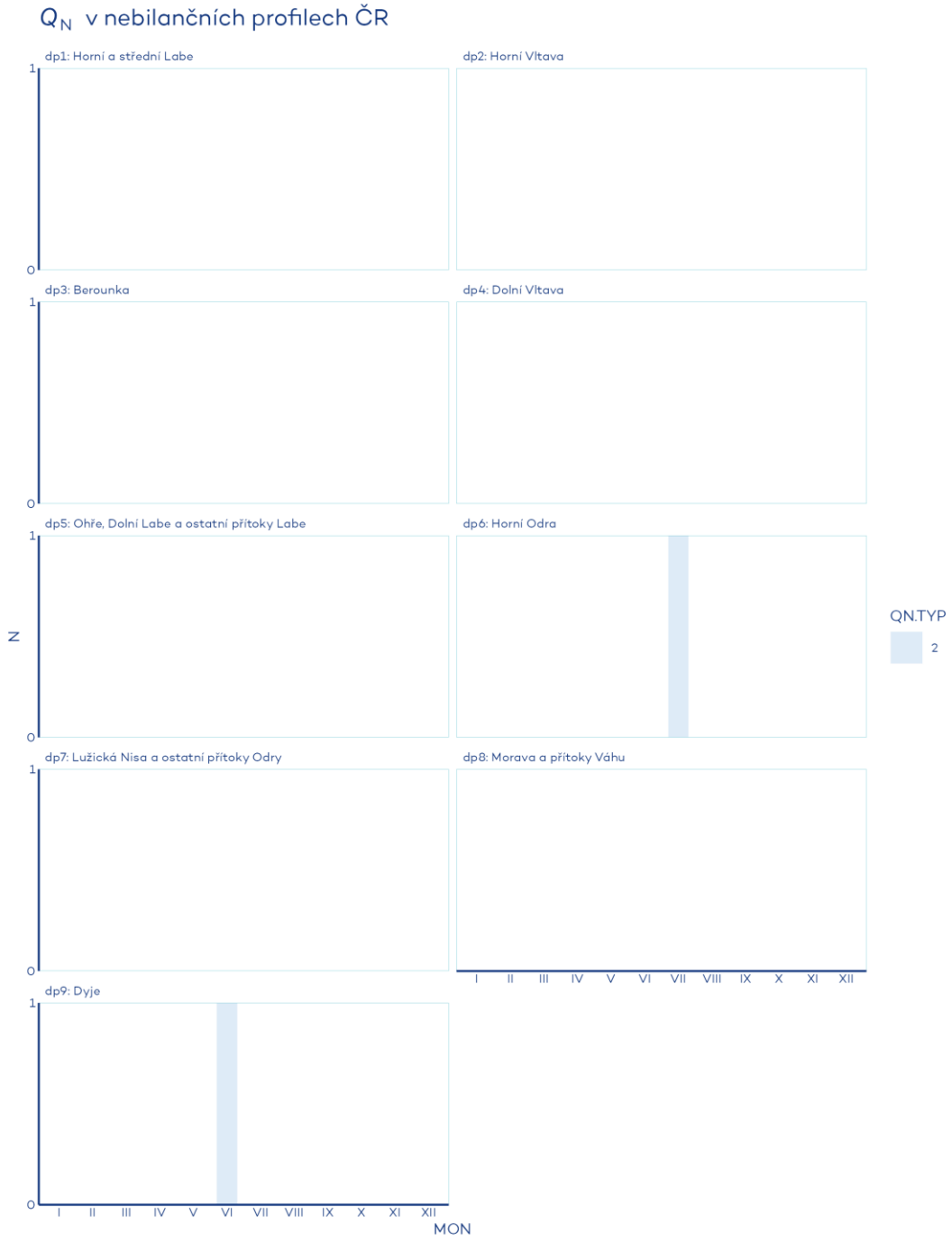
Obr. 2.4.76 Podkročení Qmd v jednotlivých nebilančních profilech dílčího povodí Dyje.

PŘÍLOHA 3

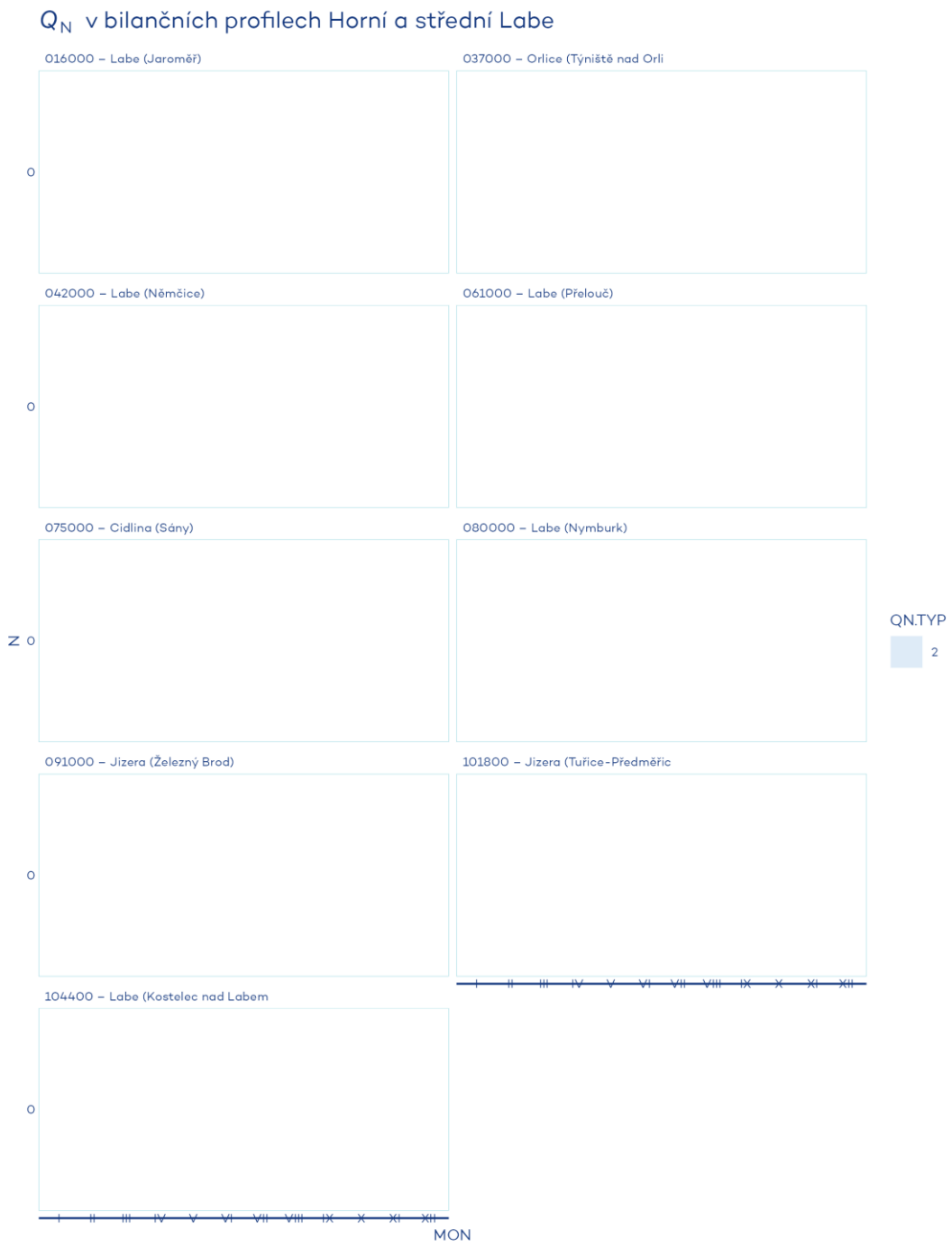
Bilance množství vody – překročení kulminačních průtoků



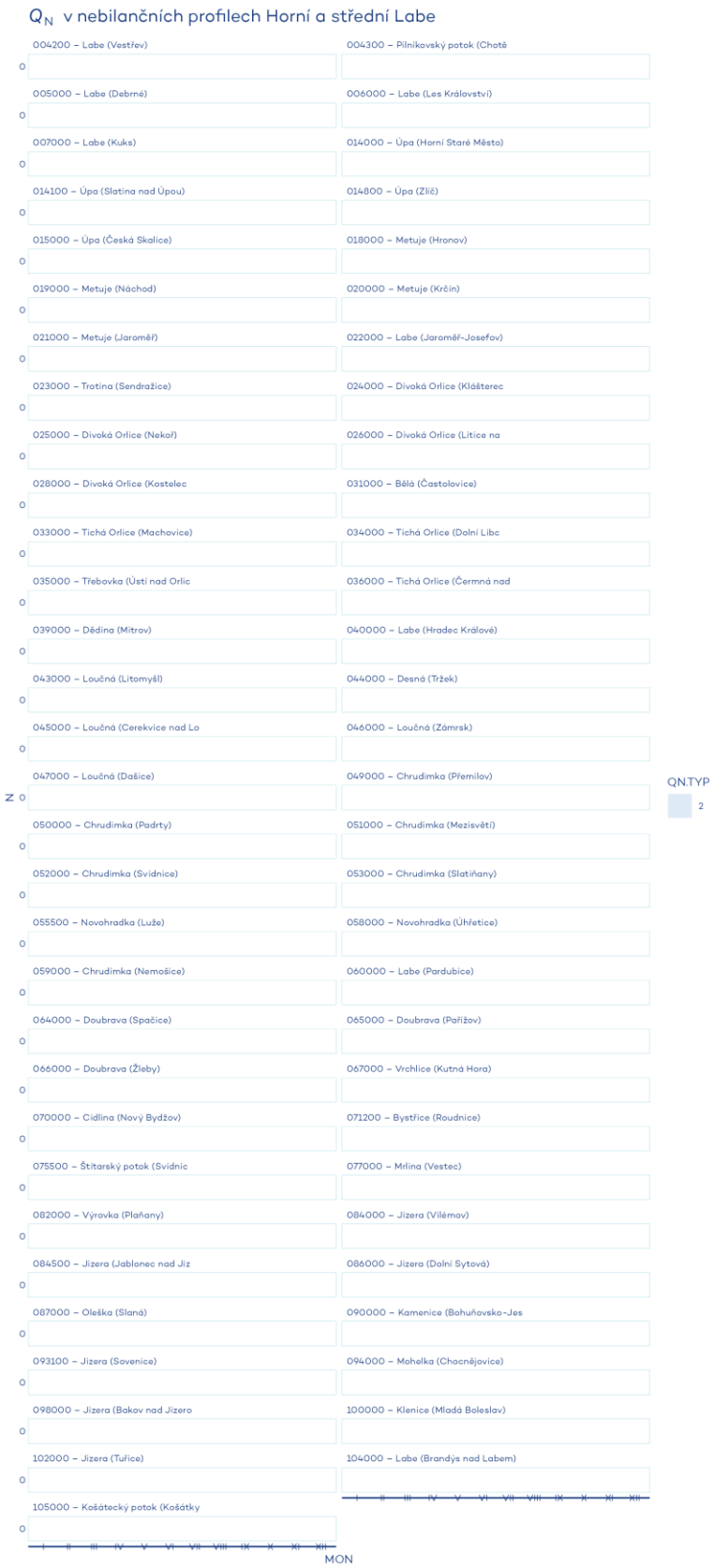
Obr. 2.4.77 Překročení Q_N v bilančních profilech dílčích povodí ČR.



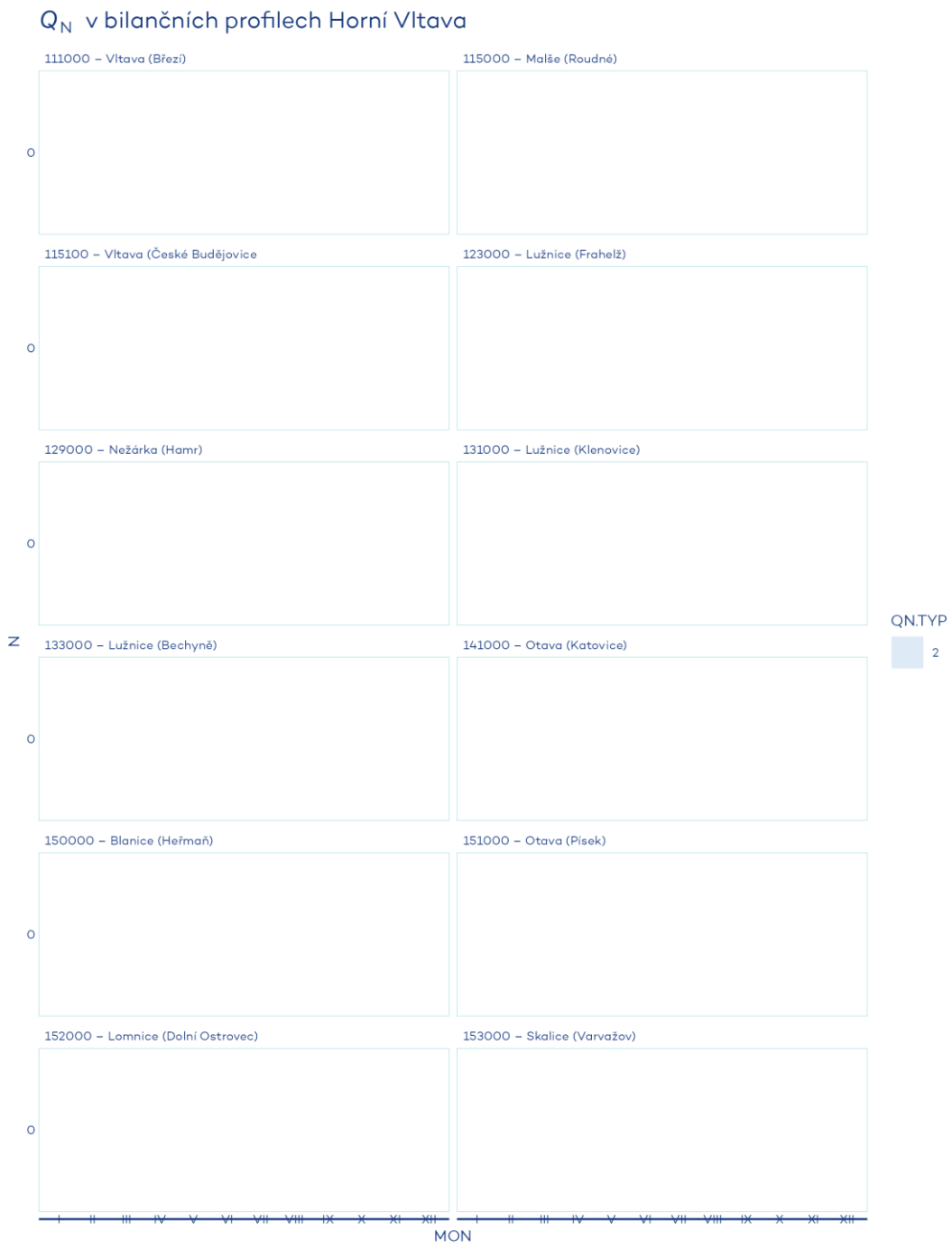
Obr. 2.4.77 Překročení Q_N v nebilančních profilech dílčích povodí ČR.



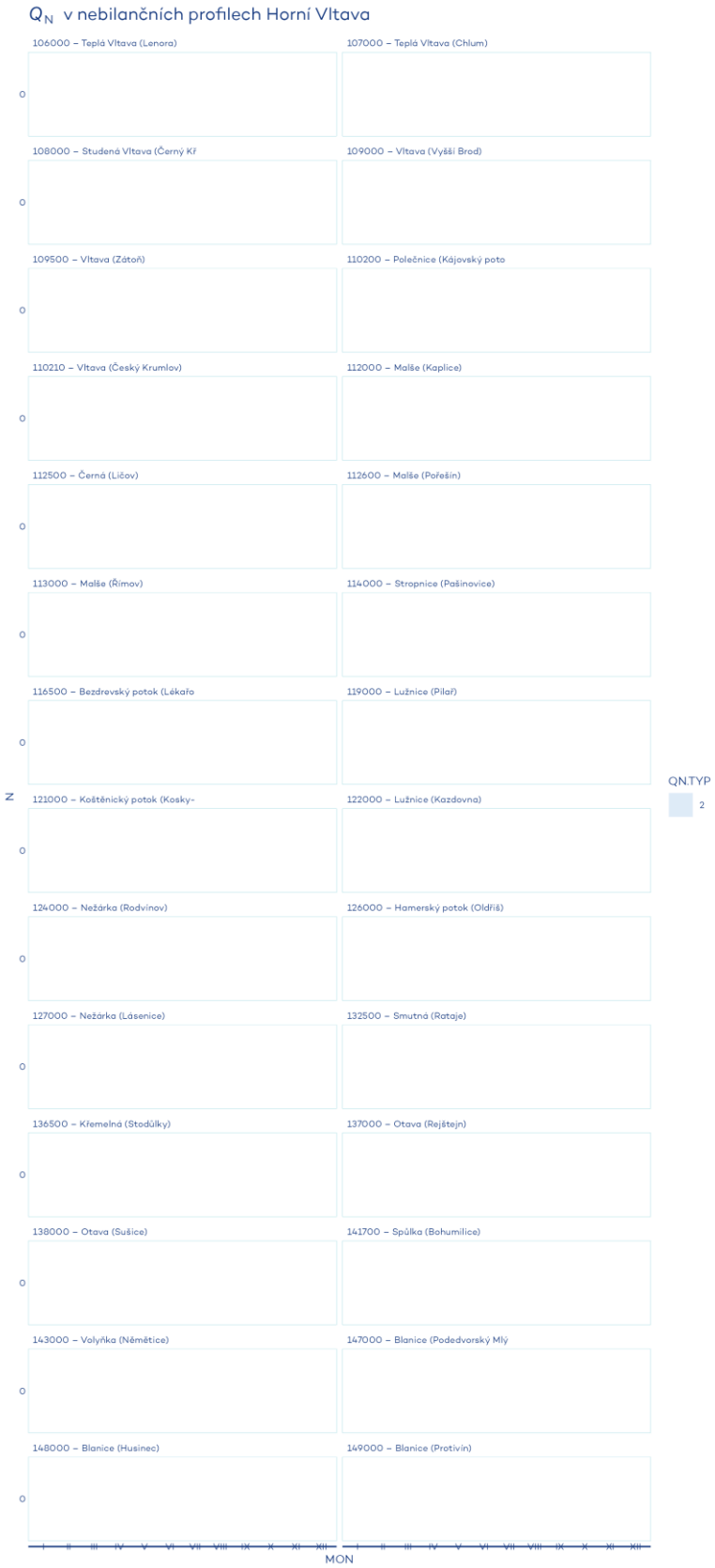
Obr. 2.4.78 Překročení Q_N v jednotlivých bilančních profilech dílčího povodí Horní a střední Labe.



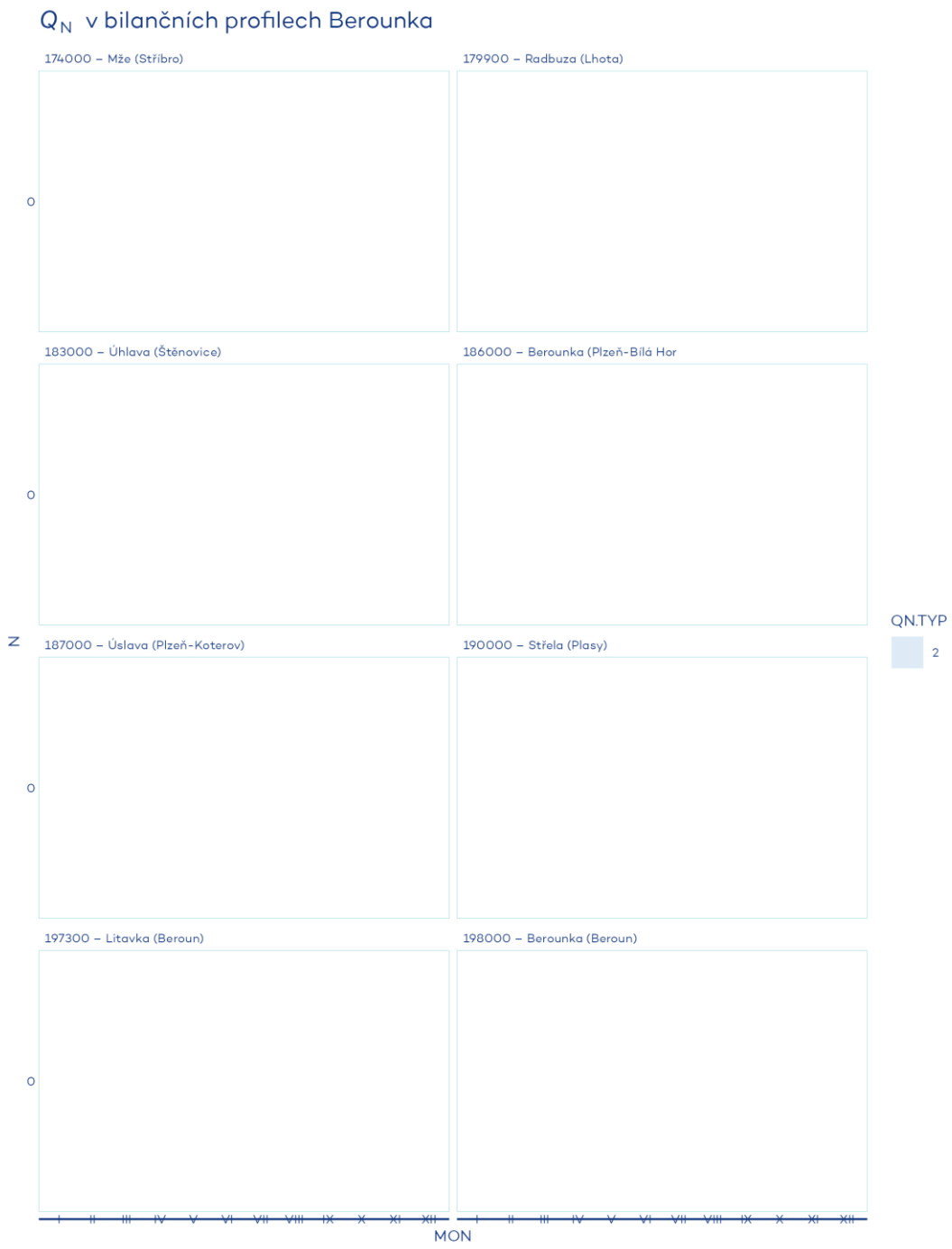
Obr. 2.4.79 Překročení Q_N v jednotlivých nebilančních profilech dílčího povodí Horní a střední Labe.



Obr. 2.4.80 Překročení Q_N v jednotlivých bilančních profilech dílčího povodí Horní Vltava.



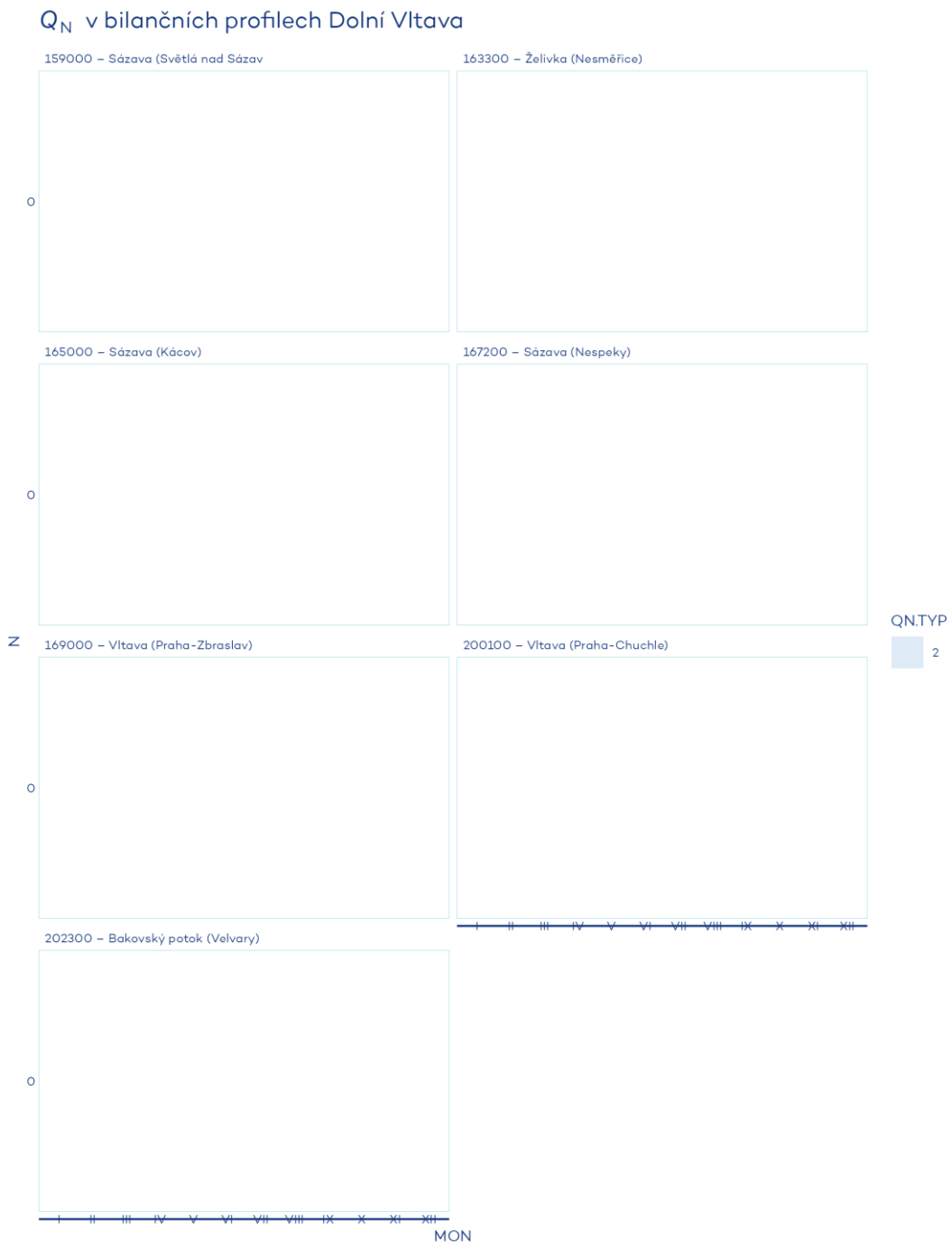
Obr. 2.4.81 Překročení Q_N v jednotlivých nebilančních profilech dílčího povodí Horní Vltava.



Obr. 2.4.82 Překročení Q_N v jednotlivých bilančních profilech dílčího povodí Berounka.



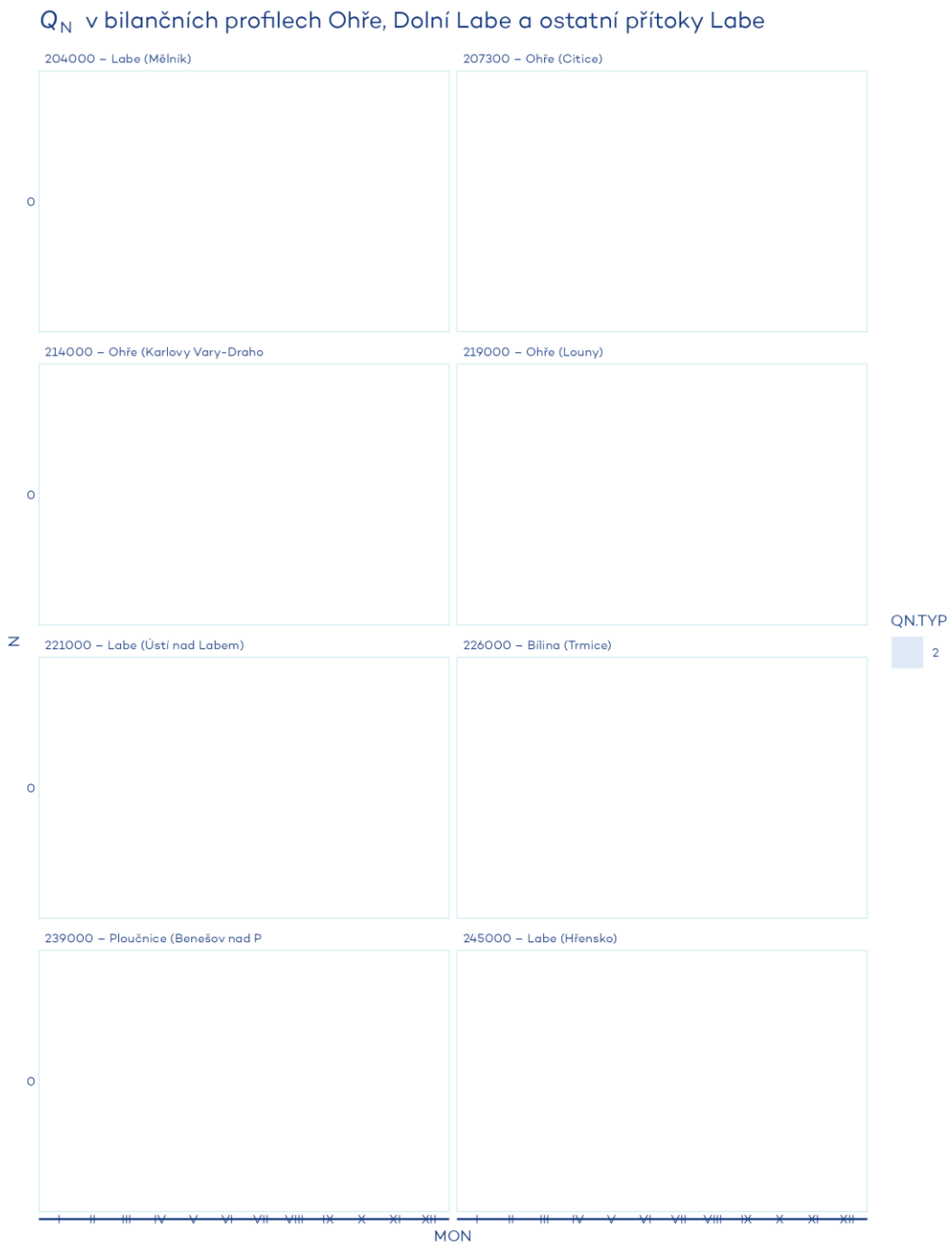
Obr. 2.4.83 Překročení Q_N v jednotlivých nebilančních profilech dílčího povodí Berounka.



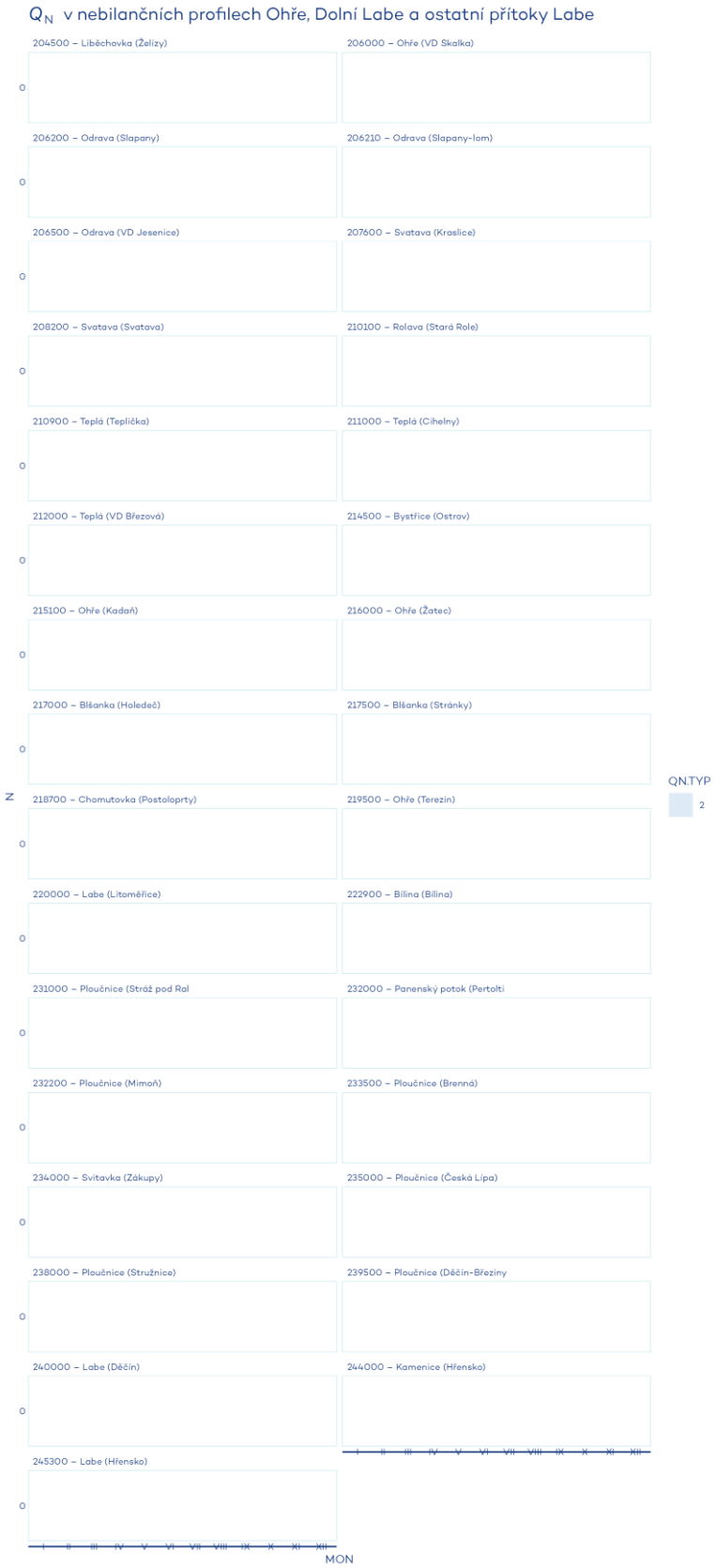
Obr. 2.4.84 Překročení Q_N v jednotlivých bilančních profilech dílčího povodí Dolní Vltava.



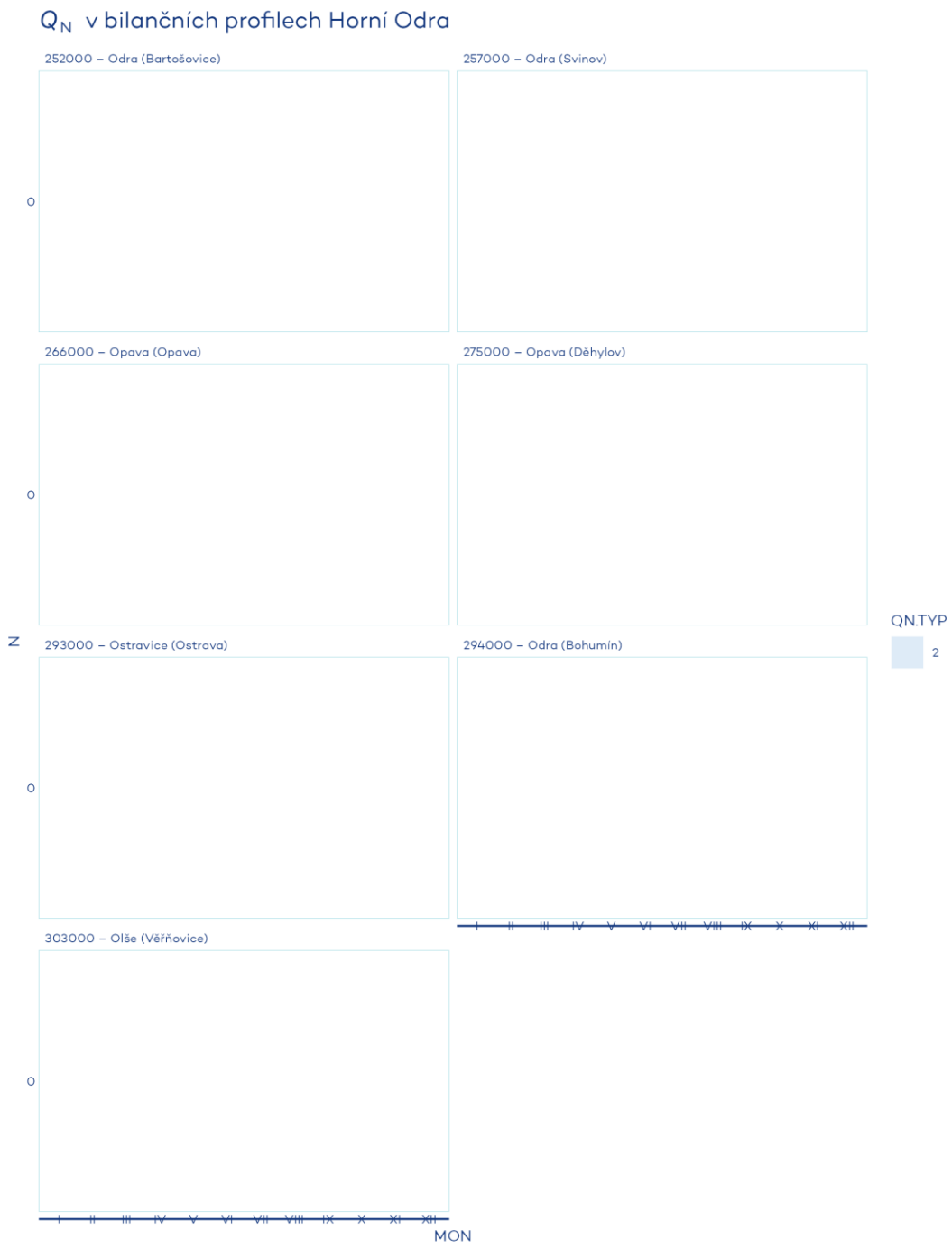
Obr. 2.4.85 Překročení Q_N v jednotlivých nebilančních profilech dílčího povodí Dolní Vltava.



Obr. 2.4.86 Překročení Q_N v jednotlivých bilančních profilech dílčího povodí Ohře, Dolní Labe a ostatní přítoky Labe.



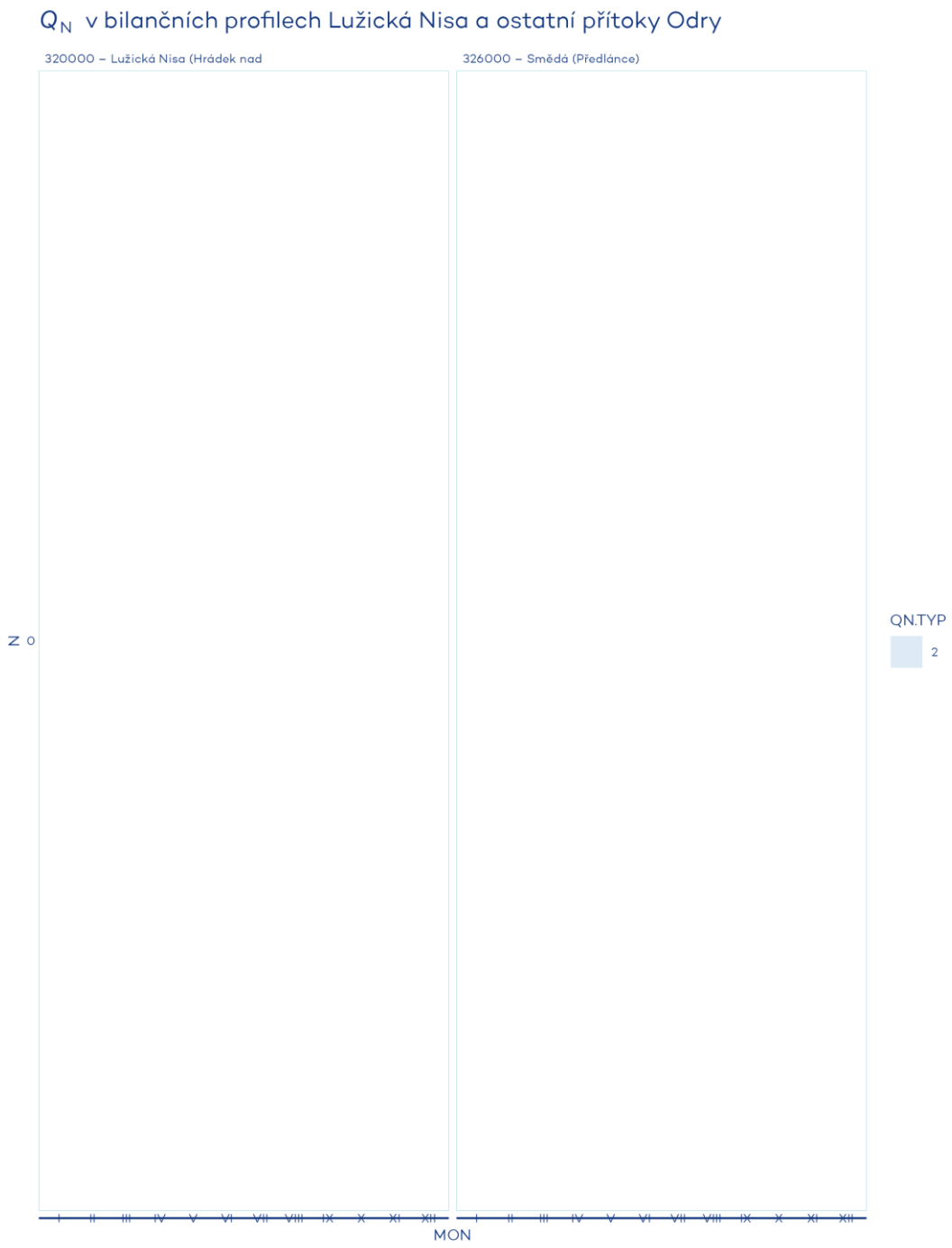
Obr. 2.4.87 Překročení Q_N v jednotlivých nebilančních profilech dílčího povodí Ohře, Dolní Labe a ostatní přítoky Labe.



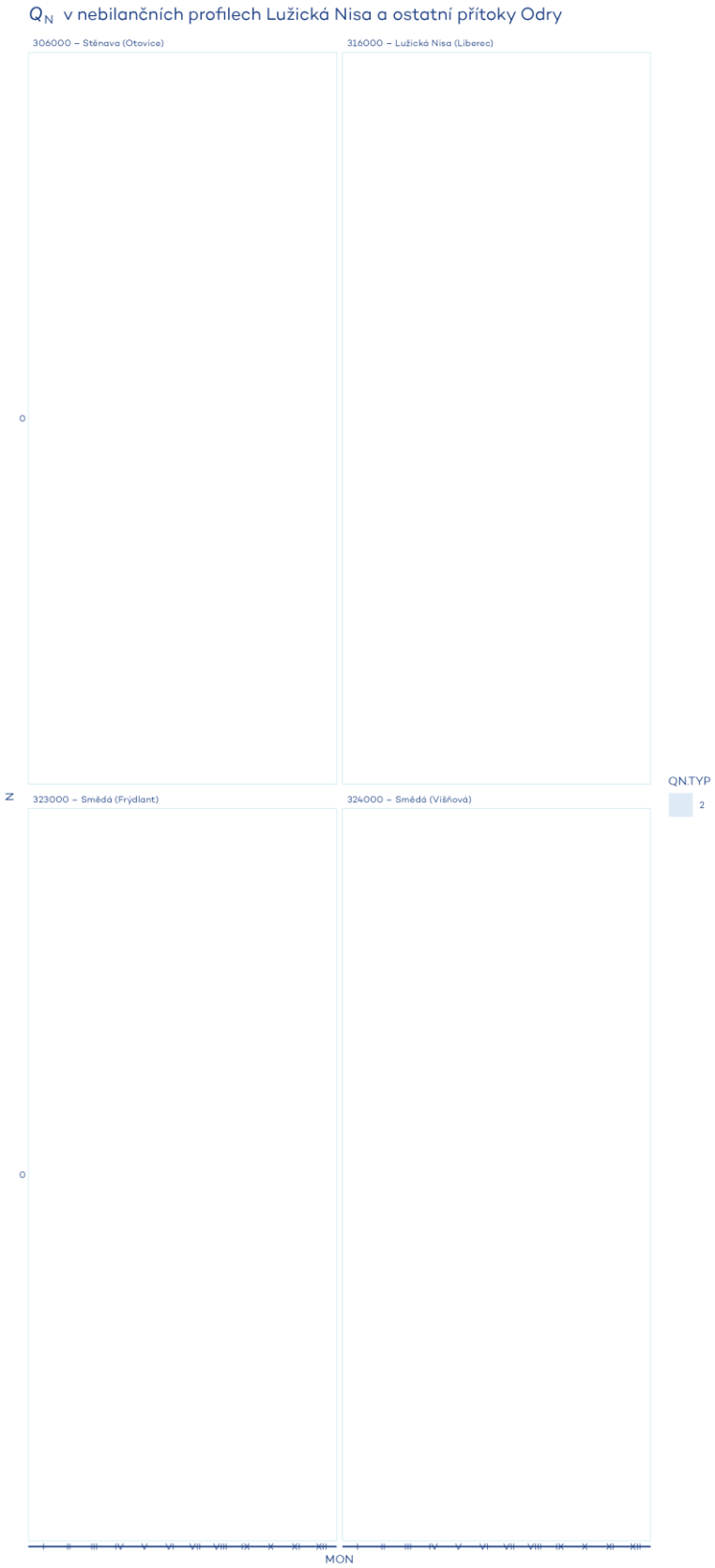
Obr. 2.4.88 Překročení Q_N v jednotlivých bilančních profilech dílčího povodí Horní Odra.



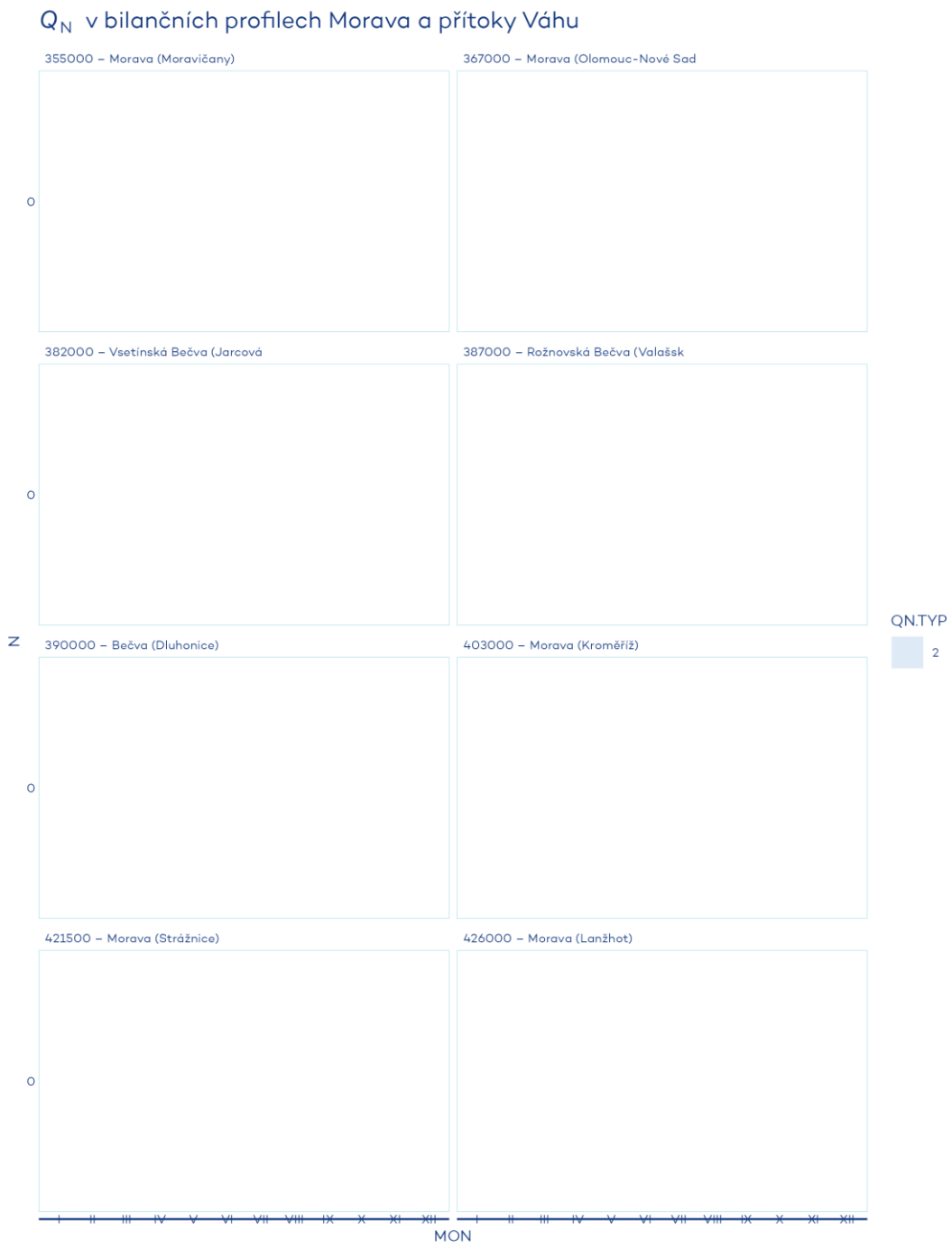
Obr. 2.4.89 Překročení Q_N v jednotlivých nebilančních profilech dílčího povodí Horní Odra.



Obr. 2.4.90 Překročení Q_N v jednotlivých bilančních profilech dílčího povodí Lužická Nisa a ostatní přítoky Odry.



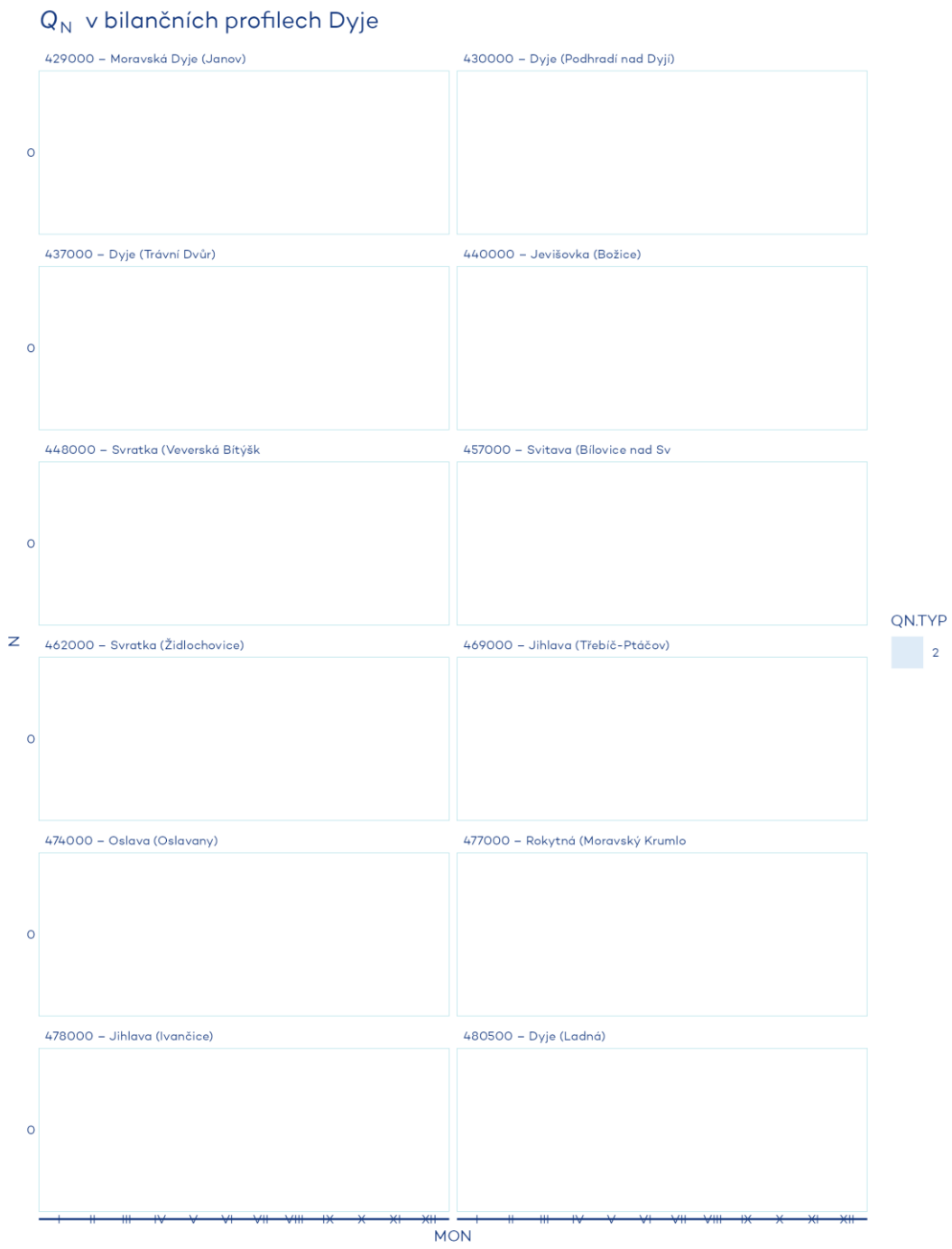
Obr. 2.4.91 Překročení Q_N v jednotlivých nebilančních profilech dílčího povodí Lužická Nisa a ostatní přítoky Odry.



Obr. 2.4.92 Překročení Q_N v jednotlivých bilančních profilech dílčího povodí Morava a přítoky Váhu.



Obr. 2.4.93 Překročení Q_N v jednotlivých nebilančních profilech dílčího povodí Morava a přítoky Váhu.



Obr. 2.4.94 Překročení Q_N v jednotlivých bilančních profilech dílčího povodí Dyje.



Obr. 2.4.95 Překročení Q_N v jednotlivých nebilančních profilech dílčího povodí Dyje.

PŘÍLOHA 4

Bilance jakosti vody

Tab. P.3.1.1 Klasifikace ukazatelů jakosti povrchových vod ve vybraných profilech dle ČSN 75 7221

Tab. P.3.1.2 Nehodnocené ukazatele dle NV 401/2015 Sb.

Tab. P.3.1.3 Hodnocení jakosti povrchových vod podle NEK dle Nařízení vlády č. 401/2015 Sb.

Tab. P.3.1.4 Odnos v závěrových profilech

Tab. P.3.1.5 Odnos v závěrových profilech v letech 2023–2025

Tab. P.3.1.1 Klasifikace ukazatelů jakosti povrchových vod ve vybraných profilech dle ČSN 75 7221 v roce 2025

skupina A, B a E

DBČ	Profil	Tok	Dílčí povodí	elektrolytická konduktivita	rozpuštěné látky při 105 °C	nerozpuštěné látky při 105 °C	kyslík rozpuštěný v terénu	chemická spotřeba kyslíku manganistanem	chemická spotřeba kyslíku dichromanem	biochemická spotřeba kyslíku BSK-5	uhlík celkový organický	chloridy	sírany	fluoridy	kyanidy celkové	dusík celkový	dusík amoniakální	dusík dusitanový	dusík dusičnanový	fosfor celkový	index saprobity bentosu	chlorofyl	termotolerantní koliformní bakterie	enterokoky
PLA_10	Nepasice	Orlice	LA	2	1	2	1	2	2	2	2	1	1	1	1	2	1	1	2	3		3	4	2
PLA_1007	Litoměřice	Labe	LA	2	2	2	1	3	3	4	3	1	1		1	2	1	1	2	3	2	5	1	1
PLA_1018	Čestice	Divoká Orlice	LA	1	1	1	1	2	2	2	1	1	1	1	1	2	1	2	2	2		3	3	2
PLA_1029	Luková	Cidlina	LA	3	3	3	1	3	3	2	3	1	2			3	2	2	3	3		3	2	2
PLA_1034	Císařská Kuchyně	Výmola	LA	3	3	3	1	3	3	3	-2	2	3			3	2	2	4	4		5	2	2
PLA_1054	Ostroměř	Javorka	LA	2	2	2	1	2	2	2	2	1	1			2	2	2	2	3		2	3	3
PLA_12	Němčice	Labe	LA	2	1	2	1	2	2	2	2	1	1	1	1	2	1	2	2	3	2	4	2	2
PLA_15	Valy	Labe	LA	2	2	2	1	2	2	2	2	1	1	1	1	2	1	1	2	3	3	4	2	2
PLA_16	Záboří nad Labem	Doubrava	LA	2	2	2	1	2	3	2	3	1	2	1	1	2	2	2	2	3		5	1	1
PLA_2	Debrné	Labe	LA	1	1	1	1	1	1	2	1	1	1	1	1	2	1	1	2	2	2	3	2	3
PLA_20	Nymburk	Mrlina	LA	4	4	3	1	4	3	3	4	1	3			3	3	2	4	3	2	5	2	1
PLA_23	Spálov	Jizera	LA	1	1	2	1	2	2	2	1	1	1		1	1	1	1	1	2	2	2	2	2
PLA_24	Spálov	Kamenice	LA	1	1	1	1	3	2	1	2	1	1	1	1	1	1	1	1	2	1	1	2	2
PLA_240	Lysá nad Labem	Labe	LA	2	2	2	1	2	3	3	2	1	1	1	1	2	1	1	2	3	2	5	1	1
PLA_241	Obříství	Labe	LA	2	2	2	1	2	3	3	2	1	1	1	1	2	1	1	2	3	3	5	2	1

DBČ	Profil	Tok	Dílčí povodí	elektrolytická konduktivita	rozpuštěné látky při 105 °C	nerozpuštěné látky při 105 °C	kyslík rozpuštěný v terénu	chemická spotřeba kyslíku manganistanem	chemická spotřeba kyslíku dichromanem	biochemická spotřeba kyslíku BSK-5	uhlík celkový organický	chloridy	sírany	fluoridy	kyanidy celkové	dusík celkový	dusík amoniakální	dusík dusitanový	dusík dusičnanový	fosfor celkový	index saprobity bentosu	chlorofyl	termotolerantní koliformní bakterie	enterokoky
PLA_25	Příšovice	Jizera	LA	1	1	1	1	2	2	2	1	1	1	1	1	2	2	1	2	3	2	1	3	2
PLA_27	Vinec	Jizera	LA	1	1	2	1	2	2	2	2	1	1			2	1	1	2	2	2	2	2	2
PLA_311	Sány	Cidlina	LA	3	3	3	1	3	3	3	4	1	2	1	1	3	3	2	3	3		5	2	2
PLA_312	Dašice	Loučná	LA	3	3	1	1	1	1	2	1	1	1	1	1	3	1	2	4	3		2	2	1
PLA_343	Kolín pod	Labe	LA	2	2	2	1	2	2	3	2	1	1			2	1	1	2	3	2	4	2	2
PLA_4	Hořenice	Labe	LA	1	1	2	1	1	1	2	1	1	1		1	2	2	2	2	3	3	2	2	2
PLA_43	Třebechovice pod Orebem	Dědina	LA	3	2	1	1	2	2	2	2	1	1			3	4	2	3	4		2	4	3
PLA_44	Starý Kolín	Klejnárka	LA	3	3	1	1	2	3	2	3	1	3			3	4	2	3	4		2	4	3
PLA_46	Kosičky	Bystřice	LA	3	3	1	1	1	2	2	3	1	2			3	1	2	3	3		2	2	2
PLA_48	Písty	Výrovka	LA	4	3	2	1	2	2	2	3	2	3			3	3	2	3	4		3	3	4
PLA_49	Hronětice	Vlkava	LA	4	4	2	1	3	3	3	5	1	3			4	5	3	4	5		3	2	3
PLA_5	Jaroměř	Úpa	LA	1	1	2	1	1	2	2	1	1	1	1	1	2	1	1	2	3		1	4	2
PLA_58	Nemošice	Chrudimka	LA	2	2	1	1	2	2	2	2	1	1	1	1	2	2	2	3	3		4	2	1
PLA_6	Jaroměř	Metuje	LA	2	1	3	1	2	3	2	2	1	1	1	1	2	1	2	2	3		2	3	2
PLA_7	Hradec Králové	Labe	LA	2	1	1	1	1	1	2	1	1	1	1	1	2	1	1	2	3	2	2	2	1
PLA_9	Žďár nad Orlicí	Tichá Orlice	LA	2	1	2	1	2	2	2	2	1	1	1	1	2	1	2	2	3		3	5	3
PVL_1041	Březí	Vltava	VH	1	1	2	1		3	2	2	1	1		-2	1	1	1	1	2		3	1	1
PVL_1042	Hluboká nad Vltavou	Vltava	VH	1	1	1	1		3	2	3	1	1	1	-2	1	1	1	1	2		2	2	1
PVL_1048	Roudné	Malše	VH	1	1	1	1		3	2	3	1	1		1	1	1	1	1	2	2	2	1	1
PVL_1049	Veselí nad Lužnicí	Lužnice	VH	1	1	4	1		5	4	5	1	1			2	3	2	1	4		5	2	1

DBČ	Profil	Tok	Dílčí povodí	elektrolytická konduktivita	rozpuštěné látky při 105 °C	nerozpuštěné látky při 105 °C	kyslík rozpuštěný v terénu	chemická spotřeba kyslíku manganistanem	chemická spotřeba kyslíku dichromanem	biochemická spotřeba kyslíku BSK-5	uhlík celkový organický	chloridy	sírany	fluoridy	kyanidy celkové	dusík celkový	dusík amoniakální	dusík dusitanový	dusík dusičnanový	fosfor celkový	index saprobity bentosu	chlorofyl	termotolerantní koliformní bakterie	enterokoky
PVL_1051	Veselí nad Lužnicí	Nežárka	VH	1	1	2	1		4	3	4	1	1		1	2	1	1	2	3	3	4	1	1
PVL_1058	Heřmaň	Blanice	VH	1	1	2	1		3	3	3	1	1	1		1	1	1	1	1	3		4	2	
PVL_3209	Pěkná	Vltava	VH	1	1	1	1	2	2	1	2	1	1			1	1	1	1	2		1	1	
PVL_3288	Katovice	Otava	VH	1	1	1	1		2	2	1	1	1			1	1	1	1	2	3	2	1	
PVL_3922	Dolní Dvořiště	Malše	VH	1	1	1	1	2	2	1	2	1	1		1	1	1	1	1	2	2	1	1	1
PVL_3923	Pořešín	Malše	VH	1	1	1	1	2	3	2	2	1	1	1	-2	1	1	1	1	2		1	1	
PVL_4004	Bechyně	Lužnice	VH	1	1	3	1		4	3	4	1	1	1		2	1	1	2	3		5	1	1
PVL_4005	Topělec	Otava	VH	1	1	1	1		3	2	3	1	1	1		1	2	1	1	2		4	2	3
PVL_1072	Plzeň	Mže	BE	1	1	1	1		2	1	2	1	1		1	2	1	1	2	2	2	2	3	4
PVL_1080	Doudlevce	Úhlava	BE	1	1	1	1	1	2	2	1	1	1	-2	-2	2	1	1	2	3		3	2	3
PVL_1083	Doubravka	Úslava	BE	2	1	2	1		3	3	3	1	1			2	1	1	2	3		5	1	
PVL_1084	Bukovec	Berounka	BE	2	1	1	1		2	2	2	1	1	1	1	2	1	1	2	2		4	1	1
PVL_1088	Hýskov	Berounka	BE	2	1	1	1		2	2	2	1	1		1	2	1	1	2	2	3	5	1	1
PVL_1090	Lahovice	Berounka	BE	2	1	1	1		2	3	2	1	1		1	2	1	1	2	3		5	1	1
PVL_1092	Borek	Střela	BE	2	1	1	1		2	2	2	1	1		1	2	1	1	2	3	2	2	2	3
PVL_1094	Beroun	Litavka	BE	3	2	2	1		2	2	2	1	2		1	2	1	2	2	4		3	2	
PVL_1097	Stříbro pod	Mže	BE	1	1	1	1	2	3	2	3	1	1			2	1	1	2	3	2	3	2	
PVL_3114	Dobřany pod (Šlovice)	Radbuza	BE	2	1	3	1		3	3	2	1	1		1	3	1	1	3	3		5	2	
PVL_3205	Dolany	Úhlava	BE	1	1	1	1		2	2	1	1	1			1	2	2	2	3		3	2	
PVL_0105	Zelčín	Vltava	VD	2	1	3	1		3	3	3	1	1			2	1	1	2	3	3	5	2	1
PVL_1044	Vrané	Vltava	VD	1	1	1	1		2	2	3	1	1			2	1	1	2	2		4	1	1

DBČ	Profil	Tok	Dílčí povodí	elektrolytická konduktivita	rozpuštěné látky při 105 °C	nerozpuštěné látky při 105 °C	kyslík rozpuštěný v terénu	chemická spotřeba kyslíku manganistanem	chemická spotřeba kyslíku dichromanem	biochemická spotřeba kyslíku BSK-5	uhlík celkový organický	chloridy	sírany	fluoridy	kyanidy celkové	dusík celkový	dusík amoniakální	dusík dusitanový	dusík dusičnanový	fosfor celkový	index saprobity bentosu	chlorofyl	termotolerantní koliformní bakterie	enterokoky
PVL_1062	Zruč nad Sázavou	Sázava	VD	2	1	3	1		3	3	3	1	1	1	1	3	1	1	4	3		5	1	2
PVL_1064	Pikovice	Sázava	VD	2	1	3	1		3	3	3	1	1	1	1	3	1	1	3	3		5	1	1
PVL_1066	Radonice	Blanice	VD	2	2	1	1		3	3	3	1	1		1	3	1	1	4	4	2	5	1	2
PVL_1096	Kralupy nad Vltavou	Zákolanský potok	VD	4	4	3	1		3	4	3	2	3	2		3	2	2	3	5		5	5	
PVL_3449	Vepřek	Bakovský potok	VD	5	4	3	1		3	3	3	2	4			2	3	2	2	4		4	2	
PVL_4200	Poříčí	Želivka	VD	1	1	1	1	1	2	2	2	1	1	1	1	3	1	2	3	2	2	2	1	1
PVL_6900	Pelhřimov pod (Poříčský Dvůr)	Bělá	VD	2	1	1	1		2	3	2	1	1			3	2	2	3	3	3	4	2	
PVL_7503	Nové Dvory (Červený mlýn)	Sázava	VD	1	1	2	1		3	2	3	1	1		-2	2	1	1	3	3		3	2	
PLA_242	Děčín	Labe	OH	2	2	2	1	2	3	3	3	1	1	1	1	2	1	1	2	3	3	5	2	1
PLA_246	Schmilka - pravý břeh	Labe	OH	2	2	2	1	2	3	2	3	1	1	1	1	2	1	1	2	3	3	5	2	2
PLA_309	Ústí nad Labem	Bílina	OH	4	3	1	1		3		3	2	4		-2	3	3	2	3	4			4	4
PLA_341	Pod Lovosicemi	Labe	OH	2	1	2	1	3	3	3	3	1	1			2	1	1	2	2		5	2	1
POH_1001	Terezín	Ohře	OH	2	-2	1	1		2	2	2	1	2		-2	1	1	1	1	2	2	2	2	2
POH_1008	Želina	Ohře	OH	2	-2	1	1		2	2	2	1	2		-2	1	2	1	1	2		2	2	2
POH_1019	Sokolov	Svatava	OH	3	-2	1	1		-2	2	-2	1	3			-2	2	1	1	2	2		2	
POH_1021	Dvory	Chodovský potok	OH	-2	-2	-2	-2		-2	-2	-2	-2	-2			-2	-2	-2	-2	-2	3		5	
POH_1022	Rybáře	Rolava	OH	1	-2	1	1		-2	1	-2	1	1			1	1	1	1	2	2		2	
POH_1024	Ostrov nad Ohří	Bystřice	OH	1	-2	1	1		-2	2	-2	1	1			-2	3	1	1	4			4	
POH_1027	Postoloprty	Chomutovka	OH	3	-2	1	1		3	3	-2	2	2			3	4	2	3	4	3		3	
POH_1032	Březiny	Ploučnice	OH	2	-2	2	1		-2	2	2	1	1		-2	1	1	1	2	2			2	3
POH_1033	Česká Lípa	Ploučnice	OH	2	-2	3	1		2	1	2	1	2			1	1	1	2	2			2	2

DBČ	Profil	Tok	Dílčí povodí	elektrolytická konduktivita	rozpuštěné látky při 105 °C	nerozpuštěné látky při 105 °C	kyslík rozpuštěný v terénu	chemická spotřeba kyslíku manganistanem	chemická spotřeba kyslíku dichromanem	biochemická spotřeba kyslíku BSK-5	uhlík celkový organický	chloridy	sírany	fluoridy	kyanidy celkové	dusík celkový	dusík amoniakální	dusík dusitanový	dusík dusičnanový	fosfor celkový	index saprobity bentosu	chlorofyl	termotolerantní koliformní bakterie	enterokoky
POH_1036	Hřensko	Kamenice	OH	1	-2	1	1		1	2	-2	1	1			-2	1	1	1	2			3	4
POH_1037	Doubrava	Bílý Halštrov	OH	2	-2	1	1	-2	-2	2	-2	-2	-2			-2	3	2	2	3			4	3
POH_1101	hranice	Ohře	OH	1	1	1	1		2	2	2	1	1			2	1	1	2	2		3	2	2
POD_1141	Krnov	Opava	OD	1	1	1	1	1	1	2	1	1	1			1	1	1	1	1			2	
POD_1144	Malé Hoštice	Opava	OD	1	1	3	1	1	2	2	2	1	1			1	2	2	1	3		1	2	4
POD_1146	Třebovice	Opava	OD	1	1	1	1	1	2	2	2	1	1		4	2	3	2	1	3	2	3	2	3
POD_1152	Ostrava	Ostravice	OD	3	3	2	1	1	2	3	1	2	1		4	2	4	2	2	2	2	1	3	5
POD_1154	Slezská Ostrava	Lučina	OD	2	2	3	1	2	3	3	2	1	1		5	2	4	2	2	4	2	1	4	5
POD_1161	Svinov	Odra	OD	2	2	2	1	2	2	2	2	1	1		3	2	2	2	2	3	3	3	2	2
POD_1163	Bohumín	Odra	OD	3	3	3	1	2	3	4	2	1	2		5	2	5	2	1	4	3	4	5	5
POD_1164	Kunín	Jičínka	OD	2	2	1	1	3	3	2	3	1	1		3	2	1	2	1	5	3	1	4	4
POD_1165	Košatka	Lubina	OD	2	2	1	1	1	1	2	1	1	1			2	1	1	1	4	2	2	1	1
POD_3596	Mikulovice	Bělá	OD	1	1	1	1	1	1	2	1	1	1		2	1	1	1	1	2	2	1	2	3
POD_5407	ústí	Olše	OD	3	3	4	1	2	3	2	2	2	2		4	2	2	1	1	3	2	2	2	3
POD_5526	nad Petrůvkou	Olše	OD	3	3	2	1	2	2	2	1	2	1			2	1	1	1	3	2	2	2	3
POD_5535	Moravice - ústí	Moravice	OD	1	1	1	1	1	2	2	2	1	1		4	1	1	1	1	2	2	1	2	3
PLA_1024	Otovice	Stěnava	LN	2	1	1	1	1	2	2	1	1	1	1	1	2	1	1	2	3		2	5	3
PLA_1036	Ves u Černous	Smědá	LN	1	1	2	1	3	3	2	3	1	1	1	1	1	1	1	1	2		2	2	2
PLA_41	Hrádek nad Nisou	Lužická Nisa	LN	2	1	2	1	2	3	3	2	1	1	1	1	2	3	2	2	2	2	2	4	5
POH_1038	Varnsdorf	Mandava	LN	2	-2	1	1		-2	2	2	1	1			2	2	2	2	5			3	4
PMO_1132	Moravičany	Morava	MO	1	1	2	1		1	2	1	1	1			1	1	1	1	2		2	2	

DBČ	Profil	Tok	Dílčí povodí	elektrolytická konduktivita	rozpuštěné látky při 105 °C	nerozpuštěné látky při 105 °C	kyslík rozpuštěný v terénu	chemická spotřeba kyslíku manganistanem	chemická spotřeba kyslíku dichromanem	biochemická spotřeba kyslíku BSK-5	uhlík celkový organický	chloridy	sírany	fluoridy	kyanidy celkové	dusík celkový	dusík amoniakální	dusík dusitanový	dusík dusičnanový	fosfor celkový	index saprobity bentosu	chlorofyl	termotolerantní koliformní bakterie	enterokoky
PMO_1134	Blatec	Morava	MO	2	1	2	1		2	2	1	1	1		1	2	1	1	2	3		3	3	4
PMO_1166	Loštice	Třebůvka	MO	2	2	2	1		2	3	1	1	1	1	1	3	1	2	3	3	3	2	2	4
PMO_1167	Přovice	Oskava	MO	1	1	2	1		2	3	1	1	1	1	1	2	1	1	2	3	2	4	2	2
PMO_1168	Polkovice	Valová	MO	3	3	2	1		2	3	2	2	2			2	3	3	2	4		5	2	
PMO_1169	Bezměrov	Haná	MO	3	3	2	1		2	3	1	1	2			2	2	2	2	4		4	2	
PMO_1173	Valašské Meziříčí	Rožnovská Bečva	MO	1	1	1	1		2	2	1	1	1			2	1	1	2	4		2	3	
PMO_1174	Otrokovice	Dřevnice	MO	3	2	2	1		3	2	2	1	2			3	2	2	2	4		4	4	
PMO_1175	Kunovice	Olšava	MO	3	3	2	1		2	3	1	1	2		1	2	2	2	2	3		2	2	
PMO_3639	Sudkov	Desná	MO	1	1	2	1		1	2	1	1	1			2	1	1	1	2		1	3	
PMO_3643	Rájec	Moravská Sázava	MO	2	1	3	1		2	2	1	1	1			2	1	2	2	3		3	4	
PMO_3664	Valašské Meziříčí	Vsetínská Bečva	MO	2	1	3	1		3	2	1	1	1			1	1	1	1	3		3	2	
PMO_3670	Troubky	Bečva	MO	2	2	3	1		3	3	1	1	2	1	1	2	1	2	2	3		5	3	2
PMO_401	Lanžhot	Morava	MO	2	2	4	1	1	2	3	1	1	1	1	1	2	1	1	2	3	2	5	2	1
PMO_CZ0723434	Vlára	Vlára	MO	2	2	1	1		2	2	1	1	1	1	1	2	1	1	2	4	2	2	2	3
PMO_YPPMA024	Otrokovice	Morava	MO	2	2	2	1		2	2	1	1	1			2	1	1	2	2		5	1	
PMO_ZPPMA015	nad Olšavou	Morava	MO	2	2	2	1		2	2	1	1	1			2	1	1	2	3		5	2	
PMO_1181	Pouzdřany	Svratka	DY	3	2	3	1		3	3	2	1	2	1	1	3	2	2	3	4		5	2	4
PMO_1185	Židlochovice	Litava	DY	4	4	4	1		3	2	2	1	4	2	1	2	2	2	2	5	3	3	4	5
PMO_1188	Ivaň	Jihlava	DY	2	2	2	1		3	3	3	1	2		1	3	1	2	3	3		4	1	3
PMO_1189	pod Oslavany	Oslava	DY	3	3	1	1		2	3	2	1	3	1	1	3	1	2	3	3	2	4	1	3

DBČ	Profil	Tok	Dílčí povodí	elektrolytická konduktivita	rozpuštěné látky při 105 °C	nerozpuštěné látky při 105 °C	kyslík rozpuštěný v terénu	chemická spotřeba kyslíku manganistanem	chemická spotřeba kyslíku dichromanem	biochemická spotřeba kyslíku BSK-5	uhlík celkový organický	chloridy	sírany	fluoridy	kyanidy celkové	dusík celkový	dusík amoniakální	dusík dusitanový	dusík dusičnanový	fosfor celkový	index saprobity bentosu	chlorofyl	termotolerantní koliformní bakterie	enterokoky
PMO_1190	Ivančice	Rokytná	DY	3	3	2	1		3	2	3	1	2	2	1	3	1	1	3	4	2	4	1	2
PMO_1196	Lanžhot	Kyjovka	DY	3	3	4	1		3	3	3	1	3			2	4	3	2	4		4	3	
PMO_1197	Jevišovka	Jevišovka	DY	4	3	4	1		3	2	3	1	3			3	1	2	3	5		3	2	
PMO_1201	ústí	Svitava	DY	2	2	2	1		2	2	2	1	1	1	1	3	1	2	3	3	3	3	2	2
PMO_1202	Vladislav	Jihlava	DY	2	1	5	1		4	3	2	1	1			3	1	1	3	4		5	2	
PMO_1205	Podhradí nad Dyjí	Dyje	DY	1	1	3	1		3	3	2	1	1		1	2	1	1	2	2		5	1	1
PMO_3742	Písečné	Moravská Dyje	DY	1	1	2	1		3	3	3	1	1		1	2	2	2	2	3		5	1	1
PMO_402	Pohansko	Dyje	DY	3	3	3	1	2	3	2	3	1	2	1	1	2	1	2	2	4	3	5	2	1
PMO_DPPDy022	Jevišovka (nad)	Dyje	DY	3	3	3	1		3	3	2	1	4		1	3	1	2	2	3		3	2	4
PMO_SPPSv014	Veverská Bítýška	Svratka	DY	2	1	2	1		2	2	2	1	1	1	1	2	1	1	3	2	2	4	1	2

skupina C

DBČ	Profil	Tok	Dílčí povodí	AOX	bisfenol A	EDTA	glyfosát	1,1,2-trichlorethen	1,1,2,2-tetrachlorethen	4-terciální oktylfenol	alachlor OA	alachlor ESA	hexazinon	isoproturon	terbutryn	chlorotoluron	DEHP	MCPA	metazachlor	suma PAU	suma dichlorbenzenů	metolachlor a jeho metabolity	terbuthylazin a jeho metabolity	acetochlor a jeho metabolity	dimethachlor a jeho metabolity
PLA_10	Nepasice	Orlice	LA	2	1	2	1	1	1	1	1	1	1	1	1	1	1	1	1	3	1	1	1	1	1
PLA_1007	Litoměřice	Labe	LA	2			1	1	1	-2	-2	-2	1	-2	1	-2	-2	-2	1	-2	1	-2	-2	-2	-2
PLA_1018	Čestice	Divoká Orlice	LA	1	1	2	1	1	1	1	1	1	1	1	1	1	1	1	1	3	1	1	1	1	1
PLA_1029	Luková	Cidlina	LA	2			1	1	1		1	1	1	1	1	1		1	1		1	3	1	1	1
PLA_1034	Císařská Kuchyně	Výmola	LA	3		2	1																		
PLA_1054	Ostroměř	Javorka	LA	2			1																		
PLA_12	Němčice	Labe	LA	2	1	2	1	1	1	1	1	1	1	1	1	1	1	1	1	3	1	1	1	1	1
PLA_15	Valy	Labe	LA	2	1	2	1	1	1	1	1	1	1	1	1	1	1	1	1	2	1	3	2	1	1
PLA_16	Záboří nad Labem	Doubrava	LA	2	1	2	1	1	1	1	1	2	1	1	1	1	1	1	1	3	1	3	1	1	2
PLA_2	Debrné	Labe	LA	1	1	2	1	1	1	1	1	1	1	1	1	1	1	1	1	3	1	1	1	1	1
PLA_20	Nymburk	Mrlina	LA	2		2	1	-2	-2	-2	1	1	1	1	1	1	-2	1	1	-2		3	1	1	1
PLA_23	Spálov	Jizera	LA	2			1	1	1	-2	-2	-2	1	-2	1	-2	-2	-2	1	-2	1	-2	-2	-2	-2
PLA_24	Spálov	Kamenice	LA	1	1		1	1	1	1	1	1	1	1	1	1	1	1	1	3	1	1	1	1	1
PLA_240	Lysá nad Labem	Labe	LA	2	1	2	1	1	1	1	1	1	1	1	1	1	1	2	1	2	1	2	2	1	1
PLA_241	Obříství	Labe	LA	2	1	2	1	1	1	1	1	1	1	1	1	1	1	1	1	3	1	2	1	1	1

DBČ	Profil	Tok	Dílčí povodí	AOX	bisfenol A	EDTA	glyfosát	1,1,2-trichlorethen	1,1,2,2-tetrachlorethen	4-terciální oktylfenol	alachlor OA	alachlor ESA	hexazinon	isoproturon	terbutryn	chlorotoluron	DEHP	MCPA	metazachlor	suma PAU	suma dichlorbenzenů	metolachlor a jeho metabolity	terbuthylazin a jeho metabolity	acetochlor a jeho metabolity	dimethachlor a jeho metabolity
PLA_25	Příšovice	Jizera	LA	2	2		1	1	1	1	1	1	1	1	1	1	1	1	1	3	1	1	1	1	1
PLA_27	Vinec	Jizera	LA	2			1	-2	-2	-2	-2	-2	1	-2	1	-2	-2	-2	1	-2		-2	-2	-2	-2
PLA_311	Sány	Cidlina	LA	2	1	2	1	1	1	1	1	2	1	1	1	1	1	1	1	2	1	3	2	1	2
PLA_312	Dašice	Loučná	LA	2	1	2	1	1	1	1	1	1	1	1	1	1	1	1	1	2	1	2	1	1	1
PLA_343	Kolín pod	Labe	LA		1		1	1	1	-2	-2	-2	1	-2	1	-2	-2	-2	1	3	1	-2	-2	-2	-2
PLA_4	Hořenice	Labe	LA	1		2	1	1	1	-2	-2	-2	1	-2	1	-2	-2	-2	1	-2		-2	-2	-2	-2
PLA_43	Třebechovice pod Orebem	Dědina	LA	2			1	1	1				1		1				1		1				
PLA_44	Starý Kolín	Klejnárka	LA	3		2	1																		
PLA_46	Kosičky	Bystřice	LA	2			1				1	4	1	1	1	2		2	1			3	1	2	2
PLA_48	Písty	Výrovka	LA	2		2	1	1	1												1				
PLA_49	Hronětice	Vlkava	LA	2			1																		
PLA_5	Jaroměř	Úpa	LA	2	1	2	1	1	1	1	1	1	1	1	1	1	1	1	1	3	1	1	1	1	1
PLA_58	Nemošice	Chrudimka	LA	2	1		1	1	1	1	1	1	1	1	4	1	1	1	1	2	1	2	1	1	1
PLA_6	Jaroměř	Metuje	LA	2	1	2	1	1	1	1	1	1	1	1	1	1	1	1	1	4	1	1	1	1	1
PLA_7	Hradec Králové	Labe	LA	1	1	2	1	1	1	1	1	1	1	1	1	1	1	1	1	3	1	1	1	1	1
PLA_9	Žďár nad Orlicí	Tichá Orlice	LA	1	1	2	1	1	1	1	1	1	1	1	1	1	1	1	1	3	1	2	1	1	1
PVL_1041	Březí	Vltava	VH	1	1	2	1	1	1	1	1	1	1	1	1	1	1	1	1	3	1	1	1	1	1
PVL_1042	Hluboká nad Vltavou	Vltava	VH	1	1	2	1	1	1	1	1	1	1	1	1	1	1	1	1	3	1	1	1	1	1
PVL_1048	Roudné	Malše	VH	1	1	2	1	1	1	1	1	2	1	1	1	1	1	1	1	2	1	1	1	1	1
PVL_1049	Veselí nad Lužnicí	Lužnice	VH	2	1	2	1	1	1	1	1	1	1	1	1	1	1	1	1	1	1	1	1	1	1

DBČ	Profil	Tok	Dílčí povodí	AOX	bisfenol A	EDTA	glyfosát	1,1,2-trichlorethen	1,1,2,2-tetrachlorethen	4-terciální oktylfenol	alachlor OA	alachlor ESA	hexazinon	isoproturon	terbutryn	chlorotoluron	DEHP	MCPA	metazachlor	suma PAU	suma dichlorbenzenů	metolachlor a jeho metabolity	terbuthylazin a jeho metabolity	acetochlor a jeho metabolity	dimethachlor a jeho metabolity
PVL_1051	Veselí nad Lužnicí	Nežárka	VH	2	1	2	1	1	1	1	1	2	1	1	1	1	1	1	1	2	1	2	1	1	1
PVL_1058	Heřmaň	Blanice	VH	1	1	2				1	1	3	1	1	1	1	1	1	1	2		1	1	1	1
PVL_3209	Pěkná	Vltava	VH	1	1	1				1										1					
PVL_3288	Katovice	Otava	VH	1	1	2				1							1								
PVL_3922	Dolní Dvořiště	Malše	VH	1	1	2	1	1	1	1	1	1	1	1	1	1	1	1	1	1	1	1	1	1	1
PVL_3923	Pořešín	Malše	VH	1	1	2	1	-2	-2	1	1	1	1	1	1	1	1	1	1	3	-2	1	1	1	1
PVL_4004	Bechyně	Lužnice	VH	2	1	2	1	1	1	1	1	3	1	1	1	1	1	1	1	2	1	2	1	1	1
PVL_4005	Topělec	Otava	VH	1	1	2	1	1	1	1	1	2	1	1	1	1	1	1	1	3	1	1	1	1	1
PVL_1072	Plzeň	Mže	BE	2	1	2	1	1	1	1	1	3	1	1	1	1	1	1	1	1	1	1	1	1	1
PVL_1080	Doudlevce	Úhlava	BE	1	1	2	1	1	1	1	1	2	1	1	1	1	1	1	1	1	1	2	1	1	1
PVL_1083	Doubravka	Úslava	BE	2	1	2	1			1	1	2	1	1	1	1		1	1			2	1	1	1
PVL_1084	Bukovec	Berounka	BE	2	1	3	1	1	1	1	1	3	1	1	1	1	1	1	1	1	1	2	1	1	1
PVL_1088	Hýskov	Berounka	BE	2	1	2	1	1	1	1	1	3	1	1	1	1	1	1	1	1	1	2	1	1	1
PVL_1090	Lahovice	Berounka	BE	2	1	2	1	1	1	1	1	2	1	1	1	1	1	1	1	1	1	2	1	1	1
PVL_1092	Borek	Střela	BE	2	1	2	1	1	1	1	1	2	1	1	1	1	1	1	1	1	1	2	1	1	1
PVL_1094	Beroun	Litavka	BE	3	1	2	1			1	1	2	1	1	1	1		1	1	1		1	1	1	1
PVL_1097	Stříbro pod	Mže	BE	2	1	2				1							1			1					
PVL_3114	Dobřany pod (Šlovice)	Radbuza	BE	1	1	2	1			1	1	3	1	1	1	1		1	1			2	1	1	1
PVL_3205	Dolany	Úhlava	BE	1	1	3	1	1	2	1	1	1	1	1	1	1	1	1	1	3	1	1	1	1	1
PVL_0105	Zelčín	Vltava	VD	2	1	2	1	1	1	1	1	3	1	1	1	1	1	1	1	2	1	2	1	1	1
PVL_1044	Vrané	Vltava	VD	2	1	2	1	1	1	1	1	2	1	1	1	1	1	1	1	1	1	2	1	1	1

DBČ	Profil	Tok	Dílčí povodí	AOX	bisfenol A	EDTA	glyfosát	1,1,2-trichlorethen	1,1,2,2-tetrachlorethen	4-terciální oktylfenol	alachlor OA	alachlor ESA	hexazinon	isoproturon	terbutryn	chlorotoluron	DEHP	MCPA	metazachlor	suma PAU	suma dichlorbenzenů	metolachlor a jeho metabolity	terbuthylazin a jeho metabolity	acetochlor a jeho metabolity	dimethachlor a jeho metabolity
PVL_1062	Zruč nad Sázavou	Sázava	VD	2	1	2	1	1	1	1	1	2	1	1	1	1	1	1	1	2	1	2	1	1	2
PVL_1064	Pikovice	Sázava	VD	2	1	2	1	1	1	1	1	3	1	1	1	1	1	1	1	2	1	3	1	1	2
PVL_1066	Radonice	Blanice	VD	2	1	2	1	1	1	1	1	5	1	1	1	1	1	1	1	1	1	4	1	1	2
PVL_1096	Kralupy nad Vltavou	Zákolanský potok	VD	4	1	3		1	1	1	1	1	1	1	1	1	1	1	1	4	1	1	1	1	1
PVL_3449	Vepřek	Bakovský potok	VD	3	1	2	1			1	1	1	1	1	1	1		2	1	2		1	1	1	1
PVL_4200	Poříčí	Želivka	VD	2	1	2	1	1	1	1	1	4	1	1	1	1	1	1	1	1	1	2	1	1	1
PVL_6900	Pelhřimov pod (Poříčský Dvůr)	Bělá	VD	2	2	2	1			1	1	5	1	1	1	1	1	1	1	2		2	1	1	1
PVL_7503	Nové Dvory (Červený mlýn)	Sázava	VD	2	1	2				1							1			3					
PLA_242	Děčín	Labe	OH	2	1	3	1	1	1	1	1	2	1	1	1	1	1	1	1	2	1	2	1	1	1
PLA_246	Schmilka - pravý břeh	Labe	OH	2	1	3	1	1	1	1	1	2	1	1	1	1	1	1	1	2	1	2	1	1	1
PLA_309	Ústí nad Labem	Bílina	OH	2	-2	-2	-2	-2	-2	-2	-2	-2	1	1	1	1	-2	2	1	-2	-2	1	1	-2	-2
PLA_341	Pod Lovosicemi	Labe	OH		1	3	1	1	1	-2	-2	-2	1	-2	1	-2	-2	-2	1	-2	1	-2	-2	-2	-2
POH_1001	Terezín	Ohře	OH	-2	1	-2	-2	-2	-2	2	1	1	1	1	1	1	1	1	1	1	-2	2	1	1	1
POH_1008	Želina	Ohře	OH	2	1	2	1	1	1	2	1	1	1	1	1	1	2	1	1	1	1	1	1	1	1
POH_1019	Sokolov	Svatava	OH		-2			-2	-2	-2	-2	-2	-2	-2	-2	-2	-2	-2	-2	-2	-2	-2	-2	-2	-2
POH_1021	Dvory	Chodovský potok	OH		-2			-2	-2	-2	-2	-2	-2	-2	-2	-2	-2	-2	-2	-2	-2	-2	-2	-2	-2
POH_1022	Rybáře	Rolava	OH		-2			-2	-2	-2	-2	-2	-2	-2	-2	-2	-2	-2	-2	-2	-2	-2	-2	-2	-2
POH_1024	Ostrov nad Ohří	Bystřice	OH	1	1	2	1	1	1	2	1	1	1	1	1	1	1	1	1	1	1	1	1	1	1
POH_1027	Postoloprty	Chomutovka	OH	2	1	4	1	1	1	2	1	1	1	1	1	1	1	1	1	1	1	1	1	1	1
POH_1032	Březiny	Ploučnice	OH	-2	-2	-2	-2	-2	-2	-2	-2	-2	-2	-2	-2	-2	-2	-2	-2	-2	-2	-2	-2	-2	-2
POH_1033	Česká Lípa	Ploučnice	OH	1	1	2	1	1	2	2	1	1	1	1	1	1	1	1	1	1	1	1	1	1	1

DBČ	Profil	Tok	Dílčí povodí	AOX	bisfenol A	EDTA	glyfosát	1,1,2-trichlorethen	1,1,2,2-tetrachlorethen	4-terciální oktylfenol	alachlor OA	alachlor ESA	hexazinon	isoproturon	terbutryn	chlorotoluron	DEHP	MCPA	metazachlor	suma PAU	suma dichlorbenzenů	metolachlor a jeho metabolity	terbuthylazin a jeho metabolity	acetochlor a jeho metabolity	dimethachlor a jeho metabolity
POH_1036	Hřensko	Kamenice	OH	-2	-2			-2	-2	-2	-2	-2	-2	-2	-2	-2	-2	-2	-2	-2	-2	-2	-2	-2	-2
POH_1037	Doubrava	Bílý Halštrov	OH	1	1	2	1	1	1	2	1	1	1	1	1	1	1	1	1	1	1	1	1	1	1
POH_1101	hranice	Ohře	OH	-2	-2	-2	-2			-2	-2	-2	-2	-2	-2	-2	-2	-2	-2			-2	-2	-2	-2
POD_1141	Krnov	Opava	OD	2							1	1	1	1	1	1		1	1	3		1	1	1	1
POD_1144	Malé Hoštice	Opava	OD	2	1	2		1	2		1	1	1	1	1	1		1	1	3		2	1	1	1
POD_1146	Třebovice	Opava	OD	2	1	2	1	1	1		1	1	1	1	1	1		1	1	3		1	1	1	1
POD_1152	Ostrava	Ostravice	OD	4	2	2	1	1	1		1	1	1	1	1	1		1	1	2		1	1	1	1
POD_1154	Slezská Ostrava	Lučina	OD	2	2	2		1	1		1	1	1	1	1	1		1	1	2		1	1	1	1
POD_1161	Svinov	Odra	OD	3	1	2	1	1	1		1	3	1	1	1	1		3	1	2		2	1	1	1
POD_1163	Bohumín	Odra	OD	3	2	2	1	1	1		1	1	1	1	1	1	1	3	1	3		1	1	1	1
POD_1164	Kunín	Jičínka	OD	2	1	2		1	1		1	1	1	1	1	1		1	1	3		2	1	1	1
POD_1165	Košatka	Lubina	OD	3	1	2					1	1	1	1	1	1		1	1	2		1	1	1	1
POD_3596	Mikulovice	Bělá	OD	2	1	2	1				1	1	1	1	1	1	1	1	1	3		1	1	1	1
POD_5407	ústí	Olše	OD	2	2	2	1	1	1		1	1	1	1	1	1	1	1	1	3		1	1	1	1
POD_5526	nad Petrůvkou	Olše	OD	2	1	2		1	1		1	1	1	1	1	1	1	1	1	3		1	1	1	1
POD_5535	Moravice - ústí	Moravice	OD	2	1	2	1				1	1	1	1	1	1		1	1	2		1	1	1	1
PLA_1024	Otovice	Stěnava	LN	1	1	2	1	1	1	1	1	1	1	1	1	1	1	2	1	3	1	1	1	1	1
PLA_1036	Ves u Černous	Smědá	LN	2	1		1	1	1	1	1	1	1	1	1	1	1	1	1	3	1	1	1	1	1
PLA_41	Hrádek nad Nisou	Lužická Nisa	LN	2	2	2	1	1	1	1	1	1	1	1	1	1	1	1	1	3	1	1	1	1	1
POH_1038	Varnsdorf	Mandava	LN	2	-2	-2	-2			-2	-2	-2	-2	-2	-2	-2	-2	-2	-2			-2	-2	-2	-2
PMO_1132	Moravičany	Morava	MO	-2																					

DBČ	Profil	Tok	Dílčí povodí	AOX	bisfenol A	EDTA	glyfosát	1,1,2-trichlorethen	1,1,2,2-tetrachlorethen	4-terciální oktylfenol	alachlor OA	alachlor ESA	hexazinon	isoproturon	terbutryn	chlorotoluron	DEHP	MCPA	metazachlor	suma PAU	suma dichlorbenzenů	metolachlor a jeho metabolity	terbuthylazin a jeho metabolity	acetochlor a jeho metabolity	dimethachlor a jeho metabolity
PMO_1134	Blatec	Morava	MO	1	-2	-2	1	1	2		-2	-2	-2	-2	-2	-2	-2	-2	-2	-2	1	-2	-2	-2	-2
PMO_1166	Loštice	Třebůvka	MO	1	1	4	1	1	1	1	1	3	1	1	1	1	-2	1	1	3	1	2	1	1	1
PMO_1167	Přovice	Oskava	MO	1	1	2	1	1	1	1	1	1	1	1	1	1		1	1	3	1	1	1	1	1
PMO_1168	Polkovice	Valová	MO	-2													-2								
PMO_1169	Bezměrov	Haná	MO	-2																					
PMO_1173	Valašské Meziříčí	Rožnovská Bečva	MO	-2																					
PMO_1174	Otrokovice	Dřevnice	MO	-2													-2								
PMO_1175	Kunovice	Olšava	MO	-2													-2								
PMO_3639	Sudkov	Desná	MO	-2																					
PMO_3643	Rájec	Moravská Sázava	MO	-2																					
PMO_3664	Valašské Meziříčí	Vsetínská Bečva	MO	-2																					
PMO_3670	Troubky	Bečva	MO	1	-2	-2	1	1	1		-2	-2	-2	-2	-2	-2	1	-2	-2	-2	1	-2	-2	-2	-2
PMO_401	Lanžhot	Morava	MO	1	1	2	1	1	1	1	1	1	1	1	1	1	1	1	1	1	1	1	1	1	1
PMO_CZ0723434	Vlára	Vlára	MO	1	1	2	1	1	2	1	1	1	1	1	1	1	-2	1	1	3	1	1	1	1	1
PMO_YPPMA024	Otrokovice	Morava	MO	-2													-2								
PMO_ZPPMA015	nad Olšavou	Morava	MO	-2													1								
PMO_1181	Pouzdřany	Svratka	DY	2	-2	-2	1	1	2		-2	-2	-2	-2	-2	-2		-2	-2	-2	1	-2	-2	-2	-2
PMO_1185	Židlochovice	Litava	DY	2	1	2	1	1	1	1	1	1	1	1	1	1		1	1	3	1	1	1	1	1
PMO_1188	Ivaň	Jihlava	DY	2	-2	-2	1	1	1		-2	-2	-2	-2	-2	-2		-2	-2	-2	1	-2	-2	-2	-2
PMO_1189	pod Oslavany	Oslava	DY	2	1	2	1	1	1	1	1	1	1	1	1	1	-2	1	1	1	1	2	2	1	1

DBČ	Profil	Tok	Dílčí povodí	AOX	bisfenol A	EDTA	glyfosát	1,1,2-trichlorethen	1,1,2,2-tetrachlorethen	4-terciální oktylfenol	alachlor OA	alachlor ESA	hexazinon	isoproturon	terbutryn	chlorotoluron	DEHP	MCPA	metazachlor	suma PAU	suma dichlorbenzenů	metolachlor a jeho metabolity	terbuthylazin a jeho metabolity	acetochlor a jeho metabolity	dimethachlor a jeho metabolity
PMO_1190	Ivančice	Rokytná	DY	2	1	2	1	1	1	1	1	1	1	1	1	1	-2	1	1	1	1	2	2	1	1
PMO_1196	Lanžhot	Kyjovka	DY	-2																					
PMO_1197	Jevišovka	Jevišovka	DY	-2																					
PMO_1201	ústí	Svitava	DY	1	1	2	1	1	2	1	1	1	1	1	1	1	-2	1	1	3	1	1	1	1	1
PMO_1202	Vladislav	Jihlava	DY	-2																					
PMO_1205	Podhradí nad Dyjí	Dyje	DY	2	-2	-2	1	1	1		-2	-2	-2	-2	-2	-2		-2	-2	-2	1	-2	-2	-2	-2
PMO_3742	Písečné	Moravská Dyje	DY	2	-2	-2	1	1	1		-2	-2	-2	-2	-2	-2		-2	-2	-2	1	-2	-2	-2	-2
PMO_402	Pohansko	Dyje	DY	2	1	2	1	1	1	1	1	1	1	1	1	1	1	1	1	1	1	2	1	1	1
PMO_DPPDy022	Jevišovka (nad)	Dyje	DY	2	-2	-2	1	1	1		-2	-2	-2	-2	-2	-2		-2	-2	-2	1	-2	-2	-2	-2
PMO_SPPSv014	Veverská Bítýška	Svratka	DY	2	1	2	1	1	1	1	1	1	1	1	1	1	-2	1	1	2	1	2	1	1	1

skupina D

DBČ	Profil	Tok	Dílčí povodí	arsen	baryum	beryllium	bor	hliník	chrom celkový	kadmium	kadmium po filtraci	kobalt	mangan celkový	měď	měď po filtraci	nikl	nikl po filtraci	olovo	olovo po filtraci	rtuť	rtuť po filtraci	selen	vanad	zinek	železo celkové
PLA_10	Nepasice	Orlice	LA	2	1	1	1	1	1	1	-2	1	1	2		1	1	1	1	1	1	1	1	1	1
PLA_1007	Litoměřice	Labe	LA	2	1	1	1	1	1	1	-2	1	2	2		1	-2	1	-2	1	-2	1	1	1	1
PLA_1018	Čestice	Divoká Orlice	LA	2	1	1	1	1	1	1		1	1	2		1		1		1		1	1	1	1
PLA_1029	Luková	Cidlina	LA	2	2	1	1	1	1	1		1	2	2		1		1		1		1	1	1	1
PLA_1034	Císařská Kuchyně	Výmola	LA	2	1	1	1	1	1	1		2	2	2		3		1		1		1	1	2	1
PLA_1054	Ostroměř	Javorka	LA	2	3	1	1	1	1	1		1	1	2		1		1		1		1	1	1	1
PLA_12	Němčice	Labe	LA	2	2	1	1	1	1	1	-2	1	1	2		1	-2	1	-2	1	-2	1	1	1	1
PLA_15	Valy	Labe	LA	2	2	1	1	1	1	1	1	1	1	2	2	1	1	1	1	1	1	1	1	1	1
PLA_16	Záboří nad Labem	Doubrava	LA	2	2	1	1	1	1	1		1	2	2		2		1		1		1	1	1	1
PLA_2	Debrné	Labe	LA	2	2	1	1	1	1	1	-2	1	1	2		1	-2	1	-2	1	-2	1	1	1	1
PLA_20	Nymburk	Mrlina	LA	2	2	1	2	1	1	1	-2	1	2	2		2	-2	1	-2	1	-2	1	1	1	1
PLA_23	Spálov	Jizera	LA	2	1	1	1	1	1	1	-2	1	1	2		1	-2	1	-2	1	-2	1	1	1	1
PLA_24	Spálov	Kamenice	LA	2	1	1	1	1	1	2	-2	1	1	2		1	-2	1	-2	1	-2	1	1	1	1
PLA_240	Lysá nad Labem	Labe	LA	2	2	1	1	1	1	1	1	1	2	2	2	3	3	1	1	1	1	1	1	2	1
PLA_241	Obříství	Labe	LA	2	1	1	1	1	1	1	1	1	2	2	2	2	2	1	1	1	1	1	1	1	1

DBČ	Profil	Tok	Dílčí povodí	arsen	baryum	beryllium	bor	hliník	chrom celkový	kadmium	kadmium po filtraci	kobalt	mangan celkový	měď	měď po filtraci	nikl	nikl po filtraci	olovo	olovo po filtraci	rtuť	rtuť po filtraci	selen	vanad	zinek	železo celkové
PLA_25	Příšovice	Jizera	LA	2	1	1	1	1	1	1	-2	1	1	2		1	-2	1	-2	1	-2	1	1	1	1
PLA_27	Vinec	Jizera	LA	2	1	1	1	1	1	-2	-2	1	1	2		-2	-2	-2	-2	-2	-2	1	1	1	1
PLA_311	Sány	Cidlina	LA	2	2	1	1	1	1	1		1	2	2		2		1		1		1	1	1	1
PLA_312	Dašice	Loučná	LA	2	1	1	1	1	1	1		1	1	2		1		1		1		1	1	1	1
PLA_343	Kolín pod	Labe	LA	2	2	1	1	1	1	-2	-2	1	2	2		-2	-2	-2	-2	-2	-2	1	1	2	1
PLA_4	Hořenice	Labe	LA	2	2	1	1	1	1	1	-2	1	1	2		1	-2	1	-2	1	-2	1	1	1	1
PLA_43	Třebechovice pod Orebem	Dědina	LA	2	2	1	1	1	1	1		1	1	2		1		1		1		1	1	1	1
PLA_44	Starý Kolín	Klejnárka	LA	4	1	1	1	1	1	1		1	2	2		1		1		1		1	1	2	1
PLA_46	Kosičky	Bystřice	LA	2	2	1	1	1	1			1	3	2								1	1	1	2
PLA_48	Písty	Výrovka	LA	2	3	1	1	1	1	1		1	2	2		1		1		1		1	1	1	2
PLA_49	Hronětice	Vlkava	LA	2	2	1	2	1	1	1		1	1	2		2		1		1		1	1	1	1
PLA_5	Jaroměř	Úpa	LA	2	2	1	1	1	1	1		1	1	2		1		1		1		1	1	1	1
PLA_58	Nemošice	Chrudimka	LA	2	1	1	1	1	1	1		1	2	2		1		1		1		1	1	1	1
PLA_6	Jaroměř	Metuje	LA	2	2	1	1	1	1	1		1	1	2		1		1		1		1	1	1	1
PLA_7	Hradec Králové	Labe	LA	2	2	1	1	1	1	1	-2	1	1	2		1	-2	1	-2	1	-2	1	1	1	1
PLA_9	Žďár nad Orlicí	Tichá Orlice	LA	2	2	1	1	1	1	1		1	1	2		1		1		1		1	1	1	1
PVL_1041	Březí	Vltava	VH	2	1	1	1	1	1		1	1	2	1	1		1		1		1	1	1	1	2
PVL_1042	Hluboká nad Vltavou	Vltava	VH	2	1	1	1	1	1		1	1	1	1	1		1		1		1	1	1	1	2
PVL_1048	Roudné	Malše	VH	2	1	1	1	1	1		1	1	2	1	1		1		1		1	1	1	1	2
PVL_1049	Veselí nad Lužnicí	Lužnice	VH	2	2	1	1	1	1	1	1	1	3	1	1	1	1	2	1	1	1	1	1	1	4

DBČ	Profil	Tok	Dílčí povodí	arsen	baryum	beryllium	bor	hliník	chrom celkový	kadmium	kadmium po filtraci	kobalt	mangan celkový	měď	měď po filtraci	nikl	nikl po filtraci	olovo	olovo po filtraci	rtuť	rtuť po filtraci	selen	vanad	zinek	železo celkové
PVL_1051	Veselí nad Lužnicí	Nežárka	VH	2	1	1	1	1	1		1	1	2	1	1		1		1		1	1	1	1	2
PVL_1058	Heřmaň	Blanice	VH	2					1					1										1	3
PVL_3209	Pěkná	Vltava	VH	2				1	1		2			1			1		1		1			1	2
PVL_3288	Katovice	Otava	VH	2					1					1										1	2
PVL_3922	Dolní Dvořiště	Malše	VH	1	1	1	1	1	1		2	1	1	1	1		1		1		1	1	1	1	2
PVL_3923	Pořešín	Malše	VH	1	-2	-2	-2		1	-2	1	-2	-2	1		-2	1	-2	1	-2	1	-2	-2	1	2
PVL_4004	Bechyně	Lužnice	VH	2	1	1	1	1	1	1	1	1	3	1	1	1	1	1	1	1	1	1	1	1	2
PVL_4005	Topělec	Otava	VH	2	1	1	1	1	1		1	1	1	1	1		1		1		1	1	1	1	2
PVL_1072	Plzeň	Mže	BE	2	1	1	1	1	1		1	1	2	1	1		2		1		1	1	1	1	2
PVL_1080	Doudlevce	Úhlava	BE	2				1	1	-2	1		2	1	1	-2	1	-2	1	-2	1			1	2
PVL_1083	Doubravka	Úslava	BE	2					1					1										1	
PVL_1084	Bukovec	Berounka	BE	2	1	1	1	1	1	1	1	1	2	1	1	1	1	1	1	1	1	1	1	1	1
PVL_1088	Hýskov	Berounka	BE	2	1	1	1	1	1		1	1	2	1	1		2		1		1	1	1	1	1
PVL_1090	Lahovice	Berounka	BE	2	1	1	1	1	1	1	1	1	2	1	1	1	2	1	1	1	1	1	1	1	1
PVL_1092	Borek	Střela	BE	2	1	1	1	1	1		1	1	2	1	1		2		1		1	1	1	1	2
PVL_1094	Beroun	Litavka	BE	2					1	2	1			1		1	1	2	1	1	1			3	2
PVL_1097	Stříbro pod	Mže	BE	2					1				-2	1										3	2
PVL_3114	Dobřany pod (Šlovice)	Radbuza	BE	2					1					1										1	2
PVL_3205	Dolany	Úhlava	BE	2					1					1										1	2
PVL_0105	Zelčín	Vltava	VD	2	1	1	1	1	1	1	1	1	2	1	1	1	1	1	1	1	1	1	1	1	1
PVL_1044	Vrané	Vltava	VD	2	1	1	1	1	1		1	1	1	1	1		1		1		1	1	1	1	1

DBČ	Profil	Tok	Dílčí povodí	arsen	baryum	beryllium	bor	hliník	chrom celkový	kadmium	kadmium po filtraci	kobalt	mangan celkový	měď	měď po filtraci	nikl	nikl po filtraci	olovo	olovo po filtraci	rtuť	rtuť po filtraci	selen	vanad	zinek	železo celkové
PVL_1062	Zruč nad Sázavou	Sázava	VD	2	1	1	1	1	1	1	1	1	2	1	1	2	2	1	1	1	1	1	1	1	1
PVL_1064	Pikovice	Sázava	VD	2	1	1	1	1	1	1	1	1	2	1	1	1	1	1	1	1	1	1	1	1	1
PVL_1066	Radonice	Blanice	VD	2	1	1	1	1	1		1	1	2	1	1		2		1		1	1	1	1	1
PVL_1096	Kralupy nad Vltavou	Zákolanský potok	VD	2					1				2	2										2	2
PVL_3449	Vepřek	Bakovský potok	VD	2					1	1				1		2		1		1				2	
PVL_4200	Poříčí	Želivka	VD	2	1	1	1	1	1		1	1	2	1	1		1		1		1	1	1	1	1
PVL_6900	Pelhřimov pod (Poříčský Dvůr)	Bělá	VD	2					1					1										2	2
PVL_7503	Nové Dvory (Červený mlýn)	Sázava	VD	2					1	1				1		2		1		1				1	3
PLA_242	Děčín	Labe	OH	2	1	1	1	1	1	1	1	1	2	2	2	2	2	1	1	1	1	1	1	2	1
PLA_246	Schmilka - pravý břeh	Labe	OH	2	1	1	1	1	1	1	1	1	2	2	2	1	1	1	1	1	1	1	1	1	1
PLA_309	Ústí nad Labem	Bílina	OH	-2	-2	-2	-2	-2	-2	-2	-2	-2	-2	-2	1	2		-2		1		-2	2	2	2
PLA_341	Pod Lovosicemi	Labe	OH	2	1	1	1	1	1	-2	-2	1	2	2		-2	-2	-2	-2	-2	-2	1	1	2	1
POH_1001	Terezín	Ohře	OH	2	-2	-2	-2	-2	1	1	1	-2	2	1	1	2	2	1	1	1	1	-2		1	1
POH_1008	Želina	Ohře	OH	2	1	2	2	1	1	1	1	1	2	1	1	2	2	1	1	1	1	1	1	2	2
POH_1019	Sokolov	Svatava	OH												1									3	
POH_1021	Dvory	Chodovský potok	OH																						
POH_1022	Rybáře	Rolava	OH												1									2	
POH_1024	Ostrov nad Ohří	Bystřice	OH	4	1	2	1	1	1	2	1	1	1	1	1	2	2	1	1	1	1	1	1	2	2
POH_1027	Postoloprty	Chomutovka	OH	2	1	1	2	1	1	1	1	1	1	1	1	2	3	1	1	1	1	1	1	2	2
POH_1032	Březiny	Ploučnice	OH	-2	-2	-2	-2	-2	-2	-2	-2	-2	-2	-2	1	-2		-2		-2		-2		2	-2
POH_1033	Česká Lípa	Ploučnice	OH	2	1	1	1	1	1	1	1	1	2	1	1	2	1	1	1	1	1	1	1	2	3

DBČ	Profil	Tok	Dílčí povodí	arsen	baryum	beryllium	bor	hliník	chrom celkový	kadmium	kadmium po filtraci	kobalt	mangan celkový	měď	měď po filtraci	nikl	nikl po filtraci	olovo	olovo po filtraci	rtuť	rtuť po filtraci	selen	vanad	zinek	železo celkové
POH_1036	Hřensko	Kamenice	OH												1					-2				2	
POH_1037	Doubrava	Bílý Halštrov	OH	2	1	1	1	1	1	1	1	1	1	1	1	2	2	1	1	1	1	1	1	3	2
POH_1101	hranice	Ohře	OH																	1	1				
POD_1141	Krnov	Opava	OD	2						2	2		1	1	1	1	1	1	1	3	3			1	1
POD_1144	Malé Hoštice	Opava	OD	2					-2	2	1		1	1	1	2	1	1	1	4	3			2	1
POD_1146	Třebovice	Opava	OD	2	1	1	1	1	1	2	1	1	2	1	1	1	1	1	1	3	3	3		1	1
POD_1152	Ostrava	Ostravice	OD	2	2	1	1	2	1	2	1	1	1	1	1	2	1	1	1	3	3	3		2	2
POD_1154	Slezská Ostrava	Lučina	OD	2					-2	2	1		2	1	1	2	1	1	1	5	3			2	2
POD_1161	Svinov	Odra	OD	2	2	1	1	1	1	2	1	1	2	1	1	2	2	1	1	2	3	3		1	2
POD_1163	Bohumín	Odra	OD	2	2	1	2	2	1	2	1	1	2	1	1	2	2	2	1	3	3	3		2	3
POD_1164	Kunín	Jičínka	OD	2					-2	2	1		1	2	2	2	2	1	1	5	3			2	2
POD_1165	Košatka	Lubina	OD	2						2	1		1	2	2	3	3	1	1	2	3			2	1
POD_3596	Mikulovice	Bělá	OD	2	1	1	1	1	1	2	1	1	1	1	1	1	1	1	1	3	3	3		2	1
POD_5407	ústí	Olše	OD	2	2	1	2	1	1	2	1	1	2	1	1	2	2	1	1	4	3	3		3	2
POD_5526	nad Petrůvkou	Olše	OD	-2					-2	2	1		1	1	1	2	1	1	1	3	3			4	2
POD_5535	Moravice - ústí	Moravice	OD	2	1	1	1	1	1	2	2	1	1	1	1	1	1	1	1	3	3	3		1	1
PLA_1024	Otovice	Stěnava	LN	2	3	1	1	1	1	1		1	1	2		1		1		1		1	1	1	1
PLA_1036	Ves u Černous	Smědá	LN	2	1	1	1	1	1	1		1	1	2		1		1		1		1	1	1	1
PLA_41	Hrádek nad Nisou	Lužická Nisa	LN	2	1	1	1	1	1	1	-2	1	1	2	2	2	2	1	1	1	1	1	1	2	1
POH_1038	Varnsdorf	Mandava	LN																						
PMO_1132	Moravičany	Morava	MO	2	1	1	1		1	1		1	1	1	2	1		1				2	1	1	1

DBČ	Profil	Tok	Dílčí povodí	arsen	baryum	beryllium	bor	hliník	chrom celkový	kadmium	kadmium po filtraci	kobalt	mangan celkový	měď	měď po filtraci	nikl	nikl po filtraci	olovo	olovo po filtraci	rtuť	rtuť po filtraci	selen	vanad	zinek	železo celkové
PMO_1134	Blatec	Morava	MO	2	1	1	1	1	1	2		1	2	1	1	1		1		2	3	2	1	1	2
PMO_1166	Loštice	Třebůvka	MO	2	2	1	1	1	1	1	1	1	1	1	1	1	1	1	1		3	2	1	1	2
PMO_1167	Přovice	Oskava	MO	2	1	1	1	1	1	1	1	1	2	1	1	1	1	1	1		3	2	1	1	2
PMO_1168	Polkovice	Valová	MO	2	2	1	1		-2	1		1	2	1	1	-2		1				2	1	2	2
PMO_1169	Bezměrov	Haná	MO	2	2	1	2		1	1		1	2	1	1	-2		1				-2	1	1	1
PMO_1173	Valašské Meziříčí	Rožnovská Bečva	MO	2	2	1	1		1	1		1	1	1	1	-2		1				2	1	1	1
PMO_1174	Otrokovice	Dřevnice	MO	2	2	1	2		1	1		1	2	1	1	2		1				2	1	1	1
PMO_1175	Kunovice	Olšava	MO	2	2	1	3		1	1		1	3	1	1	3		1				2	1	1	1
PMO_3639	Sudkov	Desná	MO	2	1	1	1		1	1		1	1	1	1	1		1				2	1	1	1
PMO_3643	Rájec	Moravská Sázava	MO	2	1	1	1		1	1		1	1	1	1	1		1				-2	1	1	1
PMO_3664	Valašské Meziříčí	Vsetínská Bečva	MO	2	2	1	1		1	1		1	1	-2	1	-2		1				2	1	1	2
PMO_3670	Troubky	Bečva	MO	2	2	1	1	1	1	1		1	2	1	1	2		1			3	2	1	1	2
PMO_401	Lanžhot	Morava	MO	2	2	1	1	1	1	1	1	1	2	1	1	2	2	1	1	2	3	2	1	1	1
PMO_CZ0723434	Vlára	Vlára	MO	2	2	1	1	1	1	1	1	1	1	1	1	1	1	1	1		3	2	1	1	1
PMO_YPPMA024	Otrokovice	Morava	MO	2	2	1	1		1	1		1	2	1		1		1				2	1	1	1
PMO_ZPPMA015	nad Olšavou	Morava	MO	2	2	1	1		1	1		1	2	1	1	3		1				2	1	2	1
PMO_1181	Pouzdřany	Svratka	DY	2	2	1	1	1	1	1		1	2	1	1	2		1				2	1	2	2
PMO_1185	Židlochovice	Litava	DY	2	2	1	2	1	1	1	1	1	2	2	1	2	2	1	1		3	3	1	2	3
PMO_1188	Ivaň	Jihlava	DY	2	2	1	1	1	1	1		1	2	1	1	2		1				2	1	1	2
PMO_1189	pod Oslavany	Oslava	DY	2	1	1	1	1	1	1	1	1	2	1	1	2	2	1	1		3	2	1	1	1

DBČ	Profil	Tok	Dílčí povodí	arsen	baryum	beryllium	bor	hliník	chrom celkový	kadmium	kadmium po filtraci	kobalt	mangan celkový	měď	měď po filtraci	nikl	nikl po filtraci	olovo	olovo po filtraci	rtuť	rtuť po filtraci	selen	vanad	zinek	železo celkové
PMO_1190	Ivančice	Rokytná	DY	2	2	1	1	1	1	1	1	1	2	1	1	2	2	1	1		3	2	1	1	1
PMO_1196	Lanžhot	Kyjovka	DY	2	2	1	2		1	1		1	4	2	1	2		1				3	1	2	3
PMO_1197	Jevišovka	Jevišovka	DY	2	2	1	1		1	1		2	3	-2	1	-2		-2				2	2	2	-2
PMO_1201	ústí	Svitava	DY	2	2	1	1	1	1	1	1	1	2	1	1	1	1	1	1		3	2	1	1	1
PMO_1202	Vladislav	Jihlava	DY	-2	-2	-2	1		-2	1		-2	3	-2		-2		-2				2	-2	2	-2
PMO_1205	Podhradí nad Dyjí	Dyje	DY	2	1	1	1	1	1	1		1	2	1	1	2		1			3	2	1	1	2
PMO_3742	Písečné	Moravská Dyje	DY	2	1	1	1	1	1	1		1	3	1	1	2		-2			3	2	1	1	2
PMO_402	Pohansko	Dyje	DY	2	2	1	1	1	1	1	1	1	2	1	1	2	2	1	1	2	3	2	1	1	1
PMO_DPPDy022	Jevišovka (nad)	Dyje	DY	2	1	1	1	1	1	1		1	2	2	2	2		1			3	2	1	1	2
PMO_SPPSv014	Veverská Bítýška	Svratka	DY	2	2	1	1	1	1	1	1	1	1	1		2	2	1	1		3	2	1	1	1

1	I. třída
2	II. třída
3	III. třída
4	IV. třída
5	V. třída
-2	nehodnoceno
	neměřeno

Dílčí povodí

LA	Horní a střední Labe	OD	Horní Odra
VH	Horní Vltava	LN	Lužická Nisa a ostatní přítoky Odry
BE	Berounka	MO	Morava a přítoky Váhu
VD	Dolní Vltava	DY	Dyje
OH	Ohře, Dolní Labe a ostatní přítoky Labe	DU	Ostatní přítoky Dunaje

Tab. P3.1.2 Nehodnocené ukazatele v povrchových vodách dle Nařízení vlády č. 401/2015 Sb. v roce 2025

Dílčí povodí		Horní a střední Labe	Horní Vltava	Berounka	Dolní Vltava	Ohře, Dolní Labe a ostatní přítoky Labe	Horní Odra	Lužická Nisa a ostatní přítoky Odry	Morava a přítoky Váhu	Dyje
Ukazatel	**Typ výpočtu**	**MS > limit**	**MS > limit**	**MS > limit**	**MS > limit**	**MS > limit**	**MS > limit**	**MS > limit**	**MS > limit**	**MS > limit**
kadmium po filtraci	AVG									
parathion-methyl	AVG	nehodnoceno		nehodnoceno	nehodnoceno					
parathion-ethyl	AVG	nehodnoceno		nehodnoceno	nehodnoceno					
bisfenol A	AVG									
dichlorvos	AVG	nehodnoceno	nehodnoceno	nehodnoceno	nehodnoceno	nehodnoceno		nehodnoceno		
	MAX	nehodnoceno	nehodnoceno	nehodnoceno	nehodnoceno	nehodnoceno		nehodnoceno		
tributylcín (kation)	AVG	nehodnoceno			nehodnoceno	nehodnoceno		nehodnoceno		
malathion	AVG									
PFOS	AVG	nehodnoceno				nehodnoceno	nehodnoceno	nehodnoceno		
benzo(a)pyren	AVG	nehodnoceno				nehodnoceno	nehodnoceno	nehodnoceno	nehodnoceno	nehodnoceno
trifenylcín	AVG				nehodnoceno					
fenitrothion	AVG	nehodnoceno	nehodnoceno	nehodnoceno	nehodnoceno	nehodnoceno		nehodnoceno		
bifenox	AVG									
cypermethrin	AVG		nehodnoceno	nehodnoceno	nehodnoceno		nehodnoceno		nehodnoceno	nehodnoceno
	MAX		nehodnoceno	nehodnoceno	nehodnoceno		nehodnoceno		nehodnoceno	nehodnoceno
dikofol	AVG						nehodnoceno		nehodnoceno	nehodnoceno
cybutryn (irgarol)	AVG	nehodnoceno				nehodnoceno		nehodnoceno		
heptachlor a heptachlorepoxid	AVG	nehodnoceno	nehodnoceno	nehodnoceno	nehodnoceno	nehodnoceno	nehodnoceno	nehodnoceno		
heptachlor a heptachlorepoxid	MAX	nehodnoceno				nehodnoceno	nehodnoceno	nehodnoceno		

	na žádném dílčím povodí nebyl hodnocen
	na dílčím povodí částečně hodnocen
	na dílčím povodí hodnocen
nehodnoceno	na dílčím povodí nehodnocen (MS> limit)
	na dílčím povodí nemonitorován
AVG	roční aritmetický průměr pro porovnání s NEK-RP
MAX	roční maximální hodnota pro porovnání s NEK-NPK

Tab. P3.1.3 Hodnocení jakosti povrchových vod ve vybraných profilech podle NEK dle Nařízení vlády č. 401/2015 Sb. v roce 2025

všeobecné ukazatele

DBČ	Profil	Tok	Dílčí povodí	rozpuštěné látky při 105 °C	nerozpuštěné látky při 105 °C	rozpuštěné látky žíhané při 550 °C	nasycení vody kyslíkem	chemická spotřeba kyslíku dichromanem	biochemická spotřeba kyslíku BSK-5	uhlík celkový organický	dusík celkový	dusík amoniakální	dusík dusičnanový	fosfor celkový	sírany
				AVG	AVG	AVG	AVG	AVG	AVG	AVG	AVG	AVG	AVG	AVG	AVG
PLA_10	Nepasice	Orlice	LA	0,285	0,496	0,316	1,169	0,53	0,5395	0,5083	0,6153	0,442	0,559	0,733	0,158
PLA_1007	Litoměřice	Labe	LA	0,37	0,583	0,42	1,326	0,763	1,0636	0,8808	0,5264	0,217	0,483	0,794	0,299
PLA_1018	Čestice	Divoká Orlice	LA	0,191	0,475	0,21	1,24	0,503	0,5132	0,4992	0,4417	0,265	0,42	0,456	0,103
PLA_1029	Luková	Cidlina	LA	0,648	0,733	0,748	1,157	0,827	0,6272	0,9792	0,8375	0,573	0,781	1,539	0,401
PLA_1034	Císařská Kuchyně	Výmola	LA	0,897	1,117	1,047	1,198	1,061	1,1425	1,0956	1,3222	0,71	1,269	2,394	0,724
PLA_1054	Ostroměř	Javorka	LA	0,426	0,521	0,471	1,198	0,568	0,4978	0,5908	0,6722	0,569	0,633	0,922	0,21
PLA_12	Němčice	Labe	LA	0,325	1,217	0,354	1,225	0,569	0,5471	0,5583	0,5792	0,348	0,56	0,822	0,188
PLA_15	Valy	Labe	LA	0,374	0,479	0,424	1,149	0,625	0,5789	0,6214	0,5607	0,301	0,542	0,852	0,223
PLA_16	Záboří nad Labem	Doubrava	LA	0,499	0,563	0,568	1,16	0,846	0,6974	0,9125	0,5306	0,388	0,475	1,083	0,357
PLA_2	Debrné	Labe	LA	0,19	0,267	0,206	1,246	0,334	0,4715	0,3208	0,3431	0,333	0,306	0,589	0,112
PLA_20	Nymburk	Mrlina	LA	0,87	0,875	1,005	1,094	1,141	0,9474	1,1542	0,7097	0,511	0,605	1,328	0,926
PLA_23	Spálov	Jizera	LA	0,144	0,429	0,15	1,319	0,585	0,4364	0,575	0,3028	0,243	0,275	0,433	0,073
PLA_24	Spálov	Kamenice	LA	0,112	0,275	0,117	1,33	0,504	0,4013	0,4883	0,2528	0,176	0,221	0,311	0,068
PLA_240	Lysá nad Labem	Labe	LA	0,416	0,5	0,466	1,223	0,728	0,7775	0,6433	0,5347	0,265	0,503	0,783	0,299
PLA_241	Obříství	Labe	LA	0,392	0,536	0,446	1,214	0,712	0,6478	0,6636	0,5095	0,28	0,491	0,838	0,278
PLA_25	Příšovice	Jizera	LA	0,22	0,313	0,239	1,246	0,507	0,4825	0,4842	0,3875	0,703	0,344	0,85	0,107
PLA_27	Vinec	Jizera	LA	0,259	0,417	0,284	1,229	0,584	0,557	0,5342	0,4153	0,272	0,389	0,572	0,123
PLA_311	Sány	Cidlina	LA	0,634	1,363	0,724	1,284	1,154	1,2917	1,175	0,5708	0,935	0,451	0,878	0,418
PLA_312	Dašice	Loučná	LA	0,622	0,413	0,686	1,228	0,37	0,3662	0,5442	1,3361	0,344	1,329	0,856	0,334
PLA_343	Kolín pod	Labe	LA	0,415	0,596	0,478	1,225	0,568	0,6404	0,5958	0,5653	0,333	0,52	0,75	0,28

DBČ	Profil	Tok	Dílčí povodí	rozpuštěné látky při 105 °C	nerozpuštěné látky při 105 °C	rozpuštěné látky žíhané při 550 °C	nasycení vody kyslíkem	chemická spotřeba kyslíku dichromanem	biochemická spotřeba kyslíku BSK-5	uhlík celkový organický	dusík celkový	dusík amoniakální	dusík dusičnanový	fosfor celkový	sírany
				AVG	AVG	AVG	AVG	AVG	AVG	AVG	AVG	AVG	AVG	AVG	AVG
PLA_4	Hořenice	Labe	LA	0,228	0,517	0,25	1,169	0,377	0,4759	0,3875	0,4194	0,525	0,37	0,8	0,122
PLA_43	Třebechovice pod Orebem	Dědina	LA	0,486	0,392	0,559	1,204	0,614	0,6118	0,685	0,8042	1,627	0,713	1,017	0,291
PLA_44	Starý Kolín	Klejnárka	LA	0,758	0,354	0,874	1,011	0,914	0,6425	0,98	0,8222	1,931	0,722	2,083	0,617
PLA_46	Kosičky	Bystřice	LA	0,71	0,9	0,817	1,064	0,585	0,5614	0,815	0,8361	0,522	0,804	0,961	0,461
PLA_48	Písty	Výrovka	LA	0,918	0,554	1,073	1,149	0,782	0,6864	0,965	0,8389	1,029	0,75	1,683	0,741
PLA_49	Hronětice	Vlkava	LA	1,022	0,588	1,212	1,104	1,087	1,0175	1,4933	1,3889	5,21	1,137	3,072	0,868
PLA_5	Jaroměř	Úpa	LA	0,277	0,429	0,311	1,239	0,4	0,4254	0,4483	0,5014	0,25	0,48	0,822	0,161
PLA_58	Nemošice	Chrudimka	LA	0,377	0,275	0,418	1,217	0,683	0,5383	0,8025	0,6097	0,594	0,554	0,75	0,254
PLA_6	Jaroměř	Metuje	LA	0,325	0,729	0,366	1,184	0,615	0,5	0,5892	0,6194	0,221	0,605	0,828	0,172
PLA_7	Hradec Králové	Labe	LA	0,301	0,296	0,338	1,137	0,393	0,3728	0,4308	0,5014	0,333	0,472	0,767	0,158
PLA_9	Žďár nad Orlicí	Tichá Orlice	LA	0,34	0,488	0,381	1,179	0,465	0,5406	0,5358	0,7056	0,395	0,685	0,922	0,16
PVL_1041	Březí	Vltava	VH	0,127	0,452		1,157	0,888	0,5175	0,8317	0,2014	0,105	0,123	0,381	0,054
PVL_1042	Hluboká nad Vltavou	Vltava	VH	0,155	0,425		1,171	0,92	0,5855	0,8908	0,2681	0,373	0,188	0,535	0,079
PVL_1048	Roudné	Malše	VH	0,156	0,303		1,202	0,965	0,5746	0,87	0,2722	0,116	0,205	0,555	0,077
PVL_1049	Veselí nad Lužnicí	Lužnice	VH	0,226	2,07		1,071	2,141	1,9671	2,1192	0,4208	1,029	0,101	1,606	0,081
PVL_1051	Veselí nad Lužnicí	Nežárka	VH	0,232	0,647		1,199	1,333	1,2193	1,3	0,4042	0,315	0,259	1,172	0,098
PVL_1058	Heřmaň	Blanice	VH	0,247	0,51		1,149	0,91	0,75	0,8917	0,3167	0,326	0,224	0,765	0,145
PVL_3209	Pěkná	Vltava	VH	0,082	0,105		1,226	0,612	0,3465	0,5583	0,1139	0,123	0,085	0,244	0,026
PVL_3288	Katovice	Otava	VH	0,129	0,265		1,205	0,585	0,4781	0,5383	0,2167	0,315	0,182	0,37	0,059
PVL_3922	Dolní Dvořiště	Malše	VH	0,129	0,294		1,201	0,552	0,3728	0,5233	0,2431	0,127	0,215	0,338	0,047

DBČ	Profil	Tok	Dílčí povodí	rozpuštěné látky při 105 °C	nerozpuštěné látky při 105 °C	rozpuštěné látky žíhané při 550 °C	nasycení vody kyslíkem	chemická spotřeba kyslíku dichromanem	biochemická spotřeba kyslíku BSK-5	uhlík celkový organický	dusík celkový	dusík amoniakální	dusík dusičnanový	fosfor celkový	sírany
				AVG	AVG	AVG	AVG	AVG	AVG	AVG	AVG	AVG	AVG	AVG	AVG
PVL_3923	Pořešín	Malše	VH	0,133	0,212		1,224	0,697	0,4386	0,6633	0,225	0,272	0,178	0,368	0,062
PVL_4004	Bechyně	Lužnice	VH	0,266	0,866		1,207	1,51	1,3465	1,4417	0,4278	0,286	0,241	1,113	0,121
PVL_4005	Topělec	Otava	VH	0,187	0,397		1,138	0,789	0,761	0,7558	0,3264	0,547	0,194	0,673	0,088
PVL_1072	Plzeň	Mže	BE	0,279	0,193		1,064	0,718	0,3662	0,7608	0,425	0,351	0,387	0,523	0,19
PVL_1080	Doudlevce	Úhlava	BE	0,246	0,428		1,092	0,574	0,4605	0,5167	0,4597	0,174	0,444	0,835	0,148
PVL_1083	Doubravka	Úslava	BE	0,347	0,47		1,107	0,926	0,682	0,8925	0,4181	0,203	0,362	1,004	0,243
PVL_1084	Bukovec	Berounka	BE	0,316	0,387		1,105	0,776	0,6667	0,7942	0,5139	0,228	0,486	0,819	0,208
PVL_1088	Hýskov	Berounka	BE	0,326	0,37		1,239	0,737	0,6294	0,7908	0,4556	0,205	0,421	0,701	0,239
PVL_1090	Lahovice	Berounka	BE	0,364	0,402		1,205	0,763	0,6952	0,7925	0,4667	0,183	0,438	0,834	0,286
PVL_1092	Borek	Střela	BE	0,337	0,291		1,188	0,619	0,386	0,6692	0,3806	0,183	0,362	0,642	0,206
PVL_1094	Beroun	Litavka	BE	0,588	0,447		1,098	0,75	0,6118	0,7458	0,4528	0,313	0,412	1,756	0,535
PVL_1097	Stříbro pod	Mže	BE	0,261	0,429		1,062	0,824	0,6118	0,865	0,4097	0,262	0,339	0,756	0,17
PVL_3114	Dobřany pod (Šlovice)	Radbuza	BE	0,31	0,817		1,103	0,785	0,8268	0,7792	0,6444	0,328	0,63	0,991	0,182
PVL_3205	Dolany	Úhlava	BE	0,204	0,418		1,143	0,492	0,511	0,4942	0,4444	0,547	0,415	0,993	0,114
PVL_0105	Zelčín	Vltava	VD	0,336	0,609		1,23	0,843	0,7325	0,9342	0,5167	0,223	0,477	0,914	0,221
PVL_1044	Vrané	Vltava	VD	0,239	0,278		1,204	0,833	0,4846	0,8942	0,425	0,074	0,401	0,377	0,133
PVL_1062	Zruč nad Sázavou	Sázava	VD	0,32	0,648		1,244	0,824	0,864	0,8283	0,7972	0,38	0,764	0,972	0,187
PVL_1064	Pikovice	Sázava	VD	0,351	0,796		1,257	0,92	1,1294	0,9567	0,7389	0,1	0,67	1,012	0,216
PVL_1066	Radonice	Blanice	VD	0,372	0,381		1,166	0,789	0,7895	0,84	0,6819	0,205	0,653	1,267	0,235
PVL_1096	Kralupy nad Vltavou	Zákolanský potok	VD	1,092	1,429		1,272	1,058	1,4342	1,0767	1,2458	0,732	1,207	3,567	0,808

DBČ	Profil	Tok	Dílčí povodí	rozpuštěné látky při 105 °C	nerozpuštěné látky při 105 °C	rozpuštěné látky žíhané při 550 °C	nasycení vody kyslíkem	chemická spotřeba kyslíku dichromanem	biochemická spotřeba kyslíku BSK-5	uhlík celkový organický	dusík celkový	dusík amoniakální	dusík dusičnanový	fosfor celkový	sírany
				AVG	AVG	AVG	AVG	AVG	AVG	AVG	AVG	AVG	AVG	AVG	AVG
PVL_3449	Vepřek	Bakovský potok	VD	1,353	1,575		1,171	0,987	1,0789	1,0342	0,6847	1,091	0,613	2,517	1,496
PVL_4200	Poříčí	Želivka	VD	0,272	0,236		1,195	0,569	0,4684	0,5552	0,8159	0,274	0,81	0,297	0,165
PVL_6900	Pelhřimov pod (Poříčský Dvůr)	Bělá	VD	0,353	0,467		1,131	0,772	0,8768	0,7154	0,9848	1,012	0,938	0,798	0,251
PVL_7503	Nové Dvory (Červený mlýn)	Sázava	VD	0,263	0,403		1,22	0,901	0,6667	0,9833	0,5569	0,333	0,522	1,044	0,147
PLA_242	Děčín	Labe	OH	0,395	0,568	0,447	1,119	0,876	0,6437	0,8436	0,4821	0,255	0,442	0,838	0,322
PLA_246	Schmilka - pravý břeh	Labe	OH	0,381	0,479	0,44	1,118	0,865	0,5789	0,7843	0,4655	0,227	0,434	0,791	0,299
PLA_309	Ústí nad Labem	Bílina	OH	0,902	0,458	1,22	1,092	0,93		0,9483	0,8903	1,294	0,835	2,167	1,117
PLA_341	Pod Lovosicemi	Labe	OH	0,371	0,45	0,433	1,305	0,66	0,7895	0,8533	0,4986	0,275	0,475	0,717	0,312
POH_1001	Terezín	Ohře	OH	0,431	0,258	0,544	1,19	0,68	0,4561	0,6183	0,3667	0,355	0,333	0,529	0,514
POH_1008	Želina	Ohře	OH	0,397	0,254	0,503	1,268	0,641	0,4671	0,575	0,3375	0,525	0,29	0,538	0,489
POH_1019	Sokolov	Svatava	OH	0,341	0,217	0,592	1,269	0,256	0,5088	0,52	0,2625	0,649	0,226	0,444	0,705
POH_1021	Dvory	Chodovský potok	OH	1,568	0,513		1,225	0,683	0,5526	0,63	0,425	1,207	0,352	0,792	2,788
POH_1022	Rybáře	Rolava	OH	0,126	0,204	0,147	1,278	0,779	0,3575	0,7875	0,175	0,323	0,133	0,474	0,12
POH_1024	Ostrov nad Ohří	Bystřice	OH	0,228	0,275	0,285	1,219	0,705	0,5789	0,6325	0,25	0,786	0,243	1,271	0,216
POH_1027	Postoloprty	Chomutovka	OH	0,62	0,308		1,279	1,032	0,6535	0,985	0,8875	2,938	0,762	1,836	0,533
POH_1032	Březiny	Ploučnice	OH	0,421	0,533	0,5	1,298	0,564	0,5066	0,5775	0,4389	0,268	0,418	0,676	0,342
POH_1033	Česká Lípa	Ploučnice	OH	0,419	0,913	0,515	1,258	0,446	0,432	0,4792	0,4375	0,399	0,418	0,541	0,39
POH_1036	Hřensko	Kamenice	OH	0,164	0,179		1,302	0,397	0,4759	0,32	0,3292	0,214	0,324	0,401	0,142
POH_1037	Doubrava	Bílý Halštrov	OH	0,365	0,288	0,465	1,244	0,321	0,4189	0,37	0,5074	0,949	0,461	1,34	0,208
POH_1101	hranice	Ohře	OH	0,279	0,238	0,319	1,139	0,631	0,4671	0,6533	0,5417	0,312	0,525	0,617	0,143
POD_1141	Krnov	Opava	OD	0,172	0,663	0,178	1,305	0,248	0,4057	0,3119	0,2454	0,112	0,191	0,228	0,072

DBČ	Profil	Tok	Dílčí povodí	rozpuštěné látky při 105 °C	nerozpuštěné látky při 105 °C	rozpuštěné látky žíhané při 550 °C	nasycení vody kyslíkem	chemická spotřeba kyslíku dichromanem	biochemická spotřeba kyslíku BSK-5	uhlík celkový organický	dusík celkový	dusík amoniakální	dusík dusičnanový	fosfor celkový	sírany
				AVG	AVG	AVG	AVG	AVG	AVG	AVG	AVG	AVG	AVG	AVG	AVG
POD_1144	Malé Hoštice	Opava	OD	0,302	0,9	0,312	1,162	0,452	0,6425	0,56	0,3976	0,754	0,262	1,061	0,155
POD_1146	Třebovice	Opava	OD	0,274	0,488	0,284	1,132	0,526	0,6754	0,6261	0,4974	0,949	0,23	1,189	0,147
POD_1152	Ostrava	Ostravice	OD	0,568	0,467	0,727	1,116	0,502	0,8268	0,4991	0,535	1,717	0,343	0,911	0,218
POD_1154	Slezská Ostrava	Lučina	OD	0,391	0,958	0,442	1,119	0,696	1,0285	0,7346	0,7217	2,888	0,357	1,956	0,244
POD_1161	Svinov	Odra	OD	0,401	0,725	0,431	1,166	0,593	0,6776	0,6626	0,551	0,601	0,339	0,967	0,225
POD_1163	Bohumín	Odra	OD	0,533	1,025	0,67	1,081	0,844	1,4056	0,8053	0,7214	3,614	0,349	1,792	0,371
POD_1164	Kunín	Jičínka	OD	0,481	0,358	0,536	1,203	0,631	0,625	0,7093	0,6336	0,417	0,407	2,422	0,212
POD_1165	Košatka	Lubina	OD	0,37	0,863	0,388	1,178	0,543	0,4737	0,5602	0,5428	0,341	0,358	1,7	0,19
POD_3596	Mikulovice	Bělá	OD	0,228	0,271	0,226	1,291	0,226	0,4408	0,2848	0,38	0,366	0,287	0,472	0,074
POD_5407	ústí	Olše	OD	0,62	1,083	0,789	1,228	0,66	0,636	0,6428	0,5486	0,562	0,322	1,161	0,379
POD_5526	nad Petrůvkou	Olše	OD	0,531	0,571	0,622	1,234	0,49	0,557	0,5338	0,4379	0,42	0,275	0,944	0,239
POD_5535	Moravice - ústí	Moravice	OD	0,213	0,196	0,214	1,232	0,526	0,489	0,6745	0,3667	0,275	0,219	0,456	0,119
PLA_1024	Otovice	Stěnava	LN	0,327	0,333	0,371	1,252	0,506	0,432	0,5925	0,6611	0,272	0,644	1,044	0,15
PLA_1036	Ves u Černous	Smědá	LN	0,132	0,563	0,152	1,219	0,633	0,3838	0,5558	0,2583	0,304	0,221	0,289	0,131
PLA_41	Hrádek nad Nisou	Lužická Nisa	LN	0,284	0,496	0,337	1,217	0,747	0,8136	0,5942	0,5417	1,232	0,472	0,728	0,197
POH_1038	Varnsdorf	Mandava	LN	0,378	0,171	0,495	1,228	0,667	0,5121	0,6542	0,6986	0,547	0,64	3,622	0,248
PMO_1132	Moravičany	Morava	MO	0,241	0,62		1,147	0,329	0,6623	0,3384	0,3819	0,301	0,318	0,59	0,122
PMO_1134	Blatec	Morava	MO	0,324	0,49	0,348	1,182	0,506	0,5285	0,3454	0,4278	0,438	0,384	0,81	0,165
PMO_1166	Loštice	Třebůvka	MO	0,503	0,484	0,659	1,225	0,474	0,864	0,4441	0,8194	0,351	0,744	1,266	0,258
PMO_1167	Přnovice	Oskava	MO	0,284	0,688	0,36	1,172	0,514	0,8684	0,3634	0,4917	0,283	0,403	0,971	0,135
PMO_1168	Polkovice	Valová	MO	0,752	0,706		1,223	0,692	0,7584	0,6334	0,6864	1,312	0,572	1,712	0,442
PMO_1169	Bezměrov	Haná	MO	0,828	0,998		1,239	0,619	0,7536	0,5941	0,7394	0,795	0,64	2,182	0,501

DBČ	Profil	Tok	Dílčí povodí	rozpuštěné látky při 105 °C	nerozpuštěné látky při 105 °C	rozpuštěné látky žíhané při 550 °C	nasycení vody kyslíkem	chemická spotřeba kyslíku dichromanem	biochemická spotřeba kyslíku BSK-5	uhlík celkový organický	dusík celkový	dusík amoniakální	dusík dusičnanový	fosfor celkový	sírany
				AVG	AVG	AVG	AVG	AVG	AVG	AVG	AVG	AVG	AVG	AVG	AVG
PMO_1173	Valašské Meziříčí	Rožnovská Bečva	MO	0,191	0,803		1,263	0,585	0,5285	0,4095	0,4083	0,257	0,369	1,191	0,095
PMO_1174	Otrokovice	Dřevnice	MO	0,614	0,663		1,2	0,753	0,7303	0,5353	0,7514	1,214	0,671	2,364	0,32
PMO_1175	Kunovice	Olšava	MO	0,621	0,603		1,012	0,651	0,7105	0,5178	0,4792	0,71	0,372	1,555	0,329
PMO_3639	Sudkov	Desná	MO	0,19	0,64		1,244	0,303	0,6118	0,2464	0,3694	0,362	0,315	0,424	0,105
PMO_3643	Rájec	Moravská Sázava	MO	0,313	0,608		1,253	0,459	0,7829	0,3833	0,5847	0,435	0,492	0,687	0,147
PMO_3664	Valašské Meziříčí	Vsetínská Bečva	MO	0,291	1,255		1,421	0,666	0,4912	0,3903	0,2903	0,141	0,254	0,867	0,118
PMO_3670	Troubky	Bečva	MO	0,406	4,251	0,422	1,223	0,904	0,8596	0,4301	0,4193	0,319	0,337	0,999	0,342
PMO_401	Lanžhot	Morava	MO	0,427	1,719	0,543	1,199	0,615	0,739	0,452	0,4149	0,312	0,32	0,831	0,279
PMO_CZ0723434	Vlára	Vlára	MO	0,456	0,279	0,6	1,218	0,473	0,4167	0,4332	0,4347	0,228	0,389	1,341	0,16
PMO_YPPMA024	Otrokovice	Morava	MO	0,418	0,662		1,315	0,564	0,5482	0,3893	0,4	0,37	0,339	0,668	0,275
PMO_ZPPMA015	nad Olšavou	Morava	MO	0,427	0,678		1,369	0,626	0,6228	0,4287	0,4319	0,374	0,344	0,744	0,263
PMO_1181	Pouzdřany	Svratka	DY	0,618	1,038	0,766	1,156	0,798	0,8706	0,652	0,7861	0,732	0,693	1,602	0,398
PMO_1185	Židlochovice	Litava	DY	1,185	2,374	1,417	1,187	0,909	0,7149	0,6462	0,8083	0,649	0,699	2,619	1,181
PMO_1188	Ivaň	Jihlava	DY	0,571	0,833	0,654	1,075	0,977	0,8728	0,918	0,8458	0,388	0,752	1,106	0,458
PMO_1189	pod Oslavany	Oslava	DY	0,615	0,262	0,798	1,155	0,779	0,5965	0,8735	0,6542	0,257	0,574	0,994	0,727
PMO_1190	Ivančice	Rokytná	DY	0,637	0,658	0,747	1,215	0,813	0,5855	0,8252	0,6361	0,145	0,569	1,516	0,379
PMO_1196	Lanžhot	Kyjovka	DY	0,786	2,808		0,944	1,085	1,2588	0,764	0,5806	2,442	0,359	1,988	0,698
PMO_1197	Jevišovka	Jevišovka	DY	0,887	1,984		1,048	1,165	0,8399	0,9398	0,7458	1,007	0,625	2,551	0,735
PMO_1201	ústí	Svitava	DY	0,476	0,567	0,61	1,185	0,503	0,5066	0,504	0,8264	0,312	0,753	1,274	0,285
PMO_1202	Vladislav	Jihlava	DY	0,344	5,991		1,139	1,225	1,0307	0,8046	0,8208	0,438	0,624	1,488	0,216
PMO_1205	Podhradí nad Dyjí	Dyje	DY	0,305	1,056	0,336	1,215	0,874	0,9035	0,7573	0,5428	0,178	0,431	0,563	0,173
PMO_3742	Písečné	Moravská Dyje	DY	0,27	0,573	0,295	1,159	0,87	0,7679	0,7978	0,5924	0,478	0,5	0,718	0,162
PMO_402	Pohansko	Dyje	DY	0,663	0,782	0,816	1,166	1,1	0,5614	0,888	0,4436	0,391	0,341	1,713	0,608
PMO_DPPDy022	Jevišovka (nad)	Dyje	DY	0,74	0,708	0,947	1,063	0,896	0,6601	0,8478	0,8181	0,344	0,725	0,688	0,817
PMO_SPPSv014	Veverská Bítýška	Svratka	DY	0,326	0,494	0,377	1,231	0,648	0,5373	0,6595	0,7083	0,188	0,616	0,638	0,222

prvky a mikrobiologické ukazatele

DBČ	Profil	Tok	Dílčí povodí	arsen	bor	mangan celkový	železo celkové	termotolerantní koliformní bakterie	Escherichia coli	enterokoky
				AVG	AVG	AVG	AVG	MAX	MAX	MAX
PLA_10	Nepasice	Orlice	LA	0,078	0,133	0,111	0,195	16	16,4	0,5
PLA_1007	Litoměřice	Labe	LA	0,16	0,128	0,225	0,126	0,975	1,36	0,3
PLA_1018	Čestice	Divoká Orlice	LA	0,071	0,165	0,067	0,116	18,75	17,6	0,5
PLA_1029	Luková	Cidlina	LA	0,133	0,241	0,364	0,213	3	1,6	0,6
PLA_1034	Císařská Kuchyně	Výmola	LA	0,223	0,195	0,3	0,259	9	9,2	0,6
PLA_1054	Ostroměř	Javorka	LA	0,13	0,111	0,214	0,197	10,25	14,8	0,8
PLA_12	Němčice	Labe	LA	0,23	0,122	0,169	0,201	4	2,04	0,65
PLA_15	Valy	Labe	LA	0,234	0,15	0,164	0,163	1,8	2,12	0,95
PLA_16	Záboří nad Labem	Doubrava	LA	0,149	0,173	0,408	0,396	0,35	0,12	0,145
PLA_2	Debrné	Labe	LA	0,25	0,055	0,061	0,056	11,5	12,4	1,55
PLA_20	Nymburk	Mrlina	LA	0,182	0,536	0,269	0,123	0,625	0,64	0,47
PLA_23	Spálov	Jizera	LA	0,096	0,048	0,067	0,181	4,75	3,6	0,65
PLA_24	Spálov	Kamenice	LA	0,05	0,042	0,05	0,137	2,175	1,6	0,6
PLA_240	Lysá nad Labem	Labe	LA	0,208	0,175	0,508	0,203	0,475	0,32	0,195
PLA_241	Obříství	Labe	LA	0,19	0,162	0,357	0,146	0,825	0,6	0,335
PLA_25	Příšovice	Jizera	LA	0,089	0,06	0,067	0,133	9,5	7,2	2,4
PLA_27	Vinec	Jizera	LA	0,089	0,084	0,114	0,163	3	2,8	0,65
PLA_311	Sány	Cidlina	LA	0,15	0,263	0,369	0,238	2,3	1,6	0,5
PLA_312	Dašice	Loučná	LA	0,046	0,111	0,044	0,078	0,925	0,76	0,3
PLA_343	Kolín pod	Labe	LA	0,207	0,165	0,747	0,222	6,25	1,6	0,6

DBČ	Profil	Tok	Dílčí povodí	arsen	bor	mangan celkový	železo celkové	termotolerantní koliformní bakterie	Escherichia coli	enterokoky
				AVG	AVG	AVG	AVG	MAX	MAX	MAX
PLA_4	Hořenice	Labe	LA	0,263	0,062	0,156	0,131	1,625	2,6	0,7
PLA_43	Třebechovice pod Orebem	Dědina	LA	0,109	0,134	0,136	0,163	21,5	27,2	1,5
PLA_44	Starý Kolín	Klejnárka	LA	1,375	0,18	0,406	0,3	10,5	16	1,8
PLA_46	Kosičky	Bystřice	LA	0,092	0,195	0,633	0,361	4	3,6	1,1
PLA_48	Písty	Výrovka	LA	0,329	0,257	0,606	0,47	7	6	1,7
PLA_49	Hronětice	Vlkava	LA	0,164	0,431	0,222	0,174	6	7,6	1,5
PLA_5	Jaroměř	Úpa	LA	0,239	0,121	0,089	0,083	7	9,2	1
PLA_58	Nemošice	Chrudimka	LA	0,083	0,102	0,211	0,187	4	4,8	0,4
PLA_6	Jaroměř	Metuje	LA	0,553	0,109	0,153	0,164	11	14	1
PLA_7	Hradec Králové	Labe	LA	0,324	0,102	0,136	0,113	0,975	0,96	0,355
PLA_9	Žďár nad Orlicí	Tichá Orlice	LA	0,063	0,086	0,083	0,164	35	34,8	0,85
PVL_1041	Březí	Vltava	VH	0,113	0,021	0,181	0,58	0,3	0,32	0,245
PVL_1042	Hluboká nad Vltavou	Vltava	VH	0,112	0,034	0,203	0,572	1,225	1,32	0,235
PVL_1048	Roudné	Malše	VH	0,088	0,023	0,258	0,555	0,725	0,56	0,24
PVL_1049	Veselí nad Lužnicí	Lužnice	VH	0,142	0,055	0,628	1,875	1,025	1,12	0,135
PVL_1051	Veselí nad Lužnicí	Nežárka	VH	0,111	0,044	0,539	0,738	0,178	0,192	0,4
PVL_1058	Heřmaň	Blanice	VH	0,248			0,867	1,775	2,16	
PVL_3209	Pěkná	Vltava	VH	0,132			0,512	0,065	0,08	
PVL_3288	Katovice	Otava	VH	0,232			0,305	0,525	0,72	
PVL_3922	Dolní Dvořiště	Malše	VH	0,028	0,017	0,192	0,57	0,7	0,88	1,55

DBČ	Profil	Tok	Dílčí povodí	arsen	bor	mangan celkový	železo celkové	termotolerantní koliformní bakterie	Escherichia coli	enterokoky
				AVG	AVG	AVG	AVG	MAX	MAX	MAX
PVL_3923	Pořešín	Malše	VH	0,048	0,017	0,108	0,484	0,9	1,2	
PVL_4004	Bechyně	Lužnice	VH	0,152	0,063	0,661	0,72	1,225	0,88	1,1
PVL_4005	Topělec	Otava	VH	0,274	0,025	0,222	0,414	3	2	0,75
PVL_1072	Plzeň	Mže	BE	0,117	0,058	0,658	0,421	3,5	4,8	8,5
PVL_1080	Doudlevce	Úhlava	BE	0,155		0,275	0,45	2,525	3,64	1,1
PVL_1083	Doubravka	Úslava	BE	0,239				0,45	0,64	
PVL_1084	Bukovec	Berounka	BE	0,155	0,085	0,525	0,428	0,575	0,6	0,65
PVL_1088	Hýskov	Berounka	BE	0,143	0,091	0,289	0,267	0,15	0,2	0,14
PVL_1090	Lahovice	Berounka	BE	0,158	0,102	0,289	0,238	0,19	0,244	0,185
PVL_1092	Borek	Střela	BE	0,095	0,065	0,308	0,399	2,75	4	1,3
PVL_1094	Beroun	Litavka	BE	0,439			0,362	2,1	2,92	
PVL_1097	Stříbro pod	Mže	BE	0,116		0,548	0,696	102,5	104	
PVL_3114	Dobřany pod (Šlovice)	Radbuza	BE	0,158			0,7	3,25	3,6	
PVL_3205	Dolany	Úhlava	BE	0,132			0,653	18,25	23,6	
PVL_0105	Zelčín	Vltava	VD	0,172	0,086	0,331	0,316	1,3	1,48	0,38
PVL_1044	Vrané	Vltava	VD	0,17	0,056	0,239	0,184	0,06	0,084	0,06
PVL_1062	Zruč nad Sázavou	Sázava	VD	0,203	0,098	0,317	0,311	1,675	1,88	0,72
PVL_1064	Pikovice	Sázava	VD	0,236	0,106	0,411	0,292	6,75	10,8	20
PVL_1066	Radonice	Blanice	VD	0,233	0,05	0,414	0,334	1,275	1,4	0,36
PVL_1096	Kralupy nad Vltavou	Zákolanský potok	VD	0,171		0,303	0,699	55	56	

DBČ	Profil	Tok	Dílčí povodí	arsen	bor	mangan celkový	železo celkové	termotolerantní koliformní bakterie	Escherichia coli	enterokoky
				AVG	AVG	AVG	AVG	MAX	MAX	MAX
PVL_3449	Vepřek	Bakovský potok	VD	0,316				5	6,4	
PVL_4200	Poříčí	Želivka	VD	0,1	0,027	0,22	0,205	0,613	0,62	0,355
PVL_6900	Pelhřimov pod (Poříčský Dvůr)	Bělá	VD	0,15			0,545	50	64	
PVL_7503	Nové Dvory (Červený mlýn)	Sázava	VD	0,152			0,717	3,75	6	
PLA_242	Děčín	Labe	OH	0,202	0,162	0,326	0,189	1,65	1	0,35
PLA_246	Schmilka - pravý břeh	Labe	OH	0,181	0,147	0,257	0,156	5,75	3,92	0,5
PLA_309	Ústí nad Labem	Bílina	OH	0,577	0,648	0,43	0,583	24,25	10,8	3,15
PLA_341	Pod Lovosicemi	Labe	OH	0,172	0,152	0,264	0,143	0,55	0,48	0,205
POH_1001	Terezín	Ohře	OH	0,261	0,275	0,346	0,226	0,725	0,56	0,7
POH_1008	Želina	Ohře	OH	0,46	0,264	0,467	0,546	1,1	0,72	0,65
POH_1019	Sokolov	Svatava	OH					1,55		
POH_1021	Dvory	Chodovský potok	OH					190		
POH_1022	Rybáře	Rolava	OH					3,25		
POH_1024	Ostrov nad Ohří	Bystřice	OH	2,611	0,086	0,192	0,492	10,5		
POH_1027	Postoloprty	Chomutovka	OH	0,285	0,368	0,207	0,515	9,75		
POH_1032	Březiny	Ploučnice	OH	0,146	0,061	0,193	0,4	1,7	1,52	1,15
POH_1033	Česká Lípa	Ploučnice	OH	0,096	0,054	0,376	0,771	1,65	1,48	1
POH_1036	Hřensko	Kamenice	OH					6,75	8,8	9
POH_1037	Doubrava	Bílý Halštrov	OH	0,174	0,176	0,163	0,464	13	9,2	14
POH_1101	hranice	Ohře	OH					1,825	1,68	0,6
POD_1141	Krnov	Opava	OD	0,049		0,043	0,203	1,05	1,44	

DBČ	Profil	Tok	Dílčí povodí	arsen	bor	mangan celkový	železo celkové	termotolerantní koliformní bakterie	Escherichia coli	enterokoky
				AVG	AVG	AVG	AVG	MAX	MAX	MAX
POD_1144	Malé Hoštice	Opava	OD	0,091		0,23	0,436	3,5	5,2	2,25
POD_1146	Třebovice	Opava	OD	0,095	0,06	0,245	0,368	1,725	1,84	1,75
POD_1152	Ostrava	Ostravice	OD	0,046	0,194	0,118	0,328	5,9	6,48	3,5
POD_1154	Slezská Ostrava	Lučina	OD	0,068		0,279	0,738	10	15,2	4,75
POD_1161	Svinov	Odra	OD	0,076	0,122	0,444	0,749	3,1	4,2	1,05
POD_1163	Bohumín	Odra	OD	0,087	0,199	0,38	0,645	18	16	5,6
POD_1164	Kunín	Jičínka	OD	0,057		0,052	0,286	110,3	7,2	3,05
POD_1165	Košatka	Lubina	OD	0,072		0,096	0,401	19,5	17,2	6,3
POD_3596	Mikulovice	Bělá	OD	0,046	0,02	0,017	0,103	1,175	1,8	3,1
POD_5407	ústí	Olše	OD	0,068	0,232	0,271	0,475	2,925	3,6	3,6
POD_5526	nad Petrůvkou	Olše	OD	0,061		0,155	0,322	1,625	2,52	2,15
POD_5535	Moravice - ústí	Moravice	OD	0,053	0,092	0,095	0,1	1,125	1	0,75
PLA_1024	Otovice	Stěnava	LN	0,352	0,156	0,047	0,053	14	12,8	1,45
PLA_1036	Ves u Černous	Smědá	LN	0,046	0,048	0,142	0,341	1,25	1,32	0,75
PLA_41	Hrádek nad Nisou	Lužická Nisa	LN	0,105	0,146	0,111	0,243	40	60	2,75
POH_1038	Varnsdorf	Mandava	LN					8,5	5,2	2,4
PMO_1132	Moravičany	Morava	MO	0,062	0,077	0,138	0,319	15	13,6	
PMO_1134	Blatec	Morava	MO	0,081	0,102	0,23	0,35	17,5	18,8	3,35
PMO_1166	Loštice	Třebůvka	MO	0,163	0,098	0,186	0,24	2,75	2,84	1,95
PMO_1167	Přovice	Oskava	MO	0,111	0,038	0,29	0,536	10,25	13,6	6,5
PMO_1168	Polkovice	Valová	MO	0,134	0,271	0,441	0,635	18,5	1,68	
PMO_1169	Bezměrov	Haná	MO	0,138	0,303	0,481	0,405	1,975	0,48	

DBČ	Profil	Tok	Dílčí povodí	arsen	bor	mangan celkový	železo celkové	termotolerantní koliformní bakterie	Escherichia coli	enterokoky
				AVG	AVG	AVG	AVG	MAX	MAX	MAX
PMO_1173	Valašské Meziříčí	Rožnovská Bečva	MO	0,057	0,112	0,109	0,172	9,25	7,6	
PMO_1174	Otrokovice	Dřevnice	MO	0,091	0,352	0,504	0,357	62,5	68	
PMO_1175	Kunovice	Olšava	MO	0,097	1,138	0,664	0,305	10,75	0,48	
PMO_3639	Sudkov	Desná	MO	0,046	0,064	0,102	0,244	7,25	5,2	
PMO_3643	Rájec	Moravská Sázava	MO	0,065	0,135	0,114	0,196	32,5	3,96	
PMO_3664	Valašské Meziříčí	Vsetínská Bečva	MO	0,053	0,18	0,2	0,418	7,25	1,56	
PMO_3670	Troubky	Bečva	MO	0,081	0,178	0,401	1,038	10	7,6	12,5
PMO_401	Lanžhot	Morava	MO	0,099	0,23	0,549	0,52	1,625	1,72	0,65
PMO_CZ0723434	Vlára	Vlára	MO	0,055	0,273	0,11	0,117	2,5	2,44	1,2
PMO_YPPMA024	Otrokovice	Morava	MO	0,09	0,226	0,362	0,371	0,425	0,44	
PMO_ZPPMA015	nad Olšavou	Morava	MO	0,081	0,188	0,371	0,353	2,35	2,52	
PMO_1181	Pouzdřany	Svratka	DY	0,105	0,186	0,444	0,403	3,75	4	2,25
PMO_1185	Židlochovice	Litava	DY	0,193	0,599	0,573	0,567	10,75	11,6	10,5
PMO_1188	Ivaň	Jihlava	DY	0,17	0,155	0,424	0,342	3,75	4,4	1,8
PMO_1189	pod Oslavany	Oslava	DY	0,16	0,198	0,243	0,157	6,75	7,6	3,15
PMO_1190	Ivančice	Rokytná	DY	0,171	0,093	0,443	0,205	0,25	0,32	0,85
PMO_1196	Lanžhot	Kyjovka	DY	0,214	0,427	1,408	0,718	6	3,72	
PMO_1197	Jevišovka	Jevišovka	DY	0,213	0,183	0,722	0,355	35	1	
PMO_1201	ústí	Svitava	DY	0,084	0,113	0,277	0,294	2,45	2,76	1,25
PMO_1202	Vladislav	Jihlava	DY	0,13	0,072	0,647	0,505	4,75	3,44	
PMO_1205	Podhradí nad Dyjí	Dyje	DY	0,08	0,044	0,432	0,518	0,7	0,92	0,85
PMO_3742	Písečné	Moravská Dyje	DY	0,073	0,047	0,58	0,548	0,45	0,6	0,25
PMO_402	Pohansko	Dyje	DY	0,187	0,234	0,401	0,158	1,825	1,68	0,4
PMO_DPPDy022	Jevišovka (nad)	Dyje	DY	0,084	0,289	0,51	0,363	8,25	12	9
PMO_SPPSv014	Veverská Bítýška	Svratka	DY	0,086	0,062	0,163	0,257	0,55	0,68	0,35

pesticidy

DBČ	Profil	Tok	Dílčí povodí	alachlor ESA	terbutryn	2,4-DP (dichlorprop)	cypermethrin	cypermethrin	MCPA	aclonifen	metolachlor a jeho metabolity
				AVG	AVG	AVG	AVG	MAX	AVG	MAX	AVG
PLA_10	Nepasice	Orlice	LA	0,15	0,048	0,05	0,5	0,133	0,0983		0,1705
PLA_1007	Litoměřice	Labe	LA	0,45	0,071	0,05	1,146	0,35	0,0617	0,0833	0,3523
PLA_1018	Čestice	Divoká Orlice	LA	0,15	0,052	0,05			0,0792		0,0775
PLA_1029	Luková	Cidlina	LA	0,233	0,085	0,05			0,1175		0,8972
PLA_1034	Císařská Kuchyně	Výmola	LA								
PLA_1054	Ostroměř	Javorka	LA								
PLA_12	Němčice	Labe	LA	0,15	0,055	0,05	0,5	0,133	0,0708	0,0833	0,1368
PLA_15	Valy	Labe	LA	0,15	0,186	0,05	0,5	0,133	0,1329	0,0833	0,4381
PLA_16	Záboří nad Labem	Doubrava	LA	0,536	0,051	0,05			0,0858		0,9408
PLA_2	Debrné	Labe	LA	0,15	0,039	0,05	0,5	0,133	0,0708	0,0833	0,0388
PLA_20	Nymburk	Mrlina	LA	0,228	0,043	0,06	0,5	0,133	0,1017	0,0833	0,6455
PLA_23	Spálov	Jizera	LA	0,15	0,039	0,05	0,5	0,133	0,05	0,0833	0,1147
PLA_24	Spálov	Kamenice	LA	0,15	0,039	0,05	0,5	0,133	0,05	0,0833	0,0039
PLA_240	Lysá nad Labem	Labe	LA	0,187	0,133	0,05	0,615	0,25	0,1842	0,0833	0,479
PLA_241	Obříství	Labe	LA	0,175	0,098	0,05	0,545	0,15	0,1571	0,0833	0,3674
PLA_25	Příšovice	Jizera	LA	0,15	0,039	0,06	0,5	0,133	0,06	0,0833	0,0915
PLA_27	Vinec	Jizera	LA	0,15	0,039	0,05	0,813	0,317	0,0867	0,0833	0,0969
PLA_311	Sány	Cidlina	LA	0,457	0,094	0,05	0,5	0,133	0,1658		0,819
PLA_312	Dašice	Loučná	LA	0,252	0,043	0,05			0,0742		0,4278
PLA_343	Kolín pod	Labe	LA	0,15	0,154	0,05	0,771	0,283	0,1217	0,0833	0,4055

DBČ	Profil	Tok	Dílčí povodí	alachlor ESA	terbutryn	2,4-DP (dichlorprop)	cypermethrin	cypermethrin	MCPA	aclonifen	metolachlor a jeho metabolity
				AVG	AVG	AVG	AVG	MAX	AVG	MAX	AVG
PLA_4	Hořenice	Labe	LA	0,15	0,039	0,05	0,5	0,133	0,05	0,0833	0,0689
PLA_43	Třebechovice pod Orebem	Dědina	LA		0,15						
PLA_44	Starý Kolín	Klejnárka	LA								
PLA_46	Kosičky	Bystřice	LA	1,408	0,082	0,05			0,7958		0,7682
PLA_48	Písty	Výrovka	LA								
PLA_49	Hronětice	Vlkava	LA								
PLA_5	Jaroměř	Úpa	LA	0,15	0,039	0,05			0,1508		0,0298
PLA_58	Nemošice	Chrudimka	LA	0,15	1,846	0,05			0,05		0,2713
PLA_6	Jaroměř	Metuje	LA	0,15	0,093	0,057			0,0558		0,0311
PLA_7	Hradec Králové	Labe	LA	0,15	0,055	0,05	0,5	0,133	0,0792	0,0833	0,0819
PLA_9	Žďár nad Orlicí	Tichá Orlice	LA	0,15	0,046	0,05			0,1025		0,2119
PVL_1041	Březí	Vltava	VH	0,126	0,015	0,05			0,05	0,0833	0
PVL_1042	Hluboká nad Vltavou	Vltava	VH	0,17	0,015	0,05			0,05	0,0833	0,0342
PVL_1048	Roudné	Malše	VH	0,454	0,018	0,05			0,05	0,0833	0,0719
PVL_1049	Veselí nad Lužnicí	Lužnice	VH	0,33	0,015	0,05			0,05	0,0833	0,0658
PVL_1051	Veselí nad Lužnicí	Nežárka	VH	0,666	0,024	0,05			0,05	0,0833	0,3358
PVL_1058	Heřmaň	Blanice	VH	0,682	0,015	0,05			0,0628	0,0833	0,0509
PVL_3209	Pěkná	Vltava	VH								
PVL_3288	Katovice	Otava	VH								
PVL_3922	Dolní Dvořiště	Malše	VH	0,1	0,015	0,05			0,05	0,0833	0

DBČ	Profil	Tok	Dílčí povodí	alachlor ESA	terbutryn	2,4-DP (dichlorprop)	cypermethrin	cypermethrin	MCPA	aclonifen	metolachlor a jeho metabolity
				AVG	AVG	AVG	AVG	MAX	AVG	MAX	AVG
PVL_3923	Pořešín	Malše	VH	0,288	0,015	0,05			0,05	0,0833	0
PVL_4004	Bechyně	Lužnice	VH	0,774	0,027	0,05			0,0971	0,0833	0,3735
PVL_4005	Topělec	Otava	VH	0,302	0,018	0,05			0,0543	0,0833	0,0503
PVL_1072	Plzeň	Mže	BE	0,957	0,015	0,05			0,0769	0,0833	0,1551
PVL_1080	Doudlevce	Úhlava	BE	0,529	0,015	0,05			0,05	0,0833	0,1477
PVL_1083	Doubravka	Úslava	BE	0,495	0,02	0,05			0,05	0,0833	0,3577
PVL_1084	Bukovec	Berounka	BE	1,021	0,029	0,05			0,0682	0,0833	0,2939
PVL_1088	Hýskov	Berounka	BE	0,693	0,019	0,05			0,0753	0,0833	0,2479
PVL_1090	Lahovice	Berounka	BE	0,594	0,019	0,05			0,0638	0,0833	0,2361
PVL_1092	Borek	Střela	BE	0,427	0,018	0,05			0,05	0,0833	0,1212
PVL_1094	Beroun	Litavka	BE	0,526	0,019	0,05			0,0584	0,0833	0,1318
PVL_1097	Stříbro pod	Mže	BE								
PVL_3114	Dobřany pod (Šlovice)	Radbuza	BE	1,512	0,027	0,05			0,0961	0,0833	0,5352
PVL_3205	Dolany	Úhlava	BE	0,3	0,015	0,05			0,0921	0,0833	0,0693
PVL_0105	Zelčín	Vltava	VD	0,598	0,024	0,05			0,0638	0,0833	0,3498
PVL_1044	Vrané	Vltava	VD	0,564	0,015	0,05			0,05	0,0833	0,4184
PVL_1062	Zruč nad Sázavou	Sázava	VD	0,541	0,03	0,05			0,0726	0,0833	0,4387
PVL_1064	Pikovice	Sázava	VD	1,183	0,017	0,05			0,05	0,0833	0,6435
PVL_1066	Radonice	Blanice	VD	2,833	0,031	0,05			0,0749	0,0833	1,4904
PVL_1096	Kralupy nad Vltavou	Zákolanský potok	VD	0,206	0,162	0,05			0,0847	0,0833	0,2628

DBČ	Profil	Tok	Dílčí povodí	alachlor ESA	terbutryn	2,4-DP (dichlorprop)	cypermethrin	cypermethrin	MCPA	aclonifen	metolachlor a jeho metabolity
				AVG	AVG	AVG	AVG	MAX	AVG	MAX	AVG
PVL_3449	Vepřek	Bakovský potok	VD	0,112	0,046	1,538			0,2301	0,0833	0,0177
PVL_4200	Poříčí	Želivka	VD	1,824	0,015	0,05			0,05	0,0833	0,6148
PVL_6900	Pelhřimov pod (Poříčský Dvůr)	Bělá	VD	3,514	0,037	0,05			0,05	0,0833	0,3689
PVL_7503	Nové Dvory (Červený mlýn)	Sázava	VD								
PLA_242	Děčín	Labe	OH	0,327	0,057	0,058	0,973	0,333	0,0779	0,0833	0,3359
PLA_246	Schmilka - pravý břeh	Labe	OH	0,291	0,049	0,055	2,107	0,967	0,0979	0,0833	0,2982
PLA_309	Ústí nad Labem	Bílina	OH	0,15	0,131	0,1			0,1842	0,2083	0,0176
PLA_341	Pod Lovosicemi	Labe	OH	0,398	0,055	0,05	0,5	0,133	0,065	0,0833	0,332
POH_1001	Terezín	Ohře	OH	0,15	0,115	0,1			0,1175	0,2083	0,2221
POH_1008	Želina	Ohře	OH	0,15	0,115	0,1			0,1175	0,2083	0,1366
POH_1019	Sokolov	Svatava	OH	0,15	0,115	0,1			0,1	0,2083	0
POH_1021	Dvory	Chodovský potok	OH	0,15	0,115	0,1			0,1	0,2083	0
POH_1022	Rybáře	Rolava	OH	0,15	0,115	0,1			0,1	0,2083	0
POH_1024	Ostrov nad Ohří	Bystřice	OH	0,15	0,115	0,1			0,1	0,2083	0
POH_1027	Postoloprty	Chomutovka	OH	0,15	0,115	0,1			0,1567	0,2083	0
POH_1032	Březiny	Ploučnice	OH	0,15	0,115	0,1			0,1	0,2083	0,0334
POH_1033	Česká Lípa	Ploučnice	OH	0,15	0,115	0,1			0,1183	0,2083	0,0187
POH_1036	Hřensko	Kamenice	OH	0,15	0,115	0,1			0,475	0,2083	0,0323
POH_1037	Doubrava	Bílý Halštrov	OH	0,15	0,115	0,1			0,4833	0,2083	0,1005
POH_1101	hranice	Ohře	OH	0,15	0,115	0,1			0,1	0,2083	0,2628
POD_1141	Krnov	Opava	OD	0,125	0,077	0,125			0,125		0

DBČ	Profil	Tok	Dílčí povodí	alachlor ESA	terbutryn	2,4-DP (dichlorprop)	cypermethrin	cypermethrin	MCPA	aclonifen	metolachlor a jeho metabolity
				AVG	AVG	AVG	AVG	MAX	AVG	MAX	AVG
POD_1144	Malé Hoštice	Opava	OD	0,125	0,077	0,125			0,125		0,1587
POD_1146	Třebovice	Opava	OD	0,125	0,077	0,125			0,1388	0,125	0,07
POD_1152	Ostrava	Ostravice	OD	0,125	0,077	0,125			0,1404	0,125	0,0348
POD_1154	Slezská Ostrava	Lučina	OD	0,125	0,077	0,125			0,125		0,0994
POD_1161	Svinov	Odra	OD	0,731	0,077	0,125			3,3208	0,125	0,1989
POD_1163	Bohumín	Odra	OD	0,239	0,077	0,125			0,3788	0,125	0,1113
POD_1164	Kunín	Jičínka	OD	0,125	0,077	0,125			0,1363		0,361
POD_1165	Košatka	Lubina	OD	0,24	0,077	0,125			0,1646		0,1027
POD_3596	Mikulovice	Bělá	OD	0,125	0,077	0,125			0,1413	0,125	0
POD_5407	ústí	Olše	OD	0,145	0,077	0,125			0,1479	0,125	0,0884
POD_5526	nad Petrůvkou	Olše	OD	0,125	0,077	0,125			0,1663		0,0571
POD_5535	Moravice - ústí	Moravice	OD	0,125	0,077	0,196			0,125	0,125	0,0201
PLA_1024	Otovice	Stěnava	LN	0,212	0,039	0,05			0,4158		0,0241
PLA_1036	Ves u Černous	Smědá	LN	0,262	0,039	0,05			0,05		0,0108
PLA_41	Hrádek nad Nisou	Lužická Nisa	LN	0,15	0,084	0,05	4,625	1,15	0,0608	0,0833	0,1773
POH_1038	Varnsdorf	Mandava	LN	0,15	0,115	0,1			1,12	0,2083	0,5064
PMO_1132	Moravičany	Morava	MO								
PMO_1134	Blatec	Morava	MO	0,227	0,039	0,05			0,05	0,125	0,1399
PMO_1166	Loštice	Třebůvka	MO	0,817	0,039	0,05			0,05	0,125	0,2404
PMO_1167	Přovice	Oskava	MO	0,05	0,039	0,05			0,05	0,125	0,0661
PMO_1168	Polkovice	Valová	MO								
PMO_1169	Bezměrov	Haná	MO								
PMO_1173	Valašské Meziříčí	Rožnovská Bečva	MO								

DBČ	Profil	Tok	Dílčí povodí	alachlor ESA	terbutryn	2,4-DP (dichlorprop)	cypermethrin	cypermethrin	MCPA	aclonifen	metolachlor a jeho metabolity
				AVG	AVG	AVG	AVG	MAX	AVG	MAX	AVG
PMO_1174	Otrokovice	Dřevnice	MO								
PMO_1175	Kunovice	Olšava	MO								
PMO_3639	Sudkov	Desná	MO								
PMO_3643	Rájec	Moravská Sázava	MO								
PMO_3664	Valašské Meziříčí	Vsetínská Bečva	MO								
PMO_3670	Troubky	Bečva	MO	0,05	0,039	0,05			0,05	0,125	0,0682
PMO_401	Lanžhot	Morava	MO	0,117	0,042	0,05			0,0753	0,125	0,1429
PMO_CZ0723434	Vlára	Vlára	MO	0,05	0,042	0,05			0,0573	0,125	0
PMO_YPPMA024	Otrokovice	Morava	MO								
PMO_ZPPMA015	nad Olšavou	Morava	MO								
PMO_1181	Pouzdřany	Svratka	DY	0,123	0,054	0,05			0,2077	0,125	0,1139
PMO_1185	Židlochovice	Litava	DY	0,064	0,048	0,05			0,2042	0,125	0,1523
PMO_1188	Ivaň	Jihlava	DY	0,395	0,039	0,05			0,05	0,125	0,2818
PMO_1189	pod Oslavany	Oslava	DY	0,35	0,039	0,05			0,05	0,125	0,332
PMO_1190	Ivančice	Rokytná	DY	0,378	0,039	0,05			0,0543	1,0083	0,1997
PMO_1196	Lanžhot	Kyjovka	DY								
PMO_1197	Jevišovka	Jevišovka	DY								
PMO_1201	ústí	Svitava	DY	0,126	0,039	0,05			0,0714	0,125	0,0636
PMO_1202	Vladislav	Jihlava	DY								
PMO_1205	Podhradí nad Dyjí	Dyje	DY	0,279	0,039	0,05			0,0612	0,125	0,1934
PMO_3742	Písečné	Moravská Dyje	DY	0,886	0,039	0,05			0,2212	0,125	0,1612
PMO_402	Pohansko	Dyje	DY	0,2	0,046	0,05			0,0737	0,125	0,1951
PMO_DPPDy022	Jevišovka (nad)	Dyje	DY	0,25	0,039	0,05			0,1867	0,125	0,4135
PMO_SPPSv014	Veverská Bítýška	Svratka	DY	0,276	0,039	0,05			0,0622	0,125	0,3383

prioritní látky

DBČ	Profil	Tok	Dílčí povodí	nikl po filtraci	PFOS	fluoranthen	fluoranthen	benzo(a)pyren	benzo(b)fluoranthen	benzo(ghi)perylen	benzo(k)fluoranthen	4-nonylfenol
				AVG	AVG	AVG	MAX	AVG	MAX	MAX	MAX	AVG
PLA_10	Nepasice	Orlice	LA	0,202		1,898	0,358		0,9412	1,0976	0,4941	0,083
PLA_1007	Litoměřice	Labe	LA	0,479		1,36	0,225		0,6471	0,9024	0,3412	0,083
PLA_1018	Čestice	Divoká Orlice	LA			1,729	0,358		0,7647	1,2073	0,4765	0,083
PLA_1029	Luková	Cidlina	LA									
PLA_1034	Císařská Kuchyně	Výmola	LA									
PLA_1054	Ostroměř	Javorka	LA									
PLA_12	Němčice	Labe	LA	0,21		4,279	1,3		3,0588	5,2439	1,8824	0,083
PLA_15	Valy	Labe	LA	0,468		1,315	0,158		0,3588	0,3415	0,1882	0,083
PLA_16	Záboří nad Labem	Doubrava	LA			1,242	0,183		0,5118	0,7073	0,3059	0,083
PLA_2	Debrné	Labe	LA	0,125		3,89	0,992		0,8235	1,2195	0,4765	0,083
PLA_20	Nymburk	Mrlina	LA	0,546		1,418	0,225		0,5353	0,4878	0,2824	0,083
PLA_23	Spálov	Jizera	LA	0,213		1,646	0,15		0,3471	0,6951	0,2235	0,083
PLA_24	Spálov	Kamenice	LA	0,125		3,065	0,675		1,7059	1,8293	0,9412	0,083
PLA_240	Lysá nad Labem	Labe	LA	0,927		1,02	0,075		0,1824	0,2927	0,1118	0,083
PLA_241	Obříství	Labe	LA	0,498		1,685	0,367		0,6471	0,3659	0,4118	0,083
PLA_25	Příšovice	Jizera	LA	0,125		2,116	0,25		0,5176	0,6829	0,2824	0,083
PLA_27	Vinec	Jizera	LA	0,15		1,339	0,125		0,2941	0,4146	0,1706	0,083
PLA_311	Sány	Cidlina	LA			1,119	0,083		0,1824	0,3049	0,0941	0,083
PLA_312	Dašice	Loučná	LA			0,882	0,142		0,3118	0,439	0,1941	0,083
PLA_343	Kolín pod	Labe	LA	0,788		1,505	0,133		0,3	0,3902	0,1706	0,083

DBČ	Profil	Tok	Dílčí povodí	nikl po filtraci	PFOS	fluoranthen	fluoranthen	benzo(a)pyren	benzo(b)fluoranthen	benzo(ghi)perylen	benzo(k)fluoranthen	4-nonylfenol
				AVG	AVG	AVG	MAX	AVG	MAX	MAX	MAX	AVG
PLA_4	Hořenice	Labe	LA	0,125		1,915	0,192		0,4118	0,6707	0,2353	0,083
PLA_43	Třebechovice pod Orebem	Dědina	LA									
PLA_44	Starý Kolín	Klejnárka	LA									
PLA_46	Kosičky	Bystřice	LA									
PLA_48	Písty	Výrovka	LA									
PLA_49	Hronětice	Vlkava	LA									
PLA_5	Jaroměř	Úpa	LA			1,915	0,233		0,5588	0,9756	0,3235	0,083
PLA_58	Nemošice	Chrudimka	LA			0,941	0,175		0,3765	0,5244	0,2118	0,083
PLA_6	Jaroměř	Metuje	LA			4,5	0,9		2,9412	4,878	1,8824	0,083
PLA_7	Hradec Králové	Labe	LA	0,125		2,097	0,217		0,4941	0,622	0,2706	0,083
PLA_9	Žďár nad Orlicí	Tichá Orlice	LA			1,303	0,158		0,4235	0,6098	0,2471	0,083
PVL_1041	Březí	Vltava	VH	0,182	0,385	1,828	0,3	24,9	0,6471	1,2073	0,4412	0,017
PVL_1042	Hluboká nad Vltavou	Vltava	VH	0,265	0,385	1,347	0,158	16,67	0,3765	0,622	0,2	0,017
PVL_1048	Roudné	Malše	VH	0,254	0,423	0,894	0,092	10,25	0,2529	0,4634	0,1529	0,017
PVL_1049	Veselí nad Lužnicí	Lužnice	VH	0,31	0,385	0,886	0,25	10,2	0,8235	1,4634	0,4824	0,017
PVL_1051	Veselí nad Lužnicí	Nežárka	VH	0,375	0,385	0,814	0,074	8,284	0,1588	0,2561	0,0882	0,017
PVL_1058	Heřmaň	Blanice	VH		0,385	1,107	0,108	13,38	0,3059	0,5244	0,1765	0,017
PVL_3209	Pěkná	Vltava	VH	0,063	0,385	0,324	0,062	2,549	0,1118	0,1829	0,0647	0,017
PVL_3288	Katovice	Otava	VH		0,385							0,017
PVL_3922	Dolní Dvořiště	Malše	VH	0,063	0,385	0,48	0,1	4,706	0,1588	0,2073	0,0941	0,017

DBČ	Profil	Tok	Dílčí povodí	nikl po filtraci	PFOS	fluoranthen	fluoranthen	benzo(a)pyren	benzo(b)fluoranthen	benzo(ghi)perylen	benzo(k)fluoranthen	4-nonylfenol
				AVG	AVG	AVG	MAX	AVG	MAX	MAX	MAX	AVG
PVL_3923	Pořešín	Malše	VH	0,119	0,385	1,587	0,25	19,22	0,5529	0,9268	0,3471	0,017
PVL_4004	Bechyně	Lužnice	VH	0,45	0,385	0,807	0,073	6,177	0,1529	0,2683	0,0824	0,017
PVL_4005	Topělec	Otava	VH	0,279	0,385	1,594	0,158	21,27	0,4294	0,7317	0,2529	0,017
PVL_1072	Plzeň	Mže	BE	0,596	0,385	0,279	0,019	1,226	0,0235	0,122	0,0118	0,017
PVL_1080	Doudlevce	Úhlava	BE	0,35	0,385	0,601	0,053	4,51	0,0882	0,1707	0,0471	0,017
PVL_1083	Doubravka	Úslava	BE		0,385							0,017
PVL_1084	Bukovec	Berounka	BE	0,508	0,385	0,532	0,048	2,941	0,0471	0,122	0,0235	0,017
PVL_1088	Hýskov	Berounka	BE	0,54	0,385	0,407	0,034	2,647	0,0412	0,122	0,0235	0,017
PVL_1090	Lahovice	Berounka	BE	0,519	0,385	0,415	0,038	2,451	0,0765	0,122	0,0353	0,017
PVL_1092	Borek	Střela	BE	0,577	0,385	0,239	0,018	1,25	0,0294	0,122	0,0176	0,017
PVL_1094	Beroun	Litavka	BE	0,508	0,417	0,414	0,063	2,157	0,1118	0,2561	0,0529	0,017
PVL_1097	Stříbro pod	Mže	BE		0,385	0,349	0,041	2,549	0,0706	0,1341	0,0353	0,017
PVL_3114	Dobřany pod (Šlovice)	Radbuza	BE		0,385							0,017
PVL_3205	Dolany	Úhlava	BE		0,385	1,484	0,275	15,2	0,6471	0,9512	0,3471	0,017
PVL_0105	Zelčín	Vltava	VD	0,452	0,385	0,934	0,083	10,74	0,1882	0,3537	0,1176	0,017
PVL_1044	Vrané	Vltava	VD	0,379		0,54	0,052	4,314	0,0647	0,122	0,0412	0,017
PVL_1062	Zruč nad Sázavou	Sázava	VD	0,756	0,56	0,964	0,092	10,83	0,2529	0,4756	0,1412	0,017
PVL_1064	Pikovice	Sázava	VD	0,492	0,426	0,872	0,081	7,892	0,2	0,3537	0,1235	0,017
PVL_1066	Radonice	Blanice	VD	0,615	0,428	0,406	0,032	3,529	0,0824	0,1951	0,0529	0,017
PVL_1096	Kralupy nad Vltavou	Zákolanský potok	VD		0,385	4,452	0,458	65,64	1,0588	2,0732	0,6471	0,017

DBČ	Profil	Tok	Dílčí povodí	nikl po filtraci	PFOS	fluoranthen	fluoranthen	benzo(a)pyren	benzo(b)fluoranthen	benzo(ghi)perylen	benzo(k)fluoranthen	4-nonylfenol
				AVG	AVG	AVG	MAX	AVG	MAX	MAX	MAX	AVG
PVL_3449	Vepřek	Bakovský potok	VD		0,51	0,973	0,079	11,87	0,1706	0,4024	0,1	0,017
PVL_4200	Poříčí	Želivka	VD	0,381	0,385	0,452	0,046	4,48	0,1	0,1707	0,0529	0,017
PVL_6900	Pelhřimov pod (Poříčský Dvůr)	Bělá	VD		0,385	1,305	0,142	12,81	0,2353	0,4146	0,1235	0,017
PVL_7503	Nové Dvory (Červený mlýn)	Sázava	VD		0,385	2,148	0,283	29,71	0,7059	1,1829	0,4294	0,017
PLA_242	Děčín	Labe	OH	0,559		1,174	0,142		0,2941	0,4268	0,1765	0,083
PLA_246	Schmilka - pravý břeh	Labe	OH	0,506		1,302	0,233		0,5882	0,6098	0,3588	0,083
PLA_309	Ústí nad Labem	Bílina	OH			0,337	0,033		0,0588	0,122	0,0588	0,167
PLA_341	Pod Lovosicemi	Labe	OH	0,508		0,876	0,067		0,2	0,3293	0,1	0,083
POH_1001	Terezín	Ohře	OH	0,642		0,139	0,017		0,0588	0,122	0,0588	0,167
POH_1008	Želina	Ohře	OH	0,665		0,265	0,025		0,0588	0,122	0,0588	0,167
POH_1019	Sokolov	Svatava	OH			0,099	0,008		0,0588	0,122	0,0588	0,167
POH_1021	Dvory	Chodovský potok	OH			0,099	0,008		0,0588	0,122	0,0588	0,167
POH_1022	Rybáře	Rolava	OH			0,833	0,125		0,2941	0,4878	0,1176	0,167
POH_1024	Ostrov nad Ohří	Bystřice	OH	0,85		0,304	0,042		0,1176	0,2439	0,0588	0,167
POH_1027	Postoloprty	Chomutovka	OH	0,918		0,278	0,075		0,1765	0,3659	0,1176	0,167
POH_1032	Březiny	Ploučnice	OH			0,179	0,025		0,0588	0,122	0,0588	0,167
POH_1033	Česká Lípa	Ploučnice	OH	0,431		0,172	0,033		0,0588	0,2439	0,0588	0,167
POH_1036	Hřensko	Kamenice	OH			0,258	0,042		0,0588	0,2439	0,0588	0,167
POH_1037	Doubrava	Bílý Halštrov	OH	0,859		0,205	0,067		0,1176	0,3659	0,0588	0,167
POH_1101	hranice	Ohře	OH									0,167
POD_1141	Krnov	Opava	OD	0,125		5,176	2,083		4,1176	8,4146	4,3529	

DBČ	Profil	Tok	Dílčí povodí	nikl po filtraci	PFOS	fluoranthen	fluoranthen	benzo(a)pyren	benzo(b)fluoranthen	benzo(ghi)perylen	benzo(k)fluoranthen	4-nonylfenol
				AVG	AVG	AVG	MAX	AVG	MAX	MAX	MAX	AVG
POD_1144	Malé Hoštice	Opava	OD	0,167		3,847	1,083		4	3,4146	3	
POD_1146	Třebovice	Opava	OD	0,24		1,657	0,15		0,3647	0,7683	0,3882	
POD_1152	Ostrava	Ostravice	OD	0,458		1,606	0,108		0,2706	0,3415	0,2529	
POD_1154	Slezská Ostrava	Lučina	OD	0,417		1,821	0,183		0,2647	0,3537	0,2647	
POD_1161	Svinov	Odra	OD	0,5		1,279	0,15		0,4294	0,9024	0,4412	
POD_1163	Bohumín	Odra	OD	0,667		6,036	1		0,9412	1,2195	0,7647	
POD_1164	Kunín	Jičínka	OD	0,594		1,798	0,3		1,1176	1,0732	0,8824	
POD_1165	Košatka	Lubina	OD	1,208		1,238	0,3		1	1,7073	1	
POD_3596	Mikulovice	Bělá	OD	0,135		2,884	0,392		1,0588	1,3415	0,8235	
POD_5407	ústí	Olše	OD	0,521		1,59	0,142		0,3765	0,6951	0,4059	
POD_5526	nad Petrůvkou	Olše	OD	0,385		1,569	0,158		0,3647	0,5	0,3	
POD_5535	Moravice - ústí	Moravice	OD	0,313		0,935	0,073		0,2059	0,2927	0,1647	
PLA_1024	Otovice	Stěnava	LN			1,962	0,15		0,4412	0,6707	0,2471	0,083
PLA_1036	Ves u Černous	Smědá	LN			1,885	0,333		0,8824	1,3415	0,5118	0,083
PLA_41	Hrádek nad Nisou	Lužická Nisa	LN	0,546		3,579	0,458		1,1765	1,7073	0,7059	0,083
POH_1038	Varnsdorf	Mandava	LN									0,167
PMO_1132	Moravičany	Morava	MO									
PMO_1134	Blatec	Morava	MO		0,466	0,979	0,088		0,4059	0,4268	0,1353	
PMO_1166	Loštice	Třebůvka	MO	0,281	0,09	0,721	0,093		0,6059	0,5854	0,1706	0,584
PMO_1167	Přovice	Oskava	MO	0,339	0,154	1,224	0,143		0,6647	0,8902	0,2235	0,582
PMO_1168	Polkovice	Valová	MO									

DBČ	Profil	Tok	Dílčí povodí	nikl po filtraci	PFOS	fluoranthen	fluoranthen	benzo(a)pyren	benzo(b)fluoranthen	benzo(ghi)perylen	benzo(k)fluoranthen	4-nonylfenol
				AVG	AVG	AVG	MAX	AVG	MAX	MAX	MAX	AVG
PMO_1169	Bezměrov	Haná	MO									
PMO_1173	Valašské Meziříčí	Rožnovská Bečva	MO									
PMO_1174	Otrokovice	Dřevnice	MO									
PMO_1175	Kunovice	Olšava	MO									
PMO_3639	Sudkov	Desná	MO									
PMO_3643	Rájec	Moravská Sázava	MO									
PMO_3664	Valašské Meziříčí	Vsetínská Bečva	MO									
PMO_3670	Troubky	Bečva	MO		2,333	1,693	0,385		5,2059	7,6951	1,7765	
PMO_401	Lanžhot	Morava	MO	0,745	1,591	0,742	0,231		1,8647	2,7683	0,6294	0,364
PMO_CZ0723434	Vlára	Vlára	MO	0,374	0,334	1,243	0,392		1,1118	1,0854	0,3765	0,568
PMO_YPPMA024	Otrokovice	Morava	MO									
PMO_ZPPMA015	nad Olšavou	Morava	MO									
PMO_1181	Pouzdřany	Svratka	DY		0,65	1,069	0,068		0,2529	0,378	0,1176	
PMO_1185	Židlochovice	Litava	DY	0,572	0,469	1,349	0,16		1,0647	1,6463	0,3882	1,171
PMO_1188	Ivaň	Jihlava	DY		0,366	0,328	0,033		0,1588	0,1585	0,1176	
PMO_1189	pod Oslavany	Oslava	DY	0,793	0,172	0,393	0,059		0,1706	0,1341	0,1176	0,374
PMO_1190	Ivančice	Rokytná	DY	0,739	0,186	0,273	0,045		0,1824	0,2439	0,1176	0,353
PMO_1196	Lanžhot	Kyjovka	DY									
PMO_1197	Jevišovka	Jevišovka	DY									
PMO_1201	ústí	Svitava	DY	0,339	0,925	1,008	0,118		0,6059	0,8902	0,2059	0,658
PMO_1202	Vladislav	Jihlava	DY									
PMO_1205	Podhradí nad Dyjí	Dyje	DY		0,851	0,159	0,017		0,1176	0,0854	0,1176	
PMO_3742	Písečné	Moravská Dyje	DY		0,484	0,327	0,026		0,1176	0,0976	0,1176	
PMO_402	Pohansko	Dyje	DY	0,638	0,672	0,434	0,122		0,1176	0,1341	0,1176	0,287
PMO_DPPDy022	Jevišovka (nad)	Dyje	DY		0,709	1,204	0,118		0,4882	0,5732	0,1647	
PMO_SPPSv014	Veverská Bítýška	Svratka	DY	0,475	0,467	0,647	0,078		0,4294	0,5488	0,1412	0,399

ostatní znečišťující látky

DBČ	Profil	Tok	Dílčí povodí	AOX	bisfenol A	EDTA	NTA	fenanthren
				AVG	AVG	AVG	AVG	AVG
PLA_10	Nepasice	Orlice	LA	0,673	0,581	0,52	0,171	0,324
PLA_1007	Litoměřice	Labe	LA	0,8				
PLA_1018	Čestice	Divoká Orlice	LA	0,564	0,706	0,504	0,222	0,284
PLA_1029	Luková	Cidlina	LA	0,94				
PLA_1034	Císařská Kuchyně	Výmola	LA	1,393		1,718	0,529	
PLA_1054	Ostroměř	Javorka	LA	0,647				
PLA_12	Němčice	Labe	LA	0,657	0,344	0,572	0,161	0,584
PLA_15	Valy	Labe	LA	0,731	0,42	1,037	0,237	0,282
PLA_16	Záboří nad Labem	Doubrava	LA	0,897	0,367	1,192	0,248	0,216
PLA_2	Debrné	Labe	LA	0,59	0,26	0,26	0,391	0,432
PLA_20	Nymburk	Mrlina	LA	1,02		0,571	0,155	
PLA_23	Spálov	Jizera	LA	0,831				
PLA_24	Spálov	Kamenice	LA	0,677	0,211			0,431
PLA_240	Lysá nad Labem	Labe	LA	0,81	0,421	1,027	0,247	0,214
PLA_241	Obříství	Labe	LA	0,846	0,456	0,973	0,275	0,292
PLA_25	Příšovice	Jizera	LA	0,821	0,805			0,329
PLA_27	Vinec	Jizera	LA	0,83				
PLA_311	Sány	Cidlina	LA	0,9	0,324	0,629	0,328	0,231
PLA_312	Dašice	Loučná	LA	0,623	0,276	0,765	0,146	0,253
PLA_343	Kolín pod	Labe	LA		0,463			0,294

DBČ	Profil	Tok	Dílčí povodí	AOX	bisfenol A	EDTA	NTA	fenanthren
				AVG	AVG	AVG	AVG	AVG
PLA_4	Hořenice	Labe	LA	0,653		0,33	0,264	
PLA_43	Třebechovice pod Orebem	Dědina	LA	0,733				
PLA_44	Starý Kolín	Klejnárka	LA	1,32		1,435	0,889	
PLA_46	Kosičky	Bystřice	LA	0,88				
PLA_48	Písty	Výrovka	LA	1,033		0,996	0,424	
PLA_49	Hronětice	Vlkava	LA	0,997				
PLA_5	Jaroměř	Úpa	LA	0,623	0,501	0,628	0,26	0,368
PLA_58	Nemošice	Chrudimka	LA	0,82	0,301			0,248
PLA_6	Jaroměř	Metuje	LA	0,627	0,348	0,8	0,209	0,561
PLA_7	Hradec Králové	Labe	LA	0,613	0,48	0,594	0,231	0,388
PLA_9	Žďár nad Orlicí	Tichá Orlice	LA	0,583	0,323	0,547	0,245	0,234
PVL_1041	Březí	Vltava	VH	0,643	0,071	0,434	0,228	0,262
PVL_1042	Hluboká nad Vltavou	Vltava	VH	0,717	0,298	0,527	0,118	0,235
PVL_1048	Roudné	Malše	VH	0,667	0,071	0,201	0,148	0,224
PVL_1049	Veselí nad Lužnicí	Lužnice	VH	0,777	0,071	0,179	0,101	0,152
PVL_1051	Veselí nad Lužnicí	Nežárka	VH	0,807	0,149	0,688	0,113	0,174
PVL_1058	Heřmaň	Blanice	VH	0,717	0,071	0,211	0,178	0,183
PVL_3209	Pěkná	Vltava	VH	0,533	0,071	0,067	0,05	0,054
PVL_3288	Katovice	Otava	VH	0,483	0,071	0,178	0,144	
PVL_3922	Dolní Dvořiště	Malše	VH	0,453	0,071	0,19	0,05	0,076

DBČ	Profil	Tok	Dílčí povodí	AOX	bisfenol A	EDTA	NTA	fenanthren
				AVG	AVG	AVG	AVG	AVG
PVL_3923	Pořešín	Malše	VH	0,54	0,071	0,36	0,133	0,176
PVL_4004	Bechyně	Lužnice	VH	0,837	0,108	0,976	0,26	0,228
PVL_4005	Topělec	Otava	VH	0,677	0,123	0,849	0,168	0,237
PVL_1072	Plzeň	Mže	BE	0,867	0,071	0,361	0,193	0,091
PVL_1080	Doudlevce	Úhlava	BE	0,6	0,071	2,331	0,21	0,131
PVL_1083	Doubravka	Úslava	BE	0,797	0,071	0,498	0,193	
PVL_1084	Bukovec	Berounka	BE	0,927	0,093	4,82	0,166	0,134
PVL_1088	Hýskov	Berounka	BE	0,937	0,071	2,432	0,174	0,131
PVL_1090	Lahovice	Berounka	BE	0,923	0,188	2,082	0,148	0,148
PVL_1092	Borek	Střela	BE	0,783	0,071	0,319	0,157	0,093
PVL_1094	Beroun	Litavka	BE	1,16	1,271	1,741	0,336	0,153
PVL_1097	Stříbro pod	Mže	BE	0,857	0,125	0,625	0,208	0,089
PVL_3114	Dobřany pod (Šlovice)	Radbuza	BE	0,683	0,071	0,773	0,208	
PVL_3205	Dolany	Úhlava	BE	0,543	0,094	4,944	0,237	0,193
PVL_0105	Zelčín	Vltava	VD	0,97	0,088	1,492	0,209	0,135
PVL_1044	Vrané	Vltava	VD	0,81	0,077	0,383	0,069	0,103
PVL_1062	Zruč nad Sázavou	Sázava	VD	0,937	0,206	0,488	0,226	0,192
PVL_1064	Pikovice	Sázava	VD	0,823	0,183	1,466	0,148	0,254
PVL_1066	Radonice	Blanice	VD	0,83	0,519	0,69	0,307	0,109
PVL_1096	Kralupy nad Vltavou	Zákolanský potok	VD	1,77	0,72	6,99	0,742	0,415
PVL_3449	Vepřek	Bakovský potok	VD	1,357	0,376	1,222	0,283	0,159

DBČ	Profil	Tok	Dílčí povodí	AOX	bisfenol A	EDTA	NTA	fenanthren
				AVG	AVG	AVG	AVG	AVG
PVL_4200	Poříčí	Želivka	VD	0,711	0,078	0,294	0,135	0,109
PVL_6900	Pelhřimov pod (Poříčský Dvůr)	Bělá	VD	0,825	0,96	2,006	0,326	0,246
PVL_7503	Nové Dvory (Červený mlýn)	Sázava	VD	0,82	0,206	1,498	0,206	0,212
PLA_242	Děčín	Labe	OH	1,1	0,459	3,664	0,205	0,216
PLA_246	Schmilka - pravý břeh	Labe	OH	1,003	0,431	3,324	0,141	0,262
PLA_309	Ústí nad Labem	Bílina	OH	1,277	5,836	9,19	0,05	0,046
PLA_341	Pod Lovosicemi	Labe	OH		0,292	3,703	0,296	
POH_1001	Terezín	Ohře	OH	0,807	0,36	1,157	0,05	0,035
POH_1008	Želina	Ohře	OH	0,743	0,312	0,651	0,05	0,071
POH_1019	Sokolov	Svatava	OH		0,286			0,033
POH_1021	Dvory	Chodovský potok	OH		0,393			0,038
POH_1022	Rybáře	Rolava	OH		0,371			0,079
POH_1024	Ostrov nad Ohří	Bystřice	OH	0,63	0,486	0,854	0,05	0,065
POH_1027	Postoloprty	Chomutovka	OH	1,02	0,748	9,617	0,05	0,075
POH_1032	Březiny	Ploučnice	OH	0,515	0,286	0,61	0,05	0,108
POH_1033	Česká Lípa	Ploučnice	OH	0,497	0,376	0,267	0,05	0,06
POH_1036	Hřensko	Kamenice	OH	0,571	0,286			0,067
POH_1037	Doubrava	Bílý Halštrov	OH	0,569	0,417	1,667	0,05	0,106
POH_1101	hranice	Ohře	OH	0,633	0,286	0,705	0,05	
POD_1141	Krnov	Opava	OD	0,528				0,499
POD_1144	Malé Hoštice	Opava	OD	0,847	0,467	0,678	0,076	0,38
POD_1146	Třebovice	Opava	OD	0,933	0,469	0,775	0,068	0,231

DBČ	Profil	Tok	Dílčí povodí	AOX	bisfenol A	EDTA	NTA	fenanthren
				AVG	AVG	AVG	AVG	AVG
POD_1152	Ostrava	Ostravice	OD	1,177	1,324	0,417	0,056	0,227
POD_1154	Slezská Ostrava	Lučina	OD	0,903	1,855	0,916	0,123	0,319
POD_1161	Svinov	Odra	OD	0,887	0,526	0,62	0,059	0,218
POD_1163	Bohumín	Odra	OD	1,047	1,129	0,69	0,05	2,132
POD_1164	Kunín	Jičínka	OD	1,01	0,46	1,019	0,05	0,267
POD_1165	Košatka	Lubina	OD	0,934	0,817	0,869	0,062	0,196
POD_3596	Mikulovice	Bělá	OD	0,5	0,75	0,413	0,088	0,289
POD_5407	ústí	Olše	OD	1,02	0,755	0,925	0,058	0,238
POD_5526	nad Petrůvkou	Olše	OD	0,84	0,571	0,485	0,066	0,197
POD_5535	Moravice - ústí	Moravice	OD	0,677	0,5	0,111	0,05	0,157
PLA_1024	Otovice	Stěnava	LN	0,607	0,223	0,453	0,299	0,337
PLA_1036	Ves u Černous	Smědá	LN	0,787	0,182			0,251
PLA_41	Hrádek nad Nisou	Lužická Nisa	LN	0,907	2,243	1,472	2,133	0,492
POH_1038	Varnsdorf	Mandava	LN	0,797	3,3	7,7	0,05	
PMO_1132	Moravičany	Morava	MO	0,547				
PMO_1134	Blatec	Morava	MO	0,556	0,264	1,95	0,5	0,187
PMO_1166	Loštice	Třebůvka	MO	0,644	0,152	6,32	0,547	0,166
PMO_1167	Přnovice	Oskava	MO	0,413	0,092	0,655	0,5	0,239
PMO_1168	Polkovice	Valová	MO	1,256				
PMO_1169	Bezměrov	Haná	MO	0,728				
PMO_1173	Valašské Meziříčí	Rožnovská Bečva	MO	0,537				
PMO_1174	Otrokovice	Dřevnice	MO	0,927				
PMO_1175	Kunovice	Olšava	MO	0,62				

DBČ	Profil	Tok	Dílčí povodí	AOX	bisfenol A	EDTA	NTA	fenanthren
				AVG	AVG	AVG	AVG	AVG
PMO_3639	Sudkov	Desná	MO	0,425				
PMO_3643	Rájec	Moravská Sázava	MO	0,529				
PMO_3664	Valašské Meziříčí	Vsetínská Bečva	MO	0,357				
PMO_3670	Troubky	Bečva	MO	0,519	0,071	0,6	0,5	0,226
PMO_401	Lanžhot	Morava	MO	0,64	0,165	3,428	1,482	0,157
PMO_CZ0723434	Vlára	Vlára	MO	0,449	0,167	0,558	0,727	0,239
PMO_YPPMA024	Otrokovice	Morava	MO	0,613				
PMO_ZPPMA015	nad Olšavou	Morava	MO	0,6				
PMO_1181	Pouzdřany	Svratka	DY	0,9	0,29	4,36	0,5	0,208
PMO_1185	Židlochovice	Litava	DY	0,887	0,193	1,692	1,077	0,25
PMO_1188	Ivaň	Jihlava	DY	0,997	0,124	0,73	0,59	0,144
PMO_1189	pod Oslavany	Oslava	DY	0,967	0,149	0,5	0,5	0,196
PMO_1190	Ivančice	Rokytná	DY	0,89	0,112	2,872	0,5	0,144
PMO_1196	Lanžhot	Kyjovka	DY	0,847				
PMO_1197	Jevišovka	Jevišovka	DY	1,02				
PMO_1201	ústí	Svitava	DY	0,657	0,098	1,238	0,723	0,219
PMO_1202	Vladislav	Jihlava	DY	1,133				
PMO_1205	Podhradí nad Dyjí	Dyje	DY	0,737	0,084	0,603	0,5	0,131
PMO_3742	Písečné	Moravská Dyje	DY	0,662	0,094	0,872	0,648	0,144
PMO_402	Pohansko	Dyje	DY	0,91	0,154	1,275	0,5	0,151
PMO_DPPDy022	Jevišovka (nad)	Dyje	DY	0,857	0,194	0,96	0,977	0,261
PMO_SPPSv014	Veverská Bítýška	Svratka	DY	0,767	0,071	0,642	0,693	0,174

0,8667	pod limit ≤ 1 ×
1,6913	nad limit ≤ 2 ×
2,7308	nad limit > 2 ×
	neměřeno, nehodnoceno

Dílčí povodí

LA	Horní a střední Labe
VH	Horní Vltava
BE	Berounka
VD	Dolní Vltava
OH	Ohře, Dolní Labe a ostatní přítoky Labe
OD	Horní Odra
LN	Lužická Nisa a ostatní přítoky Odry
MO	Morava a přítoky Váhu
DY	Dyje
DU	Ostatní přítoky Dunaje

Tab.P3.1.4 Odnos v závěrových profilech za rok 2025

OID	NM	TOK	Ř. KM	UK	UKAZATEL_NM	CAS	ODNOS F [kg.rok^{-1}]	poznámka
CHMI_0104	Děčín	Labe	747,9	BA0055	nerozpuštěné látky při 105 °C		47800148,41	
CHMI_0104	Děčín	Labe	747,9	CC0000	dusík celkový	7727-37-9	14806294,86	
CHMI_0104	Děčín	Labe	747,9	CC0020	dusík amoniakální	7727-37-9	289926,3863	
CHMI_0104	Děčín	Labe	747,9	CC0025	dusík dusitanový	7727-37-9	117451,064	
CHMI_0104	Děčín	Labe	747,9	CC0030	dusík dusičnanový	7727-37-9	12368045,99	
CHMI_0104	Děčín	Labe	747,9	CC0055	fosfor celkový	7723-14-0	554280,3356	
CHMI_0104	Děčín	Labe	747,9	CD0000	chloridy	16887-00-6	208591770,4	
CHMI_0104	Děčín	Labe	747,9	CD0005	sírany	14808-79-8	298405188,1	
CHMI_0104	Děčín	Labe	747,9	DA0005	arsen	7440-38-2	9961,231	
CHMI_0104	Děčín	Labe	747,9	DA0025	hliník	7429-90-5	239670,4288	*)
CHMI_0104	Děčín	Labe	747,9	DA0040	chrom celkový	7440-47-3	2356,2286	**)
CHMI_0104	Děčín	Labe	747,9	DA0045	kadmium	7440-43-9	117,8114	**)
CHMI_0104	Děčín	Labe	747,9	DA0075	měď	7440-50-8	27342,3079	
CHMI_0104	Děčín	Labe	747,9	DA0090	nikl	7440-02-0	12172,0263	
CHMI_0104	Děčín	Labe	747,9	DA0095	olovo	7439-92-1	2469,6871	
CHMI_0104	Děčín	Labe	747,9	DA0125	zinek	7440-66-6	45449,0025	
CHMI_0104	Děčín	Labe	747,9	EA0065	AOX		127460,3728	
CHMI_0104	Děčín	Labe	747,9	FC0130	HCH gama	58-89-9	2,5944	*)
CHMI_0104	Děčín	Labe	747,9	FD0050	fluoranthen	206-44-0	37,5453	
CHMI_0104	Děčín	Labe	747,9	FD0060	benzo(a)pyren	50-32-8	8,4642	
CHMI_0104	Děčín	Labe	747,9	FD0070	benzo(ghi)perylen	191-24-2	6,5218	
CHMI_0104	Děčín	Labe	747,9	FE0365	atrazin	1912-24-9	11,7811	**)
CHMI_0104	Děčín	Labe	747,9	FE0370	atrazin desethyl	6190-65-4	12,5339	*)

OID	NM	TOK	Ř. KM	UK	UKAZATEL_NM	CAS	ODNOS F [kg.rok^{-1}]	poznámka
CHMI_0105	Zelčín	Vltava	4,5	BA0055	nerozpuštěné látky při 105 °C		24336252,36	
CHMI_0105	Zelčín	Vltava	4,5	CC0000	dusík celkový	7727-37-9	7544147,04	
CHMI_0105	Zelčín	Vltava	4,5	CC0020	dusík amoniakální	7727-37-9	114754,248	
CHMI_0105	Zelčín	Vltava	4,5	CC0025	dusík dusitanový	7727-37-9	33489,1296	
CHMI_0105	Zelčín	Vltava	4,5	CC0030	dusík dusičnanový	7727-37-9	6373583,28	
CHMI_0105	Zelčín	Vltava	4,5	CC0055	fosfor celkový	7723-14-0	303463,044	
CHMI_0105	Zelčín	Vltava	4,5	CD0000	chloridy	16887-00-6	73245513,6	
CHMI_0105	Zelčín	Vltava	4,5	CD0005	sírany	14808-79-8	101885457,6	
CHMI_0105	Zelčín	Vltava	4,5	DA0005	arsen	7440-38-2	4218,9386	
CHMI_0105	Zelčín	Vltava	4,5	DA0025	hliník	7429-90-5	235000,2276	
CHMI_0105	Zelčín	Vltava	4,5	DA0040	chrom celkový	7440-47-3	851,3537	*)
CHMI_0105	Zelčín	Vltava	4,5	DA0045	kadmium	7440-43-9	63,3374	*)
CHMI_0105	Zelčín	Vltava	4,5	DA0075	měď	7440-50-8	4518,0839	
CHMI_0105	Zelčín	Vltava	4,5	DA0090	nikl	7440-02-0	4978,3255	
CHMI_0105	Zelčín	Vltava	4,5	DA0095	olovo	7439-92-1	1567,6283	
CHMI_0105	Zelčín	Vltava	4,5	DA0125	zinek	7440-66-6	14039,1965	
CHMI_0105	Zelčín	Vltava	4,5	EA0065	AOX		57634,1424	
CHMI_0105	Zelčín	Vltava	4,5	FC0130	HCH gama	58-89-9	0,2314	**)
CHMI_0105	Zelčín	Vltava	4,5	FD0050	fluoranthen	206-44-0	13,4759	
CHMI_0105	Zelčín	Vltava	4,5	FD0060	benzo(a)pyren	50-32-8	4,0732	
CHMI_0105	Zelčín	Vltava	4,5	FD0070	benzo(ghi)perylen	191-24-2	3,0257	
CHMI_0105	Zelčín	Vltava	4,5	FE0365	atrazin	1912-24-9	5,7855	**)
CHMI_0105	Zelčín	Vltava	4,5	FE0370	atrazin desethyl	6190-65-4	5,7855	**)

OID	NM	TOK	Ř. KM	UK	UKAZATEL_NM	CAS	ODNOS F [kg.rok^{-1}]	poznámka
CHMI_0401	Lanžhot	Morava	79,1	BA0055	nerozpuštěné látky při 105 °C		72966052,08	
CHMI_0401	Lanžhot	Morava	79,1	CC0000	dusík celkový	7727-37-9	2694320,208	
CHMI_0401	Lanžhot	Morava	79,1	CC0020	dusík amoniakální	7727-37-9	77976,4392	
CHMI_0401	Lanžhot	Morava	79,1	CC0025	dusík dusitanový	7727-37-9	26496,626	
CHMI_0401	Lanžhot	Morava	79,1	CC0030	dusík dusičnanový	7727-37-9	1933843,496	
CHMI_0401	Lanžhot	Morava	79,1	CC0055	fosfor celkový	7723-14-0	170950,5065	
CHMI_0401	Lanžhot	Morava	79,1	CD0000	chloridy	16887-00-6	33934583,48	
CHMI_0401	Lanžhot	Morava	79,1	CD0005	sírany	14808-79-8	54135717,26	
CHMI_0401	Lanžhot	Morava	79,1	DA0005	arsen	7440-38-2	1380,4167	*)
CHMI_0401	Lanžhot	Morava	79,1	DA0025	hliník	7429-90-5	498516,2472	
CHMI_0401	Lanžhot	Morava	79,1	DA0040	chrom celkový	7440-47-3	1979,7355	
CHMI_0401	Lanžhot	Morava	79,1	DA0045	kadmium	7440-43-9	70,0579	*)
CHMI_0401	Lanžhot	Morava	79,1	DA0075	měď	7440-50-8	4150,0028	
CHMI_0401	Lanžhot	Morava	79,1	DA0090	nikl	7440-02-0	5462,3569	
CHMI_0401	Lanžhot	Morava	79,1	DA0095	olovo	7439-92-1	2064,1997	*)
CHMI_0401	Lanžhot	Morava	79,1	DA0125	zinek	7440-66-6	20194,7031	
CHMI_0401	Lanžhot	Morava	79,1	EA0065	AOX		19448,1198	
CHMI_0401	Lanžhot	Morava	79,1	FC0130	HCH gama	58-89-9	1,0073	**)
CHMI_0401	Lanžhot	Morava	79,1	FD0050	fluoranthen	206-44-0	8,9603	
CHMI_0401	Lanžhot	Morava	79,1	FD0060	benzo(a)pyren	50-32-8	6,2952	*)
CHMI_0401	Lanžhot	Morava	79,1	FD0070	benzo(ghi)perylen	191-24-2	6,3413	
CHMI_0401	Lanžhot	Morava	79,1	FE0365	atrazin	1912-24-9	5,0367	**)
CHMI_0401	Lanžhot	Morava	79,1	FE0370	atrazin desethyl	6190-65-4	2,5183	**)

OID	NM	TOK	Ř. KM	UK	UKAZATEL_NM	CAS	ODNOS F [kg.rok^{-1}]	poznámka
CHMI_0402	Pohansko	Dyje	17	BA0055	nerozpuštěné látky při 105 °C		8010423,057	
CHMI_0402	Pohansko	Dyje	17	CC0000	dusík celkový	7727-37-9	1851538,674	
CHMI_0402	Pohansko	Dyje	17	CC0020	dusík amoniakální	7727-37-9	52823,3506	
CHMI_0402	Pohansko	Dyje	17	CC0025	dusík dusitanový	7727-37-9	15319,8326	
CHMI_0402	Pohansko	Dyje	17	CC0030	dusík dusičnanový	7727-37-9	1401048,196	
CHMI_0402	Pohansko	Dyje	17	CC0055	fosfor celkový	7723-14-0	118671,775	
CHMI_0402	Pohansko	Dyje	17	CD0000	chloridy	16887-00-6	35349391,5	
CHMI_0402	Pohansko	Dyje	17	CD0005	sírany	14808-79-8	73173058,99	
CHMI_0402	Pohansko	Dyje	17	DA0005	arsen	7440-38-2	942,42	
CHMI_0402	Pohansko	Dyje	17	DA0025	hliník	7429-90-5	45135,3051	
CHMI_0402	Pohansko	Dyje	17	DA0040	chrom celkový	7440-47-3	519,246	*)
CHMI_0402	Pohansko	Dyje	17	DA0045	kadmium	7440-43-9	14,5354	**)
CHMI_0402	Pohansko	Dyje	17	DA0075	měď	7440-50-8	1345,8111	
CHMI_0402	Pohansko	Dyje	17	DA0090	nikl	7440-02-0	1816,0649	
CHMI_0402	Pohansko	Dyje	17	DA0095	olovo	7439-92-1	195,5764	*)
CHMI_0402	Pohansko	Dyje	17	DA0125	zinek	7440-66-6	2406,9279	*)
CHMI_0402	Pohansko	Dyje	17	EA0065	AOX		13076,2659	
CHMI_0402	Pohansko	Dyje	17	FC0130	HCH gama	58-89-9	0,5814	**)
CHMI_0402	Pohansko	Dyje	17	FD0050	fluoranthen	206-44-0	2,1779	*)
CHMI_0402	Pohansko	Dyje	17	FD0060	benzo(a)pyren	50-32-8	0,5814	**)
CHMI_0402	Pohansko	Dyje	17	FD0070	benzo(ghi)perylen	191-24-2	0,3753	
CHMI_0402	Pohansko	Dyje	17	FE0365	atrazin	1912-24-9	2,9071	**)
CHMI_0402	Pohansko	Dyje	17	FE0370	atrazin desethyl	6190-65-4	1,4535	**)

OID	NM	TOK	Ř. KM	UK	UKAZATEL_NM	CAS	ODNOS F [kg.rok^{-1}]	poznámka
CHMI_1163	Bohumín	Odra	3,3	BA0055	nerozpuštěné látky při 105 °C		22318184,88	
CHMI_1163	Bohumín	Odra	3,3	CC0000	dusík celkový	7727-37-9	3645996,055	
CHMI_1163	Bohumín	Odra	3,3	CC0020	dusík amoniakální	7727-37-9	629706,2104	
CHMI_1163	Bohumín	Odra	3,3	CC0025	dusík dusitanový	7727-37-9	47656,9249	
CHMI_1163	Bohumín	Odra	3,3	CC0030	dusík dusičnanový	7727-37-9	1627491,708	
CHMI_1163	Bohumín	Odra	3,3	CC0055	fosfor celkový	7723-14-0	211704,5071	
CHMI_1163	Bohumín	Odra	3,3	CD0000	chloridy	16887-00-6	43473808,11	
CHMI_1163	Bohumín	Odra	3,3	CD0005	sírany	14808-79-8	52023622,11	
CHMI_1163	Bohumín	Odra	3,3	DA0005	arsen	7440-38-2	738,5731	
CHMI_1163	Bohumín	Odra	3,3	DA0025	hliník	7429-90-5	377136,1858	
CHMI_1163	Bohumín	Odra	3,3	DA0040	chrom celkový	7440-47-3	830,0275	**)
CHMI_1163	Bohumín	Odra	3,3	DA0045	kadmium	7440-43-9	45,6668	*)
CHMI_1163	Bohumín	Odra	3,3	DA0075	měď	7440-50-8	2556,571	
CHMI_1163	Bohumín	Odra	3,3	DA0090	nikl	7440-02-0	2500,0164	
CHMI_1163	Bohumín	Odra	3,3	DA0095	olovo	7439-92-1	1380,3439	
CHMI_1163	Bohumín	Odra	3,3	DA0125	zinek	7440-66-6	14556,3869	
CHMI_1163	Bohumín	Odra	3,3	EA0065	AOX		20664,805	
CHMI_1163	Bohumín	Odra	3,3	FC0130	HCH gama	58-89-9	0,415	**)
CHMI_1163	Bohumín	Odra	3,3	FD0050	fluoranthen	206-44-0	28,2384	
CHMI_1163	Bohumín	Odra	3,3	FD0060	benzo(a)pyren	50-32-8	3,1286	*)
CHMI_1163	Bohumín	Odra	3,3	FD0070	benzo(ghi)perylen	191-24-2	2,6253	*)
CHMI_1163	Bohumín	Odra	3,3	FE0365	atrazin	1912-24-9	4,1501	**)
CHMI_1163	Bohumín	Odra	3,3	FE0370	atrazin desethyl	6190-65-4	10,3753	**)

Vysvětlivky

*) polovina a více hodnot pod MS

**) všechny hodnoty pod MS

Tab. P3.1.5 Odnos v závěrových profilech v letech 2023–2025

rok							2023		2024		2025	
OID	NM	TOK	Ř. KM	UK	UKAZATEL_NM	CAS	ODNOS F [kg.rok^{-1}]	poznámka	ODNOS F [kg.rok^{-1}]	poznámka	ODNOS F [kg.rok^{-1}]	poznámka
CHMI_0104	Labe	Děčín	747,9	BA0055	nerozpuštěné látky při 105 °C		136624628		330221994		47800148	
CHMI_0104	Labe	Děčín	747,9	CC0000	dusík celkový	7727-37-9	27496346		44794242		14806295	
CHMI_0104	Labe	Děčín	747,9	CC0020	dusík amoniakální	7727-37-9	504524		834276		289926	
CHMI_0104	Labe	Děčín	747,9	CC0025	dusík dusitanový	7727-37-9	163136		329967		117451	
CHMI_0104	Labe	Děčín	747,9	CC0030	dusík dusičnanový	7727-37-9	24361846		37563865		12368046	
CHMI_0104	Labe	Děčín	747,9	CC0055	fosfor celkový	7723-14-0	880690		1277980		554280	
CHMI_0104	Labe	Děčín	747,9	CD0000	chloridy	16887-00-6	260227769		300240161		208591770	
CHMI_0104	Labe	Děčín	747,9	CD0005	sírany	14808-79-8	387543617		540795837		298405188	
CHMI_0104	Labe	Děčín	747,9	DA0005	arsen	7440-38-2	16505		25934		9961	
CHMI_0104	Labe	Děčín	747,9	DA0025	hliník	7429-90-5	664713		1693452	*)	239670	*)
CHMI_0104	Labe	Děčín	747,9	DA0040	chrom celkový	7440-47-3	3667	**)	8704	*)	2356	**)
CHMI_0104	Labe	Děčín	747,9	DA0045	kadmium	7440-43-9	288	*)	777	*)	118	**)
CHMI_0104	Labe	Děčín	747,9	DA0075	měď	7440-50-8	39152		58798		27342	
CHMI_0104	Labe	Děčín	747,9	DA0090	nikl	7440-02-0	21191		39534		12172	
CHMI_0104	Labe	Děčín	747,9	DA0095	olovo	7439-92-1	8030		34388		2470	
CHMI_0104	Labe	Děčín	747,9	DA0125	zinek	7440-66-6	104115		226783		45449	
CHMI_0104	Labe	Děčín	747,9	EA0065	AOX		172045		248484		127460	
CHMI_0104	Labe	Děčín	747,9	FC0130	HCH gama	58-89-9	3,67	**)	5,07	**)	2,59	*)
CHMI_0104	Labe	Děčín	747,9	FD0050	fluoranthen	206-44-0	107,3		358,8		37,5	
CHMI_0104	Labe	Děčín	747,9	FD0060	benzo(a)pyren	50-32-8	36,6		182,4		8,5	
CHMI_0104	Labe	Děčín	747,9	FD0070	benzo(ghi)perylen	191-24-2	31,2		133,5		6,5	
CHMI_0104	Labe	Děčín	747,9	FE0365	atrazin	1912-24-9	21,9	*)	25,3	**)	11,8	**)
CHMI_0104	Labe	Děčín	747,9	FE0370	atrazin desethyl	6190-65-4	18,3	**)	25,3	**)	12,5	*)

rok							2023		2024		2025	
OID	NM	TOK	Ř. KM	UK	UKAZATEL_NM	CAS	ODNOS F [kg.rok^{-1}]	poznámka	ODNOS F [kg.rok^{-1}]	poznámka	ODNOS F [kg.rok^{-1}]	poznámka
CHMI_0105	Vltava	Zelčín	4,5	BA0055	nerozpuštěnélátky při 105 °C		67054208		69198217		24336252	
CHMI_0105	Vltava	Zelčín	4,5	CC0000	dusík celkový	7727-37-9	18878008		21098887		7544147	
CHMI_0105	Vltava	Zelčín	4,5	CC0020	dusík amoniakální	7727-37-9	198551		301405		114754	
CHMI_0105	Vltava	Zelčín	4,5	CC0025	dusík dusitanový	7727-37-9	79505		127875		33489	
CHMI_0105	Vltava	Zelčín	4,5	CC0030	dusík dusičnanový	7727-37-9	16586505		19150157		6373583	
CHMI_0105	Vltava	Zelčín	4,5	CC0055	fosfor celkový	7723-14-0	545536		544016		303463	
CHMI_0105	Vltava	Zelčín	4,5	CD0000	chloridy	16887-00-6	132350042		126844825		73245514	
CHMI_0105	Vltava	Zelčín	4,5	CD0005	sírany	14808-79-8	184228945		192374607		101885458	
CHMI_0105	Vltava	Zelčín	4,5	DA0005	arsen	7440-38-2	9235		10116		4219	
CHMI_0105	Vltava	Zelčín	4,5	DA0025	hliník	7429-90-5	919695		1262738		235000	
CHMI_0105	Vltava	Zelčín	4,5	DA0040	chrom celkový	7440-47-3	3704	*)	3453	*)	851	*)
CHMI_0105	Vltava	Zelčín	4,5	DA0045	kadmium	7440-43-9	173	*)	188	*)	63	*)
CHMI_0105	Vltava	Zelčín	4,5	DA0075	měď	7440-50-8	11272		13061		4518	
CHMI_0105	Vltava	Zelčín	4,5	DA0090	nikl	7440-02-0	10834		13257		4978	
CHMI_0105	Vltava	Zelčín	4,5	DA0095	olovo	7439-92-1	6405		6508		1568	
CHMI_0105	Vltava	Zelčín	4,5	DA0125	zinek	7440-66-6	42879		40887		14039	
CHMI_0105	Vltava	Zelčín	4,5	EA0065	AOX		101810		124920		57634	
CHMI_0105	Vltava	Zelčín	4,5	FC0130	HCH gama	58-89-9	0,42	**)	0,51	**)	0,23	**)
CHMI_0105	Vltava	Zelčín	4,5	FD0050	fluoranthen	206-44-0	41,5		59,9		13,5	
CHMI_0105	Vltava	Zelčín	4,5	FD0060	benzo(a)pyren	50-32-8	16,1		22,8		4,1	
CHMI_0105	Vltava	Zelčín	4,5	FD0070	benzo(ghi)perylen	191-24-2	13,58		16,92		3,03	
CHMI_0105	Vltava	Zelčín	4,5	FE0365	atrazin	1912-24-9	10,5	**)	12,9	**)	5,8	**)
CHMI_0105	Vltava	Zelčín	4,5	FE0370	atrazin desethyl	6190-65-4	10,5	**)	12,9	**)	5,8	**)

rok							2023		2024		2025	
OID	NM	TOK	Ř. KM	UK	UKAZATEL_NM	CAS	ODNOS F [kg.rok^{-1}]	poznámka	ODNOS F [kg.rok^{-1}]	poznámka	ODNOS F [kg.rok^{-1}]	poznámka
CHMI_0401	Morava	Lanžhot	79,1	BA0055	nerozpuštěné látky při 105 °C		84992726		191697202		72966052	
CHMI_0401	Morava	Lanžhot	79,1	CC0000	dusík celkový	7727-37-9	4166431		7742613		2694320	
CHMI_0401	Morava	Lanžhot	79,1	CC0020	dusík amoniakální	7727-37-9	115750		188899		77976	
CHMI_0401	Morava	Lanžhot	79,1	CC0025	dusík dusitanový	7727-37-9	36198		81605		26497	
CHMI_0401	Morava	Lanžhot	79,1	CC0030	dusík dusičnanový	7727-37-9	3458800		6774857		1933843	
CHMI_0401	Morava	Lanžhot	79,1	CC0055	fosfor celkový	7723-14-0	204514		369242		170951	
CHMI_0401	Morava	Lanžhot	79,1	CD0000	chloridy	16887-00-6	45407294		66095533		33934583	
CHMI_0401	Morava	Lanžhot	79,1	CD0005	sírany	14808-79-8	71378845		123341327		54135717	
CHMI_0401	Morava	Lanžhot	79,1	DA0005	arsen	7440-38-2	1298	*)	2571	*)	1380	*)
CHMI_0401	Morava	Lanžhot	79,1	DA0025	hliník	7429-90-5	753064		2122632		498516	
CHMI_0401	Morava	Lanžhot	79,1	DA0040	chrom celkový	7440-47-3	3337	*)	7036		1980	
CHMI_0401	Morava	Lanžhot	79,1	DA0045	kadmium	7440-43-9	75,8	*)	156,9	*)	70,1	*)
CHMI_0401	Morava	Lanžhot	79,1	DA0075	měď	7440-50-8	5568		11603		4150	
CHMI_0401	Morava	Lanžhot	79,1	DA0090	nikl	7440-02-0	6677		12888		5462	
CHMI_0401	Morava	Lanžhot	79,1	DA0095	olovo	7439-92-1	2314	*)	5602		2064	*)
CHMI_0401	Morava	Lanžhot	79,1	DA0125	zinek	7440-66-6	32214		47072		20195	
CHMI_0401	Morava	Lanžhot	79,1	EA0065	AOX		22067		39353		19448	
CHMI_0401	Morava	Lanžhot	79,1	FC0130	HCH gama	58-89-9	1,39	**)	2,35	**)	1,01	**)
CHMI_0401	Morava	Lanžhot	79,1	FD0050	fluoranthen	206-44-0	10,5		20,5		9,0	
CHMI_0401	Morava	Lanžhot	79,1	FD0060	benzo(a)pyren	50-32-8	5,61	*)	10,75	*)	6,30	*)
CHMI_0401	Morava	Lanžhot	79,1	FD0070	benzo(ghi)perylen	191-24-2	5,22		9,13		6,34	
CHMI_0401	Morava	Lanžhot	79,1	FE0365	atrazin	1912-24-9	6,9	**)	11,8	**)	5,0	**)
CHMI_0401	Morava	Lanžhot	79,1	FE0370	atrazin desethyl	6190-65-4	3,46	**)	5,88	**)	2,52	**)

rok							2023		2024		2025	
OID	NM	TOK	Ř. KM	UK	UKAZATEL_NM	CAS	ODNOS F [kg.rok^{-1}]	poznámka	ODNOS F [kg.rok^{-1}]	poznámka	ODNOS F [kg.rok^{-1}]	poznámka
CHMI_0402	Dyje	Pohansko	17	BA0055	nerozpuštěnélátky při 105 °C		6395989		21033125		8010423	
CHMI_0402	Dyje	Pohansko	17	CC0000	dusík celkový	7727-37-9	2447566		6370717		1851539	
CHMI_0402	Dyje	Pohansko	17	CC0020	dusík amoniakální	7727-37-9	36707		132844		52823	
CHMI_0402	Dyje	Pohansko	17	CC0025	dusík dusitanový	7727-37-9	17890		65426		15320	
CHMI_0402	Dyje	Pohansko	17	CC0030	dusík dusičnanový	7727-37-9	2147952		5376287		1401048	
CHMI_0402	Dyje	Pohansko	17	CC0055	fosfor celkový	7723-14-0	155823		268782		118672	
CHMI_0402	Dyje	Pohansko	17	CD0000	chloridy	16887-00-6	38893556		60899559		35349392	
CHMI_0402	Dyje	Pohansko	17	CD0005	sírany	14808-79-8	66613706		127645686		73173059	
CHMI_0402	Dyje	Pohansko	17	DA0005	arsen	7440-38-2	1086		1958		942	
CHMI_0402	Dyje	Pohansko	17	DA0025	hliník	7429-90-5	91338		386709		45135	
CHMI_0402	Dyje	Pohansko	17	DA0040	chrom celkový	7440-47-3	709	*)	1931		519	*)
CHMI_0402	Dyje	Pohansko	17	DA0045	kadmium	7440-43-9	17,3	**)	33,8	**)	14,5	**)
CHMI_0402	Dyje	Pohansko	17	DA0075	měď	7440-50-8	1519		3415		1346	
CHMI_0402	Dyje	Pohansko	17	DA0090	nikl	7440-02-0	2042		4670		1816	
CHMI_0402	Dyje	Pohansko	17	DA0095	olovo	7439-92-1	324	*)	953		196	*)
CHMI_0402	Dyje	Pohansko	17	DA0125	zinek	7440-66-6	3484	*)	4298	*)	2407	*)
CHMI_0402	Dyje	Pohansko	17	EA0065	AOX		17291		35088		13076	
CHMI_0402	Dyje	Pohansko	17	FC0130	HCH gama	58-89-9	0,69	**)	1,35	**)	0,58	**)
CHMI_0402	Dyje	Pohansko	17	FD0050	fluoranthen	206-44-0	1,49		5,78		2,18	*)
CHMI_0402	Dyje	Pohansko	17	FD0060	benzo(a)pyren	50-32-8	0,69	**)	1,35	**)	0,58	**)
CHMI_0402	Dyje	Pohansko	17	FD0070	benzo(ghi)perylen	191-24-2	0,44		1,45		0,38	
CHMI_0402	Dyje	Pohansko	17	FE0365	atrazin	1912-24-9	3,5	**)	6,8	**)	2,9	**)
CHMI_0402	Dyje	Pohansko	17	FE0370	atrazin desethyl	6190-65-4	1,73	**)	3,38	**)	1,45	**)

rok							2023		2024		2025	
OID	NM	TOK	Ř. KM	UK	UKAZATEL_NM	CAS	ODNOS F [kg.rok^{-1}]	poznámka	ODNOS F [kg.rok^{-1}]	poznámka	ODNOS F [kg.rok^{-1}]	poznámka
CHMI_1163	Odra	Bohumín	3,3	BA0055	nerozpuštěné látky při 105 °C		11571504		42512680		22318185	
CHMI_1163	Odra	Bohumín	3,3	CC0000	dusík celkový	7727-37-9	2770310		4568758		3645996	
CHMI_1163	Odra	Bohumín	3,3	CC0020	dusík amoniakální	7727-37-9	186463		701127		629706	
CHMI_1163	Odra	Bohumín	3,3	CC0025	dusík dusitanový	7727-37-9	34011		78114		47657	
CHMI_1163	Odra	Bohumín	3,3	CC0030	dusík dusičnanový	7727-37-9	1945848		2476765		1627492	
CHMI_1163	Odra	Bohumín	3,3	CC0055	fosfor celkový	7723-14-0	124203		264660		211705	
CHMI_1163	Odra	Bohumín	3,3	CD0000	chloridy	16887-00-6	47322028		56394650		43473808	
CHMI_1163	Odra	Bohumín	3,3	CD0005	sírany	14808-79-8	47278719		70656880		52023622	
CHMI_1163	Odra	Bohumín	3,3	DA0005	arsen	7440-38-2	540	*)	1070		739	
CHMI_1163	Odra	Bohumín	3,3	DA0025	hliník	7429-90-5	140526		677075		377136	
CHMI_1163	Odra	Bohumín	3,3	DA0040	chrom celkový	7440-47-3	791	**)	1438	**)	830	**)
CHMI_1163	Odra	Bohumín	3,3	DA0045	kadmium	7440-43-9	188	*)	100	*)	46	*)
CHMI_1163	Odra	Bohumín	3,3	DA0075	měď	7440-50-8	1779		4959		2557	
CHMI_1163	Odra	Bohumín	3,3	DA0090	nikl	7440-02-0	1951		4232		2500	
CHMI_1163	Odra	Bohumín	3,3	DA0095	olovo	7439-92-1	626		2626		1380	
CHMI_1163	Odra	Bohumín	3,3	DA0125	zinek	7440-66-6	8875		19662		14556	
CHMI_1163	Odra	Bohumín	3,3	EA0065	AOX		14366		33488		20665	
CHMI_1163	Odra	Bohumín	3,3	FC0130	HCH gama	58-89-9	0,40	**)	0,72	**)	0,42	**)
CHMI_1163	Odra	Bohumín	3,3	FD0050	fluoranthen	206-44-0	11		85		28	
CHMI_1163	Odra	Bohumín	3,3	FD0060	benzo(a)pyren	50-32-8	1	*)	22	*)	3	*)
CHMI_1163	Odra	Bohumín	3,3	FD0070	benzo(ghi)perylen	191-24-2	1,3	*)	13,7	*)	2,6	*)
CHMI_1163	Odra	Bohumín	3,3	FE0365	atrazin	1912-24-9	4,4	*)	7,2	**)	4,2	**)
CHMI_1163	Odra	Bohumín	3,3	FE0370	atrazin desethyl	6190-65-4	9,9	**)	18,0	**)	10,4	**)

Vysvětlivky

*) polovina a více hodnot pod MS

**) všechny hodnoty pod MS